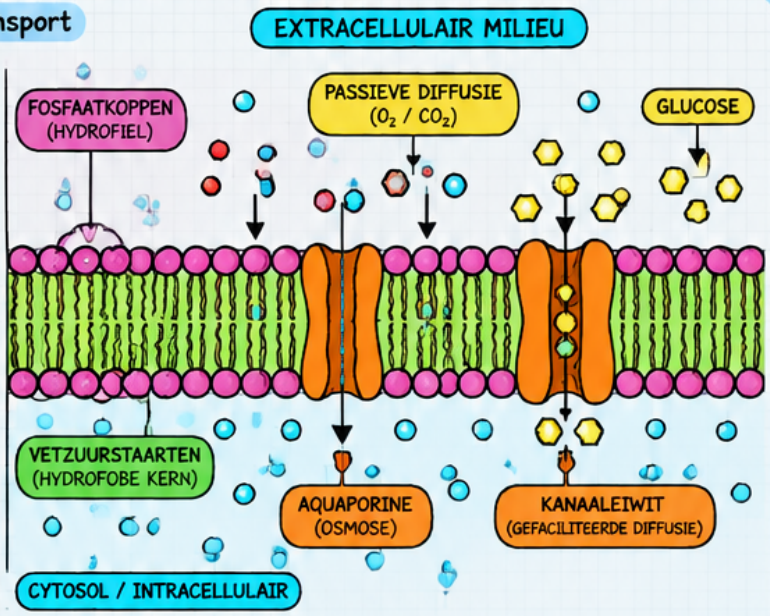
MEMBRAANTRANSPORT

Celmembraantransport: Passieve Diffusie, Osmose en Gefaciliteerde Diffusie

Systeemoverzicht: Passief Membraantransport

Het celmembraan reguleert selectief de uitwisseling van stoffen tussen het intracellulaire cytosol en het extracellulaire milieu. De basisstructuur bestaat uit een amfifiele fosfolipiden-dubbellaag met hydrofiele fosfaatkoppen aan de buiten- en binnenzijde en hydrofobe vetzuurstaarten in de kern. Passief transport vindt plaats zonder verbruik van chemische energie (ATP) en verloopt uitsluitend langs de heersende elektrochemische of concentratiegradiënt.

- **Fosfolipiden-dubbellaag:** vormt een selectief permeabele barrière voor geladen en grote polaire moleculen.
- **Passieve diffusie:** directe passage van kleine, niet-polaire moleculen (zoals O_2 en CO_2) door de hydrofobe kern.
- **Osmose:** netto verplaatsing van watermoleculen naar het compartiment met de hogste concentratie opgeloste stoffen.
- **Gefaciliteerde diffusie:** passief transport van specifieke ionen en polaire moleculen via transport- en kanaaleiwitten.



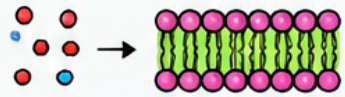
Educatieve Disclaimer

Deze illustratie en toelichting dienen uitsluitend voor educatieve doeleinden en zijn bedoeld voor zelfstudie en anatomisch/fysiologisch onderwijs. Ze vormen geen vervanging voor medische diagnostiek of professioonel klinisch advies.

Transportmechanismen & Schematische Analyse

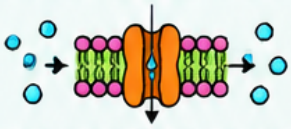
Bestudeer de drie fundamentele passieve transportroutes door het celmembraan aan de hand van de onderstaande stappen en criteria:

1. I. Vrije Diffusie door de Lipidenlaag



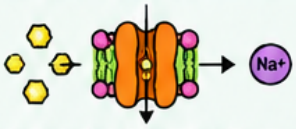
Gassen en lipofiele stoffen lossen direct op in de centrale lipidenlaag en diffunderen van een hoog naar een laag concentratieniveau totdat een dynamisch evenwicht is bereikt.

2. 2. Waterverplaatsing via Aquaporines



Hoowel een gering aantal watermoleculen door het membraan lekt, verloopt bulktransport via aquaporines: gespecialiseerde porievormende kanaaleiwitten die osmotische compensatie versnellen.

3. Σ. Selectieve Doorgifte via Eiwitkanalen



Hydrofiele ionen (zoals Na^+, K^+, Cl^-) en grotere polaire metabolieten (zoals glucose) passeren uitsluitend via specifieke kanaal- of transport-eiwitten die van conformatie veranderen zonder ATP-verbruik.

Welk passief mechanisme transporteert het molecuul over het membraan?

Klein en apolair (bijv. zuurstof of koolstofdioxide)	Vrij watermolecuul langs een osmotische gradiënt	Geladen ion of hydrofiel molecuul (bijv. glucose of ionen)
Eenvoudige passieve diffusie direct door de hydrofobe fosfolipidenlaag.	Osmotische diffusie, versneld gereguleerd door gespecialiseerde aquaporines.	Gefaciliteerde diffusie via conformatie-eiwitten of selectieve ionkanalen.

Zelfevaluatie: Membraaneigenschappen

Gebruik de onderstaande werkvelden om tijdens het bestuderen van de illustratie de kernkenemerken van de structuren en transportprocessen in eigen woorden vast te leggen.

- Verifieer hoe polariteit en molecuulgrootte de doorlaatbaarheid bepalen.
- Noteer de relatie tussen concentratieverschil en transportrichting.

Verklaar waarom fosfaatkoppen naar buiten wijzen en vetzuurstaarten naar binnen:	Beschrijf de rol van aquaporines bij osmotische volumeveranderingen van de cel:	Geef twee voorbeelden van stoffen die gefaciliteerde diffusie vereisen:

Educatieve Disclaimer

Deze illustratie en toelichting dienen uitsluitend voor educatieve doeleinden en zijn bedeeld voor zelfstudie en anatomisch/fysiologisch onderwijs. Ze vormen geen vervanging voor medische diagnostiek of professioonel klinisch advies.

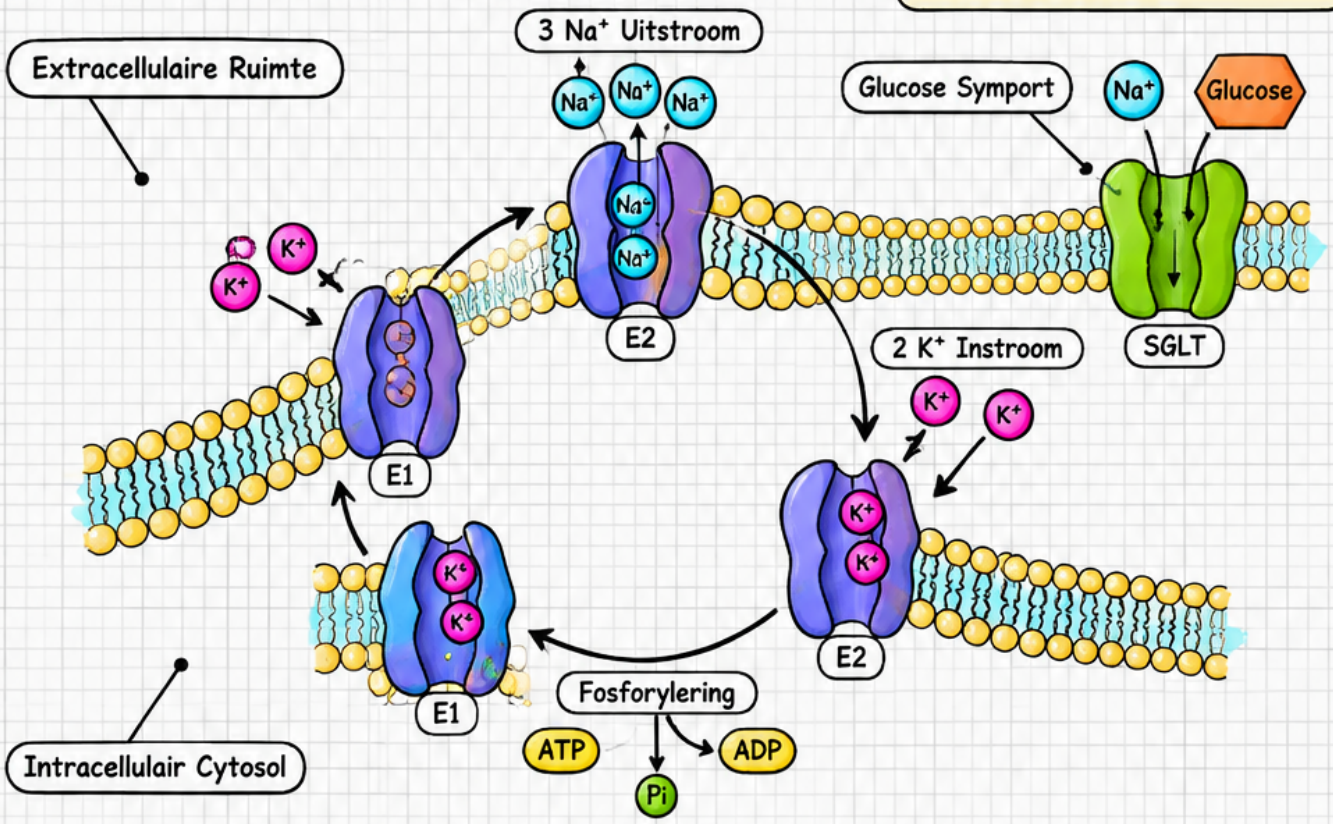
PRIMAIR EN SECUNDAIR ACTIEF MEMBRAANTRANSPORT: DE NATRIUM-KALIUMPOMP CYCLUS

NATRIUM-KALIUMPOMP & CELLULAIR TRANSPORT

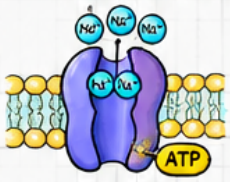
Het Na^+/K^+-ATPase (natrium-kaliumpomp) is een essentieel transmembraaneiwit dat primair actief transport uitvoert. Door de hydrolyse van adenosinetrifosfaat (ATP) verplaatst de pomp ionen tegen hun respectievelijke concentratiegradiënten in. Per cyclus worden 3 natriumionen (Na^+) de cel uitgepompt en 2 kaliumionen (K^+) de cel ingevoerd. Omdat er netto één positieve lading de cel verlaat, werkt het mechanisme elektrogenel en levert het een directe bijdrage aan de rustmembraanpotentiaal. De gecreëerde steile extracellulaire Na^+-gradiënt vormt vervolgens de drijvende potentiële energie voor secundair actief transport, zoals de natrium-glucose-symporter (SGLT).

NUTTIGE PUNTEN

- **Stoichiometrie** per cyclus: 3 Na^+ naar de extracellulaire ruimte, 2 K^+ naar het cytoplasma.
- **Energiebron:** Directe splitsing van 1 molecaul ATP in ADP en een anorganische fosfaatgroep (Pi).
- **Gradiëntfunctie:** Behoudt een laag intracellulair natriumgehalte en een hoog intracellulair kaliumgehalte.
- **Secundaire koppeling:** Drijft symport-mechanismen aan (zoals glucoseopname via SGLT) zonder direct ATP-verbruik op de transporter zelf.

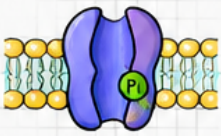


1 Fase 1: Cytosolaire Na^+- en ATP-binding



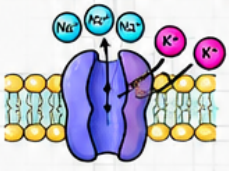
De pomp bevindt zich in de naar binnen geopende E1-conformatie met hoge affiniteit voor natrium. Drie intracellulaire Na^+-ionen binden aan de specifieke bindingsplaatsen en een molecuul ATP hecht aan het intracellulaire domein.

2 Fase 2: Fosforylering en Conformatieverandering



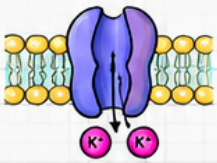
ATP wordt gehydrolyseerd tot ADP en fosfaat, het fosfaatmoleouul bindt covalent aan een aspartaatresidu van het pompgedeelte. Dit leidt tot een structurele omslag naar de E2-conformatie, waardoor de pomp aan de buitenzijde opent.

3 Fase 3: Na^+-afgifte en Extracellulaire K^+-binding



In de E2-toestand daalt de affiniteit voor natrium, waardaor de 3 Na^+-ionen in het extracellulaire milieu worden vrijgegeven. Tegelijkeritjd stijgt de affiniteit voor kalium en hechten 2 extracellulaire K^+-ionen aan de pomp.

4 Fase 4: Defosforylering en K^+-afgifte in Cytosol



De gebonden fosfaatgroep laat los (defosforylering). Hierdoor keert de pomp terug naar de oorspronkelijke E1-conformatie, openend naar het cytosol, waar de 2 K^+-ionen worden losgelaten voor de start van een nieuwe cyclus.

5 Fase 5: Secundair Actieve Symport (SGLT)



De door het Na^+/K^+-ATPase opgeboowde elektrochemische natriumgradiënt laat Na^+ passief terugstromen via symporters zoals SGLT, waarbij glucose gelijktijdig tegen de eigen concentratie-gradiënt in de cel wordt meegetransporteerd.

Educative Disclaimer

Dit visuele leermateriaal is uitsluitend ontworpen voor onderwijs- en studiedoeleinden. Het vervangt op geen enkele wijze professionele medische diagnostiek, klinisch advies of farmacologische richtlijnen.

FYSIOLOGISCHE WERKAART: TRANSPORTMECHANISMEN & EVALUATIE

CYCLUS-ANALYSE & TRANSPORT-EVALUATIE

Gebruik onderstaande stroomschema-vragen en actieve werkvelden om het transportmechanisme, de stoichiometrie en de energetische koppeling systematisch toe te passen tijdens uw studeersessie.

- Verifieer de richting van het transport ten opzichte van de rustgradiënt van het celmembraan.
- Controleer of de vereiste chemische energie (ATP) of elektrochemische potentiële energie aanwezig is.
- Bereken de netto ladingsverandering per cyclus over het membraan.

Klinisch-Fysiologische Aantekening

Remming van het Na^+/K^+-ATPase door farmaca zoals hartglycosiden (bijv. digoxine) leidt tot verhoging van intracellulair Na^+, wat indirect de Na^+/Ca^{2+}-uitwisselaar vertraagt en de myocardiale contractiliteit verhoogt.

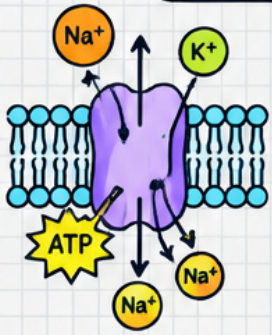
Netto transportbalans per gehydrolyseerd ATP-molecuul (aantal en richting ionen):

Gevolg van Na^+/K^+-ATPase blokkade op het secundair glucose-transport (SGLT):

Verklaring waarom de natrium-kaliumpomp als elektrogeneel wordt geclassificeerd:

Is er sprake van primair of secundair actief transport?

- Directe binding en hydrolyse van ATP aan het transporterende membraaneiwit → Classificeer als Primair Actief Transport (bijv. Na^+/K^+-ATPase). Het eiwit fungeert zelfstandig als enzymatische pomp.
- Geen directe ATP-splitsing, benut de elektrochemische gradiënt van een meebewegend ion → Classificeer als Secundair Actief Transport (bijv. SGLT glucose-symport aangedreven door de Na^+-instroom).



Extra aantekeningen:



— Dit materiaal is uitsluitend bedoeld voor educatieve doeleinden. —

MEMBRAANPOTENTIAAL EN ACTIEPOTENTIAAL IN NEURONEN

Fysiologie van het Zenuwstelsel: Membraanpotentiaal en Actiepotentiaal

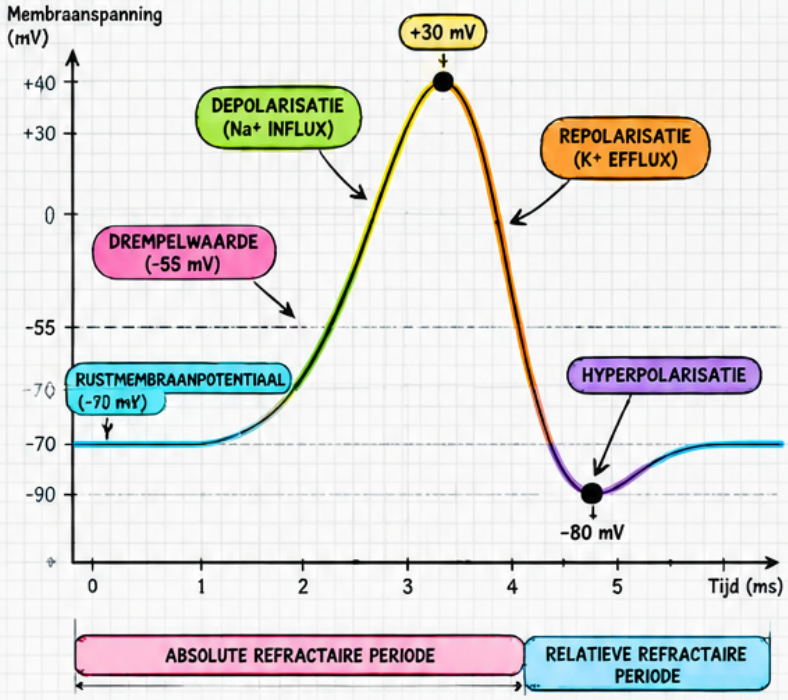
In rusttoestand handhaaft een neuron een elektrisch potentiaalverschil over zijn plasmamembraan van circa -70 mV. Deze rustmembraanpotentiaal ontstaat door de ongelijke verdeling van ionen (hoge extracellulaire Na^+-concentratie en hoge intracellulaire K^+-concentratie) dankzij de continue werking van de Na^+/K^+-ATPase-pomp (3 Na^+ naar buiten, 2 K^+ naar binnen) en K^+-lekkanalen. Een actiepotentiaal is een snelle, tijdelijke omkering van deze membraanpotentiaal die optreedt zodra een depolariserende stimulus de drempelwaarde van circa -55 mV overschrijdt.

- Rustmembraanpotentiaal: stabiele polarisatie rond -70 mV door iongradiënten en lekstromen.
- Drempelwaarde: kritieke membraanspanning van circa -55 mV waarbij het alles-of-niets-principe in werking treedt.
- Depolarisatie: massale Na^+-influx via geopende spanningsafhankelijke Na^+-kanalen tot circa +30 mV.
- Repolarisatie: inactivering van Na^+-kanalen en uitstroom van K^+-ionen via vertraagde K^+-kanalen.
- Hyperpolarisatie en herstel: tijdelijke daling tot onder de rustwaarde (-75 tot -80 mV) door trage sluiting van K^+-kanalen.

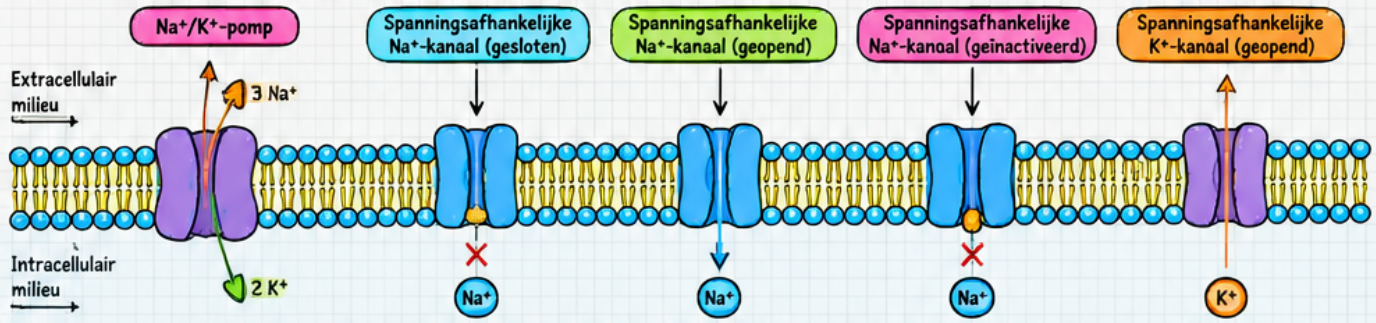
Educatieve Disclaimer

Dit leermateriaal is uitsluitend beddeld voor algemene educatieve doeleinden en anatomisch/fysiologisch ondewijs. Het vormt geen medisch advies, klinische richtlijn of diagnostisch instrument.

Fasen van de actiepotentiaal



Opbouw en werking van de neuronmembraan



Stappenplan: de vijf fasen

1. **Rustfase (-70 mV)**
   Het membraan is gepolariseerd. Spanningsafhankelijke Na^+- en K^+-kanalen zijn gesloten. De Na^+/K^+-pomp houdt de elektrochemische gradiënt in stand.
2. **Drempelbereik (-55 mV)**
   Inkomende prikkels depolariseren het membraan. Bij het bereiken van -55 mV gaan de activeringspoorten van de spanningsafhankelijke Na^+-kanalen open.
3. **Depolarisatiefase (+30 mV)**
   Snelle instroom van Na^+ maakt het celinterieur positief ten opzichte van het extracellulaire milieu tot de piek van +30 mV is bereikt.
4. **Repolarisatiefase**
   Inactiveringspoorten van Na^+-kanalen sluiten (inactivatie). Spanningsafhankelijke K^+-kanalen openen volledig, waardoor K^+ snel naar buiten stroomt.
5. **Hyperpolarisatie & Refractaire Periode**
   Doordat K^+-kanalen traag sluiten, daalt de potentiaal kortstondig tot circa -80 mV. De Na^+/K^+-pomp herstelt vervolgens de uitgangstoestand.

Kan een neuron een nieuwe actiepotentiaal genereren tijdens membraanherstel?

Tijdens de absolute refractaire periode
(tijdens depolarisatie en vroege repolarisatie)
→ Nee. Spanningsafhankelijke Na^+-kanalen zijn reeds open of geïnactiveerd. Geen enkele prikkel, ongeacht sterkte, kan een tweede potentiaal opwekken.

Tijdens de relatieve refractaire periode
(tijdens hyperpolarisatie)
→ Ja, maar uitsluitend bij een supradrempelige stimulus. Sommige Na^+-kanalen zijn hersteld, maar aanhoudende K^+-uitstroom vereist een sterkere depolariserende stroom.

Begripscontrole en Grafiekanalyse

Test je parate kennis over de ionenstromen en kanaalstatussen gedurende de vijf fasen van de actiepotentiaal.

- Identificeer welke ionenkanalen primair verantwoordelijk sijn voor de depolarisatiefase.
- Verklaar waarom de relatieve refractaire periode een sterkere depolariserende stimulus vereist.
- Benoem de rol van Na^+/K^+-ATPase bij het langdurig behoud van de rustpotentiaal.

Beschrijf de toestand van spanningsafhankelijke Na^+- en K^+-kanalen bij -70 mV:

Wat verourzaakt de membraanpotentiaalomkering tussen -55 mV en +30 mV?:

Waarom daalt de spanning tijdens hyperpolarisatie tijdelijk onder -70 mV?:

Verschil tussen absolute en relatieve refractaire periode in kanaalmechanica:

CHEMISCHE SYNAPSE

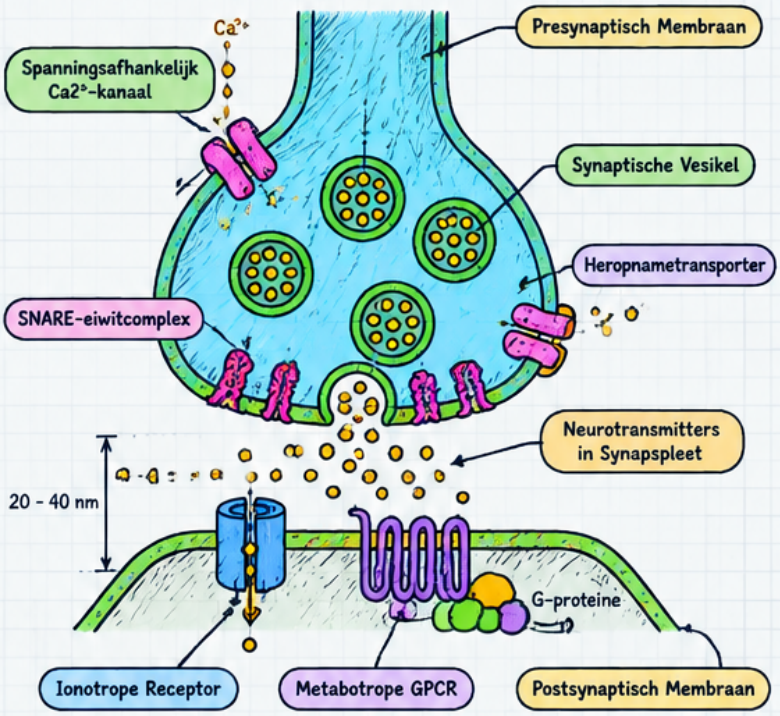
Chemische Synapstransmissie en Neurotransmitter-afgifte

1 Signaaloverdracht in de Chemische Synaps

De chemische synaps vormt de gespecialiseerde overgang tussen een prikkelbaar axon en een ontvangend doelorgaan of neuron. Depolarisatie zet bij het presynaptische uiteinde een elektrische actiepotentiaal om in een gerichte chemische boodschap. Dit mechanisme waarborgt eenrichtingsverkeer binnen het zenuwstelsel en maakt fijnafgestemde signaalmodulatie mogelijk.

- Presynaptische depolarisatie opent spanningsafhankelijke $Ca2^+$-kanalen.
- Lokale instroom van $Ca2^+$-ionen activeert de fusie van synaptische vesikels via specifieke SNARE-complexen en synaptotagmin.
- Neurotransmitters diffunderen over de extracellulaire synapsspleet met een breedte van 20 tot 40 nanometer.
- Binding aan het postsynaptische membraan induceert directe ionenstromen of intracellulaire second-messenger-signaalcascades.

Fysiologische Signaaloverdracht
De vertraging in transmissie (synaptische delay van 0,5 tot 1 ms) ontstaat door de stappen van calciuminstroom, vesikelfusie en diffusie over de spleet.



Moleculair Stappenplan van Transmissie

De neurotransmissie verloopt sequentieel via vijf gekoppelde fysiologische stadia:

1 Aankomst van de Actiepotentiaal
Depolarisatie van het presynaptische axonterminal activeert spanningsafhankelijke calciumkanalen, waardoor $Ca2^+$-ionen langs hun elektrochemische gradiënt instromen.

2 Calciumdetectie en SNARE-koppeling
$Ca2^+$-ionen binden aan de sensor synaptotagmin, waarna de SNARE-eiwitten (synaptobrevin, syntaxine-1 en SNAP-25) in elkaar vlechten en de vesikel tegen het membraan trekken.

3 Vesikelfusie en Exocytose
Het vesikelmembraan versmelt met het presynaptische plasmamembraan, waardoor neurotransmitters vrijkomen in de 20 tot 40 nm brede synapsspleet.

4 Diffusie en Postsynaptische Binding
Transmittermoleculen diffunderen over de extracellulaire kloof en hechten zich aan specifieke ionotrope of metabotrope receptoren op het postsynaptische membraan.

5 Signaalbeëindiging
De stimulatie stopt door enzymatische afbraak in de spleet, heropname via presynaptische transport-eiwitten of diffusie weg van het synapsoppervlak.

Differentiatiematrix: Postsynaptische Receptorklassen

Het cellulaire effect hangt direct af van het type geactiveerde postsynaptische membraaneiwit.

Welk postsynaptisch reactiepatroon induceert de neurotransmitterbinding?

Binding aan Ionotrope Receptoren (ligand-gestuurde ionkanalen)
Leidt tot directe conformatieverandering en opening van het poriekanaal met een snelle ionenflux (zoals Na^+, K^+ of Cl^-), wat binnen milliseconden ene EPSP of IPSP opwekt.

Binding aan Metabotrope Receptoren (G-proteïne-gekoppelde receptoren)
Activeert heterotrimere G-eiwitten en intracellulaire enzymcascades (zoals cAMP of IP3/DAG), wat leidt tot tragere maar langdurige metabole modulatie en genregulatie.

Fysiologische Analyse en Verificatie

Noteer hieronder de specifieke biochemische en biofysische parameters van het bestudeerde synaptische model:

Educatieve Disclaimer
Dit materiaal is uitsluitend ontworpen voor educatieve en fysiologische studiedoeleinden en vormt geen klinisch advies, diagnostiek of behandelovorschrift.

Geïdentificeerde neurotransmitter en functie (excitatoir vs. inhibitoir):

Receptortype op het postsynaptische membraan (ionotroop kanaal vs. metabotrope GPCR):

Wijze van signaalbeëindiging (enzymatische afbraak of actieve presynaptische heropname):

Dit materiaal is uitsluitend ontworpen voor educatieve en fysiologische studiedoeleinden en vormt geen klinisch advies, diagnostiek of behandelvoorschrift.

SPIERCONTRACTIE: SLIDING FILAMENT

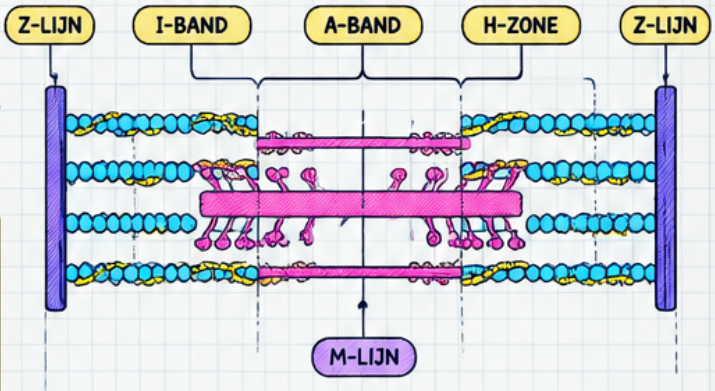
Spiercontractie: De Schuivende Filamenten-theorie

Mechanisme van de Schuivende Filamenten (Sliding Filament Theory)

Tijdens spiercontractie schuiven dunne actinefilamenten en dikke myosinefilamenten langs elkaar zonder zelf van lengte te veranderen. Hierdoor verkort het sarcomeer — de kleinste functionele eenheid van dwarsgestreept spierweefsel. De interactie tussen myosinekoppen en actine vormt dwarsverbindingen (kruisbruggen) die onder verbruik van ATP mechanische trekkracht leveren.

- **A-band:** Bevat de totale lengte van de myosinefilamenten; behoudt een constante lengte tijdens contractie.
- **I-band:** Bevat uitsluitend actinefilamenten; versmalt naarmate actine dieper de A-band inschuift.
- **H-zone:** Centrale zone met uitsluitend myosine zonder actine-overlap; verdwijnt vrijwel volledig bij maximale contractie.
- **Z-lijnen:** Begrenzingen van het sarcomeer; bewegen tijdens contractie dichter naar elkaar toe.

SARCOMEER (IN RUSTTOESTAND)



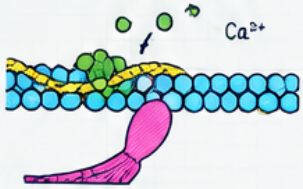
Actinefilament
Troponinecomplex
Myosinefilament
Tropomyosinedraad

Educatieve Disclaimer
Dit materiaal is uitsluitend bestemd voor educatieve doeleinden en vormt geen medisch advise, klinische richtlijn of diagnostisch hulpmiddel.

De Kruisbrugcyclus in Vier Fasen

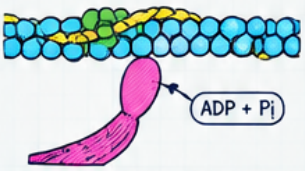
De opeenvolgende moleculaire stappen beschrijven hoe chemische energie uit adenosinetrifosfaat (ATP) wordt omgezet in mechanische contractiekracht.

1 Calciumactivatie en bindingsplaatsvrijgave



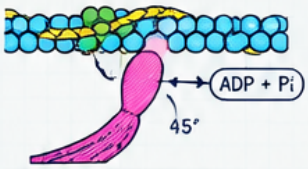
Een actiepotentiaal leidt tot Ca^{2+}-afgifte uit het sarcoplasmatisch reticulum. Ca^{2+} bindt aan troponine-C, wat een conformatieverandering induceert waardoor tropomyosine verschuift en de myosinebindings-plaatsen op actine vrijkomen.

2 Vorming van de kruisbrug



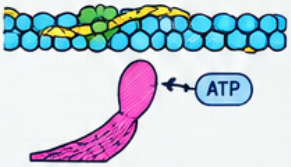
De geactiveerde myosinekop, reeds geladen met gehydrolyseerd ATP (ADP en anorganisch fosfaat, Pi), hecht zich stevig aan de blootgelegde bindingsplaats op het actinefilament.

3 De arbeidsslag ('Power Stroke')



Het anorganische fosfaat (Pi) en vervolgens ADP komen vrij van de myosinekop. Dit veroorzakt het kantelen van de kop met circa 45 graden, waardoor het actinefilament krachtig naar het midden van het sarcomeer (M-lijn) wordt getrokken.

4 Loskoppeling en herstel door ATP



Een nieuw ATP-molecuul bindt aan de myosinekop. Hierdoor verliest myosine zijn affiniteit voor actine en laat de kop los. Hydrolyse van ATP naar ADP + Pi spant de myosinekop weer op voor de volgende cyclus.

Zelfcontrole & Observatielijst

Gebruik deze controlepunten om de structurele en moleculaire stappen van spiercontractie systematisch ie analyseren.

- [ ] Identificeer de begrenzing van het sarcomeer via de Z-schijven.
- [ ] Controleer de afwezigheid van actine-myosine overlap binnen de H-zone in rust.
- [ ] Verifieer de vereiste aanwezigheid van vrij Ca^{2+} voor het vrijmaken van de actinebindingsplaats.
- [ ] Controleer de rol van nieuw ATP bij het loskoppelen van de myosinekop (afwezigheid leidt tot rigor mortis).

Aandachtspunt: Rigor Mortis
Zonder beschikbaarheid van nieuw ATP kan de myosinekop niet loslaten van actine. De spier blijft gefixeerd in gecontraheerde toestand.

Beschrijf het effect van een calciumtekort op de kruisbrugcyclus:

Wat gebeurt er met de breedte van de A-band en I-band tijdens maximale aanspanning?

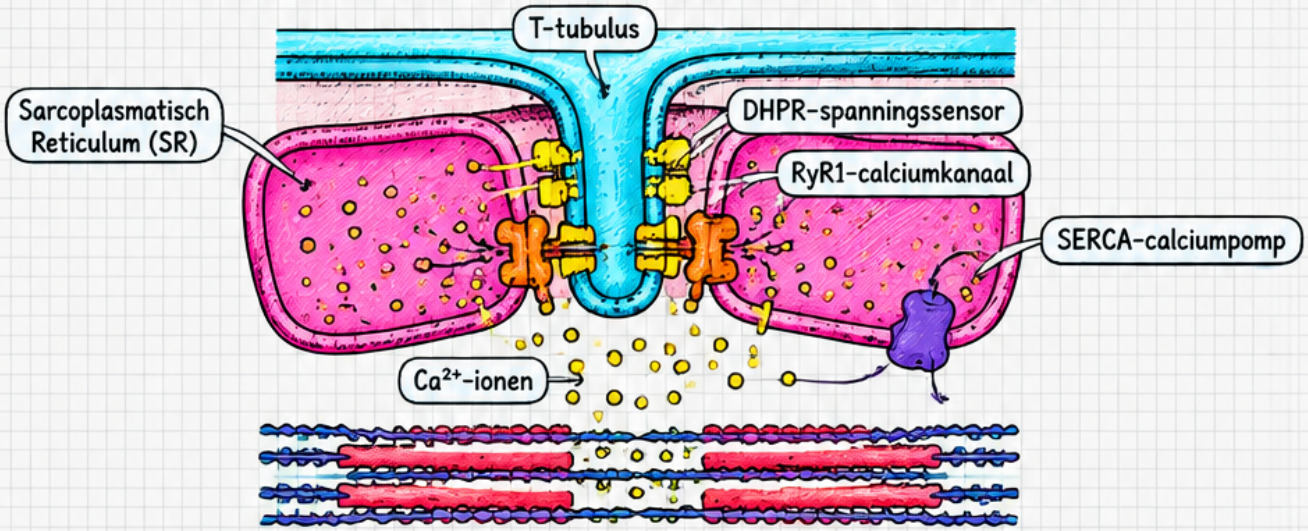
Welke factor beperkt op dit moment de verdere sarcomeerverkorting?

- [ ] Cytosolisch calcium daalt door actieve heropname in het sarcoplasmatisch reticulum
  - Tropomyosine bedekt de bindingsplaasten weer; de kruisbrugcyclus stopt en de spier ontspant.
- [ ] ATP raakt uitgeput terwijl calcium hoog blijft
  - Myosinekoppen blijven gehecht aan actine in starre toestand (rigor-complex) totdat nieuw ATP beschikbaar is.

Dit materiaal is uitsluitend bestemd voor educatieve doeleinden en vormt geen medisch advies, klinische richtlijn of diagnostisch hulpmiddel.

ELEKTROMECHANISCHE KOPPELING

Elektromechanische Koppeling in Skeletspiervezels



FYSIOLOGISCH MECHANISME: VAN MEMBRAANPOTENTIAAL TOT CONTRACTIE

Elektromechanische koppeling (excitation-contraction coupling) beschrijft de cascade waarbij een elektrische prikkel op het sarcolemma leidt tot het vrijkomen van calciumionen en mechanische verkorting van de spiervezel.

1. **Voortgeleiding:** De actiepotentiaal plant zich voort over het sarcolemma en dringt via de transversale tubuli (T-tubuli) diep het binnenste van de spiervezel binnen.
2. **Spanningsdetectie:** Depolarisatie van het T-tubulusmembraan activeert de dihydropyridinereceptoren (DHPR), die fungeren als spanningsafhankelijke sensoren.
3. **Mechanische koppeling:** DHPR ondergaat een conformatieverandering die direct mechanisch gekoppeld is aan ryanodinereceptoren type 1 (RyR1) in de terminale cisternen van het sarcoplasmatisch reticulum.
4. **Calciumafgifte:** RyR1 opent, waardoor opgeslagen calciumionen (Ca^{2+}) massaal langs de concentratiegradiënt naar het sarcoplasma stromen.
5. **Cross-bridge cyclus:** Ca^{2+} bindt aan troponine C, waardoor de myosinebindingsplastsen op actine vrijkomen voor contractie.
6. **Heropname en relaxatie:** De actieve SERCA-pomp transporteert Ca^{2+} continu terug naar het sarcoplasmatisch reticulum voor spierverslapping.

KLINISCHE & FARMACOLOGISCHE RELEVANTIE

Mutaties in het RYR1-gen kunnen leiden tot maligne hyperthermie, waarbij vluchtigre anesthetica ongecontroleerde calciumafgifte induceren.

Let op: dit materiaal dient uitsluitend educatieve doeleinden en vervangt geen medische diagnose of advies.

STAPSGEWIJZE ROUTE VAN HET CALCIUM-SIGNAAL

Volg deze chronologische stappen bij het bestuderen van het diagram en controleer het begrip van de signaalcascade.

1. **Depolarisatiegolf bereikt de T-tubulus**
   De actiepotentiaal propageert via spanningsafhankelijke natriumkanalen over het sarcolemma en loopt omlaan langs de T-tubulaire instulpingen romdom de myofibrillen.
2. **Conformatiewijziging in de DHPR-spanningssensor**
   De verandering in membraanpotentiaal verschuift de geladen segmenten van de dihydropyridinereceptor in de T-tubuluswand.
3. **Fysieke activatie van het RyR1-kanaal**
   Het cytoplasmatische domein van DHPR trekt fysiek aan de ryanodinereceptor (RyR1) in de membraan van de aangrenzende terminale cisterne.
4. **Ca^{2+}-efflux naar het sarcoplasma**
   Grote hoeveelheden Ca^{2+} diffunderen uit het sarcoplasmatisch reticulum langs de elektrochemische gradiënt direct rond de myofilamenten.
5. **Activering van het myofilament en contractie**
   Calcium bindt aan troponine C; tropomyosine verschuift en maakt actine-myosine interactie en contractie mogelijk.
6. **Activve Ca^{2+}-re-uptake via SERCA**
   ATP-afhankelijke SERCA-pompen transporteren Ca^{2+} terug in het lumen van het sarcoplasmatisch reticulum, waarna de spier ontspant.

ZELFEVALUATIE & STRUCTUURIDENTIFICATIE

Noteer per genummerde structuur uit de illustratie de exacte fysiologische naam en de primaire rol in de elektromechanische koppeling.

1. Structuur 1 (Membraaninstulping / T-tubulus):
   Identificatie en functie bij membraandepolarisatie
2. Structuur 2 (DHPR):
   Type receptor en mechanisme van activatie
3. Structuur 3 (RyR1 / Terminale Cisterne):
   Kanaaltype en richting van Ca^{2+}-stroom
4. Structuur 4 (SERCA-pomp):
   Energietoevver en rol bij myocytenrelaxatie

Welke reactie volgt wanneer ATP uitgeput raakt in de spiervezel?

SERCA-pomp kan Ca^{2+} niet actief terugpompen en myosinekoppen blijven gehecht
De intracellulaire Ca^{2+}-spiegel bllijft verhoogd en myosine kan niet loskoppelen van actine, er ontstaat aanhoudende contractietoostand (rigor mortis).

ATP is voldoende aanwezig en SERCA werkt optimaal
Ca^{2+} wordt efficiënt terugpepompt naar het sarcoplasmatisch reticulum, troponine C verliest calcium, tropomyosine blokkeert myosine en relaxatie volgt.

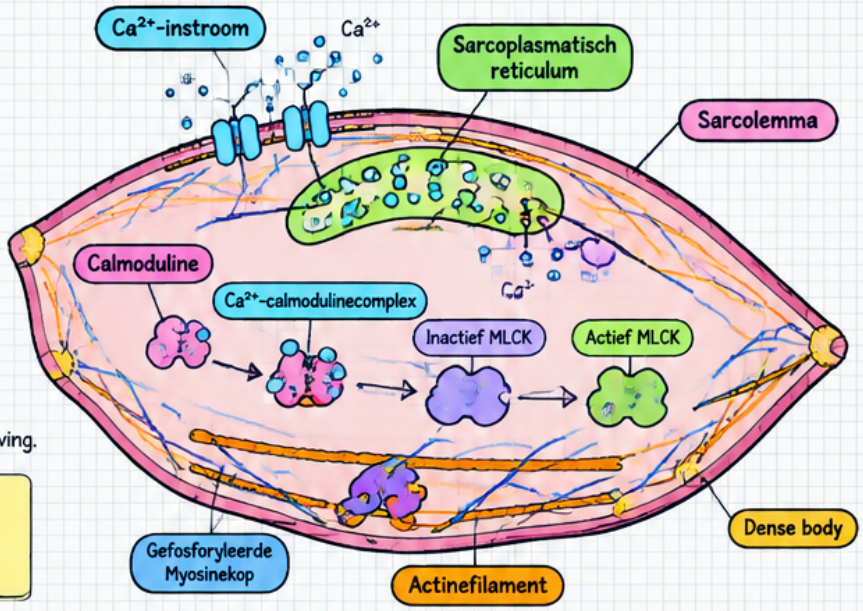
Let op: dit materiaal dient uitsluitend educatieve doeleinden en vervangt geen medische diagnose of advies.

GLADDE SPIERCELCONTRACTIE EN CALMODULINE-ACTIVATIE

GLADDE SPIERCEL: CONTRACTIEMECHANISME

In tegenstelling tot skelet- en hartspierweefsel bezitten gladde spiercellen geen regelmatige sarcomeren en ontbreekt microscopische dwarsstreping. Contractie wordt hier gereguleerd via een calcium-afhankelijke enzymatische keten met calmoduline en myosine lichte keten kinase (MLCK).

- Afwezigheid van troponine; calmoduline fungeert als de primaire intracellulaire calciumbinder.
- Actine- en myosinefilamenten lopen kriskras door het cytoplasma en hechten aan dense bodies (donkere lichamen).
- Regulatie vindt plaats op de myosinefilamenten via fosforylering in plaats van via troponine-verschuiving.

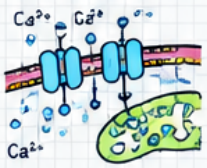


Educatieve Disclaimer
Dit leermateriaal is uitsluitend bestemd voor educatieve doeleinden en vormt geen medisch adviee, diagnose of behandelrichtlijn.

DE FYSIOLOGISCHE ACTIVATIEKETEN

Volg de sequentiële stappen van membraanexcitatie tot mechanische spanningsopbouw binnen de gladde spiercel.

1 Calcium-instroom (Ca^{2+})



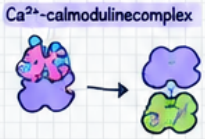
Na membraandepolarisatie of chemische prikkeling stroomt Ca^{2+} de cel binnen via sarcolemmaporiën en komt aanvullend vrij uit het sarcoplasmatisch reticulum.

2 Vorming Ca^{2+}-calmodulinecomplex



Vier calciumionen binden aan het eiwit calmoduline in het cytoplasma, waardour een conformatieverandering optreedt en het actieve complex ontstaat.

3 MLCK-activatie



Het Ca^{2+}-calmodulinecomplex bindt aan inactief Myosine Lichte Keten Kinase (MLCK). waardoor dit enzym direct katalytisch actief wordt.

4 Myosine-fosforylering



Actief MLCK draagt een fosfaatgroep van ATP over naar de regulerende lichte ketens op de myosinekoppen (MLC20).

5 Kruisbrugcyclus en Krachtontwikkeling



Gefosforyleerde myosinekoppen binden aan actinefilamenten en doorlopen herhaalde power strokes, waardoor de cel samentrekt tussen de dense bodies.

CONTROLE EN ZELFTEST: CONTRACTIE VS. RELAXATIE

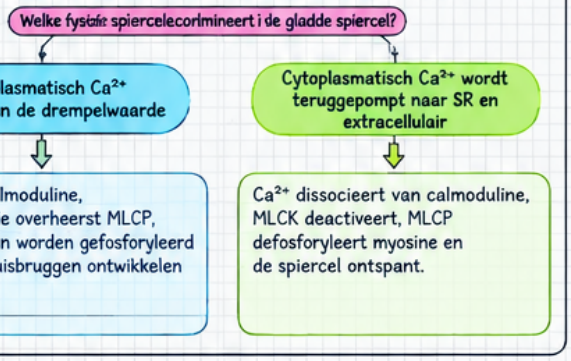
Gebruik onderstaande beslisstructuur en controlepunten om het evenwicht tussen contractie en relaxatie via MLCP (myosine lichte keten fosfatase) te bepalen.

- Hoge $[Ca^{2+}]i$ stimuleert MLCK en verovarzakt contractie.
- Lage $[Ca^{2+}]i$ activeert MLCP-dominantie en leidt tot defosforylering en spierontspanning.

Noteer de rol van Myosine Lichte Keten Fosfatase (MLCP) tijdens de relaxatiefase:

Vergelijk de calciumbronnen van gladde spiercellen met die van skeletspiercellen:

Welke fysiologische reactie domineert in de gladde spiercel?



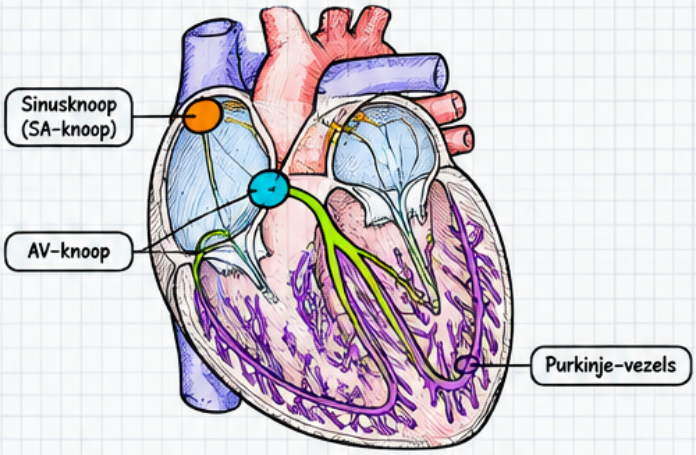
Educatieve Disclaimer
Dit leermateriaal is uitsluitend bestemd voor educatieve doeleinden en vormt geen medisch advies, diagnose of behandelrichtlijn.

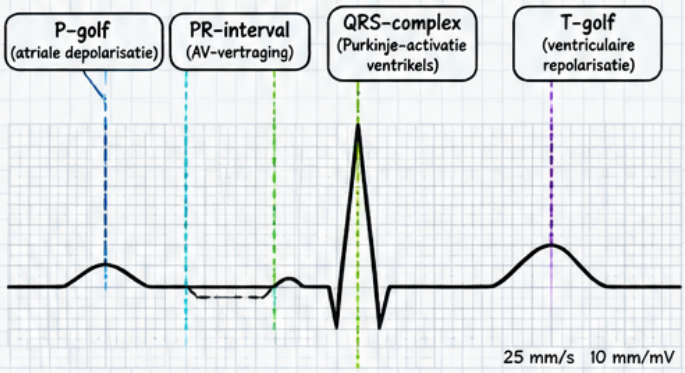
PRIKKELGELEIDING EN ECG-REGISTRATIE

Elektrofysiologie van de Hartslag: Van Sinusknoop tot ECG

Het hart bezit een gepecialiseerd intrinsiek prikkelgeleidingssysteem dat autonoom ritmische actiepotentialen opwekt en verspreidt door het myocard. In tegensteling tot skeletspieren heeft het hart geen externe stimulatie vanuit het zenuwstelsel nodig om samen te trekken. De sinusknoop (SA-knoop), gelegen in het bovenste deel van de wand van het rechteratrium, fungeert als de natuuriljke gangmaker (pacemaker) van het hart. Cellen in de sinusknoop vertonen een continue spontane diastolische depolarisatie (de pacemakerpotentiaal). Dit proces wordt primair aangedreven door de zogeheten 'funny current' (I_f) via HCN-ionkanalen die openen bij hyperpolarisatie en natriumionen laten instromen, geoolgd door een gecontroleerde instroom van calcium via T-type en L-type calciumkanalen tordat de drempelwaarde voor een actiepotentiaal wordt bereikt.

- **Sinusknoop (SA-knoop):** de primaire gangmaker die de intrinsieke hartslagfrequentie bepaalt (circa 60–100 slagen/min in rust).
- **AV-knoop vertraging:** zorgt voor een korte elektrofysiologische pauze zodat de boezems het bloed volledig in de ventrikels kunnen ledigen.
- **Bundel van His en Purkinje-vezels:** verzorgen een snelle spreiding van de prikkel vanaf het septum via de apex naar de basis van de ventrikels.
- **Oppervlakte-ECG:** registreert de som van alle cardiale depolarisatie- en repolarisatievectoren via elektroden op het lichaam.





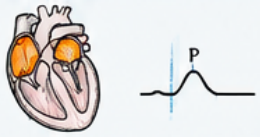
Belangrijke educatieve disclaimer

Deze fysiologiekaart dient uitsluitend voor educatieve en instructieve doeleinden en vervangt op geen enkele wijze professioneel medisch advies, klinische beoordeling of formele hartritmediagnostiek.

Geleidingsfasen en Corresponderende ECG-Curven

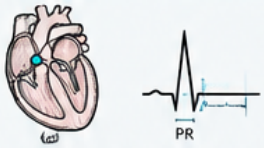
Elke specifieke elektrische gebeurtenis in het prikkelgeleidingssysteem produceert een herkenbare afwijking op het standaard elektrocardiogram (ECG). Door de anatomische route van de prikkel te koppelen aan de tijd-spanningsgrafiek van het ECG, wordt inzichtelijk hoe hartritmes fysiologisch tot stand komen.

1 Atriale Depolarisatie en P-golf



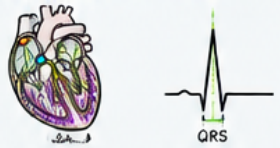
De impuls vertrekt vanuit de sinusknoop en depolariseert beide atria. Op het ECG tekent zich de P-golf af. De atria trekken samen (atriale systole).

2 AV-knoop Vertraging en PR-segment



De elektrische stroom bereikt de atrioventriculaire knoop (AV-knoop). Hier wordt de geleiding fysiologisch met circa 0,12 seconde vertraagd (zichtbaar als de isoelektrische lijn in het PR-interval).

3 Ventriculaire Depolarisatie en QRS-complex



De prikkel passeert de **bundel van** His, splitst in linker- en rechterbundeltak en verspreidt zich razendsnel via de Purkinje-vezels. Dit triggert de gelijktijdige depolarisatie van beide ventrikels (QRS-complex). Atriale repolarisatie vindt gelijktijdig plaats maar verdwijnt in de amplitude.

4 Ventriculaire Repolarisatie en T-golf



Na de plateaufase van de ventriculaire actiepotentiaal (het isoelektrische ST-segment) repolariseert het ventriculaire myocard vanuit het epicardium naar het endocardium, wat resulteert in de T-golf.

ECG-Ritmestrook Fysiologische Analyse

Gebruik dit gerichte werkblad om een ECG-segment systematisch te ontleden op basis van elektrofysiologische principes.

- Stap 1: Lokaliseer elke P-golf en controleer of elke P-golf wordt gevolgd door een QRS-complex (sinusritme).
- Stap 2: Beoordeel het PR-interval (normaal 120–200 ms) ter controle van de AV-geleiding.
- Stap 3: Meet de duur van het QRS-complex (normaal < 120 ms) ter evaluatie van intraventriculaire geleiding.
- Stap 4: Beoordeel de oriëntatie en vorm van de T-golf ten opzichte van het QRS-complex.

Belangrijke educatieve disclaimer

Deze fysiologiekaart dient uitsluitend voor educatieve en instructieve doeleinden en vervangt op geen enkele wijze professioneel medisch advies, klinische beoordeling of formele hartritmediagnostiek.

Praktische studietip

Onthoud dat het ECG elektrische activiteit weergeeft en geen mechanische pompkracht meet; depolarisatie initieert de contractie, maar is er niet synoniem mee (elektromechanische koppeling).

Geobserveerde P-golf morfologie en atriale frequentie:

Gemeten PR-interval (snelheid van AV-knoop doorgifte):

QRS-complex breedte en vorm (Purkinje-activatie):

Fysiologische conclusie van de waargenomen cyclus:

CARDIALE CYCLUS: WIGGERS-DIAGRAM EN DRUK-VOLUME RELATIES

De Cardiale Cyclus in Beeld

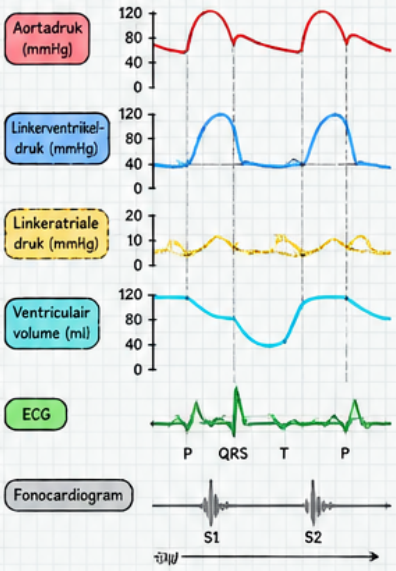
De cardiale cyclus beschrijft de synchrone mechanische, elektrische en valvulaire gebeurtenissen tijdens één hartcyclus. Het Wiggers-diagram en de linkerventrikel druk-volumelus (PV-loop) tonen gezamenlijk hoe drukgradiënten de opening en sluiting van hartkleppen sturen en het slagvolume genereren.

- **Systole:** actieve ventriculaire contractie en ejectie via de geopende aortaklep.
- **Diastole:** ventriculaire ontspanning en hernieuwde vulling via de geopende mitralisklep.
- **Passieve klepmechaniek:** kleppen openen en sluiten uitsluitend onder invloed van transvalvulaire drukgradiënten.

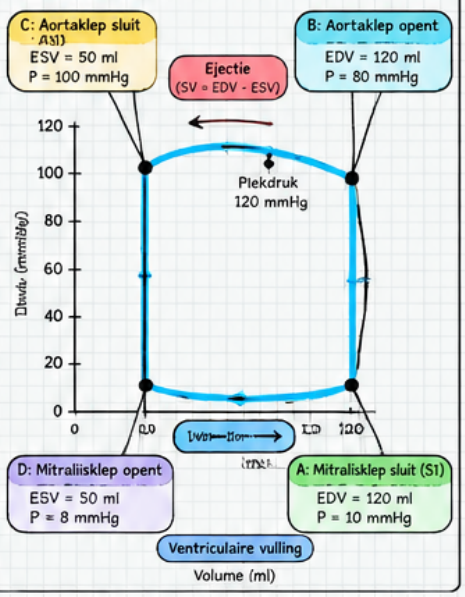
Educatieve Disclaimer

Deze fysiologische illustratie en begeleidende leerteksten dienen uitsluitend voor anatomisch en fysiologisch onderwijs. Het materiaal vormt geen medische diagnose, behandelrichtlijn of klinisch behandeladvies.

Wiggers-diagram



Linkerventrikel PV-lus



Fasen van de Linkerventrikelcyclus

Tijdens een fysiologische cyclus doorloopt de linkerkamer vier opeenvolgende fasen die nauwkeurig gecorreleerd zijn aan de harttonen, ECG-potentialen en drukcurven.

1 Ventriculaire Vulling (D naar A)

Wanneer de ventrikeldruk onder de atriale druk zakt, opent de mitralsklep (punt D). Bloed stroomt passief de ventrikel in, afgesloten door atriale systole (P-top op het ECG). De ventrikel beeft het eind-diastolisch volume (EDV, ca. 120 ml bij punt A).

2 Isovolumetrische Contractie (A naar B)

De ventrikel contraheert (QRS-complex). De druk stijgt abrupt boven de atriale druk; de mitralisklep sluit (eerste harttoon S1 bij punt A). Alle kleppen zijn gesloten. De ventrikeldruk stijgt vertiacal van circa 10 mmHg tot 80 mmHg zonder volumeverandering.

3 Ventriculaire Ejectie (B naar C)

Zodra de ventrikeldruk de diastolische aortadruk (ca. 80 mmHg) overstijgt, opent de aortaklep bij punt B. Tijdens de uitdrijving stijgt de druk naar een piek van ca. 120 mmHg en daalt vervolgens naar ca. 100 mmHg, terwijl het volume afneemt van EDV naar ESV (ca. 50 ml bij punt C).

4 Isovolumetrische Relaxatie (C naar D)

Wanneer de ventrikel ontspant en de druk onder de aortadruk zakt, slaat de aortaklep dicht (tweede harttoon S2 bij punt C). Alle kleppen zijn weer gesloten. De druk daalt verticcal bij een constant ESV (ca. 50 ml) tot onder de atriale druk (punt D).

Welke valvulaire gebeurtenis bepaalt de overgang tussen vulling en contractie?

- Mitralisklep sluit (ventrikeldruk > atriale druk) → Einde van diastole; start van isovolumetrische contractie (eerste harttoon S1, markering A op de PV-lus).
- Aortaklep opent (ventrikeldruk > aortadruk) → Einde van isovolumetrische contractie; aanvang van ventriculaire ejectie en bloeduitstoot in het arteriële stelsel.

Analyse van de PV-Lus (Druk-Volumelus)

De linkerventrikel druk-volumerelatie (PV-loop) vormt een gesloten lus die tegen de klok in wordt doorlopen. De breedte van de lus representeert exact het slagvolume (SV = EDV - ESV, typisch ca. 70 ml).

1. Hoekpunt A (Rechtsonder, EDV ~120 ml, P ~10 mmHg): Mitralisklep sluit (S1); markeert het einde van de vullingsfase.
2. Verticale lijn A -> B: Isovolumetrische contractie omhoog naar aortadruk (ca. 80 mmHg) bij constant EDV.
3. Hoekpunt B (Rechtsboven, EDV ~120 ml, P ~80 mmHg): Aortaklep opent zodra ventrikeldruk de aortadruk overstijgt.
4. Bovenste curve B -> C: Ejectiefase; volume neemt naar links af (van EDV naar ESV) met een piekdruk van ca. 120 mmHg.
5. Hoekpunt C (Linksboven, ESV ~50 ml, P ~100 mmHg): Aortaklep sluit (S2); markeert het einde van de ejectie.
6. Verticale lijn C -> D: Isovolumetrische relaxatie omlaag bij constant ESV.
7. Hoekpunt D (Linksonder, ESV ~50 ml, P ~5-10 mmHg): Mitralisklep opent; start van de diastolische vulling naar rechts richting A.

Zelfcontrole: Hemodynamiek & Klepmechanica

Toets uw inzicht in de synchronisatie van het Wiggers-diagram en de druk-volumerelatie met behulp van ondetstaande analysevragen.

1. Welke klepsluiting veroonzaakt het ontstaan van de eerste harttoon (S1) bij hoekpunt A?
2. Wat is het berekende slagvolume (SV) wanneer EDV = 130 ml en ESV = 55 ml?
3. Waarom verandert het vloeistofvolume in de kamer niet tijdens fase C -> D?

Educatieve Disclaimer

Deze fysiologische illustratie en begeleidende leerteksten dienen uitsluitend voor anatomisch en fysiologisch onderwijs. Het materiaal vormt geen medische diagnose, behandelrichtlijn of klinisch behandeladvies.

MICROCIRCULATIE EN STARLING-KRACHTEN: MECHANISME EN ANALYSE

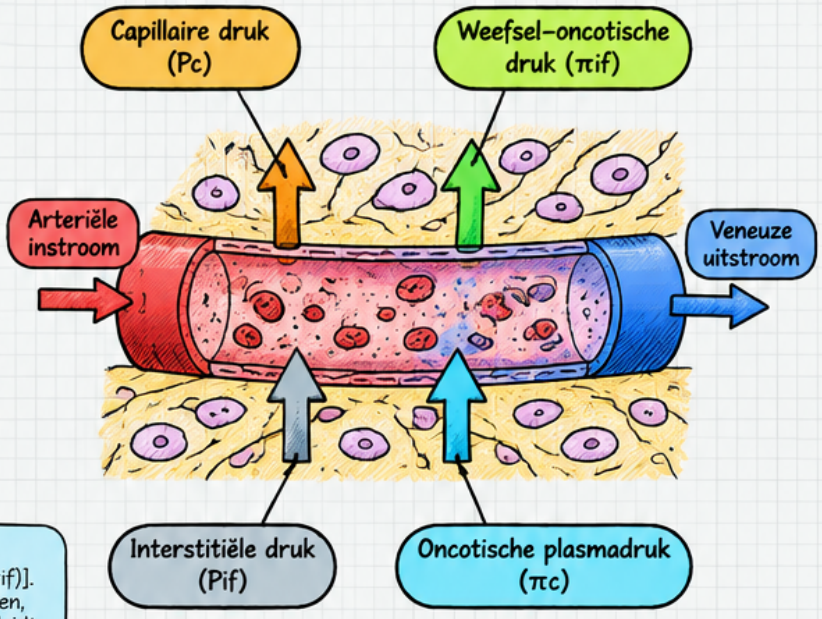
MICROCIRCULATIE EN VLOEISTOFUITWISSELING

In het vaatbed vindt de daadwerkelijke uitwisseling van voedingsstoffen, gassen en vocht plaats ter hoogte van de capillairen. De vloeistofbeweging over de semi-permeabele capillaire wand wordt aangedreven door het samenspel van vier drukkrachten, gezamenlijk bekend als de Starling-krachten. Een evenwicht tussen filtratie aan de arteriële zijde en absorptie aan de veneuze zijde zorgt voor een stabiel interstitieel volume.

- **Capillaire hydrostatische druk (Pc):** perst vocht vanuit het lumen naar het interstitium.
- **Interstitiële hydrostatische druk (Pif):** biedt tegendruk vanuit de weefselspleet (vaak nabij nul of licht negatief).
- **Plasmadruk collöid-osmotisch (πc):** trekt water terng het vat in dankzij plasma-eiwitten zoals albumine.
- **Interstitiële collöid-osmotische druk (πif):** trekt een kleine fractie vocht naar buiten door weefseleiwitten.

Starling-vergelijking in de praktijk
Netto vloeistofstroom = Kf · [(Pc − Pif) − σ(πc − πif)]. Wanneer Pc stijgt of πc daalt onder kritieke waarden, overtreft de filtratie de lymfeafvoercapaciteit, wat leidt tot oedeemvorming.

STARLING KRACHTEN



STAPSGEWIJZE BEREKENING VAN NETTO FILTRATIEDRUK

Volg deze analytische stappen om te bepalen of een capillair bed netto vocht filtreert of resorbeert bij een fysiologische meetwaarde.

1 Bepaal de hydrostatische gradiënt (ΔP)
Trek de weefseldruk af van de bloeddruk in het capillair: ΔP = Pc − Pif.
Noteer de resulterende druk in mmHg.
ΔP = _____ mmHg

2 Bepaal de oncotische gradiënt (Δπ)
Trek de interstitiële oncotische druk af van de plasmacollöid-osmotische druk: Δπ = πc − πif.
Δπ = _____ mmHg

3 Bereken de netto aandrijvende druk (NFP)
Bereken NFP = ΔP − (σ · Δπ). Bij een standaard capillair met reflectiecoëfficiënt σ ≈ 1 geldt: NFP = (Pc − Pif) − (πc − πif).
NFP = _____ mmHg

4 Interpreteer de stromingsrichting
Een positieve NFP betekent netto filtratie (uitwaarts). Een negatieve NFP resulteert in netto absorptie (inwaarts richting capillair).
Resultaat: _____

KLINISCHE DIFFERENTIATIE BIJ OEDEEMMECHANISMEN

Gebruik dit beslisschema om te bepalen welk Starling-mechanisme primair verstoord is bij toegenomen interstitieel vocht.

Welke primaire parameterverandering vorovrzaakt de toegenomen vochtophoping in het weefsel?

Verhoogde veneuze tegendruk of hypervolemie
Pc stijgt direct: overweeg hartfalen, diepe veneuze trombose of overmatige infuustoediening als oorzaak van verhoogde filtratie.

Verlaagd serumalbumine door synthesestoornis of verliee
πc daalt significant: onderzock levercirrose, proteïne-verliezende enteropathie of nefrotisch syndroom.

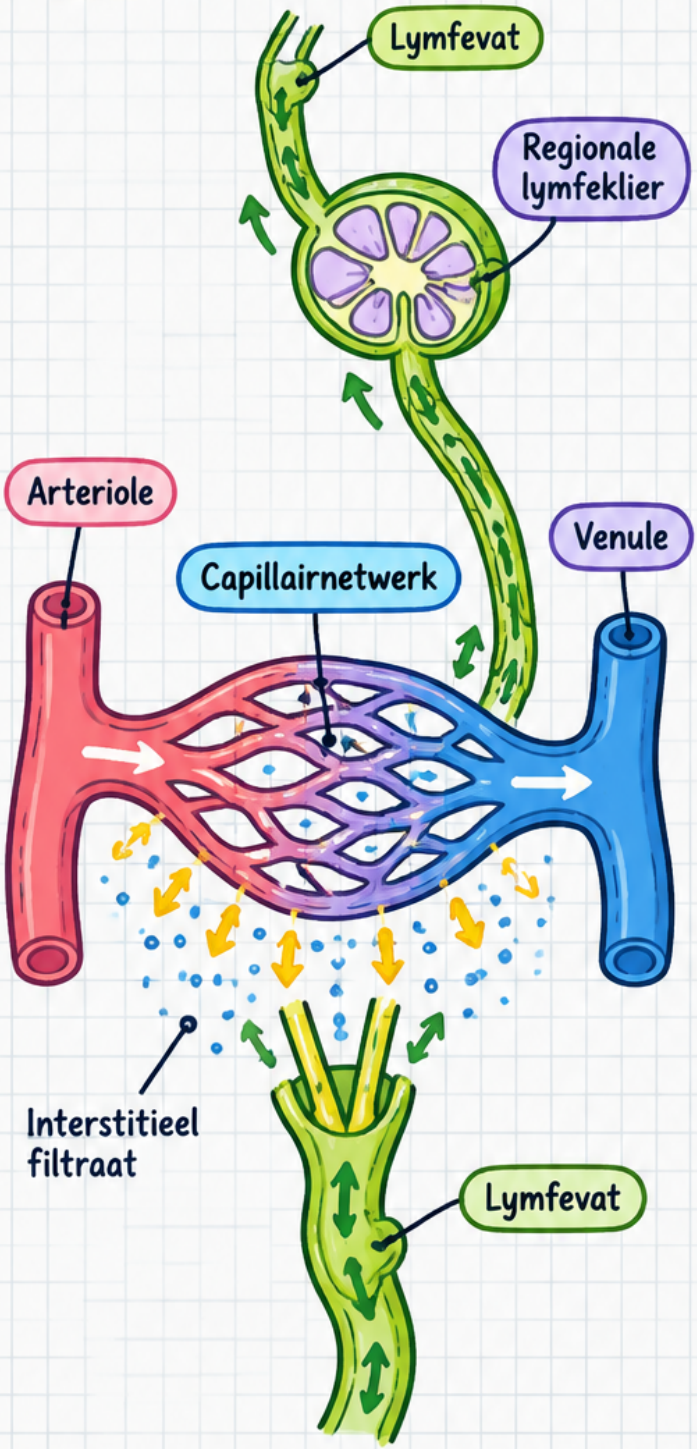
Lokale ontstekiingsreactie of histaminevrijgave
Capillaire permeabiliteit stijgt (σ daalt) en πif stijgt: vloeistof en eiwit lekken versneld naar de weefsels.

Mechanische obstructie van regionale lymfevaten
De normale teruggave van gefiltreerd vocht en eiwit stagneert: analyeser lymfoedeem na resectie of bestraling.

Deze informatie is uitsluitend bedeeld voor educatieve doeleinden en vervangt geen professioneel medisch advies.

CAPILLAIRE FILTRATIEBALANS: WERKBLAD EN OEFENCASUS

Lymfestelsel: afvoer van overtollig interstitieel filtraat



Werkblad: Fysiologische Analyse van Capillaire Vloeistofbalans

Vul de gemeten of theoretische parameters in om het lokale microvasculaire evenwicht van een patiëntencasus vast te leggen.

Belangrijke Richtlijn

Dit leermateriaal dient louter voor academische en educatieve doeleinden en is niet bedoeld als diagnostisch of behandeladvies.

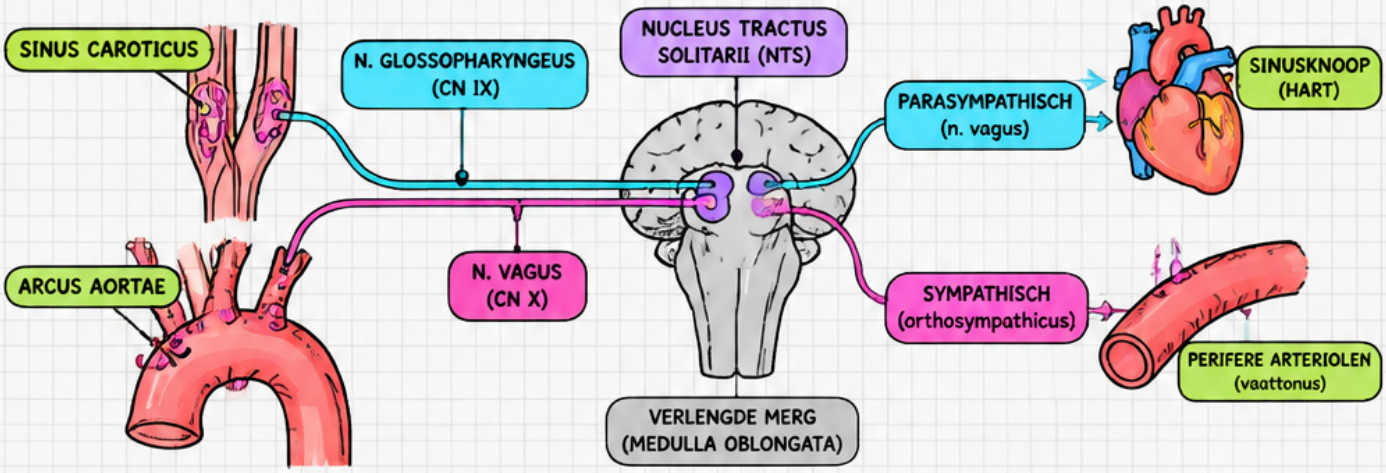
Capillaire hydrostatische druk arteriële zijde (Pc art, mmHg):

Capillaire hydrostatische druk veneuze zijde (Pc ven, mmHg):

Plasmabloedspiegel albumine en geschatte collöid-osmotische druk (πc, mmHg):

Berekende netto filtratiedruk en geobserveerde lymfatische compensatie:

BARORECEPTORREFLEX



Fysiologie in Beeld: Negatieve Terugkoppeling van de Baroreceptorreflex

Cardiovascuaire Homeostase: De Baroreceptorreflex

De baroreceptorreflex is een snel autonoom negatief terugkoppelingsmechanisme dat schommelingen in de arteriële bloeddruk corrigeert om weefselperfusie en cerebrale doorbloeding stabiel te houden. Reksensoren in de vaatwand van de sinus caroticus en aortaboog registreren rekveranderingen die evenredig zijn aan de pulsatiele bloeddruk.

- **Sensoren:** Mechanoreceptoren in de sinus caroticus (bifurcatie arteria carotis interna/communis) en de arcus aortae.
- **Afferente banen:** Nervus glossopharyngeus (hersenzenuw IX, sinus caroticus) en nervus vagus (hersenzenuw X, aortboog).
- **Regelcentrum:** Nucleus tractus solitarii (NTS) in het verlengde merg (medulla oblongata).
- **Efferente respons:** Parasympathische stimulatie naar het hart (via n. vagus) en orttosympathische modulatie naar myocardium en arteriolen (vaattonus).

Educatieve Medische Disclaimer

Dit leermateriaal is uitsluitend bestemd voor fysiologie-onderwijs en zelfstudie. Het vormt geen medisch behandeladvies, klinische richtlijn of vervanging van professionele diagnose.

Stapsgewijze Signaalketen bij Acute Bloeddrukstijging

Wanneer de systemische arteriële bloeddruk plotseling toeneemt, activeert het verlengde merg een gecoördineerde autonome respons om de rustwaarden te herstellen.

1 — Rekdetectie in Sinus en Aortaboog

Verhoogde arteriële wandspanning rekt de zenuwuiteinden van de baroreceptoren uit, wat leidt tot een hogere depolarisatiefrequentie van actiepotentialen.



2 — Afferente Transmissie naar het Verlengde Merg

Actiepotentialen reizen via de n. glossopharyngeus (sinuszenuw van Hering) en n. vagus naar de nucleus tractus solitarii (NTS) in de medulla oblongata.



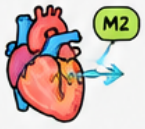
3 — Centrale Integratie in Medullaire Kernen

Excitatie van de NTS stimuleert de nucleus ambiguus en dorsale vagale motorische kern (parasympathicus) en inhibeert tegelijkertijd de rostrale ventrolaterale medulla (sympathicus).



4 — Efferente Parasympathische Activatie

Verhoogde vagale acetylcholine-afgifte op muscarinerge receptoren (M2) in de sinusknoop en AV-knoop verlaagt de hartfrequentie (negatief chronotroop).



5 — Remming van Sympathische Vasomotorische Tonus

Verminderde noradrenaline-afgifte op alfa-1-adrenerge receptoren zorgt voor systemische vasodilatatie, daling van de perifere weerstand en daling van het slagvolume.



6 — Herstel van de Bloeddrukhomeostase

De gecombineerde daling in slagvolume, hartfrequentie en totale perifere vaatweerstand (TPW) brengt de geïnduceerde arteriële druk terug binnen het streefpunt.



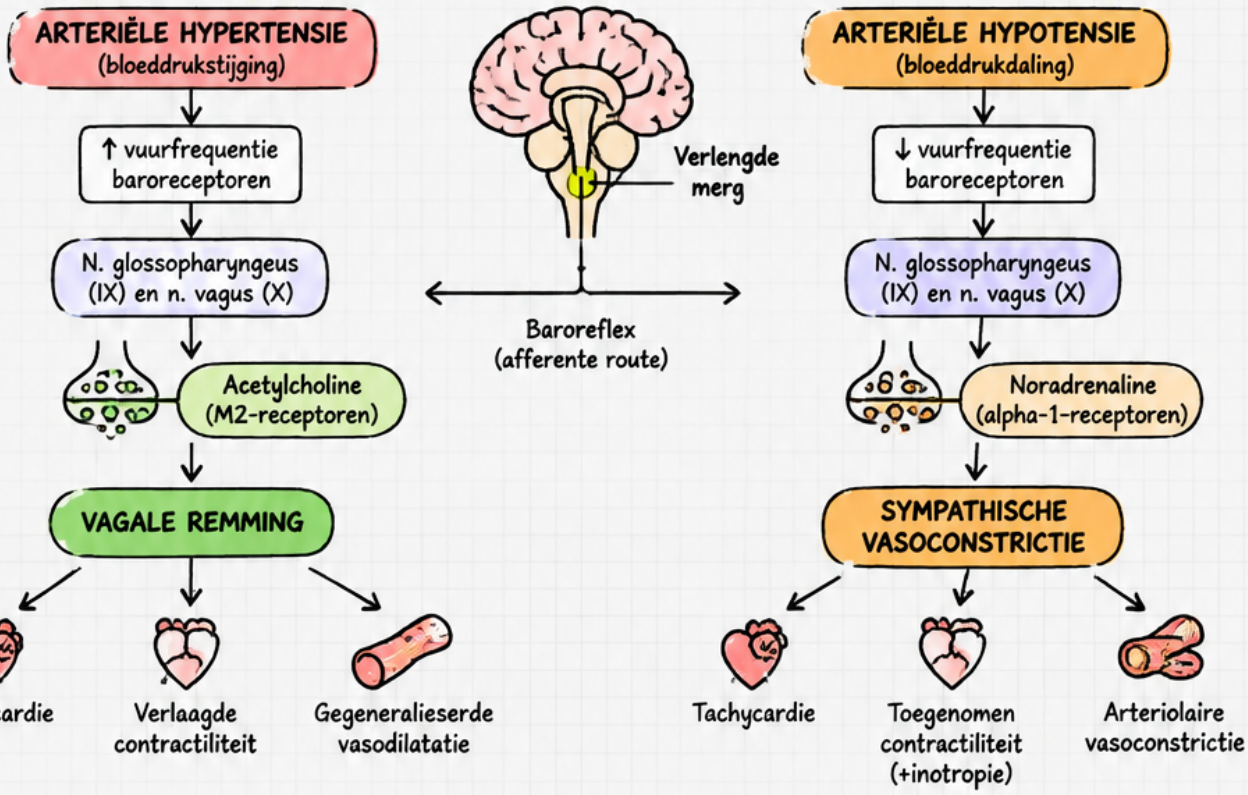
Educatieve Medische Disclaimer

Dit leermateriaal is uitsluitend bestemd voor fysiologie-onderwijs en zelfstudie. Het vormt geen medisch behandeladvies, klinische richtlijn of vervanging van professionele diagnose.

REGELMECHANISMEN EN TOEPASSING: VASOMOTORIEK EN AUTONOME RESPONS

Beslisboom: Reflexrespons bij Variaties in Arteriële Druk

Gebruik dit beslisschema om de reflexmatige respons van het autonove zenuwstelel bij acute drukveranderingen de bepalen.



Werkblad: Fysiologische Zelfstudie en Signaalanalyse

Noteer de specifieke recepteren, neuntransmitters en fysiologische gevolgen van de reflexboog tijdens klinische situaties zoals de Valsalva-manoeuvre of plotse opstaan.

Aandachtspunt Zelfevaluatie

Let op het verschil tussen kortetermijn-regulatie via de baroreflex (seconden) en langetermijnregulatie via het renine-angiotensine-aldosteronsysteem (uren tot dagen).

Welke hersenzenuw verzorgt afferente geleiding vanuit de sinus caroticus?

Effect van acute vagale stimulatie op geleidingstijd door de AV-knoop:

Neurotransmitter en receptortype betrokken bij arteriolaire vaattonusregulatie:

Klinisch observatiepunt: orthostatische reactie bij overgang van lig naar stand:

Deze materialen zijn uitsluitend bedoeld voor educatieve doeleinden.

Fysiologie: Pulmonale Drukveranderingen en Ventilatie

PULMONALE VENTILATIE

Mechanica van In- en Uitademing

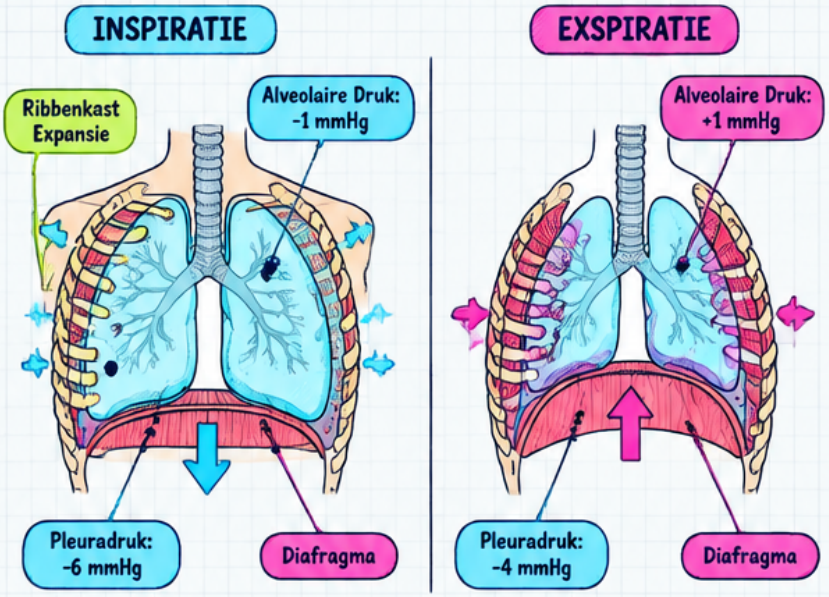
Pulmonale ventilatie berust op volumeveranderingen in de **thoraxholte** die drukgradiënten creëren tussen de atmosfeer en de alveoli. Volgens de **wet van Boyle** ($P_1 \cdot V_1 = P_2 \cdot V_2$) verandert de druk van een gas omgekeerd evenredig met het volume bij een constante temperatuur. Wanneer de thorax uitzet, daalt de intrapulmonale druk onder de atmosferische druk en stroomt lucht naar binnen. Bij relaxatie veert het longweefsel passief terug, stijgt de druk en verlaat lucht het lichaam.

Belangrijke Drukverhoudingen

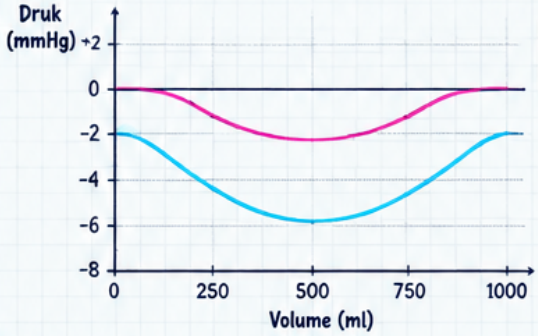
De transmurale druk (transpulmonale druk = $P_{pul} - P_{ip}$) moet altijd positief blijven om de longblaasjes open te houden. Luchtlekkage in de pleuraholte (pneumothorax) heft deze negatieve druk op, waardoor de long elastisch inklapt.

- **Inspiratie (actief proces)**: diafragma vlakt af naar caudaal; externe intercostaalspieren heffen de ribbenkast naar ventrocraniaal.
- **Intrapleurale druk (P_{ip})**: bedraagt in rust circa −4 mmHg t.o.v. de atmosferische druk (−4 cmH_2O tot −7 cmH_2O) en voorkomt longcollaps.
- **Intrapulmonale druk (P_{pul})**: daalt tijdens rustige inademing tot −1 mmHg, waardoor ongeveer 500 ml lucht (teugvolume) binnenstroomt.
- **Exspiratie (rust, passief proces)**: elastische vezels veren terug, intrapulmonale druk stijgt tot +1 mmHg en lucht stroomt uit.

WET VAN BOYLE



Druk- en Volumeveranderingen



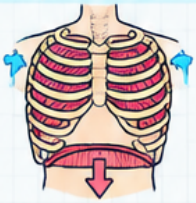
Wet van Boyle

$P_1 \cdot V_1 = P_2 \cdot V_2$

(bij constante temperatuur)

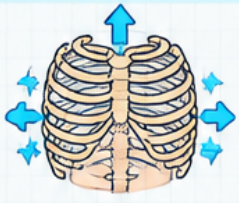
Stappen van de Ademhaling

1 Contractie inspiratiespieren



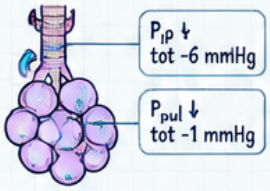
De nervus phrenicus activeert het diafragma. De spierkoepel daalt 1 tot 1,5 cm af en de externe intercostalen trekken de ribben omhoog en naar buiten.

2 Vergroting thoraxvolume



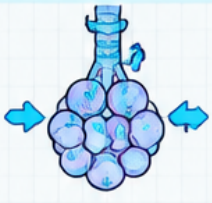
Het volume van de borstholte neemt toe in sowel verticale als voor-achterwaartse richting.

3 Drukval in de pleuraholte en alveoli



De pleura parietalis trekt via het pleuravocht de pleura visceralis mee. P_{ip} daalt tot circa −6 mmHg; P_{pul} daalt tot circa −1 mmHg.

4 Luchtinstroom tot evenwicht



Atmosferische lucht stroomt via de luchtwegen de longen in tot P_{pul} weer gelijk is aan de atmosferische druk (0 mmHg verschil).

Welk type ventilatie treedt op?

Rustige ademhaling (eupneu)

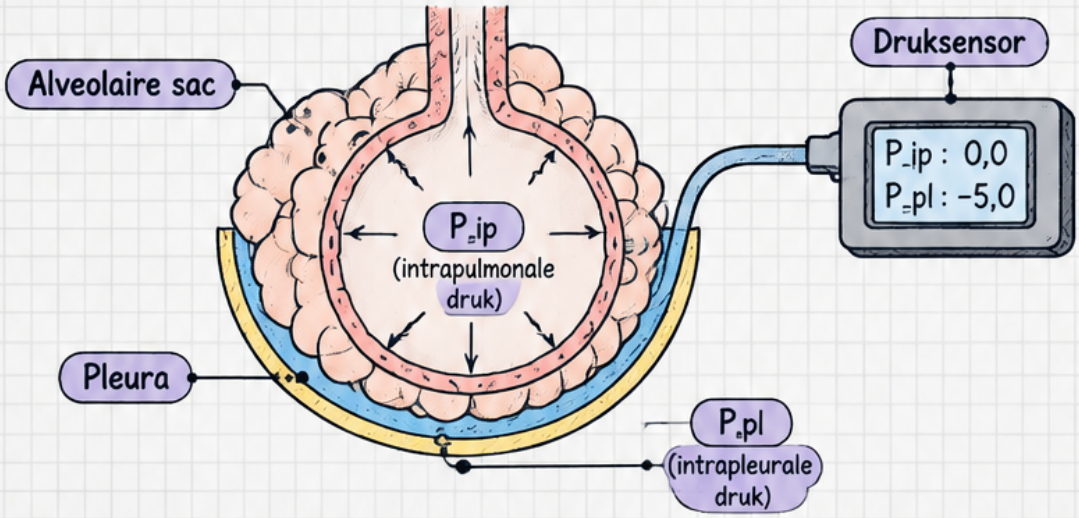
Inademing verloopt uitsluitend via diafragma en externe intercostalen; uitademing verloopt passief via elastische retractie van het longweefsel.

Geforceerde ademhaling (hyperfequente/diepe ademhaling)

Inspiratoire hulpspieren (m. sternocleidomastoideus, scaleni) heffen extra; actieve uitademing vereist interne intercostalen en rechte/schuine buikspieren.

Deze informatie is uitsluitend bedeeld voor educatieve doeleinden en vervangt geen professioneel medisch advies.

FYSIOLOGIE WERKBLAD: ADEMHALINGSMECHANICA



ZELFSTUDIE & WERKRUIMTE: DRUKMETINGEN ANALYSEREN

Gebruih onderstaande werkvelden om de gemeten of berekende ademhalingsparameters te documenteren tijdens een practicum of casusstudie.

- ☐ Verifieer steeds of de berekende transpulmonale druk positief blijft over de gehele cyclus.
- ☐ Vergelijk rustwaarden met geforceerde meetwaarden om het effect van spieractiviteit te analyseren.

Gemeten teugvolume (Vt) in ml bij normale rustademhaling:

Berekende transpulmonale druk bij piekinspiratie (P_pul − P_ip):

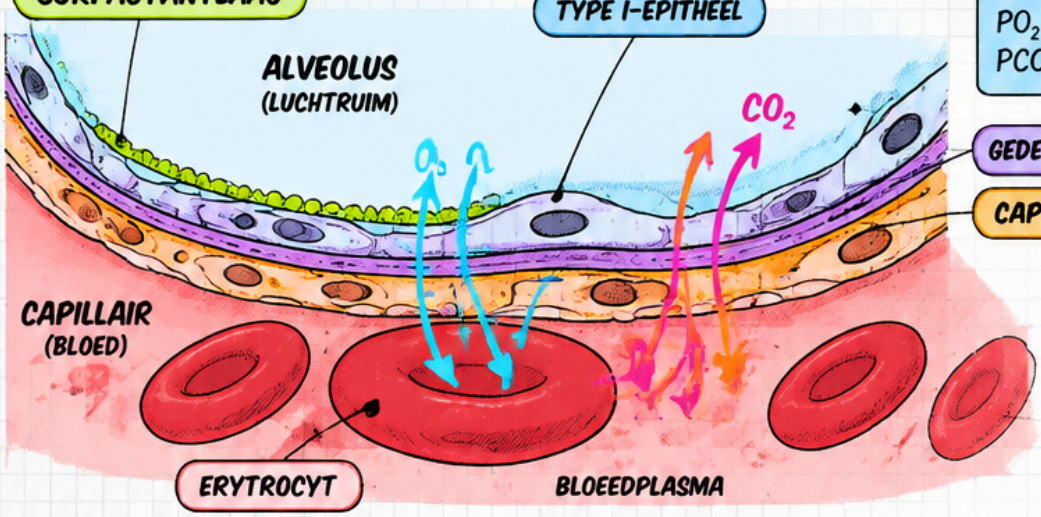
Observatie thoraxbeweging bij geforceerde uitademing (betrokken hulpspieren):

Conclusie ten aanzien van de compliantie en luchtstroomweerstand:

Educatieve Disclaimer

Dit overzicht dient uitsluitend voor anatomisch en fysiologisch onderwijs. Het is geen medisch diagnostisch instrument noch een vervanging voor klinisch handelen of medisch advies.

ALVEOLAIRE GASWISSELING EN DIFFUSIEBARRIÈRE



Alveolair:
PO_2 = 104 mmHg
PCO_2 = 40 mmHg

Capillair bloed (veneus instroom):
PO_2 = 40 mmHg
PCO_2 = 45 mmHg

RESPIRATOIRE MEMBRAAN EN DIFFUSIEMECHANISMEN

De alveolaire gaswisseling vindt plaats over een uiterst dunne **respiratoire membraan** (circa 0,5 micrometer) die het alveolaire lumen scheidt van het bloedplasma in de longcapillairen. Deze passieve diffusie van zuurstof (O_2) en koolstofdioxide (CO_2) volgt strikt de wet van Fick en wordt aangedreven door partiële drukgradiënten tussen alveolaire lucht en capillair bloed.

- **Surfactantlaag:** verlaagt de oppervlaktespanning en voorkomt collaps van de alveoli tijdens expiratie.
- **Alveolair type I-epitheel:** extreem afgeplatte dekcellen die het overgrote deel van het gaswisselingsoppervlak vormen.
- **Gedeelde basaalmembraan:** versmelting van de epitheliale en endotheliale basale laminae tot een minimale diffusieafstand.
- **Capillair endotheel:** dunne endotheelcellen die de erytrocyten op minimale afstand langs de gasbarrière geleiden.

Educatieve Disclaimer

Dit overzicht dient uitsluitend voor anatomisch en fysiologisch onderwijs. Het bevat geen medisch advies, klinische beoordelingen of behandelrichtlijnen.

DIFFUSIE EN DRUKGRADIËNTEN VOLGENS DE WET VAN FICK

De diffusiesnelheid over het membraan is recht evenredig met het diffusieoppervlak en het partiële drukverschil, en omgekeerd evenredig met de membraandikte. Daarnsast bepaalt de diffusiecoëfficiënt van het gas (oplosbaarheid gedeeld door de wortel van het molecculgewicht) de effectieve uitwisseling.

- **Zuurstofgradiënt:** Alveolaire PO_2 (ca. 100-104 mmHg) versus veneuze instroom PO_2 (ca. 40 mmHg) resulteert in een sterke netto-instroom van O_2 in het bloed.
- **Koolstofdioxidegradiënt:** Veneuze PCO_2 (ca. 45-46 mmHg) versus alveolaire PCO_2 (ca. 40 mmHg) drijft de CO_2-diffusie naar het alveolaire lumen.
- **Oplosbaarheid en compensatie:** Hleevel de drukgradiënt voor CO_2 klein is (ca. 5-6 mmHg), diffundeert CO_2 circa 20 maal sneller dan O_2 door de aanizlelijk hogere oplosbaarheid in vloeistof.
- **Passagetijd:** Volledige evenwichtsinstelling tussen capillair bloed en alveolaire lucht wordt reeds bereikt binnen circa 0,25 tot 0,3 seconden van de totale capillaire passietijd (ca. 0,75 seconden in rust).

STAP-VOOR-STAP TOEPASSING



Stap 1: Ventilatie en alveolaire bevochtiging

Ingeademde lucht bereikt de alveolaire rumstes en mengt zich met de functionele residuele capaciteit, wat veulesert in een stabiele alveolaire gasconstellatie (PO_2 circa 100 mmHg, PCO_2 circa 40 mmHg).



Stap 2: Oplossing in de waterige surfactantfilm

Gasmoleculen passeren het dunne vloeistoffilmje waarin dipalmitoylfosfatidylcholine (surfactant) de oppervlaktespanning reduceert en hydratatie van het epitheel handhaaft.



Stap 3: Membraanpassage via passieve diffusie

O_2 en CO_2 passeren opeenovlgend het type I-pneumocyt, het gefuseerde basale membraan en de endotheliale celwand zonder actief energieverbuik.



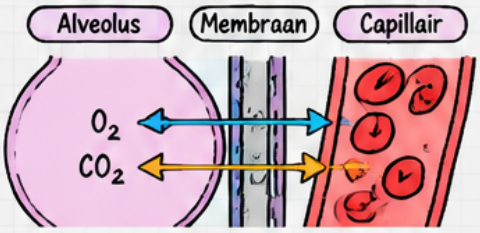
Stap 4: Binding aan hemoglobine en plasmatransport

Zuurstof lost kort op in het bloedplasma en bindt direct aan hemoglobine in erytrocyten, zerwijl CO_2 aanuit bicarbonaat en carbo-amino-verbindingen vrijkomt en diffundeert naar de longblaasjes.

Dit overzicht dient uitslluitend voor anatomisch en fysiologisch onderwijs. Het bevat geen medisch advies, klinische beoordelingen of behandelrichtlijnen.

DIFFUSIEANALYSE & OEFENBLAD

Fick's Wet van Diffusie



$$\text{Flux} = \frac{(\text{Diffusieoppervlak} \times \text{Drukverschil})}{\text{Membraandikte}}$$

- MEMBRAANDIKTE
- DIFFUSIE-OPPERVLAK
- PARTIËLE DRUKGRADIËNT

Analyse van Verstoorde Diffusiecondities

Evalueer hoe structurele of fysiologische veranderingen de gaswisseling conform de wet van Fick beïnvloeden en bepaal de directe fysiologische impact.

Welke fysiologische factor in de diffusiebarrière is primair verandeed?

Vergroting van de diffusieafstand (o.a. interstitieel longoedeem of fibrose)	Verlies van functioneel diffusieoppervlak (o.a. destructie van septa bij emfyseem)	Daling van de drijvende partiële zuurstofdrukgradiënt (hooggebergte of hypoventilatie)
Diffusiesnelheid van O_2 daalt disproportioneel voreg door de lagere oplosbaarheiid; hypoxemie ontstaat voordat hypercapnie optreedt.	Totale transfercapaciteit voor sowel O_2 als CO_2 neemt af; capillaire reserve-uitwisselingstijd bij inspanning schiet tekort.	Afname van het alveolair-capillair drukverschil vertraagt de netto flux naar het bloed; veeaist compensatoire hyperventlatie of verhoogde perfusie.

Zelfstudie Werkblad: Fysiologische Berekening en Evaluatie

Noteer hieronder de specifieke observaties en waarden voor het analyseren van diffusiegradiënten en membraaneigenschappen in oefencasussen.

- Bereken de drijvende drukgradiënt (Delta-P) voor zuurstof en koolstofdioxide.
- Verifieer de invloed van membraandikte en functioneel oppervlak op de netto flux.

Geobesrveerde alveolaire gaswaarden (Alveolaire PO2 en PCO2 in mmHg):	
Veneuze instroomwaarden van het longcapillair (PvO2 en PvCO2 in mmHg):	
Berekende partiële drukgradiënten (Delta-PO2 en Delta-PCO2):	
Beoordeling van de respiratoire membraandikte en diffusie-efficiëntie:	

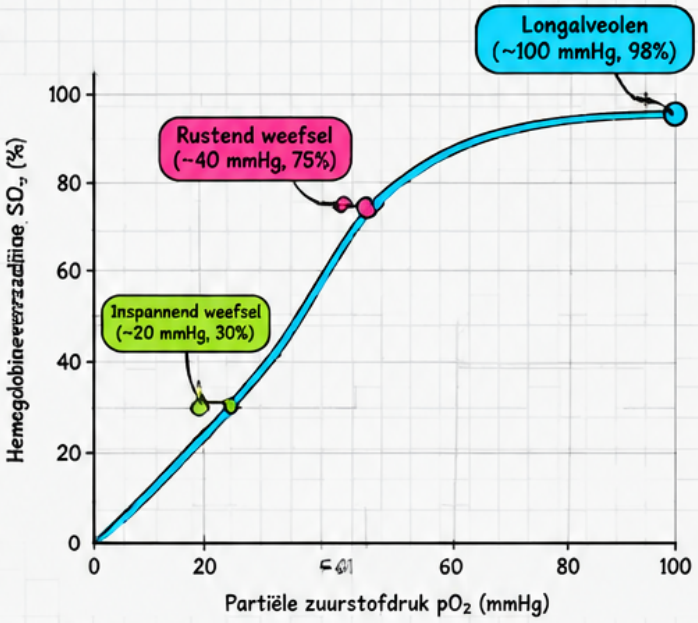
Deze oefenstof is uitsluitend bedoeld voor educatieve doeleinden en vervangt geen professioneel medisch advies.

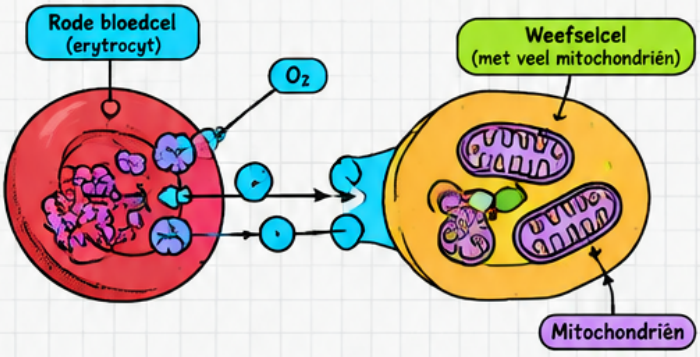
ZUURSTOFTRANSPORT

Zuurstoftransport en Dissociatiecurve

In het menselijk bloed wordt meer dan 98% van de zuurstof gebonden aan het eiwit hemoglobine binnen rode bloedcellen. De relatie tussen de partiële zuurstofdruk (pO_2 in mmHg) en de verzadigingsgraad van hemoglobine (SO_2 in %) vormt een karakteristieke S-vormige oftewel sigmoïdale curve. Dit fysiologische patroon ontstaat door coöperatieve binding: sodra één zuurstofmolecuul bindt aan een heemgroep, ondergaat het hemoglobine-tetrameer een conformatieverandering (van de T-vorm naar de R-vorm), waardoor de affiniteit voor de volgende zuurstofmoleculen aanzienlijk toeneemt.

- **Longcapillairen (pO_2 ~100 mmHg):** Hemoglobine bereikt een verzadiging van circa 97–98%, waardoor maximaal O_2 wordt geladen.
- **Weefsels in rust (pO_2 ~40 mmHg):** Hemoglobine blijft voor circa 75% verzadigd; ongeveer 25% van de zuurstof wordt afgegeven aan het weefsel.
- **Actieve spieren (pO_2 ~20 mmHg):** De verzadiging daalt sherp naar circa 20–30%, waardoor weefsels met verhoogde dissimilatie veel sneller zuurstof ontvangen.





Belangrijke Fysiologische Disclaimer

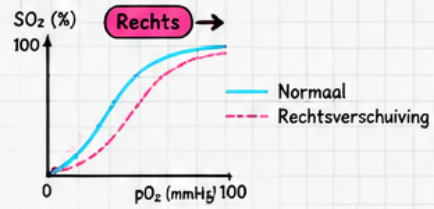
Dit leermateriaal is uitsluitend ontwikkeld voor educatieve deeleinden en studieondersteuning. Het vormt geen medisch advies, klinisch protocol of diagnostische richtlijn.

Factoren die de Dissociatiecurve Beïnvloeden

De affiniteit van hemoglobine voor zuurstof is dynamisch gereguleerd en past zich aan de metabole vraag van omliggende weefsels aan. Verschuivingen in de curve worden uitgedrukt aan de hand van de P50-waarde: de partiële zuurstofdruk waarbij hemoglobine voor 50% verzadigd is (fysiologische normaalwaarde circa 26,6 mmHg).

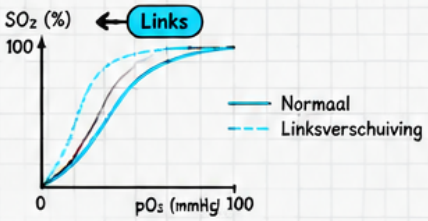
Rechtsverschuiving
(lagere O_2-affintieit, verhoogde P50)

Geactiveerd door stijging van H^+ (lagere pH), verhoogde pCO_2 (Bohr-effect), hogere temperatuur en verhoogde concentratie 2,3-bisfosfoglyceraat (2,3-BPG). Dit bevordert diercte zuurstofafgifte in metabool actieve organen.



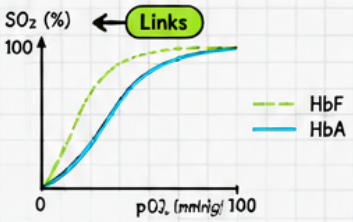
Linksverschuiving
(hogere O_2-affiniteit, lagere P50)

Veroorzaakt door alkalose (hogere pH), gedaalde pCO_2, hypothermie en verlaagd 2,3-BPG. Hemoglobine bindt zuurstof sterker en staat het minder makkelijk af aan weefsels.



Foetaal hemoglobine (HbF)

Bevat gamma-ketens in plaats van bèta-ketens, bindt 2,3-BPG zwakker en vertoont structureel een linksverschuiving ten epzichte van volwassen HbA om zuurstofoverdracht via de placenta mogelijk te maken.

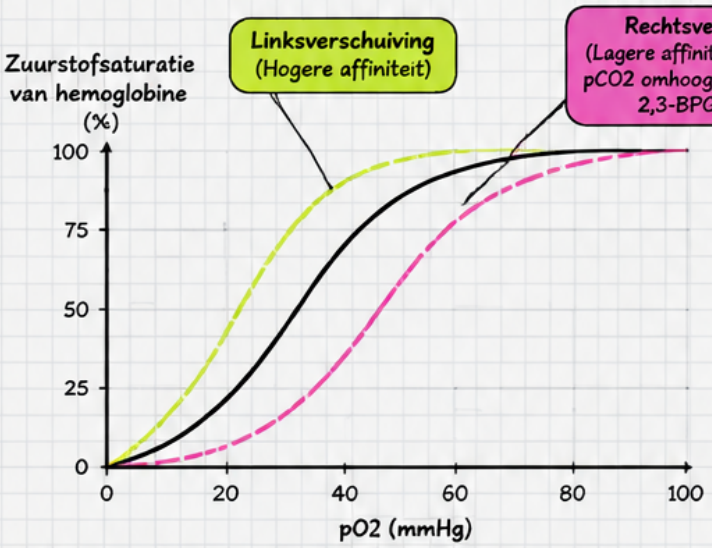


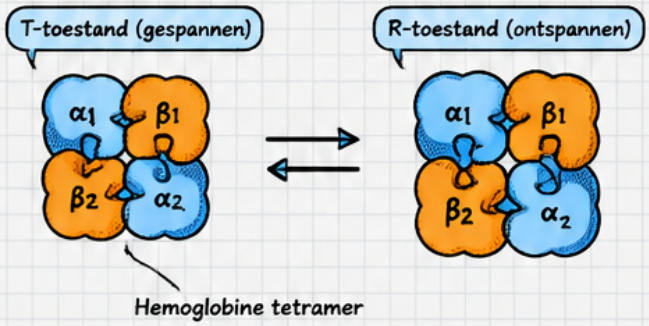
Klinische Geheugensteun

Onthoud voor de rechtsverschuiving: 'CADET, face Right!' (CO_2, Acidose/pH omlaag, 2,3-DPG/BPG, Exercse/Inspanning, Temperatuur omhoog richtlijn.

Dit leermateriaal is uitsluitend ontwikkeld voor educatieve deeleinden en studieondersteuning. Het vormt geen medisch advies, klinisch protocol of diagnostische richtlijn.

BOHR-EFFECT & FACTOREN





ANALYSEPROTOCOL BIJ VERANDERDE WEEFSELSTATUS

Gebruik het onderstanade stappenplan om gestructurzerd te beredeneren hoe een verandering in het metabolisme de zuurstofafgifte door hemoglobine beïnvoedt.

Stap 1:

Inventariseer de lokale metabole parameters

Controleer of sprake is van lokale acidose (pH-daling), ophoping van CO2, weefselopwarming of toegenomen anaerobe glycolyse (wat 2,3-BPG verhoogt).

Stap 2:

Bepaal de verschuivingsrichting van de curve

Stel vast of de P50 toeneemt (rechtsverschuiving) of afneemt (linksverschuiving) aan de hand van de aanwezige allosterische effectoren.

Stap 3:

Evalueer het effect op capillaire zuurstofafgifte

Bij een rechtsverschuiving zal hemoglobine bij dezelfde weefsel-pO2 (bijvvorboeld 40 mmHg) een lagere verzadiging behouden, waardoor extra extra zuurstof vrijkomt voor weefseloxidatie.

Welke verschuiving treedt op bij toegenomen weefselactiviteit?

Weefsel produceert meer melkzuur, warmte en CO2

→ **Concludeer: Rechtsverschuiving (Bohr-effect).** Hemoglobine geeft verhoogd zuurstof af aan de actieve spier- of orgaancellen.

Bloed passeert gekoeld weefsel met verlaagde pCO2 en alkalische pH

→ **Concludeer: Linksverschuiving.** Hemoglobine houdt zuurstof steviger vast; P50 is verlaagd.

Zelfstudie & Oefenmatrix: Dissociatiecurven Interpreteren

Vul de onderstaande werkvelden in om het fysiologische mechanisme zelfssandg zo verifiëren en toe te passen op casuïstiek.

1. Beschrijf het molecalaire verschil tussen de T-toestand (deoxi) en R-toestand (oxi) van hemoglobine:

2. Wat is het effect van hyperventilatie (respiratoire alkalose) op de zuurstofafgifte in de weefsels?

3. Berekening/Notitie P50: Welke verschuiving verwacht u bij ernstige koorts (T > 39°C)?

Deze informatie is uitsluitned bedoeld voor educatieve doeleinden.

Koolstofdioxidetransport & Het Chloride-shift Fenomeen

Fysiologische Grondslag: CO2-Transportvormen

Koolstofdioxide (CO2) ontstaat continu in actieve perifere weefsels als bijproduct van de aerobe celademhaling. Het transport van CO2 via het veneuze vaatbed naar de longen verloopt via drie specifieke fysiologische modaliteiten.

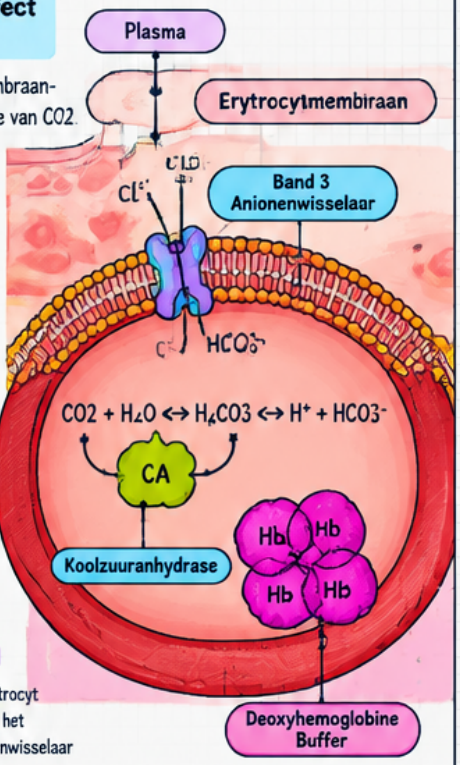
- **Opgelost in bloedplasma (circa 7%):** CO2 lost direct fysiek op in water.
- **Carbaminoverbindingen (circa 23%):** CO2 bindt direct aan de vrije aminogroepen van het globinedeel van hemoglobine (vorming van carbaminohemoglobine, Hb-CO2).
- **Bicarbonaat-ionen (circa 70%):** Het overgrote deel diffundeert in erytrocyten en wordt enzymatisch omgezet in bicarbonaat (HCO_3^-).

Educatieve Disclaimer

Deze fysiologische procesplaat dient uitsluitend voor educatieve doeleinden ten beboeve van studenten en docenten. Dit materiaal vormt geen medisch advies, klinische diagnose of behandelrichtlijn.

Katalyse en het Hamburger-effect in de Perifere Weefsels

Zodra CO2 de erytrocyt binnencomt, versnelt het membraan- en cytopalsma-enzym koolzuuranhydrase de hydratatie van CO2 tot koolzuur. Dit proces drijft de chloride-shift aan.



1 Stap 1: Enzymatische hydratatie

CO2 verbindt met H2O onder katalyse van koolzuuranhydrase (CA) tot koolzuur: $CO_2 + H_2O \leftrightarrow H_2CO_3$.

2 Stap 2: Spontane dissociatie

Het instabiele H_2CO_3 dissocieert direct in een proton en bicarbonaat: $H_2CO_3 \leftrightarrow H^+ + HCO_3^-$.

3 Stap 3: Protonenbuffering door hemoglobine

Gedeoxygeneerd hemoglobine (deoxy-Hb) bindt de vrije H^+-ionen, wat verzuring van het erytrocytaire cytosol voorkomt en de afgifte van zuurstof aan het weefsel bevordert (Bohr-effect).

4 Stap 4: De Chloride-shift (Anionenwisselaar 1)

HCO_3^- diffundeert langs de concentratiegradiënt de erytrocyt uit naar het plasma. Om de electrische neutraliteit over het membraan te behouden, transporteert de Band 3-anionenwisselaar (AE1) gelijktijdig een chloride-ion (Cl^-) de cel in.

Klinisch-Fysiologische Beslisboom: Periferie vs. Pulmonaal

De directing van de reactie en ionenstromen wordt volledig bepanald door de lokale partiële gasdrukken (PCO2 en PO2).

Op welke anatomische locatie bevindt de erytrocyt zich?

Perifere weefselcapillairen (Hoge PCO2, lage PO2)

- **CO2-opname:** Bicarbonaatproductie stijet, HCO_3^- verleat de erytrocyt, Cl^- stroomt naar binnen (Inwaartse chloride-shift),
- O2 wordt losgekooppeld van hemoglobine.

Pulmonale alveolaire capillairen (Lage PCO2, hoge PO2)

- **CO2-afgifte:** Omgekeerde chloride-shift (Reverse shift): HCO_3^- stroomt de erytrocyt in, Cl^- stroomt naar buiten naar het plasma, koolzuuranhydrase zet H_2CO_3 om in H_2O en CO_2, CO_2 diffundeert de longblaasjes in.

Zelfstudie & Verificatie van Kennis

Vul de ontbrekende variabelen en observaties in om het fysiologische mechanisme van het Hamburger-effect en gastransport te toetsen.

- Verifieer de stoïchiometrie van de reactie.
- Bepaal het effect van koolzuuranhydraseremmers (zoals acetazolamide) op de plasma-pH.

Let op bij berekeningen

Verschuivingen in het chloride-gehalte van erytrocyten beinvleeden ook het intracellulaire osmotische volume: erytrocyten in veneus bloed sijn fractioneel groter dan in arterieel bloed.

Wat gebeurt er met de intracellulaire pH wanneer de binding van H^+ aan gedeoxygeneerd Hb faalt?

Beschrijf de verandering in plasmavolume en hematocriet als gevolg van de chloride-shift in veneus bloed:

Formuleer de reactievergelijking in de longcapillairen:

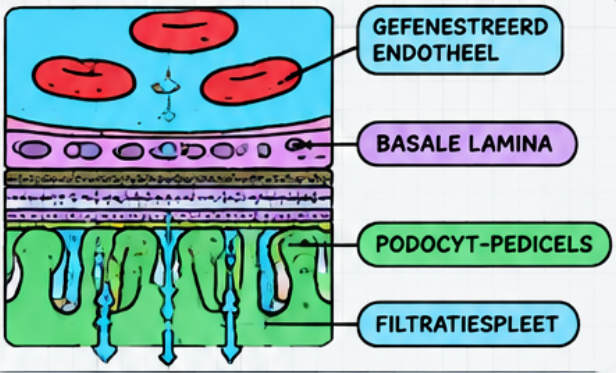
Deze fysiologische procesplaat dient uitsluitend voor educatieve doeleinden ten beboeve van studenten en docenten. Dit materiaal vormt geen medisch advies, klinische diagnose of behandelrichtlijn.

GLOMERULAIRE FILTRATIE EN AUTOREGULATIE IN DE NIEREN

STRUCTUUR VAN HET GLOMERULAIRE FILTRATIEMEMBRAAN

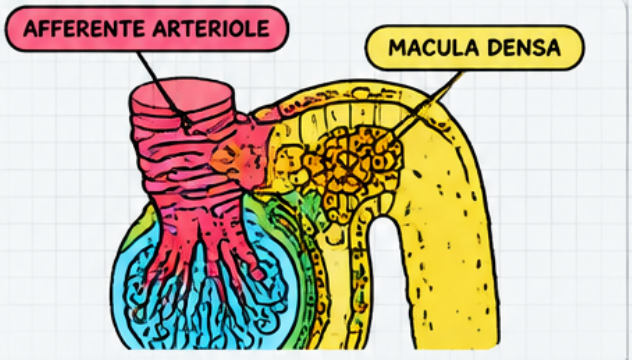
Glomerulaire filtratie vormt de eerste stap in de vorming van urine in het nefron. Het filtratiemembraan scheidt het bloedplasma in de glomerulaire haarvaten van het lumen van het kapsel van Bowman. Dit membraan functioneert als een geavanceerde mechanische en elektrostatticke zeef die water en kleine opgeloste stoffen doorlaat, maar cellen en grote plasma-eiwitten tegenhoudt.

- **Gefenestrered endotheel:** Bevat openingen van 70 tot 90 nm die doorgang van rode en witte bloedcellen blokkreren.
- **Basale lamina (basaalmembraan):** Een netwerk van collageen en negatief geladen heparansulfaat-glyocprotëinen dat grote en anionische plasma-eiwitten zoals albumine afstoot.
- **Podocyten-voetjes en spleetmembranen:** Podocyten omsluiten de capillairen met tertiaire uitlopers (pedicels); de tusseniiggende filtratiespleten van circa 4 tot 14 nm zijn voorzien van nefrine-eiwitbruggen.



BELANGRIJKE FYSIOLOGISCHE NOTITIE

De netto filtratiedruk (NFD) is het resultaat van de glomerulaire hydrostatische druk (ca. 55 mmHg) verminderd met de colloid-osmotische druk van het bloed (ca. 30 mmHg) en de hydrostatische druk in het kapsel van Bowman (ca. 15 mmHg), resulterend in een effectieve filtratiedruk van ongeveer 10 mmHg.



AUTOREGULATIE VAN DE GFR: MYOGEEN MECHANISME EN TUBULOGLOMERULAIRE FEEDBACK

De nieren hehouden een relatief constante glomerulaire filtratiesnelheid (GFR) bij systemische arteriële bloeddrukken tussen 80 en 180 mmHg. Twee intrinsieke renale mechanismen zorgen voor deze directe stabilisatie zonder tussenkomst van zenuwen of hormonen.

- **Myogeen mechanisme:** Gladde spiercellen in de afferente arteriole reageren direct op verhoogde wandspanning door te contraheren, waardoor de bloedstroom naar de glomerulus afneemt.
- **Tubuloglomerulaire feedback:** Gepecialiseerde macula densa-cellen in het juxtaglomerulaire apparaat registreren veranderingen in de samenstelling van de tubulusvloeistof.
- **Juxtaglomerulaire integratie:** Bij overmatige flow stoten macula densa-cellen signaalstoffen (o.a. adenosine) uit die leiden tot vasoconstrictie van de afferente arteriole.

HOE REAGEERT DE RENALE AUTOREGULATIE OP EEN ACUTE DALING VAN DE ARTERIËLE BLOEDRRUK?

Arteriële druk daalt binnen autoregulatiebereik (80-100 mmHg)	Arteriële druk daalt onder kritische grens (< 80 mmHg)
Afferente arteriole entspant (vasodilatatie) via wegvallen van myogene rek; macula densa reduceert paacriene remming, waardoor de glomerulaire bloedstroom en GFR stabiel blijven.	Intrinsieke autoregulatie schiet tekort, het sympathische zenuwstelsel en het renine-angiotensine-aldosteronsysteem (RAAS) treden op de voorgrond ter beschreming van de centrale circulatie ten koste van GFR.

STAPPENPLAN

1. **STAP 1: VERHOGING VAN SYSTEMISCHE BLOEDDRUK**
   Een stijging van de arteriële druk leidt initieel tot een verhoogde aanvoer van renaal bloed en een toename van de glomerulaire filtratiesnelheid.
2. **STAP 2: MYOGENE VAATWANDREACTIE**
   De verhoogde mechanische rek op de afferente arteriolewand activeert rekafhankelijke ionkanalen in de gladde spiercellen, wat leidt tot depolarisatie en snelle vasoconstrictie.
3. **STAP 3: DETECTIE VIA DE MACULA DENSA**
   Wanneen vloeistof door verhoogde filtratie te snel door de lis van Henle stroomt, bereicht een hogere concentratie NaCl de macula densa in de vroege distale tubulus.
4. **STAP 4: TUBULOGLOMERULAIRE CORRECTIE**
   De macula densa geeft paracriene mediatoren af die de afferente arteriole vernauwen en reninseecretie remmen, waardoor de glomerulaire capillaire druk normaliseert.

FYSIOLOGISCHE ANALYSEMATRIX EN VERIFICATIECHECKLIST

Controleer het begrip van de filtratiedynamiek en autoregulerende compensaties met behulp van de onderstaande analysecriteria en werkvelden.

- Verifieer de richting van arteriolaire weerstend bij schommelingen in perfusiedruk.
- Evalueer de integriteit van de filtratiebarrière aan de hand van macromoleculaire uitscheiding in het ultrafiltraat.

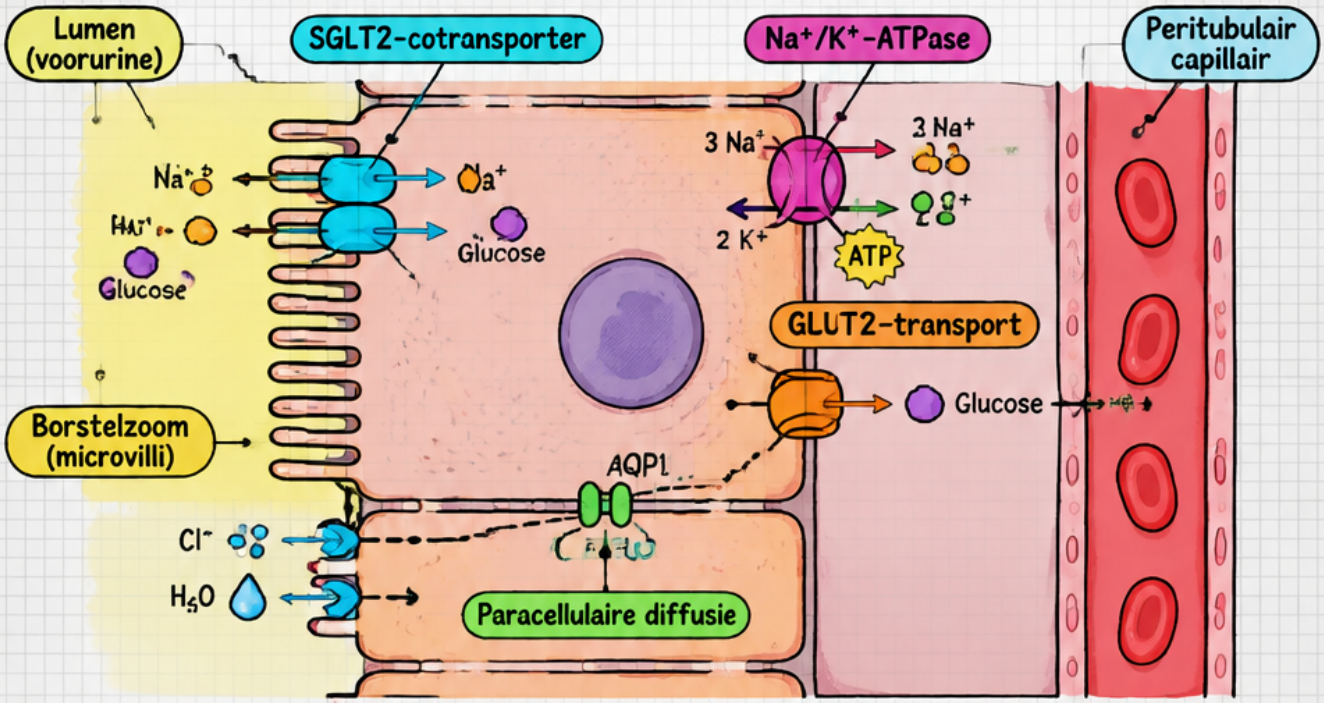
EDUCAITIEVE DISCLAIMER

Dit leermateriaal is utisluitend bestemd voor educatieve en trainingsdoeleinden. Het vormt geen medisch advies. klinische diagnose oĕ behandelrichtiljn.

Geef de respons van de afferente arteriole en verandering in macula densa-activiteit weer bij acute systemische hypertensie:

Beredeneer het gevolg voor de effectieve filtratiedruk wanneer plasma-albumine significant daalt (hypoalbuminemie):

PROXIMALE TUBULUS: REABSORPTIE



Fysiologie van de Proximale Tubulus: Isosmotische Reabsorptie

Fysiologisch Werkingsmechanisme: Proximale Terugresorptie

De proximale tubulus contortus verzorgt het leeuwendeel van de renale terugresorptie uit het glomerulair filtraat. Ongeveer 65 tot 70 procent van het gefiltreerde water en natrium (Na+), evenals nagenoeg 100 procent van de gefiltreerde glucose en aminozuren, wordt hier teruggewonnen naar de peritubulaire capillairen. Deze reabsorptie verloopt isosmotisch: de osmolaliteit van de tubulusvloeistof blijft vrijwel gelijk aan die van het omringende interstitium dooradt water het osmotische gradiënt van geresorbeerd natrium direct volgt via aquaporine-1 (AQP1) en lekkende tight junctions.

- Basolaterale motor: De Na+/K+-ATPase-pomp houdt de intracellulaire natriumconcentratie laag en creëert een elektrochemische gradiënt.
- Apicaal cotransport: Secundair actief transport koppelt Na+-instroom aan het opnemen van glucose via SGLT2 (en SGLT1) en aminozuurtransporters.
- Paracellulaire route: Chloor (Cl-) en water passeren passief door permeabele tight junctions langs de concentratie- en osmotische gradiënt.
- Basolaterale uitstroom: Gefaciliteerde diffusie via GLUT2 brengt glucose naar het interstitium, waarna opname in het peritubulaire capillair volgt.

Medische en Educatievee Disclaimer
Deze illustratie en toelichting dienen uitsluitend voor anatomisch en fysiologisch onderwijs.
Het materiaal vormt geen medisch advies, klinische diagnose of behandelrichtlijn.

Stap-voor-stap Transportdynamiek over het Tubulusepitheel

Het transport over het enkellaagse kubische borstelzoomepitheel verloopt via een vaste volgorde van actieve en passieve stappen tussen tubulair lumen, cel, interstitium en capillair.

1 Basolaterale natriumpomp activeert de gradiënt

Onder hydrolyse van ATP pompt de basolatrale Na+/K+-ATPase actief 3 Na+-ionen uit de cel naar het interstitium in ruil voor 2 K+-ionen. Dit houdt de intracellulaire Na+-concentratie laag (~15 mM) en het celmembraan negatief geladen.

2 Apicale secundair actieve opname (SGLT & aminozuren)

Aan de luminale borstelzoom bindt luminaal Na+ samen met glucose aan SGLT2-cotransporters. De streke Na+-gradiënt drijft glucose tegen sjin concentratieverval in de cel in. Specifeicke Na+-afhankelijke dragers doen hetzelfde voor rrije aminozuren.

3 Basolaterale afgifte naar interstitium

Opgehoopte glucose verlaat het cytoplasma via gefaciliteerde diffusie door GLUT2-eiwitten aan het basolaterale membraan. Aminozuren verlaten de cel via specifiche basolaterale aminozuurtransporters.

4 Isosmotische waterverplaatsing en "solvent drag"

De ophoojny van opgeloste stoften in het intersttium trekt water aan via transcellulaire AQP1-kanalen en paracellulaire claudine-verbindingen. Deze waterstroom sleurt opgeloste ionen zoals K+, Ca2+ en Cl- mee (solvent drag).

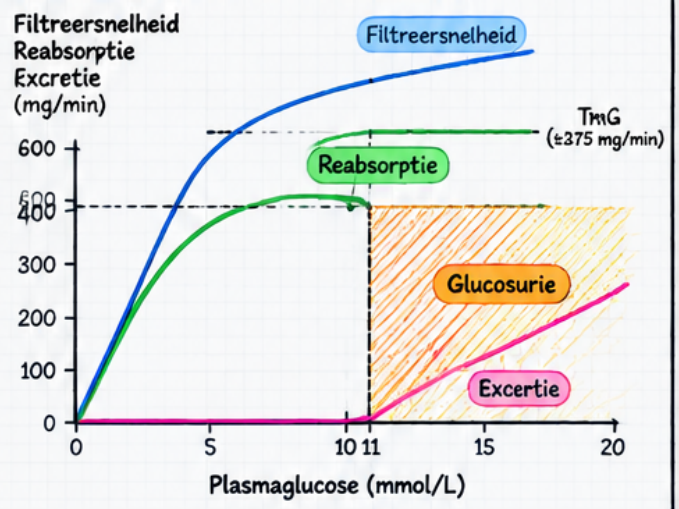
5 Opname in peritubulair capillair

De hoge colloid-osmotische druk (afkomstig van niet-gefiltreerde plasma-eiwitten) en de lage hydrostatische druk in de peritubulaire vaten zuigen de vloeilsof en opgeloste stoffen snel het vaatbed in.

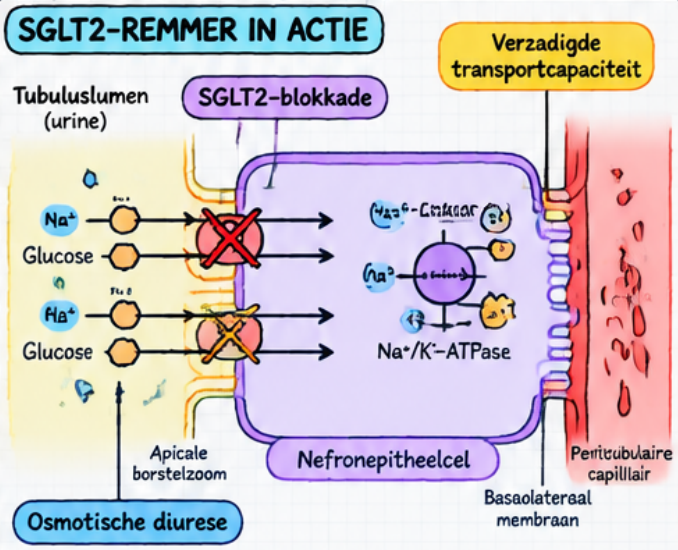
Deze illustratie en toelichting dienen uitsluitend voor anatomisch en fysiologisch onderwijs. Het materiaal vormt geen medisch advies, klinische diagnose of behandelrichtlijn.

TRANSPORTMAXIMUM (Tm) & SGLT2

VERZADIGINGSCURVE GLUCOSE



SGLT2-REMMER IN ACTIE



Mechanismen en Toepassing: Glucosedrempel en Transportcapaciteit

Klinisch-Fysiologische Beslisboom: Transportmaximum en Glucosurie

Evalueer het gedrag van proximale glucosereabsorptie wanneer de plasmaconcentratie van opgeloste stoffen toeneemt of medicamenteus wordt beïnvloed.

Aandachtspunt: Renale Drempelwaarde
Het transportmaximum (TmG) voor glucose bedraagt fysiologisch ongveer 375 mg/min. Boven een plasmaglucosespiegel van circa 10-11 mmol/L (180-200 mg/dL) raakt de tubulaire capaciteit verzadigd.

Wat gebeurt er met de tubulaire reabsorptie bij verhoogde renale glucosebelasting of SGLT2-remming?

Plasmaglucose < 10 mmol/L (normoglykemie)
Alle gefiltreerde glucose wordt volledig gereabsorbeerd door SGLT2. en SGLT1. Het filtraat aan het einde van de proximale tubulus is glucosevrij; er treedt geen glucosurie of osmotische diurese op.

Plasmaglucose > 11 mmol/L (ongecontroleerde diabetes)
De gefiltreerde lading overschrijdt het transportmaximum (TmG). Niet-gereabsorbeerde glucose blijft in het tubuluslumen achter, fungeert als osmotisch agens en veoorozzadt osmotische diurese en polyurie.

Toediening van een therapeutische SGLT2-remmer
SGLT2 aan de apicale borstelzoom wordt farmacologisch gblokkeerd. Glucose en Na⁺ blijven in het tubulair lumen, wat leidt tot gecentrolberde glucosurie, natriurese en daling van de systemische bloeddruk.

Zelfstudie & Werkblad: Membraantransport Analyse

Gberuik dit analysekader om de werking van transportmechanismen in het proximale nefron zelfstandig te structureren en te controleren.

1 Luminaal transportmechanisme:
Geef de volledige naam van de cotransporter voor glucose en de stelselmaige stoechiometrie (Na⁺:glucose verhouding).

2 Gradiëntverklaring:
Welk membreaneiwit verbruikt primair ATP om de secundaire opname aan het apicale membraan mogelijk te maken?

3 Paracellulair mechanisme:
Welke elektrolyten volgen de negatieve luminale lading in het late deel van de proximale tubulus?

4 Klinische correlatie:
Verklaar hoe glucosurie leidt tot dehydratie aan de hand van osmotische gradiënten in de tubulusvloeistof.

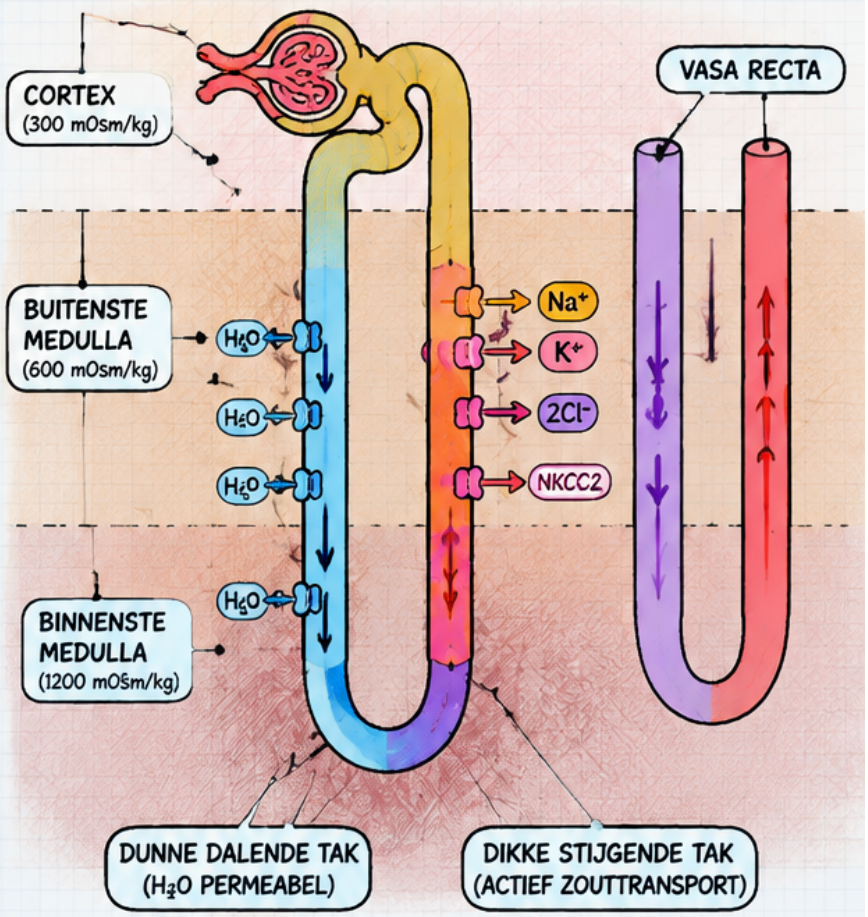
Deze materialan zijn uitsluitend bededld voor educatieve doelleinden en vervangen geen professioonel medisch advies.

TEGENSTROOMPRINCIPE EN CONCENTRATIEMECHANISME IN DE LIS VAN HENLE

Fysiologisch Mechanisme: Tegenstroomprincipe in het Nefron

De lis van Henle genereert een diepe osmotische gradiënt in het nierweefsel van de cortex naar het binnenste medullaire merg (van 300 naar ca. 1200 mOsm/kg). Dit mechanisme rust op de tegengestelde vloeistofstroom en specifieke functionele celverschillen tussen de dalende en stijgende takken.

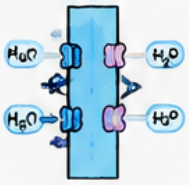
- **Cortex:** isotonische voorurine (ca. 300 mOSm/kg) verlaat de proximale tubulus.
- **Dunne dalende tak:** sterk waterdoorlatend via AQP1-kanalen, nagenoeg impermeabel voor opgeloste zouten.
- **Dikke stijgende tak** (TAL): actief zouttransport via NKCC2-cotransporters, strikt impermeabel voor watermoleculen.
- **Medullair interstitium:** opstapeling van NaCl en ureum creëert de hyperosmotische drijvende kracht voor waterresorptie in de verzamelbuis.



Educatieve Medische Disclaimer

Deze illustratie en fysiologische processtappen dienen uitsluitend voor onderwijs en anatomisch inzicht. Het vervangt geen formele medische diagnoses, klinische besluiten of behandeladviezen.

1 Instroom in de dunne dalende tak



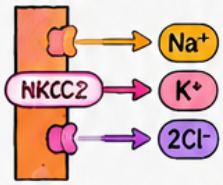
Tubulaire vloeistof stroomt de renale medulla in. Doordat het omliggende interstitium hyperosmotisch is, diffundeert water passief uit het lumen via aquaporine-1-kanalen naar het weefselvocht en de vasa recta.

2 Maximale concentratie bij de haarspeldbocht



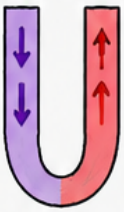
Aan de diepe medullaire punt van de lus bereikt de voorurine haar maximale osmolaliteit (tot 1200 mOSm/kg) door het aanhoudende wateronttrekingseffect tijdens de afdaling.

3 Actieve extrusie in de dikke stijgende tak (TAL)



Cellen in de dikke stijgende tak transporteren actief Na^+, K^+ en 2 Cl^- via het NKCC2-eiwit naar het interstitium. Omdat de wand waterdicht is, daalt de concentratie in het lumen tot ca. 100 mOSm/kg (hypotoon).

4 Behoud van de gradiënt via de vasa recta



De haarvaten van de vasa recta lopen tegen de richting van de lis in en veeren overtollig water af zonder de opgebouwde osmotische zoutgradiënt in het merg weg te spoelen.

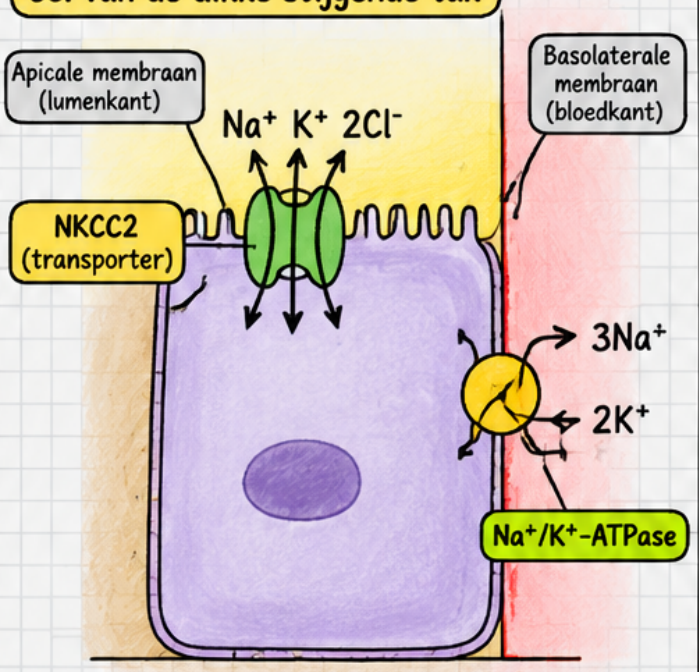
Welk effect treedt op bij toediening van een NKCC2-remmer (zoals furosemide)?

Actieve blokkade van de NKCC2-cotransporter in de stijgende tak	→ Zoutuitscheiding naar het medullaire interstitium stopt; de hyperosmotische gradiënt vervalt en water kan niet meer efficiënt geresorbeerd worden in de verzamelbuis, wat leidt tot verhoogde diurese.
Normale ongeregelde werking van de NKCC2-cotransporter	→ Volledige instandhouding van de interstitiële merggradiënt, waardoor onder invloed van antidiuretisch hormoon (ADH) waterretentie plaatsvindt.

Deze illustratie en fysiologische processtappen dienen uitsluitend voor onderwijs en anatomisch inzicht.
Het vervangt geen formele medische diagnoses, klinische besluiten of behandeladviezen.

NEFRON MECHANISMEN: ZELFEVALUATIE

Cel van de dikke stijgende tak



Transportmechanismen en Analysewerkblad

Werkblad: Fysiologische Zelfevaluatie en Transportanalyse

Documenteer uw analyse van de transport-mechanismen en osmotische gradiënten in de lis van Henle ter voorbereiding op fysiologietentamens.

- Verifieer de waterdoorlaatbaarheid per tubulussegment.
- Bereken de osmolaliteitsveranderiengen van corticaal naar medullair niveau.

Klinische Validatie

Let op: fysiologische werkingen en transportmechanismen mooten altijd worden geverifieerd aan de hand van actuele wetenschappelijke leerbooken fysiologie.

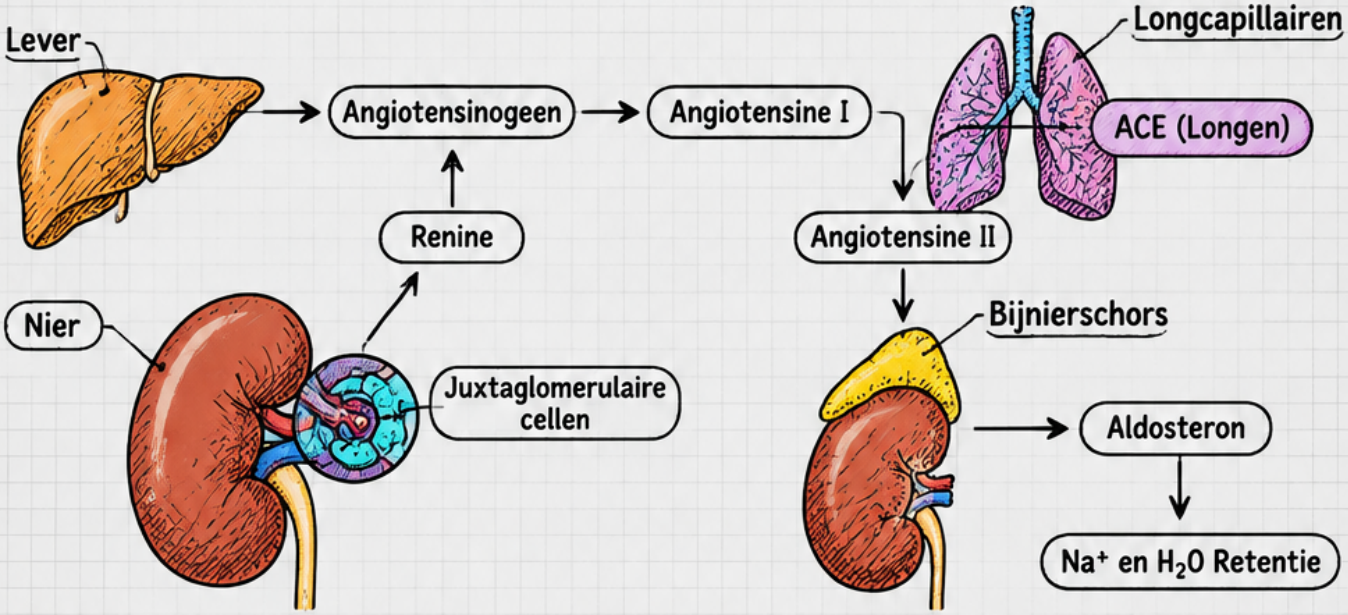
1 Verklaar waarom de dikke stijgende tak impermeabel moet zijn voor water om de gradiënt op te bouwen:

2 Geef de transportrichting en ionenverhouding van het NKCC2-membraaneiwit weer:

3 Beschrijf de rol van ureumrecycling bij de maximale concentratie in de binnenste medulla:

— Dit materiaal is uitsluitend bedoeld voor educatieve doeleinden. —

HET RENINE-ANGIOTENSINE-ALDOSTERONSYSTEEM: KETENREACTIE



KETENREACTIE VAN HET RAAS-SYSTEEM

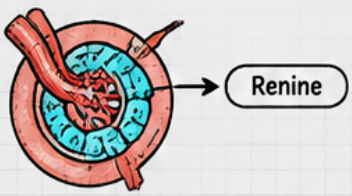
Het renine-angiotensine-aldosteronsysteem reguleert systemische bloeddruk, circulerend bloedvolume en zoutbalans. Bij nierhypoperfusie of een verlaagde natriumconcentratie start een stapsgewijze endocriene kettingreactie.

- **Juxtaglomerulaire cellen** in de nier detecteren lage perfusiedruk of sympaticusactivatie en geven renine af aan de bloedbaan.
- **Renine** splitst het circulerende angiotensinogeen (afkomstig uit de lever) tot het inactieve decapeptide angiotensine I.
- Angiotensine-converterend enzym (ACE), voornamelijk aanwezig op het vasculair endotheel van de longcapillairen, zet angiotensine I om in angiotensine II.
- Angiotensine II induceert krachtige systemische vasoconstrictie en stimuleert de bijnierschors tot productie en afgifte van aldosteron.
- **Aldosteron** bevordert actieve natriumreabsorptie en kaliumuitscheiding in de distale tubulus en verzamelbuis, wat leidt tot passieve waterretentie en normalisatie van de bloeddruk.

Educatieve Disclaimer
Dit overzicht dient uitislutend voor educatieve analysedoeleinden binnen het anatomie- en fysiologiecurriculum. Het is geen medisch diagnose- of behandeladvies.

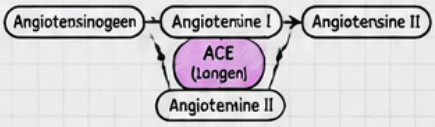
1 Nierperfusiedaling & Reninesecretie

Bloeddrukval of verminderde NaCl-belasting bij de macula densa triggert reninevrijgave door juxtaglomerulaire cellen in de afferente arteriole.



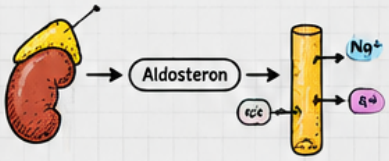
2 Conversie naar Angiotensine II

Renine splitst angiotensinogeen naar angiotensine I; endotheliaal ACE converteert dit prompt naar de actieve effector angiotensine II.



3 Aldosteronsecretie & Tubulaire Retentie

Angiotensine II bindt op de zona glomerulosa van de bijnier, waarna aldosteron secretie aanzet tot opwaartse regulatie van Na^+/K^+-pompen en ENaC in de distale nefron.

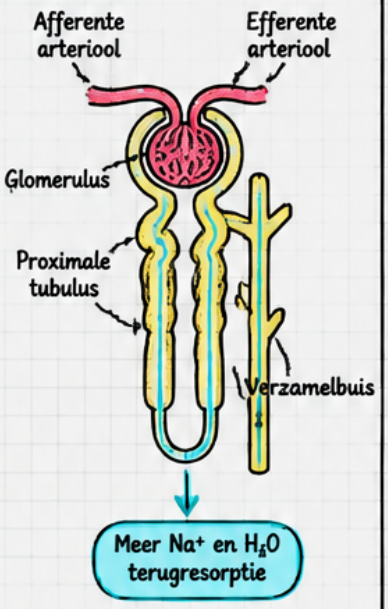


REGULATIE EN RESPONS

HYPOTENSIE

Effect op arteriolen en tubuli

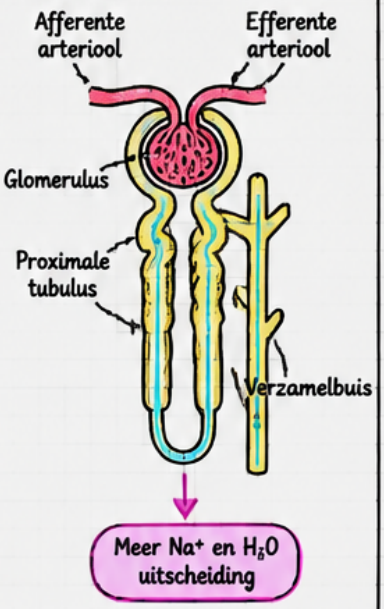
Lage arteriële druk
↓
Verhoogde renine-afgifte
↓
Meer angiotensine II en aldosteron
↓
Vasoconstrictie afferente en efferente arteriool
↓
Na^+- en waterretentie in tubuli



HYPERVOLEMIE

Effect op arteriolen en tubuli

Verhoogde arteriële druk
↓
Verlaagde renine-afgifte
↓
Minder angiotensine II en aldosteron
↓
Vasodilatatie afferente en efferente arteriool
↓
Toegenomen uitscheiding van Na^+ en water



Klinisch-Fysiologische Analysematrix

Toets fysiologische ketenracties en verstoringen binnen de volume- en elektrolythuishouding met ondertstande beslis- en werkstructtur.

- ☐ Verifieer de hemodynamische prikkel (hypovolemie versus hypervolemie).
- ☐ Evalueer de endocriene respons van de nier-bijnier-as en secundaire vasoconstrictie.

Gemeten prikkel (arteriële tensie / natriumstatus)

.....

.....

Verwachte renine- en aldosteronrespons in serum

.....

.....

Netto hemodynamisch effect op voorbelasting en nabelasting

.....

.....

.....

Aandachtspunt Beoordeling

De fysiologische mechanismen weerspiegelen gemene regelkringen. Raadpleeg bij klinische casuistiek specialistische biochemische referentiewaarden.

Welke stimulus domineert de juxtaglomerulaire respons?

Verlaagd effectief circulerend volume of hypotensie

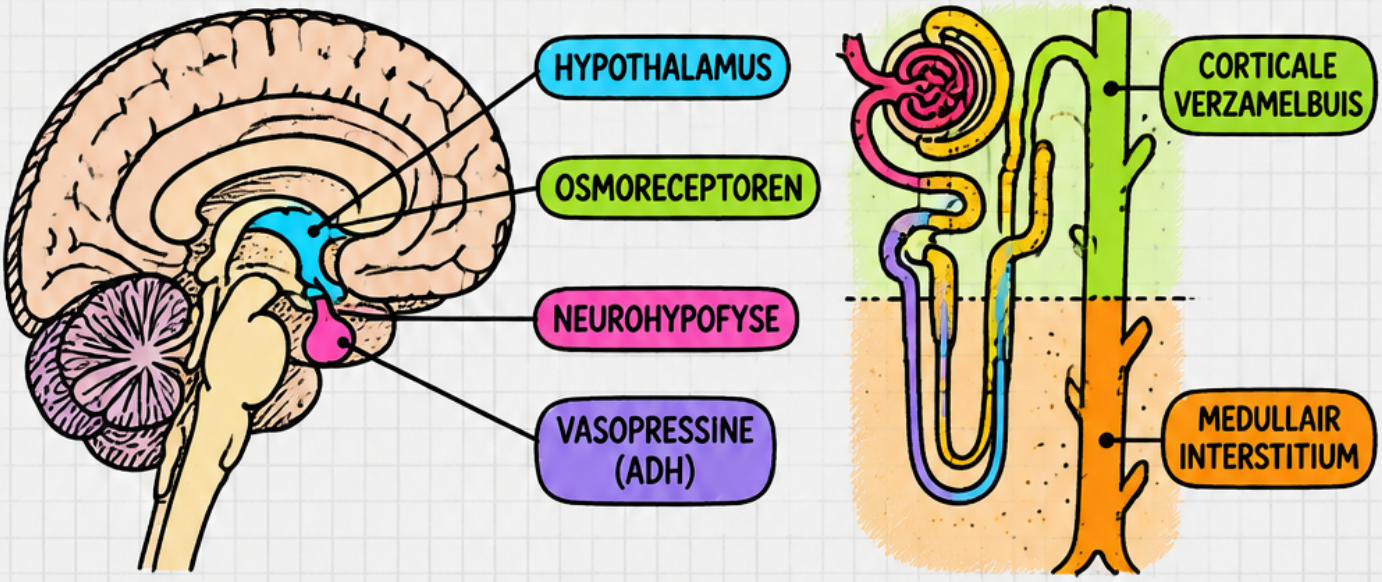
Reninesecretie stijgt; cascade leidt tot verhoogde systemische weerstand, renale Na^+-retentie en herstel van extracelluair volume.

Verhoogde renale perfusiedruk of hypervolemie

Onderdrukking van renineafgifte; uitscheiding van natrium en water neemt toe, RAAS-cascade blijft in rusttoestand.

Deze informatie is uitsluitend bedeeld voor educatieve doeleinden en vervangt geen professioneel medisch advies.

WATERBALANS & ADH



Fysiologie van Vochtbalans: De As Hypothalamus-Nier

Dit leermiddel behandelt het mechanisme waarmee het lichaam de osmolaliteit van het bloed en het extracellulaire vloeistofvolume bewaakt via antidiuretisch hormoon (ADH, ook bekend als vasopressine). Een toename in plasma-osmolariteit of een daling van het effectieve circulerende volume stimuleert gespecialiseerde sensoren om waterretentie in de verzamelbuizen van het nefron te maximaliseren.

1. **Centrale detectie:** Osmoreceptoren in het anterieure deel van de hypothalamus registreren cellulaire krimp bij hyperosmolariteit.
2. **Neuro-endocriene secretie:** Neurosecretoire neuronen projecteren naar de neurohypofyse (hypofyse-achterkwab) voor exocytose van ADH in het capillaire netwerk.
3. **Renaal doelorgaan:** ADH bindt aan V2-receptoren aan de basolaterale zijde van hoofdcellen in de corticale en medullaire verzamelbuis.
4. **Signaaltransductie:** cAMP-afhankelijke activatie van proteïnekinase A (PKA) initieert vesikeltransport.
5. **Effectorreactie:** Aquaporine-2 (AQP2) waterkanalen fuseren met het apicale membraan, waardoor water passief richting het hypertone merg stroomt.

Educatieve Medische Disclaimer & Verificatiestatus

Dit document dient uitsluitend voor anatomisch en fysiologisch onderwijs en vervangt geen klinische diagnose of behandeladvies. Vóór definitieve professionele publicatie dient de feitelijke fysiologische inhoud getoetst te worden door een gekwalificeerd fysioloog of docent.

MOLECULAIR MECHANISME EN CASUSBESLUITVORMING

STAP-VOOR-STAP MECHANISME: VAN OSMOTISCHE PRIKKEL TOT GECONCENTREERDE URINE

Volg de opeenvolgende stappen van de hormonale cascade om te analyseren hoe het lichaam uitdroging compenseert sonder elektrolytenverlies.

1 Stap 1: Detectie van Hypertonicitieit

Wanneen de extracellulaire osmolariteit boven de drempelwaarde (ongeveer 280-285 mOsm/kg) stijgt, ierliezen osmoreceptoren in de hypothalamus water via osmose, wat leidt tot depolarisatie en verhoogde actiepotentialen.

2 Stap 2: Afgifte van Vasopressine (ADH)

De actiepotentialen propageren langs de axonen via de tractus hypothalamo-hypophysialis naar de achterkwab van de hypofyse, waar opsgelagen ADH via exocytose in de bloedbaan terechtkomt.

3 Stap 3: V2-Receptorkoppeling en cAMP-Cascade

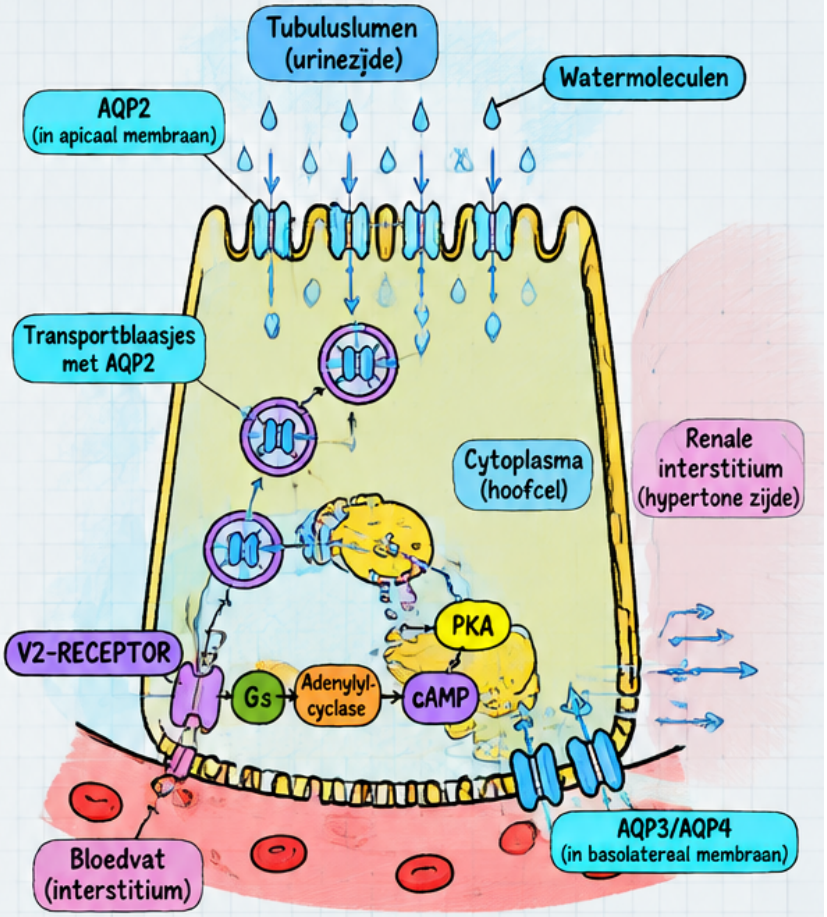
ADH circuleert naar de nieren en bindt aan basolaterale V2-receptoren op de hoofdcellen. Dit activeert een stimulerend G-eiwit (Gs), dat adenylylcyclase aanzet tot de productie van cAMP, met activatie van PKA tot gevolg.

4 Stap 4: Exocytose van Aquaporine-2 (AQP2)

PKA fosforyleert AQP2-tetrameren in intracellulaire osplagblaasjes. De blaasjes fuseren gericht met het apicale (luminale) plasmanembraan, waardoor de waterpermeabilliteit van de verzamelbuis sterk toenenent.

5 Stap 5: Waterresoptie en Concentratie van de Urine

Water stroomt osmotisch uit de voorurine via apicale AQP2 en verlaat de cel via constitutief aanwezige basolaterale AQP3- en AQP4-kanalen riching het hypertone renale interstitium, resulterend in behoud van lichaamsvocht en geconcentreerde urine.



KLINISCH REDENEREN: FYSIOLOGISCHE TOESTANDEN EN DIFFERENTIATIE

Gebruik deze beslisboom om veranderingen in urinevolume en plasma-osmolariteit causaal te herleiden naar specifieke storingen in de ADH-as.

Wat is het klinische profiel van de patiënt of casus wat beterft urineproductie en serum-natrium?

Polyurie met verdunde urine (lage urine-osmolaritieit) en hoog-normaal of verhoogd plasma-osmolaritieit

Evalueer Diabetes Insipidus: Differentieer tussen Centraal (onvoldoende ADH-secretie uit hypofyse; reageert op desmopressine) en Nefrogeen (ongevoligheid van V2-receptor of mutatie in AQP2, reageert niet op cesmopressine).

Oligurie met geconcentererde urine (hoge urine-osmolaritieit), verlaagd plasma-natrium (hyponatrëmie) en euvolemie

Onderzook op SIADH (Syndroom van Inadequate ADH-secretie): Ongeremde afgifte van ADH leidt tot continue waterretentie, hypervolemische uitscheiding van natrium en verdunningshyponatriëmie.

Fysiologische tonname in waterinname (hyperhydratie) met lage plasma-osmolariteit

Normale fysiologische remming: Osmoreceptoren zwellen licht op, ADH-secretie daalt naar minimale niveaus, AQP2 wordt via endocytose geinternaliseerd en er treedt compensatoire waterdiurese op.

Deze informatie is uitsluitend bedoeld voor educatieve doeleinden.

CASUSANALYSE: VOCHTREGULATIE

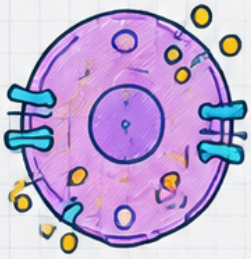
HULPMIDDELEN



PIPET



OSMOLALITEITSMETER



NIERCEL

Werkblad Casusanalyse en Mechanisme-Verificatie

Vul de onderstaande werkvelden in tijdens het doorlopen van een fysiologiepracticum of casusopdracht over vocht- en elektrolytenregulatie.

Zelfcontrole

Controleer of u het onderscheid tussen apicale membraanexpressie (AQP2, hormoon-gereguleerd) en basolaterale membraanexpressie (AQP3/AQP4, constitutief) correct heeft opgenomen in uw uitwerking.

☐ Gemeten of hypothetische plasma-osmolariteit (mOsm/kg) en hydratatiestatus:

.....

.....

☐ Verwachte ADH-spiegel in het plasma (onderdrukt / basaal / maximaal gestimuleerd):

.....

☐ Toestand van het apicale membraan van de hoofdcel (AQP2 geïnternaliseerd vs. gefuseerd):

.....

.....

☐ Verwachte urine-eigenschappen (volume in ml/24u, geschatte soortelijke massa of osmolariteit):

.....

.....

☐ Klinische conclusie / Fysiologische verklaring van de compensatiereactie:

.....

.....

.....

Dit werkblad is uitsluitend beddeld voor educatieve doeleinden.

Mechanismen van de Renale Zuur-Base Regulatie

Renale pH-regulatie: Fundamentele Fysiologie

De nieren handhaven de systemische zuur-basebalans door overmatige waterstofionen (H^+) uit te scheiden en gefilterd bicarbonaat (HCO_3^-) nagenoeg volledig te reabsorberen. Waar het ademhalingsstelsel sneile compensatie biedt door koolstofdioxide (CO_2) uit te blazen, verzorgen de proximale tubulus en de verzamelbuis de definitieve, langdurige excretie van zuren en synthese van nieuw bicarbonaat.

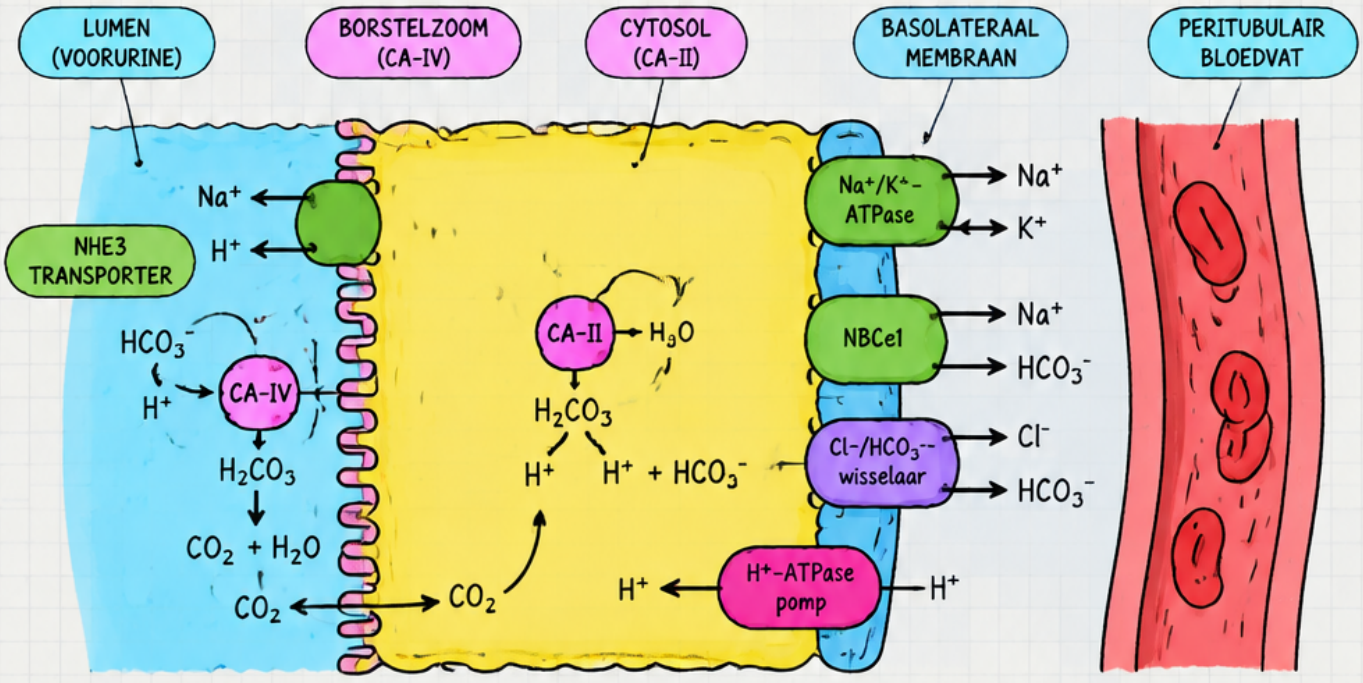
- Proximale tubulus: verantwoordelijk voor circa 80 tot 90% van de actieve bicarbonaatreabsorptie via Na^+/H^+-uitwisseling (NHE3).
- Koolzuuranhydrase (CA-IV en CA-II): cruciaal enzym op de borstelzoom en in het cytosol dat CO_2 en H_2O converteert.
- Geïntercaleerde alfa-cellen in de distale nefron: actieve uitscheiding van resterend H^+ via H^+-ATPase en H^+/K^+-ATPase pompen.
- Nieuw bicarbonaat: wordt gegenereerd via glutaminemetabolisme (ammoniagenese) en excretie van titreerbare zuren.

Klinische disclaimer

Deze fysiologische kaart dient uitsluitend voor educatieve en anatomische studieddoeleinden. Het is geen medisch protocol, diagnostisch hulpmiddel of behandeladvies.

Stapsgewijs Mechanisme van Tubulaire Bicarbonaatreabsorptie

Volg de biochemische cyclus die plaatsvindt in de epitheelcellen van de proximale tubulss.
Het mechanisme zorgt ervoor dat HCO_3^- indirect gerecycled wordt naar de peritubulaire capillairen.



1 Stap 1: Secretie van H^+ in het lumen

De Na^+/H^+-antiporter (NHE3) aan de luminale zijde pompt H^+ de tubulaire vloeistof in, in uitwiseëling met gefilterd Na^+ langs diens concentratiegradiënt.

2 Stap 2: Luminale binding en dehydratie

Het uitgescheiden H^+ bindt gefilterd HCO_3^- om H_2CO_3 te vormen. Koolzuuranhydrase type IV (membraangebonden) splitst H_2CO_3 direct in CO_2 en H_2O.

3 Stap 3: Diffusie naar het cytoplasma

CO_2 diffundeert vrij over het luminale apicale celmembraan de tubuluscel in, gedreven door de lokale concentratiegradiënt.

4 Stap 4: Intracellulaire hydratatie

Cytosolisch koolzuuranhydrase type II zet CO_2 en H_2O opnieuw om in H_2CO_3, dat vervolgens snel dissocieert in vrij H^+ en nieuw geregenereerd HCO_3^-.

5 Stap 5: Basolateraal transport naar het bloed

HCO_3^- verlaat de cel richting de interstitiële vloeistof en het capillaire bleed via de Na^+/HCO_3^--cotransporter (NBCe1) en Cl^-/HCO_3^--wisselaars, terwijl H^+ epnieuw gerecycled wordt naar helz lumen.

Klinische disclaimer

Deze fysiologische kaart dient uittuluitend voor educatieve en anatomische studiedoeleinden. Het is geen medisch protocol, diagnostisch hulpmiddel of behandeladvies.

RENALE BUFFERING EN CASUSANALYSE

Klinisch Beslismodel & Zelfstudie Werkblad

Evaluatieboom: Compensatie bij Verstoringen

Gebruik dit beslismodel om de renale respons op systemische pH-afwijkingen fysiologisch te analyseren.

Welke systemische arteriële pH-afwijking vertoont de casus?

- **pH < 7,35 (Acidose)**
  - Stimuleer luminale NHE3- en H^+-pompexpressie, maximaliseer HCO_3-reabsorptie en verhoog renale ammoniagenese om protonen als NH_4^+ uit te scheiden.
- **pH > 7,45 (Alkalose)**
  - Rem apicale NHE3-activiteit, laat overtollig HCO_3^- in de urine stromen via verminderde reabsorptie, en activeer eventueel beta-geintercaleerde cellen (pendrine transport) voor directe HCO_3^--secretie.

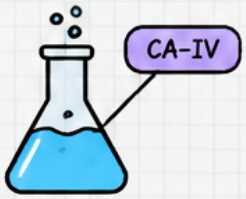
Zelfstudie & Werkblad: Renale Bufferanalyse

Vul de onderstaande werkvelden in om het fysiologische transportproces van het zuur-base evenwicht zelfstandig te structureren.

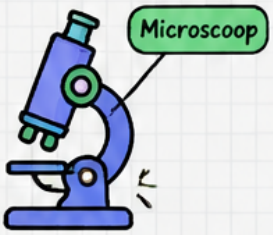
Kwaliteitscontrole

Toetsing van fysiologische celmechanismen vereist verificatie tegen recente fysiologiehandboeken (bijv. Pearson / Guyton & Hall).

1 Beschrijf de precieze rol van CA-IV aan de apicale borstelzoom:



2 Welke buffer (bijv. fosfaat vs ammoniak) vangt H^+ op in het lumen wanneer bicarbonaat volledig is verbruikt?



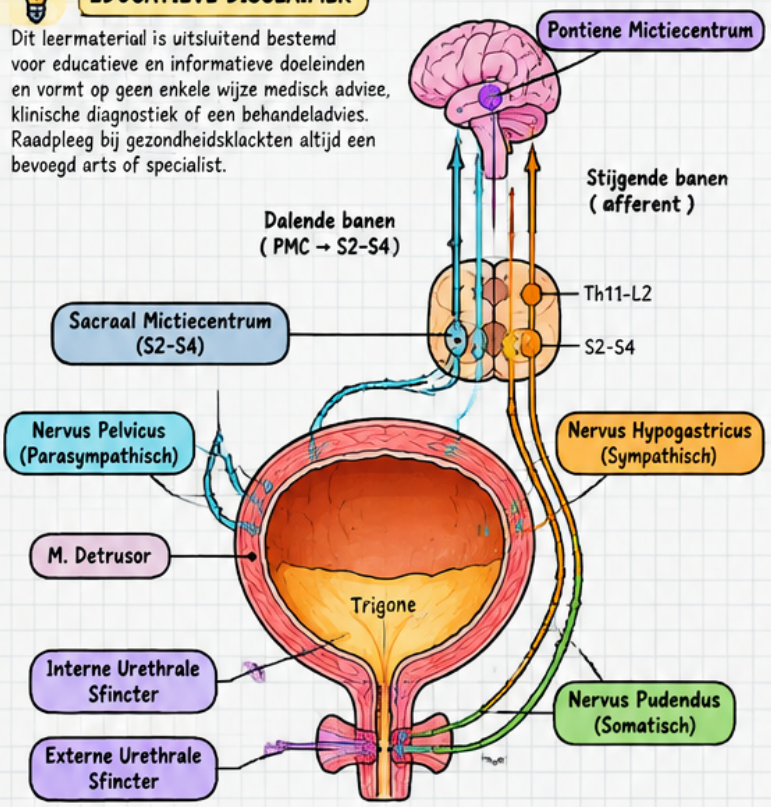
3 Wat is het effect van aldosteron op de H^+-secretie in intercalated cells?

Deze informatie is uitsluitend bedeeld voor educatieve doeleinden en vervangt geen professioneel medisch advies.

Mictiereflex & Neurale Blaasregulatie

EDUCATIEVE DISCLAIMER

Dit leermateriaal is uitsluitend bestemd voor educatieve en informatieve doeleinden en vormt op geen enkele wijze medisch advies, klinische diagnostiek of een behandeladvies. Raadpleeg bij gezondheidsklachten altijd een bevoegd arts of specialist.



NEURALE AANSTURING VAN DE URINEBLAAS

De opslag en periodeike lediging van urine worden gecoördineerd via een wisselwerking tussen het autonome (parasympathische en sympathische) en het somatische zenuwstelsel, met integratiecentra in het sacrale ruggenmerg en de hersenstam.

- **Afferente signalen:** Rekrecepteren in het urettheel en de m. detrusor registreren wandspanning en sturen actiepoentialen via de n. pelvicus naar niveau S2-S4.
- **Opslagfase:** Sympathische activiteit (n. hypogastricus, Th11-L2) zorgt voor relaxatie van de m. detrusor (bèta-adrenerg) en contractie van de interne urethrale sfincter (alfa-adrenerg).
- **Willekeurige controle:** De n. pudendus (somatisch, S2-S4) innerveert de externe urethrale sfincter en houdt deze aangespannen tot bewuste relaxatie gewenst is.
- **Pontiene** Mictiecentrum (PMC / Kern van Barrington): Zorgt bij bewuste toelating voor gecoördineerde activatie van de mictiereflex.

Kliniische Fysiologioe: Retentie veruas Incontinentie

Beschadiging boven het heliigbeen leidt vaak tot spastische reflexblaas met detrusor-sfincterdyssynergie, tewriij letsel aan de cauda equina or perifere sacrale zenuwen resultert in eian areflectische overloopblaas.

STAPSGEWJJZE CYCLUS VAN VULLING TOT LEDIGING

De fysiologische stappen die optreden tijdens de overgang van de continentie- en vullingsfase naar de deadweeklijke mictie.

1 BLAASVULLING & REKDETECTIE
Urine vult het lumen via de ureters. Mechanoreeptoren in de detrusorspierwand registreren de toename in wandspanning bij een volume boven circa 200-300 ml.

2 AFFERENTE IMPULSOVERRACHT
Sensorische zenuwvezels geleiden actiepotentielen via de nervus pelvicus naar het sacrale mictiecentrum (S2-S4) en ascenderen naar het pontiene mictiecentrum (PMC) en de cerebrale cortex.

3 CORTICALE EVALUATIE & BESLUITVORMING
De prefrontale cortex evalueert sociale en fyssike gesciktheid. Bij uitstelj remmen dalende banen het PMC en wordt de tonus van de externe urethrnische receptoren (M:s pudendus verhougg.

4 ACTIVATIE MICTIEREFLEX VIA PMC
Wanneen mictie gewenst is. heft het PMC de remming op. Parasympathische preganglionaire neuronen (S2-S4) worden gectiveeerd en stimuleren de muscarinische receptoren (M3) van de m. detrusor.

5 LEDIGING & SFINCTERRELXATIE
De m. detrusor trekt synchroen samen, tewraij sympathische en somsticke stimulatie vegvallen, waardoor de interne en externe sfincters ostspanaen en lediging plaatsvindt.

NEURAAL MICTIE-BESLISPAD

Logische evaluatie van de reflexmatige schakelng afhankeliik van blaasinhoud en corticale toelating.

Is de blaaswand veldoende opgerekt (> 300 ml) en is de situatie socical/omgevingsewijs geschikt voor lediging?

Volume bereikt, mictie sociaal NIET passend
- Corticale remming blijft actief: sympathicus handhaaft bleashalscontractie en relaxatie van detrusor:
- n. pudendus continueert contractie van externe sfincter.

Volume bereikt, mictie sociaal WEL passend
- PMC zendt dalende prikkels: parasympathicus (S2-S4) exciteert m. detrssor tot karcktige contractie;
- relaxatie van interne en externe sfincters start vloeiende lediging.

Zelfstudie & Reflectie: Neurale Trajecten

Vul de ontbrekende zenuwbanen en fysiologische reflexcomponenten in ter verificatie van de geleerde conceptes.

- Geef de anatomische uittreedplaatsen aan voor de sympathische versus parasympathische innervatie van de urinewegen.
- Benoem het specifieke transmittersysteem en subtype receptor op het hiveau van de detrusorspier tijdens contractie.

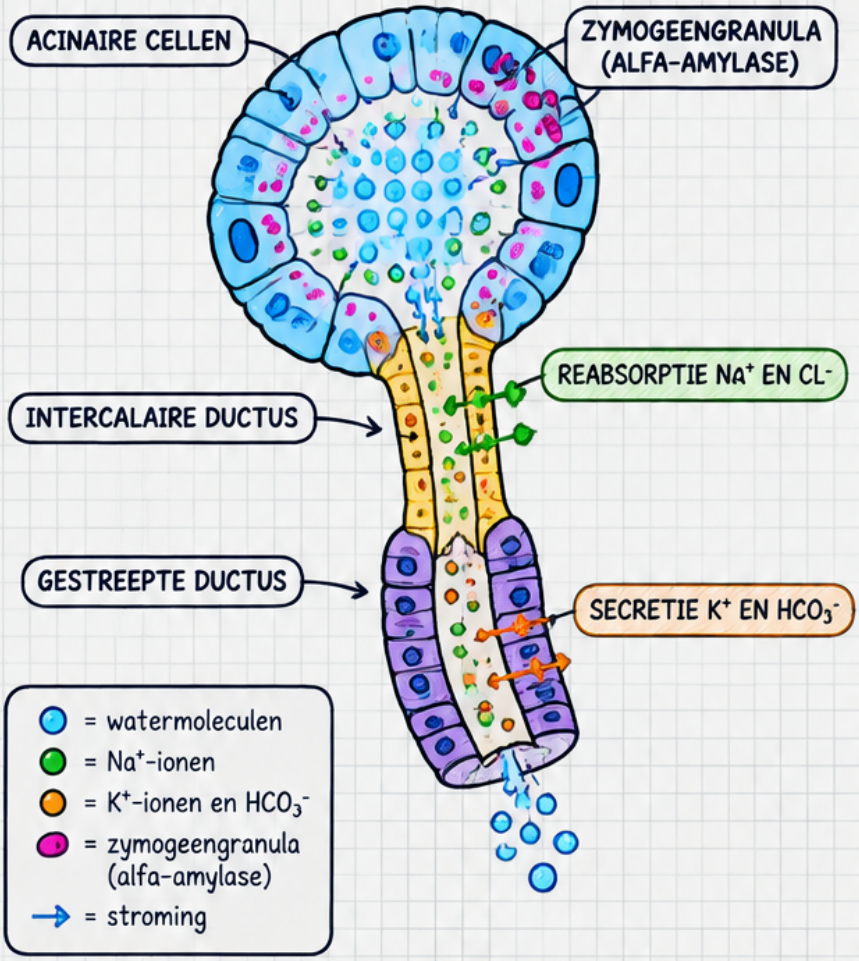
Zenuwwortels van parasympathische preganglionaire vezels naar de blaas: _____

Primaire neurotransmitter en receptor voor detrusorcontractie: _____

Functie van de nucleus van Onuf bij vrijwillige mictiecontrole: _____

Dit leermateriaal is uitsluitend bestemd voor educatieve en informatieve doeleinden en vormt op geen enkele wijze medisch advies, klinische diagnostiek of een behandeladvies. Raadpleeg bij gezondheidsklachten altijd een beveogd arts of specialist.

SPEEKSELKLIEFACINUS



Fysiologisch Overzicht: Speekselsecretie en Zetmeelvertering

Dit leermiddel behandelt het tweetraps-model van speekselproductie in de menselijke speekselklieren (glandula parotidea, submandibularis en sublingualis). Het proces combineert acinaire secretie van primair speeksel met ductale elektrolytenmodificatie en de enzymatische activering van alfa-amylase (ptyaline) voor de afbraak van zetmeel.

- **Acinus:** Vorming van een isotoon primair filtraat rijk aan water, elektrolyten en glycoproteïnen.
- **Afvoergangen (ductus):** Reabsorptie van Na^+ en Cl^- met secretie van K^+ en HCO_3^- leidt tot een hypotoon eindproduct.
- **Alfa-amylase:** Klieft alfa-1,4-glycosidische bindingen in zetmeel en glycogeen tot maltose, maltotriose en alfa-dextrinen.
- **Autonome sturing:** Parasympathische stimulatie leidt tot een waterige, enzymrijke stroom; sympathische prikkeling tot een viskeuze, mucinerijke secretie.

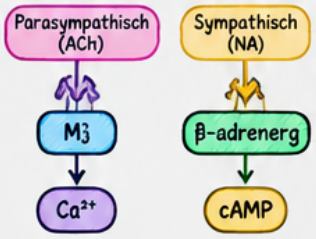
Educatieve Disclaimer

Dit leermateriaal is uitsluitend bestemd voor educativve doeleinden voor studenten en docenten. Het is geen medisch adviee, klinische diagnose of behandelrichtlijn.

Mechanisme van Secretie en Ductaallumen-modificatie

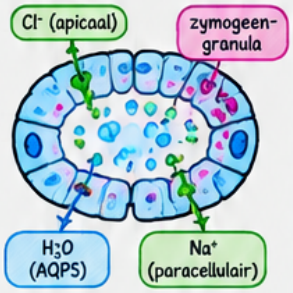
Volg de vier fysiologische stappen waarin primair speeksel vanuit de acinaire cellen wordt gevormd, getransporteerd en chemisch gewijzigd voordat het de mondholte bereikt.

1 Stap 1: Autonome Receptorprikkeling



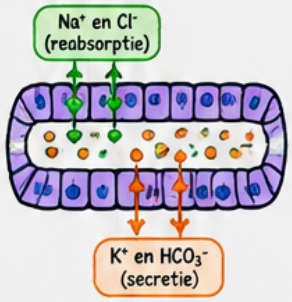
Parasympathische vezels via acetylcholine (muscarinerge M_3-receptoren) stimuleren een intracellulaire Ca^+-stijging. Sympathische stimulatie via noradrenaline (bèta-ardenerge receptoren) activeert cAMP voor eiwitsecretie.

2 Stap 2: Acinaire Primaire Secretie



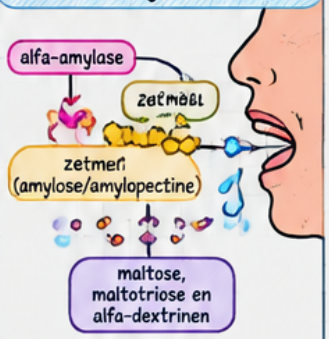
Acinuscellen transporteren actief Cl^- via apicale kanalen naar het lumen, gevolgd door paracellulair Na^+ en osmotische waterverplatsing via aquaporine-5. Zymogeengranula met alfa-amylase fuseren met de celmembraan.

3 Stap 3: Ductaallumen-elektrolytenuitwisseleng



In de intercalaire en gestreepte afvoergangen worden Na^+ en Cl^- actief terugeabsorbeerd zonder waterpermeabilitet (strakke juncties). K^+ en HCO_3^- worden gelijktijdig uitgescheiden.

4 Stap 4: Enzymatische Inwerking in de Mondholte



Het uitgescheiden hypotoon en licht alkalisch/neutraal speeksel mengt zich met de voedselbolus, waarbij alfa-amylase direct start met de hydrolyse van amylose en amylopectine.

Educatieve Disclaimer

Dit leermateriaal is uitsluitend bestemd voor educatieve doeleinden voor studenten en docenten. Het is geen medisch advies, klinische diagnose of behandelrichtlijn.

DUCTALE MODIFICATIE, REGULATIE EN ZELFEVALUATIE

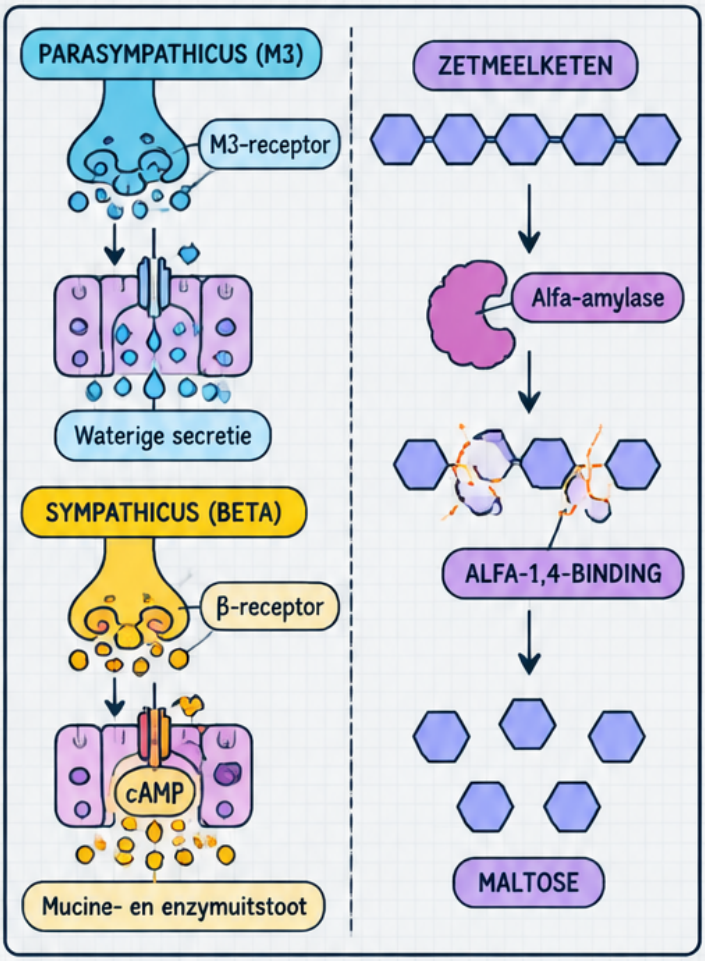
VERGELIJKEND OVERZICHT: SPEEKSELKLIEREN EN AUTONOME REGULATIE

De samenstelling van speeksel varieert per anatomische klier en hangt af van de actieve tak van het autonome zenuwstelsel.

- **Glandula parotidea** (oorspeekselklier): Overwegend sereus; levert het hoogste aandeel alfa-amylase.
- **Glandula submandibularis** (onderkaaksspeekselklier): Gemengd sereus/mukeus; produceert het grootste volume in rusttoestand.
- **Glandula sublingualis** (ondertongsspeekselklier): Overwegend mukeus; rijk aan mucines voor smering en bescherming van het mondslijmvlies.
- **Debiet-effect:** Bij hoge secretiesnelheid is er minder tijd voor ductale Na^+-reabsoptie, waardoor het eindvocht minder hypotoon blijft.

KLINISCH-FYSIOLOGISCHE AANTEKENING

Alfa-amylase functioneert optiamal bij een pH van 6,7 tot 7,0 en wordt geïnactiveerd zodra de voedselbolus grondig doordringt met maagzuur (pH < 4,0).



ZELFEVALUATIE EN CASUSANALYSE: SPEEKSELDYNAMIEK

Gebruik onderstaand werkkader om fysiologische mechanismen te koppelen aan functionele observaties tijdens rust en stimulatie.

Geef de ionenuitwisseling weer in de gestreepte afvoergang (welke ionen verlaten het lumen, welke treden toe?):

Wat is het effect van atropine (muscarinerge antagonist) op het volume en de viscositeit van speeksel?:

Beredeneer waarom de zetmeelvertering tijdelijk doorgaat in de maagfundus:

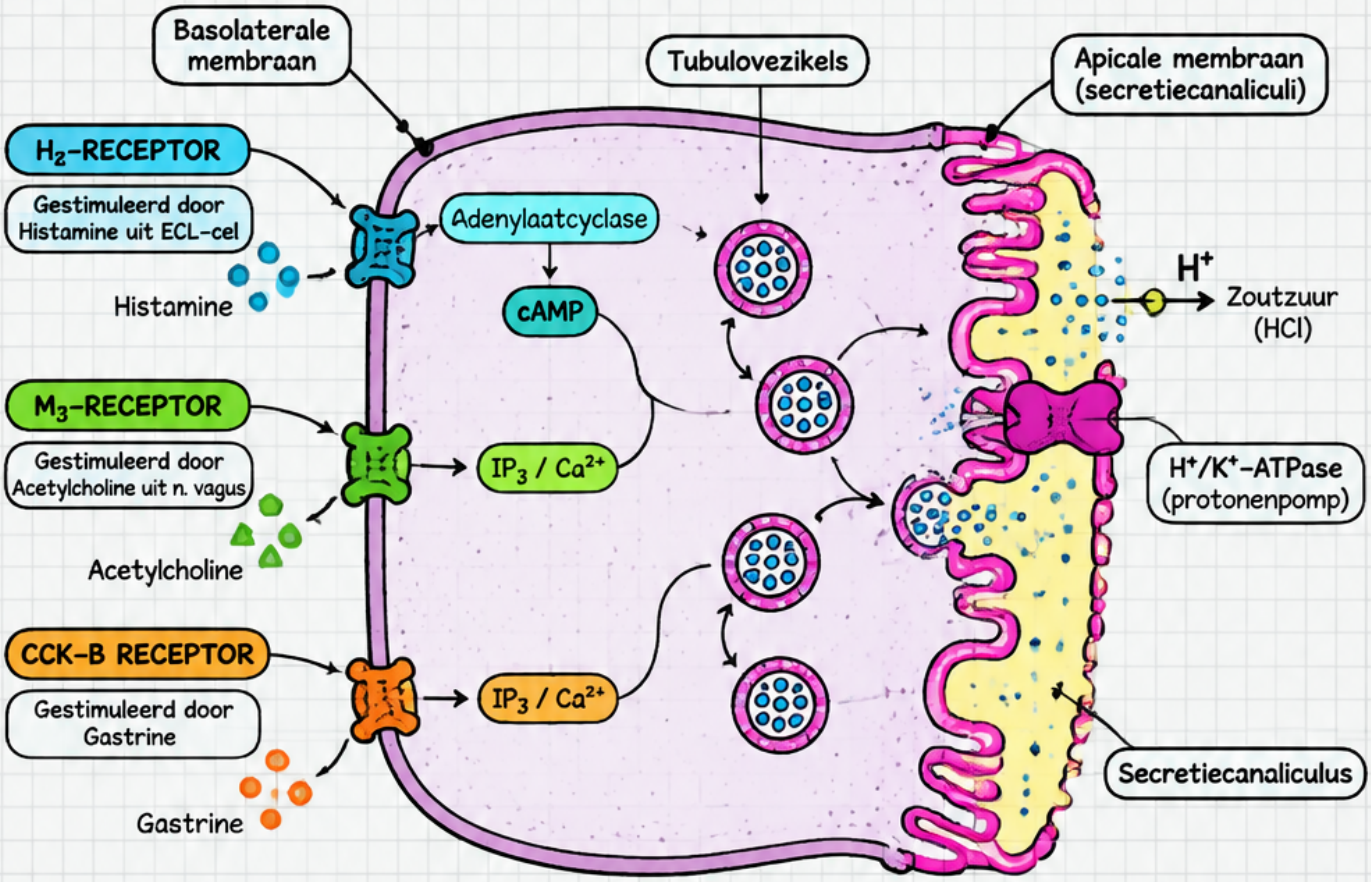
Berekening/Observatie van speekseldebiet en pH-verschuiving bij gustatoire stimulatie:

Vertoont de casus verminderde amylase-activiteit bij een neutrale pH?

- **Ja, lage hydrolysesnelheid ondanks normale pH** → Controleer op zink- en chloride-cofactoren of specifieke remming van acinaire eiwitsynthese in de glandula parotidea.
- **Nee, normale splitsing van zetmeelketens** → Beoordeed doorgangstijd en mechanische vermaling van het substraat om initiële bolusvorming te vaairborgen.

Deze materialan zijn uitsluitend bedeeld voor educativee doeleinden en vervangen geen professioneel medisch advies.

PARIËTALE CEL ACTIVATIE



Pariëtale Celfunctie en Receptormechanismen

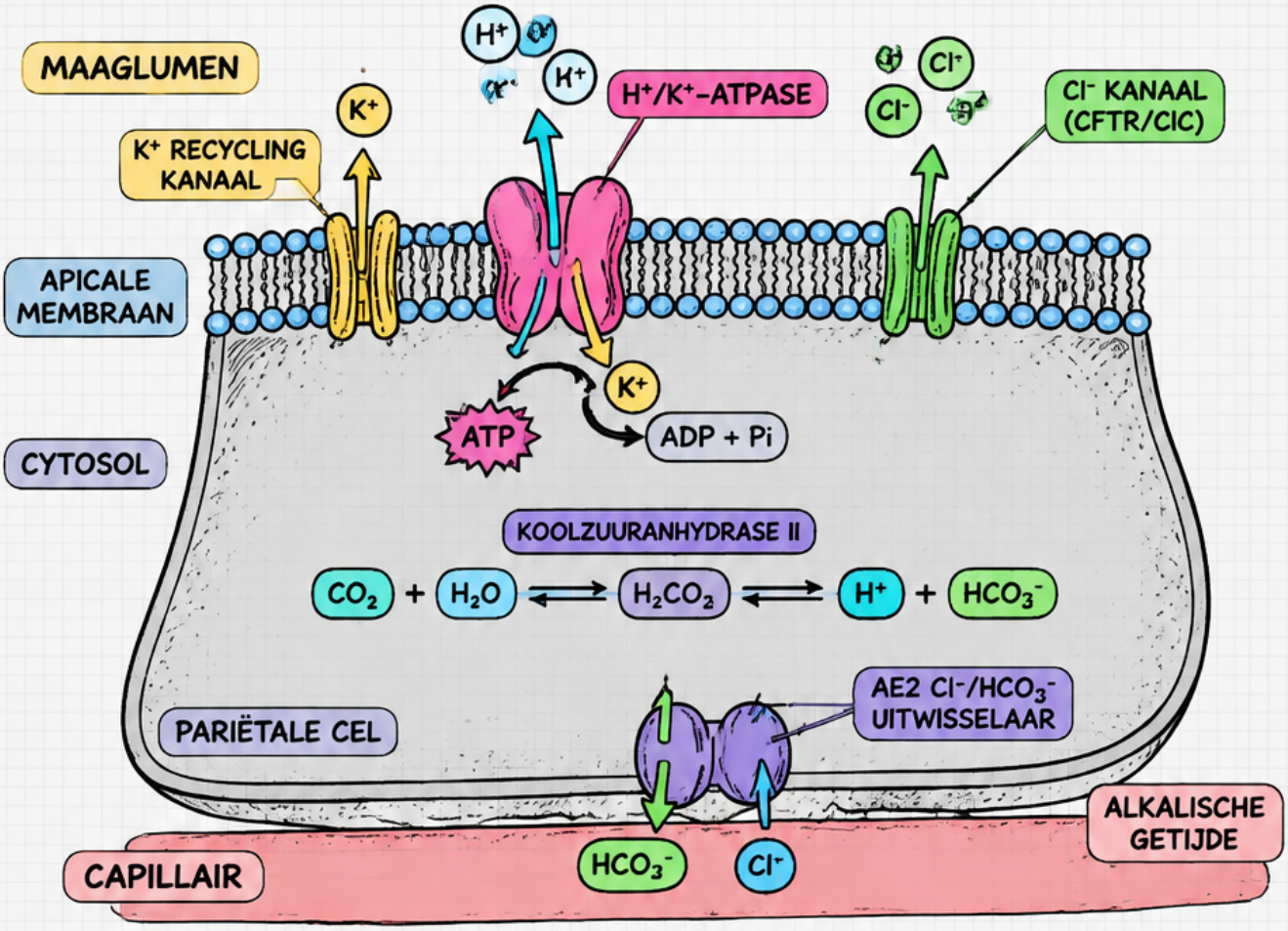
De pariëtale cel in de maagfundus en het corpus synthetiseert en secreteert zoutzuur (HCl) met een pH van 1 tot 2 om eiwitten te denatureren en pepsinogeen om te zetten in pepsine. Deze secretie wordt strikt gecoördineerd via drie basolaterale membraanreceptoren die de intracellulaire protonenpomp aansturen.

- **Histamine-2 (H_2) receptor**: bindt histamine uit enterochromaffine-achtige (ECL) cellen en verhoogt intracellulair cyclisch AMP (cAMP).
- **Muscarine-3 (M_3) receptor**: bindt acetylcholine (ACh) uit de nervus vagus en initieert de fosfolipase C (IP_3/DAG)-cascade voor calciumvrijgave.
- **Cholecystokinine-B (CCK-B) receptor**: bindt het endocriene hormoon gastrine uit antrale G-cellen en activeert eveneens de calciumroute.
- **Potentiërend synergie-effect**: gelijktijdige activatie van zowel de cAMP- als Ca^{2+}-routes resulteert in een exponentieel verhoogde fusie van tubulovesikels met de apicale canaliculaire membraan.

Educatieve Medische Disclaimer

Dit leermateriaal dient louter educatieve en fysiologische studiedoeleinden en vormt geen diagnostisch of therapeutisch behandeladvies voor maagaandoeningen.

De Apicale H^+/K^+-ATPase Protonenpomp



KINETIEK VAN DE APIKALE H^+/K^+-ATPase PROTONENPOMP

De finale gemeenschappeijile uitstoot van protonen vindt plaats aan de luminale zijde van de pariëtale cel via het membraangebonden H^+/K^+-ATPase enzymcomplex onder direct verbruik van adenosinetrifosfaat (ATP).

- Koolzuuranhydrase (CA-II) katalyseert intracellulair de hydratatie van CO_2 tot H_2CO_3, waanra dissociatie volgt in H^+ en HCO_3^-.
- Apicale H^+/K^+-ATPase pompt één H^+-ion het maaglumen in tegen een elektrochemische gradiënt van 1:1.000.000, in actieve uitwisseling met één K^+-ion.
- Apicale ionkanalen (KCNQ1/KCNE1 en ClC-5 / CFTR-homologen) recyclen kalium en vooren chloride-ionen parallel af naar het lumen, waardoor HCl ontstaat.
- Basolaterale anion-uitwisselaar (AE2) transpoteert bicarbonaat (HCO_3^-) het capillairbed in ('alkalische getijdevloed') in ruil voor extracellulair chloride (Cl^-).

FARMACOLOGISCHE AANGRIJPINGSPUNTEN

Protonpompremmers (PPI's) blokkeren covalent de geactiveerde H^+/K^+-ATPase pomp, terwijl H2-antagonisten selectief de histamine-gemedieerde cAMP-stimulatie dempen.

STAPPENPLAN

1. **Intracellulaire generatie van protonen**
   CO_2 diffundeert vanuit de bloedbaan en vormt via koolzuuranhydrase bicarbonaat en vrije H^+-ionen binnen het cytosol van de pariëtale cel.
2. **Membraanfusie en kanaalactivatie**
   Verhoogd cytosolisch cAMP en $Ca2^+$ stimulerer tubulovesikels met H^+/K^+-ATPase om te fuseren met de apicale canaliculi, wat het membraanoppervlak vergroot.
3. **Katalytische protonen-kalium uitwisseling**
   Onder hydrolyse van ATP pompt het enzym H^+ naar het maaglumen en healt K^+ naar binnen; K^+ lekt via apicale kanalen terug om de pomp operationeel et houden.
4. **Chloride-uitstroom en HCl-assemblage**
   Chloride volgt het elektrochemische potentiaal via luminale Cl^--kanalen; in het lumen verenigen H^+ en Cl^- zich tot maagzuuroplossing.

Deze informatie is uitsluitend bedeeld voor educatieve doeleinden en vervangt geen professioneel medisch advies.

DE MUCOSALE BARRIÈRE EN SLIJMVLIESPROTECTIE

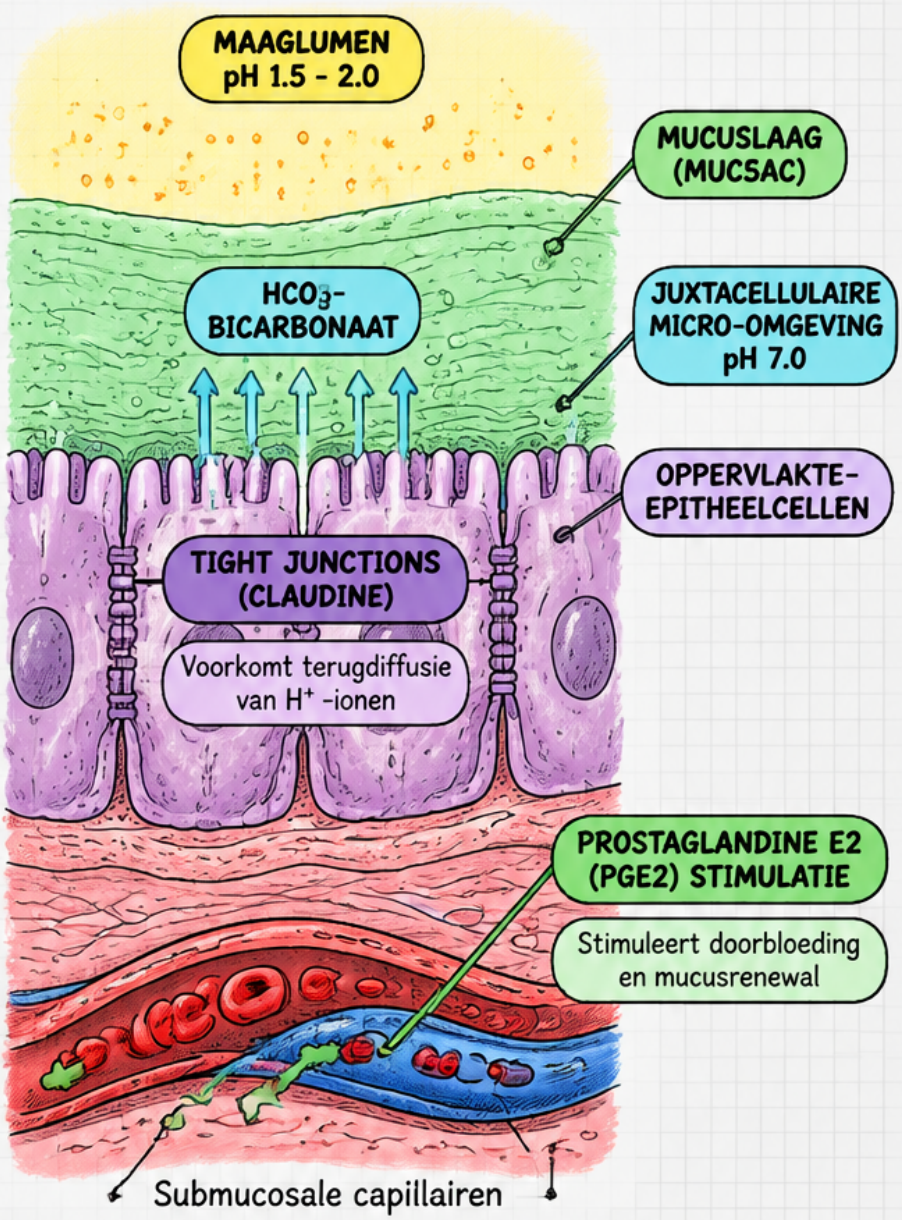
Mucosale Protectie en Zelfverteringspreventie

Om het maagepitheel te beschermen tegen autodigestie door pepsine en necrotisering door HCl, functioneert een meervoudige slijmvliesbarrière. Deze integriteit is fysiologisch afhankeiljk van lokale prostaglandinesynthese.

- Muceuze dekcellen scheiden een onoplosbare hydrogelmatrix uit van MUC5AC-mucine, die direct hecht aan het epitheeloppervlak.
- Oppervlakte-epitheelcellen scheiden HCO3- uit in de mucosale gellaag, waardoor een pH-gradiënt ontstaat: van pH 1,5-2 in het lumen tot pH 7,0 op het celmembraan.
- Prostaglandine E2 (PGE2) bindt aan EP3-receptoren op pariëtale cellen (remt cAMP) en stimuleert tegelijkeritd mucine-, bicarbonaat- en submucosale doorbloeding.
- Apicale tight junctions met claudine-eiwitten sluiten de intercellulaire ruimtes waterdicht af tegen paracellulaire terugdiffusie van H^+-ionen.

Barrière-inzinking

Remmo Remmmmmmmcit-oxygenase-1 (COX-I) door NSAID's verlaagt PGE2, tetgeen leidt tot minder mucusproductie, verminderde doorbloeding en verhoogde zuurgevoeligheid.



Welk mechanisme compenseert een acute toename van luminale zuurconcentratie?

1 Fysiologische toestand met intacte doorbloeding en prostaglandines



Lokale sensibele neuronen stimuleren vasodilatatie via CGRP/NO en verhogen bicarbonaatsecretie door dekcellen om de pH op celniveau rond 7 te handhaven.

2 Farmacologische COX-inhibitie of ischemie van de maagmucosa



De beschermende bicarboihaatlaag verarmt; H^+ diffundeert terug naar het submucosale vaatbed, wat mestceldegranulatie en weefsel-ulceratie initiëert.

Deze informatie is uitsluitend bedeeld voor educatieve doeleinden en vervangt geen medisch advies.

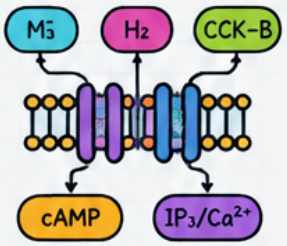
FYSIOLOGISCHE EVALUATIE & WERKBLAD

Fysiologische Werkbank & Analyse

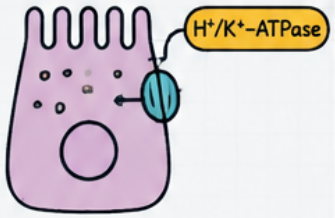
Fysiologische Werkbank: Evaluatie en Notities

Gebruik dit actieve analysewerkblad om weargenomen zuur-base mechanismen, farmacologische blokkades en cellulaire transportvectoren systematisch vast te leggen tijdens de casusbospreking.

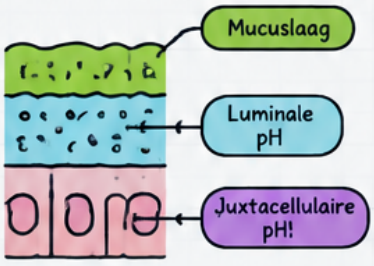
☐ Gewaarnomen receptoractivatie (M_3, H_2, CCK-B) en secundaire boodschappers (cAMP vs IP_3/Ca^{2+}):



☐ Status van de apicale canaliculi en H^+/K^+-ATPase activiteit (geinhibeerd / geactiveerd):



☐ Mucuslaag-integriteit, bicarbonaatgradiënt (uminale pH vs juxtacellulaire pH):

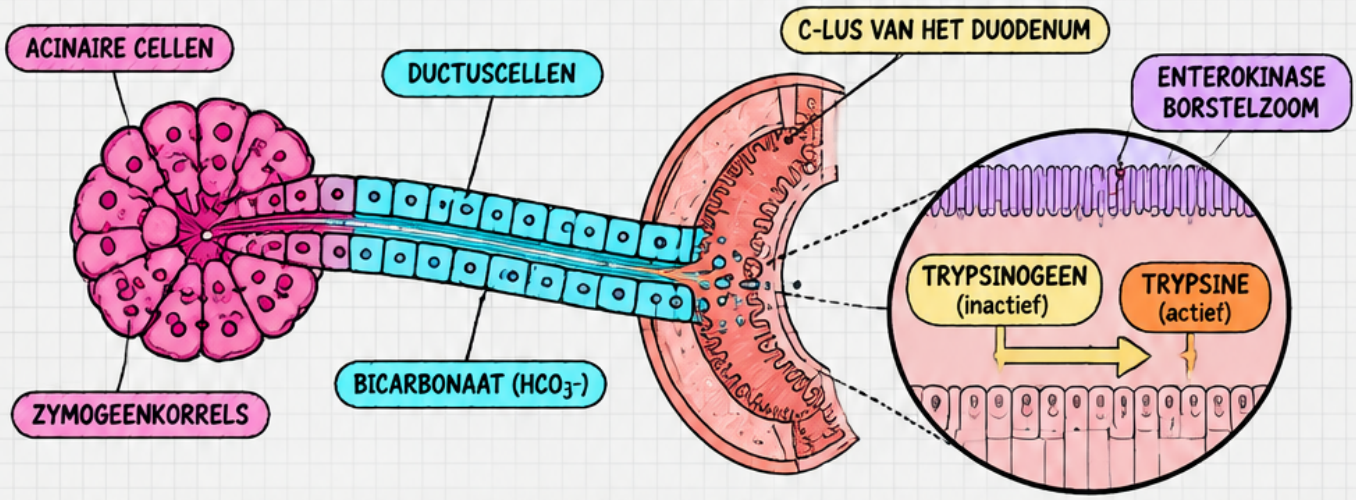


☐ Klinisch-fysiologische correlatie en farmacologische differentiaalnotities:



Alleen voor educatieve doeleinden.

PANCREAS EN DUODENUM



PANCREATISCHE EXOCRIENE SECRETIE EN DUODENUMACTIVATIE

Fysiologische Werking van het Exocriene Pancreas

Het exocriene deel van de alvleesklier produceert dagelijks circa 1 tot 1,5 liter pancreassap ter ondersteuning van de chemische vertering in het duodenum. Dit proces wordt gecoördineerd door acinaire cellen die inactieve pro-enzymen (zymogenen) synthetiseren en ductuscellen die waterig bicarbonaat (HCO_3^-) afscheiden ter neutralisatie van de zure maaginhoud.

- **Acinaire cellen:** synthese en granulaire opslag van spijsverteringszymogenen.
- **Ductuscellen:** transport van water en neutraliserend bicarbonaat onder invloed van secretine.
- **Duodenale mucosa:** synthese van membraangebonden **enterokinase** (enteropeptidase) dat de enzymatische activatiecascade start.

Educatieve Disclaimer & Doelstelling
Dit leermateriaal dient uitsluitend voor anatomisch en fysiologisch onderwijs: Het is geen medisch advies, klinisch zorgprotocol of diagnostisch hulpmiddel.

ZELFCONTROLE: DUODENALE FYSIOLOGIEREGULATIE

Controleer uw inzicht in de endocriene en enzymatische regulatiemechanismen aan de hand van de onderstaande klinisch-fysiologische beslisregel.

Welke fysiologische prikkel bereikt op dit moment het duodenale lumen?

- **Hoge zuurgraad (pH < 4,5) door maagzuurchymus** → Stimuleer S-cellen tot secretine-afgifte; ductuscellen verhogen bicarbonaatsecretie om enzymvernietiging te voorkomen.
- **Aanwezigheid van peptiden en langeketenvetzuren** → Activeer I-cellen voor cholecystokinine (CCK); acinaire cellen stoten zymogeenkorrels uit voor hydrolytische klieving.

DE CASCADE VAN ENZYMACTIVATIE

Om autodigestie van pancreasweefsel te voorkomen, verlaten proteolytische enzymen de alvleesklier als inactieve pro-enzymen. Pas bij het bereiken van de duodenumwand vindt gerichte activatie plaats via onderstaande stappen.

1. **Chymusstimulatie & Secretinesecretie**
   Zure chymus uit de maag bereikt het duodenum (pH < 4,5), wat S-cellen aanzet tot afgifte van secretine aan de bloedbaan.
2. **Bicarbonaatsecretie door Ductuscellen**
   Secretine stimuleert ductuscellen tot actieve secretie van HCO_3^- via het alvleesklierkanaal, waardoor de pH in het darmlumen stijgt tot het optimale werkingsgebied (pH 7-8).
3. **Acinaire Zymogeenafgifte via CCK**
   Vetzuren en aminozuren prikkelen I-cellen tot CCK-secretie, waardoor acinaire cellen trypsinogeen, chymotrypsinogeen en procarboxypeptidase vrijgeven via exocytose.
4. **Omzetting Trypsinogeen door Enterokinase**
   Het borstelzoomenzym enterokinase (enteropeptidase) splitst een terminaal hexapeptide af van trypsinogeen, waardoor actief trypsine ontstaat.
5. **Autokatalyse en Cascadeactivatie**
   Actief trypsine activeert vervolgens resterend trypsinogeen (autokatalyse) evenals chymotrypsinogeen naar chymotrypsine en procarboxypeptidase naar carboxypeptidase.

OEFENWERKBLAD: MECHANISMEN NOTEREN EN TOETSEN

Gebruik onderstaande werkvelden om de waargenomen componenten en transportroutes tijdens de practicumstudie puntsgewijs vast te leggen.

Gewaarnomen enzym of cofactor in het duodenumpreparaat:

Gevolg van enterokinasedeficiëntie op de algehele eiwitvertering:

Verklaring waarom activering van trypsine in de acinus leidt tot acute pancreatitis:

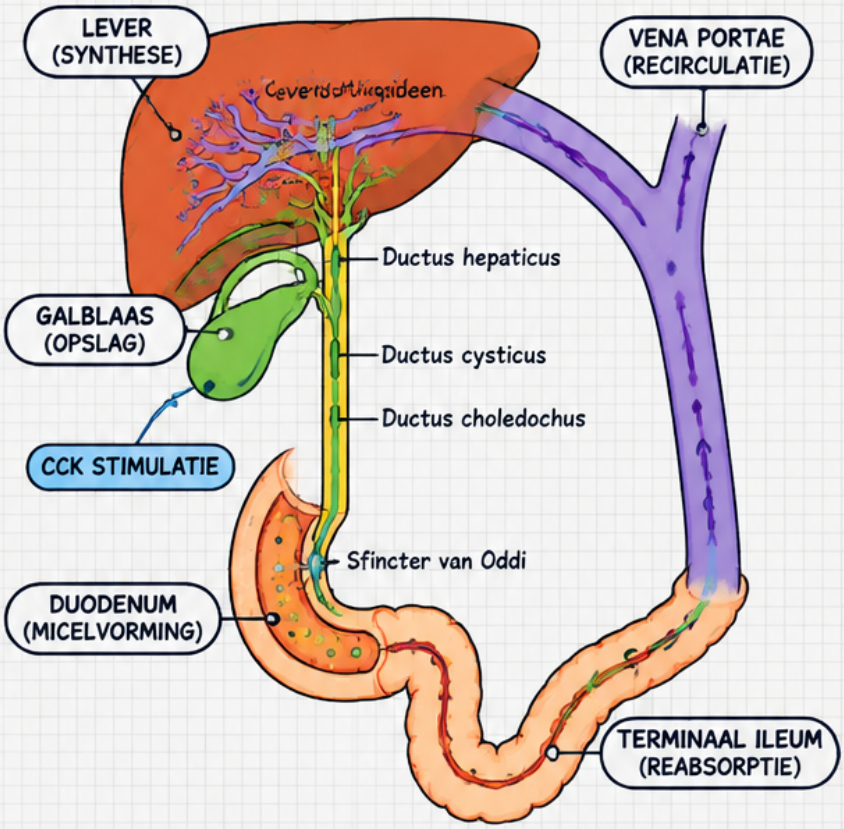
ENTEROHEPATISCHE KRINGLOOP

Enterohepatische Kringloop: Mechanisme & Stroomdiagram

Fysiologisch Overzicht en Kringloopmechanisme

Galzuren zijn essentiële amfipatische moleculen die door hepatocyten in de lever worden gesynthetiseerd uit cholesterol. Ze spelen een onmisbare rol bij de emulgering en opname van lipiden en vetoplosbare vitamines in de dunne darm. De enterohepatische kringloop zorgt ervoor dat circa 95 procent van de uitgescheiden galzouten actief wordt gereabsorbeerd in het distale ileum en via de vena portae hepatis terugkeert naar de lever.

- **Synthese:** Hepatocyten zezten cholesterol enzymatisch om in primaire galzuren (cholzuur en chenodeoxycholzuur), geconjugeerd met glycine of taurine tot galzouten.
- **Opslag & Concentratie:** Buiten de spijsverterings-fases sluit de sfincter van Oddi, waardoor gal terugstroomt naar de galblaas waar water en elektrolyten actief worden onttrokken.
- **Secretie & Contractie:** Binnenkomst van chymus met vetten en eiwitten in het duodenum prikkelt endocriene I-cellen tot afgifte van het hormoon cholecystokinine (CCK).
- **Reabsorptie:** Na vetemulgering transporteert het apicale natrium-afhankelijke galzuurtransporteiwit (ASBT) in het terminale ileum de galzouten terug naar het portaalbloed.



Educatieve Medische Disclaimer

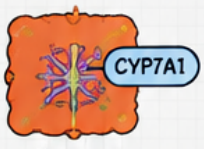
Deze illustratie en toelichting dienen uitsluitend voor anatomisch en fysiologisch onderwijs. Het materiaal vormt geen medisch advies, klinische richtlijn of diagnostisch kader voor galweg- of leveraandoeningen.

STAPSGEWIJZE FYSIOLOGISCHE KETEN

Volg de opeenvolgende fasen van de galzuurcyclus om de dynamiek tussen lever, galwegen, darmkanaal en portale circulatie systematisch te doorgronden.

1 Stap 1: Hepatische Galzuursynthese

Hepatocyten synthetiseren galzuren via het snelheids-beperkende enzym cholesterol-7-alfa-hydroxylase (CYP7A1) en scheiden deze actief uit in de canaliculi biliares.



Hepatocyt

2 Stap 2: Opslag en Dehydratie in het Vesica Biliaris

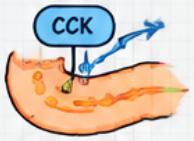
Tussen de maaltijden sluit de musculus sphincter ampullae (Oddi). Gal vult de galblaas, waar epitheelcellen natrium en water absorberen en de gal tot vijfvoudig indikken.



Geconcentreerde gal

3 Stap 3: Hormonale Prikkeling via Cholecystokinine (CCK)

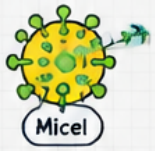
Vetrijk chymus in het duodenum induceert mucosale afgifte van CCK in het bloed, wat gelijktijdig krachtige contractie van de galblaaswand en relaxatie van de sfincter van Oddi bewerkt.



Contractie galblaas + relaxatie Oddi

4 Stap 4: Duodenale Emulgering van Voedingslipiden

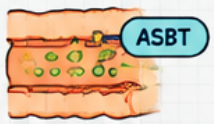
Geconcentreerde gal mengt zich met chymus via de ductus choledochus en vormt micellen met vetzuren en monoglyceriden voor enzymatische splitsing door pancreassap.



Vetzuur + monoglyceride

5 Stap 5: Terminale Ileale Reabsorptie en Portale Recirculatie

In het distale terminale ileum herneemt actief transport via ASBT circa 95% van de galzouten, die via de vena mesenterica superior en vena portae rechttreseks naar de lever sinusoiden vloeien.



Reabsorptie galzouten

Klinisch-Fysiologische Beslisboom: Verstoorde Kringloop

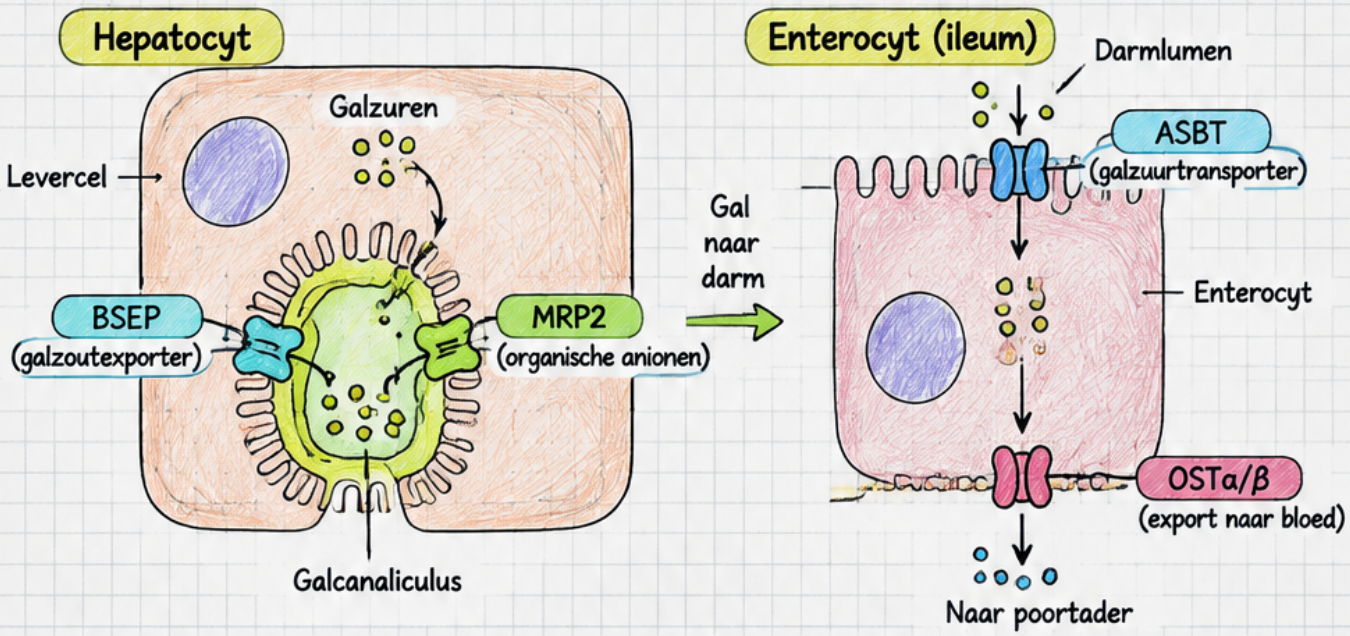
Gebruik deze differentiërende beslisboom om te bepalen op welk knooppunt in de kringloop een specifiere fysiologische verstoring optreedt.

Welk orgaandeel of fysiologisch proces vertoont een functionele obstructie of defect?

- Falen van cholecystokinine (CCK) afgifte of mechanische obstructie van ductus cysticus/ choledochus → Onderzoek de postprandiale lediging van de galblaas; galzouten bereiken het duodenum onvoldoende, resulterend in lipidenmalabsorptie en lichte steatorroe.
- Ontsteking of resectie van het terminale ileum (verlies van ASBT-transportfunctie) → Vaststellen van galzurendiarrhee door overmatige prikkleling van het colon-epitheel en depletie van de circulerende hepatische galzuurpool.

Educatieve Medische Disclaimer: Deze illustratie en teelichting dienen uitsluitend voor anatomisch en fysiologisch onderwijs. Het materiaal vormt geen medisch advies, klinische richtlijn of diagnostisch kader voor galweg- of leveraandoeningen.

FYSIOLOGISCHE REGELING



Zelfstudie Werkblad: Fysiologische Analyse

Toets uw inzicht in de enterohepatische kringloop door de onderstaande fysiologische parameters en regelkringen kort en exact uit te werken.

Aandachtspunt Zelfevaluatie

Let op het onderscheid tussen primaire galzuren (geproduceerd door de lever) en secundaire galzuren (gemodificeerd door darmbacteriën in het colon).

1 Beschrijf het moleculaire effect van Cholecystokinine (CCK) op zowel de galblaaswand als de sfincter van Oddi:

2 Verklaar waarom een verminderde reabsorptie in het terminale ileum leidt tot toegenomen hepatische cholesterolsynthese:

3 Benoem de twee primaire galzuren en noteer de aminozuren waarmee zij in de lever worden geconjugeerd:

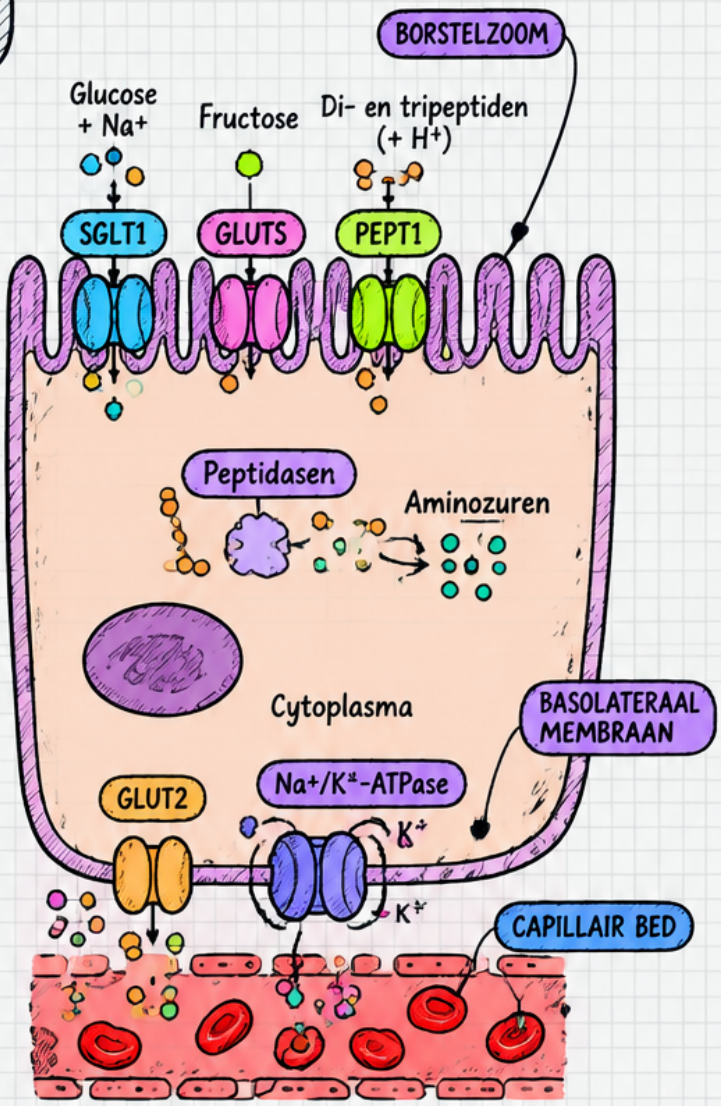
Deze informatie is uitsluitend bedeeld voor educatieve doeleinden.

MECHANISMEN VAN ENTEROCYTENABSORPTIE

Transportmechanismen aan de Borstelzoom

De luminale opname van koolhydraten en eiwitten in het dunnedarmepitheel verloopt via gepecäaliseerde membraaneiwitten in de apicale membraan van de enterocyt. Glucose en galactose worden actief getransporteerd tegen hun concentratiegradiënt in via de natrium-glucose-cotransporter 1 (SGLT1), aangedreven door de elektrochemische gradiënt die in stand wordt gehouden door de basolaterale Na+/K+-ATPase-pomp. Fructose steunt op gefaciliteerde diffusie via glucosetransporter 5 (GLUT5). Eiwitten worden afgebroken tot losse aminozuren en korte di- en tripeptiden; di- en tripeptiden passeren de apicale membraan hoofdzakelijk via de proton-gekoppelde oligopeptidetransporter 1 (PepT1). Eenmaal in het cytoplasma breken intracellulaire peptidasen de peptiden grotendels af tot vrije aminozuren.

- SGLT1: secundair actief transport van 1 molecuul glucose of galactose gekoppeld aan 2 natriumionen (apicaal).
- GLUT5: gefaciliteerde diffusie specifiek voor fructose zonder direct ionengebruik (apicaal).
- PepT1: symport van di- en tripeptiden aangedreven door een H^+-gradiënt.
- GLUT2 en aminozuurtransporters: passieve en gefaciliteerde afgifte aan de basolaterale zijde richting het capillair bed.



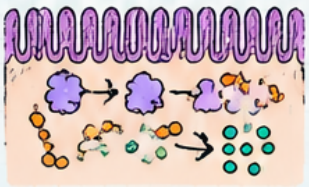
Educatieve Mededeling

Deze anatomische en fysiologische weergave dient uitsluitend voor educatieve doeleinden voor studenten en docenten. Het vervangt geen klinisch oordeel, medische diagnose of behandeladvies.

STAPSGEWIJZE ROUTE VAN VOEDINGSSTOF NAAR CAPILLAIR

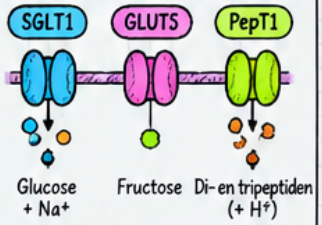
Volg de opeenvolgende fasen van enzymatische splitsing, membraanpassage en basolaterale export naar de systemische microcirculatie.

1 Stap 1: Membraangebonden hydrolyse



Borstelzoomenzymen zoals lactase, sucrase-isomaltase en membran-aminopeptidasen splitsen oligomeren tot enkelvoudige monomeren en klénie oligopeptiden direct op het celoppervlak.

2 Stap 2: Apicaal membraantransport



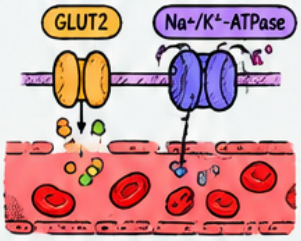
SGLT1 transporteert glucose en galactose samen met natrium de cel in. Fructose diffundeert via GLUT5. PepT1 importeert di- en tripeptiden gekoppeld aan H^+-symport.

3 Stap 3: Cytosolaire omzetting



Intracellulaire peptidasen splitsen overgebleven di- en tripeptiden direct in vrije aminozuren om peptide-accumulatie in het cytoplasma te voorkomen.

4 Stap 4: Basolaterale efflux en microcirculatie



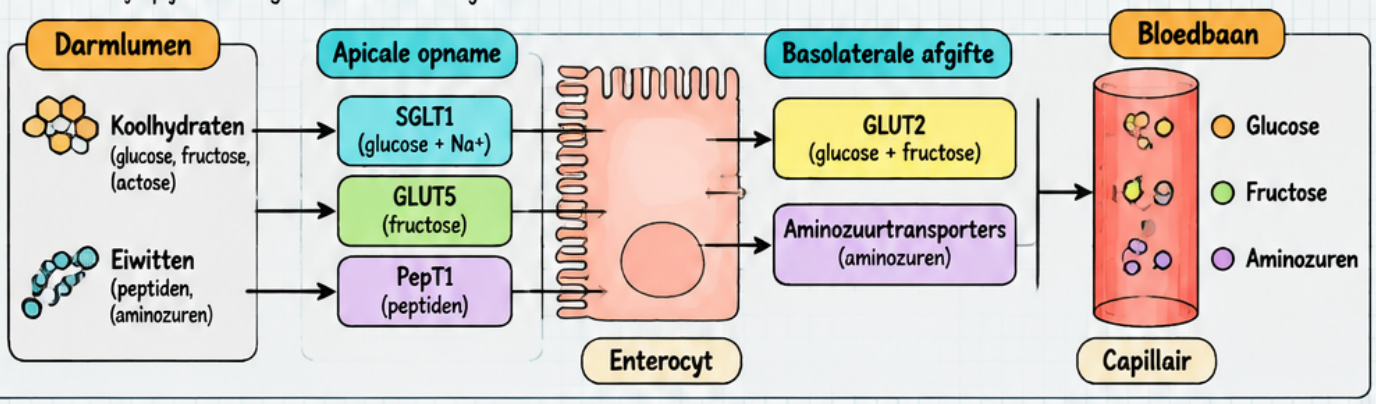
Monosacharíden verlaten de enterocyt via gefaciliteerde diffusie door GLUT2 naar het interstitium. Vrije aminozuren benutten basolaterale transporteiwitten. Alle nutriënten diffunderen vervolgens via veneuze fenestraties naar het capillaire bed richting de poortader.

Deze anatomische en fysiologische weergave dient uitsluitend voor educatiove doeleinden voor studenten en docenten. Het vervangt geen klinisch oordeel, medische diagnose of behandeladvies.

Fysiologische Toepassing & Casusanalyse

KLINISCH-FYSIOLOGISCHE ONDERSCHEIDING: OSMOTISCHE KLACHTEN

Gebruik deze beslisboom om transportdefecten en malabsorptiemechanismen bij spijsverteringsklachten te analyseren.



INTERACTIEVE ANALYSE & KENNISCONTROLE

Gebruik onderstaande werkruimte om de transportvectoren, drijvende krachten en gradiënten voor jouw onderwijsmodule of casus vast te leggen.

- Controleer of de basolaterale Na^+/K^+-pomp actief ATP verbruikt om de natriumgradiënt voor SGLT1 te handhaven.
- Verifieer dat PepT1 afhankelijk is van de NHE3-natrium-waterstof-uitwisselaar voor behoud van de luminale protongradiënt.

Verificatiestatus

Fysiologische mechanismen zijn afgestemd op standaardleerdoelen voor het hoger gezondheidsonderwijs. Controleer curriculumeisen voor specifieke genetica of transportmutaties.

Welk nutriëntentransport is primair belemmerd bij aanhoudende osmotische diarree en winderigheid?

Klachten treden direct op na inname van melkproducten met normale opname van vrije sacharose	Klachten verergeren specifiek bij hoge doseringen vrije fructose of vruchtensappen	Gegeneraliseerde malabsorptie met afgevlakte villi en verlies van microvilli
Deficiëntie van het luminale borstelzoomenzym lactase. Onverwerkt lactose blijft in het darmlumen en trekt osmotisch vocht aan, bacteriële fermentatie veroorzaakt gasvorming.	Oververzadiging of verminderde capaciteit van GLUT5-transporters. Fructose accumuleert distaal in het colon met secundaire waterretentie tot gevolg.	Structurele mucosaschade (zoals bij coeliakie). Dit leidt tot synchroon verlies van SGLT1, PepT1 en enzymatische borstelzoomcapaciteit door verlies van functioneel oppervlak.

STUDENTENOPDRACHT

1. Geregistreerde apicale transporters (SGLT1, GLUT5, PepT1) en hun substraat:

2. Verklaring van de drijvende kracht achter secundair actief transport (Na^+/K^+-ATPase functie):

3. Route en bestemming van nutriënten na passage van het basolaterale capillair:

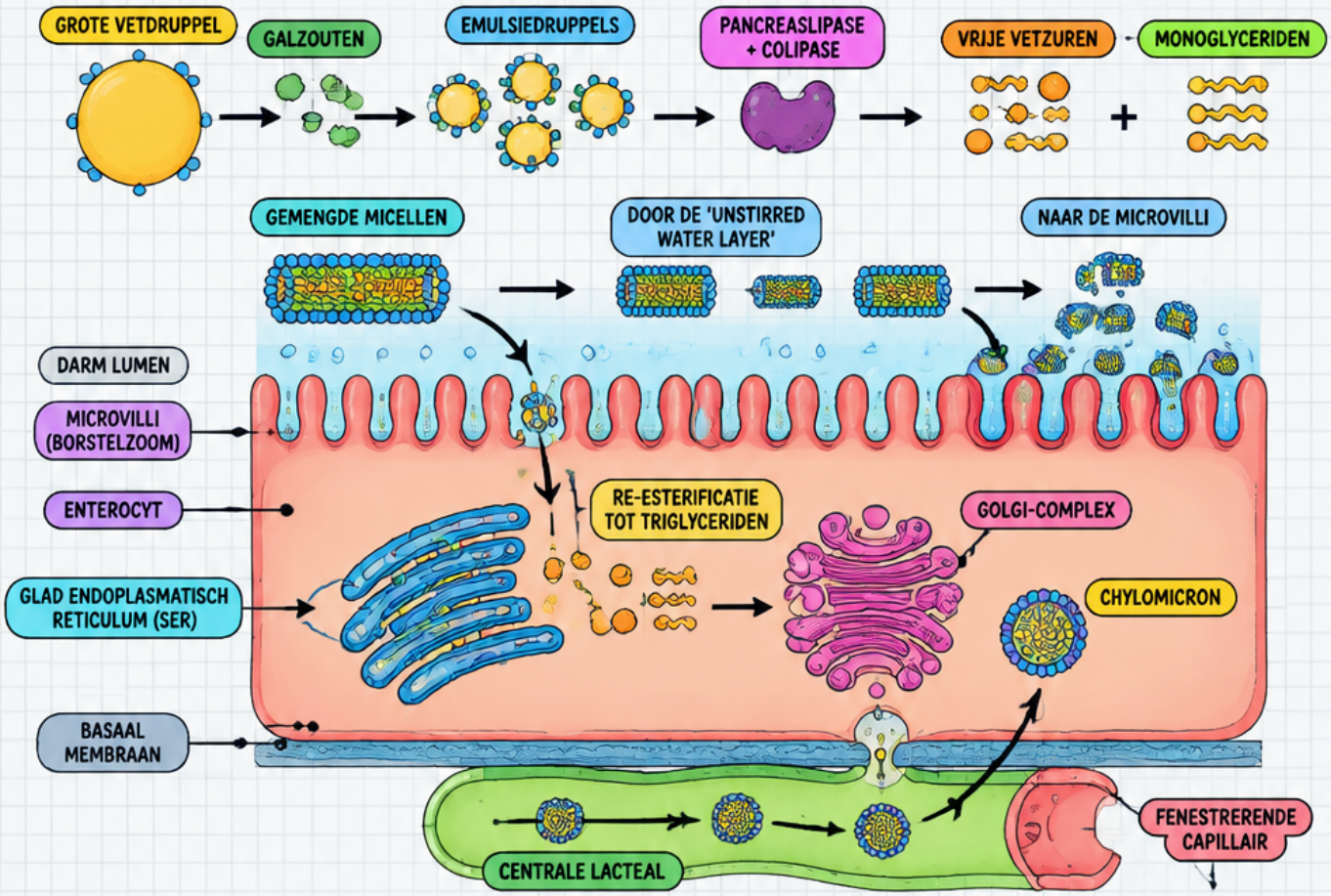
CHECKLIST

- [ ] SGLT1 (glucose + Na^+)
- [ ] GLUT5 (fructose)
- [ ] PepT1 (peptiden)
- [ ] Na^+/K^+-ATPase actief
- [ ] NHE3 (Na^+-H^+ uitwisseling)
- [ ] Secundair actief transport
- [ ] Osmotische diarree
- [ ] Mucosaschade / coeliakie

Notities:

Deze materialen zijn uitsluitend bedeeld voor educatieve doeleinden.

MECHANISME VAN LIPIDENEMULSIFICATIE, MICELVORMING EN CHYLOMICRONENTRANSPORT



FYSIOLOGISCH MECHANISME: VETVERTERING EN LIPIDENTRANSPORT

Dit leerschema toont de biochemische en cellulaire route van hydrofobe lipiden in het spijsverteringskanaal. Triglyceriden kunnen door hun hydrofobe karakter niet direct diffunderen over het apicale membraan van enterocyten en vereisen mechanische en chemische emulsificatie door galzouten en pancreatische enzymen voordat absorptie en chylomicronassemblage kunnen pleatsvinden.

- Galzouten verlagen de oppervlaktespanning van grote vetdruppels in het duodenum en vergroten het specifiche enzymoppervlak.
- Pancreaslipase splitst triglyceriden specifieh in vrije vetzuren (FFA) en 2-monoacylglycerolen (MAG).
- Gemengde micellen fungeren als shuttle door de waterige diffusielaag naar de microvilli van de enterocyt.
- Re-esterificatie in het glad endoplasmatisch reticulum vormt opnieuw neutrale triglyceriden voor verpakking in chylomicronen.

Educatieve Disclaimer & Fysiologische Kennisgeving

Dit visuele leerschema is uitsluitend bestemd voor educatieve en academische doeleinden en vervangt geen medisch advies, klinische diagnose of farmacologische behandeling. Raadpleeg voor medische interventies altijd een bevoegd arts.

1 Stap 1: Emulsificatie door galzouten in het duodenum

Grote vetdruppels uit de chymus worden door de amfipatische werking van galzouten uiteengedreven in microscopische emulsiedruppeltjes, waardoor het water-vet grensvlak exponentieel toeneemt.

2 Stap 2: Enzymatische hydrolyse door pancreaslipase en colipase

Pancreaslipase bindt met behulp van colipase aan het grensvlak van de emulsieddruppels en hydrolyseert de esterverbindingen op positie 1 en 3 van triglyceriden, met prije vetzuren en 2-monoglyceriden als reusltoat.

3 Stap 3: Micelvorming en diffusie door de 'unstired ruter layer'

Lipiden vormen samen met galzoutmoleculen gemengde micellen van eirca 4-7 nm, die door de waterige diffusielaag navigeren tot vlak tegen de borstelzoom (microvilli).

4 Stap 4: Apicale opname en re-esterificatie in de enterocyt

Vrije vetzuren en monoacylglycerolen verlaten de micel en passeren passief of via dragereiwitten (oaals CD36) het celmembraan. in het glad endoplasmatisch reticulum (SER) worden ze opnieuw omgevormd tot triglyceriden.

5 Stap 5: Assemblage vam chylomicronen en lacteaalttansport

Triglyceriden worden verpakt met fosfolipiden, cholesterol en apolipoproteine B-18 tot chylomicronen, verlaten basolateraal de cel via exocytose en treden binnen in de centrale lymfelacteaal vanwege de groore fenestraties.

Welk transportsysteem volgt het geabsorbeerde lipidemolecuul op basis van ketenlengte?

- Kort- en middellangeketenvetzuren (korter dan 10-12 koolstofatomen) → Diffunderen direct zonder re-esterificatie door het enterocytytoplasma near de capilliaren van het poortadersysteem, gebonden aan serumalbumine.
- Langketenvetzuren (LCFA, 12 koolstofatemen of meer) en monoglyceriden → Ondergaan verplichte re-synthese tot triglyceriden in het SER, chylomicronassemblage in het Golgi-apparaat en drainage via de centrale lymfelacteaal naar de ductus thoracicus.

Dit visuele leerschema is uitsluitend beetemd voor educatieve en academische doeleiinden en vervangt geen medisch advies, klinische diagnose of farmacologische behandeling.

ANALYSE EN TOETSING

Zelfevaluatie en Fysiologische Analyse

Interactieve Analyse & Zelfevaluatie: Mechanistische Stappen

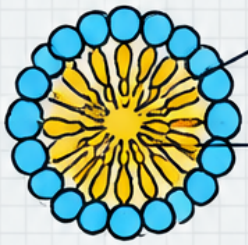
Geeruik dit actieve werkblad om de afzonderlijke mechanismen van de luminale, cellulaire en lymfatische fasen te controleren an te documenterer tijdens je zelfstudie.

- [ ] Documenteer het effect van verminderde galzoutsecretie op de micelvorming.
- [ ] Verklaar waarom chylomicronen de bloedcapillair niet rechtstreeks kunnen binneedringen.
- [ ] Analyseer de rol van apolipoproteïne B-48 in de membraanstabilisatie van chylomicronen.

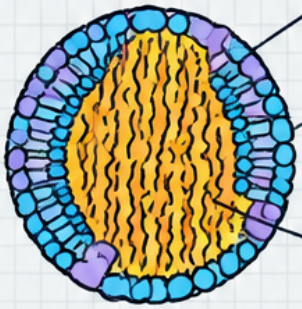
Aandachtspunt voor Zelftoetsing

Let op het fysiologische verschil tussen emulsiedruppels (luminaal substraat), micellen (luminale transportscheepjes) en chylomicronen (intracelllair gaassembleerde exocytoseblaasjes).

MICEL



CHYLOMICRON



1 Wat gebeurt er met de micelvorming bij een te lage intraluminale pH (bijv. maagzuurovermaat)?

2 Beschrijf de structurele opbouw van een chylomicron (lipidekern versus amfipatische buitenlaag):

3 Redeneer waarom enterocyten geen chylomicronen via de poortader naar de lever sturen:

Dit werkblad is uitsluitend bedeeld voor educatieve doeleinden.

GASTRO-INTESTINALE MOTILITEIT

Peristaltiek en Migrerend Motorcomplex

Fysiologie van de Darmmotiliteit: Mechanisme & Regelkring

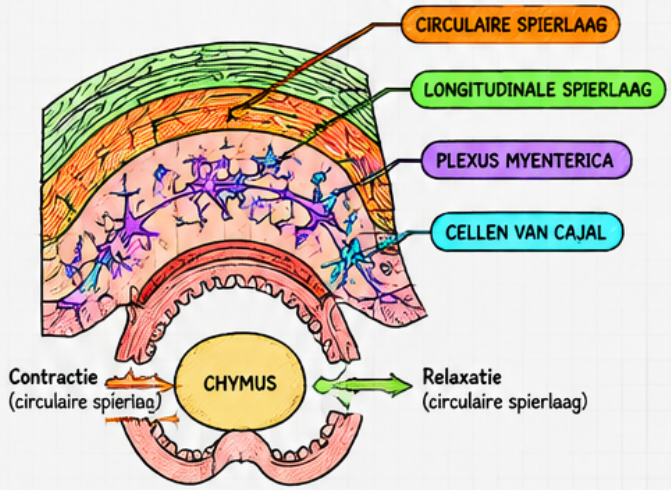
De verplaatsing en menging van voedselbrij door het maag-darmkanaal berust op nauwkeurig gecoördineerde contracties en relaxaties van glad spierweefsel. De interstitiële cellen van Cajal fungeren als intrinsieke pacemakers die trage golven van depolarisatie genereren. Deze ritmische elektrische activiteit wordt gemduleered door het enterische zenuwstelsel, elestande uit de plexus myentericus van Auerbach en de plexus submucosus van Meissner, in wisselwerking met het autonome zenuwstelsel.

- Cellen van Cajal genereren basale trage golven (slow waves) die de maximale contractiefrequentie bepalen.
- Plexus myentericus stuurt de gecoördineerde contractie van de circulaire spierlaag proximaal en relaxatie distaal aan.
- Segmentatiecontracties zorgen primair voor mechanische menging en contact met den darmslijmvies.
- Peristaltische golven verzorger de netto voortstuwing in aborale richting.

Educatieve Disclaimer & Doel

Deze illustratie en tekst dienen uitsllutend voor educatieve doeleinden binnen het anatomie- en fysiologieonderwijs. Het materiaal vormt geen medisch advise, klinische richtlijn of diagnostisck instrument.

Dwarsdoorsnede darmwand (dunne darm)



Vergelijkende Analyse: Postprandiale Fasen versus Interdigestief MMC

Tijdens en kort na de maaltijd domineert een postprandiaal motiliteitspatroon gericht op menging en propulsie. Sodza de opname groeteneeels is afgerond, schakelt het maag-darmkanaal over op het Migrerend Motorcomplex (MMC). Het MMC doorloopt fier cyclische fasen over circa 90 tot 120 minuten en werkt als een fysiologische 'huishoudelijke bezem' die onverteerde resten, celresten en bacteriën naar het colon transportert.

- Fase I (rustfase): Relden actiepotentialen of contracties, duur ongeever 45 tot 60 minuten.
- Fase II (intermitterende activiteit): Onregelmatige contracties met progressieve toeneame van intensiteit.
- Fase II (intensieve voortstuwing): Ritmische contracties met maximale amplitude over 5 tot 10 minuten, gemedieerd door motilline.
- Fase IV (overgangsfase): Snelle afname van contracties en terugkeer naar de rustfase.

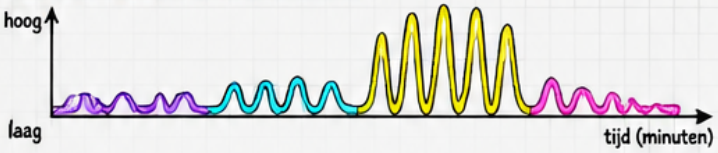
Klinische Relevantie van het MMC

Verstoring van Fase III van het MMC wordt in de klinische fysioloige gessoozieard met bacteriële overgroei in de dunne darm (SIBO), omdat de naturrijke mechanische reiniging wegwalt.

Migrerend Motorcomplex (MMC)

FASE I: RUST	FASE II: INTERMITTEREND	FASE III: MAXIMALE CONTRACTIE	FASE IV: VERVAL
45 – 60 min	variabel	5 – 10 min	kort

Motiliteitgolf (contractie-amplitude)



1 Rustfase (Fase I)

Quiescente toestand zonder noemenswaardige contractiele activiteit. Spiercellen vertonen basale elektricke rustpotentialne aorder actiepotentialen.

2 Initiatie & Motlline-stiging (Fase II)

Endocriene M-cellen in het duodenum geven motiline af, wat liedt tot toenmende inter-mitterende depolarisaites en variabele contracties.

3 Propulsieve Piek (Fass III)

Maximale contractie-frequentie en amplitude vegen de darminhoud over lange segmenten schoon in de richting van het ileocacale ventiel.

4 Receptieve PPiek c (Fase IV)

Contractiekractt neemt direct af onder invloed van inhiberende neuro-transmitters (NO en VIP) tot de cyclus opnieuw aanvangt.

Zelfevaluatie: Differentiatie van Motiliteitspatronen

Gebruik dit beslissings- en verificatieschema om motiliteitsmechanismen correct toe àe wijzen aan de actieve spijsverteringsfase of de nuchtere fase.

- Bepaal of de prikkel mechanisch/chemisch is (aanwezigheiif chymus) of neuro-humoraal (nuchtere fase).
- Verifieer welke spierlaag contraheert ten ezpichte van de voedaelbolus.
- Controleer de betrokken neurotransmitters: Acetylcholine en Substance P (excitatoir) versus NO en VIP (inhibitoir).

Gobsesrveerd golfpatroon (lokaal oscillerend / langdurig propulsief / nuchtere cycli):

Betrokken regelsysteem (Enterisch Zenuwstelsel / Cajal-pacemaker / Parasympathicus / Motiline):

Functionele uitkomst voor het darmlumen en de chymusverplastsing:

Deze illustratie en tekst dienen uitsilutend voor educatieve doeleinden binnen het anatomie- en fysiologieonderwijs. Het materiaal vormt geen medisch advies, klinische richtlijn of diagnostisch instrument.

Welk fysiologisch motiliteitspatroon treedt primair op in het geëvalueerde darmsegment?

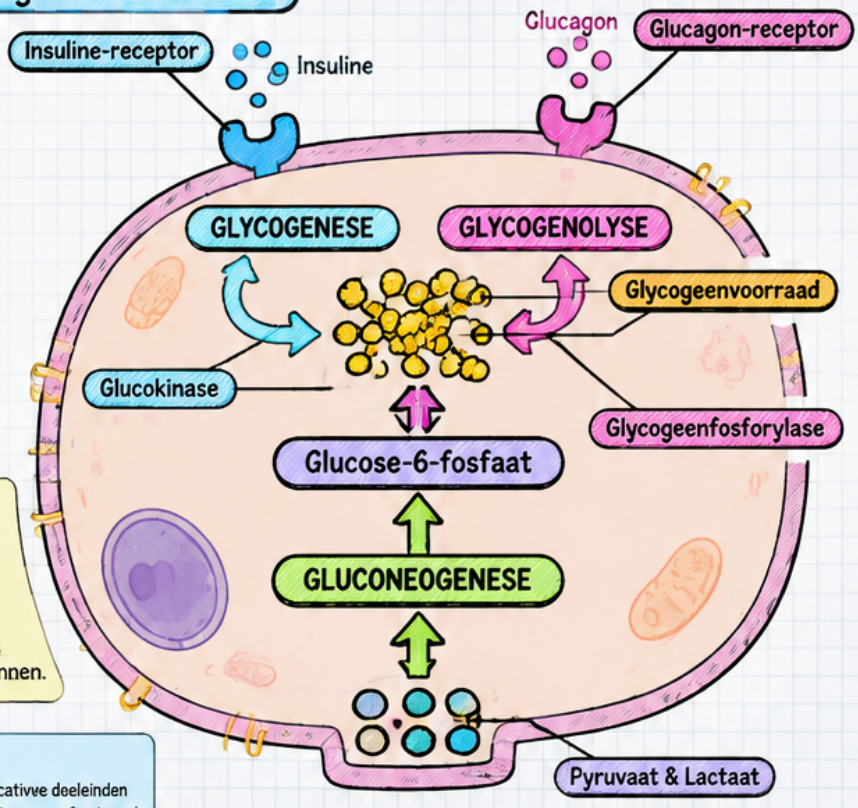
1. Aanwezigheid van chymus, rekkingssensoren geactiveerd, mengende niet-voortstuwende beweging zichtbaar → Classificeer als **segmentatiecontractie**; circulaire spierlagen alterneren lokaal om chymus met enzymen te mengen.
2. Aanwezigheid van bolus met contractie oraal en relaxatie aboraal → Classificeer als klassieke peristaltiek: gereglueerd door de enterische myenterische reflexboog.
3. Nuchtere toestand (>2 uur postprandiaal), cyclische migrerende contractiegolven → Classificeer als Migrerend Motorcomplex (MMC); analyseer specifieke fase (I t/m IV) en motiline-activiteit.

LEVERMETABOLISME

Mechanismen van Levermetabolisme: Glycogenese, Glycogenolyse en Gluconeogenese

1 Levermetabolisme: Centrale Regelaar van Glucose

De lever fungeert als de biochemische buffer van het menselijk lichaam voor bloedglucose. Binnen de hepatocyten concurreren drie complementaire biochemische routes om de systemische glucosespiegel nauwkeurig binnen fysiologische grenzen nx houden: glycogenese (opslag), glycogenolyse (afbraak) en gluconeogenese (nieuwvorming). De richting van deze processen wordt primair gestuard door de verhouding tussen de hormonen insuline en glucagon, aangevuld door acute stresssignalen via epinefrine.



- Hepatocyten schakelen direct tussen anabole koolhydraatopslag en katabole glucoseafgifte.
- Insuline stimuleert opname en polymerisatie tot glycogeen na de maaltijd.
- Glucagon en epinefrine activeren glycogeenafbraak en de synthese van glucose uit niet-koolhydraatbronnen.

EDUCATIEVE DISCLAIMER

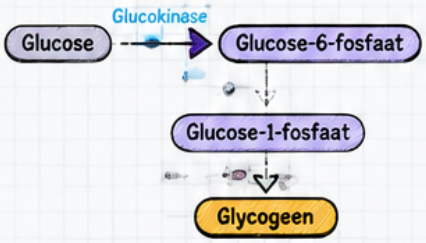
Deze illustratieve leermodule is uitsluitend bestemd voor educatieve doeleinden en studie. Het bevat fysiologische bassimodellen an vervangt nimmer professioneel medisch advies, klinning of medische diagnostische dinnen.

2 De Drie Biochemische Paden in de Hepatocyt

Onder invloed van enzymatische cascades worden substratens door de hepatocyt geleid afhankelijk van de actuele metabole status.

1 Glycogenese (Postprandiaal)

Bij een hoge bloedglucosespiegel bindt insuline aan hepatocyten. Glucose wordt gefosforyleerd naar glucose-6-fosfaat via glucokinase, omgezet naar glucose-1-fosfaat en via glycogeensynthase ingebouwd in glycogeenketens.



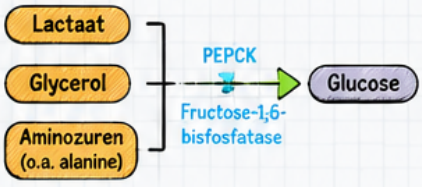
2 Glycogenolyse (Vroege Vasten)

Wanneer de glucosespiegel daalt, activeert glucagon via cAMP en proteinekinase A het enzym glycogeenfosforylase. Glycogeen wordt sesplitst tot glucose-1-fosfaat en via glucose-6-fosfatase als vrije glucose in de bloedbaan vrijgegeven.



3 Gluconeogenese (Langdurig Vasten)

Bij aanhoudend glucoseverbruik synthetiseert de lever glucose de novo uit precursors zoals lactaat, glycerol en glucogene aminozuren (o.a. alanine), gestuurd door enzymen zoals PEPCK en fructose-1,6-bisfosfatase.

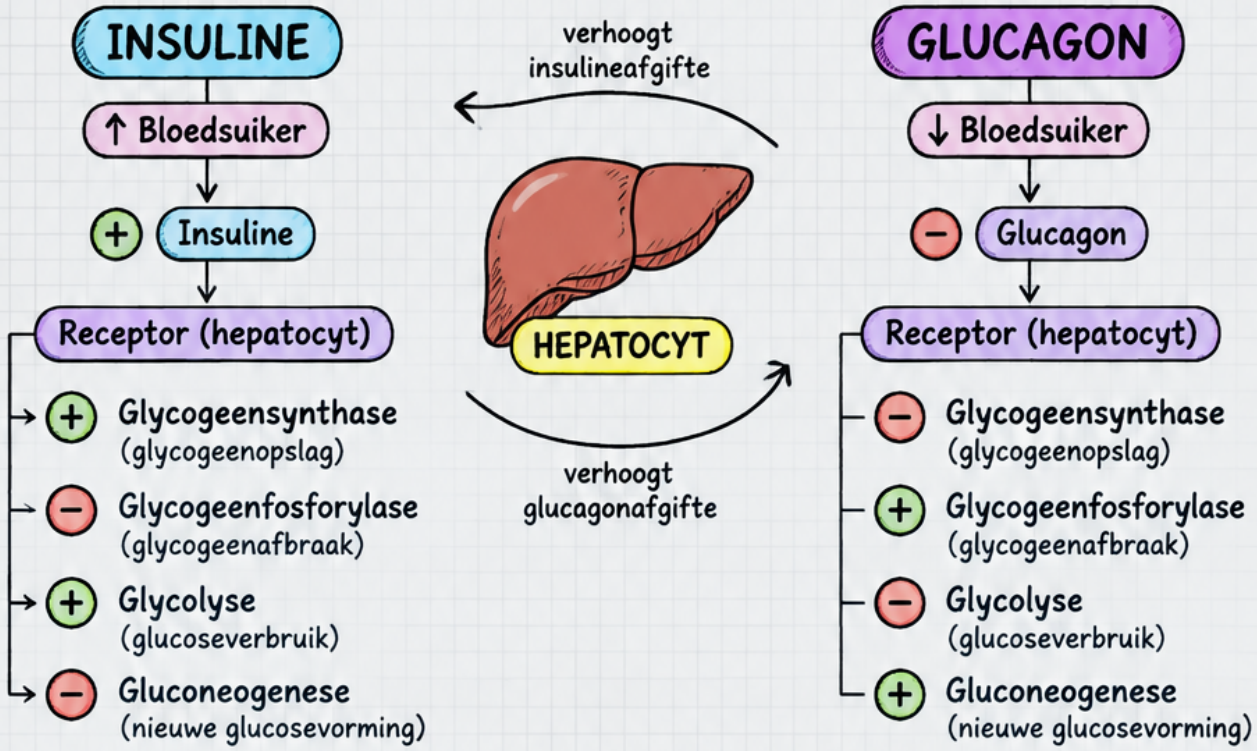


EDUCATIEVE DISCLAIMER

Deze illustratieve leermodule is uitsluitend bestemd voor educatieve doeleinden en studie. Het bevat fysiologische basismodellen en vervangt nimmer professioneel medisch advies, klinische besluitvorming of medische diagnostiek.



REGULATIE EN EVALUATIE



Zelfevaluatie & Analyse Werkblad

Toets uw inzicht in de fysiologische regulatie van de hepatocyt door de onderstaande klinisch-fysiologische vraagstukken te beantwoorden.

Aandachtspunt Fysiologie

In tegenstelling tot skeletspierweefsel bevat de lever het enzym glucose-6-fosfatase, waardoor hepatocyten in staat zijn vrije glucose in het systemische vaatbed uit te scheiden.

1 Verklaar waarom spierglycogeen niet direct kan bijdragen aan de bloedsuikerspiegel:

2 Benoem de twee belangrijkste niet-koolhydraat precursors voor hepatische gluconeogenese:

3 Beschrijf het effect van een hoge intracellulaire cAMP-concentratie op glycogeensynthase:

Dit werkblad is uitsluitend bedeeld voor educatieve doeleinden.

HEPATISCHE ONTGIFTING

Hepatische Biotransformatie: Fase I en Fase II Ontgifting

Hepatische Biotransformatie: Mechanisme van Ontgifting

De lever verwerkt sowel endogene afvalstoffen (zoals bilirubine an steroidhormonen) als lipofiele xenobiotica (zoals farmaca en toxines) via een tweeleliag enzymatisch cascadesysteem. Doel van deze biotransformatie is het stapsgewijs hydrofieler maken van apolaire verbindngen, zodat deze via de nieren (urine) of galblaas (feces) kunnen worden uitgescheiden.

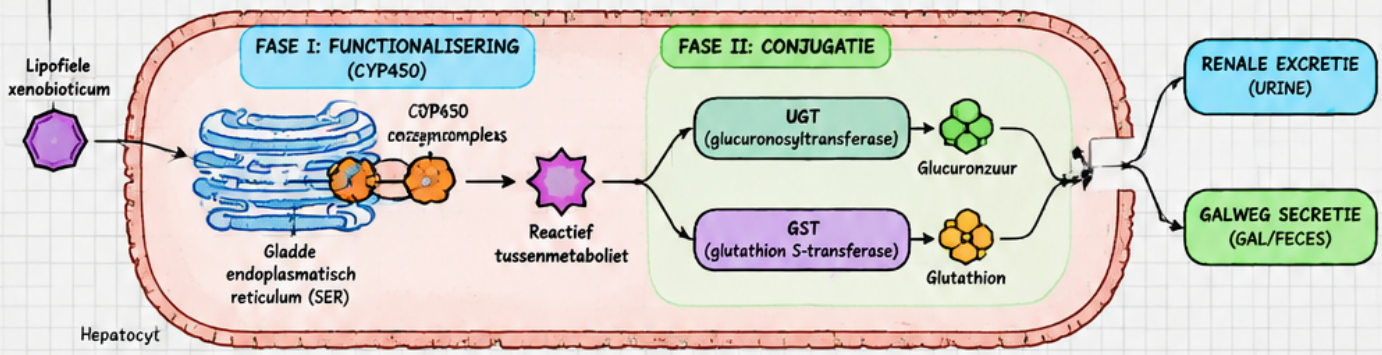
- **Fase I (Functionalisering):** Toevoegen of vrijmaken van polaire reactieve greepen (-OH, -NH_2, -COOH).
- **Tussenproducten:** Vaak chemisch reactiever en potentieel toxischer dan de oursoprénielle verbinding.
- **Fase II (Conjugatie):** Koppeling aan een lichaamessigen polair substraat voor snelle eliminatie.

Belangrijke Educatieve Disclaimer

Dit overzicht dient uitsiwitend voor biologische en medische studie. Het is geen medisch advies, behandelprotocol of klinische richtlijn voor toxicologie.

Enzymatische Cascades: Fase I en Fase II Reactiepaden

Biotransformatie verloogt in het endoplasmatisch reiciulum en cytosol von hepatocyten via twee opeenvolgende stappen:



1 Stap 1: Fase I Functionalisering (Cytochroom P450)

CYP450-mono-oxygenasen mediëren oxidatie-, reductie- of hydrolysereacties. Hierbij ontstaat een tussenmetaboliet met een elektrofiele of reactieve functionele groep.

2 Stap 2: Fase II Conjugatiereacties

Transferase-enzymen (o.a. UGT, SULT, GST) koppelen endogene hydrofiele groepen aan het metaboliet, zoals glucuronzuur, sulfaat of glutathion.

3 Stap 3: Uitscheiding en Eliminatie

Wateroplosbare geconjugeerde metabolieten worden via basolaterale transporters naar het bloed en de nieren getransporteerd, of apicaal via canaliculaire. transporteiwitten uitgescheiden in de gal.

Let op Tussenmetabolieten

Wanneer Fase II-substraten (zoals glutathion) uitgeput raken, kunnen reactieve Fase I-intermediairen cellulaire schade veroozraken door binding aan eiwitten of lipideperoidatie.

Studiematrix: Evalueer de Metabolische Route

Géorlik daertshande beslisstructuur om te bepalen langs welk fysiologisch eliminatiepad een metaboliet primairr wordt afgevoerd.

Welk chemisch karakter heeft het geconjugeerde eindproduct na hepatische bewerking?

- **Molecuulgewicht laag (< 300-500 Da) en sterk wateroplosbaar** → Transport naar systemische circulatie, flitratie in glomerulus van de nieren en excretie via urine.
- **Melecuulgewicht hoog (> 500 Da) of lipofieler galzoutconjugaat** → Actiove secretie via hepatische canaliculi naar het galwegsysteem, opslag in galblaas en uitscheiding via feces.

Zelfstudie & Kenniscontrole: Biotransformatie Analyse

Vul de analysevelden in aan de hand van een zelfgekoisen substraat (bijv. paracetamol of oestrogeen) om de metabole route in kaart te brengen.

Gekozen substraat / xenobioticum

Betrokken CYP450-iso-enzymen in Fase I

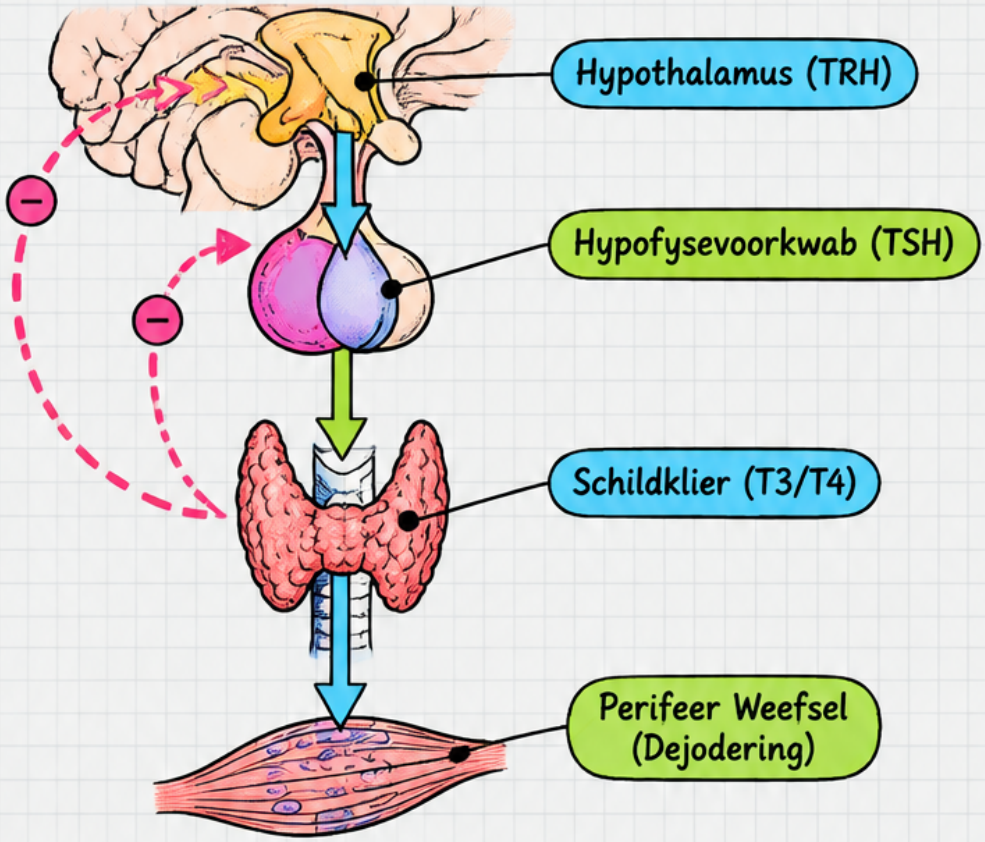
Gevormd tussenmetaboliet (lipofiel / reactief / stabiel)

Primaire Fase II conjugatieroute (bijv. glucuronidering, sulfatering, GST)

Eindbestemming van het metaboliet (renale excretie of gal-uitscheiding)

Dit overzicht dient uitsluitend voor biologische en medische studie. Het is geen medisch advies, behandelprotocol of klinische richtlijn voor toxicologie.

HYPOTHALAMUS-HYPOFYSE-SCHILDKLIERAS OVERZICHT



De HPT-As: Centrale Regulatie en Feedback

De hypothalamus-hypofyse-schildklieas reguleert het basale metabolisme, de warmteproductie en de cellulaire energiehuishouding via een nauwkeurige hormonale cascade. De hypothalamus initieert de keten door thyrotropin-releasing hormone (TRH) af te geven aan het hypofysaire poortadersysteem. De hypofysevoorkwab reageert hierop met de secretie van thyreoïdstimulerend hormoon (TSH), dat via de circulatie de folliculaire cellen van de schildklier aanzet tot de synthese en afgifte van thyroxine (T4) en in mindere mate tri-joodthyronine (T3).

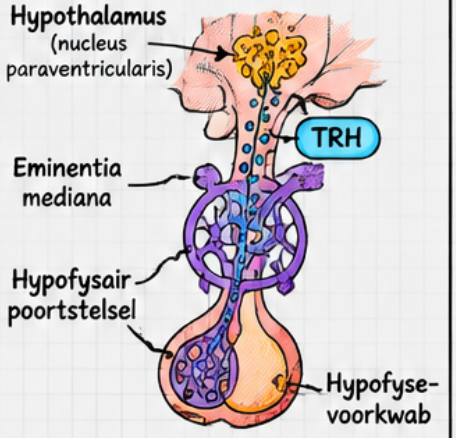
- **Hypothalamus:** Detecteert metabole behoeften, dalende hormoonspiegels of koude en scheidt TRH af.
- **Hypofysevoorkwab:** Bindt TRH via membraanreceptoren en geeft TSH af aan de systemische bloedsomloop.
- **Schildklier (Glandula thyroidea):** Produceert ca. 80-90% prohormoon T4 en ca. 10-20% direct werkzaam T3.
- **Perifere conversie:** Enzymatische dejodering (D1/D2-dejodases) zet T4 lokaal om in het actievere T3.
- **Negatieve feedback:** Verhoogde vrije T3- en T4-concentraties remmen zowel TRH- als TSH-secretie rechtstreeds af.

Educative Disclaimer

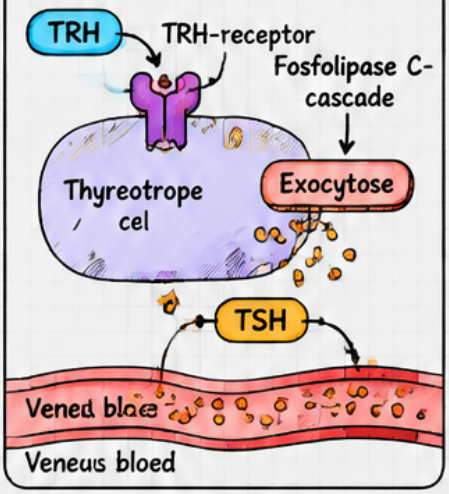
Dit schema dient uitsluitend voor anatomisch en fysiologisch onderwijs. Het is nadrukkelijk niet bedoeld voor zelfdiagnose, klinisch doseren of het interpreteren van patiëntenlaboratoriumwaarden.

SIGNAALCASCADE

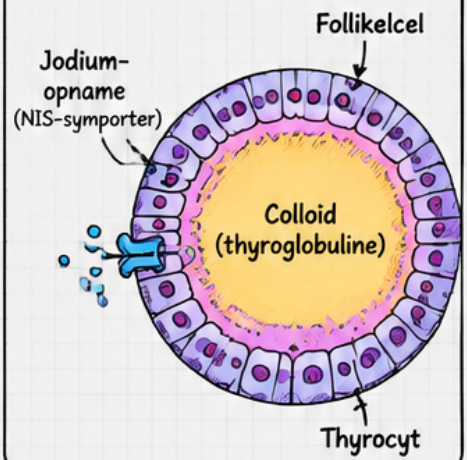
Stap 1: TRH



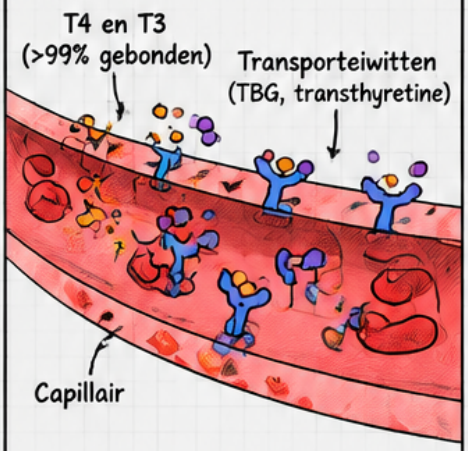
Stap 2: TSH



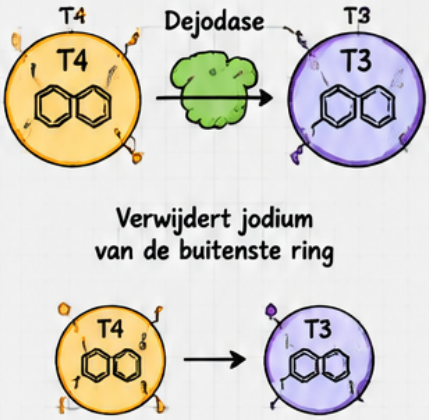
Stap 3: Schildklier



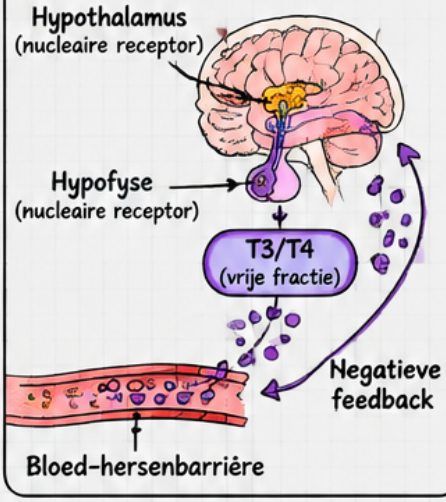
Stap 4: Circulatie



Stap 5: Dejodase



Stap 6: Feedback



STAPSGEWIJZE HORMOONSEQUENTIE EN SIGNAALROUTE

Volg de fysiologische route vanaf het centrale zenuwstelsel tot de specifieke perifere doelorgaancellucht.

1. Prikkeling en Afgifte van TRH

Neuronen in de nucleus paraventricularis van de hypothalamus geven TRH af aan de eminentia mediana, waarna het via het poortstelsel naar de hypofysevoorkwab stroomt.

2. Binding en TSH-Secretie

Thyreotrope cellen in de adenohypofyse binden TRH, wat via de fosfolipase C-cascade leidt tot exocytose van thyrotrofine (TSH) in het veneuze bloed.

3. Schildklierstimulatie en Synthese

TSH bindt aan de TSH-receptor op thyrocyten. Dit stimuleert jodiumopname (NIS-symporter), thyroglobulinesynthese, jodotyrosinekoppeling en endocytose van colloid.

4. Hormoonafgifte en Transport

T4 en T3 komen vrij in de capilliaren, waaabij meer dan 99% direct bindt aan transporteiwitten zoals thyroxinebindend globuline (TBG) en transthyretine.

5. Perifere Dejodering

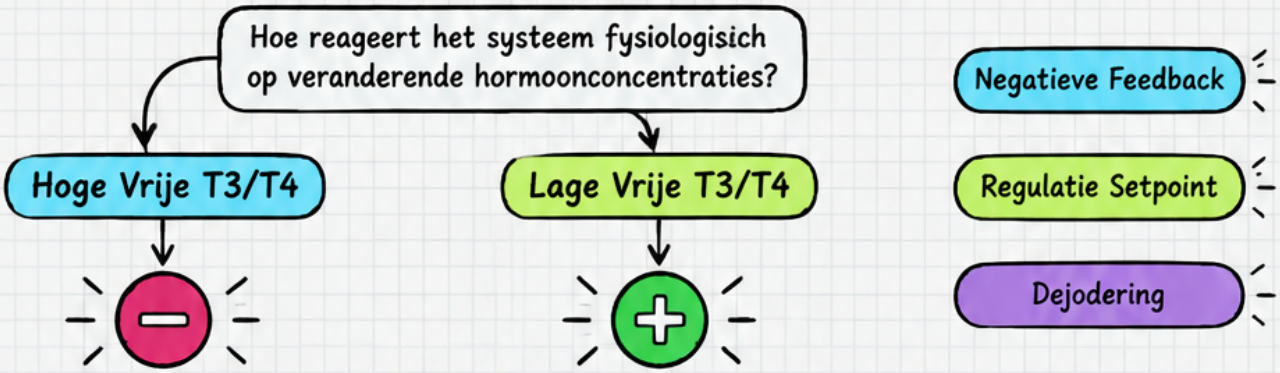
In doelweefsels (met name lever, nieren en spieren) verwijdert het enzym joodthyronine-dejodase een joodatoom van de buitenste ring van T4 om actief T3 te vormen.

6. Negatieve Feedbacksluiting

Vrije fracties van T3 en T4 passeren de bloed-hersenbarrière en binden aan nucleaire schildklierhormoonreceptoren in hypofyse en hypothalamus, wat verdere afgifte dempt.

Deze afbeelding is uitsluitend bedeeld voor educatieve doeleinden en vervangt geen professioneel medisch advies.

FEEDBACK ANALYSE



Zelfstudie Werkblad: Fysiologische Relaties en Feedback

Gebruik dit werkblad tijdens het bestuderen van de geïllustreerde feedbackloops om de causale verbanden zelfstandig vast te leggen.

- Controleer of je bij elk onderdeel zowel de anatomische locatie als het uitgescheiden boodschappermeleccuul kunt benoemen.
- Onderscheid duidelijk tussen het prohormoon T4 (langere halfwaardetijd) en het actieve weefselhormoon T3.

FOCUSPUNT BIJ LEREN

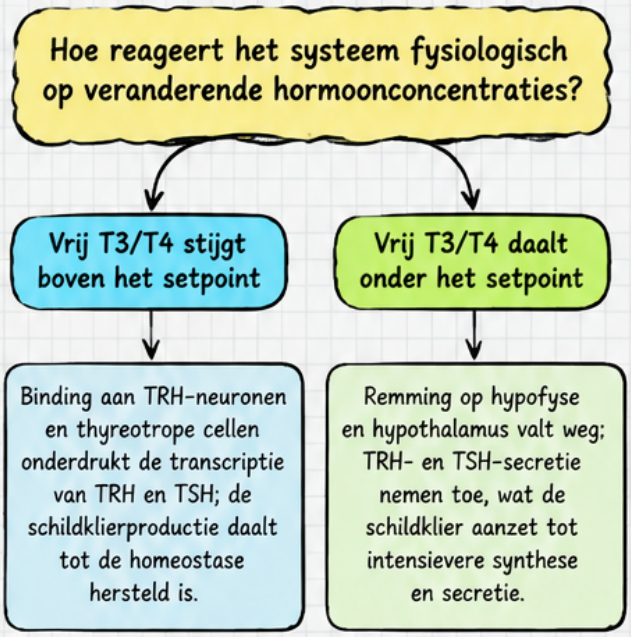
Let op het verschil tussen centrale remming (op hypofyseniveau) en perifere weefselbescherming via inactivatie naar reverse-T3 (rT3) door D3-dejodase.

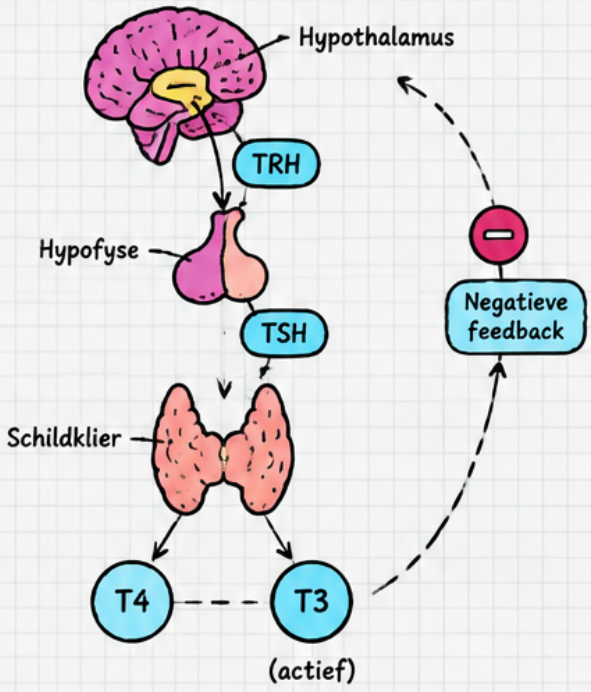
Beschrijf de directe invloed van een acute koude-prikkel op de TRH-secretie:

Welke enzymatische omzetting vindt plaats in perifere targetcellen (noem substraat, enzym en product):

Wat gebeurt er met de TSH-piegel bij een niet-functionerende schildklier (wegvallen negatieve feedback):

Eigen aantekeningen over transporteiwitten (TBG) en vrije fracties (fT4/T3):





Dit werkblad is uitsluitend bedeeld voor educatieve doeleinden en vervangt geen professioneel medisch advies.

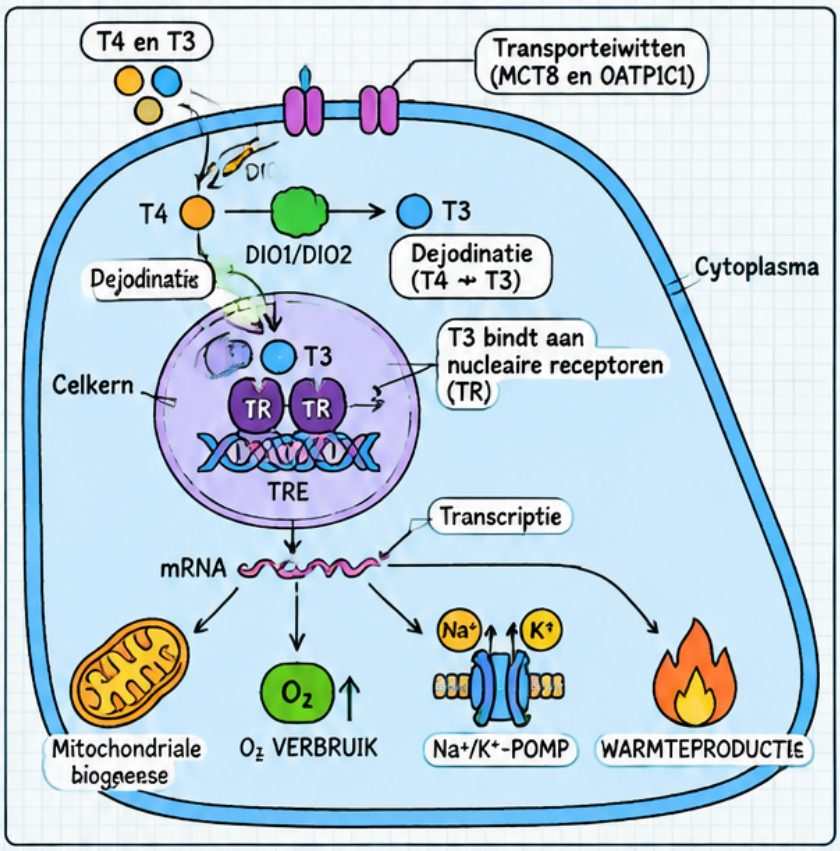
CELLULAIRE EFFECTEN VAN SCHILDKLIERHORMONEN OP BASAALMETABOLISME

CELLULAIRE EFFECTEN VAN SCHILDKLIERHORMONEN

Schildklierhormonen (hoofdzakelijk tri-joodthyronine T3 en thyroxine T4) spelen een centrale rol bij het instellen van het basaalmetabolisme (BMR) in vrijwel alle weefsels van uw menselijk lichaam. Doordat T3 direct bindt aan specifieke nucleaire schildklierhormoon-receptoren (TR), fungeert het hormoon als een transcriptionele regulator die de expressie van metabolische eiwitten moduleert.

- Vrij T3 en T4 passeren het plasmmembraan via specifieke transporteiwitten (o.a. MCT8 en OATP1C1).
- In het cytoplapma wordt T4 door intracellulaire dejodinasen (DIO1/DIO2) enzymatisch omgezet in het biologisch actievere T3.
- Binding van T3 aan nucleaire receptoren activeert genexpressie voor mitochondriale biogenese en ademhalingsenzymen.
- Verhoogde synthese en activitejt van Na^+/K^+-ATPasen leidt tot versneld ATP-verbruik en stimuleert obligate warmteproductie.

Medische en Educatieve Disclaimer
Dit leermateiaal dient uitsluitend voor biologisch en fysiologioch onderwijs en studie. Het is niet bedodd als medisch advies, klinische richtlijn of diagnostisch instrument.



WERKINGSMECHANISME VAN T3 EN T4 IN DE DOELCEL

Het fysiologische effect van schildklierhormonen op energjeverbruik en thermogenese verloopt via een vaste volgorde van cellulaire en genetische stappen:

1 Membraantransport & Dejodinatie

Schildklierhormonen passeren het plassmmembraan via specificke transportkanalen. Binnenin de cel zet het enzym dejodinase het prohormoon T4 om in het actieve hormoon T3 door afsplitsing van eén jodiumatoom.

2 Nucleaire Binding & Transcriptie

T3 diffundeert de celkern in en bindt aan nucleaire schildklier-hormoonreceptoren (TR) gekoppeld aan thyroid response elements (TRE) op het DNA, wat leidt tot transcriptie van specifiek mRNA.

3 Mitochondriale Activatie & Zuurstofverbruik

De nieuw gevormde enzymen stimuleren mitochondriale enzymcomplexen en verhogen de oxidatieve fosforylering, waardoor het cellulaire zuurstofverbruik stijgt.

4 Na^+/K^+-Pomp Synthese & Thermogenese

De verhooge synthese van Na^+/K^+-ATPasen in het celmembraan. verbruikt grote hoeveelheden ATP. De hydrolyse van ATP levert warmte, wat resulteert in een verhoogde basale lichaamstemperatuur en basaalmetabolisme.

FYSIOLOGISCHE BESLISBOOM: METABOLE EVALUATIE

Gebruik dese determinatie om fysiologische verschivingen in het basaalmetabolisme te koppelen aan cellulaire schildklieractivitiet.

Welk metabooo respons-patroon vertoont het weefsel?

- **Verhoogd zuurstofverbruik, verhoogde warmteafgifte en toegenemen ATP-omzet**
  Duidt op verhoogde T3-receptor-activatie, verhoogde Na^+/K^+-pomp-activiteit en hypermetabole stimulatie.
- **Verlaagd zuurstofverbruik, verminderde mitochondriale ademhaling en koude-intolerantie**
  Duidt op verminderde transcriptie van metabole genen door deficiénte T3-signalering of verminderde dejodinatie.

ACTIEVE KENNISTOETS & ANALYSEPROTOCOL

Documenteer de waargenomen cellulaire veranderingen en koppel de respons aan de onderliggende mitochondriale en ionentransport-mechansimen.

- Controleer of dejodinase-activiteit (T4 naar T3) adequaat is weergegeven.
- Koppel de toename in Na^+/K^+-ATPasen aan het gemeten basaalmetabolisme.

Let op thermogenese
Vergeet niet de rol van ontkoppelingseiwitten (zoals UCP) te vermelden indien thermogenese zonder spierarbeid wordt geévalueerd.

Geobserveerde celkernrespons (T3-TR complex binding):

Mitochondriale veranderingen & Zuurstofverbruiksratio:

Impact op Na^+/K^+-pomp-synthese en gemeten warmteafgifte:

HPA-AS & BIJNIER

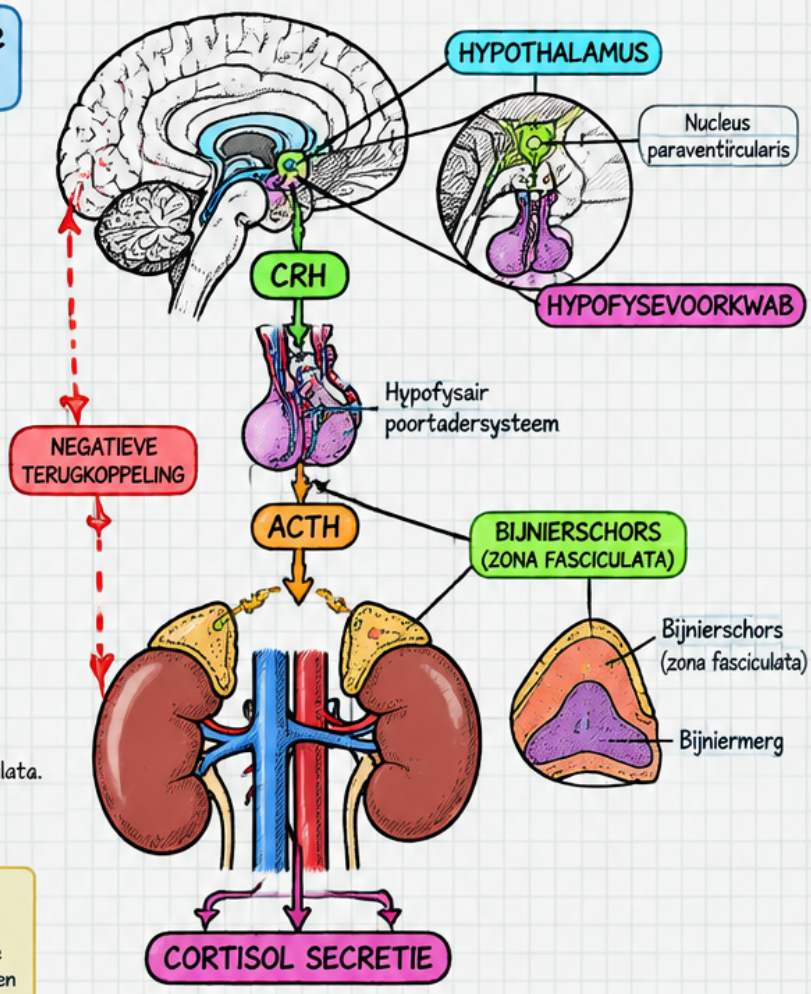
HPA-as: Signaalcascade en Bijnierfunctie

De HPA-as: Centrale Neuro-endocriene Stressrespons

De hypothalamus-hypofyse-bijnieras vormt de centrale regulatieroute waarmee het lichaam reageert op fysieke en emotionele stressoren. Waar het sympathische zenuwstelsel binnen fracties van seconden zorgt voor een acute catecholaminereactie via het bijniermerg, verzorgt de hormonale cascade van de HPA-as een tragere maar langduriger fysiologische adaptatie via de bijnierschors. De hypothalamus produceert Corticotropin-Releasing Hormone (CRH), wat de hypofysevoorkwab stimuleert tot secretie van Adrenocorticotroop Hormoon (ACTH). ACTH bereikt via de bloedbaan de bijnieren en induceert daar de synthese en afgifte van glucocorticoïden, noormanelijk cortisol.

Kernpunten:

- **Hypothalamus:** Detectie van stress en synthese van CRH in de nucleus paraventricularis.
- **Hypofysevoorkwab:** Afgifte van ACTH in de systemische circulatie.
- **Bijnierschors:** Productie van cortisol in de zona fasciculata.
- **Negetieve terugkoppeling:** Cortisol remt verdere secretie van zowel CRH als ACTH.

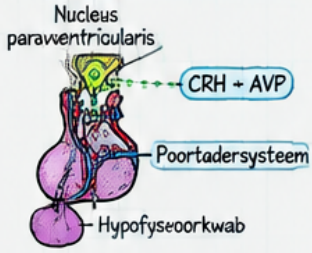


Educativve Disclaimer
Dit leermateriaal dient uitsluitend voor anatomische en fysiologische scholing. Het biedt geen medische diagnose of behandelrichtlijnen. Raadpleeg bij klinische vraagstukken altijd een bevoegd arts.

Moleculaire en Circulatoire Trajecten van de Hormooncascade

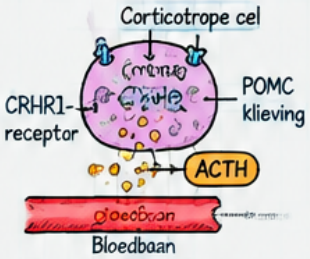
De signaaloverdracht volgt een strikte sequentiële route die kan worden onderverdeeld in drie anatomisch gescheiden fasen. Bestudeer deze stappen om het tijdsverloop en de stuurmechanismen te begrijpen.

1 Stap 1: CRH-afgifte in het poortadersysteem



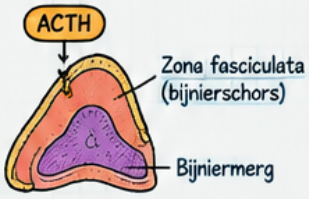
Neuronen in de nucleus paraventicularis scheiden CRH en arginine-vasopressine (AVP) af in de eminentia mediana, waarna transport plaatsvindt via het hypofysaire poortadersysteem direct naar de hypofysevoorkwab.

2 Stap 2: ACTH-synthese en systemische secretie



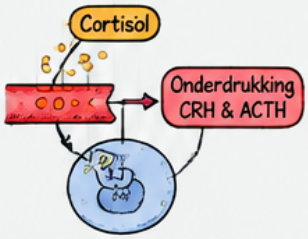
CRH bindt aan CRHR1-receptoren op corticotrope cellen. Dit activeert de cAMP-route, wat liedt tot klieving van het pro-opiomelanocortine (POMC)-precursormolecuul en de exocytose van ACTH in de veneuze bloedstroom.

3 Stap 3: Steroïdhormoon-productie in de zona fasciculata



ACTH bindt aan melanocortine-2-receptoren (MC2R) in de bijnier. Dit stimuleert de StAR-eiwitactivitiet en de omzetting van cholesterol in pregnenolon, culminerend in de synthese van cortisol.

4 Systeemeffecten en hemostatische feedback



Vrij cortisol circuleert (grotendeels gebonden aan CBG), passeert celmembranen en bindt intracellulaire glucocorticoïdreceptoren (GR). Hoge serumspiegels onderdrukken direct CRH- en ACTH-afgifte.

Educatieve Disclaimer
Dit leermateriaal dient uitsluitend voor anatomische en fysiologische scholing. Het biedt geen medische diagnose of behandelrichtlijnen. Raadpleeg bij klinische vraagstukken altijd een bevoegd arts.

ORGAANRESPONS & REGULATIE

Systemische Effecten en Fysiologische Analyse

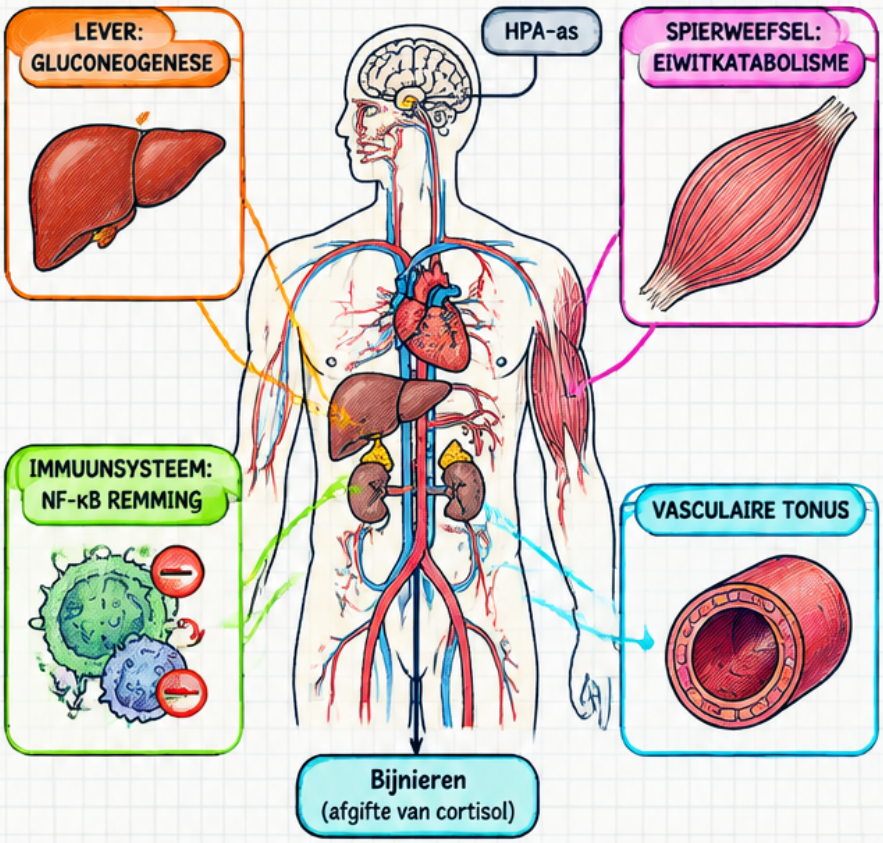
Systemische Effecten van Vrij Cortisol

Wanneer cortisol de weefsels bereikt, moduleert het diverse orgaanfuncties om glucosevoorziening en hemodynamische stabiliteit we waarborgen ten koste van niet-urgente anabole processers.

- **Metabolisme:** Verhoogde gluconeogenese in de lever, stimulatie van lipolyse in vetweefsel en verhoogde eiwitkatabolisme in spierweefsel.
- **Immunologie:** Remming van NF-κB, onderdrukking van pro-inflammatoire cytokinen (IL-1, IL-6, TNF-alfa) en inductie van lipocortine-1.
- **Cardiovasculair:** Verhoogde gevoeligheid van arteriolen voor catecholaminen (permissief effect), resulterend in beheud van bloeddruk en vaattonus.
- **Centraal Zenuwsteslel:** Beinvloeding van alertheid en geheugenconsolidatie; bij chronische expositie treedt desensibilisatie van hippocampale recepteren op.

Fysiologisch Kerninzicht

Cortisol werkt niet als directe vaatverwuwer, maar verhoogt de dichtheid en affinitett van alfa-adrenerge receptoren voor noradrenaline.



Beslisboom: Interpretatie van HPA-As Feedback Patronen

Gebruik dit beslisschema om te bepalen op welk niveau van de endocriene as een fysiologische of pathologische ontregeling optreedt bij afwijkende hormoonconcentraties.

Wat toont het bloedonderzsek bij een verhoogde nuchtere cortisolwaarde!?

ACTH-spiegel is gelijktijdig onderdrukt (laag)

Primaire bijnierautonomie: De overmaat aan cortisol eefent een fysiologisch intacte de negatieve terugkoppeling uit op de hypofyse. Verdiep de analyse op bijniercortexhyperplasie of -adenoom.

ACTH-spiegel is normaal of verhoogd (inapproriately high)

Secundaire of ectopische stimulatie: De centrale remming ontbreekt of wordt omzeild. Differentieer tussen een hypofyse-adenoom (ziekte van Cushing) en ectopische ACTH-productie.

Studie- en Analyseblad: Fysiologische Tracering

Vul de onderssaande werkvelden in tijdens het doorlopen van de illustratie om de functionele parameters en feedback-mechanismen systematisch vast te leggen.

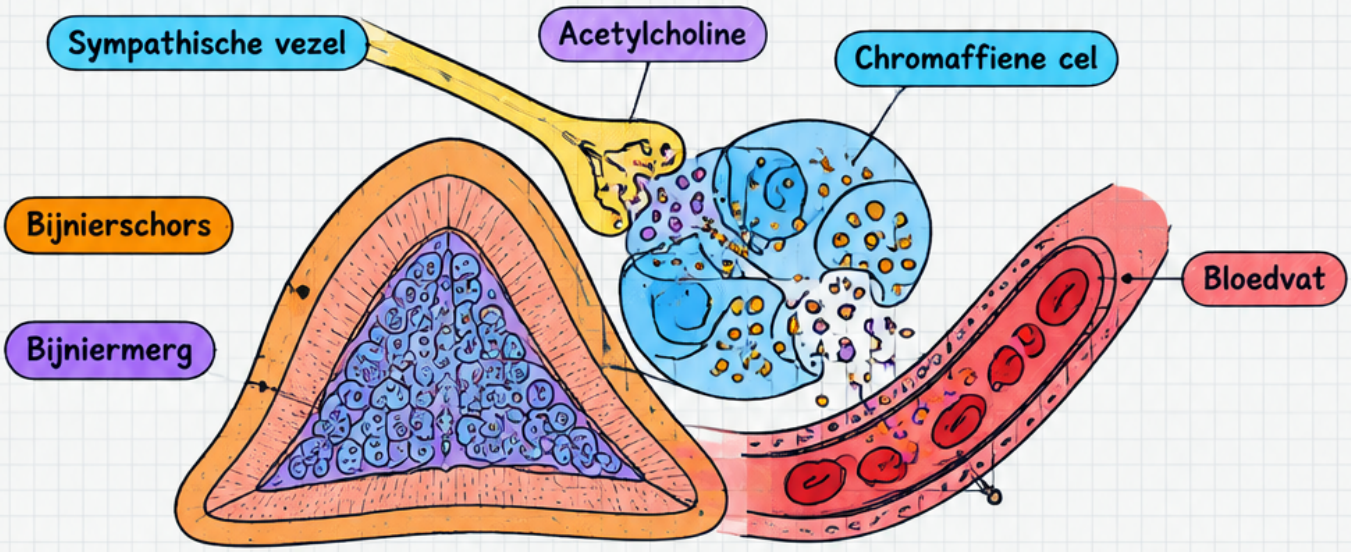
1. Primaire prikkels voor paraventriculaire CRH-afgifte (bjiv. hypoglykemie, hypotensie, angst):

2. Gevolgen van aanhoudend verhoogde gluuccorticoidspiegels op het trabeculaire botweefsel en immuunrespons:

3. Observaties terugkoppelingslus (verschil tussen snelle niet-genomische en trage genomische remming):

Deze informatie is uitsluitend bedeeld voor educatieve doeleinden en vervangt geen professieneel medisch advies.

Bijniermergreepons: Stimulatie en Secretie



Sympathische Activatie van het Bijniermerg

Bij acute stress of fysieke belasting activeert de hypothalamus het sympathische zenuwstelsel. Preganglionaire sympathische neuronen projecteren direct naar de chromaffiene cellen in het bijniermerg via de nervi splanchnici.

- Preganglionaire zenuwvezels geven acetylcholine (ACh) af aan de synaptische spleet.
- ACh bindt aan nicotinische acetylcholinereceptoren (nAChR) op chromaffiene cellen.
- Depolarisatie leidt tot calciuminstroom (Ca^{2+}) en directe exocytose van granules.
- Secretieverhouding: ongeveer 80% adrenaline (epinefrine) en 20% noradrenaline (norepinefrine).

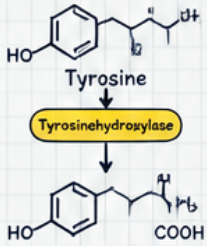
Fysiologische Noot

Het bijniermerg fungeert functioneel als een gemodificeerd sympathisch ganglion zonder postganglionaire axonen; hormonen worden direct in de bloedbaan uitgestoten.

Stap-voor-Stap Mechanisme van Catecholaminesynthese en -Afgifte

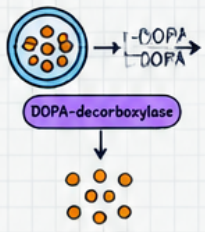
Het biochemische traject van tyrosine tot de systemische secretie van adrenaline volgt een strak gereguleerde enzymatische keten binnen de chromaffiene cellen.

Stap 1: Tyrosinehydroxylering



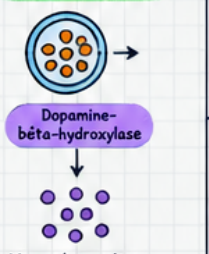
Tyrosine wordt in het cytosol omgezet in L-DOPA door tyrosinehydroxylase (snelheidsbepalende stap).

Stap 2: Decarboxylering naar Dopamine



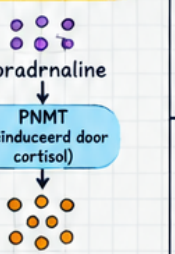
L-DOPA wordt door DOPA-decarboxylase omgezet in dopamine en getransporteerd in secretoire blaasjes.

Stap 3: Vorming van Noradrenaline



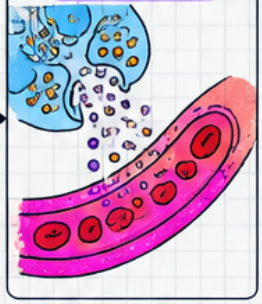
Dopamine-bêta-hydroxylase in de blaasjes zet dopamine om in noradrenaline.

Stap 4: Methylering naar Adrenaline



Noradrenaline diffundeert terug naar het cytosol waar PNMT (geïnduceerd door cortisol) het omzet in adrenaline.

Stap 5: Exocytose in het Bloedvatstelsel



Na calciumstimulatie fuseren de chromaffiene granula met het celmembrean en komen de hormonen in de bijniervene terecht.

Deze informatie is uitsluitend bedoeld voor educatieve doeleinden en vervangt geen professioonel medisch advies.

Adrenerge Receptoren en Doelorgaanrespons

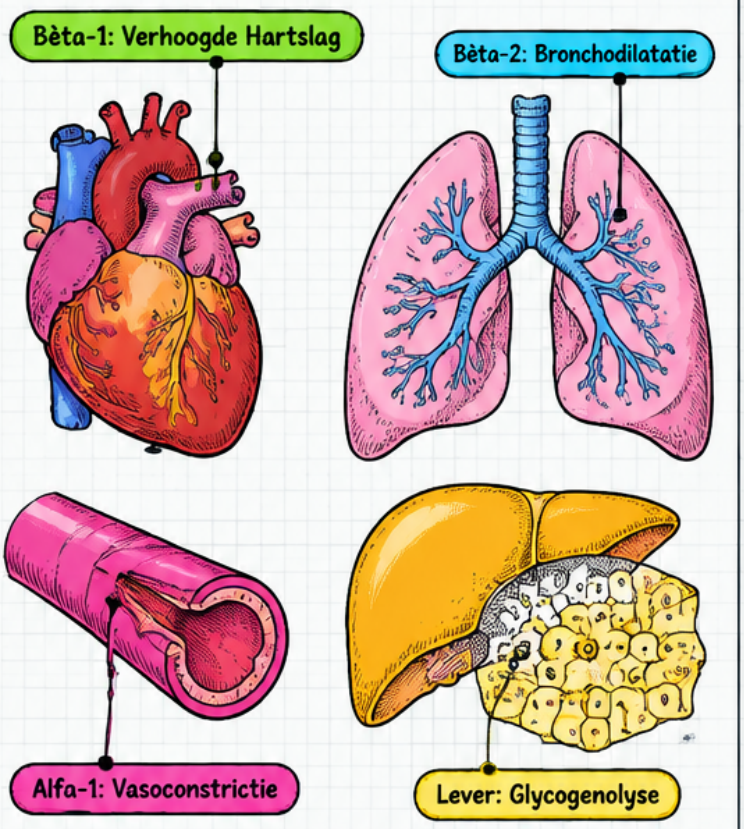
Receptordifferentiatie en Orgaaneffecten

Adrenaline en noradrenaline binden aan specifieke adrenerge receptoren door het gehele lichaam, wat leidt tot acute cardiovasculaire, respiratoire en metabole aanpassingen.

- **Alfa-1 (α1) receptoren:** Vasoconstrictie van perifere en splanchnische vaten, verhoogde totale perifere weerstand.
- **Bèta-1 (β1) receptoren:** Positief inotroop, chronotroop en dromotroop effect op het myocard; reninesecretie in de nier.
- **Bèta-2 (β2) receptoren:** Bronchodilatatie, vasodilatatie in skeletspierbedden en stimulatie van hepatische glycogenolyse.
- **Alfa-2 (α2) receptoren:** Presynaptische remming van verdere neurotransmitter-afgifte (negatieve feedback).

Educatieve Waarschuwing

Deze anatomische en fysiologische samenvatting dient uitsluitend educatieve doeleinden en is niet bedeeld als klinische behandelrichtlijn of diagnostisck instrument.



Beslisboom: Adrenerge Responsbepaling

Bepaal het overwegende orgaaneffect aan de hand van het geactiveerde receptortype.

Welk receptortype vertoont de hoogste lokale bezetting tijdens acute sympatische stimulatie?

Overwegend Bèta-2 stimulatie in glad spierweefsel



Verwacht bronchodilatatie in de luchtwegen en toegenomen doorbloeding van actieve skeletspieren.

Overwegend Bèta-1 stimulatie op de cardiomyocyten



Verwacht toename van slagvolume, hartfrequentie en cardiale output.

Overwegend Alfa-1 stimulatie op arteriolen



Verwacht perifere vaatvernauwing en bloeddrukstijging ten gunste van vitale organen.

Fysiologisch Werkblad & Zelftoetsing

Gebruik onderstaande invoervelden om de reactieketen en receptordistributie zelfstandig uit te werken tijdens de bestudering van het diagram.

- Noteer de wisselwerking tussen bijnierschors (cortisol) en bijniermerg (PNMT-activatie).
- Vergelijk de affiniteit van adrenaline versus noradrenaline voor bèta-2 receptoren.

Snelheidsbepelend enzym bij catecholaminesynthese:

Effect van bèta-1 activatie op de contractiliteit van de hartspier:

Verschil tussen α1- en β2-gemedieerde vaattonus in rust versus inspanning:

Deze anatomische en fysiologische samenvatting dient uitsluitend educatieve doeleinden en is niet bedeeld als klinische behandelrichtlijn of diagnostisch instrument.

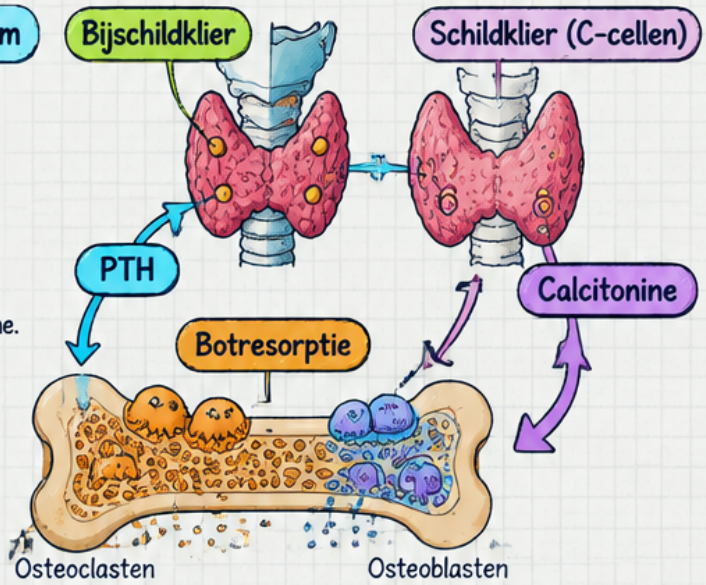
CALCIUMHOMEOSTASE

Fysiologiekaart: Calciumhomeostase en Hormonale Terugkoppeling

Fysiologische Calciumregulatie in het Lichaam

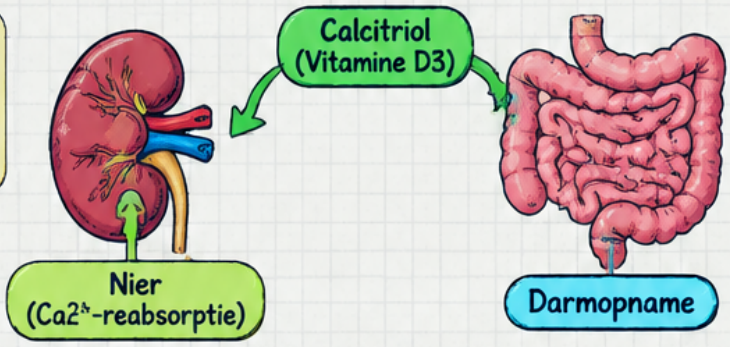
De calciumconcentratie in het extracellulaire vocht wordt binnen nauwe grenzen gehooden door een dynamisch feedbackmechanisme. Drie actoren sturen dit proces: parathormoon (PTH), geproducered door de bijschildklieren; calcitonine, aftomsitig uit de parafolliculaire C-cellen van de schildklier; en actief vitamine D3 (calcitriol). Samen moduleren zij de botopbouw en -afbraak, renale uitscheiding en intestinale opname.

- PTH verhoogt de calciumspiegel bij hypocalciëmie via botresorptie en tubulaire reabsorptie.
- Calcitriol (1,25-dihydroxycholecalciferol) stimuleert de actieve absorptie van calcium in de dunne darm.
- Calcitonine remt tijdelijk osteoclasten bij hypercalciëmie en bevordert uitschieding via de nieren.



Belangrijke Educatieve Disclaimer

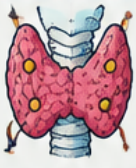
Dit overzicht dient uitsluitend voor biologisch en medisch onderwijs. Het is geen medisch diagnose- of behandelprotocol en vervangt geen professioonel medisch advies.



Gecoördineerde Werkingsmechanismen per Doelorgaan

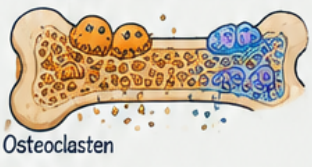
Het handhaven van de extracellulaire calciumbalans berust op gerichte interacties tussen botweefsel, nieren en het spijsverteringskanaal.

1 Schildklier en Bijschildklier Detectie



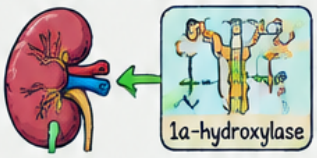
Calciumgevoelige receptoren op de bijschildkliercellen registreren een daling in het serumcalcium en stimuleren directe afgifte van PTH. Bij stijging remt dit signaal en geven schildklier C-cellen calcitonine af.

2 Botmatrix en Osteoclastactivatie



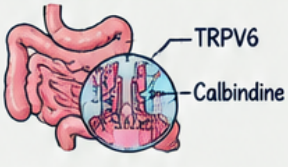
PTH bindt aan osteoblasten, wat liedt tot expressie van RANKL en indirecte activatie van osteoclasten. Hierdoor vindt gecntroleerde botresorptie plaats en komen calcium- en fosfaatoncen vrij in de circulatie.

3 Renale Reabsorptie en Calcitriolactivatie



In de distale tubulus stimuleert PTH de terugresorptie van Ca^{2+} en remt het fosfaatreabsorptie. Tegelijkertijd activeert PTH het enzym 1-alfa-hydroxylase in de nieren, dat inactief 25(OH)D omzet in biologisch actief calcitriol.

4 Intestinale Absorptie in het Duodenum



Calcitriol verhoogt in het darmlumen de expressie van calbindine en epitheliale calciumkanalen (TRPV6), wat de activve calciumopname uit voeding maximaliseert.

Belangrijke Educatieve Disclaimer

Dit overzicht dient uitsluitend voor biologisch en medisch onderwijs. Het is geen medisch diagnose- of behandelprotocol en vervangt geen professioonel medisch advies.

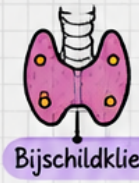
Algoritme en Casuswerkblad Calciumregulatie

Beslisboom: Responspad bij Fluctuaties in Serumcalcium

Volg onderstaand fysiologisch algoritme om de hormonale tegenkoppeling bij afwijkende calciumwaarden ia analyseren.

Wat is de gemeten richting van de extracellulaire calciumafwijking?

Daling Ca^{2+} ↓



Bijschildklieren

Serum Ca^{2+} daalt onder de streefwaarde (< 2,2 mmol/L)

Bijschildklieren verhogen secretie van PTH. Gevolg: toegenomen osteoclastactiviteit, verhoogde renale calciumterugresorptie en verhoogde calcitriolsynthese voor intestinale opname tot normocalciëmie is bereikt.



Nier

Stijging Ca^{2+} ↑



Schildklier

Serum Ca^{2+} stijgt boven de streefwaarde (> 2,6 mmol/L)

Bijschildkliersecretie van PTH daalt direct. C-cellen in de schildklier scheiden calcitonine af. Osteoclastresorptie wordt onderdrukt en renale calciumexcretie neemt toe.



Nier

Zelfevaluatie en Casusanalyse Calciumhomeostase

Gebruik dit werkblad om de hormonale reacties bij fysiologische veranderingen toe te passen en vast te leggen.

Onderwijskundige Toetsing
Let op: fysiologische mechanismen weerspiegelen gezonde homeostase; klinische casusinterpretatie vereist altijd formele medische validatie.

Beschrijf het primaire doelorgaan en directe effect van een acute stijging van PTH:

Wat is de causale rol van renale 1-alfa-hydroxylase in de darmabsorptie van Ca^{2+}?

Noteer het netto effect van calcitonine op botresorptie bij tijdelijke hypercalciëmie:

Dit materiaal is uitsluitend bedoeld voor educatieve doeleinden.

GLUCOSEHOMEOSTASE

Bètacelmechanisme en Eilandjes van Langerhans

Fysiologische Kern: Glucosehomeostase

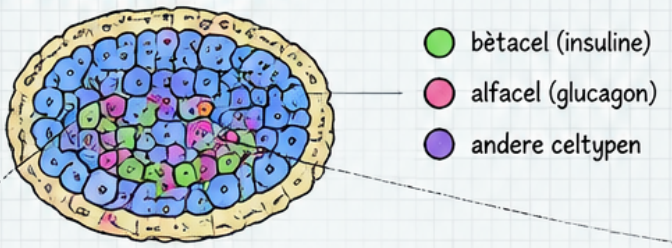
De eilandjes van Langerhans in de endocriene pancreas handhaven de bloedsuikerspiegel binnen strakke fysiologische grenzen (ongever 4,0 tot 7,0 mmol/L nuchter). Twee antagonistische hormoonproducerende celtypen reguleren deze dynamische balans: bètacellen die insuline uitscheiden bij hyperglykemie en alfacellen die glucagon afgeven bij hypoglykemie.

- **Bètacellen** (~70% van de eilandjes): detecteren stijgende extracellulaire glucose en scheiden insuline uit om glucoseopname en glycogeensynthese te stimuleren.
- **Alfacellen** (~20% van de eilandjes): reageren op dalende bloedglucosewaarden door glucagon vrij te maken voor glycogenolyse en gluconeogenese in de lever.
- **Paracriene interactie**: lokale communicatie binnen het eilandje verfijnt de hormonale pulsatie en voorkomt abrupte schommelingen in de bloedbaan.

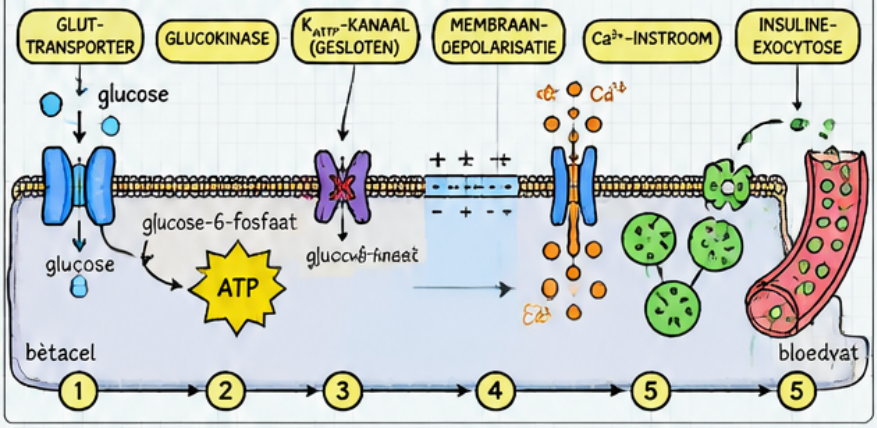
Belangrijke Educatieve Mededeling

Dit leermateriaal is uitsluitend bestemd voor educatieve doeleinden en vormt geen medisch advies, klinische richtlijn of diagnostisch instrument. Raadpleeg bij klinische vraagstukken of gezondheidsklachten altijd een bevoegd arts.

Eilandje van Langerhans



Glucose-sensormechanisme in de bètacel



Bètacel-depolarisatie en Exocytose

De secretie van insuline door de bètacel verloopt via een strak gekoppelde cascade van metabole en elektrofysiologische gebeurtenissen:

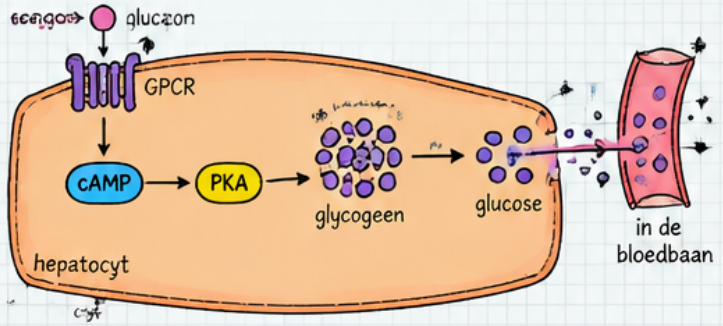
1. **Stap 1: Glucose-opname via GLUT-transporteurs**
   Extracellulair glucose diffundeert de bètacel in via gefaciliteerde glucosetransporters (GLUT2/GLUT1 afhankelijk van zoogdiersoort).
2. **Stap 2: Glucokinase en Verhoogde ATP-productie**
   Glucokinase fosforyleert glucose tot glucose-6-fosfaat. Door glycolyse en mitochondriale oxidatie stijgt de intracellulaire ATP/ADP-ratio aanzienlijk.
3. **Stap 3: Sluiting van ATP-gevoelige K^+-kanalen (K_{ATP})**
   Binding van ATP aan de K_{ATP}-kanaalcomplexen blokkeert de uitwaartse K^+-stroom, waardoor de rustmembraanpotentiaal minder negatief wordt.
4. **Stap 4: Membraandepolarisatie en Ca^{2+}-instroom**
   De drempelwaarde activeert spanningsafhankelijke L-type calciumkanalen, leidend tot een snelle influx van extracellulair calcium (Ca^{2+}).
5. **Stap 5: Exocytose van Insulineblaasjes**
   De lokale stijging van Ca^{2+} triggert SNARE-gemedieerde fusie van insuline-bevattende granula met het celmembraan en uitstoot in de bloedbaan.

Antagonistische Regeling bij Hypoglykemie

Wenneer de plasma-glucoseconcentratie daalt onder de basale drempel, activeert het endocriene syestem een gecoördieeerde tegenregulatie om vitale organen zoals de hersenen van brandstof te voorzien.

- **Inactivatie bètacellen:** lage glycolytische flux houdt K_{ATP}-kanalen opeened, wat depolarisatie en insulineafgifte remt.
- **Alfacelstimulatie:** wegvallen van paracriene insuline/GABA-remming en activatie van T-type Ca^{2+}-kanalen leidt tot secretie van glucagon.
- Hepatische doelwitten: glucagon bindt aan GPCR-receptoren op hepatocyten, verhoogt cyclisch AMP (cAMP) en activeert proteinekinase A (PKA).
- Netto effect: stimulatie van glycogeenafbraak (glycogenolyse) en nieuwvorming van glucose (gluconeogenese) met afgifte in de systemische circulatie.

Glucagon: Levercel en glycogeenafbraak



Welk hormonaal reactiepad domineert op basis van de extracellulaire glucosespiegel?

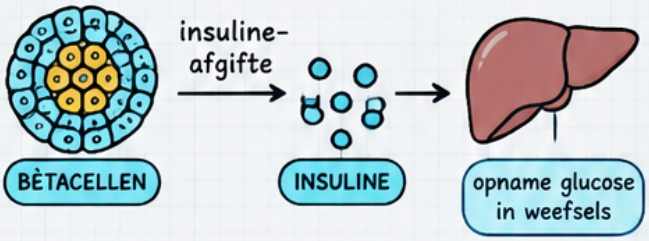
Extracellulaire glucose > 7,0 mmol/L.
(Postprandiaal / Hyperglykemie)
→ Verhoogde ATP/ADP-ratio sluit K_{ATP}-kanalen; bètacellen depolariseren en secreteren insuline; alfacelafgifte wordt paracrien onderdrukt.

Extracellulaire glucose < 4,0 mmol/L
(Vasten / Hypoglykemie)
→ K_{ATP}-kanalen in bètacellen blijven open (geen insuline): alfacellen scheiden glucagon uit om leverglycogenolyse en gluconeogenese aan te drijven.

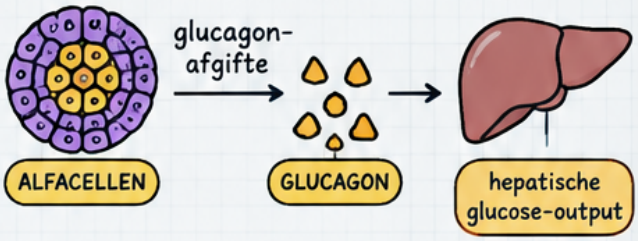
WERKBANK FYSIOLOGIE

Fysiologische Werkbank: Mechanisme-analyse & Homeostase

HYPERGLYKEMIE
(BÈTACELLEN ACTIEF)



HYPOGLYKEMIE
(ALFACELLEN ACTIEF)



Fysiologische Werkbank: Mechanisme-analyse

Gebruik dit werkblad om de biochemische en elektrofysiologische stappen van de eilandjes van Langerhans systematisch uit te werken en te toetsen.

Toepassingsinstructie

De docent of opleider reikt de fysiologische casus aan; de student formuleert de moleculaire tussenstappen en ionenbewegingen in de onderstaande velden.

1 Beschrijf de rol van de ATP/ADP-ratio bij de sluiting van het K_{ATP}-kanaal:

2 Welke specifieke ionenkanalen openen direct als gevolg van membraandepolarisatie?

3 Verklaar hoe paracriene remming van alfacellen wegvalt bij acute hypoglykemie:

4 Noteer het netto effect van glucagon op glycogeensynthese versus glycogenolyse in hepatocyten:

Deze werkbank is bedoeld voor educatieve doeleinden en vervangt geen professioonel advies.

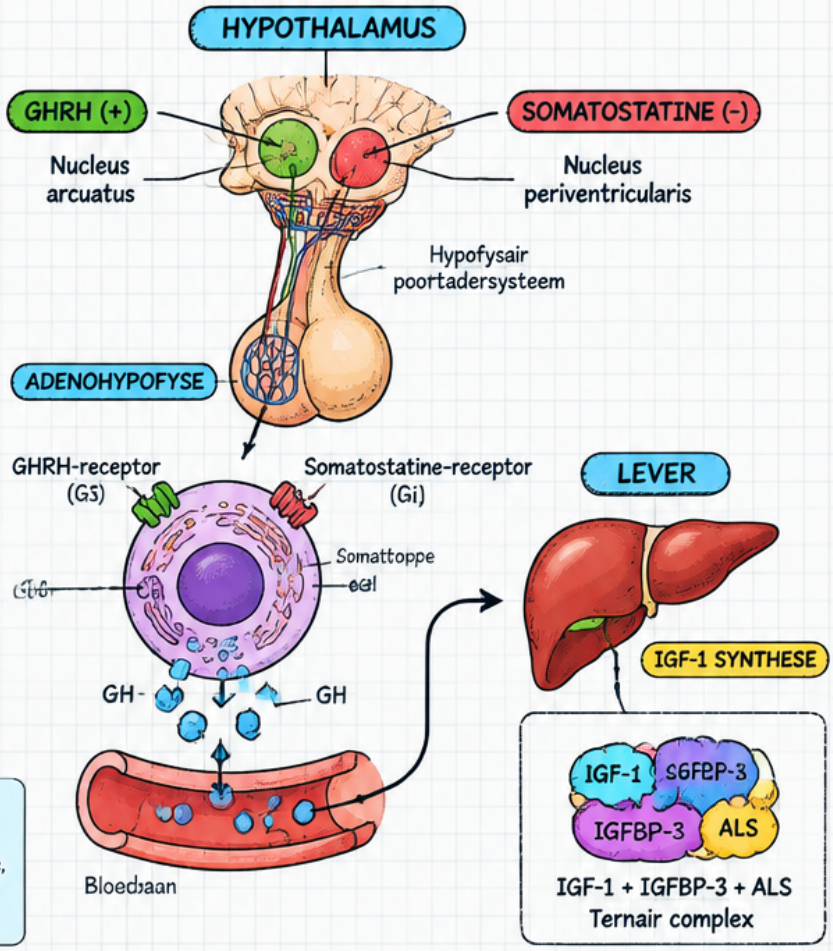
GH & IGF-1 ROUTE

Groeihormoon en IGF-1 Signaalroute - Mechanisme en Regulatie

Hypothalamische Regulatie van Somatotrope Cellen

De afgifte van humaan groeihormoon (HGH, somatotropine) door de adenohypofyse staat onder een strikte duale neuro-endocriene controle vanuit de nucleus arcuatus en nucleus periventricularis van de hypothalamus. GHRH stimuleert via een G-eiwitgekoppelde receptor (Gs/cAMP/PKA-as) de synthese en exocytose van groeihormoon. Somatostatine (SS of GHIH) remt deze secretie doelgericht via Gi-eiwitkoppeling.

- **GHRH (Growth Hormone Releasing Hormone):** bindt aan somatotrope Gs-receptoren, verhoogt cAMP en stimuleert Ca^{2+}-influx voor directe GH-exocytose.
- **Somatostatine (GHIH):** remt de adenylaatcyclase-activiteit via Gi-gekoppelde signaalcascades en onderdrukt de GH-pulsen.
- **Ghreline:** maaghormoon dat somatotrope receptoren extra activeert en pulsatieve GH-afgifte versterkt tijdens vasten en slaapfasen.
- **Pulsatiel secretiepatroon:** pieksecretie treedt hoofdzakelijk op tijdens diepe 'slow-wave' slaap (stadium N3).



Fysiologische Medische Disclaimer

Dit leermateriaal is uitsluitend bestemd voor educatieve doeleinden en studie. Het vervangt geen klinische diagnose, endocrinologische evaluatie of individueel behandeladvises door een gekwalificeerd arts.

Signaalcascade en Hepatische IGF-1 Productie

Groeihormoon eefent zijn effecten uit via directe receptoractivatie en indirect via de productie van insuline-acktige groeifactor 1 (IGF-1 of somatomedine C), Binding van circulerend GH aan de transmembraan-groeihormoonreceptor leidt tot homodimerisatie en activering van intracellulaire signaalketens.

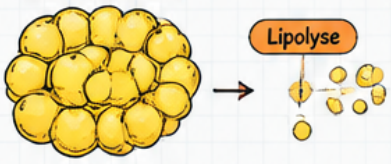
- **Receptor dimerisatie:** GH-monomeer koppelt aan twee GH-receptoren op het celoppervlak van voornaneilijk hepatocyten.
- **JAK2/STAT5-activatie:** Janus kinase 2 fosforyleert transcriptiefactor STAT5, waarna STAT5 transloceert naar de celkern.
- **Transcriptie van IGF-1 en ALS:** stimulatie van genexpressie voor IGF-1 en Acid-Labile Subunit (ALS).
- **Circulair dragereiwit-complex:** IGF-1 circuleert voor meer dan 90% gebonden in een stabiel ternair complex met IGFBP-3 en ALS om de halfwaardetijd in het plasma te verlengen.

Stappen

1. **Stap 1: Hypothalame pulsactivatie**
   Hypothalamus scheidt GHRH pulsatiel uit in het hypofysair poortadersysteem naar de adenohypofyse.
2. **Stap 2: GH-secretie**
   Somatotrope cellen degranuleren en geven GH af aan de systemische arteriële circulatie.
3. **Stap 3: Leverperfusie en JAK/STAT transductie**
   GH activeert hepatische GH-receptoren, initieert JAK2/STAT5-cascade en zet hepatocyten aan tot IGF-1 synthese.
4. **Stap 4: Ternair complex transport**
   IGF-1 bindt aan IGFBP-3 en ALS ter distributie naar perifere doelweefsels (skelet en spier).

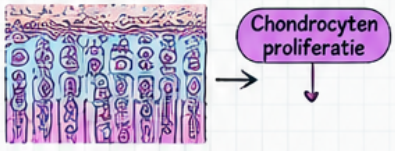
Doelorganen en Effecten

VETWEEFSEL



Verhoogt de afbraak van vetweefsel (lipolyse) en vermindert vetopslag.

EPIFYSAIRE PLAAT



Stimuleert chondrocytenproliferatie en lineaire groei.

SKELETSPIER



Verhoogt eiwitsynthese en bevordert spiergroei en -herstel.

Dit leermateriaal is uitsluitend bestemd voor educatieve doeleinden en studie. Het vervangt geen klinische diagnose, endocrinologische evaluatie of individueel behandeladvies door een gekwalificeerd arts.

Weefselspecifieke Effecten en Terugkoppelingsanalyse

Weefselspecifieke Effecten: Direct versus Indirect

De fysiologische respons op de GH/IGF-1-as splitst zich in directe acute metabole acties door GH en langdurige weefselgroeistimulatie gemedieerd door systemisch en paravolumair IGF-1.

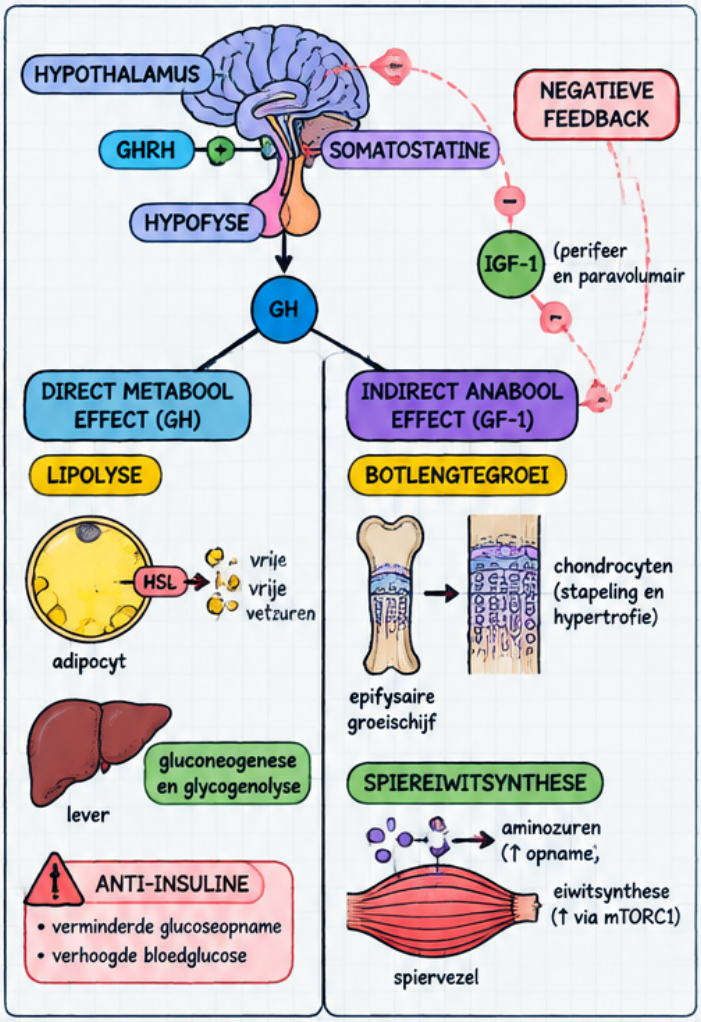
- **Vetweefsel** (direct effect GH): lipolyse-inductie via hormoongevoelig lipase (HSL), remming van glucoseopname en daling van vetopslag.
- **Lever** (direct effect GH): stimulatie van gluconeogenese en glycogenolyse (anti-insuline / diabetogeen potentieel).
- **Skeletspier** (gecombineerd effect): GH remt glucoseopname; IGF-1 stimuleert aminozuuropnane en spiereiwitsynthese via mTORC1.
- **Epifysaire groeischijven** (IGF-1 indirect): proliferatie en hypertrofie van chondrocyten in de groeischijf, stimulatie van lengtegroei bij open epifysen.

Klinisch Inzicht: Negatieve Terugkoppeling

IGF-1 remt via lange terugkoppelingslussen sowel de hypofysaire GH-secretie als de hypothalame GHRH-afgifte, terwijl het de somatostatine-afgifte stimuleert.

Welk fysiologisch effect domineert op het doelweefsel?

Acute blootstelling aan GH tijdens vasten of inspanning	Verhoogde IGF-1 spiegels in voedingstostand en post-sleap
→ Lipolyse in adipocyten en glucosebesparende hepatische gluconeogenese prevaleren om bloedglucose te handhaven.	→ Chondrogenese, osteogenese en ribosomale eiwitsynthese in dwarsgestreept spierweefsel domineran.



Zelfevaluatie: Mechanisme-analyse en Terugkoppelingslus

Gberuik onderstaand werkkader om de regulatie-as en de klinische verschijnselen van dysregulatie stap voor stap uit zo werken voor zelfstudie.

- Traceer de terugkoppelingslus bij verhoogde circulerende vrije IGF-1 spiegels.
- Bepeal het metabolische contrast tussen insuline-activiteit en zuivere GH-activiteit op vetweefsel.

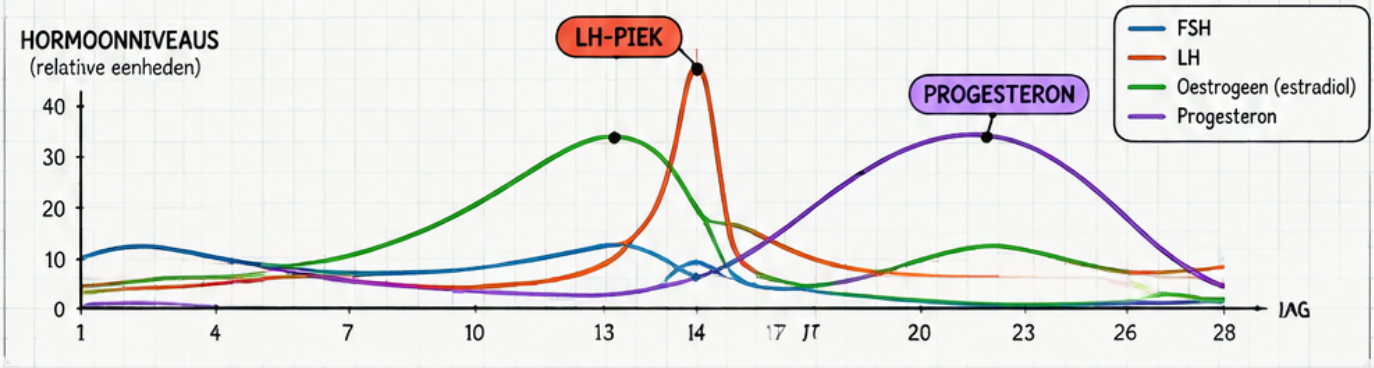
GHRH vs. Somatostatine balans: primaire intracellulaire boodschapper in somatotrope cel

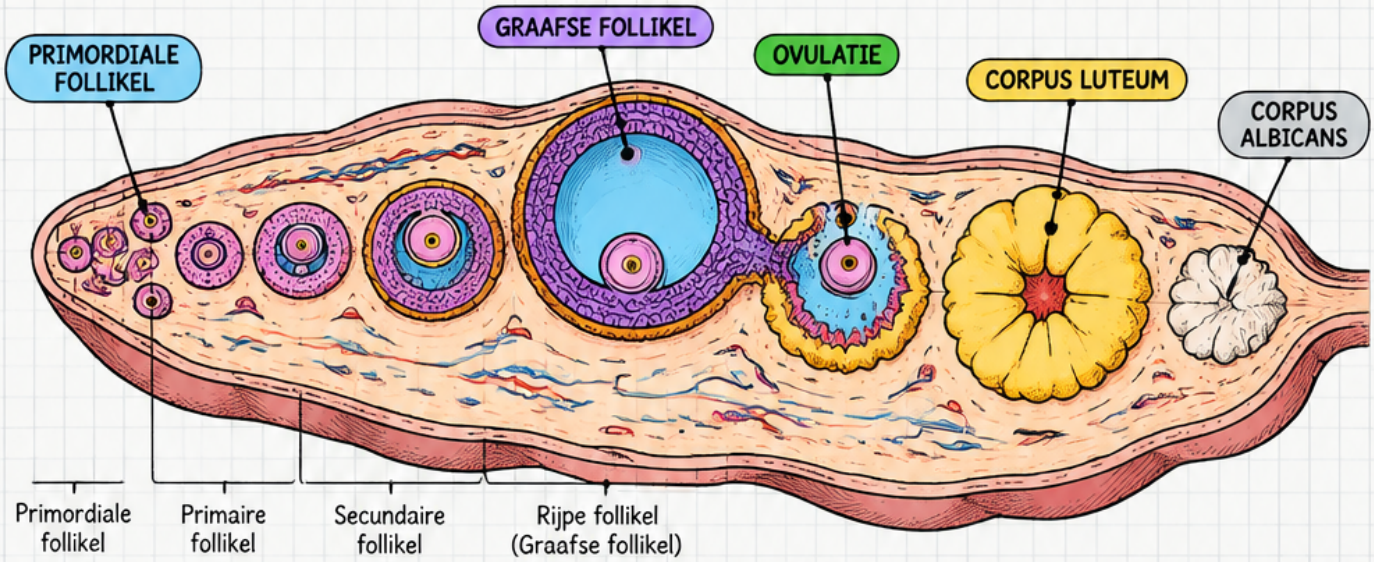
Effect van IGF-1 op chondrocyten in epifysaire schijven (moleculair proces)

Symptoommanifestatie bij persisterend GH-adenoom post-epifysaire sluiting (acromegalie)

Deze informatie is uitsluitend bedoeld voor educatieve doeleinden.

Ovariële Cyclus: Mechanisme en Follikelrijping





Fysiologisch Overzicht van de Ovariële Cyclus

De ovariële cyclus duurt gemiddeld 28 dagen en regulerert de rijping van de eicel via cyclische hormoonschommelingen tussen de hypofysevoorkwab en het ovarium. Dit proces is verdeeld in drie opeenvolgende fasen: de folliculaire fase (dag 1–13), de ovulatie (dag 14) en de luteale fase (dag 15–28).

- **Folliculaire fase**: Follikelstimulerend hormoon (FSH) stimuleert de rijping van primaire en secundaire follikels tot een dominante Graafse follikel, die toenemende heeveelheden oestrogeen afgeeft.
- **Ovulatie**: Een sterke stijging van oestrogeen veroorazekt een positieve terugkoppeling op de hypofyse, resulterend in de kenmerkende LH-piek (luteiniserend hormoon) die de follikelwand doet barsten.
- **Luteale fase**: De achtergebleven follikelcellen differentiëren onder invloed van LH tot het corpus luteum, dat progesteron en oestrogeen produceert om het endometrium voor te bereiden.

Educatieve Disclaimer

Dit leermaterieal is uitsluitend bestemd voor educatieve en fysiologische studiedoeleinden. Het is geen medisch advies, klinisch consult of diagnose.

Fasering en Hormonale Interactie Stap-voor-Stap

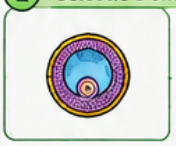
Volg de chronologische stappen van de eierstokcyclus om de dynamiek tussen gonadotrope en gonadale hormonen te begrijpen.

1 Vroege Folliculaire Werwing (Dag 1–2)



De lage niveaus van oestrogeen en progesteron aan het einde van de vorige cyclus heffen de negetieve terugkoppeling op. De hypofysevoorkwab schiedit FSH af, waordoar een cohort antrale follikels begint te groeien.

2 Selectie Dominante Fallikel (Dag 6–12)



Eën follikel ontwikkelt de hoogste concentratie FSH-receptoren en produceert aanzienlijke spiegels oestradiol. De stijgende oestrogeenspiegel remt via negatiove feedback de FSH-afgifte, waurdoar overige follikels in atresie gaan.

3 De LH-Piek en Ovulatie (Dag 13–14)



Zorda oestradiol langdurig een kritische drempelwaarde overschrijdt, slaat de remming om in een positieve terugkoppeling. Dit wekt een massale piek in LH (en secundair FSH) op, wat leidt tot enzymatische verweking van het stroma en ejectie van de secundaire oöcyt.

4 Vorming en Regressie van Corpus Luteum (Dag 15–28)



Granulosa- en thecacellen transformeren in het corpus luteum, dat hoge spiegels progesteron produceert ter undersentuing van een meglijhe innesteling. Sonder fertilisaite en hCG-stimulatie degenereert het corpus luteum na circa 14 dagen tot het fibreuze corpus albicans.

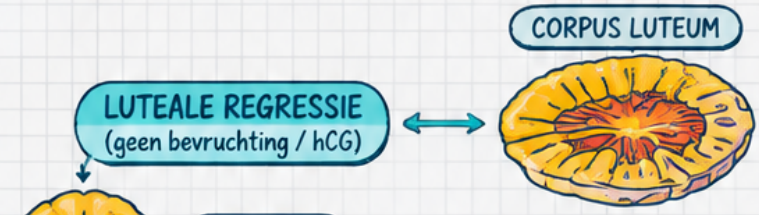
LUTEALE DYNAMIEK EN FYSIOLOGISCH WERKBLAD

KLINISCHE DIFFERENTIATIE: LUTEALE REGRESSIE VS. ZWANGERSCHAP

Bepaal het fysiologische traject van het corpus luteum op basis van de aan- of afwzzigheid van fertilisatie en hCG-signalering.

Aandachtspunt Terugkoppeling

De plotselinge daling van progesteron en oestrogeen aan het einde vns he luteale fase zorgt voor het afstoten van het functionele endometrium (menses) en start de neiuwe cyclus.

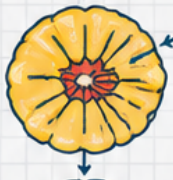




Dag 10-12
Involutie van het corpus luteum



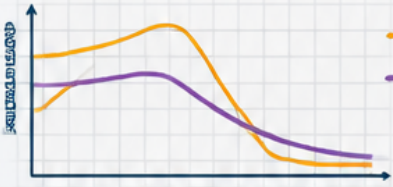
Corpus albicans
Fibrose en witte littekenvorming



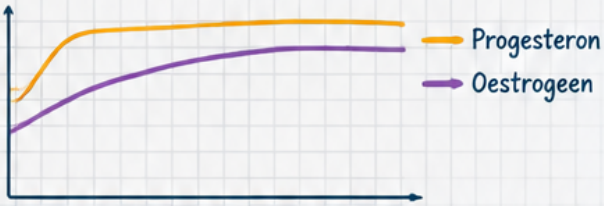
hCG
hCG bindt aan LH-receptoren



Graviditatis
Corpus luteum graviditatis blijft in stand



Scherpe daling van progesteron en eestrogeen, ischemie van de spiraalarteriën, menstruatiebloeding en hernieuwde FSH-secretie.



Progesteronproductie blijft hoog om het endometrium intact te houden tot de placentaire shift rond week 8-10.

STUDIE- EN WERKBLAD: FYSIOLOGISCHE PARAMETERS

Gebruik onderstaand werkblad tijdens college of zelfstudie om de gemeten hormonale waarden en waargenomen cyclusfasen systematisch tea documenteren.

- [ ] Cyclusdag & Geobserveerde Follikelgrootte (mm op echo / model)

- [ ] Schatting Hormoonpiek (FSH, LH, Oestradiol of Progesteron)

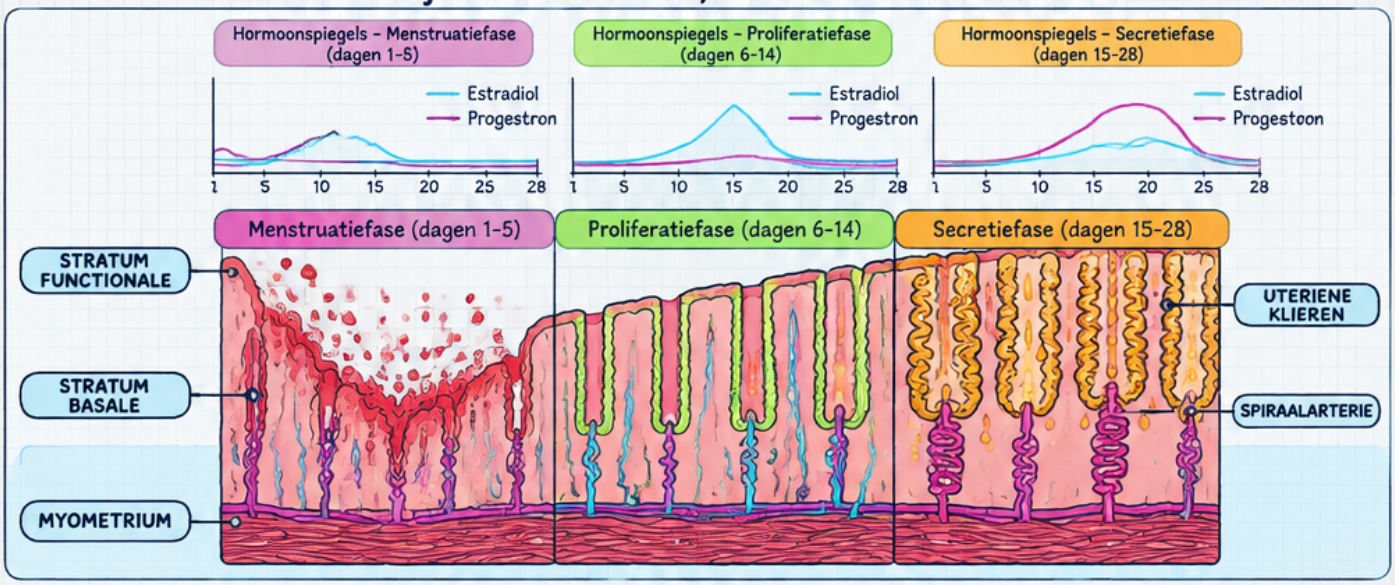
- [ ] Morfologische Status Follikel / Luteaal Weefsel

- [ ] Aantekeningen over Terugkoppelingsmechanismen (Negatief / Positief)

— Deze materialen zijn uitsluitend bedoeld voor educatieve doeleinden. —

UTERIENE CYCLUS

Uteriene Cyclus: Menstruatie-, Proliferatie- en Secretiefase



FYSIOLOGISCHE GRONDSLAG VAN DE UTERIENE CYCLUS

De uteriene cyclus (menstruele cyclus) enwat de cyclische veranderingen in het endometrium van de uterus onder invloed van ovariële hormonen (oestrogenen en progesteron). De cyclus duart geniddeld 28 dagen en bereidt het baarmoedersslijmvlies voor op een mogelijke implantatie van een bevruchte eicel. Het endometrium bestaat functioneel uit twee lagen: het stratum functionale (de oppervlakkige laag die cyclisch prolifereert, transformeert en afgestoten wordt) en het stratum basale (de diepe laag die behouden blijft en dient als stamweefsel voor weefselherstel.

- **Menstruatiefase** (dag 1-5): Afbraak en uitstoting van het stratum functionale door daling van oestrogenen en progesteron.
- **Proliferatiefase** (dag 6-14): Heropbouw en mitotische greei van klieren en stroma onder dominante invloed van estradiol.
- **Secretiefase** (dag 15-28): Glandulaire secretie van glycogeen, coiling van spiraalarteriën en decidualisatie van het stroma onder regie van progesteron.

Educatieve Medische Disclaimer
Dit leermaterial is uitsluitend bestemd voor anatomische en fysiologische scholing. Het bevat geen klinische richtlijnen, diagnoses of medische behandeladviezen.

FASEGEWIJZE HISTOFYSIOLOGISCHE DYNAMIEK

Tijdens de cyclus verloopt de weefseltransformetie strikt synchroon met de ovariële follikel- en corpus luteum-stadia. Onderataande stappen beschzriven het stapsgewjjxe verloop van weefselopbouw tot regressie:

1. **Ischemie en Desquamatie** (Dagen 1-5)
Het corpus luteum degenereert tot corpus albicans indien bevruchting uitbilijft, De sterke daling in progesteron leidt tot intermitterende spasmen in de spiraalarteriën. Dit induceeet ischemische necrose in het stratum functionale, waarna lysooomale enzymen vrijkomen en het weefsel samen net veneus bloed via de vagina wordt afgestoten.

2. **Re-epithelialisaite en Proliferatie** (Dagen 6-14)
De entwikkelende tertiaire follikel in het ovarium produceert toenemende hoeveelheden 17-bèta-estradiol. Vaunit het stratum basale prolifereren epitheel- en stromacellen. De endometriumdikte neemt toe van 1 mm tot circa 3-4 mm. Rechte, nauwe buisvormige uteriene klieren vormen zich en spiraalarteriën groeien uit in het nieuw gevormde stroma.

3. **Secretie en Spiraalisatie** (Dagen 15-28)
Na de ovulatie op dag 14 produceert het corpus luteum groze hoeveelheden progesteron. Mitotische deling stopt, de uteriene klieren worden breed, sterk gekronkeld (zaagtandvormig) en scheiden glycogeenrijk secreet uit ter voeding van de blastocyst. Spiraalarteriën spiraliseren maximaml en het stroma vertoont oedeem.

KLINISCH-FYSIOLOGISCHE BESLISBOOM: HORMONALE FEEDBACK EN AFSTOTING

Analyseer de histologische en hormonale status van het endometrium om de actuele fase en het onderliggende endocriene mechanisme te bepalen.

Wat is het microscopische beeld van de endometriumklieren en de heersende ovariële hormoonstatus?

Klieren zijn recht en smal, stroma compact, hoog estradiol en laag progesteron	Klieren zijn zaagtandvormig gekronkeld en gevuld met secreet, stromoedeem, hoog progesteron	Spiraalarteriën contraheren spasmodisch, leukocytaire infiltratie en weefselverval zichtbaar
Concludeer Proliferatiefase (folliculaire fase ovarium). Actieve mitose in stratum basale restaureert het stratum functionale onder invloed van oestrogenen.	Concludeer Secretiefase (luteale fase ovarium). Voorbereiding op blastocystimplantatie, gereguleerd door luteaal progesteron.	Concludeer Menstruatiefase. Hormonale ontttekking door luteolyse veroorzaakt ischemische necrose en desquamatie van het stratum functionale.

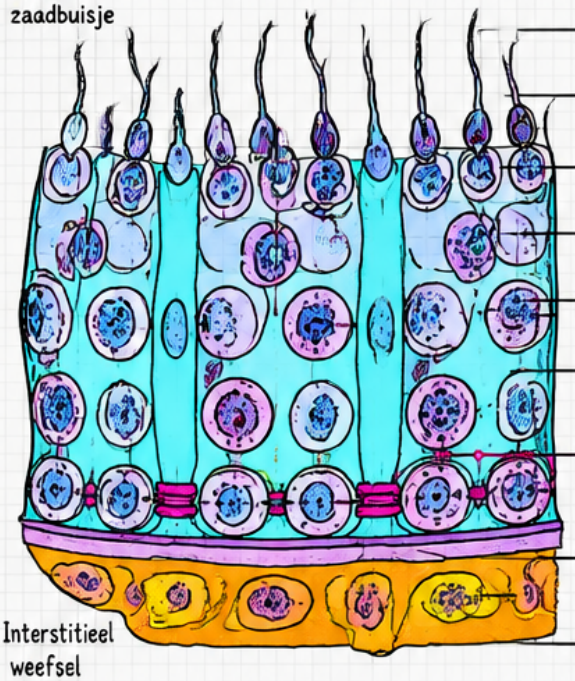
HISTOFYSIOLOGISCH ZELFEVALUATIE- EN WERKBLAD

Gebruik onderstzande werkvelden om morfologische observaties en correlaties mot de ovariële cyclus te documenteren.

Aandachtspunt voor Beoordeling
Controleer of de vaatarchitectuur (spiraalarteriën versus rechte arteriën van de basale laag) correct is gekoppeld aan de hormoongeveeligheid.

Morfologische toestand uteriene klieren (tubulair / zaagtandvormig / gefragmenteerd)	Vascularisatisetatus (groei spiraalateriën, coiling of arteriolaire spasmen)	Corresponderende ovariële status (rijpende follikel, corpus luteum of corpus abicans)	Verklaring van het endocriene stuurmechanisme bij het waargenomen cyclusstadium

Spermatogenese en de Bloed-Testisbarrière



FYSIOLOGISCH OVERZICHT: TUBULI SEMINIFERI

De zaadvorming (spermatogenese) voltrekt zich continu in de wand van de tubuli seminiferi in de testes. Het proces verloopt centripeteal: van de basale membraan aan de buitenzijde richting het centrale lumen van bat zaadbuisje. Tijdens deze migratie transformeren stamcellen (spermatogoniën) zich via mitotische en meiotische delingen tot morfologisch mature, maar nog immobiele spermatozoa. De ondersteunende Sertoli-cellen voeden de ontwikkelende cellen en handhaven enn strikt gecontroleerd chemisch milieu.

- Duur van het velledige cyclusproces bedraagt circa 64 tot 72 dagen.
- Basale compartiment herbergt de stamcellen buiten het directe bereik van meiotische afweerreacties.
- Adluminale compartiment beschermt post-meiotische spermatocyten en spermatiden tegen het immuunsysetem.

Educatieve Disclaimer
Dit leermaterieal is uitsluitend bestemd voor educatieve deeleinden en vervangt geen formele medische scholing, klinische diagnostiek of medisch advies. Fysiologische parameters kunnen individueel variëren.

DE BLOED-TESTISBARRIÈRE (BTB)

Tussen aangrenenzde Sertoli-cellen liggen gepeciallseerde occludine- en claudine-eiwitcomplexen die tight junctions vormen. Deze anatomische en vysiologische afsluiting verdeelt het epitheel in een basaal en een adluminaal compartiment. Omdat tickisn meiose nieuwe membraanopperrlakte-eiwitten tot expressie komen die door het lichaamseigen immunoysteem als lichaamsvreemd kunnen worden herkend, voorkomt de BTB auto-immuunreacties tegen haploide spermatocyten en spermatozoa.

- Strikte regulatie van vloeistofsamenstelling met hoge concentraties kalium en aminosuren in het lumen.
- Selectieve doorgang van macromoleculen ter bescherming tegen circulerende toxines en antilichamen.
- Tijdelijke, geontroleerde opening van junctions tijdens de transitie van preleptoene spermatocyten.

Immunologische Bescherming
Donder de integritit van de bloed-testisbarrière kunnen circulerende immunoglobulinen spermatiden binden, wat kan berrseuten in auto-immuun-infertillieit.

STADIA VAN DE ZAADCELOOITWIKKELING

Volg de stapsgewijze cellulaire differentiatie van kiemcel tot getransforomeerde zaadcel.

- ✓ Spermatocytogenese (mitose)
- ✓ Meiose I en II (reductiedeling)
- ✓ Spermiogenese (morfologische condensatie)

1. **Spermatogonie (mitotische fase)**
   Diploide stamcellen (type A) delen zich basaal door mitose om de stamcelpopulatie ie behouden ol differentiëren tot type B spermatogoniën.
2. **Primaire spermatocyt (start meiose I)**
   Type B spermatogoniën dupliceren hun DNA en passeren de bloed-testisbarriére als primaire spermatocyten richting de profase van meiose I.
3. **Secundaire spermatocyt (meiose II)**
   Na voltooiing van de eerste meiotische deling ontstaan twee haploide secundaire spermatocyten met dubbele chromatiden.
4. **Vroege ronde spermatide**
   Meiose II leveet vier haploide spermatiden op met enkelvoudige chromatiden en nog unveranderde rondcellige cytoplasmastuctuur.
5. **Spermiogenese en maturatie**
   Cytoplasma-afstoting (residu-lichaampje), acrosoomvorming uit het Golgi-apparaat, kerncondensatie met protamines en vorming van het flagel.
6. **Spermiatie in het lumen**
   Vrijgave van spermatozoa in het lumen van de zaadbuis, waarna transport naar de epididymis volgt vor beweeglijkheidsrijping.

ENDOCRIENE REGULATIEAS (HPG-AS)

De spermatogenese is afhenkelijk van de hypothalamus-hypofyse-gonade-as. De pulserende afgifte van GnRH stuurt de synthese van LH en FSH aan, die op hun wuert specifick inwerken op afzonderijke celpopulaties binnen het testiculaire weefsel.

- Luteiniserend Hormoon (LH): Bindt aan recepteren op Leydig-cellen in het interstitium en stimuleret enzymatische synthese van testesteron.
- Follikelstimulerend Hormoon (FSH): Stimuleert Sertoli-cellen tot secretie van Androgeen-Bindend Protëine (ABP) en inhibine B.
- ABP: Bindt testesteron in de tubuli seminiferi om een lokaal extreem hoge testestesononcentratie te garanderen.
- Inhibine B en testesteron: Leveren negetieve feedback aan hypofyse en hypothalamus om overstimulatie te voorkomen.

Hormonale Balans
Evogene androgene steroiden onderdnukken de hypofysaire LH- en FSH-afgifte via negatieve feedback, wat leidt tot stilval van de intratesticulaire testosteronsynthese en arrest van de spermatogenese.

ZELFTEST EN MORFOLOGISCHE DETERMINATIE:

Bepaal aan de hand van histologische kenmerkren in welk compartiment of ontwikkelingsstadium een cel zich bevindt.

- Analyseer ploidie, kernvorm en positie ten opcichte van de Sertoli tight junctions.
- Controleer de endocriene stimulus die het gobeserveerde proces aandrijft.

Goobserveerd celtype en ploidie (2n of 1n):

Positie t.o.v. basale membraan en tight junctions:

Verantwoordelijk hoofdhormoon voor deze fase (LH, FSH of Testesteron):

Welk celtype wordt waargenomen in het tubulusepithee?

Cel rust direct op basale membraan onder de tight junctions	Classificeer als Spermatogonie (diploid, 2n). Deze cel deelt zich mitotisch en wordt direct beinvloed door het lokale paracriene micromilieu.
Grote ronde cel met gecondenseerd chromatine net adluminaal van tight junctions	Classificeer als Primaire Spermatocyt (diploid, 4c DNA). Deze cel bevindt zich in de langduirge profase van Meiose I.
Kleine afgeronde cellen nabij de luminale rand met compacte kern	Classificeer als Ronde Spermatide (haploid, 1n). Ondergaat spermiogenese zonder verdere celdeling.
Cel met verlengde kop, acrosoomkap en beginnend flagel gericht naar het lumen	Classificeer als Rijpende Spermatide / vroeg spermatozoön gereed voor spermiatie onder invloed van FSH-gereguleerde Sertoli-activiteit.

Dit leermateriaal is uitsluitend bestemd voor educatieve doeleinden en vervangt geen formele medische scholing, klinische diagnostiek of medisch advies. Fysiologische parameters kunnen individueel variëren.

BEVRUCHTING & ACROSOOM

Fysiologie van Bevruchting en Acrosoomactivatie

1 Fysiologie van de Bevruchting: Overzicht en Voorbereiding

De bevruchting (**fertilisatie**) is een strikt gereguleerd fysiologisch proces waarbij een zaadcel en een eicel samensmelten tot een diploïde zygoot. Voordat een zaadcel een eicel kan binnendringen, moet deze eerst **capacitatie** ondergaan in het vrouwelijke voortplantingskanaal.

- **Capacitatie**: Verwijdering van glycoproteïnen en cholesterol uit de zaadcelmembraan ter verhoging van de membraanvloeibaarheid.
- **Hyperactivatie**: Verhoogde beweeglijkheid en zweepslagkracht van het spermaflagel.
- **Chemotaxis** en thermotaxis: Gerichte migratie van het sperma naar de ampulla van de tubae uterinae.

Educatieve Disclaimer

Dit material is uitsluitend bestemd voor educativve doeleënden en vormt geen medisch advies, diagnose of behandelrichtlijn.

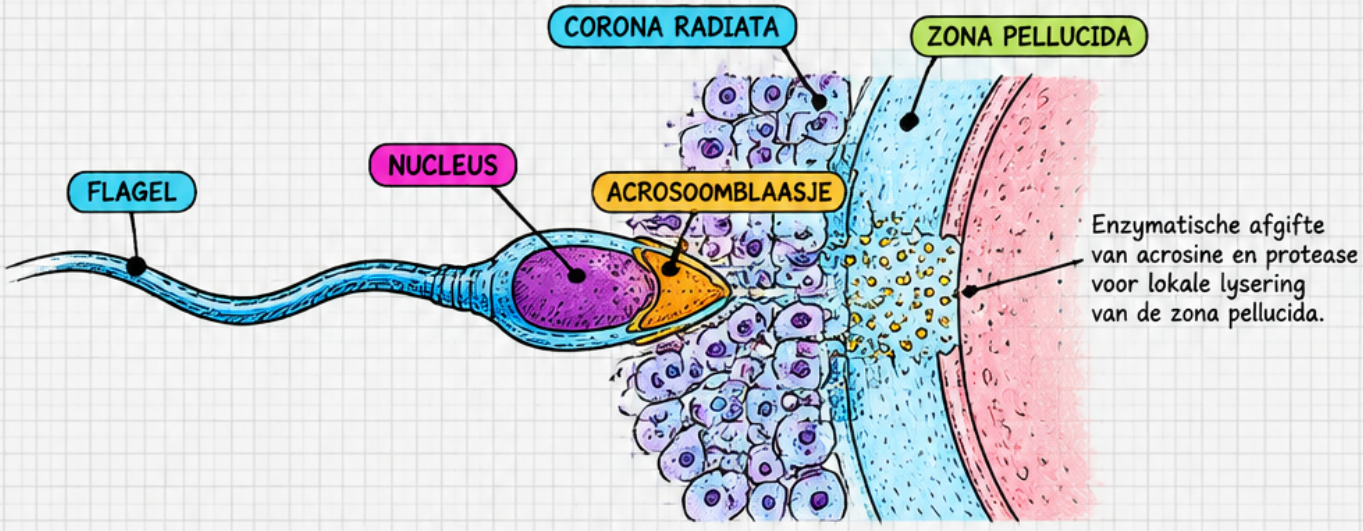
2 De Acrosoomreactie en Penetratie van de Eicelomhullingen

Wanneer de gecapaciteerde zaadcel het complex rond de secundaire oöcyt bereikt, treedt een geordende keten van membraanfusies en enzymatische afbraak op.

- Passage door de corona radiata via mechanische stuwbracht en membraangebonden hyaluronidase.
- Binding aan ZP3- en ZP4-glycoproteïnen op de zona pellucida.
- **Fusie** van het buitenste acrosoommembraan met het plasmamembraan van de spermakop.
- **Exocytose** van acrosomale enzymen (acrosine en protease) voor lokale lysering van de zona pellucida.

Kritieke Overgang

Zonder voltooide acrosoomreactie kan de zaadcel niet binden aan de oölemma-receptoren.



1 Corona Radiata Doordringing



Spermacel baant zich een weg tussen de granulosacellen door continue flagelbeweging en lokale hyaluronidase-activiteit.

2 Zona Pellucida Binding



Receptorspecifieke binding vindt plaats tussen oppervlakte-eiwitten van de zaadcelkop en het ZP3-glycoproteïne.

3 Acrosoom Exocytose



Instroom van Ca^{2+} triggert vesikelfusie en geontroleerde afgifte van acrosine, waardoor een penetratiekanaal ontstaat.

4 Membraanfusie

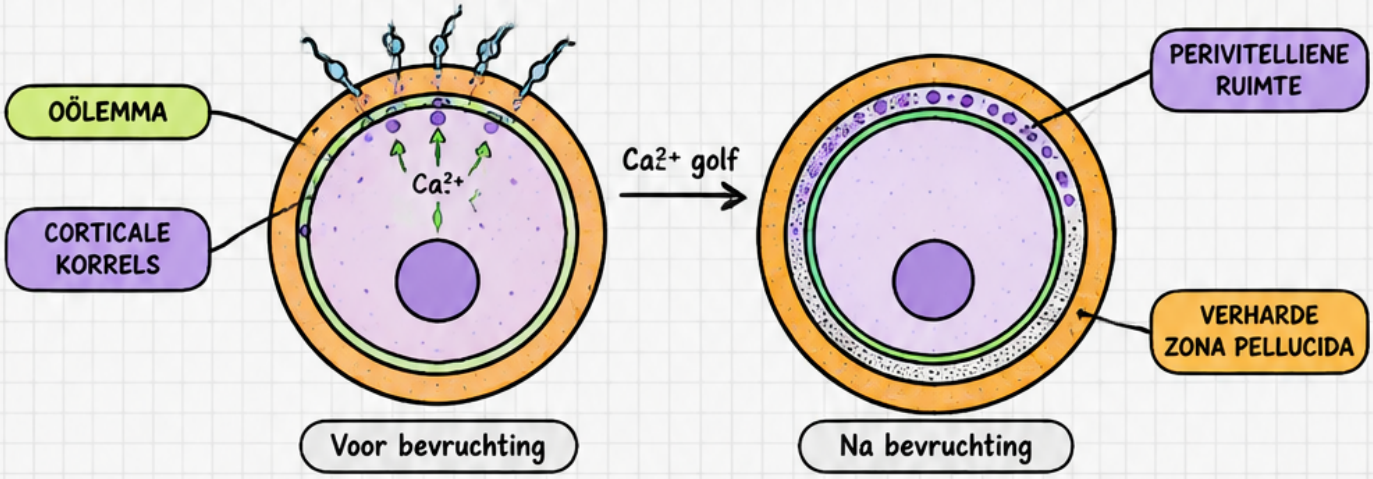


Het equatoriale segment van het spermaplasmamembraan fuseert met het oölemma van de secundaire oöcyt.

Educatieve Disclaimer Dit materiaal is uitsiluitend bestemd voor educatieve doeleinden en vormt geen medisch advies, diagnose of behandelrichtlijn.

CORTICALE REACTIE

Mechanismen Tegen Polyspermie: Corticale Reactie



Blokkade van Polyspermie: Snelle en Trage Corticale Reactie

Het binnendringen van meerdere zaadcellen (polyspermie) leidt tot niet-levensvatbare polyploidie. De oöcyt beschermt zich hiertegen via twee opeenvolgende fysiologische mechanismen.

- **Snelle blokkade (depolarisatie):** Snelle instroom van Na+-ionen wijzigt de membraanpotentiaal van -70 mV naar positieve waarden, waardoor verdere fusie tijdelijk wordt verhinderd.
- **Trage blokkade (corticale reactie):** Uitstoot van intracellulair Ca^{2+} vanuit het endoplasmatisch reticulum start de exocytose van corticale granula.
- **Zona-reactie (harding):** Enzymen uit de granules modificeren ZP-receptoren en binden water, waardoor de zona pellucida ondoordringbaar uithardt.

Fysiologische Tip

De corticale reactie activeert tevens de voltooing van meiose II in de eicel en uitstoting van het tweede poolichaampje.

Mijn aantekeningen

Wat veroorzaakt de membraandepolarisatie bij de snelle blokkade?

Beschrijf de biochemische verandering van de zona pellucida na exocytose van corticale granules:

Is de calciumgolf na fusie successol op gang gebracht?

Ja

Intracellulaire calciumstijging vindt plaats

- Exocytose van corticale granula start;
- zona pellucida hardt uit;
- polyspermie wordt permanent geblokkeerd;
- meiose II voltooit.

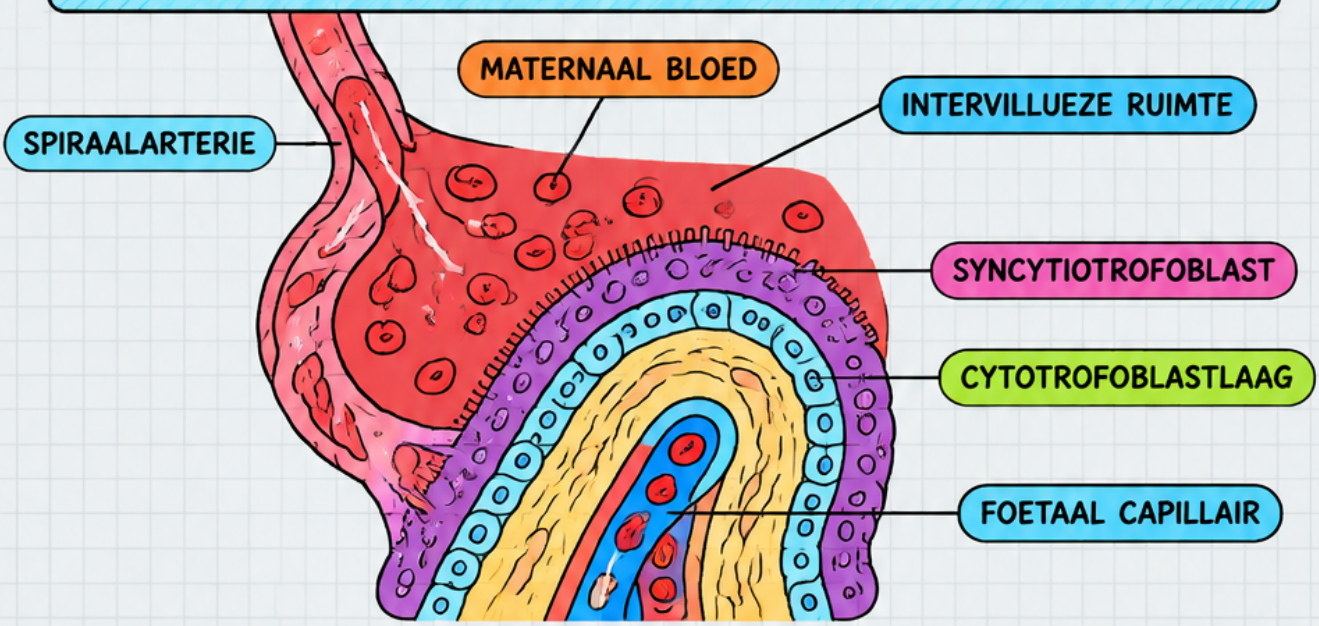
Nee

Calciuminflux of -afgifte faalt

- Geen granule-uitstoot; risico op penetratie door additionele spermacellen en letale polyspermie.

— Deze informatie is uitsluitend bedeeld voor educatieve doeleinden. —

PLACENTAIRE UITWISSELING



DE HEMOCHORIALE BARRIÈRE EN TRANSPORTMECHANISMEN

De placenta vormt een dynamisch **hemochoriaal scheidingsvlak** waar maternaal bloed in de intervillueze ruimten direct in contact komt met foetale vlokken (chorionvilli), zonder dat de bloedstromen direct mengen. De overdracht van gassen, nutriënten en afvalstoffen verloopt selectief via de buitenste syncytiotrofoblastlaag, het onderliggende cytotrofoblastweefsel, het foetale stroma en het endotheel van de foetale capillairen.

- **Eenvoudige diffusie**: O_2 en CO_2 passeren de lipidemembraan direct volgens de partiële drukgradiënt.
- **Gefaciliteerde diffusie**: Glucose passeert met behulp van specifieke GLUT1-transporters zonder ATP-verbruik.
- **Actief transport**: Aminozuren en calciumionen worden tegen hun concentratiegradiënt in verplaatst via ATP-afhankelijke dragers.
- **Receptor-gemedieerde endocytose**: Maternale IgG-antilichamen passeren de trofoblast via Fc-receptoren voor passieve immuniteit.
- **Endocriene synthese**: De syncytiotrofoblast produceert humaan choriongonadotrofine (hCG) ter instandhouding van het corpus luteum.

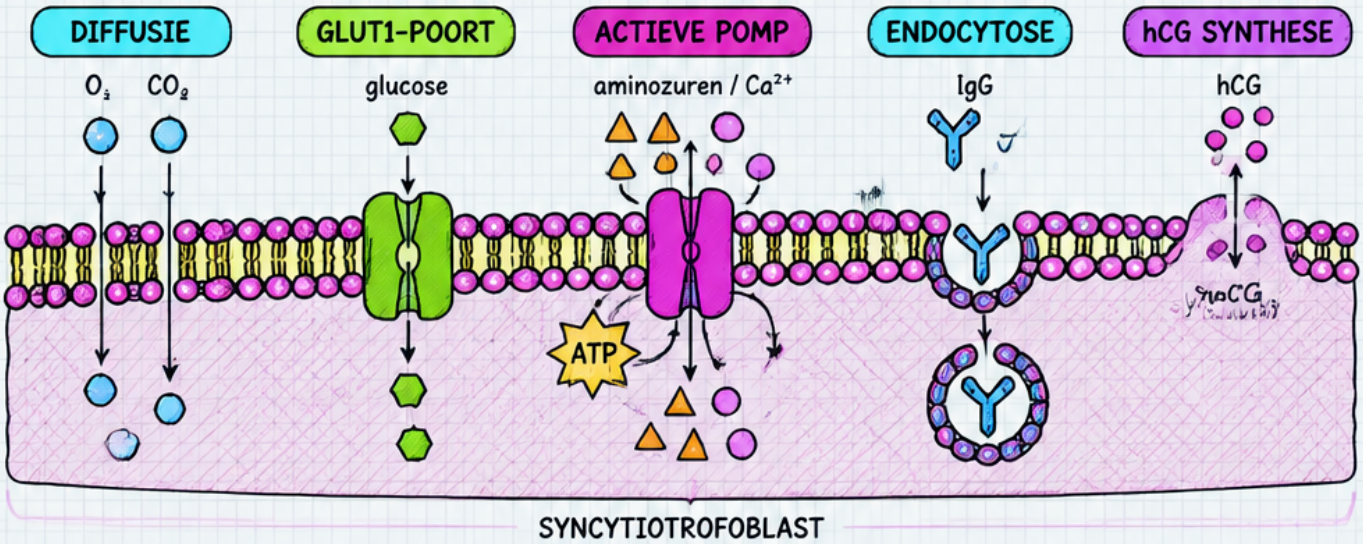
Wettelijke & Educatieve Mededeling
Dit materiaal dient uitsiluitend voor educatieve deeleinden en studieondersteuning.
Het vormt geen medische diagnose, klinisch behandeladvies of vervanging voor gekwalificeerde medische zorg.

ANALYSE VAN PLACENTAIRE ZUURSTOF- EN VOEDINGSSTOFOVERDRACHT

Gebruik dit stapsgewijze protocol om het traject van maternale toevoer naar foetale opname systematisch te ontleden en te verifiëren tijdens anatomische en fysiologische studiesessies.

1. **Maternale Inflow Identificeren** — Lokaliseer de spiraalarteriën van het endometrium die zuurstof- en voedingsstofrijk maternaal bloed pulserend in de intervillueze ruimte spuiten onder lage vasculaire weerstand.
2. **Barrière-oppervlakte Traceren** — Volg de syncytiotrofoblastlaag die het continue meerkernige buitenoppervlak van de chorionvlok vormt; controleer microvilli op het maternale membraan voor oppervlactevergroting.
3. **Gradiënten en Transportroutes Toewijzen** — Categoriseer elke stof naar transportroute: differentieer diffusie van zuurstof (door Bohr-effect en foetale HbF-affiniteit) van dragersystemen voor glucose en aminozuren.
4. **Foetale Opname en Drainage Verifiëren** — Traceer de route van het verrijkte bloed via het foetale capillaire netwerk van de vlok naar de vena umbilicalis richting de foetale lever en ductus venosus.

Placentair Transport: Mechanismen en Zelfevaluatie



BESLISSINGESBOOM: DIFFERENTIATIE VAN PLACENTAIR TRANSPORT

Bepaal met behulp van onderstaande analyse direct langs welk fysiologisch mechanisme een specifieke stof of moleculaire verbinding de placentaire membraan passeert.

Welk type molecuul of gas passeert de syncytiotrofoblast?

Klein apolair gas (O_2, CO_2) of lipofiel molecuul	Eenvoudige diffusie via lipidemembraan volgens partiële druk- of concentratiegradiënt.
Polaire monomeer zoals D-glucose	Gefaciliteerde diffusie via dragereiwitten (GLUT1) langs chemische gradiënt zonder ATP.
Kation, mineraal (Ca^{2+}, Fe^{2+}) of essentieel aminozuur	Primair of secundair actief transport met membraanpompen tegen de concentratiegradiënt in met ATP-verbruik.
Macromolecuul of eiwitcomplex (maternale IgG-antilichamen)	Receptor-gemedieerde transcytose via specifieke Fc-receptoren in membraanblaasjes.

ZELFEVALUATIE EN WERKBLAD FYSIOLOGISCHE MECHANISMEN

Gebruik de onderstaande werkvelden om de fysiologische parameters, het Bohr-effect en de hormonale rol van hCG in uw eigen studieworden uit te werken.

KENNISTOETSING & QA

Let op: fysiologische diffusiesmethoden en partiële drukken (pO2 maternaal vs. foetaal) vereisen verificatie aan be hand van standaardcurven voor foetale hemoglobine (HbF).

1. Verklaar waarom het dubbele Bohr-effect de zuurstofafgifte van moeder naar foetus optimaliseert:

2. Beschrijf de endocriene feedbackfunctie van syncytiotrofoblast-hCG op het ovariële corpus luteum:

3. Noteer twee barrière-eigenschappen die pathogene micro-organismen belemmeren maar medicamenteuze stoffen kunnen doorlaten:

   1. _____
   2. _____

Dit materiaal is uitsluitend bedoeld voor educatieve doeleinden.

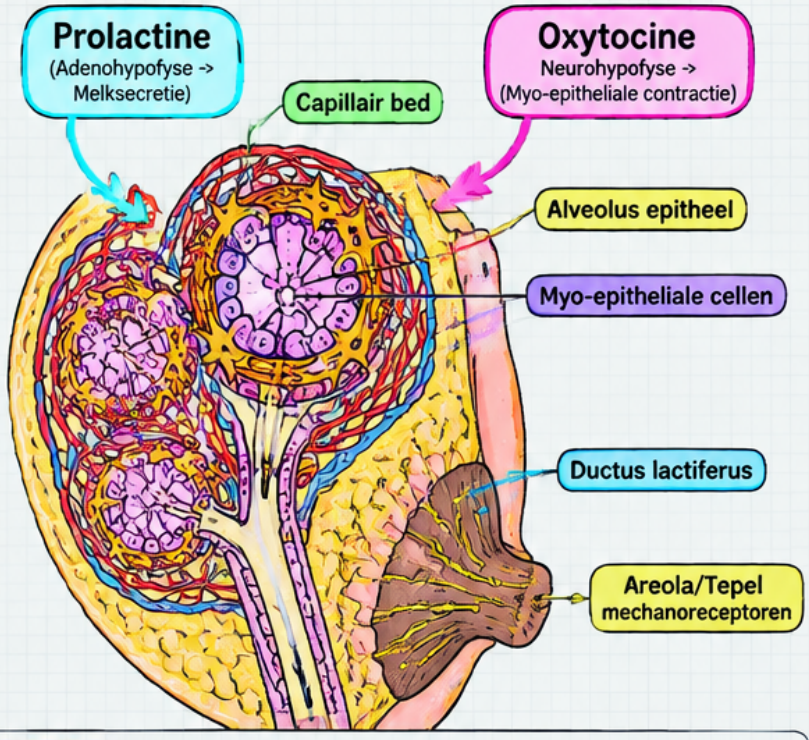
FYSIOLOGISCHE KAART: LACTATIE & TOESCHIETREFLEX

FYSIOLOGISCHE FASEN VAN BORSTWEEFSEL EN LACTATIE

Lactatie is een strikt geregulered fysiologisch proces waarin het borstweefsel onder invloed van endocriene en neuro-endocriene signalen transformeert tot een actief melkproducerend orgaan. De entwikkoking verloopt in drie opeenvolgende fasen: mammogenese, lactogenese en galactopoëse met de acute toeschietreflex.

- **Mammogenese:** Structurele voorbereiding en uitgroei van lobuli en ducti onder invloed van steroidhormonen tijdens de zwangserpchp.
- **Lactogenese:** Start van melksecretie door alveolaire epitheelcellen na abrupte daling van placenta-steroiden postpartum.
- **Toeschietreflex (Melkejectie):** Acute neuro-endocriene contractie van myo-epitheliale cellen rond de alveoli gestuurd door oxytocine.

Medische Disclaimer
Dit overzicht dient uitsluitend voor biologische en fysiologische educatie en is niet bedoded als vervanging voor klinisch consult, medische diagnostiek of verloskundig behandeladvies.

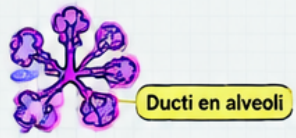


ENDOCRINE EN NEURO-ENDOCRIENE STAPPENREEKS

Het fysiologische mechanisme vereist een nauwkeurige opeenvolging van hormonale veranderingen en neurale prikkels.

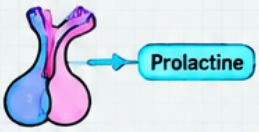
1 Stap 1: Mammogenese (Gestationele Fase)

Hoge spiegels van progesteron en oestrogeen stimuleren de proliferatie van klierblaasjes (alveoli) en vertakking van melkgangen (ductus lactiferi), terwijl progesteron tegelijkertid activee secretie remt.



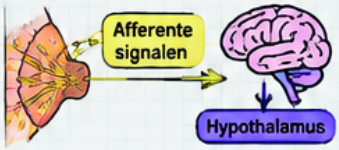
2 Stap 2: Lactogenese I & II (Partus & Melkaanmaak)

Na de bevalling en de uitstoting van de placenta valleile poimoteron- en oestrogeenspiegels direct weg. Hierdoor valt de remming weg en stimuleert prolactine uit de hypofyse-voorkwab de synthese van melkeiwitten, lipiden en lactose.



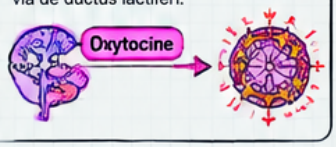
3 Stap 3: Zuigprikkel & Neuraal Signaal

Mechanoreceptoren in de tepel en areola detecteren tactiele stimulatie (zuigen) en sturen afferente signalen via het ruggenmerg naar de hypothalamuus.



4 Stap 4: Toeschietreflex & Melkejectie

De hypothalamus stimuleert de neurohypofyse tot pulserende afgifte van oxytocine. Oxytocine activeert G-proteine-gekoppielde recepteren op de myo-epitheliale cellen rond de alveoli, wat leidt tot gecoördeneerde contractie en voortstuwende lediging van melk via de ductus lactiferi.



FYSIOLOGISCHE BESLISBOOM: MELKAANMAAK VERSUS MELKEJECTIE

Gebruik dit overzicht om te differentiëren tussen verstoringen in melkaanmaak (secretie) en transport (melkejectie).

Klinisch Fysiologische Tip
Stress en acute pijn activeren he sympathische zenuwestsel, wat via perifere vasoconstrictie en centrale remming de oxytocine-afgifte kan belemmeen, terwijl prolactine normaal gepdooucerd klijlt.

Op welk fysiologisch orgaanniveau treedt de respons of belemmering op?

Onvoldoende synthese van melkcomponenten in het rustende klierweefsel → Evalueer **prolactinesecretie** (hypofysevoorkwab) en controleer of de remming door resideuel placentair weefsel (progesteron/ oestregeen) volledig is opgeheven.

Aanwezige klierzwelling zonder melkuitdrijving bij tactiele stimulatie → Evalueer de **oxytocine-as** (hypothalamus/neurohypofyse) en controleer factoren die de myo-epitheliale contractie remmen, zoals acute sympathicusactivatie.

ZELFEVALUATIE: MECHANISME EN VERLOOP

Toets uw begrip van de hormonale regulatie en signaalpaden door de onderstaande anatomische en fysiologische werkvragen in te vullen.

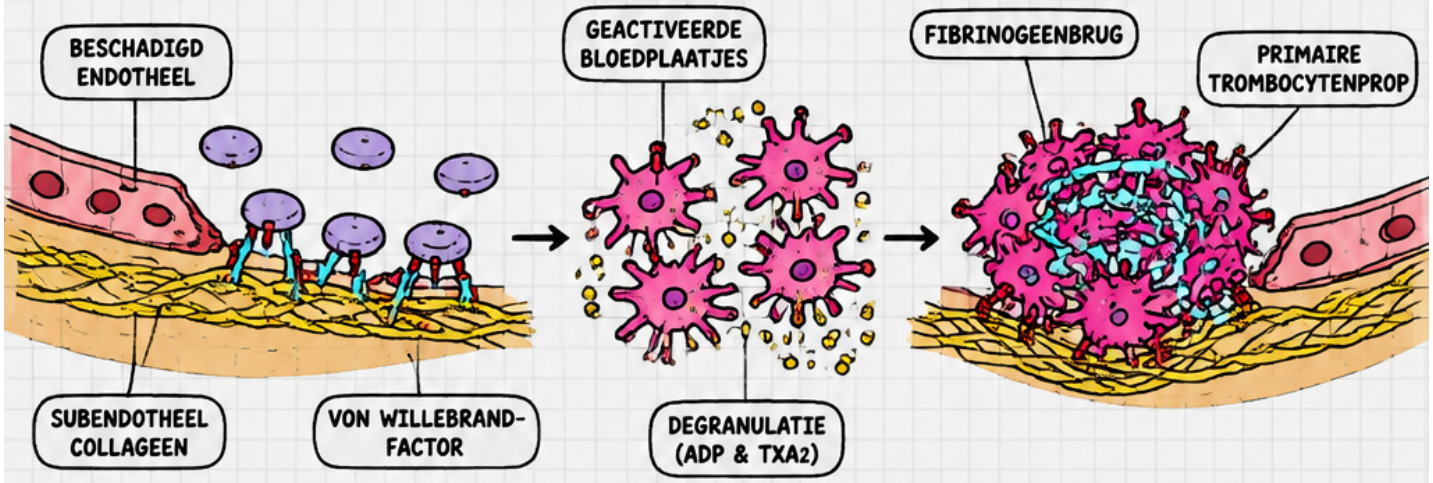
1 Beschrijf de rol van progesteronverval op de start van lactogenese fase II:

2 Benoem de effectorcel en receptor die reageren op pulsatiele oxytocine-afgifte:

3 Noteer het afferente zenuwtraject van tepelstimulatie naar de hypothalamus:

Dit overzicht dient uitsluitend voor biologische en fysiologische educatie en is niet bedeld als vervanging voor klinisch consult, medische diagnostiek of verloskundig behandeladvies.

PRIMAIRE HEMOSTASE



INLEIDING TOT PRIMAIRE HEMOSTASE

Wanneer de endotheelwand van een bloedvat beschadigd raakt, treden er onmiddellijk beschermende mechanismen in werking om bloedverlies te beperken. Hemostase verloopt klassiek in opeenvolgende en deels overlappende fasen. In dit eerste deel staat de primaire hemostase centraal: de onmiddellijke vasculaire spasme (vasoconstrictie) en de snelle vorming van een initiële bloedplaatjesprop (trombocytenaggregaat). Dit proces dicht kleine defecten snel af voordat de coagulatiecascade (secundaire hemostase) een stabiel fibrinenetwerk over de prop weeft.

- **Vasculaire reactie**: directe vaatvernauwing vermindert de lokale perfusiedruk en het acute bloedvolume.
- **Adhesie**: trombocyten hechten aan subendotheliaal collageen via von Willebrand-factor (vWF).
- **Activatie en secretie**: vormverandering van plaatjes en uitstoot van signaalmoleculen zoals ADP en tromboxaan A_2.
- **Aggregatie**: koppeling van geactiveerde trombocyten via **fibrinogeenbruggen** op geactiveerde GP IIb/IIIa-receptoren.

Educatieve Disclaimer
Dit leermateriaal is uitsluitend bestemd voor educatieve en trainingsdoeleinden voor studenten. en docenten. Het vormt geen klinische diagnose, behandelrichtlijn of individueel medisch advises. Fysiologische concepten zijn gabaseerd op algemene biomedische basisliteratuur.

HET VIERTRAPSMECHANISME VAN PRIMAIRE HEMOSTASE

De vorming van de primaire bloedplaatjesprop volgt een nauwkeurig fysiologisch stappenplan dat binnen enkele seconden na weefselschade wordt gēinitieerd.

1 STAP 1: VASOCONSTRICTIE (VASCULAIRE SPASME)

Direct na beschadiging trekt het gladde spierweefsel in de vaatwand samen onder invloed van myogene reflexen, lokale pijnreceptoren en vasoactieve stoffen (zoals endotheline). Dit vermindert de bloedstroom ter hoogte van de laesie.

2 STAP 2: PLAATJESADHESIE VIA vWF

De endotheelbarrière breekt open, waardoor collageenvezels in de subendotheliale matrix blootliggen. Von Willebrand-factor (vWF) bindt aan dit collageen en biedt een ankerplaats voor de glycoproteïne Ib-receptoren (GP Ib) op circulerende trombocyten.

3 STAP 3: PLAATJESACTIVATIE EN DEGRANULATIE

Binding activeert de trombocyten: ze veranderen van gladde schijfjes in onregelmatige cellen met uitlopers (pseudopodia). Dense korrels en alfakorrels ledigen hun inhoud: ADP en tromboxaan A_2 (TXA_2) activeren omliggende trombocyten en versterken de vasoconstrictie.

4 STAP 4: AGGREGATIE EN PROPVORMING

Door activatie ontstaat een conformatieverandering in de oppervlaktereceptor glycoproteïne IIb/IIIa (GP IIb/IIIa). Fibrinogeen moleculen binden aan deze receptoren en overbruggen naburige trombocyten tot een stabiele primaire hemostatische plug.

Educatieve Disclaimer
Dit leermateriaal is uitsluitend bestemd voor educatieve en trainingsdoeleinden voor studenten en docenten. Het vormt geen klinische diagnose, bebandelrichtlijn of individueel medisch advies. Fysiologische concepten zijn gebaseerd op algemene biomedische basisliteratuur.

Analyse & Zelfstudie: Primaire Hemostase

Klinisch-Fysiologische Beslisboom: Primaire vs. Secundaire Defecten

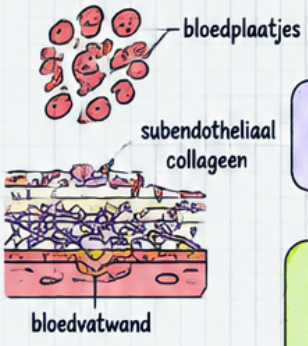
Inzicht in hemostase veerist inzicht in de functionele scheiding tussen bloedplaatjesrespons en de stollingscascade.

Aandachtspunt Evaluatie

Trombocytopenie (tekort aan aantal) en trombocytopathie (functiestoornis) geven beiden aanleiding tot stoornissen in de primaire hemostase, tewrijl stollingsfactor-deficiënties (zoals hemofilie) de secundaire hemostase treffen.

Welk subtype hemostatisch defect suggereert het klinisch-fysiologische fenotype?

Primaire hemostase



Oppervlakkige bloedinges, petechiën, direct verlengde bloedingstijd na huidpunctie

Evalueer **primaire hemostase:** controleer trombocytenaantal, werking van GP Ib/IIb/IIIa-receptoren en plasma-concentratie/activiteit van von Willebrand-factor (vWF).

Secundaire hemostase

Diepe weefselbloedinges, hematomen, hemartrose (bloeding in gewrichten) met vertraagde nabloeding

Evalueer **secundaire hemostase:** focus op de stollingscascade, intrinsieke/extriniseke routes, fibrinogeenomzetting en stollingsfactoren (o.a. Factor VIII, IX).



Zelfstudie Werkblad: Fysiologische Analyse

Gberuik onderstanade invoervelden tijdens college of zelfstudie om de rol van de belnngrijkste componenten in primaire hemostase bondig in eigen woorden samentie vatten.

1 Beschrijf de rol van subendotheliaal collageen bij vaatwandlaesies:

2 Functie van von Willebrand-factor (vWF) bij plaatjesadhesie:

3 Werkingsmechanisme van ADP en Tromboxaan A2 bij aggregatie:

4 Rol van de glycoproteïne IIb/IIIa-receptor en fibrinogeen bij propvorming:

Deze materialen zijn uitsluitend bedoeld voor educatieve doeleinden.

SECUNDAIRE HEMOSTASE

Secundaire Hemostase: Stollingscascade en Fibrinestabilisatie

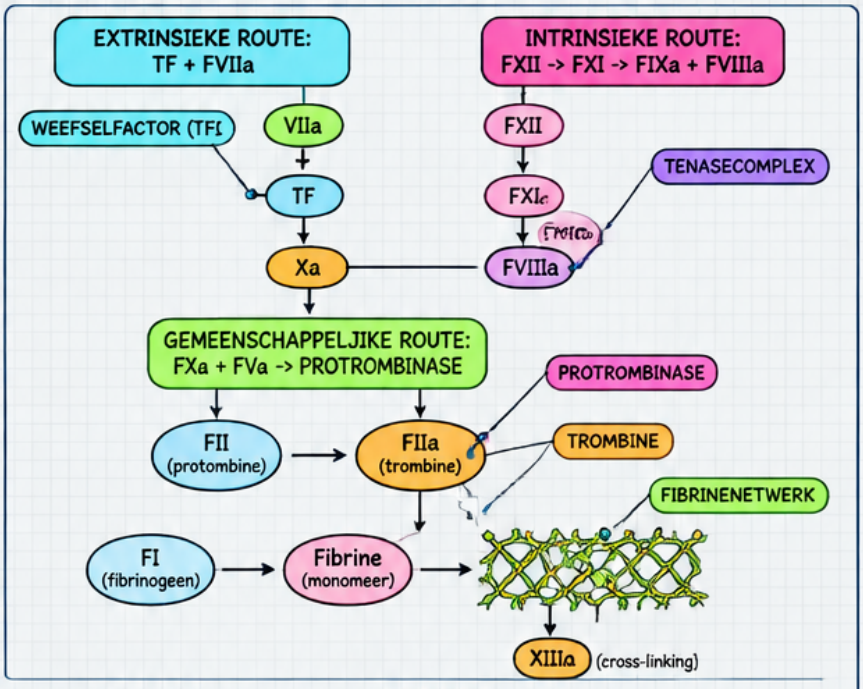
Overzicht en Fysiologische Functie

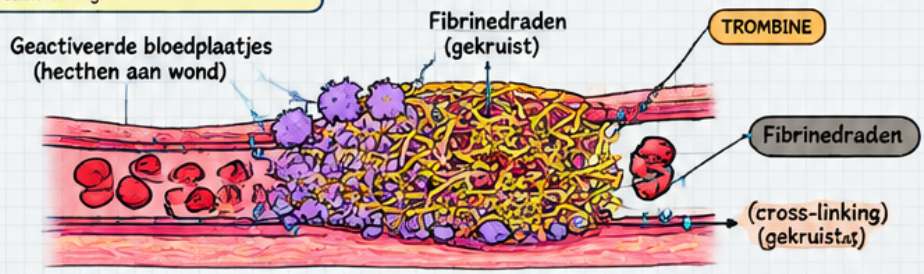
Secundaire hemostase volgt direct op de primaire hemostase (de vorming van de initiële trombocytenplug). Het primaire doel is het genereren van een robuust netwerk van onoplosbare fibrinevezels om het stolsel mechanisch te verankeren aan arteriële en veneuze schuifspanningen. Dit proces voltrekt zich via twee convergerende routes: de extrinsieke route (geactiveerd door weefselfactor na vaatwandletsel) en de intrinsieke route (geactiveerd door contactactivatie en blootgesteld collageen). Beide routes convergeren op het niveau van factor X in de gemeenschappelijke route.

- **Extrinsieke route:** Snelstart via weefselfactor (TF / factor III) en geactiveerd factor VII (FVIIa).
- **Intrinsieke route:** Versterkingslus via factoren XII, XI, IX en cofactor VIII op fosfolipideoppervlakken.
- **Gemeenschappelijke route:** Activatie van factor X naar Xa, vorming van het protrombinasecomplex, trombinegeneratie en fibrinevorming.

Educative Disclaimer

Dit schema en bijbehorende informatie dienen uitsluitend educatieve doeleinden en zijn niet bedoeld voor diagnostische of therapeutische besluitvorming.





De Drie Fasen van Secundaire Hemostase

De enzymatische cascade verloopt stapsgewijs via opeenvolgende proteolytische klievingen van zymogenen tot actieve serinenproteasen op geactiveerde trombocytenmembranen.

1 Initiatie via de Extrinsieke Route

Vaatwandschade brengt subendothelilae weefselfactor (TF) in contact met circulerend factor VIIa. Het TF-FVIIa-complex klieft factor X tot Xa en factor IX tot IXa in aanwesigenid van calciumionen (Ca^{2+}).

2 Propagatie en Tenase-complexvorming

Factor IXa bindt cofactor VIIIa op het negatief geladen oppervlalk van geactiveerde bloedplaatjes en vormt het intrinsieke tenasecomplex (FIXa-FVIIIa-Ca^{2+}-PL), dat factor X aanmienilly efficiënter activeert dan de extrinsieke route alleen.

3 Het Protrombinasecomplex en de Trombinestoot

Factor Xa bindt cofactor Va op het plaatjesmembraan om het protrombinase-complex te vormen (FXa-FVa-Ca^{2+}-PL). Dit complex zet protormbine (factor II) enzymatisch om in actief trombine (factor IIa) in een explosieve reactie.

4 Fibrineemaomeervorming en Polymerisatie

Trombine klieft fibrinopeptiden A en B van circulerend fibrinogeen (factor I). De resulterende fibrinemonomeren polymeriseren spontaan via niet-covalente bindingen tot een oplosbaar netwerk van fibrinedraden.

5 Stabilisatie door Factor XIIIa

Trombine activeert tevens factor XIII tot factor XIIIa (fibrinestabiliserende factor). Factor XIIIa katalyyesert covalente cross-links tutsen glutamine- en lysineresten van aangrenzende fibrineketens, waardoar een mechanisch stabiel stolsel ontstat.

Differentiële Analyse van Laboratoriumparameters

In de klinische diagnostiek werden stollingsafwijkingen gekarakteriseerd aan de hand van specifiolke plasmatesten die verschllende segmenten van de cascade isleeren.

Welk cascade-segment vertoont een functioneel defect bij een afwijkende stollingstijd?

Verlengde geactiveerde partiële tromboplastinetijd (aPTT) bij normale protrombinetijd (PT)	Defect of remmer gelokalisserd in de intrinsieke route: evalueer factor XII, XI, IX, VIII of von Willebrandfactor-interactie.
Verlengde protrombinetijd (PT / INR) bij normale aPTT	Defect gelokaliseerd in de extrinsieke route: evalueer factor VII-activtielt of vroege vitamine K-antagonist respons.
Zowel PT als aPTT verlengd	Defect gelokalisserd in de gemenschappeelide route (factor X, V, II of I) of multifactoriële verbruiksstollingsstoornis.
PT en aPTT normaal, maar aanhoudende bloedingsneiging en stolselinstabiliteit	Onderzook mechanische stabllisatie: evalueer factor XIII-activitieit of overmatige vroege fibrinolyse.

Zelfevaluatie en Casusnotities

Gebruik de adertsennde werkvelden om de enzymatische cofactoren en cofactoreisen (calcium, vitamine K-afhankiiighieid, fosfolipiden) te recaplulleren tijdens het bestuderen van het stroomschema.

1. Noteer de vier vitamine K-afhankelijke stollingsfactoren en hun bindingsmechanisme via Gla-domeinen:

2. Verklaar de biochemische rol van het fosfollipideoppervkak (plaatjesfactor 3) bij de opbouw van het tenasecomplex:

3. Beschrijf hoe trombine via een positieve terugkoppelingslus factoren V, VIII en XI versterkt:

Educatieve Disclaimer: Dit schema en bijbehorende informatie dienen uitsluitend educatieve doeleinden en zijn niett bedoeld voor diagnostische of therapeutische besluitvorming. oajn niet bedoeld voor diagnostiinmiaxnmma.

FIBRINOLYSE & STOLLINGSREMMING

Schema & Interacties

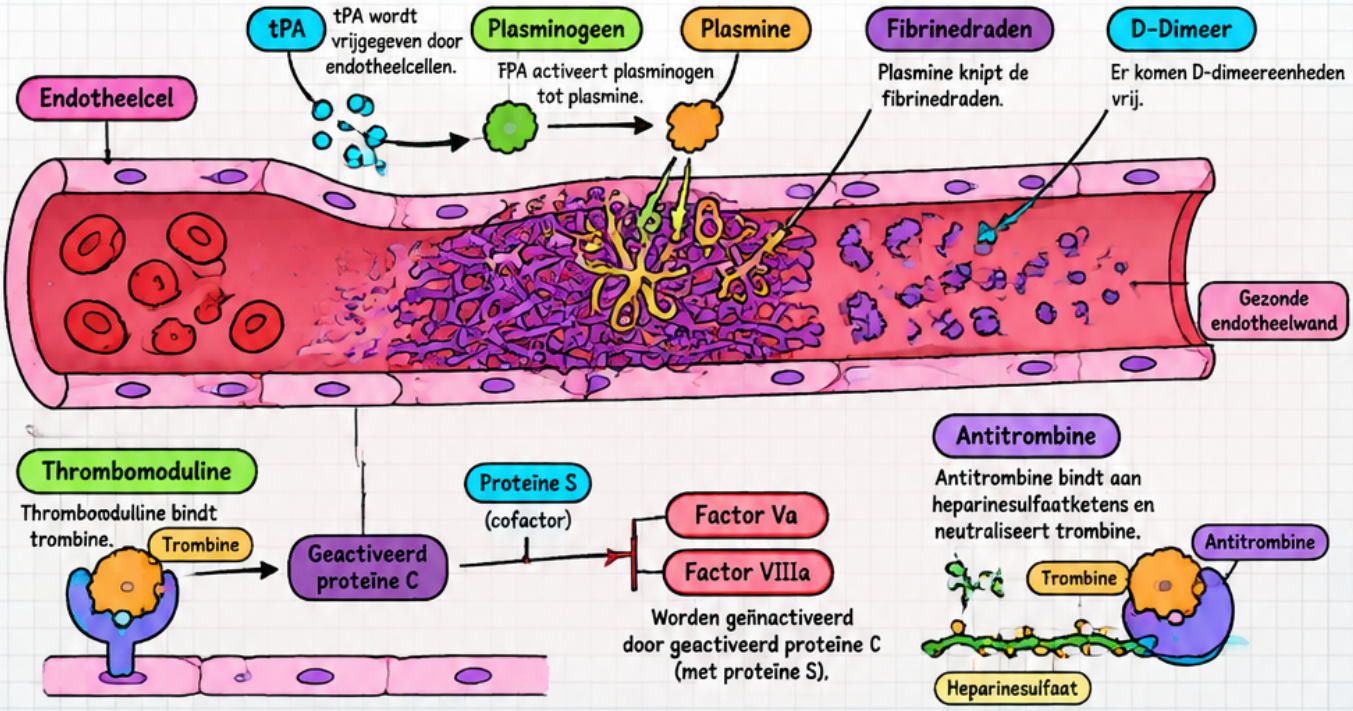
Fibrinolyse en het Dynamisch Stollingsremmend Evenwicht

Bloedstolling beschermt het lichaam tegen ernstig bloedverlies na vaatletsel, maar ongecontroleerde stolselvorming kan vaten afsluiten. Om de balans en vloeibaarheid te behouden, beschikt het vaatstelsel over nauwkeurig afgestemde stollingsremmende en fibrinolytische mechanismen. Fibrinolyse is de gecontroleerde enzymatische afbraak van het onoplosbare fibrinestolsel zodza wondgenezing optreedt.

- ✔ Beschermt de perfusie van vitale organen tegen occlusieve trombose.
- ✔ Ruimt tijdeljhe fibrinenetwerken gecontroleerd op na endotheelherstel.
- ✔ Behoudt een continu lokaal evenwicht tussen procoagulante en anticoagulante factoren.

Educativve Medische Disclaimer

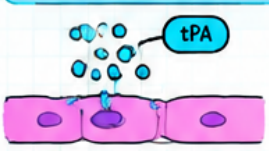
Dit leermiddel is uitsluitend beeltreld voor educativee deelienden en vervangt geen professioonel medisch advies, klinische diagnose of behandelrichtiijnen. Raadpleeg bij kllinische vraagstukken alltijd een beveogd arts.



Het Fibrinolytische Mechanisme: Van Plasminogeen naar D-Dimeren

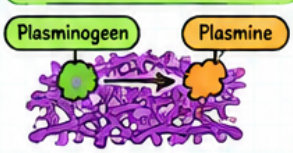
De enzymatische opruiming van fibrine verloopt via een opeenvolegnde keten van activatie- en afbraakstatpen, primair geregluleerd door endotheelcellen rondom het stolsel.

1 Stap 1: Secretie van tPA door endotheelcellen



Endotheelcellen rondom het stolsel scheiden weefselplasminogeen-activator (tissue plasminogen activator, tPA) af in respons op fibrinedepositie en herstelsignalen.

2 Stap 2: Binding en omzetting van plasminogeen



Zowel tPA als de inactieve pro-enzymvorm plasminogeen binden specifiek aan lysineresten op het fibrinenetwerk. Hier activeert tPA plasminogeen door splitsing tot het actieve serineprotease plasmine.

3 Stap 3: Proteolytische splitsing van fibrinedraden



Het actieve plasmine klieft het onoplosbare fibrinenetwerk doelgericht in kleinere, oplosbare fibrinedegradatieproducten (FDP's).

4 Stap 4: Vrijkomen van D-Dimeercomplexen



Bij de afbraak van stabiel, gecrosslinkt fibrine (ontstaan door factor XIIIa) komen specifieke D-dimeereenheden vrij in de bloedsomloop, die dienen als fysiologische merkers van actieve stollings- en afbraakprocessen.

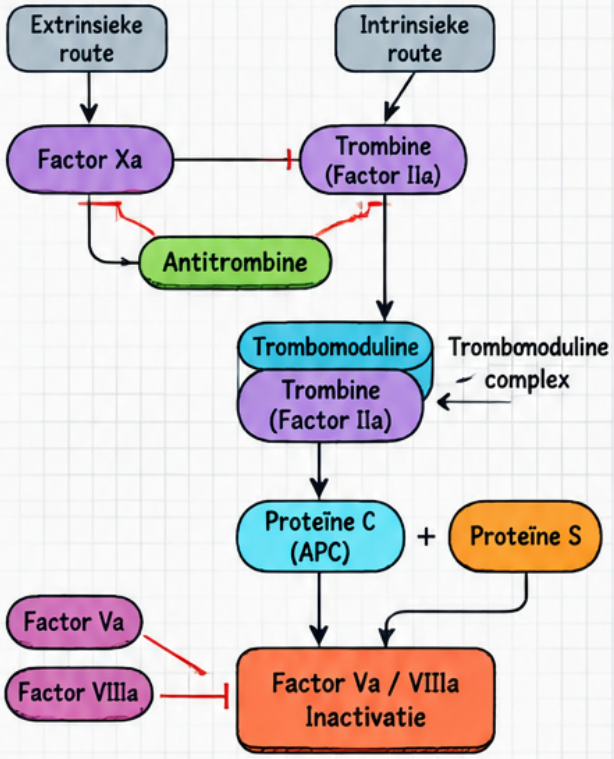
ANTICOAGULATIE CONTROLE

Stollingsremmende Mechanismen & Fysiologisch Werkblad

1 Endogene Stollingsremmers en Antitrombotische Controle

Naast de afbraak van bestaande stolsels verhinderen drie endogene mechanismen dat stollingsreacties zich ongehinderd uitbreiden buiten de verwondingszone.

- **Antitrombine (AT):** Een circulerende serpineremmer die trombine (factor IIa), factor Xa en factor IXa inactiveert. Deze binding word meer dan duizendmaal versneld door binding aan heparansulfaten op het intacte endotheel.
- **Trombomoduline en Proteïne C:** Trombine bindt aan het membraaneiwit trombomoduline op gezond endotheel. Dit complex activeert proteïne C (APC).
- **Proteïne S cofactorwerking:** Geactiveerd proteïne C splitst samen met cofactor proteïne S de geactiveerde stollingscofactoren factor Va en factor VIIIa, waardoar de verdere trombinelawine accuraat stopt.



Klinisch Fysiologisch Inzicht

Plasminogen activator inhibitor-1 (PAI-1) remt direct tPA, terwijl alfa-2-antiplasmine vrij circulerend plasmine snel neutraliseert. Hierdoor blijft de enzymatische afbraak strikt lokaal beperkt tot het fibrinoïde stolselopperxlak.

Beslisboom: Fysiologische Beeordeling van Stollingsbalans

Evalueer het fysiologische evenwicht tussen stolling en stolseloplosssing aan de hand van het klinisch-fysiologische hemostasepatroon.

Welk evenwichtspatroon vertoont het hemostatische feedbacksysteem?

Fibrinestolsel gevormd, intact endotheel intact, stabiele perfusie	Verhoogde D-dimeren met behoud van fysiologische perfusie	Onvoldoende werking van antitrombine of proteïne C/S cascades
Fysiologische fibrinolyse treedt gecontroleerd op via tPA-activatie; antitrombine en proteïne C/S blokkeren systemische verspreiding van trombine.	Duidt op actieve omzetting van plasminogeen naar plasmine en succesvolle lysis van gecrosslinkte fibrinenetwerken.	Onbelemmerde amplificatie van factor Va/VIIIa en trombine, resulterend in pro-trombotische fysiologische overactiviteit.

Werkblad: Fysiologische Mechanismen Verifiëren

Controleer uw begrip van de cascades en noteer de specifieke interacties tussen vaatwand, stollingsremmers en enzymen.

1. Wat is de exacte substraatbron en receptorlocatie van tPA bij fibrinebinding?

2. Beschrijf de biochemische rol van factor XIIIa bij het ontstaan van meetbare D-dimeren:

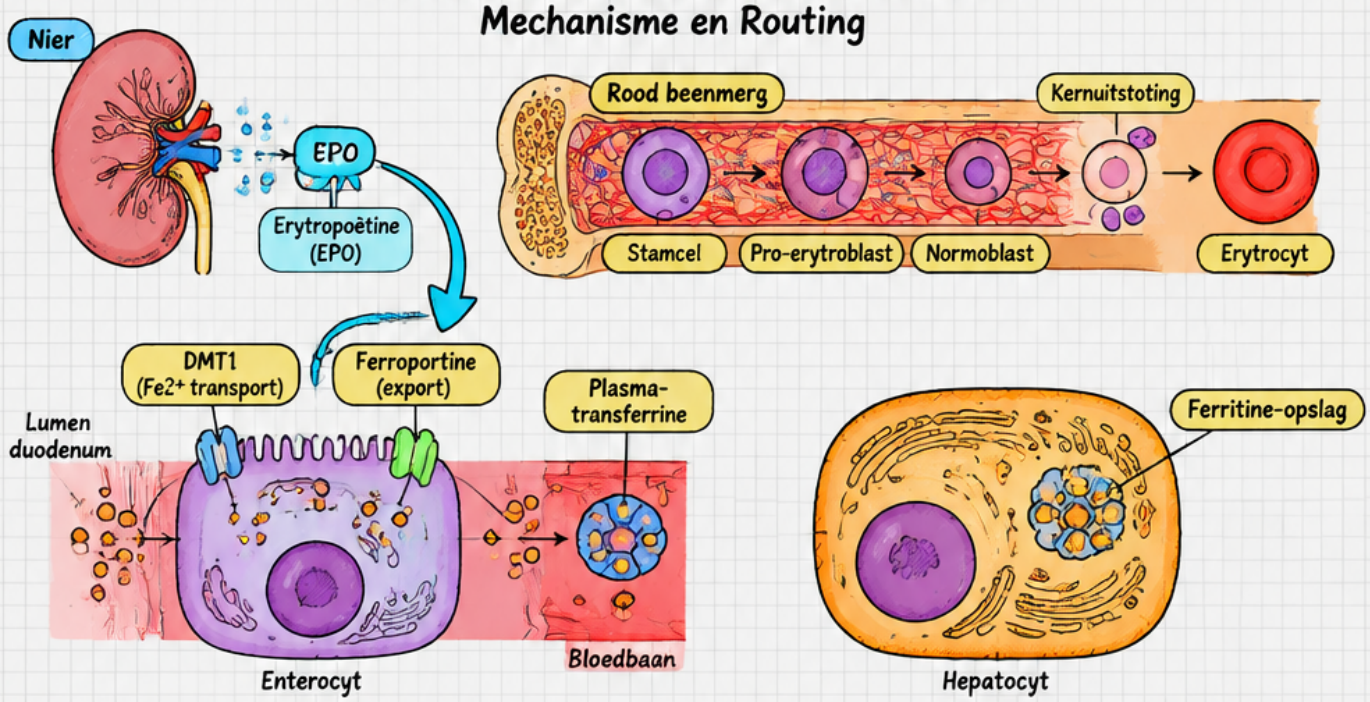
3. Hoe voorkemt gezond endotheel via trombomoduline en proteïne C/S de vorming van Va/VIIIa?

4. Persoonlijke aantekeningen en waargenomen interacties in de fysiologische regelkring:

Dit materiaal is uitsluitend bedoeld voor educatieve doeleinden.

ERYTROPOËSE & IJZERHOMEOSTASE

Mechanisme en Routing



FYSIOLOGISCH MECHANISME: AANMAAK VAN RODE BLOEDCELLEN EN IJZERBALANS

Erytropoëse is de gereguleerde productie van rijpe rode bloedcellen (erytrocyten) in het rode beenmerg. Bij weefselhypoxie produceren de nieren het glycoproteïne-hormoon erytropoëtine (EPO). EPO stimuleert de overleving en uitrijping van erytroïde voorlopercellen. Om stabiel hemoglobine te synthetiseren is voldoende tweewaardig ijzer (Fe^{2+}) vereist, gereguleerd via opname in de darm, transport in het bloedplasma en opslag in weefsels.

- Hypoxiesensor in de nier leidt tot secretie van EPO in de systemische circulatie.
- Pro-erytroblasten differentiëren via basofiele, polychromatische en normochromatische stadia naar reticulocyten.
- Enucleatie (kernuitstoting) vindt plaats vóór uittreding als jonge reticulocyt naar het perifere bloed.
- Darmepitheel absorbeert Fe^{2+} via DMT1 na reductie van Fe^{3+} door duodenaal cytochroom b (Dcytb).
- Plasma-ijzertransport verloopt via transferrine; cellulaire osplag vindt plaats in ferritinecomplexen in hepatocyten en macrofagen.

Educatieve Disclaimer & Domeincontrole
Dit materiaal is uitsluitend bestemd voor educatieve doeleinden en vervangt geen klinische diagnose of medisch behandeladvies. Fysiologische celstadia en biochemische transportroutes dienen door studenten en docenten getoetst te worden aan het vigerende curriculum.

FYSIOLOGISCH EVALUATIEKADER: HYPOXIE VS. IJZEROVERSCHOT

Gebruik deze beslisstructuur om de homeostatische compensatiemechanismen van het menselijk lichaam bij afwijkende parameters in kaart te brengen.

Welke homeostatische prikkel domineert het metabole porfiel van de patiënt of casus?

Verlaagde arteriële zuurstofspanning of anemie (lage Hb-waarde)	Verhoogde systemische ijzerreserves of hemochromatose
Stimulatie van renale EPO-secretie, toename van transferrine-ijzeropname in beenmerg en versnelde reticulocytenafgifte.	Lever produceert hepcidine, leidend tot endocytose en afbraak van ferroportine in enterocyten en macrofagen, waardoor verdere ijzerabsorptie blokkeert.

STAPSGEWIJZE DIFFERENTIATIE EN IJZERTRANSPORT

Volg de onderstaande cascade om het cellulaire traject van de stamcel en de moleculaire route van hepar- en darmijzer naar het hemoglobinecomplex te reconstrueren.

1. **Stap 1: Detectie van Zuurstofspansing en EPO-Afgifte**
   Peritubulaire interstitiële cellen in de niercortex registreren een verlaagde partiële arteriële zuurstofdruk (pO2) via hypoxie-inducerbare factoren (HIF). De nieren verhogen de EPO-synthese en geven dit af aan de bloedbaan.
2. **Stap 2: Differentiatie van Stamcel tot Pro-erytroblast**
   In het rode beenmerg bindt circulerend EPO aan specifiede receptoren op multipotente voorlopercellen (CFU-E). Dit activeert intracellulaire signaalroutes die apoptose remmen en deling stimuleren.
3. **Stap 3: Darmabsorptie en IJzerinbouw**
   In het duodenum reduceert luminaal ferri-ijzer (Fe^{3+}) tot ferro-ijzer (Fe^{2+}) via Dcytb. Transporteiwit DMT1 verplaatst Fe^{2+} over de apicale enterocytmembraan; ferroportine exporteert het basolateraal naar plasma-transferrine.
4. **Stap 4: Ribosomale Hemoglobinesynthese en Kernuitstoting**
   IJzerbeladen transferrine bindt aan transferrinereceptoren op erytroblasten en wordt via endocytose opgenomen. Ooda hemoglobineconcentraties oplopen, condenseert het chromatine en wordt de celkern uitgestoten.
5. **Stap 5: Maturatie van Reticulocyt tot Erytrocyt**
   De reticulocyt verlaat de beenmergsinoïden naar het bloed. Binnen 24 tot 48 uur worden resterende organellen en ribosomen afgebroken, wat resulteert in de kenmerkende biconcave, flexibele erytrocyt.

ZELFSTUDIE & VERIFICATIEPROTOCOL

Vul aan: bevindingen uit onderstaande werkvelden in om de fysiologische ketens, referentiewaarden en observaties uit klinische casuistiek vast te leggen.

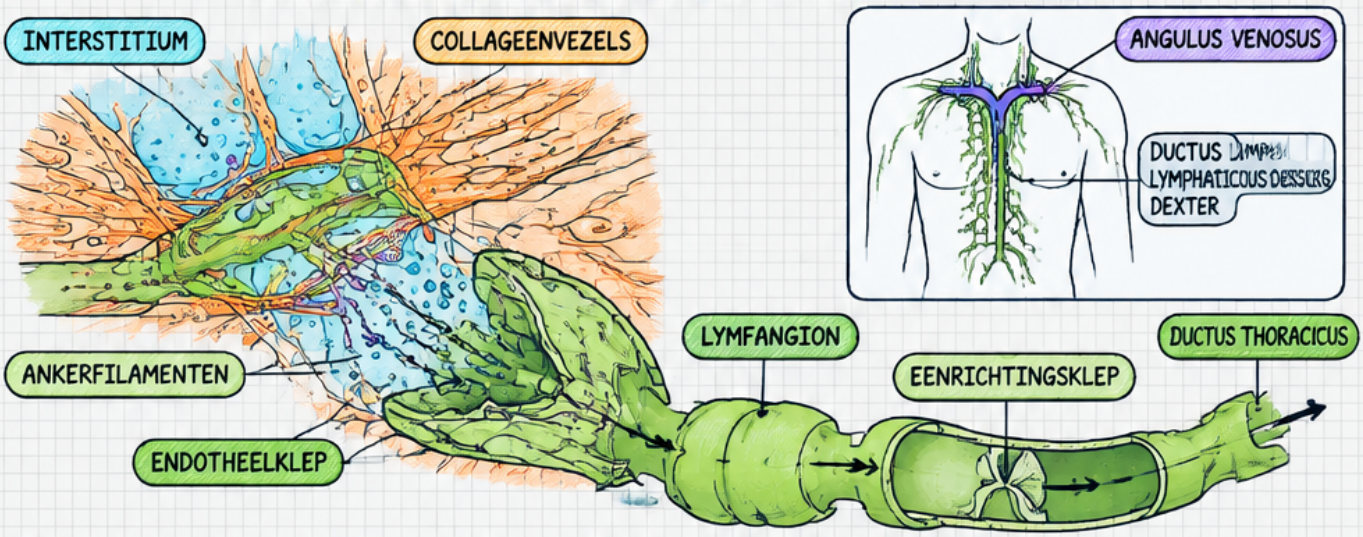
Aandachtspunt IJzerstatus
Controleer serumferritine en transferrineverzadiging alvorens anemieën van chronische ziekte te verwarren met absolute ferro-deficiëntie.

Notitie: Primaire prikkel voor renale EPO-afgifte en celtype

Teken / Beschrijf: Route van Fe^{2+} vanaf enterocyt tot heemgroep

Observatie: Morfologie reticulocyt versus volwassen erytrocyt in perifeer uitstrijkje

LYMFE-AANMAAK



LYMFE-AANMAAK EN LYMFEDRAINAGE

Inleiding: Lymfeaanmak in het Interstitium

Het lymfestelsel handhaaft de vochtbalans in het lichaam door overtollig weefselvocht uit de interstitiële ruimte op te nemen en terug te voeren naar de bloedcirculatie. Onder invloed van hydrostatische drukverschillen openen gespecialiseeerde ankerfilamenten de endotheelcellen van de initiële lymfecapillairen, waardoar vloeistof, macromoleuclen en afvalstotfen instromen.

- Netto filtratie bij capillairen levert dageliqks ca. 2 tot 4 liter weefselvocht op dat via lymfe wordt afgevoerd
- Overlappende endotheelcellen fungeren als mechanische microkleppen zonder terugstroom naar leut interstitium
- Ankerfilamenten verbinden de capillairwand direct aan omringende collageenvezels

Educatieve Disclaimer
Deze illustratie en toelichting zijn uitsluitend bestemd voor educatieve doeleinden en vormen geen medisch advies, diagnose of behandelrichtlijn.

FYSIOLOGISCH MECHANISME: VAN WEEFSELVOCHT NAAR VENEUZE AFVOER

De route van interstitieel vocht naar de veneuze circulatie verloopt via een opeenvolging van passieve opening en actieve voortstuwing:

1. **Drukopbouw en Opening Microkleppen**
   Toenaame van interstitiële vloeistof verhoogt de interstitiële druk. De spanning trekt aan de ankerfilamenten, waardoar de overlappende endotheelspleten van de initiële lymfecapillair opengaan en lymfe instroomt.
2. **Transport door Lymfangionen met Kleppen**
   De vloeistof hereckt verzamelvaten die zijn opgedrid in contractiele segmenten (lymfangionen). Glad spierweefsel en eenrichtingskleppen stuwen de lymfe autonoom voort, onderstuend door pulsaties van aanliggende arteriën en spiercontracties.
3. **Filtratie in Lymfeklieren**
   Lymfe passeert afferente banen door opeenvolgende lymfeklieren waar immuuncellen pathoggeen filteren en antigeenpresentatie plaatsvindt, waarna efferente vaten de gereinigde vloeistof verder geleiden.
4. **Uitmonding in Ductus Thoracicus en Veneuze Hoeken**
   Het grootste volume draineert via de ductus thoracicus naar de linker veneuze hoek (angulus venosus sinister, fusie van v. jugularis interna en v. subclavia). Het rechter bovenkwadrant draineert via de ductus lymphaticus dexter naar de rechter veneuze hoek.

DIFFERENTIËLE ANALYSE: OEDEEMONTSTAAN BIJ VERSTOORDE DRAINAGE

Uebruik dit beslisschema om te bepalen welke fysieke factor de lymfeafvoer belemmert of overbelast.

Wat is de primaire mechanische oorzaak van de vochtophoping in tie weefsel?

- **Verhoogde capillaire filtratiedruk** of verlaagde plasma-colloidosmotische druk (overbelisting gecnnde lymfevaten)
  - Identificeer verhoogde veneuze druk of hypoalbuminenie; de initiële capillairen zijn intact maar het filtratievolume overschrijgt de maaizrze tansportcapaciëiait (dynamiekce insefficiëntie).
- **Structurele obstructie, klepinsufficiëntie** of beschadiging van verzamelvaten/ lymfeklieren
  - Identificeer mechanische insufficiëntie: het lymfatisch transportsysteam faalt bij normale filtratievolumes, resulterend ün proteinerick lymfoedeem.

STUDIE-AANTEKENINGEN EN KLINISCHE INTEGRATIE

Vul ondertsaande reflectievelden in ter voorbereiëding op colleges en anatomietoetsen.

Fysiologsisch effect van spierpomp en arteriële pulsatie op lymfangioncontracties:

Anatomisch verloop en afvoergebied van de ductus thoracicus versus ductus lymphaticus dexter:

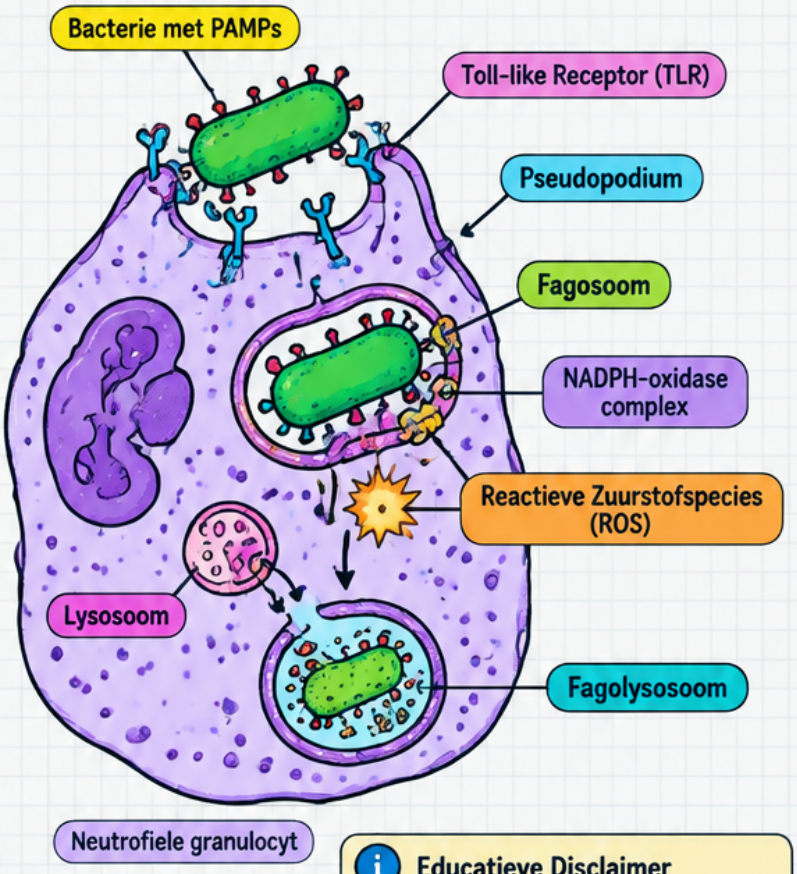
Educatieve Disclaimer
Deze illustratie en toelichting zijn uitsluitend bestemd voor educatieve doeleinden en vormen geen medisch advies, diagnose of behandelrichtlijn.

AANGEBOREN IMMUNITIET: FAGOCYTOSE & DODING

Fysiologisch Mechanisme: Fagocytose en Microbicide Afweer

De aangeboren cellulaire afweer schakelt binnendringende pathogenen direct uit via georkestreerde stappen van herkenning, instulping, fagosoom-lysosoomfusie en enzymatische afbraak. Neutrofiele granulocyten en macrofagen migreren gericht naar infectiehaarden en vernietigen micro-organismen via zowel zuurstofafhankeljkte als zuurstofonafhankelljke cascades.

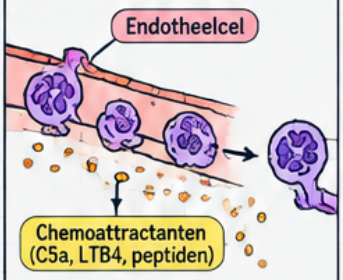
- **Chemotaxis:** gerichte migratie van fagocyten langs een concentratiegradiënt van chemotactische factoren zoals C5a, leukotrieen B4 en bacteriële peptiden.
- **Patroonherkenning:** herkenning van pathogen-associated molecular patterns (PAMP's) door membraangebonden Toll-like receptoren (TLR's) en scavenger-receptoren.
- **Endocytose en venvorming:** pseudopodiën omhullen het micro-organisme en sluiten aaneen tot een intracellulaire blaas (het fagosoom).
- **Respiratoire burst:** activering van het enzymcomplex NADPH-oxidase in het fagosoommembraan produceert superoxide-anionen en secundaire reactieve zuurstof-species (ROS),



Educatieve Disclaimer

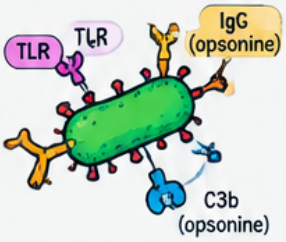
Dit overzicht dient uitsluitend voor biologische en biomedische studieddeleinden. Het vervangt geen klinisch oordeel, immunologische diagnostiek of medisch behandeladvise.

1 Chemotactische aantrekking



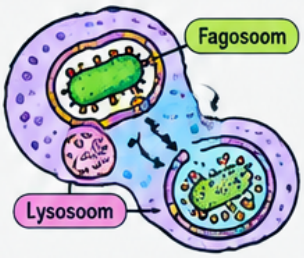
Fagocyten rollen langs endotheelcellen via selectines, hechten stevig via integrines en diapedeseren naar het geïnfecteerde weefsel onder. invloed van lokale chemoattractanten.

2 TLR-binding en opsonisatie



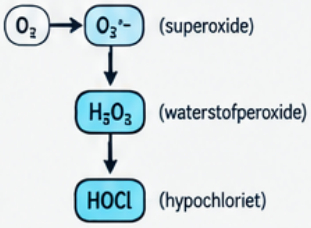
Herkenning vindt direct plaats via TLR's (zoals TLR-4 voor LPS) of indirect doordat opsoninen (IgG-antilichamen of C3b-fragmenten) binden aan specifieke Fc- en complementreceptoren.

3 Fagosoomvorming en fusie



Na opname fuseert het fagosoom met lysosomen tot een fagolysosoom. Granulatransport levert hydrolytische enzymen, defensines en lysozym af bij een verlaagde pH.

4 Respiratoire burst en afbraak



NADPH-oxidase zet zuurstof om in superoxide ($O_2^{\bullet-}$), dat door superoxidedismutase wordt omgezet in waterstofperoxide (H_2O_2). Myeloperoxidase (MPO) vormt hypochloriet (HOCl) voor definitieve afdoding.

Educatieve Disclaimer

Dit overzicht dient uitsluitend voor biologische en biomedische studiedoeleinden. Het vervangt geen klinisch oordeel, immunologische diagnostiek of medisch behandeladvies.

FAGOCYTAIRE FUNCTIEANALYSE & EVALUATIE

KLINISCH-FYSIOLOGISCHE ANALYSE EN ZELFTEST

Evalueer de integriteit van de fagocytaire respons bij vermoedelijke stoornissen in intracellulaire doding. Gebruik het onderstaande stappenplan om te bepalen welk submechanisme defect is wanneer fagocytose faalt of onvolledig blijft.

- ☐ Chronische granulomateuze ziekte (CGD): erfelijke deficiëntie in subunits van NADPH-oxidase leidt tot recidiverende bacteriële en schimmelinfecties.
- ☐ **Chédiak-Higashi syndroom:** defect in lysosomaal transportprotëine (LYST) verhindert fagosoom-lysosoomfusie en degranulatie.
- ☐ **Myeloperoxidase (MPO)-deficiëntie:** vertraagde bactericide doding door uitblijven van hypochlorietvorming, vaak mild gecompenseerd door alternatieve ROS.

Aandachtspunt: Zuurstofonafhankelijke mechanismen

Zelfs bij afwezigheid van een respiratoire burst bezitten fagocyten lactoferrine (ijzerbinding), lysozym (peptidoglycaan-splitsing) en neutrale proteasen voor basale microbicide werking.

Geobserveerde effectorcel (Neutrofiel / Macrofaag / Monocyt)

_____

Geïdentificeerde receptor en ligand (bijv. TLR-4 + LPS, FcγR + IgG)

_____

Beoordeling respiratoire burst (NBT-test / DHR-flowcytometrie respons)

_____

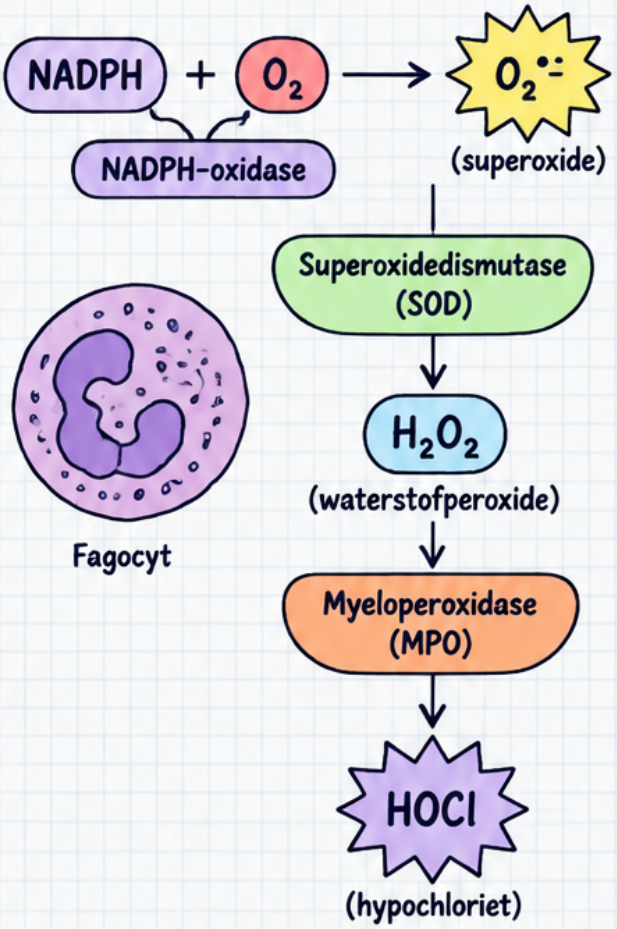
_____

Notities fagolysosomale degradatie en antigeenpresentatie-uitkosmt

_____

_____

ENZYMATISCHE ROUTE VAN DE RESPIRATOIRE BURST



BESLISBOOM: WELK SUBMECHANISME IS DEFECT?

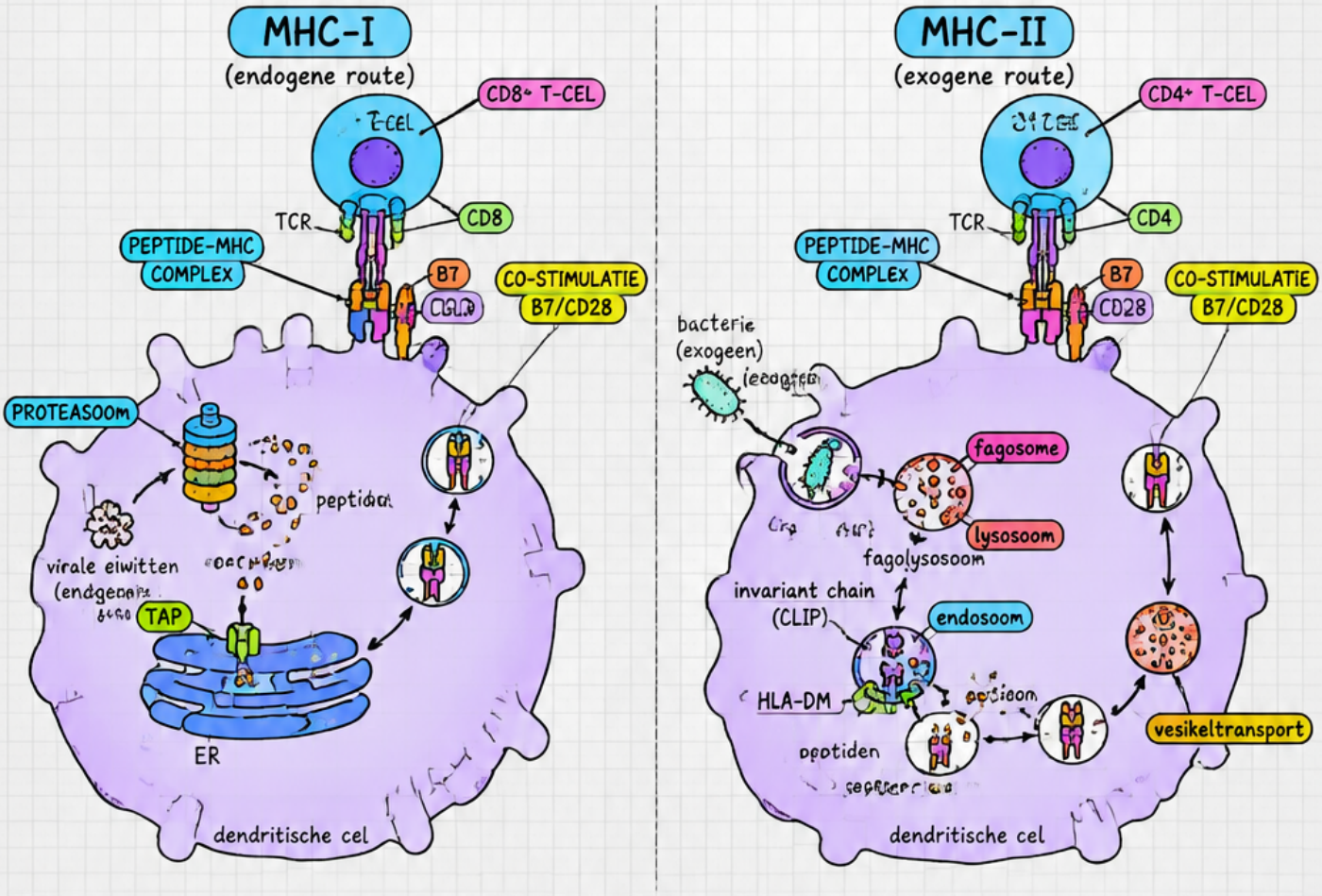
Is de respiratoire burst intact of defect bij microbiële ingestie?

- **Normale zuurstofradicaal-productie (ROS positief)** → Afdoding berust op samenwerking tussen peroxiden, hypochloriet en zure hydrolyse in het fagolysosoom. Controleer fagolysosomale fusiefactoren.
- **Afwezige superoxideproductie (DHR-reductietest negatief)** → Differentieer op NADPH-oxidase complexmutaties (zoals gp91phox/CYBB bij CGD). Pathogenen met catalase bliiven overleven en vormen granulomen.

Deze informatie is bedoeld voor educatieve doeleinden en vervnagt geen professioonel medisch advies.

ANTIGEENPRESENTATIE

via MHC-I en MHC-II: Overzicht en Routes



Mechanisme van Antigeenpresentatie

Antigeenpresentatie vormt de cruciale biochemische brug tussen de aangeboren en verworven immuniteit. Dendritische cellen verwerken eiwitten en presenteren peptidefragmenten via gespecialiseerde membraaneiwitten: MHC-klasse I en MHC-klasse II. Deze interactie bepaalt of het immuunsysteem een cytotoxische respons start of hulp biedt bij antilichaamproductie en macrofaagactivatie.

- **MHC-I:** Komt voor op alle kernhoudende cellen en presenteert endogene eiwitten.
- **MHC-II:** Komt specifiek voor op professionele antigeenpresenterende cellen (zoals dendritische cellen, macrofagen en B-cellen) en presenteert exogene peptiden.
- **Co-stimulatie:** Interactie tussen B7 (CD80/CD86) op de antigeenpresenterende cel en CD28 op de T-cel is vereist om anergie te voorkomen.

Educatieve Disclaimer

Dit leermateriaal is uitsluitend bestemd voor educatieve en fysiologische studiedoeleinden. en vormt geen medisch advise, klinische richtlijn of diagnostische instructie.

Vergelijkende Verwerkingsroutes: MHC-I versus MHC-II

Volg onderstaande stappen om het transport en de koppeling van antigenen binnen de cel te analysen.

- **Endogene route:** Intracellulaire virale of gemuteerde eiwitten worden afgebroken door het proteasoom.
- **Exogene route:** Extracellulair materieal wordt gefagocyteerd en afgebroken in het fagolysosoom.

1 Antigeenopname en Proteolyse

Endogene eiwitten worden in het cytosol gelabeld en door het proteasoom geknipt. Exogene antigenen worden oppenomen via endocytose of fagocytose en verteerd door lysosomale proteasen.

2 Belading op MHC in ER of Endosoom

TAP transporteert endogene peptiden naar het endoplasmatisch reticulum (ER) voor MHC-I assemblage. MHC-II wordt in het ER pzechermd door de 'invariant chain' (CLIP) en pas in het endosoom beladen na verwijdering van CLIP door HLA-DM.

3 Membraanexpressie en Presentatie

Blaasjes transporteren het peptide-MHC-complex naar het celoppervlak voor herkenning door T-celreceptoren (TCR).

4 T-cel Herkenning en Co-stimulatie

CD8 bindt aan het niet-variabele deel van MHC-I (gericht op cytotoxische inductie). CD4 bindt aan MHC-II (T-helper inductie). Gelijktijdig bindt B7 aan CD28 voor velledige activatie.

T-CEL BESLISBOOM

Beslisboom en Signaalverificatie

Beslisboom: T-cel Activatiepad Bepalen

Gberuik dit overzicht om te bepalen welk type afweerreactie wordt geinitieerd op basis van herkomst van het peptide en membraaninteracties.

- Controleer altijd of co-stimulatie aanwezig is voordat differentiatie plaatsvindt.
- Afwezigheid van signaal 2 leidt tot functionele inactivatie (anergie).

Let op Anergie

Zonder de koppeling tussen CD28 en B7 (CD80/CD86) leidt TCR-activatie tot anergie in plaats van klonale expansie.

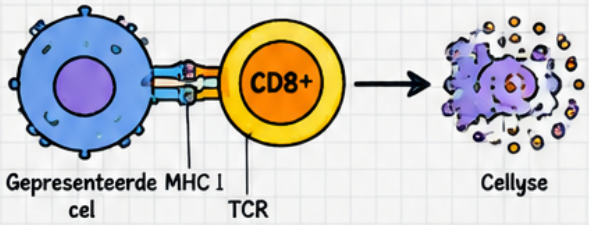
Wat is de cellulaire oorsprong van het gepresenteerde peptidefragment?

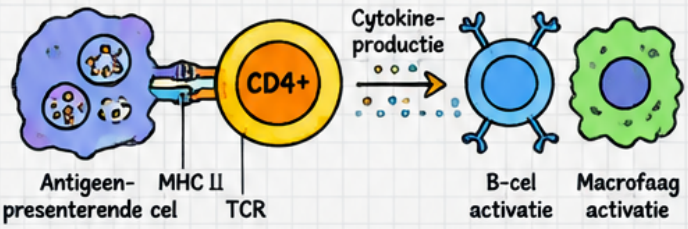
Endogeen peptide (cytoplasmatisch, virus of tumor-eiwit)

Presentatie via MHC-klasse I aan CD8+ T-cel. Resulteert bij co-stimulatie in cytotoxiciteit en gerichte lysis via perforine en granzymen.

Exogeen peptide (geëndocyteerd bacterieel of extracellulair eiwit)

Presentatie via MHC-klasse II aan CD4+ T-helpercel. Resulteert bij co-stimulatie in cytokineproductie (Th1/Th2) en activatie van B-cellen en macrofagen.





Analyse- & Verwerkingsblad: Fysiologische Eigenschappen

Vul onderstanade observaties in tijdens het bestuderen van de microscopische mechanismen en signaalcascades.

- Noteer specifieke co-receptoren en transporteiwitten.
- Verifieer de rol van co-stimulatoire signaalroutes.

Geobserveerd type antigeenpresenterende cel:	
Gebruikt transportmechanisme naar ER/endosoom (bijv. TAP, CLIP):	
Specifieke MHC-klasse en corresponderende co-receptor (CD4 of CD8):	
Status van co-stimulatoire interactie (B7/CD28 binding aanwezig?):	
Gevolg voor effectorfunctie (Cytolyse, cytokineproductie of anergie):	

Deze informatie is uitsluitend bedoeld voor educativve doeleinden en vervangt geen professioonel advies.

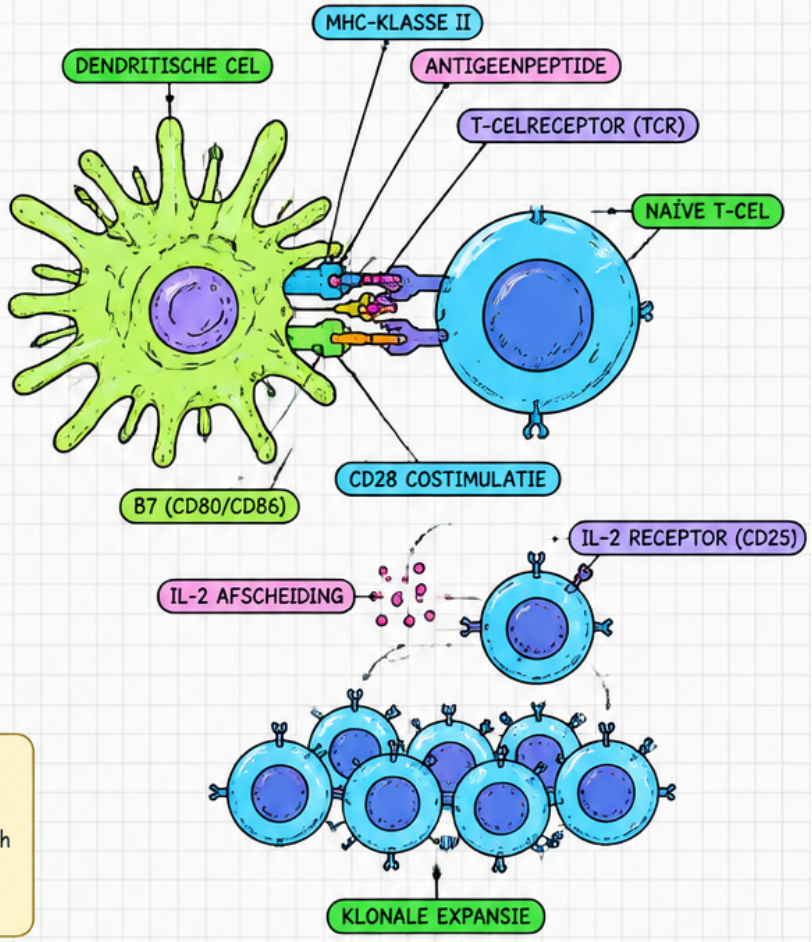
T-CELACTIVATIE

Fysiologie: T-celactivatie en Signaaltransductie

Inleiding: Het Adaptieve Immuunsysteem en Cellulaire Immuniteit

Cellulaire immuniteit berust op de gecoördienerde activatie van T-lymfocyten. Waar het aangeboren immuunsysteem snel en aspecifiek reageert, zorgt de adaptieve respons voor een uiterst precieze herkenning van intracellulaire pathogenen en afwijkende cellen. Dit leerblad analyseert de drietrapsactivatie van naïeve T-cellen, de klonale expansie onder invloed van interleukine-2 (IL-2), de polarisatie naar specifieke helper-subtypen (Th1, Th2, Th17) en de twee destructiemechanismen van cytotoxische CD8+ T-cellen.

- Antigeenspecifieke herkenning via de T-celreceptor (TCR) gebonden aan MHC-moleculen.
- Klonale expansie gedreven door autocriene en paracriene IL-2 signalering.
- Functionele divergentie in CD4+ helperklassen en CD8+ cytotoxische effectorcellen.
- Doelgerichte eliminatie via perforine/granzyme-exocytose en Fas/FasL-apoptose.



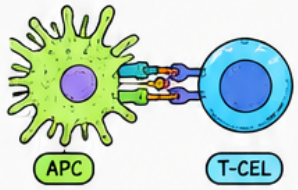
Educatieve Disclaimer

Dit overzicht dient uitsiluitend voor biologische en medisch-educatieve doeleinden. Het vormt geen medisch advies, diagnostiscke leidraad of behandelvoorschrift voor immunologische aandoeningen.

Stap-voor-stap Mechanisme: T-celactivatie en Klonale Expansie

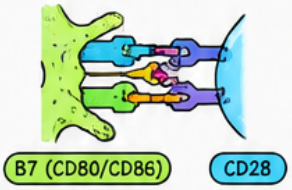
Om auto-immuniteit te voorkormen vereist de activatie van een naïvve T-cel strikte costimulatie en cytokinesturing. Zonder costimulatie raakt de cel functioneel inactief (anergie).

1 Signaal 1: Antigeenpresentatie



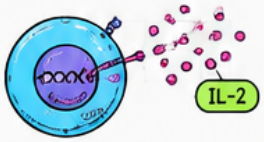
De T-celreceptor (TCR) bindt samen met de CD4-coreceptor aan MHC-klasse II (bij CD4+ cellen) of met CD8 aan MHC-klasse I (bij CD8+ cellen) op een professionele antigeen-presenterende cel (APC).

2 Signaal 2: Costimulatie via CD28



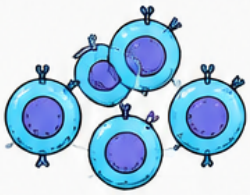
CD28 op het T-celmembraan bindt specifieik aan CD80 (B7-1) of CD86 (B7-2) op de APC. Deze interactie stabiliseart het transcriptie-programma en initieert overleving.

3 Signaal 3: Cytokinesturing en IL-2 Synthese



Intracellulaire cascades (o.a. NFAT en NF-κB) induceren transcriptie van interleukine-2 (IL-2) en expressie van de hoogaffiene IL-2-receptorketen (CD25).

4 Klonale Expansie



Autocriene binding van IL-2 aan de trimerische IL-2-receptor activeert massale mitotische deling, resulterend in een leger van antigeenspecifieke dochtercellen.

Educatieve Disclaimer

Dit overzicht dient uitsiluitend voor biologische en medisch-educatieve deeleinden. Het vormt geen medisch advies, diagnostische leidraad of behandelvoorschrift voor immunologische aandoeningen.

FYSIOLOGIE: DIFFERENTIATIE EN CYTOTOXISCHE LYSIS

DIFFERENTIATIE EN CYTOTOXISCHE LYSIS: BESLISBOOM EN WERKADER

Afhankelijk van het heersende cytokinemilieu differentieert een gecativeerde CD4+ cel naar een gespecialiseerde effectorlijn. Cytotoxische CD8+ T-cellen (CTL) zetten vervelgens specificde doding in.

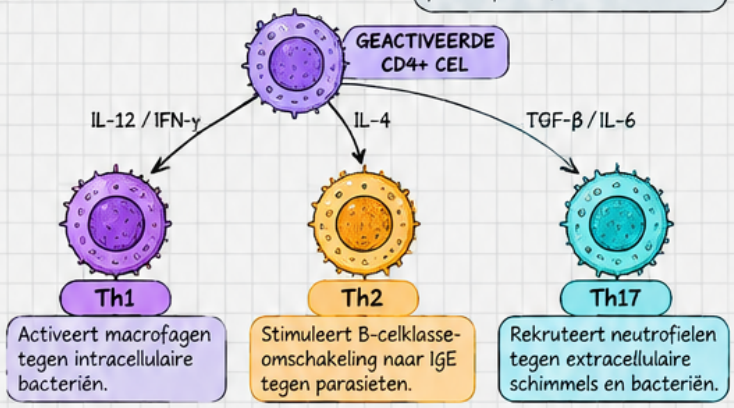
- **Th1-differentiatie** (o.i.v. IL-12/IFN-γ): activeert macrofagen tegen intracellulaire bacteriën.
- **Th2-differentiatie** (o.i.v. IL-4): stimuleert B-celklasse-omschakeling naar IgE tegen parasieten.
- **Th17-differentiatie** (o.i.v. TGF-β/IL-6): rekruteert neutrofielen tegen extracellulaire schimmels en bacteriën.
- **Perforine** boort transmembrane poriën; granzyme B induceert mitochondriale caspaseroutes.
- **Fas-ligand** (FasL) bindt Fas (CD95) op de doelcel voor directe inductie van extrinsieke apoptose.

Aandachtspunt: Anergie versus Apoptose

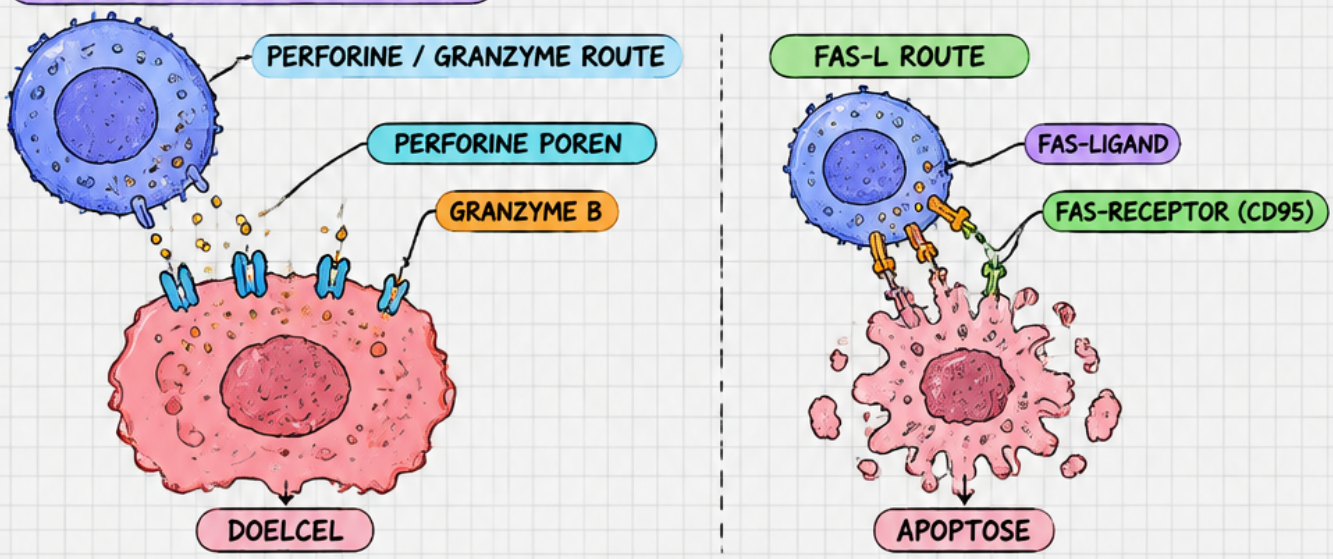
Signaal 1 zonder Signaal 2 leidt tot permanente anergie. Het Fas-FasL-systeem verzorgt zowel gerichte lysis van pathogenen als perifere eliminatie ter beëindiging van de immuunrespons.

Welk mechanisme van cytotoxische doding wordt primair door de geactiveerde CD8+ T-cel benut?

- Direct contact via membarangebonded doodreceptoren (Fas/CD95) expressie op doelcel) → Inductie van de extrinsieke apoptoseroute via caspasen-activatie door FasL-oligomeriseie.
- Gerecrapteerde intracellulaire virussen of afwijkende antigenen zonder directe Fas-koppeling → Gerichte korrellexcytose: perforine cormt membraanporiën. waarra granzymen splitsing van pro-caspasen forceren.



CD8+ CYTOTOXISCHE T-LYMFOCYT



ZELFSTUDIE & WERKRUIMTE: IMMUNOLOGISCHE ANALYSE

Gebrvik onderstsande werkvelden om de observaties van een geselecteerde casus, labwaarde of mechanistische stap to documenteren.

Geidentificeerde cytokinenmix in het weefselmicro-milieu (bijv. IL-12, IL-4, of TGF-β//L-6):

Verwacht differentiatiepad van de CD4+ T-helpercel (Th1, Th2 of Th17) en hoofdwerking:

Gekozen cytotoxische effectorroute van CD8+ T-cel (Perforine/Granzyme vs FasL):

Vastgelegde controlepunten (MHC-klasse, costimulatoire moleculen B7/CD28, CD25/IL-2):

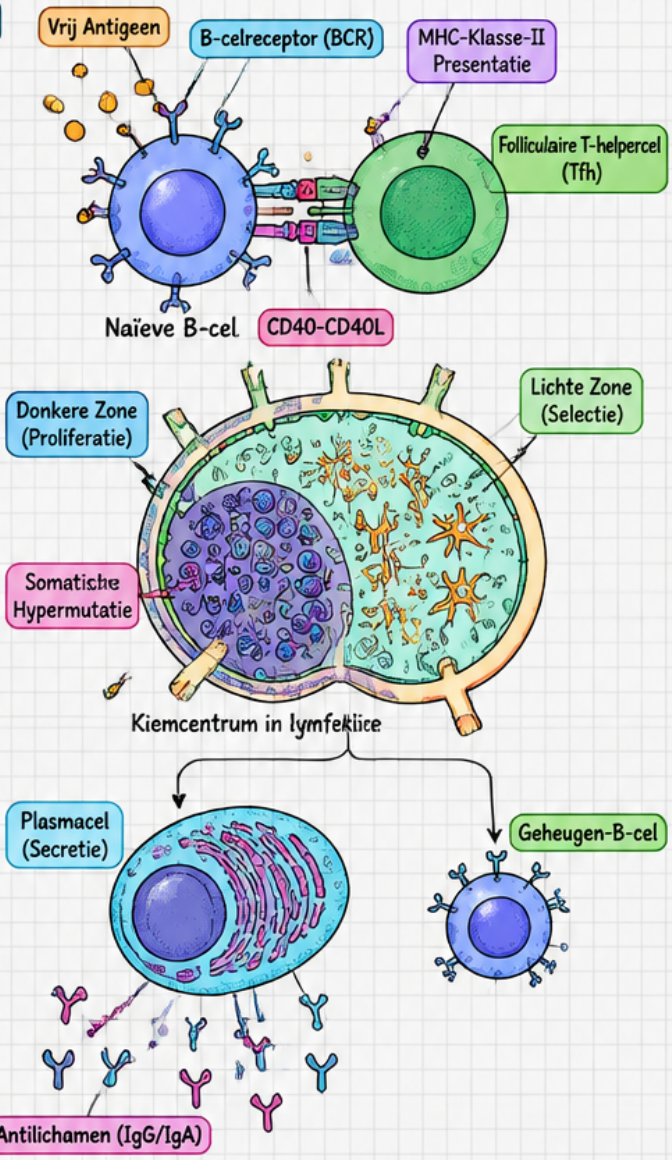
Deze informatie is uitsluitend bedeeld voor educatívee doeleinden en vervangt geen professieonel medisch advies.

B-celrespons en Klonale Selectie

Humorale Immuniteit: B-celactivatie en Klonale Expansie

De humorale immuunrespons richt zich specifiek op extracellulaire pathogenen en vrije antigenen in lichaamsvloeistoffen. Een rustende, naïeve B-lymfocyt draagt unieke membrangebonden immunoglobulinen (B-celreceptoren of BCR's, hoofdzakelijk IgM en IgD). Binding van een specifiek antigeen aan deze receptoren induceert receptorkruisnetvorming, antigeeninternalisatie en presentatie via MHC-klasse-II aan folliculaire T-helpercellen (Tfh). Deze cellulaire interactie in de secundaire lymfoide organen start de cascade van klonale proliferatie, kiemcentrumvorming en selectieve differentiatie.

- **Antigeenherkenning:** binding van conformationele epitopen aan membraangebonden BCR's
- **T-celafhankelijke activatie:** CD40-CD40L interactie en cytokinestimulatie door folliculaire T-helpercellen
- **Klonale expansie:** massale mitotische deling van geactiveerde antigeenspecifieke lymfocyten
- **Kiemcentrumdynamiek:** vorming van donkere zones voor proliferatie en lichte zones voor selectie



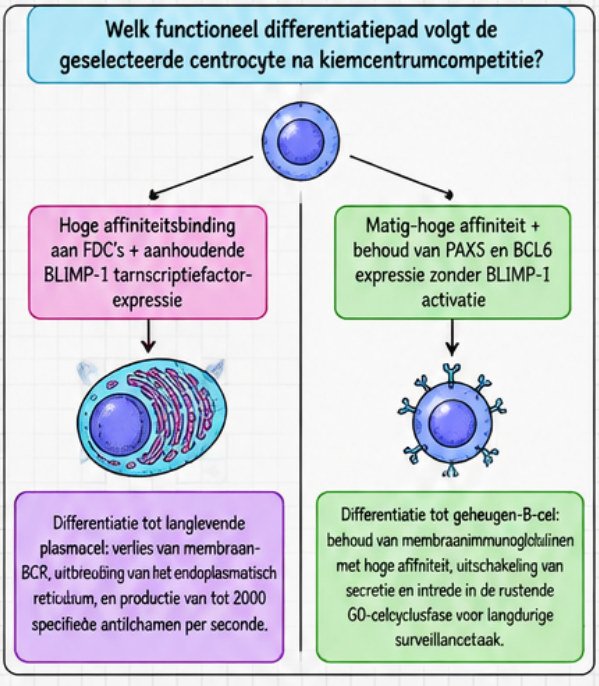
Educativve disclaimer

Dit leermateriaal dient uitsluitend voor anatomisch en fysiologisch onderwijs. Het bevat fysiologische mechanismebeschrijvingen en is uitdrukkelijk geen medisch advise, klinische richtlijn of diagnostisch hulpmiddel.

Onderscheidingsmatrix: Effector- versus Geheugenpad

Na kiemcentrumselectie bepealt het cytokinemilieu en de interactiesterkte de uiteindelijke lotsbestemming van de geactiveerde centrocyten. Onderstasande beslissingsmatrix toont hoe fysiologiscke signalen de differentiatie naar antilichaamfabrieken of immunologisch geheugen sturen.

- Plasmacellen verplaatsen zich primari naar beenmerg of milt voor continue secretie van affiniteitsgerijpte immunoglobulinen.
- Geheugencellen patrouilleren continu door lymfoide weefsels en bloedbaan. om bij herhaalde expositie een versnelde secundaire respons te initiëren.



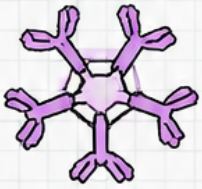
Fysiologische validatie

Moleculaire signaalroutes en isotype-differentiatie zijn gabaseerd on gevestigde fysiologische handbeeken. Fysiologische claims en mechanismen vereisen routinematige periodieke curriculumevaluatie door vakdocenten.

MECHANISME-ANALYSE & WERKBLAD

ISOTYPEVERSCHUIVING VAN B-CELLEN

IgM (pentameer)

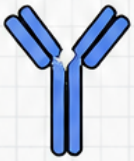


Vroege respons, sterke agglutinatie.

IL-4

Stimuleert isotypeverschuiving naar IgG.

IgG (monomeer)



Opsonisatie, complementactivatie, langdurige immuniteit.

IFN-gamma

Stimuleert isotypeverschuiving naar IgA.

IgA (dimeer)



Mucosale bescherming, secreties.

Werkblad Fysiologische Mechanismen: B-celrespons Analysekader

Gebruik onderstaande invoervelden om de specifieke stappen van een waargenomen of bestudeerde B-celreactie systematisch te documenteren en de signaaloverdracht te verifiëren.

- Formuleer antigeenkarakteristieken en costimulerende liganden nauwkeurig.
- Controleer isotypeverschuivingen aan de hand van het cytokinemilieu.

Geïdentificeerd antigeentype en epitoopeigenschappen (T-afhankelijk vs T-onafhankelijk):

Betrokken costimulatoire moleculen en paracriene cytokinen (bijv. CD40/CD40L, IL-4, IL-21):

Kiemcentrumobservaties (somatische hypermutatie, affiniteitsrijping en FDC-selectie):

Gerealieserde klasseswitch (isotypeverschuiving naar IgG, IgA of IgE) en functioneel gevolg:

Verhouding geproduceerde plasmacellen versus rustende geheugen-B-cellen:

Dit werkblad is uitsluitend bedeeld voor educatieve doeleinden en vervangt geen professioneel advies.

ONTSTEKING & DIAPEDESE

Lokale Ontstekingsreactie en Diapedese van Leukocyten

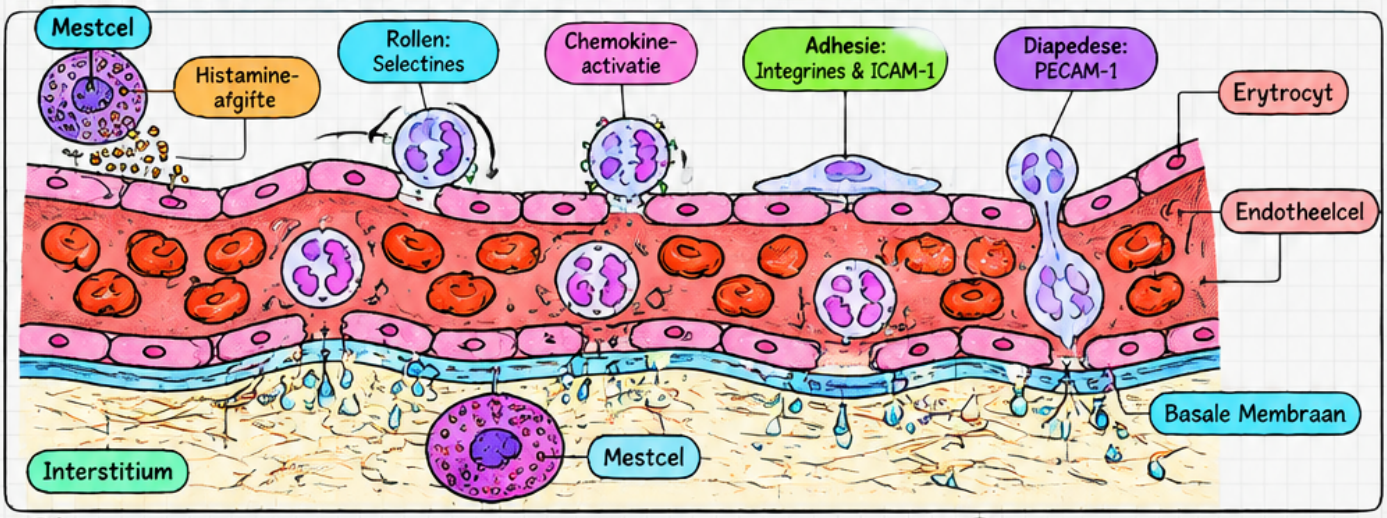
Microvasculaire Respons: Vasodilatatie en Permeabiliteit

Bij weefselbeschadiging of het binnendringen van pathogenen geven mestcellen en macrofagen vasoactieve mediatoren af, waaronder **histamine en bradykinine**. Deze stoffen induceren directe relaxatie van de vasculaire gladde spiercellen in arteriolen, resulterend in lokale vasodilatatie en toegenomen microvasculaire perfusie. Gelijktijdig tretken de postcapillaire endotheelcellen samen, waardoor intercellulaire spleten verbreden. Hierdoor treden plasma-eiwitten en vocht uit het vaatbed naar het interstitium (exsudatie), wat klinisch leidt tot oedeem, roodheid (rubor) en warmte (calor).

- Histamine stimuleert snelle endotheliale retractie en vaatverwijding.
- Bradykinine verhoogt de microvasculaire permeabilitieit en activeert nocicepteren.
- Verhoogde hydrostatische druk en verlaagde colloid-osmotische druk bevorderen interstitieel oedeem.

Klinische Context

De vertraagde stroomssnelheid (stasis) in het gedilateerde vat is een noodzakelijke mechanische voorwaarde om circulerende leukocyten anusit de axiale bloedstroom naar de vaatwand te laten bevegen.



De Viertraps Cascade van Leukocytendiapedese

De rekrutering van neutrofiele granulocyten naar het ontstoken weefsel volgt een gecoordineerde molecolaire cascade langs het geciveerde endothelel. Deze stappen zorgen voor een gerichte uittreding sonbor verliss van vaatwandintegriteit.

1 Marginoering en Rollen

Door bloedstasis botsen leukocyten tegen de wand. Selectines (P- en E-selectine op endotheel, L-selectine op leukocyten) vormen kortstondige bindingen met sialyl-Lewis-X liganden, waardoor de leukocyt over het opperdalk rolt.

2 Integrine-activatie door Chemokines

Chemokines (soals CXCL8/IL-8) op het luminale opperykak binden aan G-ewitgekoppelde receptoren op de rollende neutrofiel. Dit veroorzaskt een conformatieverandering van bèta-2-integrines (LFA-1 en Mac-1) naar een hoge affiniteitstotetand.

3 Stevige Adhesie en Spreiding

De geactiveerde integrines binden specifiek aan adhesiemolekiden van de immungrhulinesuperfamilie (voornamelily ICAM-1 en VCAM-1) op het geactiveerde endotheel. De leukocyt stopt volledig met rollen en vlakt af.

4 Diapedese en transendotheliale Migratie

Via homotypische interacties met PECAM-1 (CD31) wringt de leukocyt zich door de intercellulaire endotheel-overgangen. Na afbraak van het basaalmembraan migeert de cel chemotactisch naar het focuspunt van de infectie.

Zelfcontrolle: Microvasculaire Interacties

Toets uw begrig van de molecolaire adhesiefasen en hemodynamische veranderingen tijdens een acute ontstekingsrespons.

Welk mechanisme verourzaakt primair het rollen van leukocyten in de postcapillaire venule?

- ○ **Waakke en reversibele bindingen via selectines (P-, E- en L-selectine)**
  - ✓ Correct. De lage affinitieit en snelle dissociatiesnelheid van selectine-ligand-bindingen zorgen voor afremning en rollen.
- ○ Permanente binding via hoge-affiniteit LFA-1 en ICAM-1
  - ✗ Onjuist. Hoge-affiniteit integrine-ICAM interacties zijn verantowrdelijk voor de daaropvolgende stabiele adhesie, niet voor het rollen.

Notities & Observaties

Gebruik deze ruimte om gerelaterede signaalstoffen, receptor-ligandparen en waargenomen microscopische structuren te noteren tijdens practica of selfstudie.

Chemische mediatoren en hun vaatwandeffecten:

Onderscheid tussen para-celluaire en trans-cellulaire migratie.

Educatieve Disclaimer

Dit materiaal is uitsluitend bestemd voor educativve doeleienden en vervangt geen formele medische diagnostiek of klinisch behandeladvies.

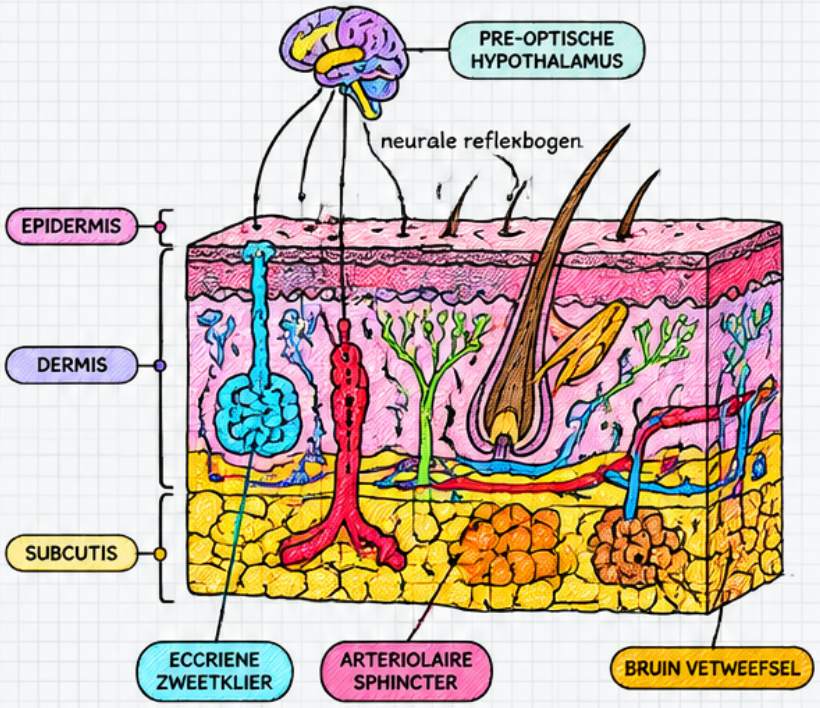
THERMOREGULATIE

Visuele Fysiologie • Thermoregulatie & Huidhomeostase

Thermoregulatie van het Integumentaire Systeem

De huid vormt de dynamische fysieke barrière tussen het inwendige micromilieu en omgevingsinvloeden. Om de kerntemperatuur binnen de strakke grenzen van circa 36,5 °C tot 37,5 °C te houden, moduleert de hypothalamus via autonome zenuwbanen de doorbloeding en zweetsecretie van de dermis.

- Pre-optische nucleus van de hypothalamus fungeert als biologische thermostaat
- Arteriolaire respons: vasodilatatie bij oververhitting, vasoconstrictie bij koudeblootstelling
- Eccriene zweetklieren produceren hypotoon filtraat voor evaporatieve warmteafgifte
- Musculus arrector pili induceert pilo-erectie bij koude (rudimentaire thermische isolatie bij de mens)
- Bruin vetweefsel genereert warmte via mitochondriale ontkoppeling (UCP1) bij niet-ril-thermogenese



Educatieve Disclaimer

Dit overzicht dient uitsluitend voor biomedische scholing en anatomisch onderwijs. Het bevat geen klinische protocollen, behandeladviezen of medische diagnostiek.

Hypothalamische Respons bij Temperatuurafwijkingen

Wanneer thermoreceptoren in de huid en centrale kern een verschuiving detecteren, schakelt het automone zenuwstelsel specifieke effectoren in:

Welke thermische toestand wordt geregistreerd door de pre-optische thermoreceptoren?

Kerntemperatuur stijgt boven de streefwaarde (> 37,2 °C)	• Sympathische stimulatie van eccriene zweetklieren (cholinerg) induceert evaporatieve koeling; dermale arteriolen relaxeren (vasodilatatie) voor verhoogde warmteafgifte via straling en conductie.
Kerntemperatuur daalt onder de streefwaarde (< 36,5 °C)	• Sympathische adrenerge vasoconstrictie reduceert dermale perfusie; somatische motorneuronen triggeren onwillekeurige spiercontracties (rillen); sympathicus activeert UCP1-thermogenese in bruin vetweefsel.

Analyseprotocol: Neurale Effectoren & Huidweefsels

Volg deze evaluatiestappen bij het traceren van de fysiologische keten van perifere stimulatie tot weefselreactie:

Aandachtspunt Thermoregulatie

Eccriene zweetsecretie wordt geinnerveerd door sympathische postganglionaire neuronen die, in tegenstelling tot de meeste sympathische banen, acetylcholine (ACh) als neurotransmitter gebruiken.

1 Detectie & Signaaloverdracht

- Identificeer vrije zenuwuiteinden (TRP-ionkanalen) in de dermis en volg de afferente banen via het ruggenmerg naar de pre-optische hypothalamus.

2 Vasculaire Modulatie

- Controleer de arteriolaire tonus in de papillaire en reticulaire dermis; markeer of de bloedstroom naar oppervlakkige vaatlussen toeneemt of afneemt.

3 Evaporatieve Secretiesnelheid

- Evalueer het glandulaire transport van water en elektrolyten door eccriene klierbuizen naar de epidermale poriën voor verdampingskoeling.

4 Metabole Warmteproductie

- Documenteer somatische stimulatie van skeletspieren (micro-oscillaties bij rillen) en mitochondriale protonlek-activiteit in adipocyten.

Observatielogboek Microvasculatuur & Secretie

Gebruik onderstaande werkwelden voor actieve verslaglegging tijdens preparatenpractica of fysiologische simulaties:

Educatieve Disclaimer

Dit overzicht dient uitsluitend voor biomedische scholing en anatomisch onderwijs. Het bevat geen klinische protocollen, behandeladviezen of medische diagnostiek.

Geregistreerde dermale vaatrespons (vasodilatatie vs. vasoconstrictie):	
Zweetkliersecretiepatroon en berekende evaporatie-efficiëntie:	
Geobserveerde musculaire tremor / rildrempelmeting:	
Synthese van de hypothalamische terugkoppellingslus:	

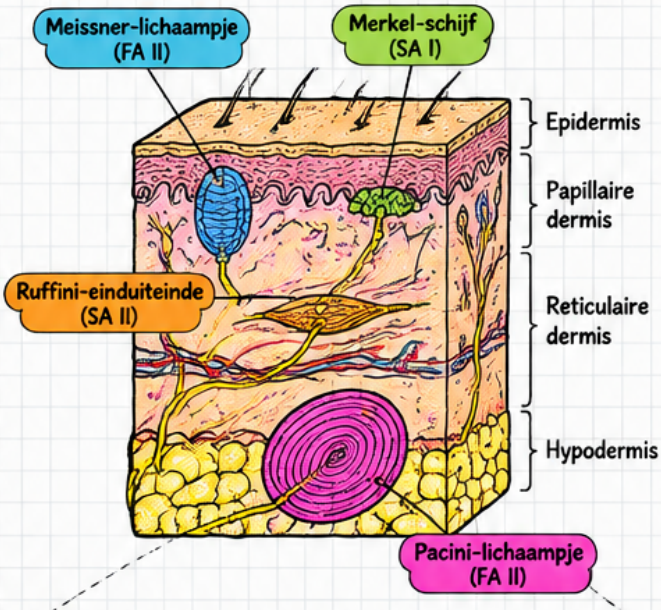
SENSORISCHE TRANSDUCTIE

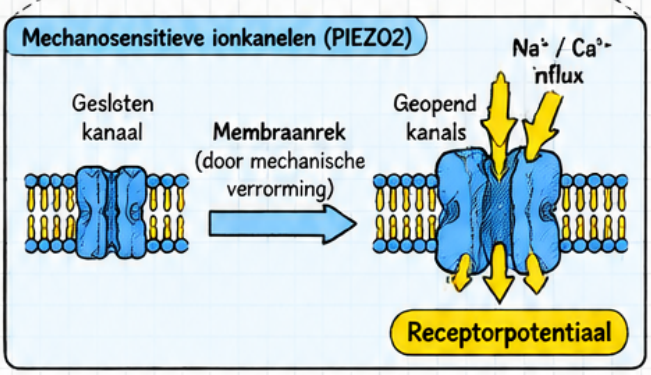
in Mechanoreceptoren van de Huid

Mechanotransductie in de Cutane Zintuigen

De menselijke huid bevat gespecialiseerde mechanoreceptoren die mechanische energie (druk, rek en vibratie) omzetten in elektrische signalen via mechanosensitieve ionkanalen (zoals PIEZO2). Bij fysieke vervorming van het celmembraan openen deze kationkanalen zich direct. De resulterende instroom van natrium- en calciumionen veroorzaakt een depolariserende receptorpotentiaal. Bereikt deze potentiaal de vuurdrempel bij de eerste insnoering van Ranvier, dan ontstaan actiepotentialen die via gemyeliniseerde A-bèta afferente zenuwvezels naar het centrale zenuwstelsel worden geleid.

- **Transductiemechanisme:** directe mechanische rek opent niet-selectieve kationkanalen (PIEZO2/TRP).
- **Receptorpotentiaal:** lokale, graduele depolarisatie die evenredig toeneemt met de stimulussterkte.
- **Signaaloverdracht:** generatie van actiepotentialen via dikke, snel geleidende A-bèta axonen.





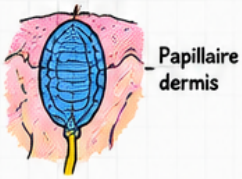
Educatieve Disclaimer & Fysiologische Precisie

Dit learnmatariaal is uitsluitend bestemd voor biomedisch onderwijs en zelfstudie. Het vormt geen medisch diagnostisch instrument of behandelrichtlijn. Fysiologische kanaaltypen zoals PIEZO2 vertegenowerdigen de huidige stand van de moleculaire neurofysiologie.

Vergelijkend Overzicht: De Vier Cutane Mechanoreceptoren

Cutane mechanoreceptoren worden fysiologisch ingedeeld op basis van twee functionele hoofdkenmerken: de adaptatiesnelheid (snel adapterend (FA) versus traag adapterend (SA)) en de omvang van het receptieve veld (type I met scherpe grenzen versus type II met diffuse grenzen).

Meissner-lichaampjes (FA I)



- Gelegen in de papillaire dermis van haarloze huid.
- **Klein receptief veld, lage-frequentie vibratie (10-50 Hz), dynamische huidverschuiving** en slipdetectie voor fijne tast.

Merkel-schijven (SA I)



- Gelegen in de basale epidermis.
- Klein receptief veld, persisterende statische druk, vorm- en textuurdiscriminatie met hoge spatiële resolutie.

Pacini-lichaampjes (FA II)



- Gelegen in de diepe dermis en subcutis.
- **Groot diffuus receptief veld,** lamellair kapsel filtert statische druk, uiterst gevoelig voor **hoogfrequente vibraties** (100-400 Hz).

Ruffini-einduiteinden (SA II)



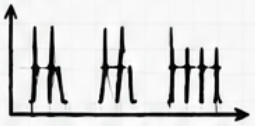
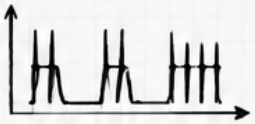
- Gelegen in de diepe dermis en fascia.
- **Groot diffuus receptief veld,** langzame adaptatie, reageert specifiek op weefselrek en gewrichtsstandveranderingen.

Dit leermateriaal is uitsluitend bestemd voor biomedisch onderwijs en zelfstudie. Het vormt geen medisch diagnostisch instrument of behandelrichtlijn. Fysiologische kanaaltypen zoals PIEZO2 vertegenowerdigen de huidige stand van de moleculaire neurofysiologie.

Fysiologische Classificatie en Transductieketen

Diagnostische Receptorkeuze: Functionele Stimulusclassificatie

Gebruik dit beslisschema om te bepalen welke cutane mechanoreceptor primair actief is bij verschillende tastprikkels en tactiele manipulaties.

Receptief Veld	Adaptatiesnelheid: Snel adapterend (FA)	Adaptatiesnelheid: Traag adapterend (SA)
Type I Klein	**Meissner-lichaampjes (FA I)**   Fasegebonden vuren (alleen bij verandering)	**Merkel-cel-neurietcomplexen (SA I)**   Aanhoudend vuren (tijdens constante druk)
Type II Groot	**Pacini-lichaampjes (FA II)**   Fasegebonden vuren (alleen bij verandering)	**Ruffini-uiteinden (SA II)**   Aanhoudend vuren (tijdens constante rek)

Stapsgewijze Transductieketen van Vervorming tot Actiepotentiaal

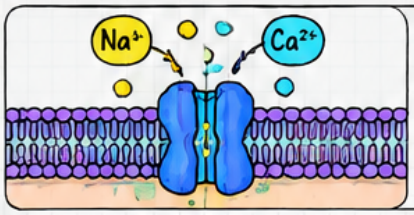
Het coderen van een fysieke aanraking naar een informatiestreom volgt een universele biofysische sequentie over het neuronale membraan.



DEFORMATIE

1 Mechanische Deformatie

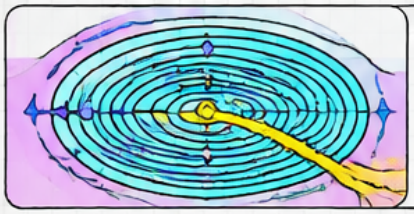
Druk of vibratie verplatast het omliggende kapselweefsel of de gespecialiseerde huidcellen, waardoar mechanische schuifkracht ontstaat op de zenuwuiteinden.



KATIONEN-INFLUX

2 Kationkanaalactivatie (Gating)

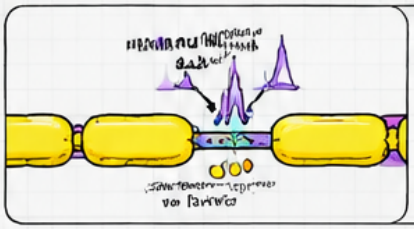
Membraanrek dwingt mechanosensitieve poriën (PIEZO2) open. Een influx van Na^+ en Ca^{2+} genereert aen lokale depolariserende receptorpotentiaal.



KAPSEL-DEMPING

3 Kapsel-filtratie & Adaptatiestroom

Bij snelle adaptatie (zoals bij Pacini) schuiven vloeistoflamellen direct mee om spanning op be kernzenuw te ontlasta, waardoar de receptorpotentiaal snel uitdooft ondonks aanhoudende druk.



ACTIEPOTENTIAAL

4 Impulsvorming (Spike Initiation)

Bij overschrijding van de depolarisatiedrempel openen spanningsafhanvelijke Na^+-kanalen bij het eerste knooppunt, waarna hoogfrequente actiepotentialen propageren naar het ruggenmerg.

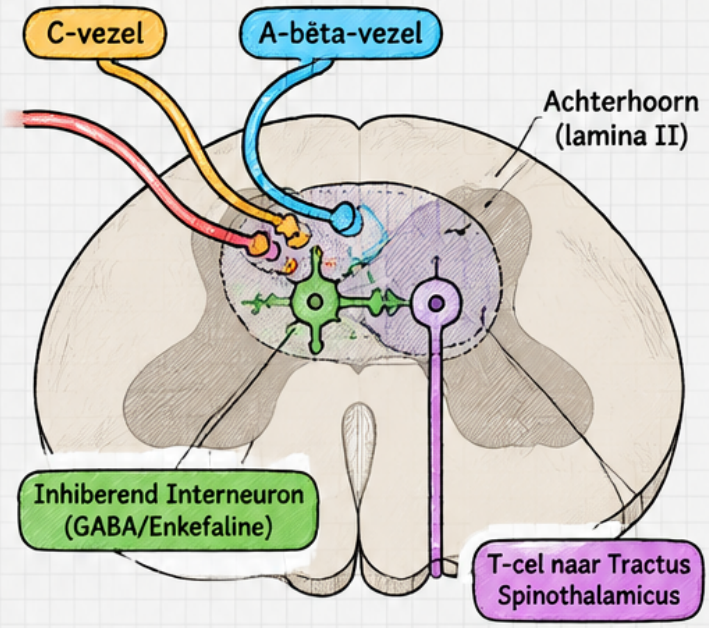
Deze informatie is uitsluitend bedoeld voor educatieve doeleinden.

FYSIOLOGIE VAN PIJNMODULATIE: DE POORTTHEORIE

NEURALE TRANSDUCTIE EN TRANSMISSIE VAN PIJNSIGNALEN

Nociceptie start bij perifere weefselbeschadiging waar mechanische, thermische of chemische prikkels worden omgezet in **actiepotentialen**. **Primaire afferente** zenuwvezels geleiden deze signalen direct naar de **achterhoorn van het ruggenmerg (laminae I, II en V).**

- **A-delta-vezels:** Gemyeliniseerd, dunne diameter, geleiden snelle en scherpe eerste pijn (5-30 m/s).
- **C-vezels:** Ongemyeliniseerd, zeer dunne diameter, geleiden trage, doffe en kloppende napijn (0,5-2 m/s).
- **A-bêta-vezels:** Sterk gemyeliniseerd, dikke diameter, geleiden mechanische tast- en drukprikkels (30-70 m/s) en spelen een sleutelrol in inhibitie.



Klinische & Didactische Disclaimer
Dit overzicht dient uitsluitend voor educatieve en fysiologische studiedoeleinden en is uitdrukkelijk geen medisch advies, behandelprotocol of klinische diagnose.

HET POORTMECHANISME IN DE ACHTERHOORN

In de **substantia gelatinosa** (lamina II) functioneert een inhiberend GABA-erg en enkefalinerg interneuron als fysiologische poort. De vuurfrequentie van het secundaire transmissieneuron (T-cel) naar de tractus spinothalamicus bepaalt of de prikkel de hersenschors bereikt.

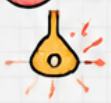
- C-vezel activatie inhibeert het interneuron en opent de poort voor de T-cel.
- A-bêta activatie stimuleert het interneuron en sluit de poort via presynaptische remming.
- Endogene opioiden (enkefalines) blokkeren de calciuminstroom in het presynaptische nociceptieve axon.

Welk neuraal signaal domineert op synaptisch niveau in de achterhoorn?

Nociceptieve input (A-delta / C-vezels) overweegt
Het remmende interneuron blijft geïnactiveerd; de poort staat open en actiepotentialen propageren via de tractus spinothalamicus naar de thalamus en somatosensorische cortex.

Niet-pijnlijke tastinput (A-bêta-vezels) overweegt
Het remmende interneuron vuurt frequent; presynaptische inhibitie sluit de poort en het pijnsignaal wordt lokaal gedempt.

1 Stap 1: Nociceptieve Activatie



Schadelijke stimuli activeren ongemyeliniseerde C-vezels. Deze stimuleren het T-neuron en onderdrukken gelijktijdig het remmende interneuron in de achterhoorn.

2 Stap 2: Tactiele Tegenprikkeling



Wrijven over de aangedane huid stimuleert dikke gemyeliniseerde A-bêta-vezels met lage prikkeldrempel.

3 Stap 3: Collaterale Excitatie



A-bêta-collateralen geven exciterende synaptische inputs af aan het inhiberende interneuron in lamina II.

4 Stap 4: Presynaptische Inhibitie (Poort Gesloten)



Het geactiveerde interneuron secreteert GABA en enkefaline, waardoor neurotransmitterafgifte (zoals substantie P en glutamaat) door C-vezels sterk daalt en de T-cel ontlaadfrequentie afneemt.

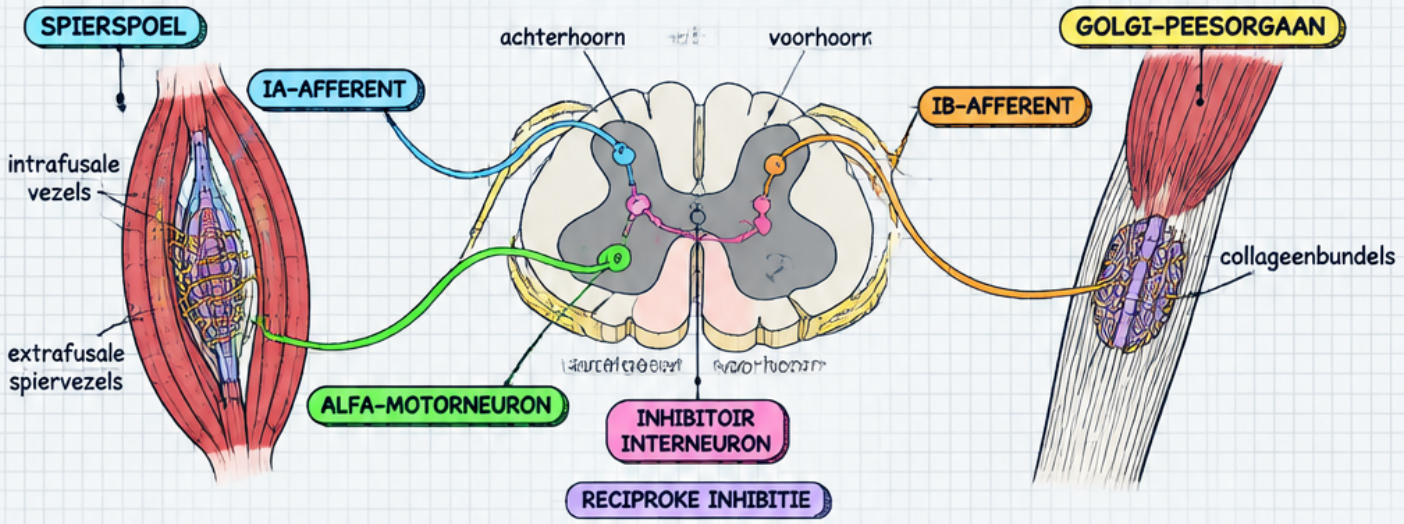
WERKBLAD SIGNAALVERWERKING & POORTTHEORIE

Gebruik onderstaande werkvelden om de synaptische interacties van een eigen casus of fysiologisch experiment uit te werken.

1. Geobserveerde sensorische stimulus en vermoedelijke vezelklasse (A-delta, C of A-bêta):
   _____
   _____
3. Status van het remmende interneuron (geactiveerd / geremd) en betrokken neurotransmitters:
   _____
   _____
3. Resulterende signaaloverdracht via de T-cel naar de tractus spinothalamicus:
   _____
   _____

Dit overzicht dient uitsluitend voor educatieve en fysiologische studiedoeleinden en is uitdrukkelijk geen medisch advies, behandelprotocol of klinische diagnose.

Spilreflex en Golgitendonreflex: Neurologisch Schakelschema



SPILREFLEX & GOLGITENDONREFLEX

Proprioceptieve reflexbogen reguleren continu de spierspanning en beschrernen het bewegingsapparaat tegen overbelasting en scheuring. De monosynaptische myotatische reflex bewaakt spierlengte, verwijl de polysynaptische peesreflex spierspanning registreert.

- **Spilreflex:** geactiveerd door spierrekkingssnelheid en lengteverandering via Ia-zenuwvezels.
- Monosynaptische koppeling: Ia-afferenten stimuleren direct het homonieme alfa-motorneuron in de voorhoorn.
- Reciproke inhibitie: collaterale vertakking activeert een Ia-inhibitoir interneuron dat de antagonist remt.
- Golgitendonreflex: geactiveerd bij hoge mechanische spanning op de spier-peesovergang via Ib-zenuwvezels.
- **Autogene inhibitie:** Ib-afferenten activeren inhibitoire interneuronen die de agonist ontspannen en de antagonist faciliteren.

Klinische & Educatieve Mededeling

Dit schema dient uitsluitend voor anatomisch en fysiologisch onderwijs. Het is niet bedoeld als instrument voor medische diagnostiek of behandeladvise.

Vergelijkend Mechanisme & Signaaloverdacht

Doorloop de neurologische keten van stimulus tot motoreffect om de functionele tegenstelling tussen beide regelkringen systematisch ta analyseren.

1. **Prikkeling van de receptor**
   Snelle verlenging rekt de intrafusale spierspoelvezels op. Toename van actieve spiertrekspanning comprineert juist de collageenbundels in he Golgi-peesoorgaan.
2. **Afferente geleiding naar het ruggenmerg**
   Ia-afferenten geleiden actiepotentialen met hoge senlheid via de achterwortel bij spierrekking: Ib-afferenten geleiden signalen over de oppebouwde peesspanning.
3. **Synaptische schakeling in de grijze stof**
   Ia-vezels maken een directe prikkelende synaps met alfa-motorneurenen van de agonist.
   Ib-vezels schakelen synaptisch over op remmende interneuronen in de dorsale en tusseniiggende hoorn.
4. **Efferente respons en mechanische uitkomst**
   De spilreflex resulteert in contractie van de homonieme spier en gelijktijdige ontspanning van de antangonist.
   De peesreflex zorgt voor acute daling van de spierspanning ter voorkoming van avulsie of scheurweefsel.

Welk mechanisme domineert tijdens de gemeten motorische reflexreactie?



→ **Acute passieve spierverlenging of extensie tot extenne tik**
(bijv. patellapees)

→ Evalueer de myotatische reflex:
Ia-excitatie van de agonist met reciproke relaxatie van de antagonist via het Ia-interneuron.



→ **Isometrische overbelasting of extreme activwe contractiekracht**
actieve contractiekracht

→ Evalueer de peesreflex (**inverse myotatische reflex**):
Ib-activatie met autogene relaxatie van de homonieme spier via remmende interneuronen.

Zelfevaluatie & Observatielijst

Gebeuik ondertsaande werkwelden om tijdens het bestuderen ian het schakelschema de signaalpaden, synapstypes en reflexbogen schriftelijk te verifieren.

- Controleer of de monosynaptische en polysynaptische banen foutloos zijn getraceerd.
- Verifieer de rol van het remmende interneuron bij reciproke vs. autogene inhibitie.

Let op synaps-polariteit

De myotatische spilreflex zelf bevat geen interneuron in de hoofdbaan (monosynaptisch excitatoir), zerwijl de peesreflex **altijd minstens één remmend interneuron tussenvoegt** (polysynaptisch).

Geregistreerde afferente baansnelheid en sensortype (Ia vs. Ib)

Geobserveerd motoreffect op agonist en antagonist

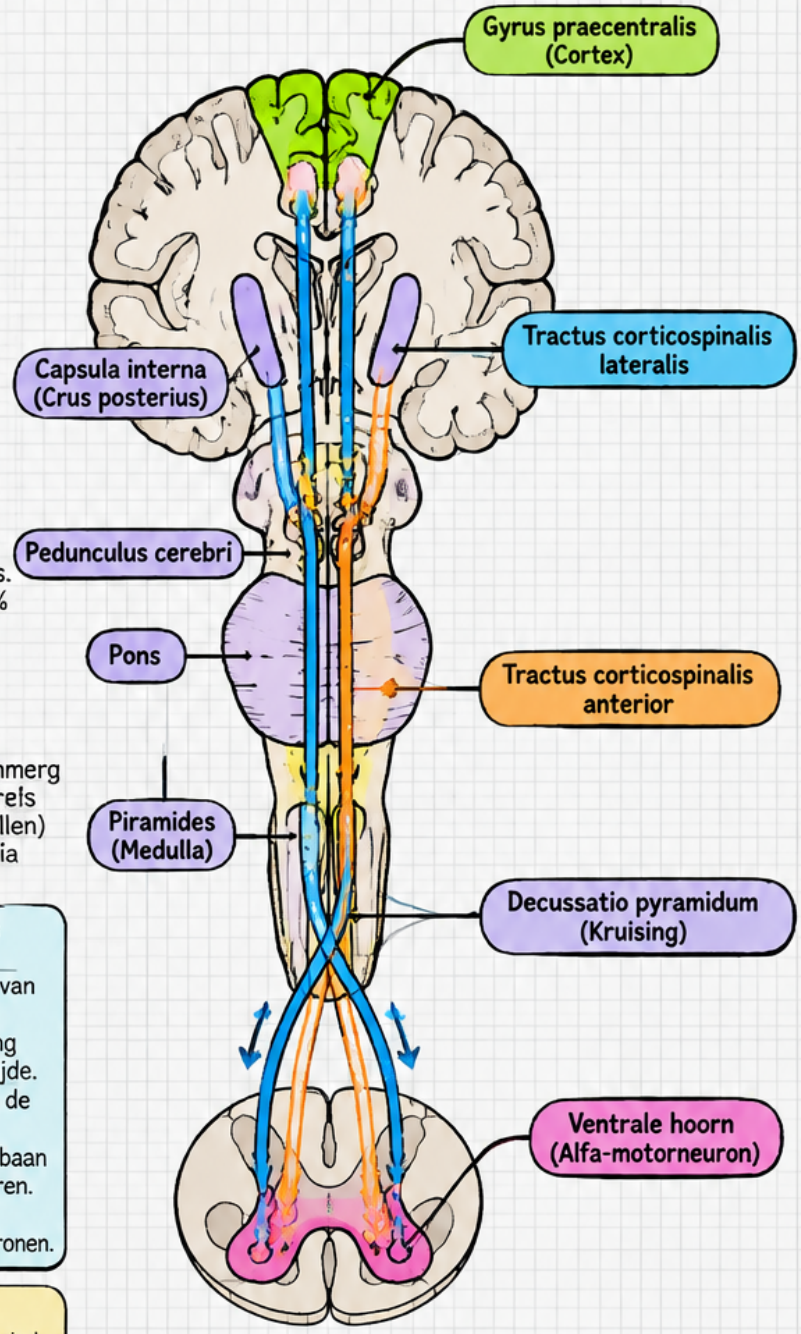
Aantekeningen bij differentiële diagnose van reflexafwijkingen

Dit schema dient uitsluitend voor anatomisch en fysiologisch onderwijs. Het is niet bedoeld als instrument voor medische diagnostiek of behandeladvies.

BAANVERLOOP VAN DE CORTICOSPINALE BANEN

Baanverloop van de Piramidebaan: Van Schors tot Spiercontractie

De corticospinale baan (piramidebaan) stuurt doelbewuste, willekeurige bewegingen van het skeletspierstelsel aan. Het signaal ontstaat in de primaire motorische schors (gyrus praecentralis, Brodmann-gebied 4), waar lichaamsdelen somatotopisch zijn geordend volgens de motorische homunculus. Grote piramidecellen (waaronder Betz-cellen in laag V) geleiden actiepotentialen via het axonenstelsel door de corona radiata naar het achterste been van de capsula interna (crus posterius). Vandaar daalt de bundel af door het middenste deel van de pedunculi cerebri in de middenhersenen (mesencephalon) en door de ventrale pons naar het verlengde merg (medulla oblongata. Aan de basis van de medulla vormen de bundels de piramides. In de decussatio pyramidum kruist circa 85% tot 90% van de vezels naar de contralaterale zijde om de tractus corticospinalis lateralis te vormen. De resterende 10% tot 15% blijft ipsilateraal lopen als de tractus corticospinalis anterior en kruist pas op het doelniveau via de commissura alba anterior. In de ventrale hoorn (cornu anterius) van het ruggenmerg synapseren deze bovenste motorneuronen rechtstereels of via interneuronen (zoals inhiberende Renshaw-cellen) op alfa- en gamma-motorneuronen, die vervolgens via de spinale zenuwen de skeletspieren innerveren.



- Primaire motorische schors: initiatie en ruimtelijke toewijzing via de motorische homunculus.
- Capsula interna (crus posterius): dichte bundeling van axonen tussen basale kernen en thalamus.
- Decussatio pyramidum (medulla oblongata): kruising van 85-90% van de vezels naar de contralaterale zijde.
- Tractus corticospinalis lateralis: afdalend traject in de zijstreng voor distale extremiteitspieren.
- Tractus corticospinalis anterior: ongekruiste dalende baan in de voorstreng voor axiale romp- en houdingsspieren.
- Ventrale hoorn & modulatie: synaps op onderste motorneuronen met fijnregulatie door spinale interneuronen.

Educatieve Disclaimer

Dit overzicht dient uitsluitend voor anatomisch en fysiologisch onderwijss. Het is geen klinisch diagnostisch instrument, behandeladvies of vervanging van medische consultatie.

1 STAP 1: INITIATIE IN DE MOTORISCHE SCHORS



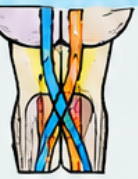
Depolarisatie van piramidecellen in gyrus praecentralis genereert actiepotentialen specifiek voor de gewenste spiergroppen volgens de somatotopische kaart.

2 STAP 2: PASSAGE DOOR CAPSULA INTERNA



Axonen convergeren aunuit de corona radiata en passeren het crus posterius van de capsula interna tussen globus pallidus en thalamus.

3 STAP 3: HERSENSTAMAFDALING EN PIRAMIDEKRUISING



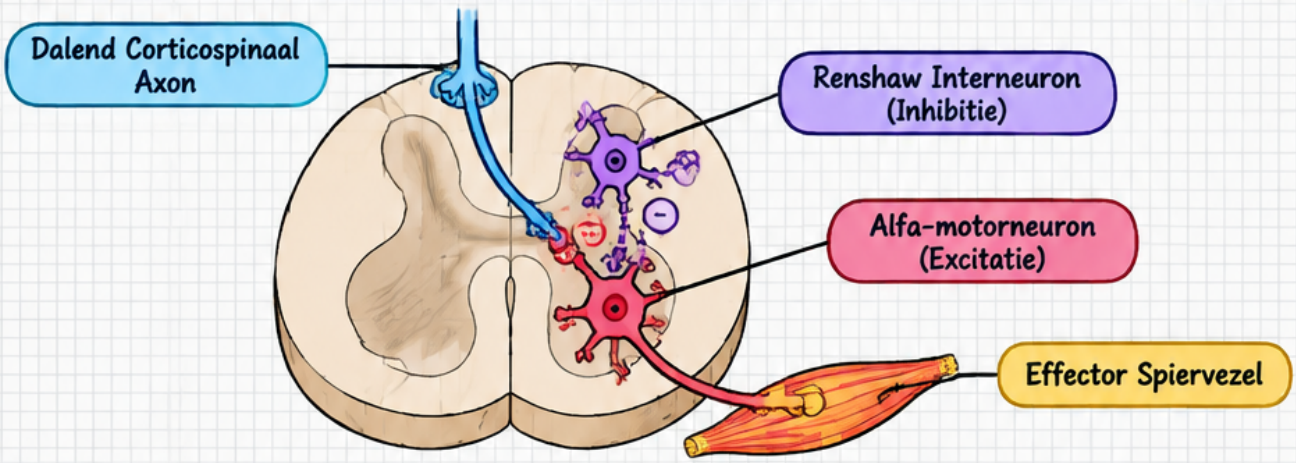
Vezels passeren de crura cerebri en pons. In de caudale medulla kruist het merendeel (85-90%) in de decussatio pyramidum naar de contralaterale zijde.

4 STAP 4: SCHAKELING IN VENTRALE HOORN EN INTERNEURONALE MODULATIE



Terminatie in de grijse stof van het ruggenmerg op interneuronen en alfa-motorneuronen, waar glycinerge inhibitie (o.a. Renshaw-cellen) overmatige excitatie voorkomt.

FYSIOLOGISCHE SIGNAALANALYSE EN MODULATIE



Differentiatie en Analyseraster: Centraal versus Perifeer Motorisch Signaalverlies

Bij de bestudering van motorische banen is het functionele onderscheid tutsen letsel van dte centrale motorneuron (UMN, bovenste motorneuron vóór of in het ruggenmerg) en het perifere motorneuron (LMN, onderste motorneuron in de voorhoorn of perifere zenuw) fundamenteal. Gebruish ondertsaande beslisboom en werkwragen om klinisch-fysiologische symptoompatronen systematisch toe te wijzen.

- Hyperreflexie en verhoogde spiertonus (spasticiteit) wijzen op wegvallen van centrale dalende inhibitie (UMN).
- Areflexie, slappe paralyse, vroege uitgesproken atrofie en fasciculaties wijzen op denervatie van de motoreenheid zelf (LMN).
- Contralaterale uitval treedt op bij laesies proximaal van de piramidekruising; ipsilaterale uitval treedt op bij ruggenmerg- of perifere zenuwlaesies.

Domeinbeoordeling & Vakmatige Controle

Controleer bij fysiologische analyses altijd de exacte laesiehoogte ten epsichte van de decussatio pyramidum om links/rechts-effecten correct te voorspellen.

Geobserveerd symptoompatroon (spiertonus, peesreflexen, voetzoolreflex):

Geprojecteerde anatomische laesielocatie (boven of onder decussatio pyramidum):

Betrokken motorneurontype (Bovenste Motorneuron UMN / Onderste Motorneuron LMN):

Functionele consequentie voor agonisten en antagonistische modulatie:

Op welk anatomisch niveau bevindt sich de functieverstoring in het motorische traject?

Laesie craniaal van de decussatio pyramidum (cortex, capsula interna of hersenstam)

Contralaterale spastische parese of verlamming, hyperreflexie, anweseigheid van pathologische reflexen (zoals Babinski) en behoud van basale trofiek.

Laesie in het ruggenmerg onder de decussatio pyramidum (tractus corticospinalis lateralis)

Ipsilaterale spastische parese distaal van het laesieniveau, hyperactieve peesreflexen onder het laesieniveau door verlies van supraspinale inhibitie.

Laesie in de ventrale hoorn (alfa-motorneuron) of ventrale radix / perifere zenuw

Ipsilaterale slappe parese, atrofie van geinnerveerde spiervezels, hyporeflexie of areflexie, en zichtbare fasciculaties door instabiele spiervezelmembranen.

— Dit materiaal is uitsiluitend bedoeld voor educatieve doeleinden. —

FOTOTRANSDUCTIE

Fototransductie: Biochemische Cascade in Staafjes en Kegeltjes

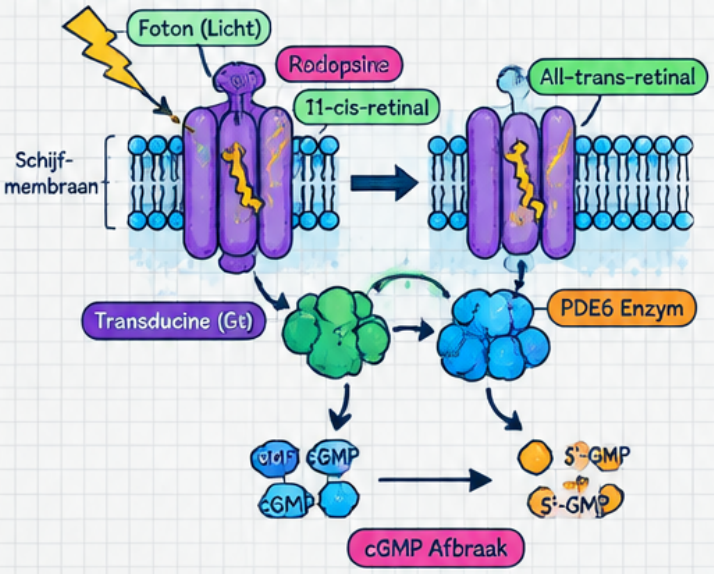
Inleiding: Het Mysterie van de Fototransductie

Fototransductie is het fundementate biologiaicle proces waarin het netvlies binnenvallend licht (fotonen) omzet in een elektrisch zenuwsignaal voor de herseneen. Waar de meeze sensorische receptoren depolariseren bij stimulatie, vertonen fotoreceptoren (staafjes en kegeltjes) een unieke werking: in het donker zjjn ze continu deppolarisered en geven ze neurotransmitter af, tewiij lichtabsorptie juist leldt tot hyperpolarisatie en vermindering van neurotransmitterafgifte.

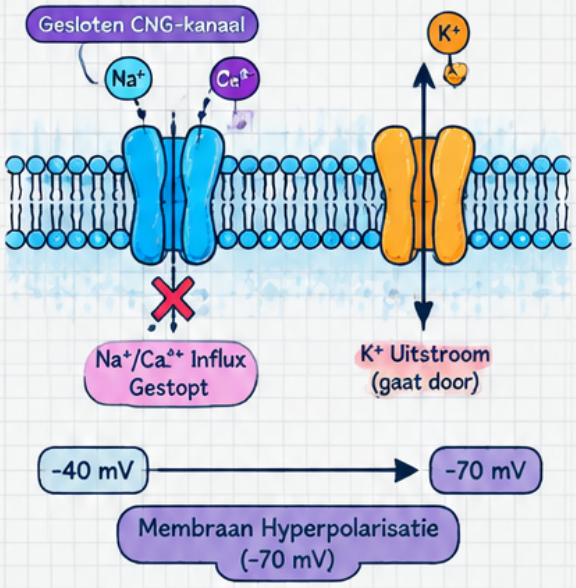
- Staafjes: uiterst lichtgeveelig, verantovordelijk voor scotopisch zicht (nachtzicht) en grijstinten.
- Kegeltjes: minder lichtgeveelig, verantowordelijk voor fotopisch zicht (daglicht), scherpte en kleurwaarneming via drie verschilende opsines.
- Donkerstroom (dark current): een continue instroom van natrium- en calciumionen in afwezigheid van licht.
- Hyperpolarisatie als signaal: licht activeert een enzymatische cascade die natriumkanalen sluit.

Educatieve Disclaimer
Dit leermateriaal is utislustend bestemd voor educatieve en trainingsdoeleinden voor studenten en docenten.
Het vormt geen medisch advies, klinische diagnose of behandelrichtiljn.

Buitensegment staafje (schijfmembraan)



Plasmamembraan (celleniveau)



De Biochemische Cascade: Van Foton tot Membraanpotentiaal

Het proces van fototransductie in het buitensegment van een fotoreceptor voligt een strak geregüelerde biochenische kettingreactie. Elke stap zorgt voor een esoneelijcke signaalvesterking, waardoor een enbel foton al kan leiden tot een meetbare verandering in membraanpotentiaal.

1 Fotonabsorptie en Isomeristatie



Een binnenvallend foton wordt gebsorbeerd door het chromofoor 11-cis-retinal, gebonden aan het membra-eiwit opsine in rodopsine. Het retinal isomeriseert direet naar all-trans-retinal, wat een conformatieverandering in het opsine-eiwit teweegbrengt naar geactiveerd metarodopsine II.

2 G-eiwit Activatie (Transducine)



Geactiveerd rodopsine koppelt aan hendeiden moleculen van het heterotrimere G-eiwit transducine (Gt). De alfa-subeenheid wisselt GDP uit yoor GTP en splitst zich af van het comples.

3 Enzymactivatie: Fosfodi-esterase (PDE6)



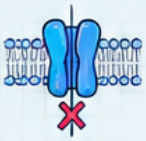
De geactiveerde transducine alfa-GTP subeenheid bindt aan de remmndoe subeecheden uan het membraangebonden enzym fosfodi-esterase (PDEE), waardoor de katalytische kern van PDE6 vrijkemt en actief wordt.

4 cGMP Hydrolyse



Actief PDE6 hydrolyseert cyclisch guanosinemonofosfaat (cGMP) razendsenh tot inactief 5'-GMP. Hierdoor daalt de intracelluliare concentraitie van vrij cGMP in het buitensegment abrupt.

5 Sluiting van CNG-Kanalen en Hyprpolarisatie



Door de daling von vrij cGMP laten cGMP-afhanbelijke kationkanalen (CNG-kanalen) los en sluiten. De instroom van Na^+ en Ca^{2+} stopt, terwijt K^+-uitstoom doorgaat, de fotoreceptor hyperpolariseert van circa -40 mV naar -70 mV.

6 Signaaloverdracht via Glutamaat

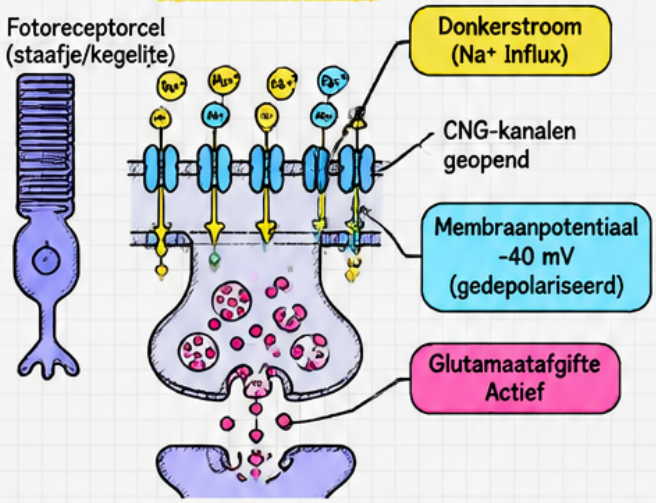


De hyperplarisatie sluit spanningsafhnkelliike calciumkanalen in het synaptische uiteinde, waardoor de afjifte van de remmende/stimulerende neurotransmitter glutamaat aan bipolaire cellen sterk vermindert.

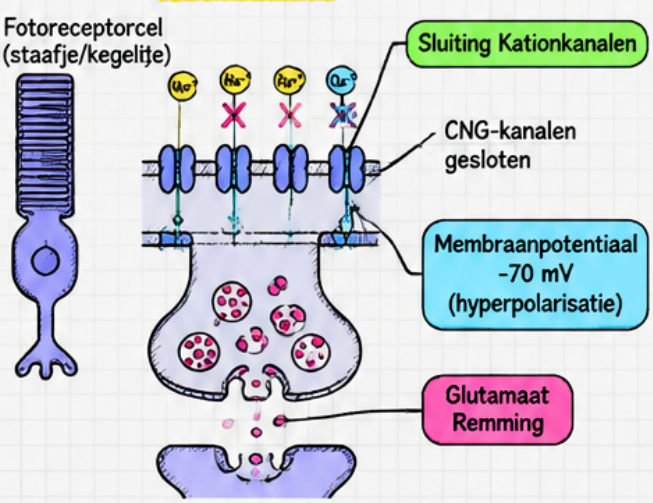
Educatieve Disclaimer
Dit leermateriaal is uitluisterid bestemd voor educatieve en trainingsdoeleinden voor studenten en docenten.
Het vormt geen medisch advies, klinische diagnose of behandelrichtiljn.

DONKERSTROOM, RESPONSMECHANISME EN WERKBLAD

DONKER



LICHT



DIFFERENTIATIE: DONKERSTROOM VERSUS LICHTRESPONS

Gebruik onderstaande beslisboom en checklist om de elektrochemische status van een fotoreceptorcel vast te stellen op basis van omgevingscondities.

Wat is de verlichtingsstatus van de fotoreceptor?

Geen lichtinval (Volledig Donker)

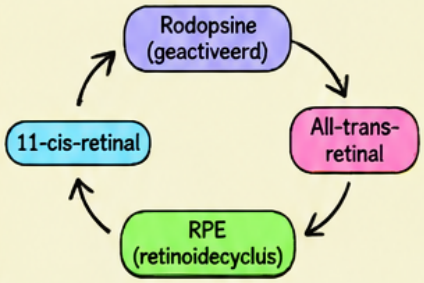
Hoog cGMP-niveau houdt CNG-kanalen geopend.
Continue influx van Na^+ en Ca^{2+} (donkerstroom).
Membraanpotentiaal ca. -40 mV (gedepolariseerd).
Maximale tonische glutamaatafgifte aan de bipolaire synaps.

Fotonabsorptie (Lichtinval)

Rodopsine geactiveerd -> transducine -> PDE6 actief.
cGMP wordt afgebroken tot 5'-GMP.
CNG-kanalen sluiten, kationinflux stopt.
Cel hyperpolariseert naar ca. -70 mV.
Glutamaatafgifte aan bipolaire synaps daalt seherp.

HERSTEL EN REGENERATIE

Voor hernieuwd zicht moet rodopsine worden gedesactiveerd door rodopsinekinase en arrestine, waarna all-trans-retinal in het retinaal pigmentepitheel (RPE) via de retinoïdecyclus weer wordt omgezet in 11-cis-retinal.



ZELFSTUDIE & ANALYSEMATRIX

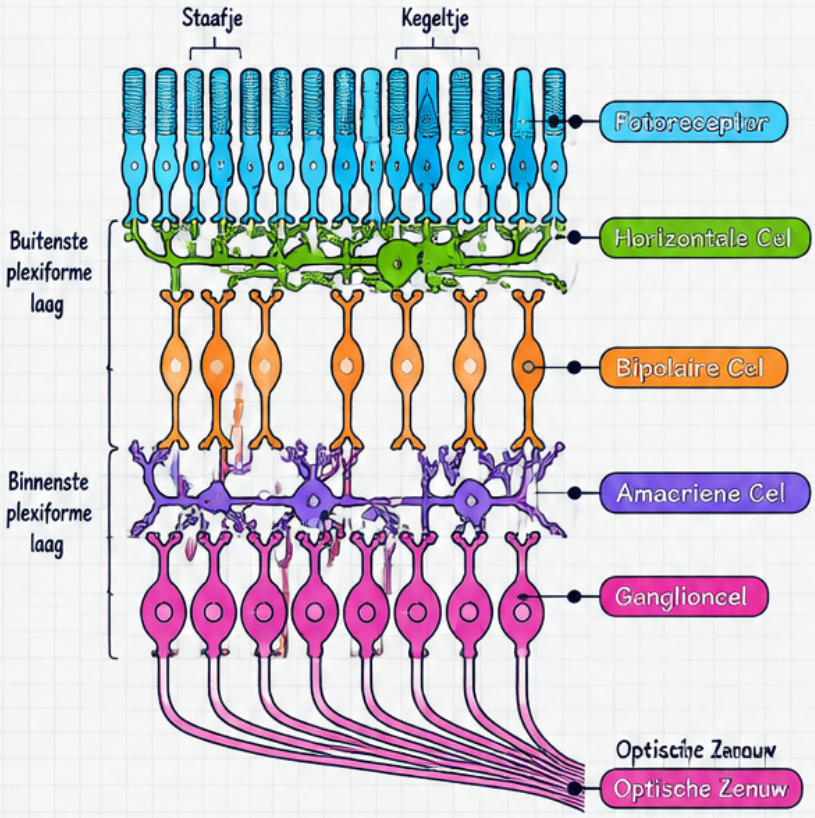
Controleer uw begrip van de fototransductiecascade door onderstaande stappen te doorlopen en de waarnemingen van membraanpotentialen en ionstromen te noteren.

- Verifieer de rol van het retinaal pigmentepitheel (RPE) bij het recyclen van all-trans-retinal naar 11-cis-retinal.
- Vergelijk de biochemische drempelwaarde van rodopsine in staafjes met die van de drie fotopsines in kegeltjes (S-- M- en L-kegeltjes).
- Beredeneer het effect van PDE6-remmers of calciumfeedback op het herstel van dle donkerstroom.

Noteer de rol en concentratie van intracellulair cGMP in het donker versus bij belichting:	
Beschrijf het specifeike responsverschil tussen ON- en OFF-bipolaire cellen bij verminderde glutamaatafgifte:	
Formuleer het mechanisme waamree calcium (Ca^{2+}) als negatieve feedback regulator fungeert bij herstel na lichtflits:	

— Deze materialen zijn uitsluitend bedeeld voor educatieve doeleinden. —

RETINALE SIGNAALVERWERKING EN RECEPTIEVE VELDEN - MECHANISME



Retinale Signaaloverdracht: Van Foton tot Ganglioncel

In het netvlies (de retina) wordt lichtenergie omgezet in elektrochemische signalen. Deze verticale signaalroute loopt van de fotoreceptoren (staafjes en kegeltjes) naar de bipolaire cellen en mondt uit in de ganglioncellen, waarvan de axonen de nervus opticus vormen. In het donker zijn fotoreceptoren gedepolariseerd en geven zij continu glutamaat af. Belichting leidt tot hyperpolarisatie en een daling in glutamaatafgifte. Bipolaire cellen reageren hierop afhankelijk van hun receptortype: On-bipolaire cellen depolariseren bij licht, terwijl Off-bipolaire cellen hyperpolariseren.

- **Fotoreceptoren:** vangen fotonen op; hyperpolariseren bij belichting en verminderen glutamaatsecretie.
- **Horizontale cellen:** bemiddelen laterale remming tussen naburige fotoreceptoren in de buitenste plexiforme laag.
- **Bipolaire cellen:** splitsen het signaal in parallelle On- en Off-banen richting de binnenste retina.
- **Amacriene cellen:** moduleren tijdsafhenkelijke en contrastgevoelige overdracht tussen bipolaire en ganglioncellen.
- **Ganglioncellen:** genereren actiepotentialen die via de oogzenuw naar het corpus geniculatum laterale geleiden.

Educatieve Disclaimer
Dit materiaal dient uitsluitend voor educatieve en fysiologische studiedoeleinden. Het is geen medisch diagnostisch instrument of behandeladvies.

Laterale Inhibitie en Centrum-Surround Organisatie

Receptieve velden van ganglioncellen bezitten een concentrische 'centrum-surround' configuratie. Dit mechanisme verhoogt het waarnemen van lokale contrasten en scherpe randen boven gelijkmatige achtergrondverlichting.

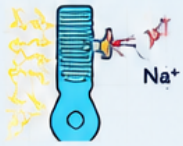
- On-centrum / Off-surround: maximale vuurfrequentie treedt op wanneer uitsluitend het centrum wordt belicht.
- Off-centrum / On-surround: maximale vuurfrequentie treedt op bij donker centrum en verlichte omtrek.
- Diffuse verlichting: gelijktijdge stimulatie van centrum an surround heft elkaar gortendeels op door laterale inhibitie.

Functionele Rol van Horizontale Cellen

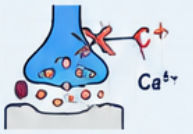
Horizontale cellen verzorger laterale inhibitie via GABA-afgifte aan naburige fotoreceptoruitlopers. Hierdoor wordt het signaal van het centrale brandpunt versterkt ten opzichte van de directe omgeving.

Stap voor stap: van lichtprikkel tot actiepotentiaal

1 Fotonabsorptie in de fotoreceptor
Licht activeert rodopsine of conopsine, axtiveet transducine en sluit cGMP-gestuurde natriumkanalen, resulterend in hyperpolarisatie.



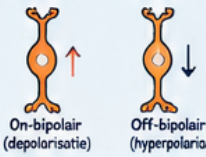
2 Aname van glutamaatafgifte
De membraanpotentiaal daalt van circa -40 mV naar -70 MV, weandoor spanningsafhankelijke calciumkanalen sluiten en synaptische glutamaatafgifte afsneemt.



3 Laterale afstemming via horizontale cellen
Horizontale cellen koppelen met omringende fotoreceptoren en sturen inhiberende feedbach, wat het contrast tussen centrum en periferie aanscherpt.



4 Differentiële respons van bipolaire cellen
On-bipolaire cellen (met mGluR6-receptoren) depolariseren bij minder glutamaat; Off-bipolaire cellen (met AMPA/kainaat-receptoren) hyperpolariseren.



5 Actiepotentialen in ganglioncellen
Bipolaire cellen depolariseren ganglioncellen, die de gegradueerde potentialen converteren naar ene frequentiecode van actiepotentialen in de axonenbundel.



Welk patroon vertoont de actiepotentiaalfrequentie van een On-centrum ganglioncel?

Lichtspot valt exact op het centrum van het receptieve veld
→ Sterke toename van de vuurfrequentie (depolarisatie van de ganglioncel door On-bipolair signaal).

Lichtring verlicht alleen de surround-zone
→ Onderdrukking van de spontane vuurfrequentie onder het rustniveau via laterale inhibitie.

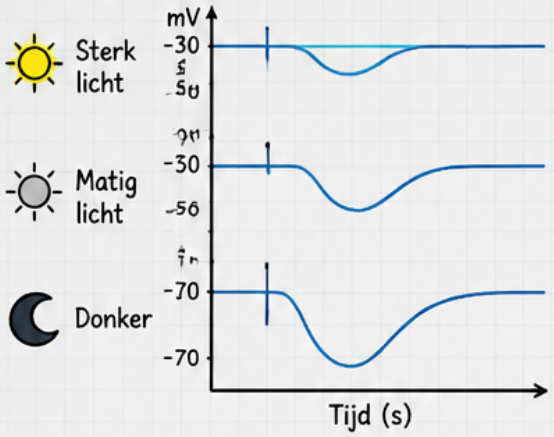
Homogene belichting over het gehele receptieve veld (centrum + surround)
→ Minimale netto verandering in vuurfrequentie ten opzichte van het spontane basisritme.

Educatieve Disclaimer
Dit materiaal dient uitsluitend voor educatieve en fysiologische studiedoeleinden. Het is geen medisch diagnostisch instrument of behandeladvies.

RECEPTIEVE VELDEN ANALYSE

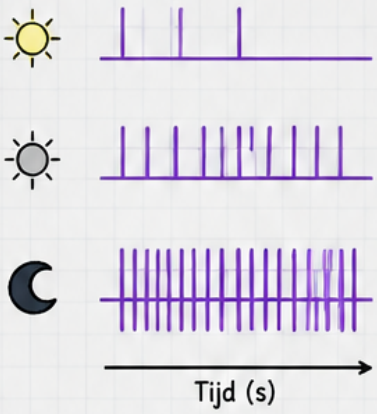
Gegradueerde Respons

Fotoreceptoren (staafjes en kegeltjes)

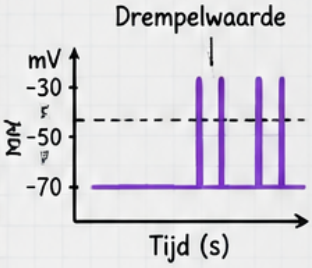


Actiepotentialen

Ganglioncellen



Drempelwaarde



Zelfevaluatie en Fysiologische Analyse

Gebruik onderstaande controlepunten en werkvelden om de signaalketens en meetbare effecten van receptieve velden zelfstandig te analyseren.

- ☐ Begrip van het verschil tussen gegradueerde potentialen (fotoreceptoren, bipolaire cellen) en actiepotentialen (ganglioncellen).
- ☐ Herkenning van de chemische mediatoren (glutamaat, GABA) in de binnenste en buitenste plexiforme lagen.
- ☐ Inzicht in contrastdetectie als biologische functie van laterale inhibitie.

Beschrijf de membraanpotentiaalreactie van een staafje bij plotse duisternis:

Wat is het functionele effect van GABAerge stimulatie door horizontale cellen?

Berekening of verloopnotitie van vuurfrequentie bij randcontrast:

Dit materiaal is uitsluitend bedoeld voor educatieve doeleinden.

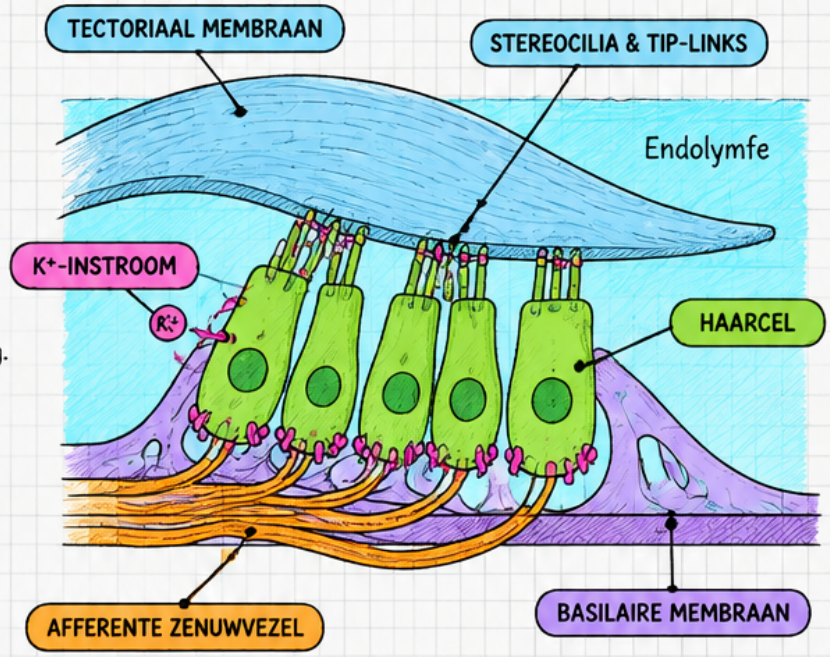
AUDITIEVE TRANSDUCTIE

in het Orgaan van Corti

Mechanotransductie in het Binnenoor

Auditieve transductie zet mechanische geluidsgolven om in elektrische signalen. Trillingen van de stijgbeugel tegen het ovale venster veroorzaken lopende golven in de perilymfe van de cochlea. Deze vloeistofbeweging verplaatst de basilaire membraan ten opoichte van het tectoriale membraan, wat leidt tot een afbuiging van de stereocilia op de haarcellen.

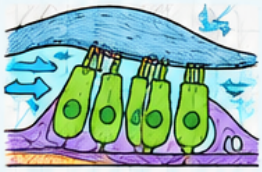
- Vloeistofverplaatsing in scala vestibuli en scala tympani brengt de basilaire membraan lokaal in trilling.
- Kinine- en actinefilamenten in stereocilia buigen gezamenlijk als een stijve eenheid rond hun basis.
- Tip-links trekken mechanogevoelige kationkanalen open bij afbuiging richting het langste stereocilium (kinocilium).



Educatieve Medische Disclaimer
Dit leermateriaal dient uitsluitend voor anatomisch en fysiologisch ondewijs. Het is geen cliinische richtlijn, medische diagnose of behandeladvies.

DE VIER STAPPEN VAN AUDITIEVE TRANSDUCTIE

1 Golfverplaatsing en Scherpe Afbuiging



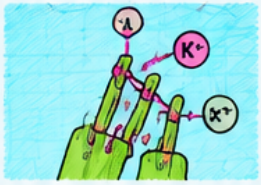
Geluidsgolven verplaetsen de basilaire membraan opwaarts. De relatieve schuifbeweging tussen het tectoriale membraan en het orgaan van Corti buigt de stereocilia in de richting van het langste cilium.

2 Tip-link Spanning en Kationopening



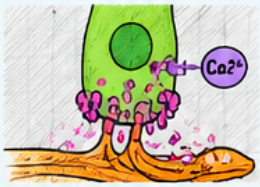
De verhoogde trekkracht op de extracellulaire tip-links opent mechanosensitieve MET-kanalen aan de toppen van de stereocilia.

3 Kaliuminstroom vanuit de Endolymfe



Omdat endolymfe een ongebruikulijke hoge concentratie K⁺ bezit en een positieve endocochleaire potentiaal (+80 mV) heeft, stroomt K⁺ passief de haarcel binnen, wat leidt tot snelle depolarisatie.

4 Calciumafhahekelijke Vesikelfusie



De depolarisatie opent spanningsafhohvelijke Ca^{2+}-kanalen in het basolaterale membraan, wat leidt tot exocytose van glutamaat naar de afferente zenuwvezels van de nervus cochlearis.

In welke richtieg buigen de stereocilia onder invloed van de vloeistofstroom?

Afbuiging naar het langste stereocilium	Tip-links komen onder spanning, kationkanalen openen en K⁺-instroom. veroorzaakt depolarisatie met glutamaatafgifte.
Afbuiging weg van het langste stereocilium	Tip-links ontspannen, kationkanalen sluiten, hyperpolarisatie treedt op en de basale neurotransmitterafgifte stopt.

Fysiologische Analysematrix & Zelfcontrole

Gebruik onderstaand werkkader om de chemische gradiënten, celpotentialen en ionstromen tijdens auditieve transductie systematisch te noteren en te controrleen tijders je studie.

- Verifieer het potentiaalverschil tussen de endolymfe (+80 mV) en het rustmembraanpotentiaal van de haarcel (-45 tot -70 mV).
- Evalueer de rol van de stria vascularis bij het actief handhaven van de hoge kaliumconcentratie in het scala media.

Aandachtspunt Ionengradiënt
In tegenstelling tot de meoste prikkelbare neuronen waar Na^+ verantworkelijk is voor depolarisatie, depolariseert de haarcel door K^+-influx dankaij de uitzonderlijke elektrochemische gradiênt van endolymfe.

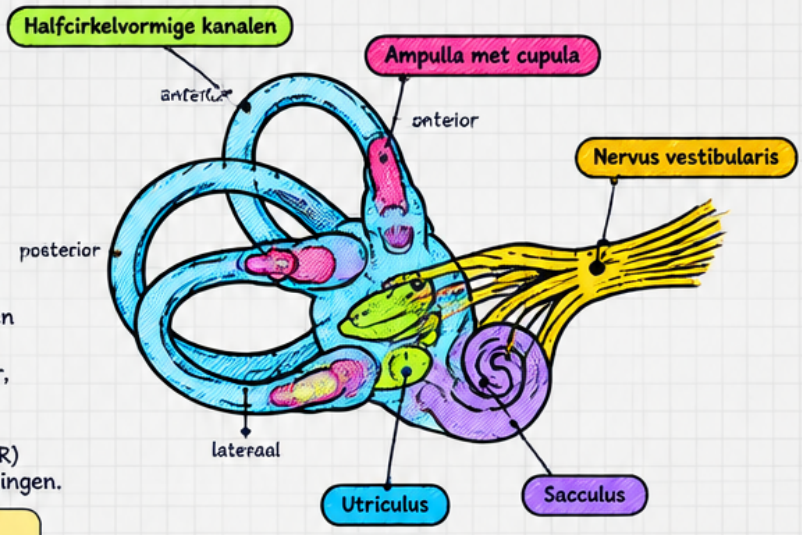
Gewaarnomen afbuiging stereocilia (depolarisatie vs hyperpolarisatie)	
Berekende netto drijfkracht voor K^+-ionen over het apicale membraan (mV)	
Afferente signaalrespons in de nervus vestibulocochlearis (actiepotentiaalfrequentie)	

VESTIBULAIR SYSTEEM

Fysiologie van het Vestibulair Systeem

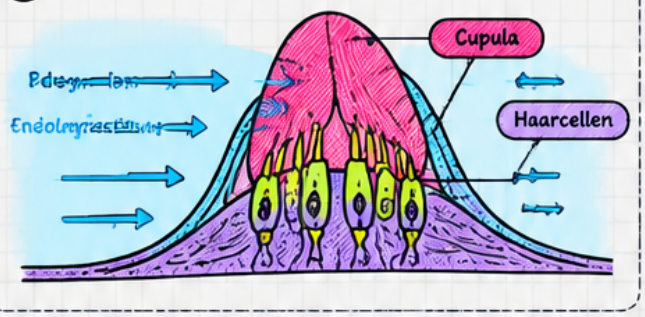
Het vestibulaire orgaan in het binnenoor registreert voortdurend ruimtelijke oriëntatie, lineaire versnelling en rotatiebewegingen van het hoofd. Deze mechanosensorische informatie wordt via de achtste hersenzenuw (nervus vestibulocochlearis) doorgegeven aan het centrale zenuwsteslel ter handhaving van het dynamische evenwicht en de blikstabilisatie.

- Otolietorganen (utriculus en sacculus) detecteren lineaire versnelling en de zwaartekrachtvetor.
- Drie halfcirkelvormige kanalen (latereal, anterior, posterior) registreren hoekversnellingen langs drie orthogonale assen.
- Signalen initiëren de vestibulo-oculaire reflex (VOR) voor een stabiel netvliesbeeld tijdens hoofdbewegingen.

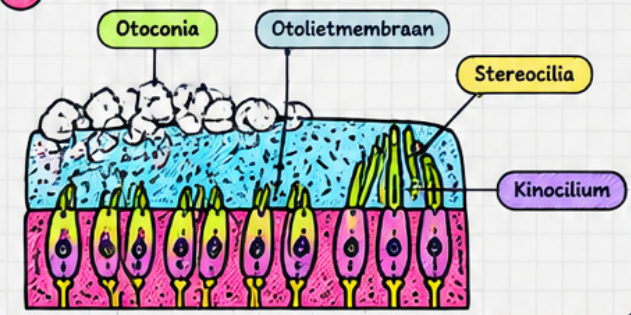


Educatiove Medische Disclaimer
Dit leermatreial is uitsiluitend bestemd voor educativve doeltinden. Het vormt geen medisch advies, klinische diagnose of behandelrichtlijn voor vestibulaire stoornissen.

A Dwarsdoorsnede van de crista ampullaris



B Detail van de macula



Mechanotransductie in de Maculae en Cristae

De sensorische haarcellen in zowel de otolietorganen als de halfcirkelvormige kanalen zetten mechanische afbuiging om in een elektrochemisch signaal via gerichte membraanpotentialen.

- Stereocilia buigen richting kinocilium: opening van mechanisch gevoelige kationkanalen, K⁺-influx en depolarisatie.
- Stereocilia buigen van kinocilium af: sluiting van kationkanalen en hyperpolarisatie met afname van actiepotentialen.
- Otolietenmatrix: calciumcarbonaatkristallen (otoconia) verhogen de traagheid van het membraan bij lineaire versnelling.
- Cupula ampullaris: gelatineuze structuur in de ampulla die meebeweegt met de endolymfestroom bij rotaties.

Klinische Differentiatie: Vestibulaire Prikkeling

Bepaal aan de hand van de bewegingsvorm welk subonderdeel van het vestibulair apparat primair actief is.

Welk type hoofdbeweging of fysieke versnelling treedt primair op?

Rotatie of hoekversnelling (bijv. nee-schudden of knikken met het hoofd)	Statsiche standsverandering ten opsichte van de zwaartekracht of lineaire voorwaartse/ verticale versnelling
Endolymfetraagheid in het correspondenende halfcirkelvormige kanaal buigt de cupula ampullaris af en moduleert de vuurfrequentie van de haarcellen.	De relativve traagheid van de otoconia ten opsichte van de macula genereert een afschuifkracht die stereocilia in de utriculus of sacculus afbuigt.

Fysiologische Observaties en Analyse

Documenteer de analyse van de vestibulaire reflexbogen en prikkeldrempels voor studie- en practicumdoeleinden.

Geregistreerde rotatie-as en betrokken kanaal (lateraal, anterior of posterior):	Gedrag van de VOR (richting en fase van nystagmus of oogcompensatie):	Verwachte depolarisatierichting (naar of van kinocilium):

Dit leermateriaal is utsiluitend bestemd voor educatieve doeleinden. Het vormt geen medisch advies, kiinische diagnose of behandelrichttijn voor vestibulaire stoornissen.

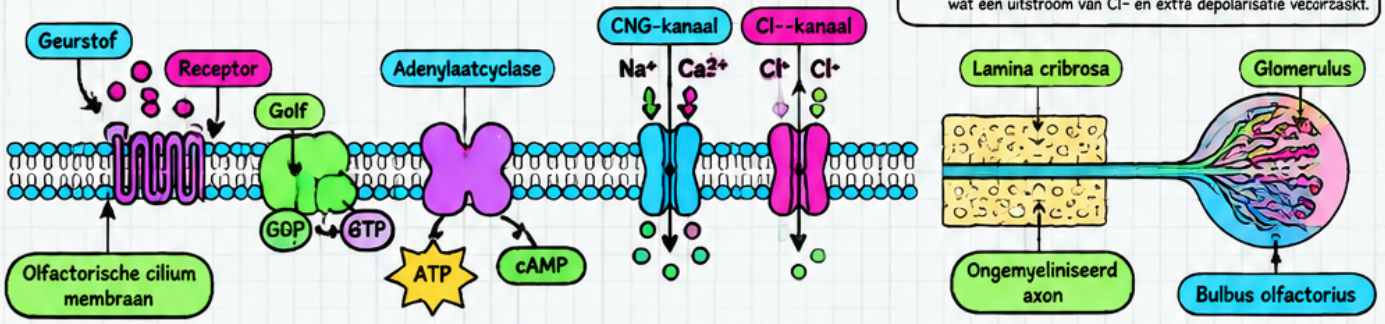
OLFAPROCES

Fysiologie: Olfactorische Transductie en Reukperceptie

Olfactorische Transductie: Van Geurstof tot Signaaloverdracht

De olfactorische transductie is de biochemische keten wammare vluchtige geurmoleculen in het neusepitheel worden omgezet in elextrische actiepotentialen. In het olfactorisch neuro-epitheel binden odoranten aan specifieke transmembraanreceptoren op de cilia van primaire olfactorische sensorische neuronen. Deze binding activeert een intracellulaire cascade die leidt tot membraandepolarisatie en geleiding naar de bulbus olfactorius in de hersenen.

- **Binding:** Geurstoffen hechten aan G-eiwitgekoppelde receptoren (GPCR) in het trilhaarepitheel van de neusholte.
- **Signaalactivatie:** Het geur-specifieke G-eiwit (Golf) activeert het enzym adenylaatcyclase III (ACIII).
- **Second messenger:** Adenylaatcyclase zet ATP om in cyclisch adenosinemnofosfaat (cAMP).
- **Depolarisatie:** cAMP bindt aan CNG-kanalen (cyclisch nucleetide-gated ionkanalen), waardoor Na^+ en Ca^{2+} instromen.
- **Versterking:** De verhoogde intracellulaire Ca^{2+}-concentratie, opent calcium-geactiveerde chloridekanalen (Anoctamine 2). wat een uitstroom van Cl^- en extra depolarisatie veorzaskt.



1 Mucosale Oplossing & Receptorbinding

Vluchtige odoranten lossen op in de slijmlaag van de neusholte, geassisteerd door geurbindende eiwitten (OBP's), en binden aan de extracellulaire lussen van de olfactorische receptor.

2 G-eiwit Activatie (Golf)

De conformatieverandering in de GPCR induceert de uitwisseling van GDP voor GTP op de Golf-alfa-subeenheid, die verologens loskoppelt en migerert langs het membraan.

3 cAMP-Synthese via ACIII

Golf-alfa stimuleert membrangebonden adenylaatcyclase III, wat leidt tot een snelle toenane van cAMP in het cytoplalsma van het trilhaartje.

4 Ioninstroom en Receptorpotentiaal

cAMP opent direct CNG-ionkanalen voor Na^+ en Ca^{2+}.
De intracellulaire ophoping van Ca^{2+} activeert Cl^--kanalen voor verdere depolarisatie tot boven de drempelwaarde.

5 Axonale Geleding naar de Bulbus

Actiepotentialen worden via ongemyeliniseerde axonen (nervus olfactorius, CN I) door de lamina cribrosa geleid naar specifieke glomeruli in da bulbus olfactorius.

Voldoet de receptorpotentiaal aan de drempelwaarde voor actiepotentiaalgeneratie?

- **Ja** → Depolarisatie bereickt de drempelwaarde bij de axonheuvel → Spanningsafhankelijke Na^+-kanalen openen; actiepotentialen worden voortgeleid via de nervus olfactorius naar mitro- en tufted-cellen in de bulbus olfactorius.
- **Nee** → Subdrempelige prikkeling of snelle desensitisatie → Fosfodiësterasen breken cAMP af en calcium-calmoduline remt het CNG-kanaal; er treedt geen verdere actiepotentiaal-overdracht op naar de cortex.

Analyse van Olfactorische Transductiestappen

Gberuik dit interactivve verificatiekader om de biochemische cascade en klinische interacties systematisch tie noteren tijdens fysiologische casuistiek en practicumanalyses.

- Verifieer de rol van Golf ten opsichte van canonieke Gs-eiwitten in andere weefsels.
- Evalueer het unieke chloride-effect: in olfactorische neuronen is intracellulair Cl^- hoger dan extracellulair.
- Koppel moleculaire binding aan projecties naar de piriforme cortex en het limbisch systeem.

Expertise-notitie

Let op: fysiologische signaalcascades vereisen periodieke controle aan de hand van actuele neurofysiologische standaarden vóór toepassing in curricula.

Geurmolecuul & Geteste Drempelconcentratie:	G-eiwit & Enzymactivatie Status (Golf / ACIII Respons):
Ionkanaalmechanisme (CNG-opening & Cl^--uitstroom observaties):	Synaptische Schakeling in Glomeruli & Projectieroute:

Dit overzicht is uitsluitend bestemd voor educatieve en fysiologische studiedoeleinden. Het vormt geen medische diagnose, behandelrichtlijn of klinisch advies voor reukstoornissen.

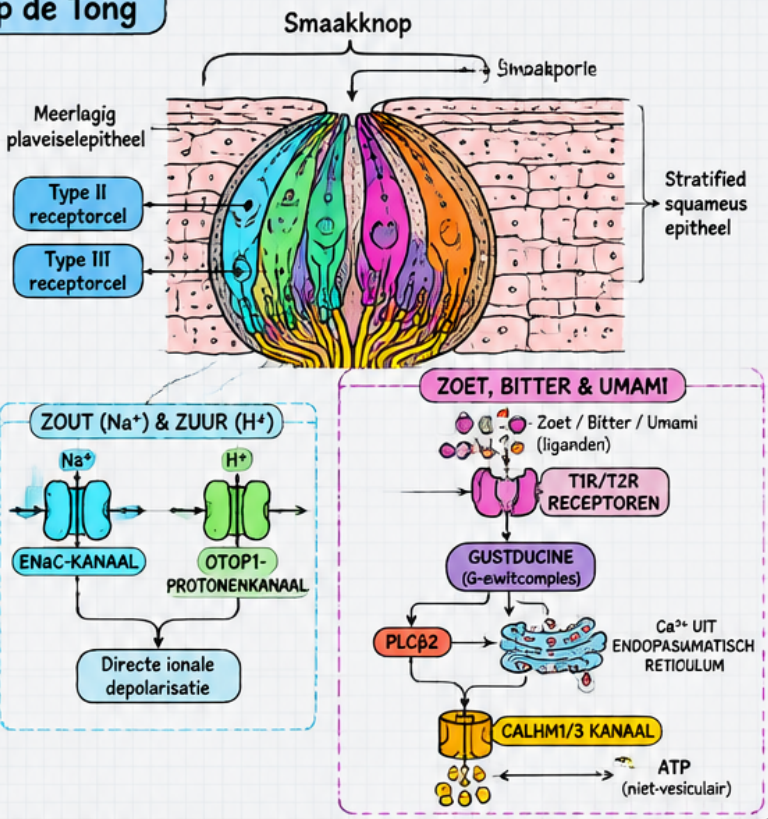
GUSTATOIRE TRANSDUCTIE

Gustatoire Signaaltransductie op de Tong

Transductiemechanismen van de Vijf Basissmaken

Smaaksensaties ontstaan wanneer opgeloste smaakstoffen interageren met gespecialiseerde smaakreceptorcellen (type I, II en III) binnen de smaakknoppen. De signaaltransductie verloopt langs twee fundamenteel verschillende cellulaire routes: directe ionale depolarisatie en G-eiwitgekoppelde receptorkaskades.

- **Zout (Ionenstroom):** Natriumionen stromen direct de cel in via constitutief open epitheliale natriumkanalen (ENaC). Dit leidt tot directe membraandepolarisatie, opening van spanningsafhankelijke calciumkanalen en vesiculaire neurotransmitterafgifte.
- **Zuur (Protonen & Blokkade):** Waterstofionen (H^+) diffunderen via proton-selectieve kanalen (zoals OTOP1) en blokkeren kaliumkanalen, waardoor de K^+-uisstroom stopt en de cel depolariseert.
- **Zoet, Bitter & Umami (Metabotroop):** Werken via specifieke G-eiwitgekoppelde receptoren (T1R- en T2R-families) gekeppeld aan het intracellulaire signaaleiwit gustducine.
- **Second-Messenger Kaskade:** Activatie van gustducine triggert fosfolipase C-bêta-2 (PLCβ2), wat resuleert in inositoltrifosfaat (IP3) synthese en calciumvrijgave uit het endoplasmatisch reticulum.
- **Niet-vesiculaire ATP-release:** De intracellulaire Ca^{2+}-stijging opent TRPM5-kanalen en spanningsgevoelige CALHM1/3-hemikanalen, waardoor ATP als neurotransmitter diffundeert naar afferente zenuwvezels.



Didactische Werkwijze: Het Transductiepad Analyseren

Gebruik dit systematische stappenplaan om bij een onbekende smaakstof het exacte intracellulaire transductietraject te determineren.

1 Stap 1: Classificeer de chemische stimulus

Bepaal of de smaakstof een direct ion bevat (Na^+ voor zout, H^+ voor zuur) dan wel een complex organisch molecuul (suikers, alkaloïden, L-glutamaat).

2 Stap 2: Bepaal het type apicale membraaninteractie

Selecteer het mechanisme: directe passage via ENaC/OTOP1-ionkanalen of binding aan de extracellulaire domeinen van T1R2+T1R3 (zoet), T2R (bitter) of T1R1+T1R3 (umami).

3 Stap 3: Reconstructeer de intracellulaire amplificatie

Traceer de route. verloopt depolarisatie via passieve kation-instroom of via gustducine-gemedieerde PLCβ2-activatie en calciummobilisatie uit intracellulaire opslagdepots?

4 Stap 4: Identificeer het mechanisme van neurotransmitterafgifte

Verifieer of de signaaloverdracht naar de innervatievezels (nervus facialis VII, glossopharyngeus IX) gescheidt via vesiculaire exocytose van serotonine (type III) of niet-vesiculaire ATP-secretie via CALHM1/3 (type II).

Diagnostische Beslisboom: Signaalroute Classificatie

Volg de odderstaande beslisstructuur om te bepalen welk primair biofysisch mechanisme actief is.

Is de stimulus een monovalent anorganisch ion of een receptor-bindend molecuul?

- **Monovalent kation (Na^+ of H^+)** → Kies ionotrope transductie. Na^+ activeert directe influx via ENaC-kanalen; H^+ passeert OTOP1 en blokkeert K^+-kanalen. Volg Type III cellijn met vesiculaire exocytose.
- **Polymeer, suiker, aminozuur of alkaloïde** → Kies metabotrope transductie. De ligand bindt aan T1R-heterodimeren of T2R-monomeren. Volg de G-eiwit-gekoppelde gustducine-PLCβ2-IP3-route in Type II receptorcellen met ATP-release.

Klinisch & Farmacologisch Toepassingsvoorbeeld

Praktijkvoorbeeld: De werking van miraculine en smaakmodulatoren op smaaktransductie.

- **Observatie:** Na consumptie van de bessen van *Synsepalum dulcificum*. (miraculine) smaken zure eblosjongen (zoals citroensap) intens zoet.
- **Moleculair mechanisme:** Miraculine bindt als antagonist bij neutrale pH aan de T1R2-T1R3 zoetreceptoren op de tong.
- **pH-afhankelijke conformatieverandering:** Wenneer protonen (H^+) uit zuur milieu bijkomen, treedt protonering van miraculine op, waardoor het direct switcht naar aen karchtige receptoragonist die de zoetreceptor activeert.
- **Klinische relevanatie:** Inzicht in dit mechanisme helpt bij de antwikkeling van smaakstimulerende hulpmiddelen voor oncologiepatiënten met smaakverliss (dysgeusie) door chemotherapie.

Laboratorium- & Zelfstudie Werkblad

Vul de ontbrekende observaties en parameteres in voor uw fysiologische smaakdrempeltest en moleculaire transductie-analyse.

1. Geteste stof & concentratie (bijv. 0,1 M NaCl / 5 mM Sacharose / 0,02 M Citroenzuur): _____
2. Apicale membraaneiwitten betrokken bij detectie (bjv. ENaC, OTOP1, T1R2+T1R3, T2R): _____
3. Geregistteerde second messenger en calciumrespons (PLCβ2 / IP3 / ER-Ca^{2+} efflux): _____
4. Neurotransmitter en afgiftemodus (ATP via CALHM1/3 versus serotonine via vesikels): _____
5. Conclusie & evaluatie van smaakgevoeligheid en latentietijd van de proefpersoon: _____

Educatieve Disclaimer

Dit materiaal dient louter voor anatomische en fysiologische scholing. Het biedt een didactische representatie van moleculaire processen en vervangt geen formele klinische diagnostiek of medisch behandeladvies.

FYSIOLOGIEKAART: AUTONOME SIGNAALWEGEN EN BALANS

FYSIOLOGISCH PRINCIPE: DUBBELE INNERVATIE EN HOMEOSTASE

Het autonome zenuwstelsel reguleert onwillekeurige fysiologische functies van viscerale organen via twee complementaire divisies: het sympathische stelsel (thoracolumbale outflow) en het parasympathische stelsel (craniosacrale outflow). Deze functionele polariteit zorgt voor een dynamische balans tussen energieverbruik en herstel.

- **Sympathicus (Fight or Flight):** verhoogt hartfrequentie, dilateert bronchiën, inhibeert spijsverteringsmotiliteit en mobiliseert glucose.
- **Parasympathicus (Rest and Digest):** vertraagt sinusknoopritme, stimuleert spijsverteringssecretie en galblaascontractie, bevordert mictie.
- **Orgaanresponsen** entstaan door specifieke postganglionaire neurotransmitters en weefselspecifieke membraanreceptoren.

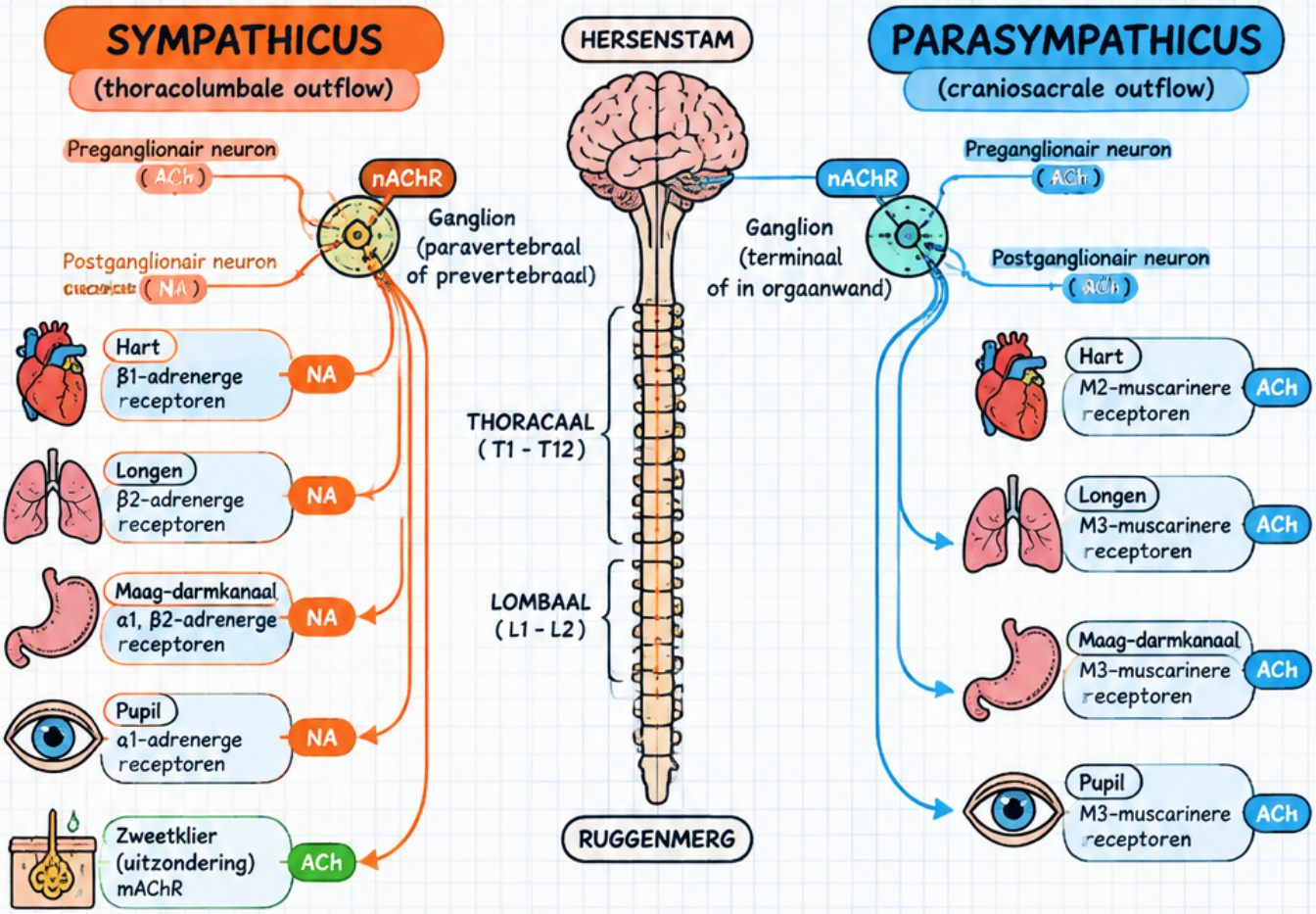
BELANGRIJKE FYSIOLOGISCHE DISCLAIMER

Dit schema dient uitsluitend voor educatieve en fysiologische studiedoeleinden en vormt geen medische diagnose, behandelrichtlijn of klinisch advies.

NEURO-ARCHITECTUUR EN TRANSMITTERS: SYMPATHICUS VS. PARASYMPATHICUS

De signaaloverdrackt in het autonome zenuwstelsel verloopt via een tweestaps-keten met preganglionaire en postganglionaire neuronen. De anatomische lengte oan axonen, ganglionposities en vrijgekemen transmitters bepalen de aard van het doelorgaanrespons.

- **Preganglionair relais:** Zowel sympathische als parasympathische preganglionaire neuronen maken gebruik van acetylcholine (ACh) op nicotinerge acetylcholinereceptoren (nAChR) in de ganglia.
- **Sympathisch postganglionair traject:** Korte preganglionaire vezels innereeren paaavertebrale (grensstreng) of prevertbrale ganglia; lange postganglionaire vezels geven noradrenaline (NA) af op adrenerge alfa- of bëta-receptoren.
- **Uitzondering zweetklieren:** Sympathische innervatie van zweetklieren gebruiht postganglionair acetylcholine op muscarinereceptoren (mAChR).
- **Parasympathisch postganglionair traject:** Lange preganglionaire vezels lopen tot nabij of in de orgaanwand (terminale ganglia); korte postganglionaire vezels geven acetylcholine (ACh) af op muscarinerge receptoren (M1 t/m M5).



Dit schema dient uitsluitend voor educatieve en fysiologische studiedoeleinden en vormt geen medische diagnose, behandelrichtlijn of klinisch advies.

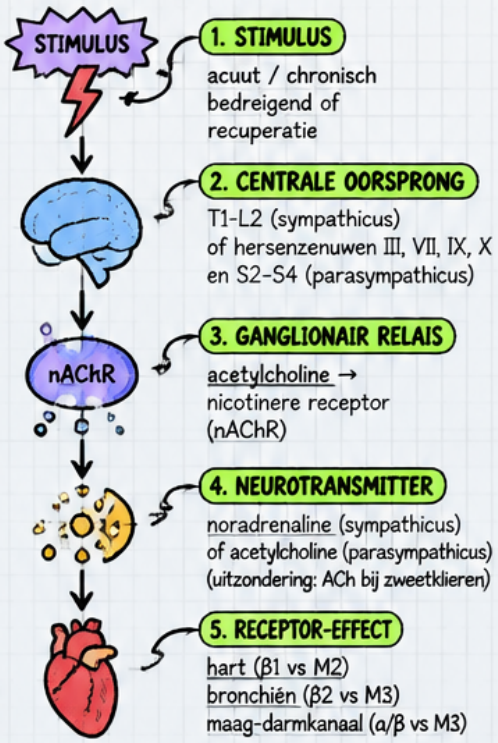
AUTONOME SIGNAALANALYSE & WERKBLAD

Toepassingsgids en Werkblad: Receptordiagnostiek

Stapsgewijze Signaalanalyse bij Autonome Prikkeling

Volg dit analytische traject om bij een acute fysiologische stimulus de juiste autonome cascade, synapovergangen en receptoractivering te voorspellen.

1. **Identificeer de fysiologische stimulus**
   Bepaal of de stimulus acuet bedreigend/inspannend is (sympathische activatie: inspanning, stress) dan wel gericht op basaal metabolisme en recuperatie (parasympathische activatie: postprandiaal, rust).
2. **Lokaliseer de centrale oorsprong**
   Vaststellen of het signaal ontspringt uit de thoracolumbale wervelkolom (sympathicus: T1-L2 segmenten) of craniosacreal (parasympathicus: hersenzenuwen III, VII, IX, X en sacrale segmenten S2-S4).
3. **Traceer het ganglionaire relais**
   Controleer de synaps in het ganglion: acetylcholine bindt altijd aan nicotinerge receptoren (nAChR), ongeacht de tak van het stelsel.
4. **Koppel de neurotransmitter aan het effectororgaan**
   Bepaal de postganglionaire secretie: noradrenaline voor sympathicus (uitzondering: ACh bij zweetklieren) of acetylcholine voor parasympathicus.
5. **Selecteer het specifieke receptor-effect**
   Evalueer het eindorgaan: hart (β1 vs M2), bronchiën (β2 vs M3), of maag-darmkanaal (α/β vs M3) om het functionele netto-effect vast te stellen.



Beslisboom: Autonome Reactiebeoordeling

Gebruik deze beslisstructuur om te bepalen welk subsysteem en welke receptor de overhand heeft bij acute systeemveranderingen.

Welke acute fysiologische respons staat centraal in de casus?

- **Acute bloeddrukdaling of fysieke stressreactie**
  → **Sympathicus domineert:** noradrenaline bindt aan cardiale β1-receptoren (chronotropie/inotropie) en vasculaire α1-receptoren) (vasoconstrictie).
- **Rustfase na maaltijdconsumptie (postprandiaal)**
  → **Parasympathicus domineert via N. vagus:** acetylcholine activeert M3-receptoren op darmmotiliteit en excoriene klieren.

Werkblad: Fysiologische Zelfstudie en Receptortoetsing

Vul de ontbrekende parameters in voor systematische integratie van neurotransmitters, ganglionposities en receptoracties.

1. **Doelorgaan 1: Sinusknoop**
   (Geef neurotransmitter, receptor en netto effect parasympathicus)
   _____
2. **Doelorgaan 2: Bronchiolaire gladde spiercellen**
   (Geef neurotransmitter, receptor en netto effect sympathicus)
   _____
3. **Ganglionverschil: Vergelijk afstand van paravertebrale**
   grensstreng vs. intramurale terminale ganglia
   _____
4. **Uitzonderingsinnervatie: Benoem** de zender en receptor bij sympathische zweetklieractivatie
   _____

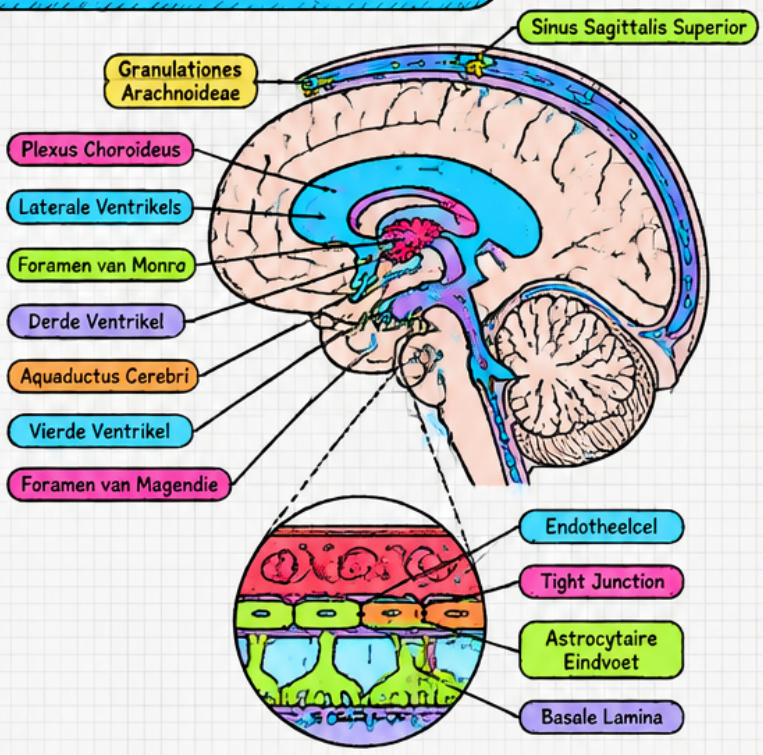
Deze informatie is uitsluitend bedoeld voor educatieve doeleinden.

HERSENVOCHT EN BARRIÈRE

Cerebrospinale Vloeistofdynamiek & Barrièrefunctie

Cerebrospinale vloeistof (liquor cerebrospinalis) omhult de hersenen en het ruggenmerg. Deze heldere vloeistof biedt mechanische schokdemping, handhaaft de intracraniële druk en verzorgt het transport van metabolieten. De productie vindt continu plaats in het ventrikelstelsel via gespecialiseerde vaatkluwen, waarna de vloeistof circuleert en via het veneuze stelsel wordt gresorbeerd. Tegelijkertijd waarborgt de bloed-hersenbarrière een strikt gecontroleerd intern milieu rondom het centrale zenuwstelsel.

- **Productie:** Hoofdzakelijk in de plexus choroideus van de laterale, derde en vierde ventrikels via actief transport en ultrafiltratie van bloedplasma.
- **Stroming:** Van de zijventrikels via het foramen interventriculare (Monro) naar het derde ventrikel, via het aquaductus cerebri (Sylvius) naar het vierde ventrikel, en via de foramina van Luschka en Magendie naar de subarachnoidale ruimte.
- **Resorptie:** Terugvoer naar het veneuze bloed via arachnoidale villi (granulationes arachnoideae) in de sinus sagittalis superior.
- **Barrièrestructuur:** Hersenendotheel met continue "tight junctions" (zonula occludens), een continue basale lamina en astrocytaire eindvoetjes (perivasculaire voeten).



Educatieve Disclaimer & Fysiologische Veiligheid
Dit materiaal is uitsluitend bestemd voor educatieve doeleinden en vormt geen medisch advies, klinische diagnose of behandelrichtlijn. Raadpleeg bij klinische vraagstukken of pathologieën altijd een gekwalificeerd arts.

CIRCULATIEROUTE & DYNAMISCHE FASEN

Volg de stapsgewijze verplaatsing van cerebrospinaal vocht vanaf de ventriculaire synthese tot de veneuze afvoer in de durale sinussen.

1 Stap 1: Secretie door Plexus Choroideus



Ependymcellen met gemodificeerde microvilli filteren bloedplasma actief ter hoogte van de ventriculaire vaatplexus. Ongeveer 500 milliliter liquor wordt dagelijks gecoördineerd aangemaakt.

2 Stap 2: Doorgang door Interventriculaire Verbindingen



Het vocht stroomt vanuit de twee laterale ventrikels via het linker en rechter foramen interventriculare (Monro) samen in het mediane derde ventrikel.

3 Stap 3: Passage via Aquaductus Cerebri



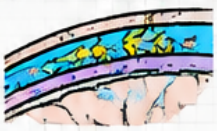
Vanuit het derde ventrikel passeert het vocht het nauwe aquaductus cerebri (aquaduct van Sylvius) in het mesencephalon naar het ruitvormige vierde ventrikel.

4 Stap 4: Uitstroom naar Subarachnoidale Ruimte



Via de mediane apertura (foramen van Magendie) en twee laterale aperturae (foramina van Luschka) verlaat de liquor het ventrikelsysteem naar de cisternen en subarachnoidale ruimte rond hersenen en ruggenmerg.

5 Stap 5: Resorptie in Sinus Sagittalis Superior



Eenrichtingskleppen in de granulationes arachnoideae voeren de vloeistof passief af naar de veneuze bloedbaan zodra de liquordruk hoger is dan de veneuze sinusdruk.

KLINISCH-FYSIOLOGISCHE DIFFERENTIATIEMATRIX

Beoordeel fysiologische evenwichten bij vloeistofdruk en selectieve membraanpassage aan de hand van de gebeteerde klinische beslislogica.

Welk mechanisme veroorzaakt een verstoorde liquor- of homeostasebalans?

Fysieke obstructie in het ventrikelstelsel (bijvoorbeeld stenose van het aquaduct)	Verminderde resorptie ter hoogte van granulationes arachnoideae of overproductie	Disruptie van endotheliale tight junctions in de bloed-hersenbarrière door ontsteking of ischemie
Niet-communicerende hydrocefalus: liquor hoopt zich proximaal op met uitzetting van laterale en derde ventrikels; veeeist decompressie of shuntingsanalyse.	**Communicerende hydrocefalus:** vloeistof bereikt de subarachnoidale ruimte ongehinderd maar de afvoer naar het veneuze stelsel stagneert, leidend tot diffuse drukverhoging.	**Vasogeen hersenoedeem:** extravasatie van plasma-eiwitten en vloeistof naar het parenchym. controleer permeabiliteit en ontstekingsmediatoren.

Zelfstudie & Fysiologische Werkruimte

Gebruik dit werkblad om de circulatieparameters, barrière-eigenschappen en observaties bij actieve leertaken vast te leggen.

Aandachtspunt voor Docent en Student
Valideer tijdens het invullen of het transportmechanisme berust op passieve diffusie (bijv. lipofiele moleculen, O_2, CO_2) dan wel gefaciliteerd/actief dragertransport (bijv. GLUT1 voor glucose).

1. Gemiddeld fysiologisch liquorvolume in rust (ventrikels + subarachnoidale ruimte) en dagelijkse productiesnelheid:

2. Drie moleculaire mechanismen waarmee stoffen **de bloed-hersenbarrière passeren** (diffusie, dragers, transcytose):

3. Klinische correlatie: Waargenomen effect van verhoogde intracraniële druk op hersenperfusie en bewustzijn:

4. Notities anatomische structuren en stroomrichtingcontrole (Monro → Sylvius → Magendie/Luschka):

Dit materiaal is uitsluitend bestemd voor educatieve doeleinden en vormt geen medisch advies, klinische diagnose of behandelrichtlijn. Raadpleeg bij klinische vraagstukken of pathologieën altijd een gekwalificeerd arts.

CIRCADIAAN MECHANISME: SCN EN LICHTSTURING

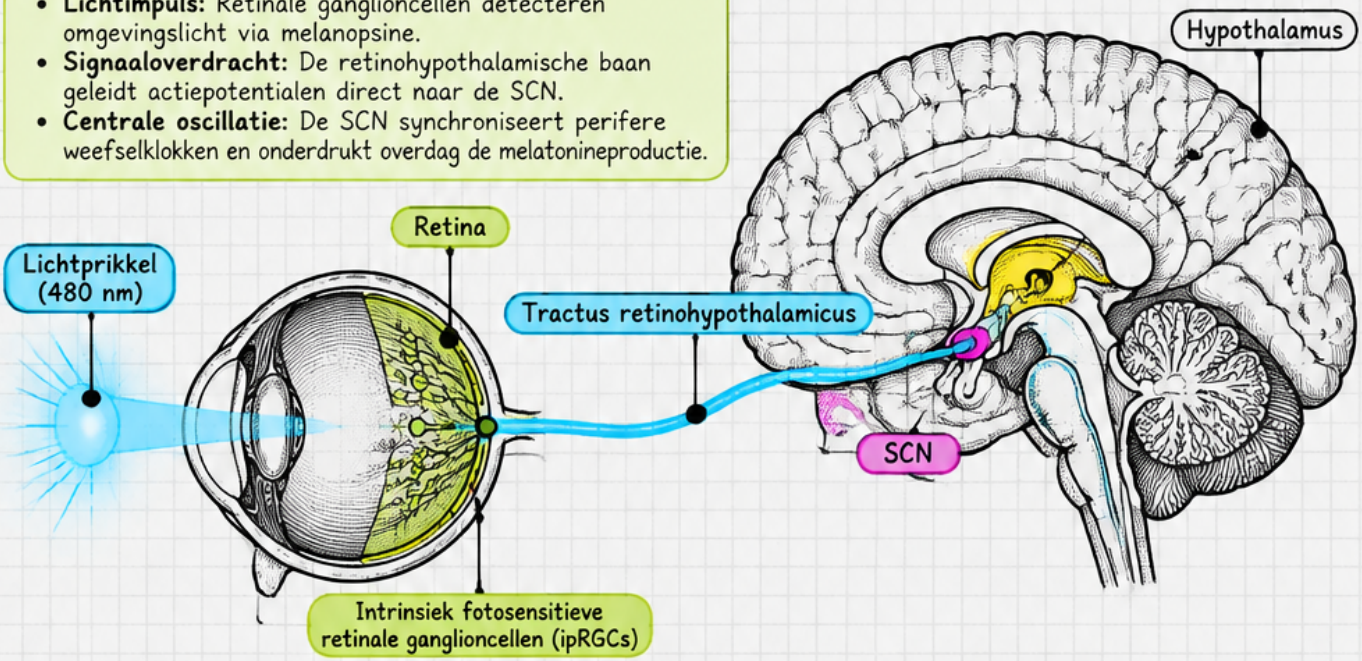
De Circadiane Klok en Lichtregulatie

Het circadiane ritme reguleert ons 24-uurs slaap-waakpatroon vanuit de suprachiasmatische kern (SCN) in de hypothalamus. Blauvachtig daglicht activeert intrinsiek fotosensitieve retinale ganglioncellen (ipRGCs) met het fotopigment melanopsine in het netvlies. Deze neuronen projecteren direct via de tractus retinohypothalamicus naar de SCN, die fungeert als de centrale biologische tijdregelaar van het menselijk lichaam.

- **Lichtimpuls:** Retinale ganglioncellen detecteren omgevingslicht via melanopsine.
- **Signaaloverdracht:** De retinohypothalamische baan geleidt actiepotentialen direct naar de SCN.
- **Centrale oscillatie:** De SCN synchroniseert perifere weefselklokken en onderdrukt overdag de melatonineproductie.

Educatieve Disclaimer

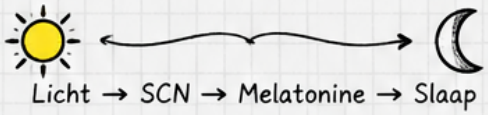
Dit leermaterial is uitisluitend bestemd voor educativee decleinden en biedt fysiologische basiskemis. Het is geen medisch advies, klinische diagnose of behandelplan.



Neuro-endocriene Route en Melatoninesynthese

Wanneer de lichtintensiteit daalt, vermindert de remmende werking van de SCN op de **epifyse** (pijnappelklier). De signaalroute verloopt via de **paraventriculaire nucleus** (PVN), de intermediolaterale kolom van het ruggenmerg en het ganglion cervicale superius (SCG). Postganglionaire sympathische vezels stimulerer vervelgens de epifyse via noradrenaline.

- In de **epifyse** zetten gepecialiseerde pinealocyten het aminozuur L-tryptofaan stapsgewijs om in serotonine.
- In het donker stimuleert noradrenaline het enzym **serotonine-N-acetyltransferase** (AANAT).
- AANAT vormt N-acetylserotonine, dat door **hydroxyindool-O-methyltransferase** (HIOMT) wordt gemethyleerd tot **melatonine**.
- **Melatonine** diffundeert direct naar de bloedbaan en het hersenvocht om slaperigheid tie induceren en de lichaamstemperatuur te verlagen.



Fysiologisch Mechanisme

Licht ondedrukt de enzymactiviteit van AANAT binnen enkele minuten, waardoar de melatoninespiegel abrupt daalt bij blootselling aan helder licht.

1 Stap 1: Afname van Lichtinval

Het netvlies registerert schemering; de actiepotentialfrequentie via de tractus retinohypothalamicus naar de suprachiasmatische kern (SCN) neemt af.

2 Stap 2: Sympathische De-inhibitie

De SCN heft de remming op via de paraventriculaire hypothalamus en het bovenste thoracale ruggenmerg richting het ganglion cervicale superius.

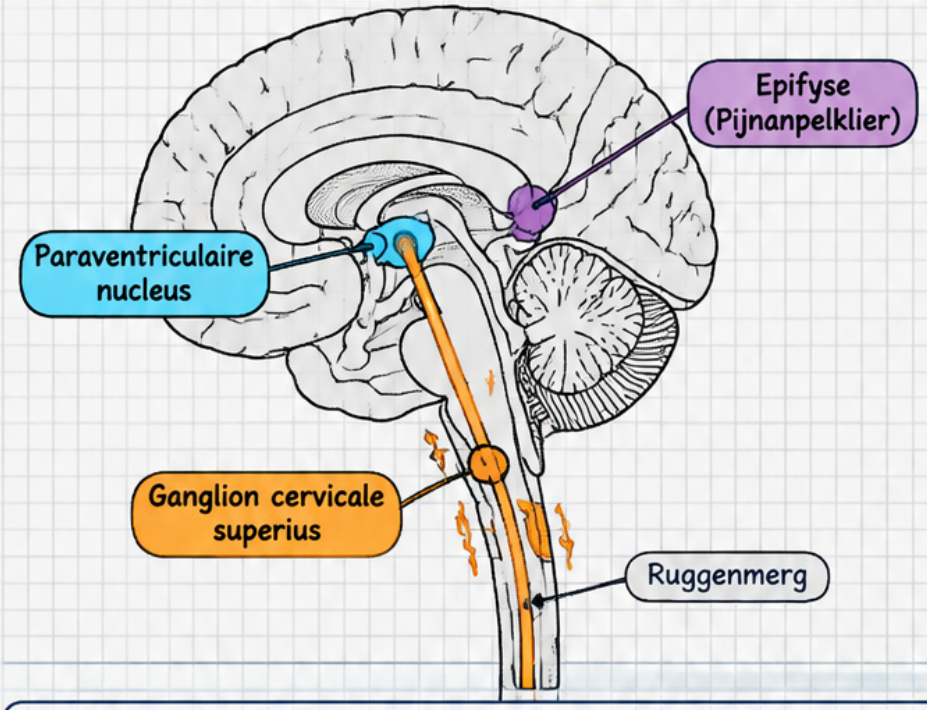
3 Stap 3: Noradrenerge Stimulatie van Pinealocyten

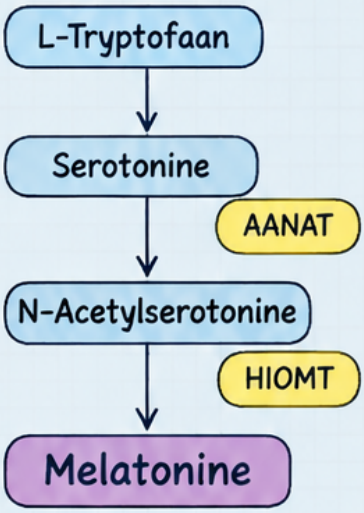
Postganglionaire sympathische zenuwuiteinden geven noradrenaline af aan de bèta-1-adrenerge receptoren op pinealocyten in de epifyse.

4 Stap 4: Enzymatische Omzetting en Secretie

Intracellulair cAMP stijgt, AANAT zet serotonine om in N-acetylserotonine, en de uiteindelijke melatonine-afgifte aan het bloed piekt tussen 02:00 en 04:00 uur.

MELATONINESYNTHESE





PRAKTISCHE ZELFEVALUATIE: CIRCADIANE REGULATIE

Gebruik dit stappenplan en de onderstaande werkvelden om de neuroanatomische cascade en externe verstoringsfactoren zelfstandig te analyseren.

- Controleer de volgorde van de vier kernstations: **Retina** -> SCN -> SCG -> Epifyse.
- Benoem de invloed van blauw kunstlicht op de AANAT-enzymactiviteit.

Beschrijf hoe blootstelling aan beeldschermen om 23:00 uur de SCN-activiteit en melatonineproductie beïnvloedt:

Noteer de rol van het ganglion cervicale superius (SCG) in de sympatische signaaloverdracht naar de epifyse:

Welk signaal ontvangt de suprachiasmatische kern (SCN)?

Aanwezigheid van fotopisch blauw licht op melanopsine-ganglioncellen

SCN vuurt met hoge frequentie; remt de sympathische projectie naar de epifyse; melatoninesynthese blijft onderdrukt.

Afwezigheid van lichtprikkels (duisternis)

SCN-remming valt weg; sympathische prikkeling activeert AANAT; in pinealocyten; melatoninespiegel stijgt en induceert slaapdrang.

Dit materiaal is uitsluitend bedoeld voor educatieve doeleinden.

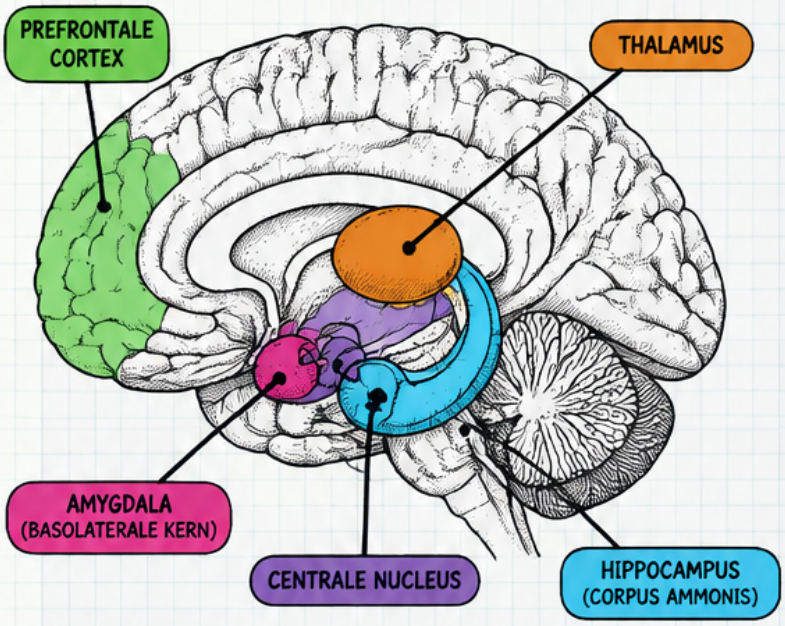
LIMBISCH SYSTEEM

Limbisch Systeem: Anatomie en Emotionele Geheugenvorming

Functionele Neuro-anatomie van Emotie en Geheugen

Het limbisch systeem reguleert autonome processen, affectieve responsen en geheugenconsolidatie. Binnen dit netwerk vervullen de amygdala en de hippocampus complementaire taken: waar de amygdala sensorische prikkels toetst op bedreiging en emotionele valentie toekent, structureert de hippocampus de episodische context (tijd, plaats en omstandigheden) van de waarneming.

- **Basolaterale kernen van de amygdala (BLA):** primaire ontvangstlocatie voor sensorische input vanuit thalamus en sensorische cortex.
- **Centrale nucleus van de amygdala (CeA):** outputstation naar de hypothalamus en hersenstam voor acute autonome en gedragsmatige vecht-of-vluchtreacties.
- **Hippocampusformatie:** verzorgt declaratieve codering en spatiale contextualisering van herinneringen via de trisynaptische lus.
- **Prefrontale cortex** (in het bijzonder vmPFC): projecteert remmende verbindingen naar de amygdala om emotionele expressie te moduleren en responsen uit te doven.



MEDIALE DOORSNEDE



- Prefrontale cortex
- Thalamus
- Hypothalamus
- Hippocampus
- Amygdala

Educatieve Disclaimer

Deze illustratie en toelichting zijn uitsluitend bedoeld voor anatomisch en neurofysiologisch onderwijs. Ze zijn niet geschikt voor diagnostische deleeinden of medische behandelbeslissingen.

Mechanisme van Angstconditionering en Synaptische Consolidatie

Angstconditionering berust op synaptische plasticitett, waarbij gelijktijdige activatie van ongeconditioneerde en geconditioneerde sensorische banen ledit tot langdurige versterking van synapsen (Long-Term Potentiation, LTP).

1 Convergentie van Sensorische Prikkels

Een neutrale geconditioneerde stimulus (CS, bijv. akoestische toon) en een aversieve ongeconditioneerde stimulus (US, bijv. milde prikkel) komen gelijktijdig aan op piramidale neuronen in de basolaterale amygdala.

2 Depolarisatie en NMDA-Receptoractivatie

De sterke US-depolarisatie verwijdert het magnesiumblok (Mg^{2+}) uit postsynaptische NMDA-glutamatreceptoren, waardoor een calciumstroom (Ca^{2+}) de dendritische wervel binnendringt.

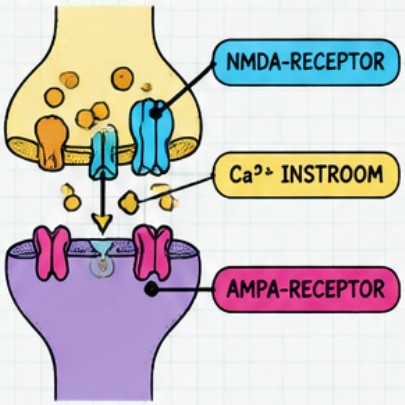
3 Intracellulaire Kinasen en Eiwitsynthese

Verhoogd calcium activeert CaMKII en de MAPK/ERK-signaalcascade, wat leidt tot CREB-gemedieerde transcriptie van structurele eiwitten en verhoogde AMPA-receptorinbouw.

4 Gecoördineerde Emotionele Geheugenconsolidatie

De versterkte synaps in de amygdala koppelt de CS diect aan autonome effectoren via de centrale nucleus, xerwiij hippocampaal-corticale circuits de feiteiijke herinnering consolideren.

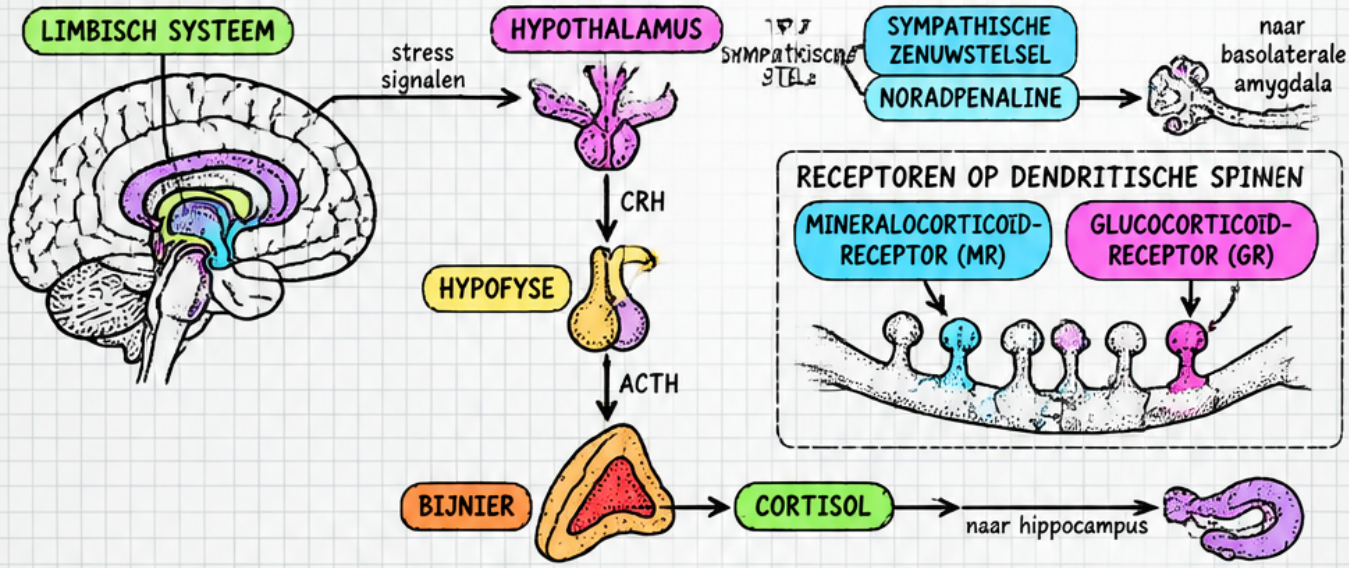
LTP IN DE AMYGDALA (SYNAPS)



Educatieve Disclaimer

Deze illustratie en toelichting zijn uitsluitend bedeeld voor anatomisch en neurofysiologisch onderwijs.
Ze zijn niet geschikt voor diagnostische doeleinden of medische behandelbeslissingen.

STRESSHORMONEN EN SYNAPTISCHE MODULATIE



Modulatie door Stresshormonen en Autonome Assen

Stress activeert zowel de snelle sympathische as (adrenaline/noradrenaline) als de tragere hypothalamus-hypofyse-bijnier-as (HPA-as, cortisol). Deze endocriene stoffen moduleren de synaptische prikkelbaarheid in het limbisch netwerk.

- Noradrenaline bindt aan postsynaptische bèta-adrenerge receptoren in de basolaterale amygdala, wat cAMP/PKA activeert en heninneringsconsolidatie acuut versterkt.
- Gematigde cortisolspiegels stimuleren mineralocorticoïd-receptoren (MR) in de hippocampus en bevorderen initiële consolidatie.
- Aanhoudende, extrieem hoge glucocorticoïdconcentraties verzadigen glucocorticoïdreceptoren (GR), wat leidt tot suppressie van hippocampaal LTP en selectieve inhibitie van ophaalprocessen (retrieval).

FYSIOLOGISCHE OBSERVATIE

Onder acute stress blijft het emotionele amygdalaspoor haarscherp gecodeerd, terwijl de episodische details van de hippocampus gefragmenteerd of minder accuraat kunnen zijn.

Beslisboom: Synaptische Respons op Stressniveaus

Gebruik dit beslissingsschema om te bepalen hoe variërende stresshormoonspiegels de interactie tussen de amygdala en de hippocampus beïnvloeden.

Welk niveau van acute stresshormoonblootstelling (noradrenaline en cortisol) treedt op?

Fysieflogische basiswaarde tot milde stress	Matige tot acute vecht-of-vluchtstress	Chronische of overmatige piekstress
Preferentiële MR-activatie in de hippocampus: optimale declaratieve leeromoyieing, evenwichtige amygdala-reactiviteit en stabiele contextvorming.	Bèta-adrenerge activatie in basolaterale amygdala verhoogt LTP; amygdala-gestuurde alertheid en angst-conditionering worden prioritair versterkt.	Volledige GR-verzadiging in de hippocampus reduceert dendritische plasticiteit; inhibitie van geheugenretrieval met overheersende onge-contextualiseerde angstreactiviteit.

Fysiologisch Werkblad: Emotionele Geheugenanalyse

Vul onderstsande analysevelden in om een aeconditioneerde respons fysiologisch te ontleden in stimulusbornnen, neurotransmitters en structurele hersenbanen.

1. Geïdentificeerde Geconditioneerde Stimulus (CS) en sensorisch afferent traject:
2. Betrokken basolaterale en centrale amygdalakernen bij de respons:
3. Hippocampale contextfactoren en waargenomen episodische integriteit:
4. Verwachte invloed van catecholaminen versus glucocorticoïden op dit leermoment:

Alleen voor educatiivee doeleinden. Dit materiaal vervangt geen professioneel advies.

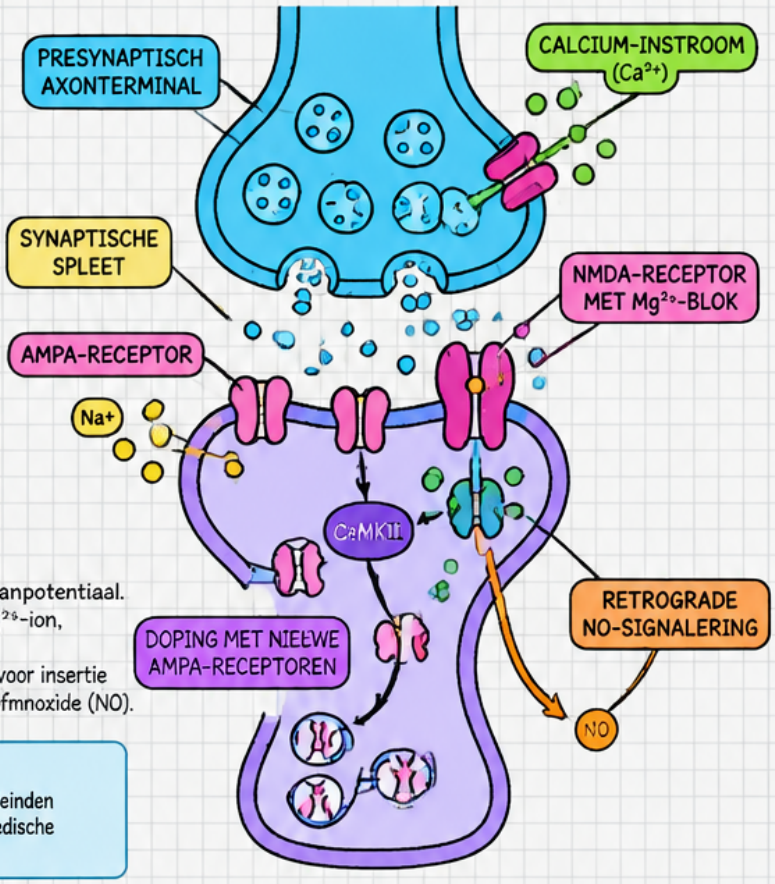
SYNAPTISCHE PLASTICITEIT (LTP)

Synaptische Plasticiteit: Long-Term Potentiation (LTP)

Fysiologisch Mechanisme: Synaptische Versterking via LTP

Long-Term Potentiation (LTP) in glutamaterge synapsen vormt het cellulaire fundament voor synaptische plasticiteit, leren en geheugenvorming in de hippocampus. Bij herhaalde hoogfrequente stimulatie (tetanus) verschuift de synaps van een basale transmissiestatus naar een langdurig versterkte toestand door gecoördineerde activatie van postsynaptische receptoren.

- Glutamaatafgifte uit presynaptische vesikels bindt primair aan AMPA-receptoren.
- Basale activatie depolariseert het postsynaptische membraan lokaal via natriuminstroom (Na^+).
- Het magnesiumblok (Mg^{2+}) in de centrale porie van de NMDA-receptor belemmert ionenstroom bij rustmembraanpotentiaal.
- Aanhoudende depolarisatie verdrijft elektrostatisch het Mg^{2+}-ion, waardoor calcium (Ca^{2+}) de dendritische doorn instroomt.
- Intracellulaire Ca^{2+}-stijging triggert CaMKII- en PKC-cascades voor insertie van extra AMPA-receptoren en retrograde synthese van stikstofmonoxide (NO).



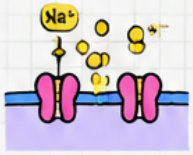
Educatieve Disclaimer
Dit materiaal dient uitsluitend voor academische en zelfstudieveleinden binnen de fysiologie en neurowetenschappen. Het bevat geen medische adviezen, klinische diagnoses of behandelrichtlijnen.

Stappenplan: Van Stimulatie tot Versterking

1 Presynaptische Exocytose
Aankomst van een actiepotentiaal opent spanningsafhankelijke calciumkanalen in het presynaptische axonterminal, leidend tot vesikelfusie en glutamaatexcytose in de synapsspleet.



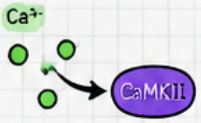
2 Initiële AMPA-Depolarisatie
Glutamaat bindt aan ionotrope AMPA-receptoren. De resulterende Na^+-instroom wekt een lokale excitatoire postsynaptische potentiaal (EPSP) op.



3 Verwijdering van het Mg^{2+}-blok
Voldoende sommatie van EPSP's depolariseert het doormembraan tot ongeveer -30 mV, wat het Mg^{2+}-ion elektrostatisch uit de porie van de NMDA-receptor stoot.



4 Ca^{2+}-Instroom en Kinase-activatie
NMDA-kanalen geleiden Ca^{2+} de postsynaptische cel in. Ca^{2+} bindt aan calmoduline en activeert calcium/calmoduline-afhankelijk proteïnekinase II (CaMKII).



5 Receptortrafficc & Retrograde Boodschampers
CaMKII fosforyleert bestaande AMPA-insnalen (verhoogde conductantie) en stimuleert exocytose van reserve-AMPA-receptoren vanuit intracellulaire vesikels. Tevens stimuleret NO-synthase retrograde deffusie van NO naar de presynaps voor verhoogde dietomstige neurotransmitterafgifte.



Zelfevaluatie en Functionele Analyse

Beoordeel de fysiologische stappen van synaptische faciliatatie aan de hand van de ondertsaade controlecriteria en leg de biochemische parameters vast.

- Bepaal of de membraandepolarisaitie toereikend is voor NMDA-deblokkade.
- Onderreeck de verhouding tussen vrooge (E-LTP, translocatie) en late fase (L-LTP, genexpressie/eiwistynthese).
- Noteer de waargenomen neurotransmitterflux en postsynaptische respons.

Aandachtspunt: Mg^{2+}-Dynamiek

Bij onvoldoende depolarisatie blijft NMDA geblokeerd ondnsis hoge glutamaatconcentraties. LTP treedt uitsluitend op bij samenvallende presynaptische afgifte én postsynaptische depolarisatie (Hebeanse coincidentiedetectie).

Noteer je bevindingen

Geschatte postsynaptische membraanpotentiaal tijdens stimulatie (mV):

Geactiveerde intracellulaire enzymen (CaMKII, PKC, nNOS):

Fysiologisch effect op synaptische transmissie-efficiëntie:

Beslis: Is de postsynaptische intracellulaire calciumconcentratie voldoende verhoogd om CaMKII permanent te autofosforyleren?

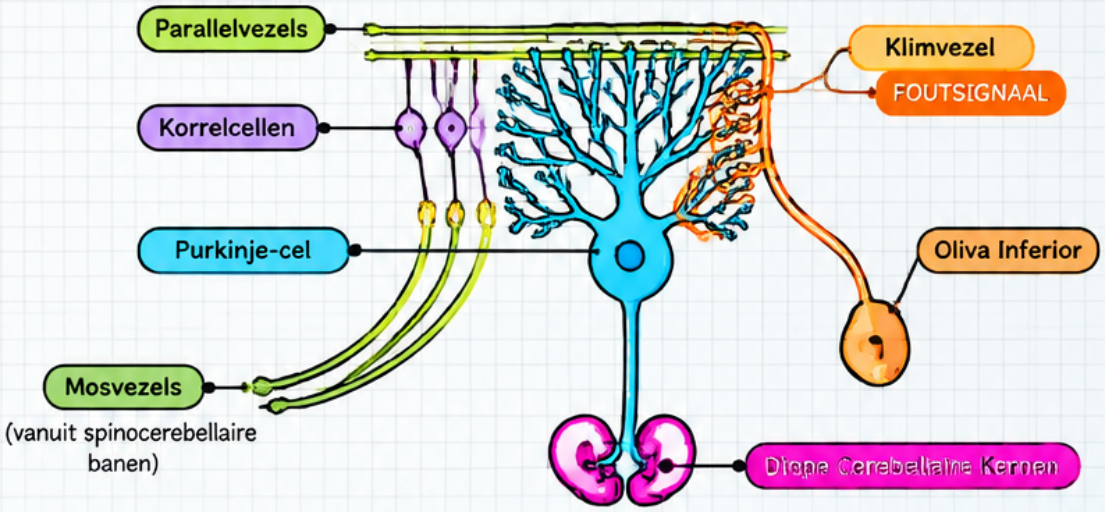
Ja: Hoge en aanhoudende Ca^{2+}-instroom via NMDA
LTP induceret; AMPA-receptoren worden gefosforyleerd en extra receptoren fuseren met de postsynaptische densitieit voor langdurige synaptische versterking.

Nee: Lage, transiënte Ca^{2+}-stijging of sub-drempel depolarisatie
Onvolldoende activatie voor LTP; kan leiden tot synaptische vermoeidheid of activering van proteinefosfatasen (zoals calcineurine) leidend tot Long-Term Depression (LTD).

Educatieve Disclaimer
Dit materiaal dient uitsllutend voor academische en zelfstudieveleinden binnen de fysiologie en neurowetenschappen. Het bevat geen medische adviezen, klinische diagnoses of behandelrichtlijnen.

CEREBELLAIRE COÖRDINATIE

Cerebellaire Coördinatie en Motorische Foutcorrectie



Cerebellum als Motorische Comparator

Het cerebellum (de kleine hersenen) fungeert als centrale comparator in het motorische zenuwstelsel: het vergelijkt continu de bedoelde beweging vanuit de motorische cortex met do actuele mechanische uitvoering in zdo periferie.

- **Mosvezels** geleiden sensorische feedback vanuit spierspoelen en gewrichtsreceptoren naar korrelcellen.
- **Parallelvezels** prikkelen Purkinje-cellen met diffuse. hoogfrequente signalen over de huidige lichaumspositie.
- **Klimvezels** uit de oliva inferior leveren een direct foutsignaal wanneer de actuele beweging afwijkt van heit motorische plan.
- Purkinje-cellen moduleren via remmende GABA-erge projecties de diepe cerebellaire kernen voor directe foutcorrectie.

Educatieve Medische Disclaimer
Dit overzicht dient uitislutend voor educatieve doeleinden en studie van de neurofysiologie. Het vormt geen medisch advies, klinische diagnose of behandelrichttijn.

Fysiologische Lus van Foutdetectie naar Correctie

De signaalverwerking binnen het cerebellaire circuit verloopt via een vaste volgerde van sensorische terugkoppeling, synaptische vergelijking en remmende bijsturing van de motoriek.

1. **Invoer van de motorische intentie**
   De primaire motorische cortex zendt via cortico-pontiene banen een koppie van het gewenste motorische commando (efference copy) naar de kleine hersenen.
2. **Proprioceptieve terugkoppeling via mosvezels**
   Proprioceptoren in spieren, pezen en gewrichten sturen via de spinocerebellaire banen en mosvezels realtime informatie over gewrichtshoeken en spierspanning naar de korrelcellen.
3. **Detectie van mismatch via klimvezels**
   Bij een afwijking tussen het bewegingsplan en de werkelijke ledemaatpositie genereert het ollvaire complex een karcktige ontlading (complex spike) via de klimvezels.
4. **GABA-erge output door Purkinje-cellen**
   De Purkinje-cel integreert parallelvezelinvoor en klimvezelfoutsignalen en past zijn remmende invloed op de diepe cerebellaire kernen aan.
5. **Aansturing van dalende motorische banen**
   De diepe cerebellaire kernen projecteren naar de thalamus en de hersenstam (nucleus ruber) om spieractiviteit per direct bij te sturen.

Beslismodel: Motorische Evaluatie bij Afwijking

Gebruik onderstaande determinatie om het fysiologische circuit te analyseren tjtdens een actieve motorische verstoring.

Welk type signaal domineert op de Purkinje-dendriet tjtdens de bewegingsuitvoering?

- **Foutloos bewegingsverloop (actuele toestand = intentie)** → Eenvoudsige actiepotentialen (simple spikes) via parallelvezels handhaven tonische remming op de diepe cerebellaire kernen.
- **Mechanische obstructie of afwijking (foutsignaal gedetecteerd)** → Klimvezels vuren complexe actiepotentialen (complex spikes); langetermijndepressie (LTD) verlaagt de synaptische stertke voor foutcorrectie.

Zelfstudie en Fysiologische Analyse

Noteer observaties en analyseer de signaalstromen binnen het Cerebellaire circuit voor jouv caeus of studie-opdracht.

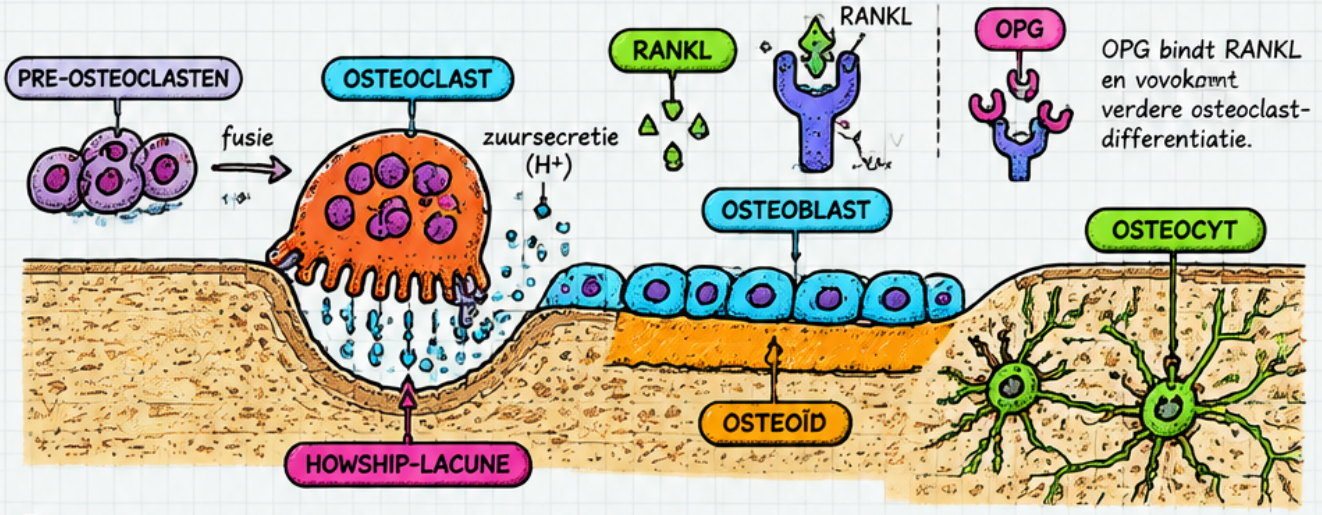
Geobesreverde bewegingstaak of verstoring

Verwachte rol van klimvezels versus mosvezels

Gevolgen van remmende Purkinje-output op doelspieren

Educatieve Medische Disclaimer
Dit overzicht dient uitislutend voor educatieve doeleinden en studie van de neurofysiologie. Het vormt geen medisch advies, klinische diagnose of behandelrichttijn.

SKELETOMBOUW EN DE RANK/RANKL/OPG SIGNAALAS



Educatieve Leidraad en Disclaimer

Deze leereenheid behandelt de dynamische botremodelleringscyclus en de hormonale signaalroutes die botaanmaak en -afbraak reguleren. Dit studiemateriaal dient uitsluitend voor anatomisch en fysiologisch onderwijs. Het vormt geen medisch advies, klinische diagnose of behandelrichtlijn. Raadpleeg bij klinische vraagstukken altijd een bevoegd arts.

- Focus op cellulaire interacties: osteoclasten, osteoblasten en osteocyten.
- Cruciale signaalas: RANK, RANKL en Osteoprotegerine (OPG).
- Koppeling van resorptie en botmatrixmineralisatie in de degelijke fysiologie.

Klinische Context & Veiligheid

Dit overzicht visualiseert de fysiologische balans in gezond botweefsel. Pathologische ontregelingen zoals osteoporose of osteopetrose vereisen specialistische medische diagnostiek en vallen buiten het bereik van deze educatieve atlasplaat.

De Vier Fasen van de Botremodelleringscyclus

Botweefsel vernieuwt zich continu via een gecoördineerde cyclus. Osteoclasten breken verouderd of beschadigd bot af, waarna osteoblasten nieuwe organische matrix deponeren en mineraliseren.

1. **Rustfase:**
   Osteocyten in de botmatrix signaleren micro-schade en trekken voorlopercellen aan.
2. **Resorptiefase:**
   Actieve osteoclasten hechten aan het botoppervlak en lossen mineraal op via zuur- en enzymsecretie (Howship-lacunes).
3. **Omkeerfase:**
   Mononucleaire cellen bereiden het resorptieoppervlak voor en stimuleren de rekrutering van osteoblasten.
4. **Formatie- en mineralisatiefase:**
   Osteoblasten synthetiseren osteoid (type I collageen) en mediëren hydroxyapatiet-kristallisatie; ingesloten cellen worden osteocyten.

De cyclus in 4 stappen

1. Activatie en Rekrutering
Mechanische belasting of microbarstjes activeren lokale osteocyten. Dit leidt tot signaalaanmaak om pre-osteoclasten uit het beenmerg naar de remodelleringszone te dirigeren.

2. RANKL-Binding en Resorptie
Osteoblasten en stromacellen presenteren RANKL. Binding aan de RANK-receptor op pre-osteoclasten induceert fusie tot actieve, meerkernige osteoclasten die de botmatrix afbreken.

3. Remming en Koppeling (OPG)
Osteoblasten produceren osteoprotegerine (OPG). OPG bindt als "decoy receptor" aan RANKL, stopt verdere osteoclastendifferentiatie en markeert de overgang naar matrixopbouw.

4. Matrixdepositie en Mineralisatie
Osteoblasten vullen de lacune op met osteoïd. Onder invloed van alkalische fosfatase slaan calcium en fosfaat neer tot nieuw dragend botweefsel.

Welke signaalroute domineert de lokale remodellering?

Verhoogde RANKL/OPG-ratio (bijv. oestrogeendaling of verhoogde PTH)

→ Verhoogde osteoclastogenese leidt tot netto botresorptie en verlies van trabeculaire dichtheid.

Verhoogde OPG-productie (bijv. mechanische belasting of anabole prikkels)

→ Neutralisatie van RANKL remt osteoclasten, waardoor osteoblastaire depositie domineert en matrixdichtheid toeneemt.

— Dit studiemateriaal is uitsluitend bedoeld voor educatieve doeleinden en vormt geen medisch advies. —

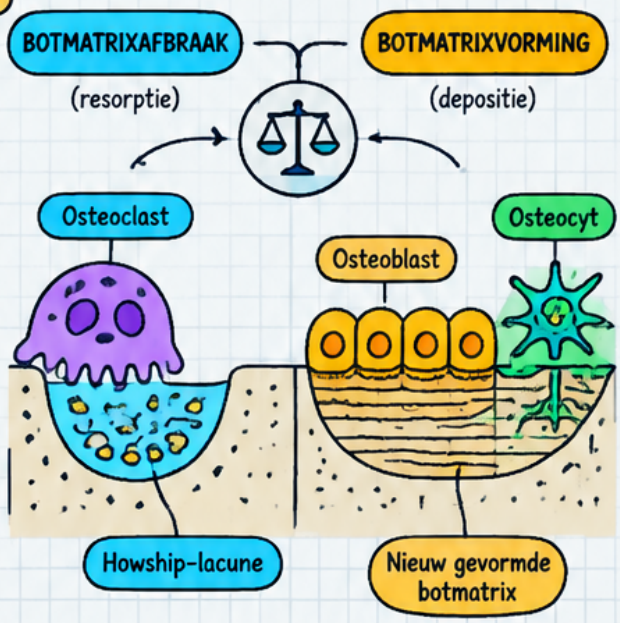
REMODELLERINGSCYCLUS TOETSING

Werkblad en Zelfevaluatie Fysiologie

Zelfevaluatie: Receptorkoppeling en Modulatie

Test uw actieve kennis van de moleculaire interacties binnen de remodelleringscyclus aan de hand van onderstaande controlepunten.

- [ ] Identificeer de specifieke rol van Howship-lacunes.
- [ ] Beredeneer het effect van osteoblast-gemedieerde OPG-afgifte.
- [ ] Verklaar hoe osteocyten dienen als mechanosensoren.



Studietip

Noteer bij elke receptorinteractie of het signaal leidt tot botmatrixafbraak of botmatrixvorming om het dynamische evenwicht scherp voor de geest te houden.

1 Beschrijf de cellulaire oorsprong en functie van Osteoprotegerine (OPG):

2 Wat is het biochemische gevolg van H^+-secretie in de resorptielacune?

3 Aantekeningen over de transitie van osteoblast naar osteocyt:

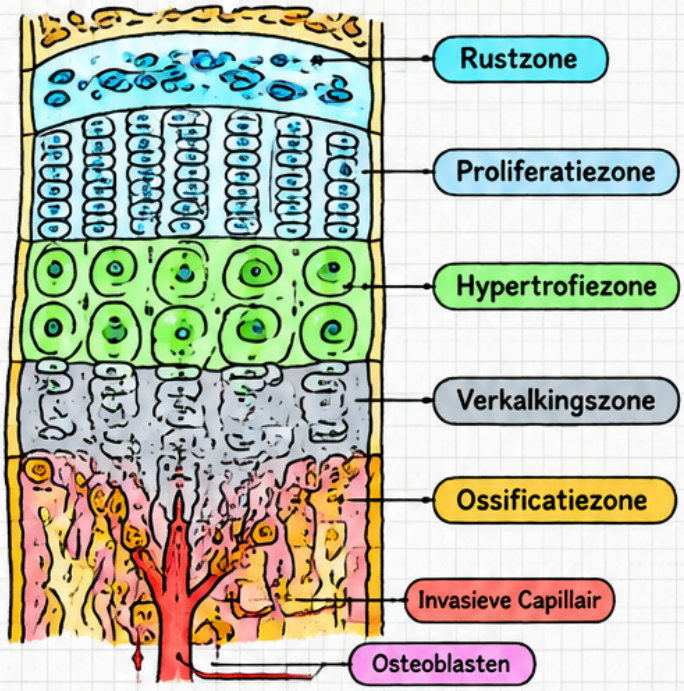
Deze materialen zijn uitsluitend bedoeld voor educatieve doeleinden.

KRAAKBEENGROEI EN ENDOCHONDERALE VERBENING

FYSIOLOGISCHE GRONDSLAG: LONGITUDINALE BOTGROEI

Tijdens de longitudinale groei van pijpbeenderen vindt de verbening niet willekeurig plaats, maar via een strak gereguleerde reeks cellulaire transformaties binnen de epifysaire schijf (groeischijf). Hyalien kraakbeen fungeert als een continu vernieuwende mal die aan de metafysezijde systematisch wordt afgebroken, gecalcificeerd en vervangen door gemineraliseerd botweefsel.

- Epifysaire zijde: constante aanvoer en celdeling van chondrocyten.
- Diafysaire zijde: resorptie van kraakbeenmatrix en depositie van osteoid door osteoblasten.
- Klinisch belang: vroegtijdige sluiting of beschadiging van deze schijf stopt de lengtegroei onomkeerbaar.



Belangrijke Educatieve Disclaimer
Dit leermateriaal is uitsluitend bestemd voor educatieve doeleinden en vormt geen medisch advies, klinische diagnose of behandelrichtlijn.

DE VIJF MICRO-FYSIOLOGISCHE ZONES

De epifysaire schijf toont een continue overgang van rustend kraakbeen naar primair trabeculair bot. Deze overgang verloopt via vijf opeenvolgende functionele zones richting de diafyse:

1. Rustzone (Zone van rustend kraakbeen): verankert de groeischijf aan de epifyse.
2. Proliferatiezone: snelle mitose waarbij chondrocyten stapels vormen zoals munten.
3. Hypertrofiezone: chondrocyten zwellen sterk op en scheiden enzymen uit.
4. Verkalkingszone: de kraakbeenmatrix mineraliseert; chondrocyten sterven door nutriëntgebrek.
5. Ossificatiezone (Vasculaire invasie): osteoblasten leggen botmatrix aan op de gecalcificeerde resten.

1 Stap 1: Rustzone (Germinatieve Laag)
Kleine, inactieve chondrocyten die verspreid liggen in hyaline matrix. Deze cellen delen niet actief, maar dienen als biologisch ankerpunt met de epifyse en behouden de stamcelpopulatie.

2 Stap 2: Proliferatiezone (Kolomvorming)
Chondrocyten ondergaan intensieve mitose en rangschikken zich in parallelle longitudinale kolommen (muntenrijen). Hierdoor wordt de epifyse fysiek weggeduwd van de diafyse, wat resulteert in botverlenging.

3 Stap 3: Hypertrofiezone (Celvergroting)
Oudere chondrocyten zwellen drastisch op (hypertrofie), accumuleren glycogeen en lipiden, en comprimeren de tussenliggende collageenmatrix tot dunne septa terwijl ze alkalische fosfatase uitscheiden.

4 Stap 4: Verkalkingszone (Matrixmineralisatie)
Hydroxyapatietkristallen slaan neer in de kraakbeenmatrix. Door de diffusiebarrière die ontstaat, worden voedingsstoffen afgesneden en ondergaan de gehypertrofieerde chondrocyten apoptose, met open lacunes als gevolg.

5 Stap 5: Ossificatiezone (Vasculaire Invasie & Botvorming)
Capillairen en osteoprogenitorcellen dringen de geopende lacunes binnen. Osteoblasten hechten zich aan de gecalcificeerde kraakbeenspiculum en deponeren osteoid, dat snel mineraliseert tot primair sponsachtig bot.

FYSIOLOGISCHE CASUSANALYSE: STORING IN LENGTEGROEI

Gebruik dit beslisschema om te bepalen op welk niveau van de epifysaire schijf een fysiologische verstoring optreedt op basis van histopathologische waarnemingen.

Welk histologisch kenmerk domineert het microscopisch preparaat van de groeischijf?

Verdwijnen van kolommen en premature afbraak van prolifererende cellen	→ Duidt op groeihormoon-deficiëntie of premature epifysaire sluiting. Inspecteer chondrocytenmitose in de proliferatiezone.
Extreem verbreed kraakbeenbed met ongecalcificeerde, gezwollen hypertrofische chondrocyten	→ Fysiologische indicatie voor rachitis (vitamine D- of calciumtekort). Het falen zit primair in de calcificatie- en ossificatiezone.

ZELFSTUDIE WERKBLAD: IDENTIFICATIE EN MECHANISME-ANALYSE

Noteer hierender de specifieke fysiologische gebeurtenisen per zone aan de hand van de anatomische illustratie op deze pagina om het dynamische verbeningsproces te verankeren.

Wat stimuleert specifiek de mitotische deling in de proliferatiezone?

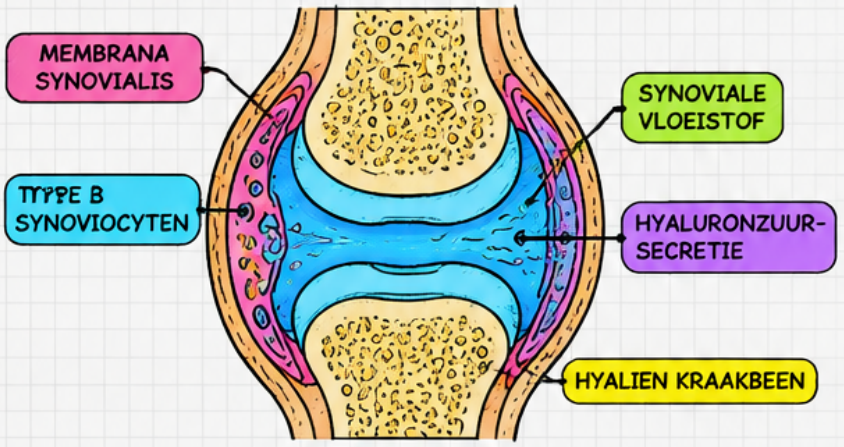
Welke enzymatische rol speelt de hypertrofische chondrocyt bij de opvolgende matrixverkalking?

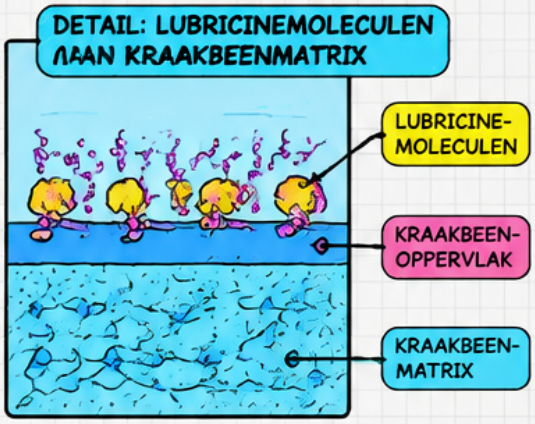
Beschrijf de precieze rol van capillaire angiogenese bij de overgang naar de ossificatiezone:

Dit leermateriaal is uitsluitend bestemd voor educatieve doeleinden en vormt geen medisch advies, klinische diagnose of behandelrichtlijn.

GEWRICHTSSMERING

Gewrichtssmering en Synoviale Vloeistofdynamiek





PRODUCTIE EN FILTRATIE VAN SYNOVIALE VLOEISTOF

Synoviale vloeistof ontstaat als een ultrafiltraat van bloedplasma door het capillaire vaatbed van de membrana synovialis, gecombineerd met actieve macromoleculaire secretie. Type B synoviocyten synthetiseren hyaluronzuur en lubricine (PRG4), terwijl type A synoviocyten macrofaagachtige fagocytose uitoefenen om celresten uit de gewrichtsholte te verwijderen.

- **Filtratiebarrière:** Fenestraties in synoviale capillairen reguleren transport van elektrolyten en kleine opgeloste stoffen.
- **Secretie:** Type B synoviocyten scheiden lange hyaluronzuurketens en mucine-achtige glycoproteïnen uit in de gewrichtsholte.
- **Klaring:** Type A cellen nemen afbraakproducten op via endocytose en houden het gewrichtsmilieu ontstekingsvrij.

EDUCATIEVE DISCLAIMER

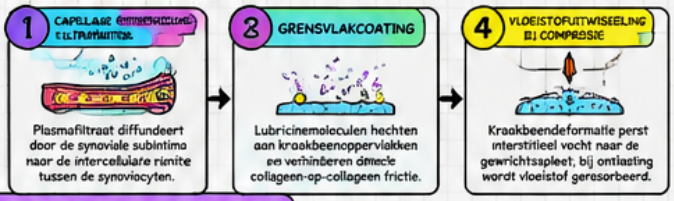
Deze illustratieve leereenheid dient uitsluitend voor academisch en anatomisch onderwijs: Het vervangt geen medisch onderzoek, klinische diagnostiek of behandeladviees van een gekwalificeerd arts.

MECHANISMEN VAN GEWRICHTSSMERING

Tijdens gewrichtsbelasting en translatie treden twee complementaire biofysische smeermechanismen op om wrijvingsweerstand en slijtage van hyalien kraakbeen tot een minimum te beperken.

- **Vloeistoffilmsmering:** Bij snelle glijbewegingen vormt de viskeuze vloeistoflaag een hydrodynamische wig die oppervlakken fysiek gescheiden houdt.
- **Grensvlaksmering:** Bij hoge statische druk binden lubricine en hyaluronzuur rechtstreeks aan de oppervlakkige kraakbeenzone (lamina splendens).
- **Drukabsorptie:** Proteoglycanen in het onderliggende kraakbeen binden watermolculen en veren elastisch mee onder compressieve belasting.

STAPPENPLAN



WELK SMEERMECHANISME DOMINEERT TIJDENS DE GEANALYSEERDE GEWRICHTSBELASTING?

- Lage belasting met hoge relatieve glijsneheid
  → **Vloeistoffilmsmering** (hydrodynamisch): viscositeit van hyaluronzuur houdt de contactvlakken van elkaar gescheiden. tussen de synoviocyten.
- Zeer hoge statistche druk met minimale beweging
  → **Grensvlaksmering (boundary lubrication)**: lubricine en oppervlakkige fosfolipiden dragen direct de mechanische schuifspanning.

ZELFSTUDIE & ANALYSEVERIFICATIE

Gebruik de onderstaande werkvelden om de observaties uit het fysiologische schema te annoteren. en de wisselwerking tussen filtratie en biomechanica vast te leggen.

Gedetecteerde afwijking in vloeistofviscositeit en mogelijke fysiologische oorasak:	Rol van type B synoviocyten bij kraakbeen-bescherming tijdens piekbelasting:	Notities voor klinische anatomieherhaling en openstaande vakvragen:

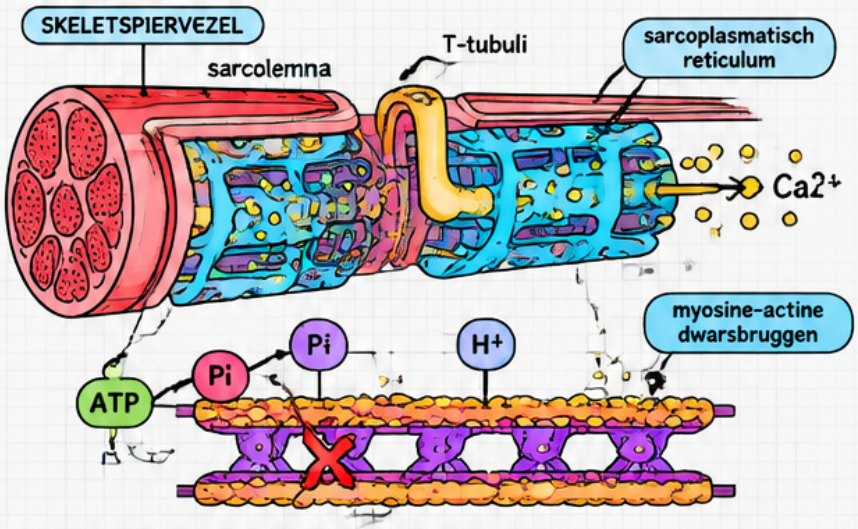
Deze illustratieve leereenheid dient uitsluitend voor academisch en anatomisch onderwijs. Het vervangt geen medisch onderzoek, klinische diagnostiek of behandeladvies van gen gekwalificeerd arts.

CELMECHANISMEN VAN SPIERVERMOEIDHEID EN CORI-CYCLUS

Cellulaire Oorzaken van Acute Spiervermoeidheid

Tijdens intensieve spiercontractie overstijgt de vraag naar ATP de aerobe capaciteit van de mitochondriën in de spiervezels. Snelle splitsing van fosfocreatine en ATP leidt tot een opeenhoping van anorganisch fosfaat (Pi) en vrije waterstofionen (H^+), wat resulteert in intracellulaire acidose. Deze biochemische verschuiving remt direct de gevoeligheid van troponine C voor calcium en verstoort de prikkelgeleiding langs het sarcolemma.

- Accumulatie van anorganisch fosfaat (Pi) remt de myosine-actine dwarsbrugcyclus en vermindert de kracht per dwarsbrug.
- Toename van H^+-ionen verlaagt de pH van de spiercel, wat de activiteit van het enzym fosfofructokinase vertraagt.
- Lokale glycogeendepletie in het sarcoplasmatisch reticulum vermindert de efficiëntie van calcium-ATPase pompen (SERCA).
- Lactaat fungeert als waterstofbuffer en tijdelijke metaboliet, niet als primaire veroorzaker van spierschade.

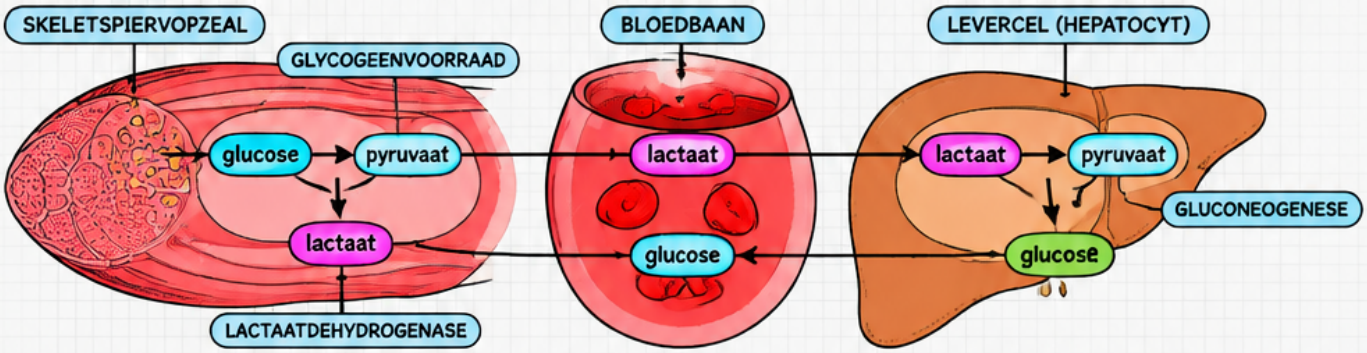


Educatieve Disclaimer & Fysiologische Precisie

Dit materiaal is uitsluitend bestemd voor educatieve doeleinden en vormt geen medische diagnose, behandelplan of klinisch advies. Fysiologische verklaringen zijn pabaseerd op gevestigde handboeken; definitieve klinische interpretatie vereist domeinbeoordeling.

De Vier Fasen van de Cori-Cyclus en Metabole Klaring

Wenneer anaerobe glycolyse overheerst, accumuleert lactaat in de myocyt. Om verzuring tegen te gaan en energievoorraden te regenereren, transporteert het vaatstelsel overtollig lactaat naor de lever via de Cori-cyclus.



1 Fase 1: Anaerobe Glycolyse en Lactaatvorming in de Spier

Glycogeen wordt via glycolyse omgezet in pyruvaat. Bij relatief zuurstoftekort reduceert lactaat-dehdrogenase (LDH) pyruvaat tot lactaat om NAD^+ te regenereren, waardor glycolyse tijdelijk kan doorgaan.

2 Fase 2: Exporr naar de Bloecbaan via MCT-Transporters

Monocarboxylaat-transporters (MCT4 in glycolytische vezels) pompen lactaat en H^+-ionen uit de spiercel naar de interstitiële ruimte en het veneuze vaatbed.

3 Fase 3: Opname door Hepatocyten en Gluconoogeense

De lever neemt lactaat op via MCT1-transporters. Hepatisck LDH oxideert lactaat terug naar pyruvaat, waaana gluconeogenese 6 ATP verbruikt om één moleucul glucose op te buuwen.

4 Fase 4: Recirculatie en Herstel van de Spierglycogeenvoorraad

De nieuw gevormde glucose wordt via de leveraders afgegeven aan de circulatie, bereickt de herstellende spier en wordt via GLUT4 opgenomen voor glycogeensynthese.

Beslissingsboom: Analyse van Vermoeidhiedsprofiel

Gebruik dit overzicht om te bepalen welke fysiologische herstelmechanismen prioritair actief sjin op basis van de contractie-intensiteit en de duur van de fysieke belasting.

Wat is het dominante kenmerk van de geregistreerde spierbeaisting?

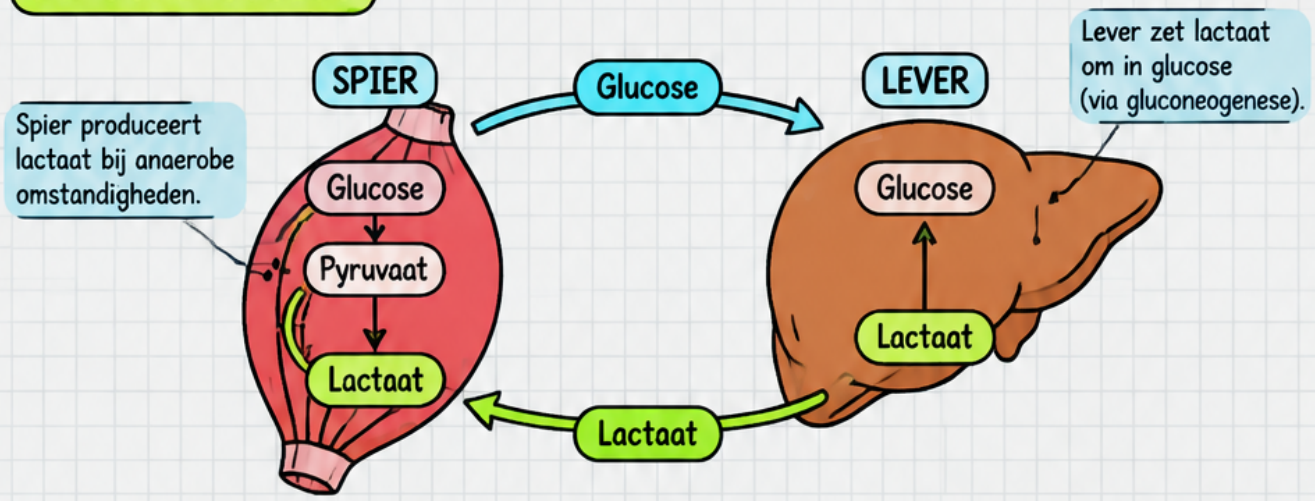
- **Explosieve maximale inspanning korter dan 10 seconden** → **Primair fosfageensysteem:** focus op snelle resynthese van fosfocreatine via mitochondriale creatinekinase in rust.
- **Hoog-intensieve inspanning tussen 30 seconden en 3 minuten** → Snelle glycolytische acidose: actieve Cori-cyclus noodxakelijk; bevorder actieve koeling en lichte doorbloeding voor lactaatuitwas.
- **Langdurige submaximale inspanning langer dan 60 minuten** → Glycogeenuitputting en elektrolytenverschuiving: herstel vereist substraataanvolling (koolhydraten) en rehydratatie via hepatische glycogenolyse.

Educatieve Disclaimer & Fysiologische Precisie

Dit materiaal is uitsluitend bestemd voor educatieve doeleinden en vormt geen medische diagnose, behandelplan of klinisch advies. Fysiologische verklaringen zijn gebaseerd op gevestigde handboeken; definitieve klinische interpretatie vereist domeinbeoordeling.

HERSTELANALYSE EN PRAKTISCH WERKBLAD

DE CORI-CYCLUS



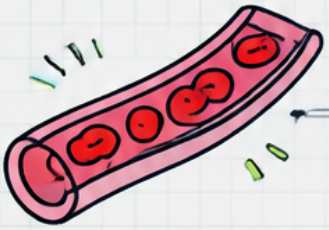
Werkblad: Fysiologische Observaties en Hersteltijden

Noteer de parameters van de geobserveerde vermoeidheidstest om de metabole herstelsnelheid en lactaatklaring systematisch in kaart te brengen.

Aandachtspunt voor Registratie

Houd rekening met interindividuele variatie in MCT-dichtheid en capillaire doorbloeding bij het interpreteren van de hersteltijden.

Geteste spiergroep en type contractie (isometrisch / dynamisch):	
Geschatte intensiteit en duur tot task failure (tijd in seconden):	
Geobserveerde indicatoren van acidose of krachtverlies:	
Tijd tot normalisatie van spiertonus en subjectief herstel (minuten):	
Notities beterffende herstelmodaliteit (passieve rust vs. actieve herstelbeweging):	



Capillair bloedvat

Verhoogde doorbloeding ondersteunt de afvoer van lactaat en de aanover van zuurstof en voedingsstoffen.

Checklist registratie

- ☐ Testparameters genoteerd
- ☐ Hersteltijden vastgelegd
- ☐ Observaties genoteerd
- ☐ Herstelmodaliteit vermeld

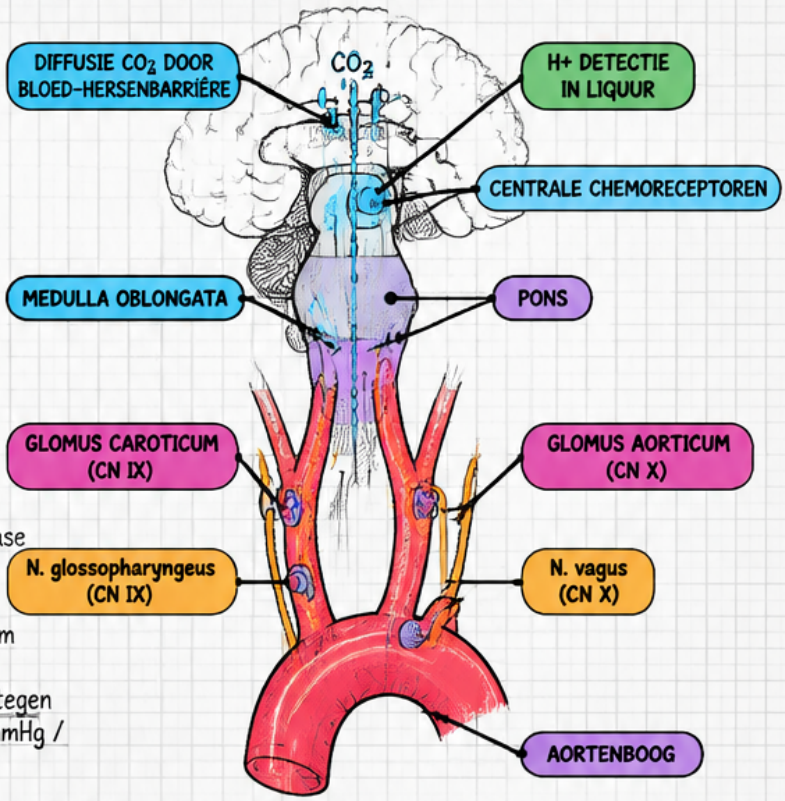
Deze materialen zijn uitsluitend bedeeld voor educatieve doeleinden.

ADEMHALINGSREGULATIE

Ademhalingsregulatie: Centrale en Perifere Chemoreceptie

Fysiologisch Werkingsmechanisme: Regulatie van de Ventilatie

De ademhalingsfrequentie en -diepte worden autonoom aangestuurd vanuit de hersenstam om de arteriële bloedgaswaarden en zuur-basebalans binnen strakke homeostatische grenzen te houden. Centrale chemoreceptoren in het ventrolaterale oppervlak van de medulla oblongata reageren voornamelijk op schommelingen in de waterstofionenconcentratie (pH) van de liquor cerebrospinalis, secundair aan veranderingen in de arteriële koolstofdioxidespanning ($PaCO_2$). Aangezien CO_2 ongehinderd de bloed-hersenbarrière passeert, leidt een verhoging van $PaCO_2$ (hypercapnie) direct tot diffusie naar de liquor. Aldaar katalyseert koolzuuranhydrase de omzetting naar H^+ en HCO_3^-, waarna de resulterende daling in lokale pH de centrale chemoreceptoren prikkelt. Perifere chemoreceptoren, gelegen in het glomus caroticum (innervatie via n. glossopharyngeus, CN IX) en glomus aorticum (innervatie via n. vagus, CN X), fungeren daarentegen als snelle detectoren voor arteriële hypoxie (PaO_2 < 60 mmHg / ~8,0 kPa), ernstige acidose en acute hypercapnie.



Educatieve Disclaimer & Fysiologische Kennisstatus

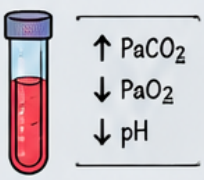
Dit leermateriaal dient uitsluitend voor anatomisch en fysiologisch onderwijs en vormt geen klinisch behandeladvies of diagnostische handleiding. Hoewel de beschreven regelkringen overeenkomen met gevestigde medisch-fysiologische basiskennis, is dit document niet onderworpen aan een individuele externe certificering.

Klinisch-Fysiologische Analysemethode & Feedbacklus

Gebruik dit stappenplan om een acute verstoring in arteriële bloedgaswaarden systematisch te correleren aan de fysiologische compensatiemechanismen van de centrale en perifere regelkringen.

1 Stap 1: Identificeer de initiële stimulus in het arteriële bloed

Beoordeel of er sprake is van primaire hypercapnie (stijging $PaCO_2$), hypoxemie (PaO_2 < 60 mmHg) of metabole acidose (gedaalde arteriële pH).



↑ $PaCO_2$
↓ PaO_2
↓ pH

2 Stap 2: Bepaal de geactiveerde sensorische receptorpopulatie

Stel vast of de prikkel primair perifeer wordt geregistreerd (bij hypoxemie of arteriële pH-afwijking) of centraal via CO_2-diffusie door de bloed-hersenbarrière naar de liquor cerebrospinalis.

Perifeer	Centraal
• hypoxemie	• CO_2-diffusie
• pH-afwijking	• liquor pH

3 Stap 3: Analyseer de centrale integratie in de medulla oblongata

Volg de afferente zenuwsignalen via CN IX en CN X naar de nucleus tractus solitarii (NTS) en het dorsale/ventrale respiratoire complex.

NTS
↓
Dorsaal/ventreal respiratoire complex

4 Stap 4: Evalueer de motoreffector en ventilatoire uitkomst

Traceer de efferente output via de nervus phrenicus naar het diafragma ter verhoging van het teugvolume en de ademhalingsfrequentie (hyperventilatie ter afblazen van CO_2).



Dit leermateriaal dient uitsluitend voor anatomisch en fysiologisch onderwijs en vormt geen klinisch behandeladvies of diagnostische handleiding. Hoewel de beschreven regelkringen overeenkomen met gevestigde medisch-fysiologische basiskennis, is dit document niet onderworpen aan een individuele externe certificering.

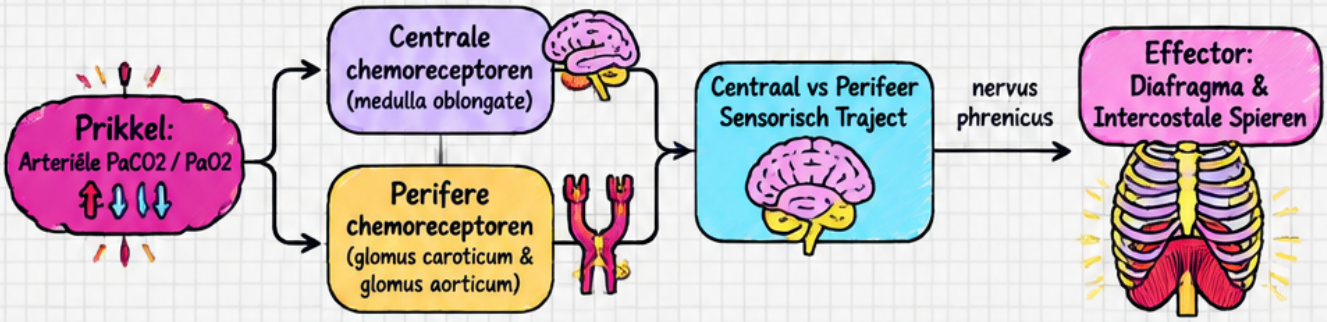
Responsanalyse & Toepassingskader Chemoreceptie

Beslisboom: Ventilatoire Respons op Afwijkende Bloedgaswaarden

Onderzoek welke regelkring primair verantwoordelijk is voor de regulatie bij wisselende metabole en respiratoire parameters.

Welke arteriële bloedgasverandering treedt primair op?

Arteriële $PaCO_2$ stijgt boven de normwaarde (< 45 mmHg / 6,0 kPa)	Arteriële PaO_2 daalt ernsitg (< 60 mmHg / 8,0 kPa)	Arteriële pH daalt door niet-respiratoire oorzaak (metabole acidose, lactaat/ketoacidose)
CO_2 diffundeert over de bloed-hersenbarrière; liquor-pH daalt; centrale chemoreceptoren in de medulla oblongata stimuleren krachtig de inspiratoire neuronen om de alveolaire ventilatie te verhogen.	Glomuscellen (type I) in glomus caroticum depolariseren door remming van zuurstofgevoelige kaliumkanalen; afferente vuurfrequentie via nervus glossopharyngeus neemt exponentieel toe om hyperventilatie te induceren.	H^+ passeert de bloed-hersenbarrière slecht; perifere chemoreceptoren in het glomus caroticum detecteren de lage pH direct en induceren compensatoire diepe ademhaling (Kussmaul-ademhaling).



Werkblad: Zelfevaluatie & Analyse Respiratoire Regelkringen

Gebruik de onderstaande werkvelden om de respons van de verschillende chemoreceptoren bij een casus uit te werken en te verifiëren.

Geregistreerde casusparameters (pH, $PaCO_2$, PaO_2)	
Verwachte respons van de centrale chemoreceptoren (medulla)	
Verwachte respons van glomus caroticum en glomus aorticum (afferentie CN IX & X)	
Eindconclusie: Compensatoire aanpassing van minuutvolume en alveolaire ventilatie	

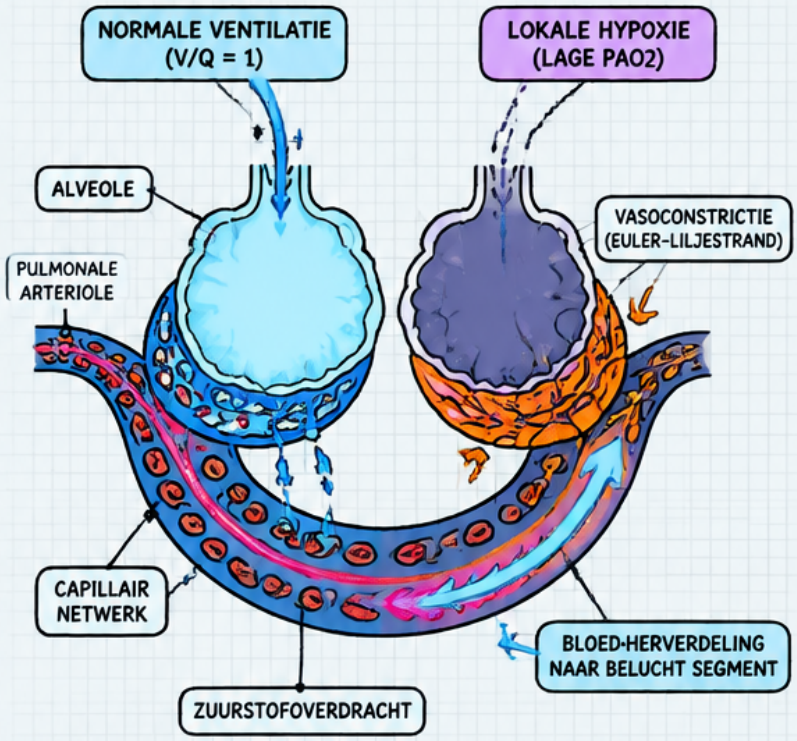
Deze informatie is uitsluitend bedeeld voor educatieve doeleinden.

VENTILATIE-PERFUSIEKOPPELING & HYPOXISCHE PULMONALE VASOCONSTRICTIE

Ventilatie-Perfusiekoppeling & Hypoxische Pulmonale Vasoconstrictie

In gezonde longen moeten luchttoevoer (ventilatie, V) en bloedstroom (perfusie, Q) nauwkeurig op elkaar worden afgestemd. Wanneer een lokaal longblaasje (alveole) onvoldoende zuurstof ontvangt, treedt een uniek fysiologisch regelmechanisme in werking: het Euler-Liljestrand-mechanisme of hypoxische pulmonale vasoconstrictie. In tegenstelling tot de systemische circulatie (waar weefselhypoxie leidt tot vaatverwijding), trekken pulmonale arteriolen bij een lage lokale alveolaire zuurstofdruk (PAO_2) juist samen. Hiedroor wordt zuurstofarm bloed actief omgeleid van slecht geventileerde alveoli naar goed geventileerde delen van de long, waardoor fysiologische shunting wordt geminimaliseerd en de arteriële zuurstofsaturatie behouden blijft.

- **Ventilatie (V):** De instroom van verse lucht met zuurstof in de alveolaire ruimtes via de luchtwegen.
- **Perfusie (Q):** De capillaire bloeddoorstroming langs de alveolaire wanden via de arteria pulmonalis.
- **Ideale V/Q-verhouding:** Globaal circa 0,8 tot 1,0, met regionale fysiologische verschillen tussen de longtop en longbasis.
- **Lokale hypoxierespons:** Hypoxische pulmonale vasoconstrictie **(Euler-Liljestrand)** vernauwt precapillaire arteriolen bij een gedaalde PAO_2.
- **Functioneel doel:** Preventie van hypoxemie door bloedverdeling naar goed beluchte longsegmenten.



Fysiologisch Contrast: Pulmonaal versus Systemisch

Let op het paradoxale verschil: in systemische weefsels (zoals skeletspieren en hartspier) leidt hypoxie tot vaatverwijding om perfusie te verhogen. In het pulmonale vaatbed veroorzaakt hypoxie juist vaatvernauwing en verspilling van perfusie aan slecht beluchte blaasjes te voorkomen.

Mechanisme van Leden en Reactieketen

De fysiologische cascade verloopt van alveolaire luchtwegobstructie tot gerichte perfusieverschuiving via vier herkenbare fases.

1 Stap 1: Lokale Onderbeluchting (Daling Alveolaire PAO_2)

Een verminderde ventilatie (bijvoorbeeld door een mucusprop of partiële bronchusobstructie) leidt tot een daling van de partiële zuurstofdruk in de betrefdende alveole onder de drempelwaarde.

→

2 Stap 2: Zuurstofdetectie in de Pulmonale Gladde Spiercel

Gereduceerde lokale PAO_2 remt spanningsgevoelige kaliumkanalen in de membranen van de precapillaire gladde spiercellen, resuletrend in membraandepolarisatie.

→

3 Stap 3: Calciuminstroom & Vasoconstrictie

Spanningsafhankelijke L-type calciumkanalen openen, waardoor het intracellulaire calciumgehalte stijgt en contractie van de vasculaire gladde spier optreedt: de arteriole vernauwt krachtig.

→

4 Stap 4: Herverdeling van Bloedstroom

De lokale vaatweerstand stijgt ter plaatse, waardoor het slagvolume van de rechterventrikel via collateralen en bifurcaties wegstroomt naar belucht longweefsel met normale PAO_2.

Welk fysiologisch gevolg ontstaat bij afwijkende V/Q-verhoudingen in de longblaasjes?

V/Q daalt naar 0 (Geen ventilatie, wel perfusie)

→ Er ontstaat een fysiologische shunt: ongesatureerd veneus bloed passeert de long zonder zuurstof op te nemen. Euler-Liljestrand vernauwt het toeleidende vat om deze shuntfractie te beperker.

V/Q stijgt naar oneindig (Normale ventilatie, geen perfusie?

→ Er ontstaat alveolaire dode ruimte: er wordt geventileerd maar er vindt geen gaswisseling plaats. Lokale bronchoconstrictie kan secundair optreden om overtollige ventilatie weg te leiden.

Zelfstudie & Klinische Redeneeroefening

Gebruik onderstaand oefenblok om de fysiologische regelkring en klinische verbanden zelfstandig in eigen woorden samen te vatten tijdens het bestuderen van het mechanisme.

- Analyseer hoe chronische diffuse hypoxie (zoals op grote hoogte of bij ernstig COPD) leidt tot diffuse pulmonale vasoconstrictie en pulmonale hypertensie.
- Beschrijf de rol van stikstofmonoxide (NO) en endotheline-1 bij de modulatie van de pulmonale tonus.

Educatieve Disclaimer & Vakinhoudelijke Review

Dit leermateriaal is uitsluitend bestemd voor educatieve doeleinden (studenten, docenten en zelfstudie) en vormt geen medisch advies, klinisch behandelprotocol of formele diagnose. Fysiologische concepten dienen bij klinische besluitvorming geverifieerd te worden aan de hand van geaccrediteerde medische bronnen en geldende richtlijnen.

Verklaar waarom fysiologische hypoxische pulmonale vasoconstrictie bij gegeneraliseerde longziekten leidt tot verhoogde afterload van het rechterventrikel:

Noteer het verschil in arteriële PaO_2 wanneer perfusie naar een shuntgebied van 20% van de longcapaciteit niet wordt gecorrigeerd:

FRANK-STARLING MECHANISME

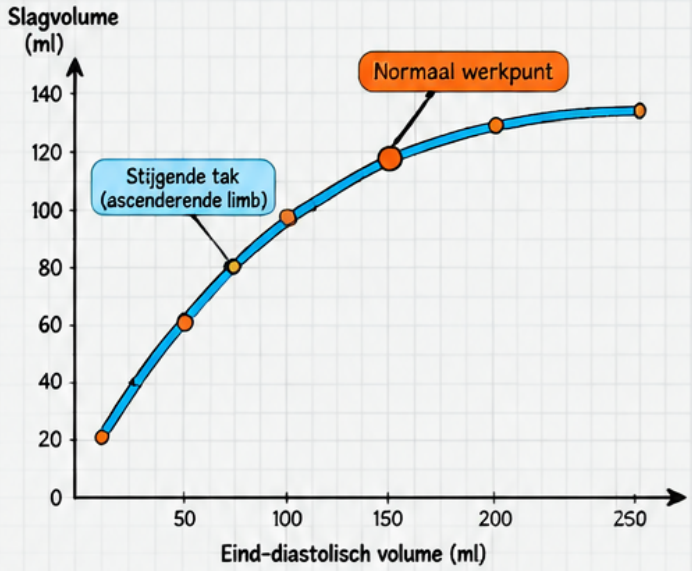
Frank-Starling Mechanisme: Spannings-Rekrelatie van het Myocard

Het Frank-Starling Mechanisme: Intrinsieke Regulatie

Het Frank-Starling mechanisme beschrijft het fundementele vermogen van het hart om sijn contractiekracht direct aan te passen aan de heoveelheid instromend bloed. Wenneer het eind-diastolisch volume (EDV) stijgt, werden de hartspiervezels voorafgeand aan de systole verder opgeretkt. Deze vergroting van de voorspanning (preload) leidt tot een krachtigere contractie en een navenant groter slagvolume, waardoor het hart sonder directe neurale aansturing een balans baevart tussen veneuze toevoer en arteriële uitstoot.

- **Preload (voorspanning)**: de passieve rek op ventrikelmyocyten aan het einde van de diastole.
- **Contractiliteit**: de activve krachtentwikelding van het myocard bij een gegeven sarcomeerlengte.
- **Slagvolume**: de heoveelheid bloed die per hartslag door de linkerventrikel wordt uitgepompt.

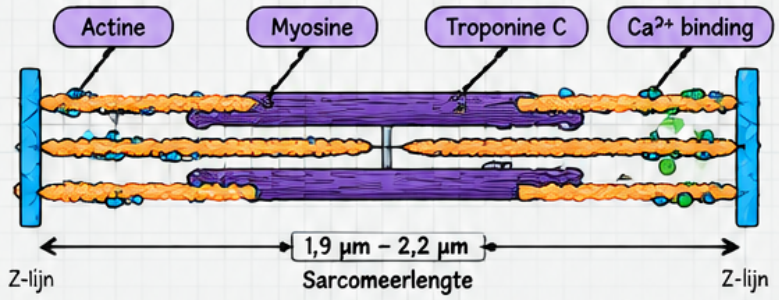
Educatieve Disclaimer
Dit materiaal dient uitsluitend voor biologische en fysiologische educatie en is niet bedoeld als cliinische diagnose, therapeutische richtlijn of medisch advies.



Moleculair Mechanisme: Sarcomeerlengte en Calciumgevoeligheid

De teneame in contractiekracht bij verhoogde vulling berust op twee intracellulaire fenomenen: optimale myofilament-overlap en lengte-afhankelijke activatie:

- In rustige toestand bevinden sarcomeren sich onder hun optimale werkingslengte (ongeveer 1,8 tot 2,0 micormeter).
- Vulling rekt het sarcomeer op richting 2,2 calcunreter, waardoor actine- en myosinefilamenten een ideale geometrische uverlap beraeken.
- Door de radiale compressie van het myofilamentrooster bij rek bindt troponine C met hogere affiniteit aan vrijgekomen calciumionen (Ca^{2+}).



Stappen in het proces

1. **Veneuze Terugstroom**
   Verhoogde instroom via venae cavae en atrium vult de ventrikel tijden diastole, wat het eind-diastolisch volume vergroot.
2. **Mechanische Rekking**
   De ventrikelwand rekt uit; individuele sarcomeren verlengen van suboptimale rustlengte naar de optimale overlapzone.
3. **Sensibilisaitie voor Calcium**
   Actine- en myosinedraden komen dichter bij elkaar te liggen, waardoor troponine C gevoeliger wordt voor calcium sonerd dat de absolude calciuminflux per se toenenent.
4. **Krachtigere Systolische Uitstoot**
   Er yormen zich meer actieve dwarsbruggen, resulterend in verhoogde mechanische spanning en een vergroot slagvolume.

Klinische Werkdifferentiatie: Preload versus Contractiliteit

Gebruik dit beslissingsschema om te bepalen of een verandering in slagvolume berust op het Frank-Starling mechanisme of op autonome inotrope stimulatie.

Verandert het slagvolume door volumeverardering (mechanisch) of door sympathische stimulatie (chemisch)?

- **Verschuiving langs deedifde Frank-Starling curve bij veranderd eind-diastolisch volume**
  → Mechanisme: Intrinsiek Frank-Starling effect via verlenging van sarcoomlengte en passieve preload-verhoging.
- **Opwaartse verschiiving naar een steilere curve bij gelijkblijvend eind-diastolisch volume**
  → Mechanisme: Positieve inotropie via sympathische stimulatie (noradrenaline/ adrenaline), waardoor de intracellulaire calciumconcentratie stijgt.

Zelfstudie & Oefennotities: Grafiekanalyse

Analyseer de relatie tussen sarcomeerlengte en contractiespanning aan de hand van uw eigen aantekeningen en meetwaarden.

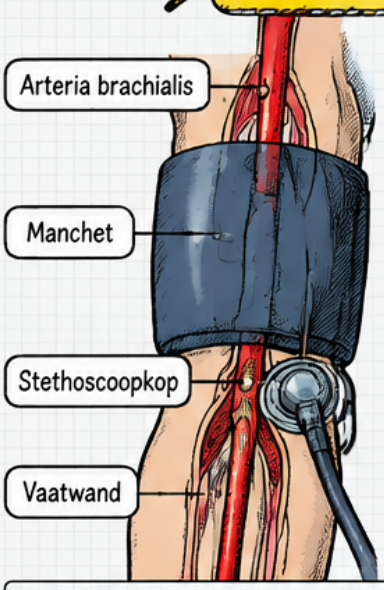
Geobesrveerde verandering in eind-diastolisch volume (bijv. toename door liggende houding):

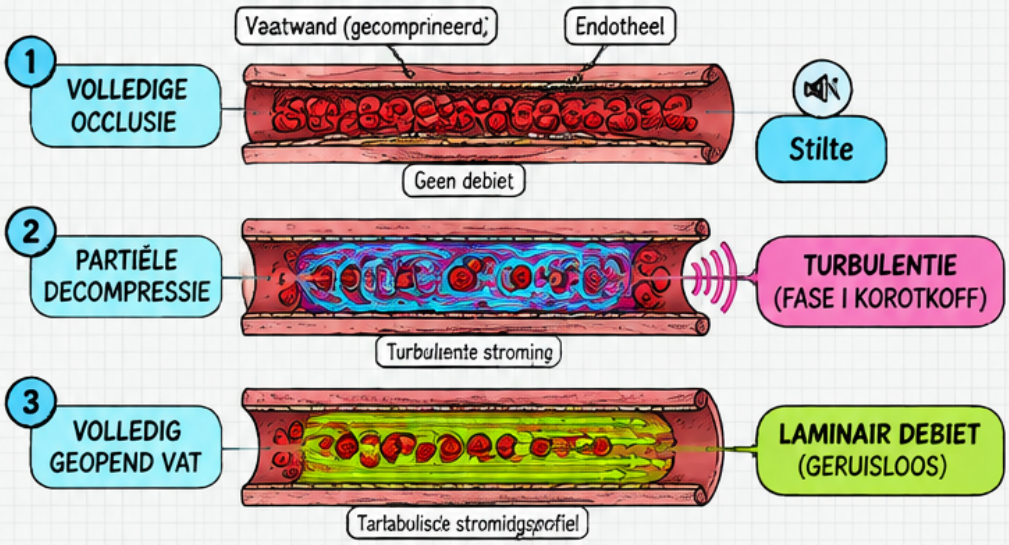
Geregistreerd effect op slagvolume en polsdruk:

Fysiologische verklaring (sarcoominteractie en calciumkoppeling):

Educatieve Disclaimer
Dit materiaal dient uitsluitend voor biologische en fysiologische educatie en is niet bedeeld als cliinische diagnose, therapeutische richtlijn of medisch advies.

KOROTKOFF & HEMODYNAMIEK





FYSIOLOGISCHE GRONDSLAG: STROMINGSPROFIELEN EN BLOEDDRUKMETING

Tijdens de non-invasieve bloeddrukmeting met een sfygmomanometer en stethoscoop over de arteria brachialis worden vloeistofdynamica en vaatwandmechanica direct hoorbaar gemaakt. In een onbelemmerde slagader stroomt bloed laminair in concentrische lagen, waarbij de centrale as de hoogste stroomsnelheid heeft en de wrijving met het endotheel minimaal is. Dit laminaire profiel veroorzaakt geen hoorbaar geluid. Zodra de druk in de manchet de systolische druk overschrijdt, collabeert het vat volledig en stopt de bloedstroom. Wanneer de manchetdruk langzaam daalt tot net onder de systolische piekdruk, perst het bloed sich tijdens de piek van de ventriculaire systole met hoge snelheid door het nauwe, deels samengedrukte lumen. Deze abrupte versnelling verhoogt het Reynoldsgetal boven de kritische drempel, waardoor de stroming omslaat in turbulente wervels. De resulterende schommelingen en vaatwandtrillingen produceren de karakteristieke Korotwoff-tonen.

Educatieve Veiligheids- & Contextdisclaimer
Dit leermateiaal dient uitsluitend voor anatomisch en fysiologisch onderwigs. Het bieldt theoretische inzichten in hemodynamische vloeistofmechanica en vormt geen medische richtliijn, klinische diagnose of behandeladvise.

- **Laminair stromingsprofiel**: parabolisch snelheidsprofiel, paralelle stroomlijnen, geruisloos bij auscultatie.
- **Kritische overgang en Reynoldsgetal** (Re = ρ·v·d/ η): stijgende sheeheid (v) door vernauwing en geotere diameter direct distaal doen Re stigen boven ~2000, wat wervelingen opwekt.
- **Fase I (Systolisch)**: sherpe, kloppende tonen wanneer de intraluminale systolische piekdruk voor het eerst de manchetdruk overtreft.
- **Fase IV-V (Diastolisch)**: doffe deming geolvgd door compleet verwijnnen van het geluid zodra de manchetdruk onder de minimale diastolische druk daalt en het laminaire profiel volledig herstelt.

STAP-VOOR-STAP HEMODYNAMISCHE AUSCULTATIE EN REGISTRATIE

Volg onderatsande methodiek om de relatie tuasen de aangelegde manchetdruk, het stromingsprofiel in be arteria brachialis en de akoestische Korotkoff-fasen systmatissch in kaart te berwigen.

1 Vatocclusie en auscultatoire stilte



Pomp de manchet op tot 20-30 mmHg boven de verdwijning van de palpabéle polis. Het vat is volledig geoccludeerd, er passeert geen bloedvolume en de stethoscoop registreert aksolute stilte.

2 Drukverlaging en Fase I (Systolische markering)



Laat het venteil leegloipen met 2 mmHg per seconde. Sodra manchetdruk geliej is aga de systolische piekdruk, schiet bood met hoge stroomsneheid door de vernauwing. De turbulente wervels produceren heldere tiktonen.

3 Fase II en III (Werweling en vaatwandresonantie)



Blj verdere decompressie verwijmt het lumen sich gedeeltiajk, Murmucerende en luidere kloppende tonen ontstaan door aantroudenije turbulentie togen de ontspannen vaatwand.

4 Fase IV en V (Diastolische omslag naar laminair)



Zodda de manchetdruk under de diastolische druk zakt, verdwint elke extenne compressie. De stroming normaliseert tot een stil, parabolisch laminair profiel; het verlwijnnen van de tonen (Fase V) markeert de diastolische waarde.

BESLISBOOM: INTERPRETATIE AKOESTISCHE SIGNALEN & MANCHETINTERACTIE

Gebruih dit overzicht om te differentiëren tussen fysiologische stromingsveranderingen en meetartefacten tijdens de manchetleegloop.

Welk akoestisch profiel wordt waargenomen bij de actuele manometerdruk?

Aanhoudende stilte direct na starten van geleelijjcke decompressie boven verwachte systole

Vat blijft hemodynamisch gecomprimeerd ($P_{manchet} > P_{systolisch}$). Geen vloeistofdebiet aanwezig: handaar gestage decompressie van 2 mmHg/s tot de eerste deallijjke stoottoon (Fase I).

Plotselinge overgang van ritmische scherpe tonen naar een demept, zachter geluid (Fase IV)

Lumen opent nagenoeg volledig waaadoor lokale vloeistofsnelheid dalalt; noteer de overgang en let seherp op het exacte drukpunt van volledige stilte (Fase V, diastole).

Tijdellijk wegvallen van tonen tussen Fase I en latere luide tonen (Auscultatory Gap)

Houdjk rekeing met toegenomen vaatwandstijfheid of verhoogde perifere weerisstand, veorkom foutieve onderschatting van de systolische druk door vooraf altijd palpatoir te controleren.

PRAKTIJKPROTOCOL: ZELFREGISTRATIE EN OBSERVATIE

Vul onderstaande parameters in tijdens de fysiologische oefensessie om stromingsgedaag en akoestische markers inzichtelllijk in maken.

- ☑ Controleer of de manchetbreedte circa 40% van de armomtrek beselat om foutieve schuifspanningen te verwijden.
- ☑ Noteer drukwaarden nauwkeuirg in mmHg bij het eerste turbulente signaal en bij herstel van laminair debiet.

Geobserveerde manchetdruk bij eerste heldere Korotkoff-toon (Fase I / Systole in mmHg):

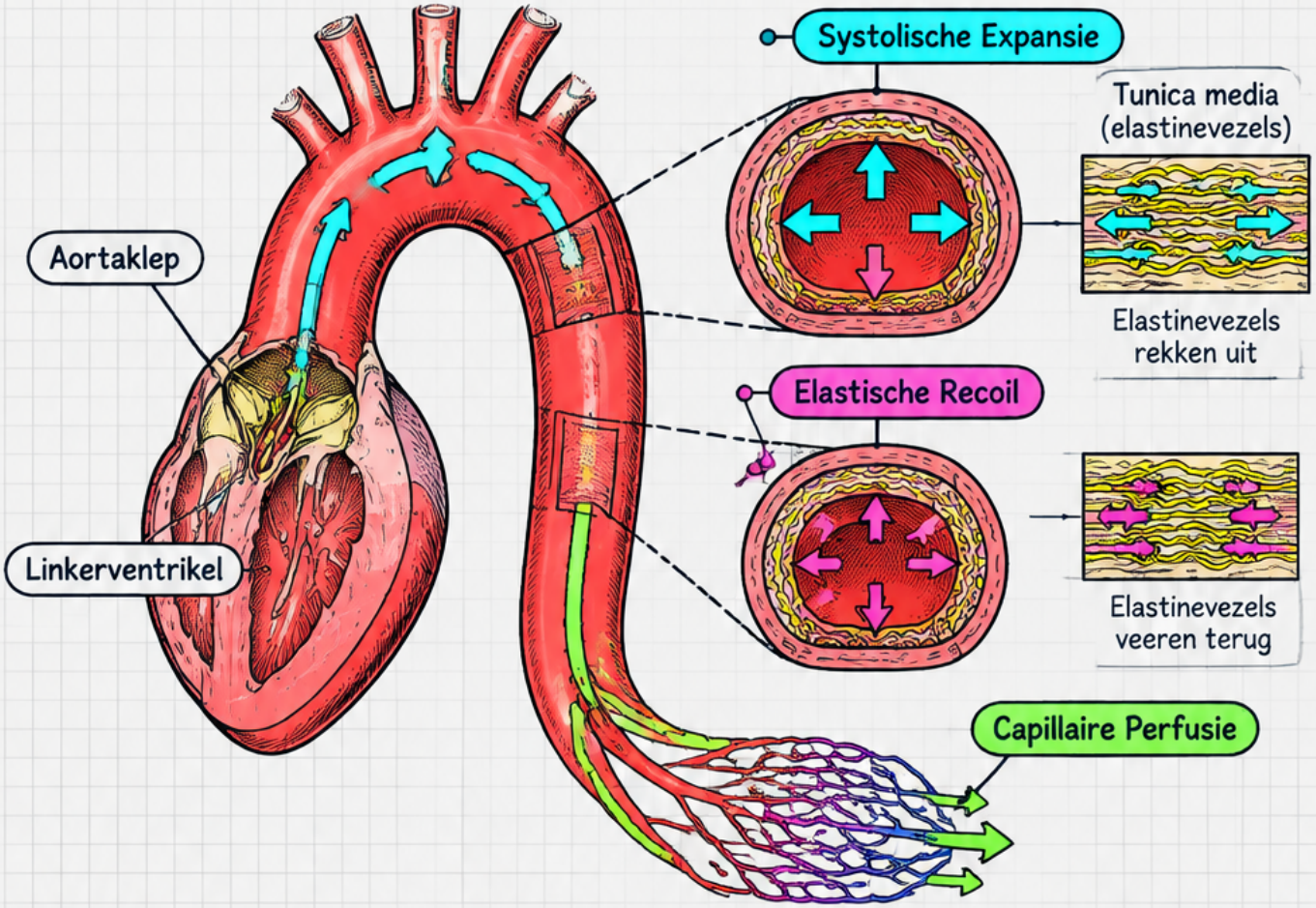
Geobserveerde manchetdruk bij volledige verdwijning van het geluid (Fase V / Diastole in mmHg):

Karakterisering van Fase II/III tonen (helderheid, zacht ruisend of krachtig kloppend):

Fysiologische verklaring van waargenomen turbulentie op basis van vaatdiameter en stroomsnelheid:

Dit leermateiaal dient uitsluitend voor anatomisch en fysiologisch onderwijs. Het biedt theoretische inzichten in hemodynamische vloeistofmechanica en vormt geen medische richtlijn, klinische diagnose of behandeladvies.

WINDKESSEL-EFFECT



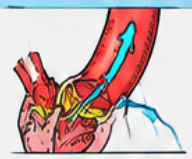
Het Windkessel-mechanisme van de Aorta

De aorta en grote elastische arteriën fungeren als een hydraulische buffer. Tijdens de ventriculaire systole vangt de elastische vaatwand het slagvolume op door uit te zetten, waardoor potentiële energie in de wand wordt opgeslagen. Tijdens de diastole veert de vaatwand elastisch terug ('recoil'). Hierdoor wordt de discontinue, schoksgewijze uitstoot van het linkerventrikel omgevormd tot een continue, gelijkmatige capillaire perfusie.

- Systolische expansie: opslag van ~50% van het slagvolume in de elastische arteriële wand
- Diastolische recoil: continue voorwaartse bloedstroom tijdens de rustfase van het ventrikel
- Demping van systolische piekdruk ter bescherming van kwetsbare perifere microcirculatie
- Behoud van voldoende diastolische aortadruk voor een adequate kransslagaderperfusie

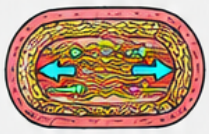
Educatieve Medische Disclaimer
Dit leermateriaal dient uitsluitend voor anatomisch en fysiologisch onderwijs. Het bevat geen medisch advies, klinische diagnose of behandelrichtlijnen.

1 Ventriculaire Ejectie (Systole)



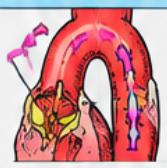
De aortaklep opent onder hoge druk. Het linkerventrikel perst krachtig bloed de elastische aorta in, waardoor de vaatwand zijwaarts uitzet.

2 Drukopslag in Elastinevezels



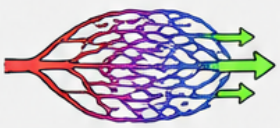
De circumferentiële rek in de tunica media spant de elastinevezels aan; kinetische energie wordt tijdelijk opgeslagen als potentiële rekkracht.

3 Klepsluiting en Diastolische Recoil



De aortaklep sluit bij het vallen van de ventriculaire druk. De vaatwand trekt samen en drijft het opgeslagen bloedvolume distaalwaarts.

4 Continue Perifere Flow



In de perifere arteriolen en capillairen vloeit het bloed continu door, sonder stil te vallen tussen opeenvolgende hartslagen.

Dit leermateriaal dient uitsluitend voor anatomisch en fysiologisch onderwijs. Het bevat geen medisch advies, klinische diagnose of behandelrichtlijnen.

POLSGOLFSNELHEID & STIJFHEID

Arteriële Compliantie en Polsgolfsnelheid (PWV)

Polsgolfsnelheid (PWV) en Arteriële Stijfheid

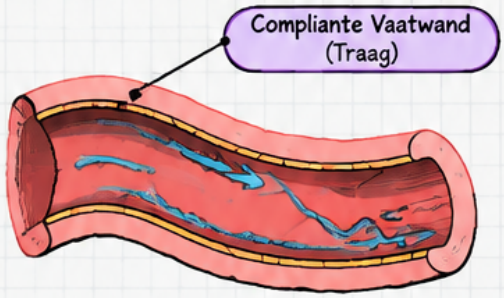
De **polsgolfsnelheid (Pulse Wave Velocity, PWV)** weerspiegelt de voortplantingssnelheid van de drukgolf door de arteriële boom. Bij gezonde, elastische vaten reist de drukgolf traag (~4–6 m/s). Naarmate de vaatwand verstijft door veroudering of collageenafzetting, neemt de compliantie af en schiet de PWV omhoog (>10 m/s), met vroegtijdige reflectiegolven tot gevolg.

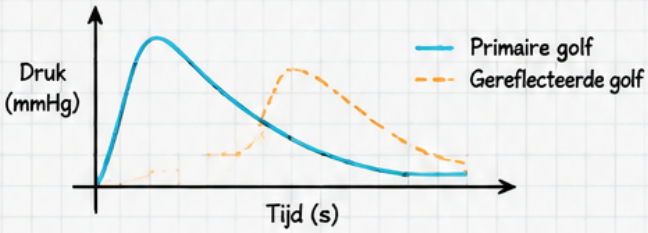
Klinische Fysiologie Nota

Een toename van de polsgolfsnelheid met 1 m/s correleert met een meetbare toename in cardiovasculaire belasting door verlies van arteriële compliantie.

- **Normale compliantie (jong):** trage polsgolf; gereflecteerde golf bereikt de aorta pas in de diastole
- **Verhoogde stijfheid (leeftijd):** snelle polsgolf; gereflecteerde golf valt al in de systole
- **Gevolg van vroege reflectie:** toename van de systolische bloeddruk en verhoogde cardiale afterload
- **Daling van de diastolische druk:** afname van de effectieve perfusiedruk naar de coronairarteriën

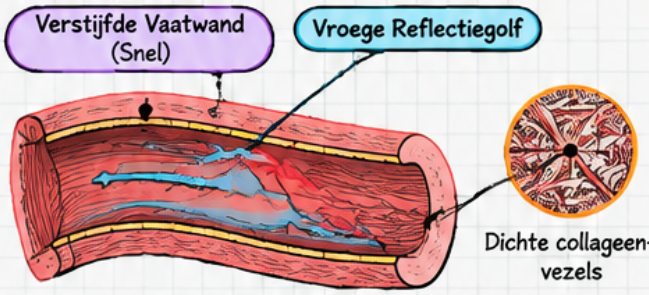
JONG / COMPLIANT

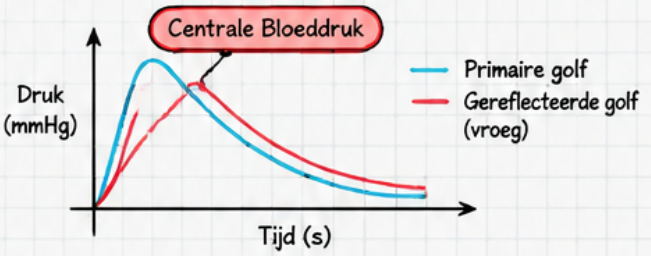




Langzame polsgolfsnelheid
(~4–6 m/s)

OUD / STIJF





Snelle polsgolfsnelheid
(>10 m/s)

Geobserveerde polsdruk (Systolisch - Diastolisch in mmHg)

Invloed van vaatwandstijfheid op berekende polsgolfsnelheid

Notities over coronairperfusie tijdens verkorte diastolische fase

Wanneer bereikt de gereflecteerde drukgolf de aortawortel?

- ○ **Tijdens de diastole**
  (elastische vaatwand / lage PWV)

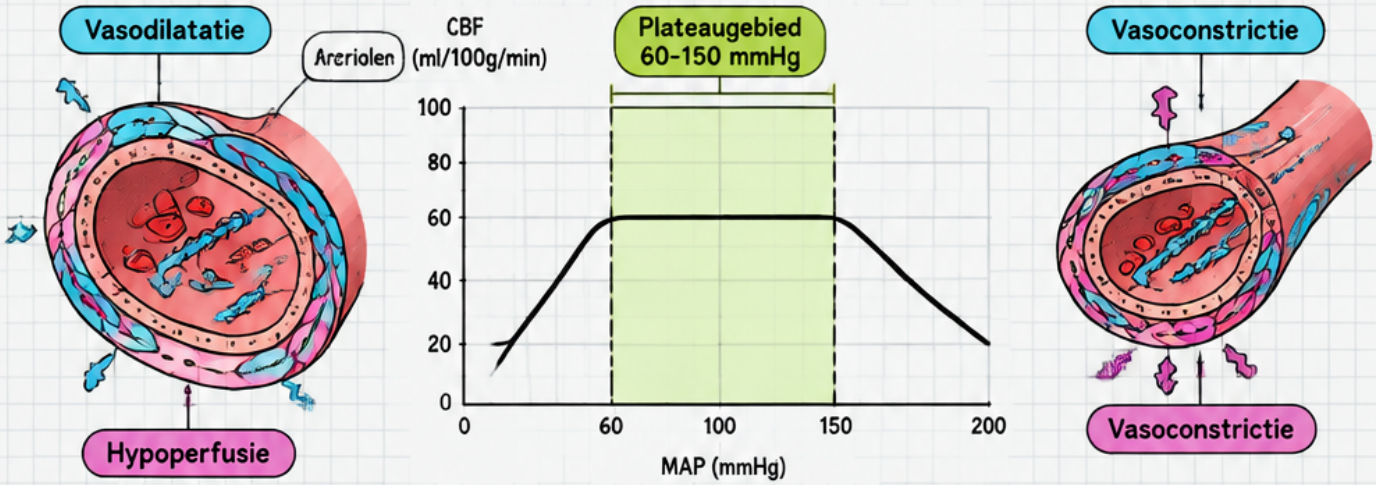
  Fysiologisch gunstig: verhoogt de centrale diastolische druk en ondersteert een optimale bloedstroom naar de kransslagaders.

- ○ **Tijdens de systole**
  (stijve vaatwand / hoge PWV)

  Ongunstige versterking (wave augmentation): verhoogt de systolische piekdruk, vergroot de ventriculaire afterload en vermindert diastolische perfusie.

Deze afbeelding is uitsluitend bedeeld voor educatieve doeleinden en vervangt geen profesieonel medisch advies.

CEREBRALE AUTOREGULATIE



Cerebrale Perfusiedruk en Autoregulatiecurven

De **cerebrale bloeddoorstroming** (Cerebral Blood Flow, CBF) wordt in een gezond vasculair bed stabiel gehouden rond **50 ml per** 100 gram hersenweefsel per minuut, ondanks schommelingen in de systemische arteriële **bloeddruk.** Dit fysiologische compenstiemechanisme functioneert effectief binnen een gemideelde arteriële **druk (MAP) tussen** circa **60 en 150 mmHg.** De drijvende kracht voor deze weefselperfusie is de cerebrale **perfusiedruk** (CPP), gedefinieerd als het verschil tussen de gemiddelde arteriële druk en de intracraniële druk: **CPP = MAP - ICP.** Binnen het autoregulatieplateau reageert het cerebrale vaatbed op drukstijgingen met vasoconstrictie en op drukverlagingen met vasodilatatie om perfusie-isodiametrie en capillaire bescherming te waarborgen.

- **CPP = MAP - ICP:** onder fysiologische omstandiganden bedraagt de normale streefwaarde van de CPP bij volwassenen circa **60 tot 70 mmHg.**
- **Myogeen autoregulatieplateau:** arteriolaire gladde spiercellen trekken samen bij teogenomen transmurale rek en dilateren bij drukvermindering.
- **Ondergrens van autoregulatie:** bij een daling van de MAP onder 50-60 mmHg faalt maximale vasodilatatie, wat leidt tot cerebrale hypoperfusie en ischemie.
- **Bovengrens van autoregulatie:** bij overschrijding van 150 mmHg bezwijkt de vasoconstrictie, resulterend in geforceerde hyperperfusie en risico op vasogeen hersenoedeem.

Educatieve disclaimer en klinische context
Dit leermateraial dient uitsluitend voor academische studie van fysiologische dynamiek. Fysiologische grenswaarden kennen individuele blologische variatie; dit compendium vervangt geen klinisch protocol of medische beoordeling.

Praktische toepassing: 3 stappen

1 Stap 1: Berekening van de actuele CPP

Bepaal de gemridelide arteriële druk via **MAP = diastolisch + 1/3(systolisch - diastolisch)** en trek hier de intracraniële druk (ICP) van af om de actieve perfusiedrijvende druk te kwantificeren.

2 Stap 2: Analyse van arteriële vaattonus

Verifieer of de resulterende CPP zich binnen het autoregulatieve venster (60-150 mmHg) bevindt waarin arteriolaire gladde spiercellen volumetrische weerstand moduleren via myogenze respons.

3 Stap 3: Beoordeling van metabole vasoreactiviteit

Controleer de arteriële partiële koolstofdioxidedruk (PaCO2): hypercapnie induceert karchiige cerebrale vasodilatatie, werwijl hypocapnie cerebrale vasoconstrictie forceert.

Invulvelden

Gemeten systolische / diastolische arteriële druk (mmHg)	
Berekende Mean Arterial Pressure (MAP in mmHg)	
Huidige ICP-inschatting of registratie (normaal 5-15 mmHg)	
Geobserveerde positie op de autoregulatiecurve (hypoperfusie / plateau / hyperperfusie)	

Beslissing

Binnen welk drukbeereik bevindt de berekende CPP van de casus zich?

CPP bevindt zich tussen 60 en 150 mmHg

Intacte autoregulatie: glad spierweefsel in cerebrale precapillaire arteriolen handhaaft een constante CBF door myogene constrictie of dilatatie.

CPP daalt onder 50 mmHg of MAP overschrijdt 150 mmHg

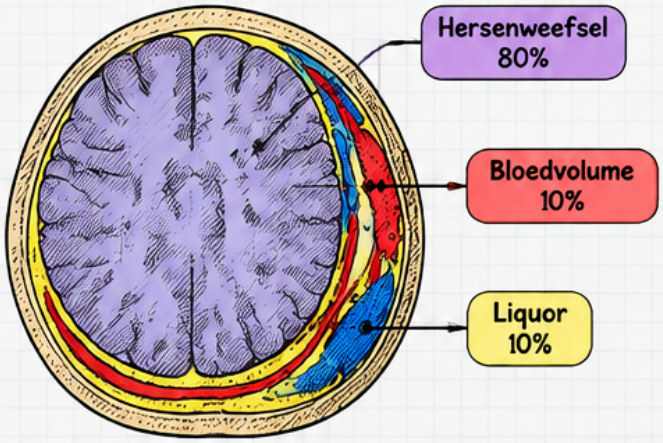
Autoregulatiebreuk: de cerebrale bloedstroom wordt direct passief afhankelijk van de systemische bloeddruk, leidend tot ischemie dan wel barotrauma.

Dit leermateriaal dient uitsluitend voor academische studie van fysiologische dynamiek.
Fysiologische grenswaarden kennen individuele biologische variatie; dit compendium vervangt geen klinisch protocol of medische beoordeling.

MONRO-KELLIE DOCTRINE EN INTRACRANIËLE DRUK

MONRO-KELLIE DOCTRINE EN INTRACRANIËLE COMPLIANCE

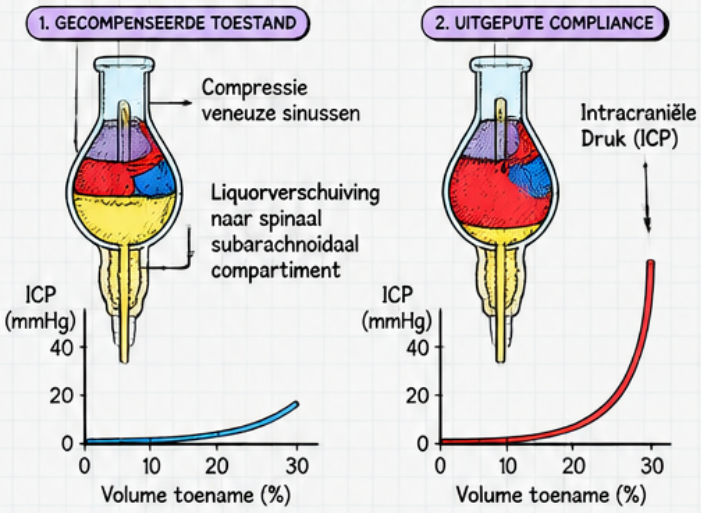
De Monro-Kellie-hypothese postuleert dat de schedelholte een rigide, niet-uitzetbare benige doos vormt met een gefixeerd totaalvolume. Dtis volume bestaat fysiologisch uit drie hoofdcomponenten: hersenparenchym (circa 80%) bloedvolume (arterieel en veneus, circa 10%) and cerebrospinale vloeistof (liquor cerebrospinalis, circa 10%). Aangesien de totale som constant moet blijven ($V_{totaal} + V_{hersenen} + V_{bloed} + V_{liquor}$), vereist de teneame van één component of de introductie van een ruimte-innemend proces een geljike afname van de overige vloeistofvolumes. Wahnear deze initiële volumetrische compensatiemechanismen uitgeput raken, resulteert velfs een minieme verdere volumeuitbreiding in een exponentiële stijging van de intracraniële druk (ICP).



- Fysiologische compartimentsverdeling: 80% neuro-axonaal parenchym en gliaweefsel, 10% cerebrovasculair bloed, 10% cerebrospinale vloeistof.
- Compensatie via liquorverschuiving: translokatie van liquor vanuit de cerebrale ventrikels naar het spinale subarachnoidale compartiment en toegonemen resorptie via arachnoidale villi.
- Compensatie via **veneuze drainage**: passieve compressie en uitdrijving van laagcalbrig bloed uit de cerebrale veneuze sinussen naar de v. jugularis interna.
- Kritieke **decompressiedrempel**: overgang van een vlakke elastancecurve (hoge compliance) naar een steil exponentieel drukverloop (lage compliance).

Fysiologische wetmatigheid van intracraniële dynamiek
De Monro-Kellie-hypothese geldt strikt bij gesloten schedlenaden. Bij zuigelingen met open fontanellen or patinteen na een decompressieve craniéctomie wijkt de fysieke elasticiteit van het intracraniële reservoir fundamenteel af.

VOLUME-PRESSURE CURVE



STAPPENPLAN

1 Stap 1: Volume-inventarisatie
Breng de actuele toestand van de drie compartimenten in kaart en identificeer eventuele volumevergroting door intracerebraal oedeem, hematoom of liquurresorptiestornissen.

2 Stap 2: Compensatoire reservetoetsing
Evalueer de graad van veneuze sinuscompressie en basale cisternenobliteratie op beeldvorming om de resterende volumetrische reserve tu kwantificeren.

3 Stap 3: Monitoring van de druk-volumecurve
Signaleer het omslagpunt waarop kleine volumestijgingen leiden tot disproportionele ICP-pieken en daling van de cerebrale perfusiedruk onder de ischemiegrens.

KLINISCHE OBSERVATIES

Geidentificeerde volumeafwijking (weefselzwelling, liquurtoename of massa)

Status liquurresorptie en spinale compartimentverschuiving

Veneuze sinusoidale reserve (behoud van veneuze afvloed)

Geschatte intracraniële compliance (gecompenseerde fase versus decompensatiefase)

BESLISBOOM

Is het intracraniële volumecompenserend vermegen nog functioneel?

- Liquor- en veneuze verplaatsing vangen compensie op → **Gecompenseerde toestand:** de intracraniële druk blijft binnen fysiologische grenzen (onder 15-20 mmHg) doordat vloeistofvolumes uitwijken.
- Compensatoire vloeistofcompartimenten zijn maximaal gecomprimeerd → **Gedecompenseerde fase:** compliance nadert nul, de ICP stijgt exponentieel bij elke minieme volumetename, waardoor cerebrale herniatie dreigt.

Deze informatie is uitsluitend bedeeld voor educatieve doeleinden en vervangt geen professioneel medisch advies.

RENALE AUTOREGULATIE

Renale Autoregulatie: Myogene Respons en Tubuloglomerulaire Feedback

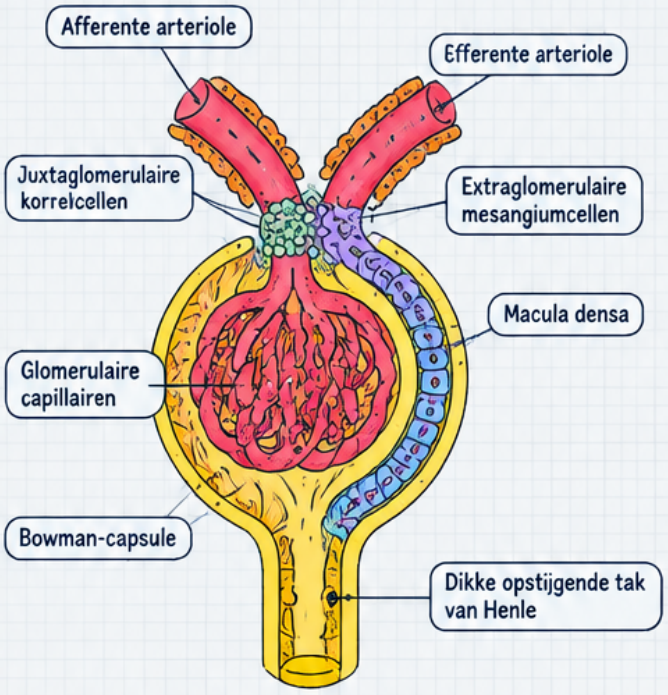
Educatieve Disclaimer en Gebruiksdoel

Deze leereenheid over renale fysiologie is uitsluitend bestemd voor educatieve doeleinden ten behoeve van studenten en docenten. Het materiaal vormt geen medisch advies, klinische richtlijn of diagnostisch instrument.

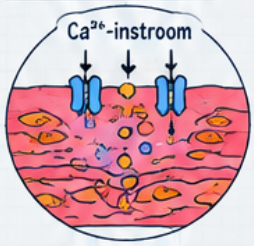
- Illustreert de intrinsieke mechanismen waarmee de nier de glomerulaire filtratiesnelheid (GFR) stabiel houdt bij wisselende systemische bloeddruk.
- Geen vervanging voor professionele medische besluitvorming of behandeling.

Belangrijke Richtlijn

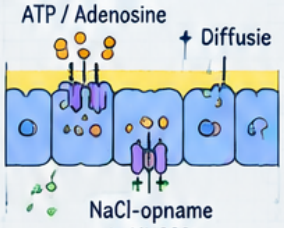
Gebruik dit overzicht om inzicht te verwerven in de vaskulaire en tubulaire terugkoppelingslussen van het nefron.



2 Myogene contractie van glad spierweefsel



2 Signaalcascade macula densa



1 Mechanisme 1: De Myogene Respons van de Afferente Arteriole

De myogene respons is een snelle, directe reactie van de vasculaire gladde spiercellen in de wand van de afferente arteriole op veranderingen in transmurale druk.

- Verhoogde arteriële bloeddruk rekt de vaatwand van de afferente arteriole uit.
- Rekgevoelige kationkanalen openen, wat depolarisatie en instroom van extracellulair calcium vororassakt.
- Vasoconstrictie van de afferente arteriole verhoogt de vasculaire weestaend en vevotromt een excessieve toename van de capillaire filtratiedruk in de glomerulus.

Fysiologigch Doel

De myggene respons bersbermt kwetshare glomerulaire capilliairen tegen barotrauma bij acute pieken in systemische bloeddruk.

2 Mechanisme 2: Tubuloglomerulaire Feedback via het Juxtaglomerulaire Apparaat

Tubuloglomerulaire feedback (TGF) koppelt de vloeistofsamenstelling aan het einde oan de dikke opstijgende tak van Henle aan de wersstand van de afferente arteriole.

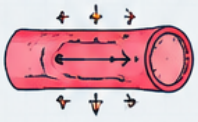
- Macula densa-cellen detecteren de concentratie van natriumchloride (NaCl) in de luminale vloeistof via de Na-K-2Cl (NKCC2) cotransporter.
- Bij verhoogde NaCl-vrackt geven macula densa-cellen adenosinetrifosfaat (ATP) en adenosine af aan het interstitium.
- Purinerge A1-receptoren op nabiigelegen extraglomerulaire mesangiumcellen en gladde spiercellen activeren contractie van de afferente arteriole.

Remming van Renine

Tegelijk net de vasoconstrictie onderdrukt een hoge NaCl-aanover ter plaatse van de macula densa de afgifte van renine door juxtaglomerulaire cellen.

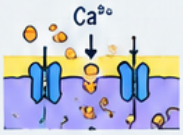
1 Stijging van de perfusiedruk

De systemische arteriële druk stigt, waarrdor de afferente atteriole passeit uitzet door teogenomen wandspanning.



2 Activatie van reksnsoren

Mechanosenstiewe ionkanalen in de gladde spiercellen openen zich en facliiterre calciuminflux.



3 Compensatóre vasoconstrictie

De spierlaag trekt krachtig samen, het lumen vernauwt en normalseeert de stroom naar let glomerulusnetweek.



Welke reactie vertoont het juxtaglomerulaire appraaat bij verandering in luminaal NaCl?

Verhoogde NaCl-belasting (hoge filtratiesnelheid / flow)	Verlaagde NaCl-belasting (lage perfusie / hypovolemie)
→ ATP/adenosine-afgifte neemt toe, afferente arteriole vernauwt (vasoconstrictie), glomerulaire filtratiesnelheid daalt terug naar sterefwaarde.	→ Signaalafgifte daalt, afferente arteriole dilateert en renine-secretie door granulaire cellen stijgt om systemische bloeddruk. na herstellen.

4 Zelfevaluatie: Renale Regelmechanismen

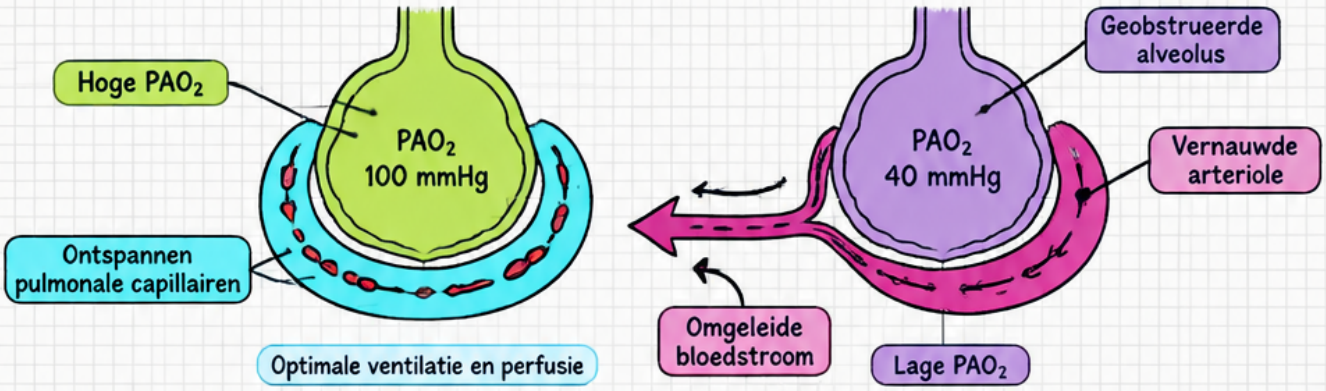
Vul de onderstaande werkvelden in om de integratie tussen hemodynamiek en tubulair transport te analyseren.

1. Beschrijf het effect van een plotse daling van de bloeddruk (bijv. van 120 naar 90 mmHg) op de afferente arteriole:

2. Welke signaalstof bemiddelt primair de vasoconstrictie vanuit de macula densa?

3. Wat is het gevolg van farmacologische remming van de NKCC2-cotransporter (bijv. door lisdiuretica) op de tubuloglomerulaire feedback?

PULMONALE VASOCONSTRICTIE DOOR HYPOXIE
(Euler-Liljestrand Mechanisme)



FYSIOLOGISCH PRINCIPE: HET EULER-LILJESTRAND MECHANISME

Hypoxische pulmonale vasconstrictie (HPV), ook wel bekend als het Euler-Liljestrand mechanisme, is een uniek lokaal vasculair regelmechanisme in de longcirculatie. In tegenstelling tot systemische arteriolen, die verwijden bij weefselhypoxie om zuurstofaanvoer te vergroten, contraheren kleine pulmonale arteriolen juist wanneer de lokale alveolaire partiële zuurstofdruk (PAO_2) daalt onder circa 70 mmHg. Hierdoor wordt capillair bloed omgeleid van slecht geventileerde longsegmenten naar zones met normale ventilatie, wat zorgt voor een efficiënte ventilatie-perfusiematching (V/Q) en behoud van arteriële zuurstofsaturatie.

- **Selectieve vasoconstrictie:** arteriolen reageren primair op lage alveolaire PAO_2, niet op gemengd-veneuze PO_2.
- **Optimalisatie ventilatie-perfusieverhouding (V/Q):** voorkomt dat niet-geoxygeneerd bloed ongehinderd terugkeert naar het linker atrium (beperking van fysiologische shunt).
- **Verschil met de perifere circulatie:** systemische vaten dilateren bij hypoxie; pulmonale vaten vernauwen doelbewust.
- **Klinische relevantie:** diffuus optredend bij verblijf op grote hoogte of ernstig gegeneraliseerd longlijden kan chronische HPV leiden tot pulmonale hypertensie en cor pulmonale.

Educatieve Disclaimer
Dit leermateriaal dient uitsluitend voor anatomische en fysiologische scholing van studenten en docenten. Het is geen medisch diagnose- of behandelinstrument.

CELSIGNALERINGSROUTE EN VASCULAIRE RESPONS

De signaalcascade van hypoxische contractie verloopt intracellulair in de gladde spiercellen van precapillaire pulmonale arteriolen (PASMC). Volg de biologische opeenvolging van alveolaire zuurstofdaling tot mechanische constrictie:



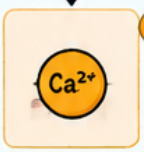
1 Daling van de Alveolaire Zuurstofspanning
Lokale hypoventilatie (bijv. mucusplug of atelectase) doet de PAO_2 in de alveolus dalen onder 60-70 mmHg, waardoor het diffusiegradiënt naar omliggende arteriolen instort.



2 Mitochondriale Redoxverschuiving in Glad Spierweefsel
In de pulmonale arteriële gladde spiercellen (PASMC) leidt de gedaalde PO_2 tot veranderingen in mitochondriale reactive oxygen species (ROS) productie en redoxstatus.



3 Remming van Spanningsafhankelijke Kaliumkanalen
De veranderde redoxstatus remt spanningsafhankelijke kaliumkanalen (Kv1.5, Kv2.1), waardoor kaliumefflux afneemt en membraandepolarisatie optreedt.



4 Calciuminstroom en Gladde Spiercontractie
Membraandepolarisatie opent L-type spanningsafhankelijke calciumkanalen. De resulterende toename in vrij cytosolisch Ca^{2+} activeert myosine lichte keten kinase (MLCK), resulterend in arteriolaire contractie.

FYSIOLOGISCHE BESLISBOOM: VENTILATIE-PERFUSIE ADAPTATIE

Gebruik dit overzicht om te beoordelen hoe de pulmonale microcirculatie reageert op regionale versus gegeneraliseerde alveolaire hypoxie:

Is de alveolaire hypoxie lokaal/lobaal of diffuus over beide longen aanwezig?

Focaal / Lokaal (bijv. atelectase, partiële luchtwegobstructie)	Gegeneraliseerd / Diffuus (bijv. extreme hoogte, diffuse alveolaire hypoventilatie)
Lokale arteriolaire vasoconstrictie leidt perfusie weg naar goed geventileerde alveoli.	Gegeneraliseerde vasoconstrictie door het gehele pulmonale vaatbed.
Nettoresultaat: arteriële PO_2 blijft stabiel.	Nettoresultaat: acute toename in pulmonale vaatweerstand (PVR), pulmonale arteriële druk stijgt, risico op overbelasting rechterventrikel.
normale globale pulmonale vaatweerstand.	

ZELFSTUDIE WERKBLAD: FYSIOLOGISCHE REDENERING EN ANALYSE

Vul de onderstaande werkvelden in ter consolidatie van de stof over het Euler-Liljestrand mechanisme.

Docententip
Controleer of studenten het cruciale verschil benoemen tussen systemische arteriolen (vaatverwijding bij hypoxie) en pulmonale arteriolen (vaatvernauwing).

Verklaar in eigen woorden hoe lokale HPV voorkomt dat een fysiologische rechts-links shunt toeneemt:

Wat is het cellulaire effect van membraandepolarisatie op calciumkanalen in pulmonale spiercellen?

Beschrijf het hemodynamische gevolg voor de rechterventrikel bij diffuse pulmonale hypoxie op grote hoogte:

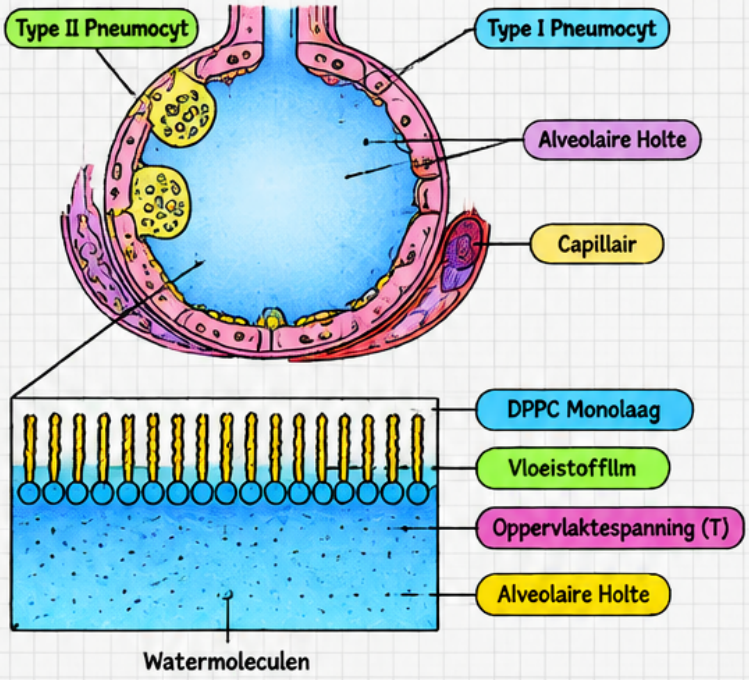
Educatieve Disclaimer Dit leermateriaal dient uitsluitend voor anatomische en fysiologische scholing van studenten en docenten. Het is geen medisch diagnose- of behandelinstrument.

SURFACTANT-DYNAMIEK

Surfactant-dynamiek en Oppervlaktespanning in de Alveoli

Alveolaire Oppervlaktespanning en Pulmonair Surfactant

In de longblaasjes (alveoli) heerst een vloeistof-luchtgrensvlak met een hoge oppervlaktespanning ceroruzkakt door waterstofbruggen tussen watermoleculen. Pulmonair surfactant, geproduceerd en uitgescheiden door type II pneumocyten (alveolaire epitheelcellen), bestaat hoofdzakaljk uit dipalmitoylfosfatidylcholine (DPPC) en specifiicke surfactant-eiwitten (SP-A, SP-B, SP-C en SP-D). De amfiflele DPPC-moleculen nestelen cich tussen de watermoleculen aan het oppervlak, waardoor de onderlinge aaterrekingskracht van water drastisch vermindert. Dit voorkant alveolaire collaps (atelectase) aan het einde van de uitademing en waarborgt een stabiele mechanische longcompliantie.

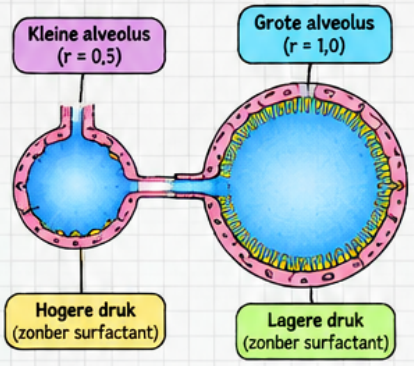


Educatieve Disclaimer
Dit leermateiaal dient uitsliutend voor biologische en fysiologische educatie en vormt geen medisch advise of klinische diagnostisshe rinktlijn.

- Synthese en secretie: Type II pneumocyten slaan surfactant op in lamellaire lichaampjes en scheiden dit via exocytose uit naar de vloeistofflim.
- Biochemische structuur: Dipalmitoylfosfatidycholine (DPPC) vormt een monolaag met hydrofobe vetzuurstaarten gericht naar de alveolaire luchruimte.
- Stabiliserende eiwitten: Hydrofobe eiwitten SP-B en SP-C bevorderen de sneile adsorptie en verspreiding van fosfolipiden over het oppervlak.

De Wet van Laplace en Dynamische Drukverdeling

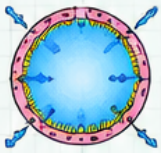
Zonder surfactant dicteert de wet van Laplace ($P = 2T / r$, waarbij P de collapsdruk is, T de oppervlaktespanning en r de straal) dat kleinere alveoli een hogere inwendige druk untwikeleen dan grotere alveoli, wat zou leiden tot lediging van kleine blaasjes in grote en massale atelectase.



- Kleine radius (uitademing): Oppervlakte verkleint, DPPC-moleculen worden compacter samengedrukt en T daalt sterp, waardoor P laag en stabiel blijft.
- Grote radius (inademing): DPPC-moleculen spreiden uiteen, T stijgt lokaal, waardoor overmatige uitzetting wordt afgeremd en ventilatie geljkmatig blijft.
- Eindrssultaat: Geljike effectieve drukgradiënten tussen onderling vebondan alveoli van variërende grootte, wat stabiele compliantie garandeert.

Klinische Fysiologie-Aantekening
Een tekort aan functioneel surfactant, zoaks bij neonataal respiratoir distress syndroom (NRDS) door premature type II pneumocyten, resulteert in stijve longen met een lage compliantie en alveolaire collaps.

1 Inademing (Alveolaire Expansie)



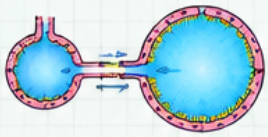
Alveolaire straal r neemt toe. De surfactantmonolaag verdunt, waardoor oppervlaktespanning T stijgt en de longwand elastisch terugveert sonder overexpansie.

2 Uitademing (Oppervlakteverkleining)



Alveolaire straal r krimpt. Fosfolipiden worden geconcentreerd samengeperst tot een dichte film, waardoor oppervlaklespanning T tot bijna nul mN/m daalt.

3 Drukegalisatie en Stabilisatie



Door de evenredige verlaging van T met r blijft de collapsdruk P conform Laplace constant, wat leeglopen van kleine alveoli in grotere voorkont.

Hoe reageert de alveolaire eenheid op veranderende longvolumes tijdens de ademhalingscyclus?

Volume daalt naar functionele residuele capaciieit (FRC)
Hoge surfactatndichtheid verlaagt wandspanning maxiamal; transpulmonale druk blijft toereikent om collaps te verhinderen.

Surfactantsecretie faalt oi is biochemisch geinactiveerd
Wandspanning blijft hoog conform wandoppervtak; er entstrat micro-atelectase en de ademarbeid neemt exponentieel toe.

Zelfevaluatie en Fysiologische Analyse

Gebruik onderstaande controlecriteria en analysevragen om uw kennis te verifiëren.

- [ ] Verifieer de rol van type II pneumocyten versus type I gaswisselingscellen.
- [ ] Toets de omgekeerd evenredige dynamiek tussen fosfolipidendichtheid en eppervlaktespanning.
- [ ] Controleer de relatie tussen compliantie, ademarbeid en transpulmonale druk.

Verklaring: Waarom leidt de wet van Laplace zonder DPPC tot instabiliteit tussen gekoppelde alveoli?

Notities: Mechanismen van lamellaire secretie en heropname door type II pneumocyten:

Educatieve Disclaimer
Dit leermatteiaal dient uitsliutend voor biologische en fysiologische educatie en vormt geen medisch advies of klinische diagnostische riktlijn.

HALDANE-EFFECT

Mechanisme en Dynamiek van Gasuitwisselling

Het Haldane-effect: Wederzijdse Koppeling van O2 en CO2

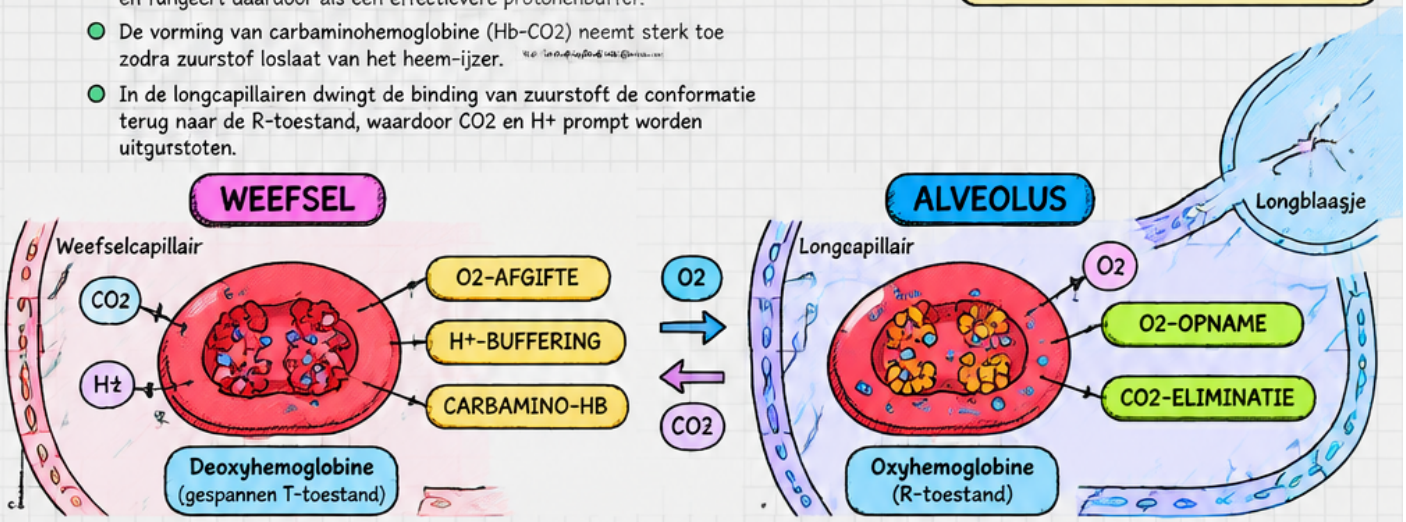
Het Haldane-effect beschrijft hoe de oxygenatietoestand van hemoglobine reeIntsseeks invloed uitoefent op het transport van kooldioxide en protonen in de bloedbaan. Waar het Bohr-effect verklaart hoe een verhoogde concentratie CO2 en protonen de zuurstofafgifte bevordert, verklaart het Haldane-effect juist het omgekeerde mechanisme. Wenneer hemoglobine in de perifere weefsels zuurstof afgeeft en overgaat in gedeoxigeneerde toestant (deoxyhemoglobine), verandert de quaternaire structuur. Deze conformatieverandering verhoogt direct de affiniteit voor waterstofionen (H+) en versterkt het vermogen om carbaminoverbindingen te vormen aan de aminoterminale greepen van de globineketens. Hierdoor kan veneus bloed aanzienlijk meer koolstofdioxide opnemen en bufferen zonder een schadelijke daling van de pH te veroorzaken.

- Deoxyhemoglobine vormt een zwakker zuur dan oxyhemoglobine en fungeert daardoor als een effectievere protonenbuffer.
- De vorming van carbaminohemoglobine (Hb-CO2) neemt sterk toe zodra zuurstof loslaat van het heem-ijzer.
- In de longcapillairen dwingt de binding van zuurstoft de conformatie terug naar de R-toestand, waardoor CO2 en H+ prompt worden uitgurstoten.

Klinische & Fysiologische Relevantie

Het Haldane-effect is kwantitatief verantwoordelijk vorr een groter aandeel van de fysiologische CO2-uitwiselleng tussen weefsels en longen dan het Bohr-effect is voor O2-uitwiselleng.

Let op: dit studiemateriaal dient uitsluitend voor educatieve doeleinden en vervangt geen medische diagnostiek of behandeladvies.

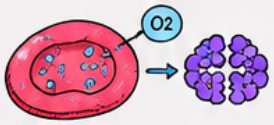


Mechanistische Fasen van Perifeer Weefsel naar Longblaasje

De wisselwerking voltrekt zich in twee gespiegelde anatomische micro-omgevvingen: de systemische weefselcapillairen en de pulmonale alveolaire capillairen.

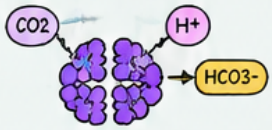
- **Perifere perfusie:** Weefselmetabolisme produceert continu CO2, dat diffundeert naar erytrocyten.
- **Alveolaire perfusie:** Hoge pO2 in de longen drijft CO2-gasdiffusie naar de buitenlucht.

Stap 1: O2-afgifte en conformatieverschuiving in het weefsel



Door de lage partiële zuurstofdruk (pO2) in actief weefsel dissocieert O2 van oxyhemoglobine (HbO2). Hemoglobine verschuift van de relaxeerde R-toestand naar de gespannen T-toestand (deoxyhemoglobine).

Stap 2: Protonenbuffering en carbaminovorming



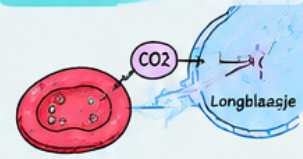
Deoxyhemoglobine bindt protonen (H+) die vrijkonen bij de omzetting van CO2 naar bicarbonaat (HCO3-) door koolzuuranhydrase. Tegelijkertijd bindt CO2 dnect aan ongeladen aminogroepen, waardoor de totale CO2-opnamecapacitieit van het veneuze bloed stijgs.

Stap 3: Reoxygenatie in de longcapillairen



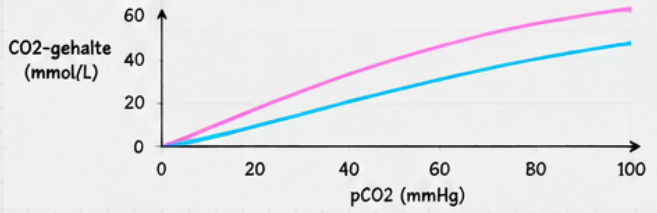
Bij passasge langs de alveoli diffundeert O2 de erytrocyt binnen en bindt aan het heem-ijzer. Deze oxygenatie forceert de overgang terug naar de R-toestand met verminderde H+- en CO2-affiniteit.

Stap 4: Snelle gasdiffusie naar het alveolaire Lumen



Vrijgekomen protonen binden bicarbonaat om koolzuur (H2CO3) te hestetrclen, weaara koolzuuranhydrase CO2-gas vrijmaakt dat inmndaellijk over de alveolo-capillaire membraan naar de longblaasjes diffundeert voor expiratie.

CO2-dissociatiecurve



Conclusie

De oxygenatietoestand van hemoglobine bepaalt direct het CO2-gehalte van het bloed: deoxyhemoglobine neemt meer CO2 op, oxyhemoglobine stoot CO2 uit.

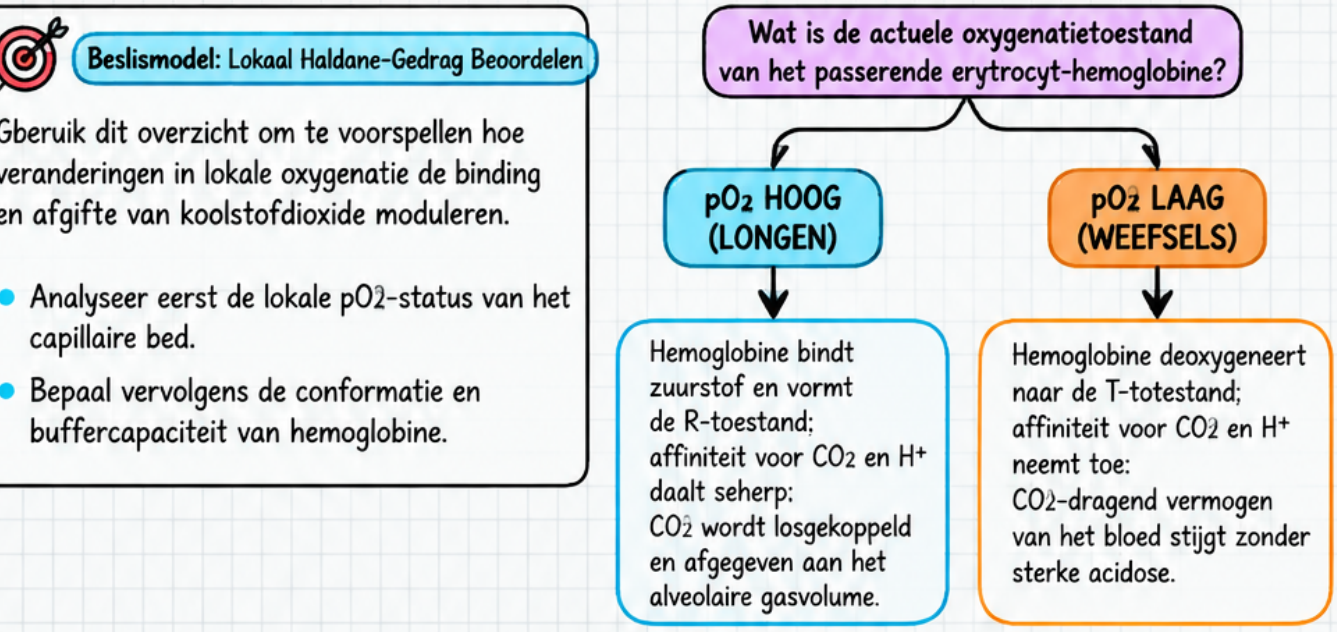
Dit studiemateriaal dient uitsluitend voor educatieve deeleinden en vervangt geen medische dignostiek of behandeladvies.

Haldane-effect: Beslismodel en Analyse-werkblad

Beslismodel: Lokaal Haldane-Gedrag Beoordelen

Gberuik dit overzicht om te voorspellen hoe veranderingen in lokale oxygenatie de binding en afgifte van koolstofdioxide moduleren.

- Analyseer eerst de lokale pO_2-status van het capillaire bed.
- Bepaal vervolgens de conformatie en buffercapaciteit van hemoglobine.



Zelfstudie & Werkblad: Interactie CO2-transport en O2-binding

Vul de ontbrekende variabelen en verklaringsstappen in op basis van het geobserveerde mechanisme.

- Formuleer telkens de fysiologische rationale achter de conformatieverandering.
- Koppel de biochemische reactie direct aan de alveolo-capillaire of weefsel-capillaire context.

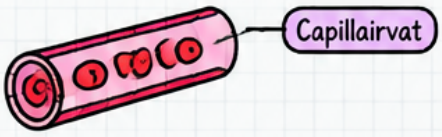
Didactische Opmerking

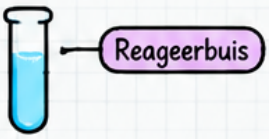
Let op het verschil in de CO_2-dissociatiecurve: bij een gelijke partiële CO_2-druk (pCO_2) bevat gedeoxigeneerd bloed altijd meer CO_2-inhoud dan geoxigeneerd bloed.

Verklaar waarom deoxyhemoglobine een grotere affiniteit heeft voor H^+-ionen dan oxyhemoglobine:

Beschrijf de rol van de chloride-shift (Hamburger-fenomeen) in combinatie met het Haldane-effect:

Bereken/beredeneer het netto effect op expiratoire pCO_2 bij acute hyperoxie (toedieining 100% O_2):





Deze materialen zijn uitsluitend bedoeed voor educatieve doeleinden.

BOHR-EFFECT & ZUURSTOFREGULATIE

Bohr-effect en Allosterische Zuurstofaffiniteit

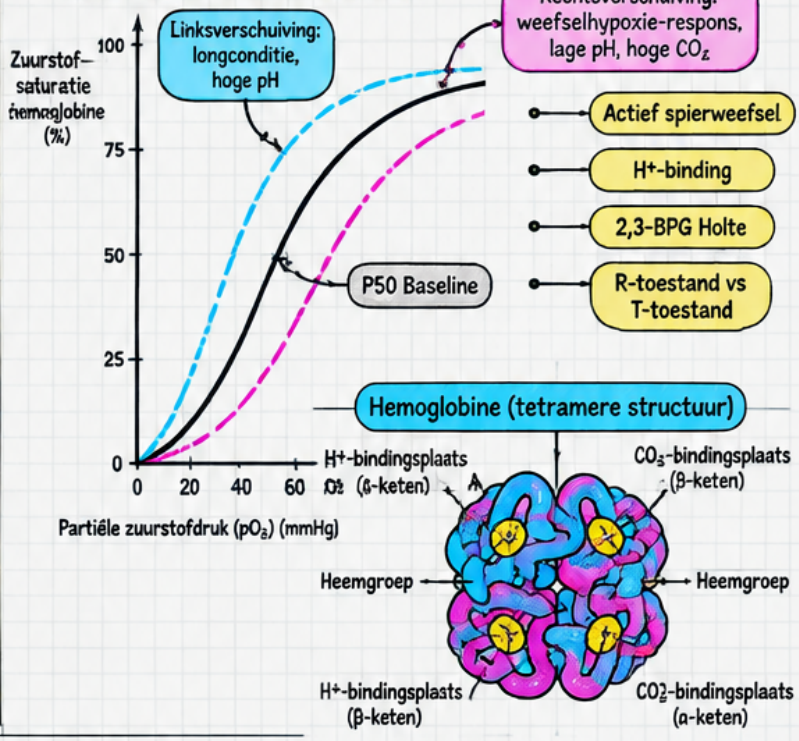
Het Bohr-effect beschrijft hoe veranderingen in de chemische micro-omgeving van weefsels direct bepalen hoeveel zuurstof hemoglobine loslaat. In actief metabool weefsel (zoals werkende skeletspieren) produceren cellen koolstofdioxide (CO_2) en melkzuur, wat leidt tot een ophoping van protonen (H^+) en een lagere pH. Hemoglobine reageert allosterisch op deze factoren: binding van H^+ en CO_2 stabiliseert de T-toestand (de 'tense' of lage-affinitietsvorm), waardoor zuurstofmoleculen (O_2) efficiënt van de heemgroepen diffunderen naar het weefsel dat het hardst energie nodig heeft.

- Rechtsverschuiving van de saturatiecurve: veroorzaakt door daling in pH (acidose), stijging in pCO_2, stijging in weefsel-temperatuur en toename van 2,3-BPG.
- Functioneel resultaat: bij dezelfde partiële zuurstofdruk (pO_2) geeft hemoglobine een groter percentage O_2 af aan het weefsel.
- Linksverschuiving (longcapillairen): lagere pCO_2, hogere pH en lagere temperatuur verhogen juist de zuurstofaffinitieit voor optimale opname.

Medische en Educatieve Disclaimer

Dit materiaal dient uitsluitend voor educatieve en fysiologische analysedoeleinden. Het is geen vervanging voor medische diagnostiek of behandeladvies. Fysiologische parameters dienen in een klinische context altijd geverifieerd te worden.

Oxyhemoglobine-dissociatiecurve



Hemoglobine (tetramere structuur)

Stap-voor-stap Analyse van Zuurstofafgifte in Actief Weefsel

Volg deze fysiologische causale keten om te herleiden hoe metabole activiteit direct resulteert in verhoogde weefseloxygenatie.

1 Metabole CO_2- en protonproductie



Cellulaire dissimilatie in contractiele spiervezels genereert overtollig CO_2 en H^+. Koolzuuranhydrase zet CO_2 en water om in bicarbonaat (HCO_3^-) en frije protonen (H^+).

2 Protonenbinding en T-toestand stabilisatie



H^+ bindt aan specifiekie histidine-aminozuren in de globineketens van hemoglobine.. Dit oormt zoutbruggen die de quaternaire structuur vergrendelen in de T-toestand (laagaffiene conformatie).

3 2,3-BPG allosterische interactie



Het glycolytische tussenproduct 2,3-bisfosfoglyceraat nestelt zich in de centrale holte tussen de twee beta-ketens, wat binding van O_2 bemoeilijkt en afgifte verder bevordert.

4 Verhoogde zuurstofdiffusie naar mitochondria



Door de verlaagde affinitieit laat hemoglobine O_2 sneller los in het capillairbed, waardoor een stelie partiger ve..(gurdiënt ontstaat ongunstig cellulaire mitochondria.

Fysiologische Beslisboom: Curveverschuiving Redenering

Gebruik deze determinatiestructuur om te bepalan hoe een verschuiving van de zuurstofdissociatiecurve klinisch of inspanningsfysiologisck wordt interpeteperd.

Welke verandering in lokale metabole parameters treedt op in het microvasculaire bed?

- Lokale acidose (lage pH), verhoogde pCO_2, hoge temperatuur of hoog 2,3-BPG → **Rechtsverschuiving van de curve:** (Bohr-effect gactiveerd): affiniteit voor zuurstof daalt, P50 stijgt, en O_2 wordt sneller en volumineuzer afgegeven aan werkende weefsels.
- Alkalose (hoge pH), verlaagde pCO_2, hypothermie of laag 2,3-BPG → **Linksverschuiving van de curve:** affiniteit voor zuurstof stijgt, P50 daalt, hemoglobine houdt O_2 steviger vast (gunstig voor longgaivoli, ongunstig voor spierafgifte).

Dit materiaal dient uitsluitent voor educatieve en fysiologische analysedeelenden. Het is geen vervanging voor medische diagnostiek of behandeladvies. Fysiologische parameters dienen in een klinische context altijd geverifieerd te worden.

Interactief Werkblad: Parameter & Curve Registratie

Noteer observaties, bereeleningen of casusgegevens om de allosterische verschuivingen voor een specifeik fysiologisck scenario in kaart te berngen.

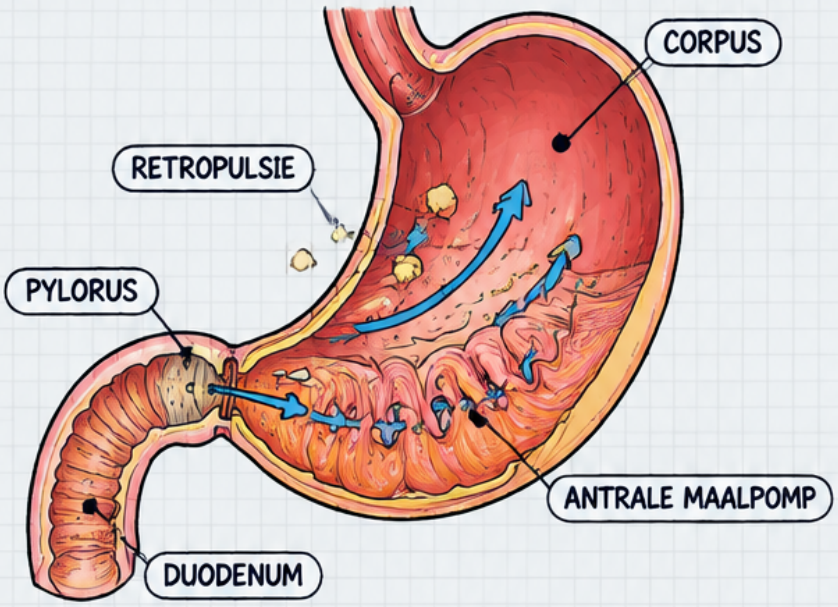
Geobserveerde weefsel-pH en pCO_2-waarde (kpa / mmHg)

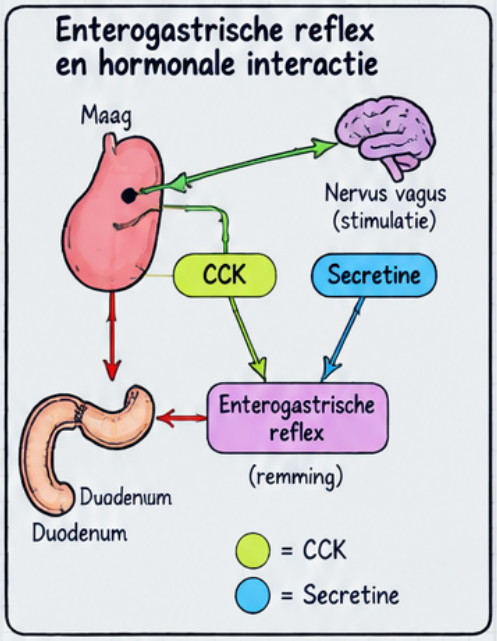
Berekende P50-waarde (partiële O_2-druk bij 50% saturatie)

Verschuivingsrichting (Rechts = Bohr-effect actie / Links = Retentie) en fysiologische ooraaak

Functionele consequentie voor cellulaire ATP-productie

MAAGLEDNING REGULATIE





1 Antrale Maalpomp en Neuro-hormonale Regulatie

Maagmotoriek en de Antrale Maalpomp

De maag fungeert niet als een passieve zak, maar als een dynamische mechanische pomp. Glad spierweefsel in het corpus en antrum genereert peristaltische contractiegolven onder aansturing van de interstitiële cellen van Cajal (de pacemaker van het maagdarmstelsel). Deze golven bewegen chymus naar de pylorus. Ondat de nauwe pylorusopening slechts partikels kleiner dan 1 tot 2 millimeter doorlaat, leidt de contractie van het antrum tot 'retropulsie': grotere voedselbrokken worden met krackt terugslingerd naar het corpus om verder vermalen en gemengd ta worden met maagsap.

- Fundus en corpus: receptieve relaxatie en accommodatie van de voedselbolus.
- Antrum: krarktige peristaltiek met vermaling van grove voedseldeeltjes.
- Pylorus: strak gereguleerde sluitspier die vloeistoffen en fijn chymus portiegewijs doorlaat.
- Retropulsie: terugkaatsing van vaste delen voor herhaalde mechanische verkleining.

Klinische en Educatieve Noot

Dit materiaal dient utisluitend voor anatomisch en fysiologisch onderwijs. Het vormt geen medisch behandeladvies of diagnostisch instrument.

2 Regulatiemechanismen: Intrinsieke en Extrinsieke Feedback

Maaglediging wordt nauwkeurig afgestemd tussen stimulerende maagimpulsen en remmende duodenale signalen. Terwijl maagwandrek en partieel verteerde eiwitten via gastrine en de nervus vagus de maalpomp aanzetten, treedt bij aankomst van chymus in de twaalfvingerige darm diccet een remmend feedbackmechanisme in werking om overbelasting van de dunne darm te voorkomen.

- Cefalische en gastrische stimulatie: nervus vagus verhoogt antrale contractiliteit en maagsapsecretie.
- Cholecystokinine (CCK): afgegeven door I-cellen bij aanwesfigajd van vetten; ontspant de proximale maag en sluit de pylorus.
- Secretine: vrijgemaakt door S-cellen bij lage pH (< 4,5); remt maagzuurproductie en vertraagt lediging.
- Enterogastrische reflex: neurale boog via plexus myentericus en sympathicus die motiliteit abrupt dempt bij duodenale rek of hyperosmolariteit.

Fysiologische Feitencontrole

De snelheid van maaglediging is primair afhankelijk van macronutriëntensamenstelling: vloeistoffen ledigen het snelst, gevolgd door koolhydraten, eiwitten en als langzaamste vetten.

Stap voor stap

1 Stap 1: Detectie in het Duodenum
Chemoreceptoren en osmoreceptoren in het slijmlies van het duodenum registreren de instroom van zure maaginhoud, vrije vetzuren en hyperosmotische partikels.

2 Stap 2: Entero-endocriene Secretie
Lokale entero-endocriene cellen geven CCK en secretine af aan de bloedbaan zodra vetzuren en waterstofionen drempelwaarden overschrijden.

3 Stap 3: Neurale Remming
De enterogastrische reflex onderdrukt parasympathische vagale stimulatie en activeert sympathische vezels naar de waagmusculatuur.

4 Stap 4: Antrale Remming en Pylorussluiting
De antrale pompkracht neemt diiect af en de pylorustonus stijgt. waardoor de lediging tijdelijk staakt tot het duodenum de chymus verneutralieserd en verwerkt heeft.

Welk feedbackpad domineert bij de binnenkomende chymus?

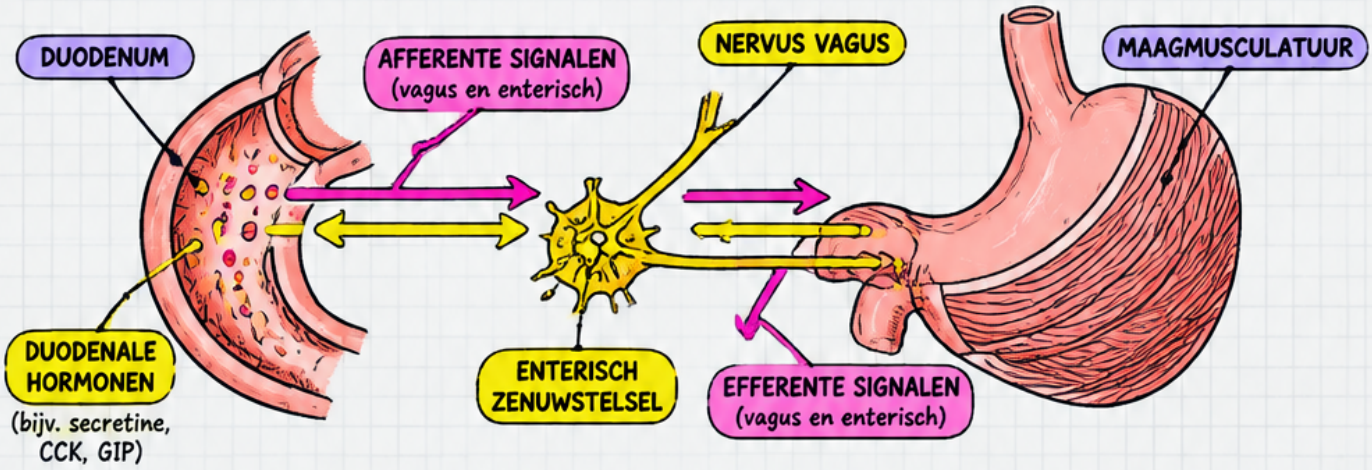
Hoge vetzuur- en aminozuurconcentratie in duodenum
Sterke CCK-afgifte leidt tot tonusverlaging van het corpus en verlengde maagretentie.

Hoge zuurgraad (pH onder 4,5)
Secretine-afgifte stimuleert pancreasbicarbonaat en remt direct antrale contracties.

Hyperosmolaire oplossing of mechanische overrekking duodenum
Enterogastrische zenuwreflex blokkeert ogenblikkelijk maagmotiliteit via het enterisch zenuwstelsel.

Dit materiaal dient utisluitend voor anatomisch en fysiologisch onderwijs. Het vormt geen medisch behandeladvies of diagnostisch instrument.

WERKBLAD EN FYSIOLOGISCHE ANALYSE



Zelfevaluatie: Fysiologische Analyse van Maaglediging

Gebruik dit werkblad om de invloed van verschillende maaltijdcomponenten op de neuro-hormonale regulatieassen te analyseren.

- ☐ Bepaal de primaire receptor- en hormoonrespons.
- ☐ Beschrijf de kinetiek van de antrale maalpomp.
- ☐ Verklaar klinische variaties in gastro-intestinale transittijd.

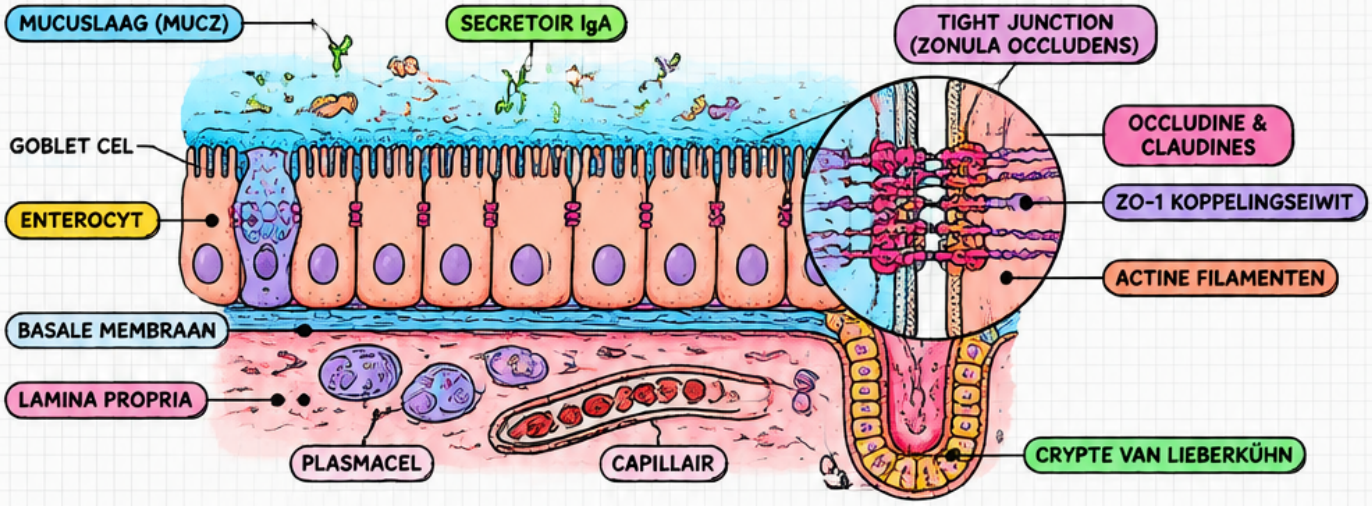
1 Verklaar waarom een vetrijke maaltijd significant langzamer ledigt dan een isotone koolhydraatoplossing:

2 Beschrijf de rol van de nervus vagus tijdens de maagaccommodatie en antrale contracties:

3 Benoem de twee effecten van duodenaal secretine op respectievelijk de maag en de pancreas:

Dit werkblad is uitsluitend bedeeld voor educatieve doeleinden.

DARM-BARRIÈRE EN TIGHT JUNCTIONS



GASTRO-INTESTINALE BARRIÈRE & EPITHELIALE INTEGRITEIT

De darmwand vormt een selectieve fysiologische barrière tussen het darmlumen en het interne milieu. Deze laag zorgt voor een fijnmazige balans: het maximaal opnemen van voedingsstoffen en elektrolyten enerzijds, en het resoluut tegenhouden van pathogenen, endotoxines en onverteerde macromoleculen anderzijds. De integriteit berust op een meerlaagse verdediging bestaande uit een slijmvliesdeklaag, een aaneengesloten enkellaags kolomepitheel en gespecialiseerde afvalcompanen.

- Mucuslaag: Geproduceerd door slijmbekercellen (goblet cells), rijk aan mucines (MUC2) die een fysiche scheiding vormen tussen luminale bacteriën en het epitheeloppervlak.
- Secretoir IgA (sIgA): Dimere immunoglobulinen gesecreteerd door plasmacellen in de lamina propria en via transcytose naar de mucus getransporteerd voor immuunexclusie.
- Tight junctions (zonula occludens): Apicale cel-celverbindingen die de paracellulaire flux van water, ionen en opgeloste stoffen strikt reguleren via claudines en occludines.
- Epitheelvernieuwing: Snelle celdeling vanuit de crypten van Lieberkühn door Lgr5+ stamcellen, met volledige verniewwing van het darmepitheel elke 3 tot 5 dagen.
- Von het darmepitheel elke 3 tot 6 doorn.

Educatiove Disclaimer

Dit leermaterial is uitislotend bedeeld voor educatieve en fysiologische studiedoeleinden en vormt geen medisch advies, klinische diagnose of behandelrichttijn.

MOLECULAIRE WERKING VAN DE TIGHT JUNCTIONS

De paracellulaire permeabiliteit wordt bepaalad door specificike membraaaneiwitten die de intercellulaire suimte tussen enterocyten afsluiten en reguleren. Bestudeer de ondestaande stappens vam barrièreopuciaw en selectieve doorlaatbaarbeild:

- Occludine en Claudines: Transmembrananeiwitten met vier hydrofobe segmenten die homofiele en heterefiele bindingen vormen met de tegneoverdjggencie celmembraan.
- Zonula Occludens-1 (ZO-1): Een cytoplasmattisch scaffocl-eiwit dat de intracellulaire staart van claudines en occludines verankert aan het actine-cytoskelet.
- Porievormende versus barrièrevormende claudines: Claudine-2 vormt water- en kationporiën (hoge permeabiliteit), vewrijd claudine-1 en -4 de intercellulaire spleet waterdicht afsluiten.

Pathofysiologische Aandachtspunt

Ontstekingsmediatoren zoals TNF-alfa en IFN-gamma stimulenen Myosine Lichte Keten Kinase (MLCK), wat leidt tot actomyosinecontracttie, internalisaite van occludines en verhoogde paracellulaire lek.

1 Apicale [illegible] en [illegible]	2 Selectieve kation-[illegible] en [illegible]	3 Afdichting van [illegible]	4 Actine-cytoskeletale [illegible]
Antigenen en commensale bacteriën worden gebonded door het secretoir IgA in de buitenste muuslaag. waareoor driect celcontact wordt [illegible].	Langs de porievormende claudines (zoals claudine-2) diffunderen natriumionen en water passief via ee paracellulaire route naar het interstitium.	Occludine en afdichtende claudines (o.a. claudine-1) blokkeren de intercellulaire doorgang van endotoxinen (LPS) en grote peptiden.	ZO-1 en ZO-2 medieren spanningsoverdracht van het celmembraan nasr het perijunctionele actine-myosine-netwerk om de verbindingssterkte aan te passen.

ANALYSE VAN EPITHEELPERMEABILITEIT & DIAGNOSTISCHE VRAGEN

Evalueer de barrièrestatus op basis van fysiologische parameters en transportroutes aan de hand van deze beslissingslogica. [illegible]

- Transcellulair transport: Actief of passief transport door de enterocyt (nutriëntenopname via GLUT2, SGLT1, aminozuurtransporters).
- Paracellulair transport: Passieve diffusie tussen enterocyten door de poriën van het tight-junction-complex.

Is de epitheliale permeabiliteit fysiologisch selectief of pathologisch verhoogd?

Fysiologisch selectief:
Hoge transepitheliale elektrische weerstand (TEER), intacte mucuslaag en georganiseerde ZO-1 verankering.

Pathologisch verhoogd:
Lage TEER, verhoogde lactulose/mannitol-ratio in urine en translocatie van bacterieel LPS naar de lamina propria.

Handhaaf basale enterocytfunctie:
actieve absorptie van nuttriëten transcellulair en gereguleerde ionenflux via de paracellulaire porieroute.

Documenteer verstoring van occludine-claudineverbindingen, verhoogde MLCK-activiteit en infiltratie van pro-inflammatoire immuuncellen in de submuccsa.

PRAKTISCHE OEFENING & ZELFEVALUATIE DARM BARRIÈRE

Gberuik de onderstaande werkvelden om de structour, fysiologische transportmechanismen en klinische interpretatie van de mucosale barrière vast te leggen tjtdens je colleges of zelfstudie.

- Noteer de specifieke rol van secretoir IgA bij luminale immuunexclusie. Benoem het verschil tussen de functies van Claudine-1 en Claudine-2.
- Besscrijf het verloop van enterocytmigratie van de cryptbasis naar de villustop.

Verklaar hoe de mucuslaag en sIgA bacteriële translocatie verhinderen:

Beschrijf de moleclulaire koppelling tussen ZO-1, occludine en het actine-cytoskelet:

Gevolgen van MLCK-activatie op de paracellulaire permeabiliteit:

Fysiologische betekenis van snelle epitheelcelturnover (Lgr5+ cryptstamcellen):

Educatieve Disclaimer

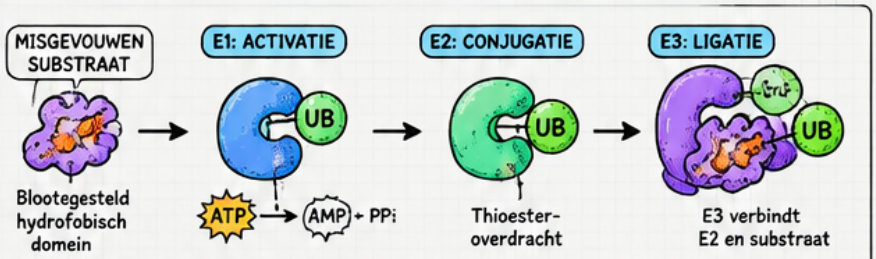
Dit leermateriaal is uitisluitend bedeeld voor educatieve en fysiologische studiedoeleinden en vormt geen medisch advies, klinische diagnose of behandelrichttijn.

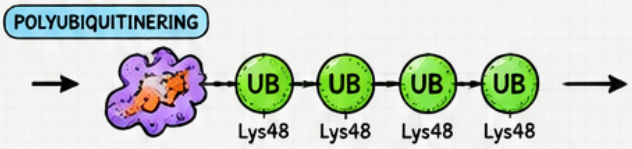
Eiwitafbraak via het Ubiquitine-Proteasoom Systeem

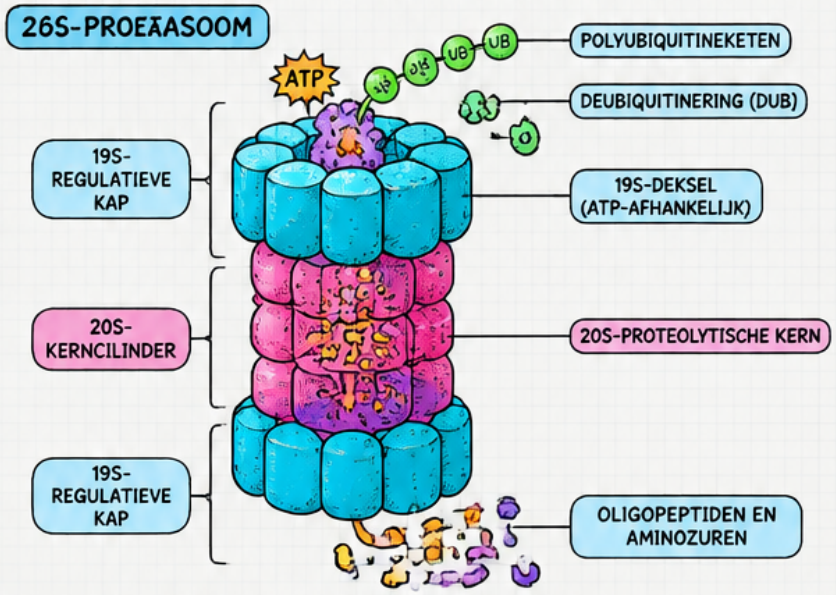
Moleculair Mechanisme van het Ubiquitine-Proteasoom Systeem

Het ubiquitine-proteasoom systeem (UPS) reguleert de gerichte intracellulaire proteolyse van baschadigde, verkeerd gevouwen of overbodige regulatoire eiwitten. Een multi-enzymatische cascade (E1, E2 en E3) voorziet het substraateiwit covalent van een polyubiquitineketen. Het 26S-proteasoom herkent dit signaal, ontvouwt het substraat onder verbruik van ATP en breekt het af tot herbruikbare korte peptiden en vrije aminozuren, terwijl ubiquitine-monomeren worden gerecycled.

- **E1 (Activerend enzym):** bindt en activeert vrij ubiquitine op ATP-afhankelijke wijze via een hoogenergetische thioesterbinding.
- **E2 (Conjugerend enzym):** neemt het geactiveerde ubiquitine over via transthiolering.
- **E3 (Ubiquitine-ligase):** herkent specifiek het doeleiwit en katalyseert de overdracht van ubiquitine naar een lysine-residu op het substraat.
- **Polyubiquitinering:** vorming van een keten (klassiek gekoppeld via Lysine 48) fungeert als het specifieke herkenningssignaal voor proteasomale afbraak.
- **26S-Proteasoom:** een 19S-regulerend complex ontplooit het doelewit en verwijdert de ubiquitines; de 20S-kernholte splitst de peptideketen proteolytisch.







> **Educatieve Disclaimer**
> Dit schema en de bijbehorende tekst dienen uitsluitend voor biologisch en medisch onderwijs. Ze zijn geen vervanging voor klinische diagnose, professioonel medisch advies of farmacologische richtiljnen.

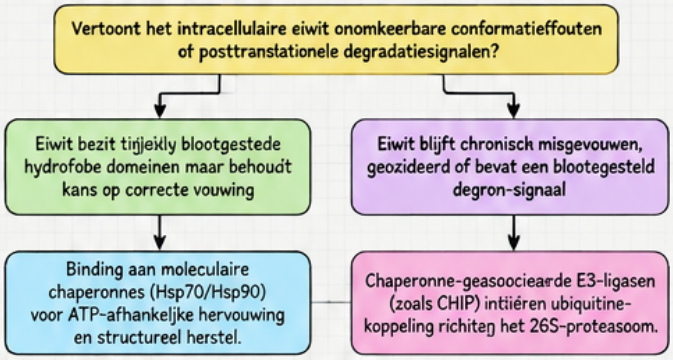
Stapsgewijze Enzymatische Cascade en Proteolyse

Volg onbertsanade stappen om het verloop van de ubiquitine-cascade tot en met de peptidolyse systematisch te analyseren.

1. **Stap 1: ATP-afhankelijke activering door E1**
   Ubiquitine-activerend enzym (E1) hydrolysert ATP en koppelt de C-terminus van ubiquitine aan zijn eigen cysteineresidu via een reactieve thioesterverbinding.
2. **Stap 2: Overdracht naar E2-conjugerend enzym**
   Het geactiveerde ubiquitine-molecuul wordt getransporteerd naar het actieve cysteineresidu van het ubiquitine-conjugerend enzym (E2).
3. **Stap 3: Substraatselectie en ligatie via E3**
   Het E3-ubiquitine-ligase bindt tegelijkertijd aan E2 en aan het specifieke doelewit (degron-motief) en katalyesert de vorming van een isopeptidebinding.
4. **Stap 4: Polyubiquitineketenvorming (Lys48-gekoppeld)**
   Herhaalde cycli verlengen de ubiquitineketen; een aaneenschakeling van minimaal vier ubiquitines via Lys48 markeert het eiwit definitief voor vernietiging.
5. **Stap 5: Herkenning en ontvouwing door het 19S-deksel**
   De 19S-regulerende subeenheid van het 26S-proteasoom bindt de polyubiquitineketen, knipt ubiquitine af met deubiquitinasen en ontplooit het doelewit met behulp van ATPasen.
6. **Stap 6: Proteolytische klieving in de 20S-kern**
   De lineaire polypeptideketen wordt door het centrale kanaal van de 20S-cilinder geleid en gekliefd door threonine-proteasen tot oligopeptiden van 3 tot 15 aminozuren.

Diagnostische Route: Eiwitkwaliteitscontrole

Beoorbed hoe de cel besiist tutsen hernieuwde eiwitvouwing en ubiquitine-gemedieerde afbraak.



Zelfevaluatie en Werkblad: Mechanisme-analyse

Gberuik dit werkblad titjdens college of zelfstudie om de moleculaire interacties san heit UPS-systeem vaste leggen.

Doelsubstraat en reden van degradatie (bv. misvouwing, celccyclusregulatie):

Geleverd E1/E2/E3-enzymencomplex en substraatspecificiteit:

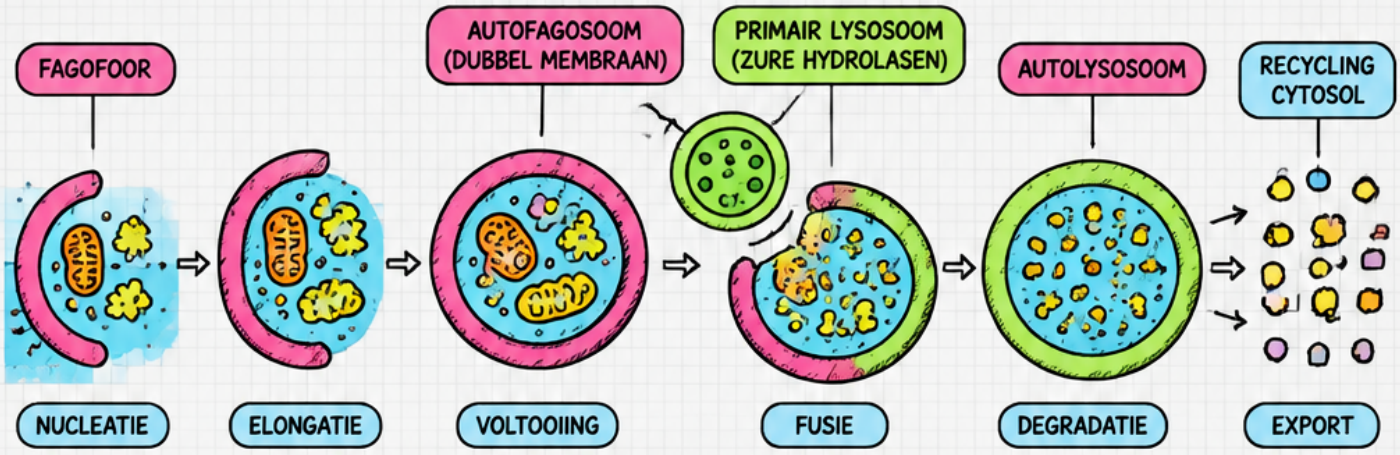
Type ubiquitinekoppeling (Lys48-degradatie versus Lys63-signalering):

ATP-verbruikspunten (E1-activering en 19S-ontvouwingscomplex):

Eindproducten en recyclage (vrije ubiquitines en aminozuurpool):

Educatieve Disclaimer: Dit schema en de bijbehorende tekst dienen uitsluitend voor biologisch en medisch onderwijs. Ze zijn geen vervanging voor klinische diagnose, professieonel medisch advies of farmacologische richtlijnen.

CELLULAIRE AUTOFAGIE



Cellulaire Autofagie en Lysosomale Degradatie

Fysiologisch Overzicht: Macro-autofagie en Celrecycling

Autofagie is een fysiologisch katabool proces waarbij de eukaryote cel eigen componenten — zoals beschadigde mitochondriën (mitofagie), foutief gevouwen eiwitaggregaten en peroxisomen — selectief of niet-selectief omsluit en afevert bij het lysosoom voor enzymatische afbraak.

Dit mechanisme handhaaft de cellulaire homeostase tijdens perioden van nutriëntenschaarste en oxidatieve stress.

- **Fagofoor-initiatie:** vorming van een isolatiemembraan onder invloed van stroomafwaartse ULK1- en PI3K-klasse-III-complexen.
- **Elongatie en omsluiting:** fosfatidylethanolamine-conjugatie van LC3 (LC3-I naar LC3-II) zorgt voor membraankromming en sluiting van het autofagosoom.
- **Lysosomale fusie:** SNARE-eiwitten mediëren de fusie tussen het buitenmembraan van het autofagosoom en een primair lysosoom tot een autolysosoom.
- **Enzymatische hydrolyse:** zure hydrolasen breken de ingesloten macromoleculen af tot vrije aminozuren, vetzuren en nucleotiden voor metabole recycling.

Educatieve Disclaimer

Dit leermateriaal dient uitsluitend voor biologische en fysiologische educatieve doeleinden. Het vormt geen klinische diagnose, behandeladvies of vervanging van professionele medische consultatie.

De Vier Fysiologische Fasen van Autofagie

Bestudeer de dynamische transformatie van fagofoor tot autolysosoom aan de hand van de vier kernstappen:

1 Stap 1: Nucleatie van het Fagofoor



Inactivatie van mTORC1 bij nutriëntentekort activeert het initiatcomplex. Dit leidt tot de rekrutering van lipidebronnen vanuit het endoplasmatisch reticulum naar het isolatiemembraan (fagofoor).

2 Stap 2: Rijping tot Autofagosoom



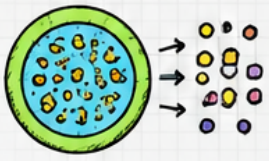
Het fagofoor verlengt zich en omcirkelt gesleccteerde cel-organellen. De randen versmelten naadloos met elkaar, wat resulteert in een intact, dubbelmembranig blaasje: het autofagosoom.

3 Stap 3: Fusie tot Autolysosoom



Het autofagosoom beweegt langg microtubuli naar het centrosoom. Daar versmelt het buitenmembraan met een primair lysosoom via interactie van membraaneiwitten (o.a. STX17 en SNAP29).

4 Stap 4: Lysosomale Degradatie en Export

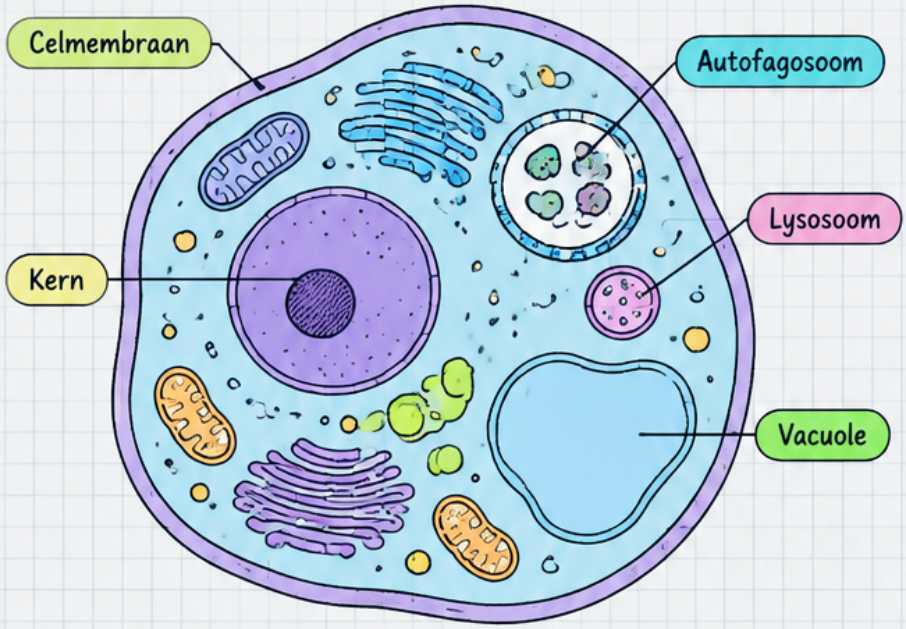


Het binnenmembraan en de cellulaire lading worden afgebroken door zure lipasen, proteasen en nucleasen (pH 4,5-5,0). Permeasen transporteren de gerecycleerde bouwstenen terug naar het cytosol.

Educatieve Disclaimer

Dit leermateriaal dient uitsluitend voor biologische en fysiologische educatieve doeleinden. Het vormt geen klinische diagnose, behandeladvies of vervanging van professionele medische consultatie.

ANALYSE CELLULAIRE AUTOFAGIE



MOLECULAIRE MARKERS

LYSOSOMALE STATUS

ANALYSE EN ZELFEVALUATIE: AUTOFAGIE-KINETIEK

Beoordeel de cellulaire respons en noteer uw observaties op basis van de fysiologische prikkel in het weefselmodel.

AANDACHTSPUNT BIJ BEOORDELING

Onderscheid de synthese van autofagosomen strikt van lysosomale klaring; accumulatie van blaasjes kan zowel duiden op inductie van autofagie als op een blokkade in lysosomale fusie.

Geidentificeerde stimulus (bijv. glucosedeprivatie, mTORC1-remming):

Moleculaire markers aanwezig (bijv. LC3-II puncta, p62/SQSTM1-afbraak):

Status van lysosomale verzuring en enzymactiviteit:

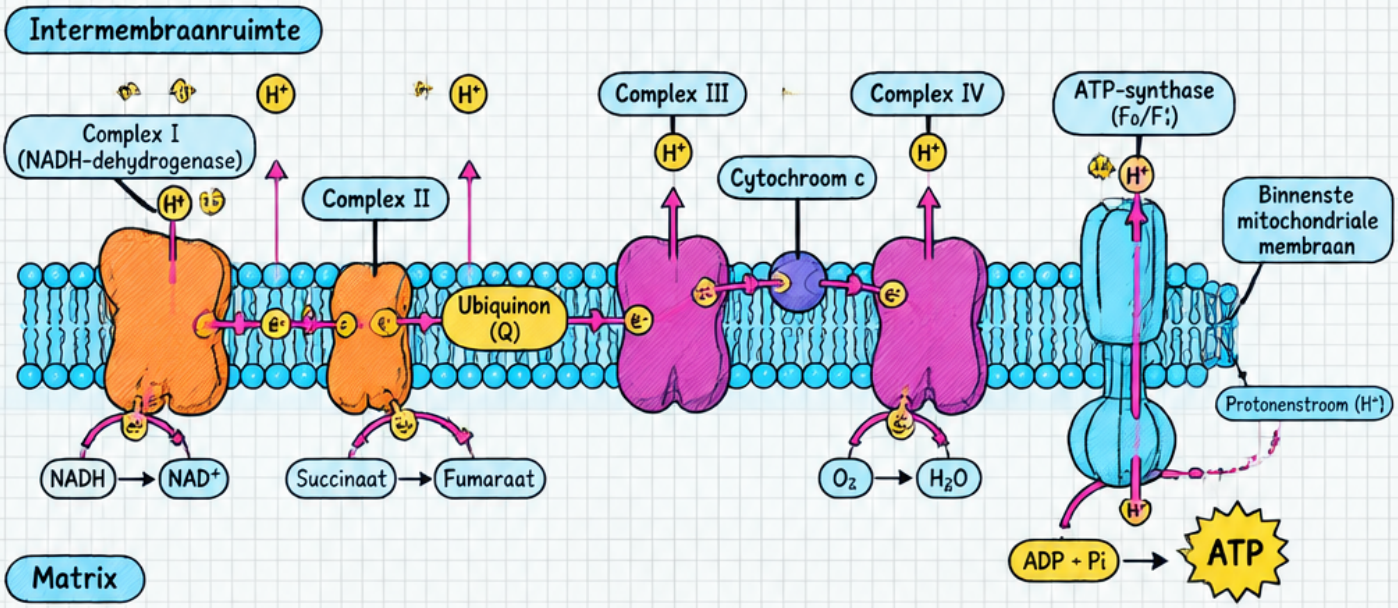
Eindconclusie cellulaire flux (volledige klaring versus fusiedefect):

Welk fysiologisch effect domineert in het geanalyseerde cellulair model?

- Actieve toename van LC3-II gepaard met progressieve daling van p62/SQSTM1 → Concludeer functionele autofagische flux met actieve recycling van metabolieten.
- Stijging van LC3-II gelijktijdig met accumulatie van p62 en gezwollen autofagosomen → Concludeer autofagosoom-lysosoom fusiedefect of verlise van lysosomale pH-gradiënt.

Dit materiaal is uitsluitend bedeeld voor educatieve doeleinden.

Mitochondriale ATP-synthese en Oxidatieve Fosforylering



Mechanisme van de Binnenste Mitochondriale Membraan

Oxidatieve fosforylering is het centrale bio-energetische proces waarbij cellen adenosinetrifosfaat (ATP) genereren door overdracht van elektronen naar zuurstof. In de binnenste mitochondriale membraan werken vier eiwitcomplexen samen om een elektrochemische gradiënt op te bouwen, die vervolgens door ATP-synthase wordt benut.

- Complex I (NADH-dehydrogenase) draagt elektronen over van NADH naar ubiquinon (co-enzym Q) en pompt 4 protonen naar de intermembraanruimte.
- Complex II (succinaatdehydrogenase) oxideert succinaat tot fumaraat en levert elektronen aan ubiquinon zonder direct protonentransport.
- **Complex III (cytochroom c-oxidoreductase)** draagt elektronen over naar cytochroom c via de Q-cyclus en pompt 4 protonen.
- **Complex IV (cytochroom c-oxidase)** reduceert moleculaire zuurstof tot water en transporteert 2 protonen over het membraan.
- **ATP-synthase (Complex V)** benut de protonmotorische kracht via rotatie van het c-ring-zomplex om ADP en anorganisch fosfaat te condenseren tot ATP.

Belangrijke Fysiologische Disclaimer

Deze illustratie en toelichting zijn uitsluitend bestemd voor educativve doeleinden en vormen geen medische diagnose, behandeladvies of klinische richtilijn.

Zelfevaluatie en Klinische Relaties

Toets uw inzicht in de biochemische koppeling tussen elektronenstroom, protonengradiënt en mechanische rotatie binnen leut mitochondrion.

- Identificeer het directe effect van ontkoppelaars (zaals thermogenine) op de membraanpotentiaal versus ATP-opbrengst.
- Onderscheid de stoichiometrische opbrengst tussen NADH-afhankelijke en $FADH_2$-afhankelijke oxidatie.

Gevolgen van selectieve inhibitie van Complex IV op de pH in de intermembraanruimte:

Berekening van het P/O-quotiënt bij oxidatie van één molecuul glycogeen-afgelied glucose:

Is er sprake van daling in zuurstofverbruik en gelijktijdige accumulatie van NADH?

Ja:
Zowel O_2-consumptie als ATP-synthese zijn geblokeerd

→ Controleer op specifieke ketenremmers (bijv. rotenon bij Complex I of cyanide bij Complex IV) die de elektronenoverdracht direct stilleggen.

Nee:
O_2-consumptie stiggt of blijft gelijk terwiji ATP-synthese daalt

→ Evalueer membraanontkoppeling waarbij het protonengradiënt dissipeert als warmte sonder aandriiying van het F_0F_1-complex.

SIGNAALCASCADES VAN APOPTOSE: INTRINSIEK VERSUS EXTRINSIEK

INLEIDING TOT APOPTOSE: TWEE WEGEN NAAR GECONTROLEERDE CELDOOD

Apoptose is het strak gereguleerde biochemische process van geprogrammeerde celdood. In tegenstelling tot necrose verloopt apoptose zonder ongecontroleerde membraanruptuur of diffuse ontstekingsreacties in het omliggende weefsel. De cel activeert een gecoördineerde proteolytische cascade waarin pro-caspases worden gekliefd tot actieve enzymen. Twee gespecialiseerde hoofproutes zetten deze cascade in gang: de intrinsieke mitochondriale route en de extrinsieke route via extracellulaire dodereceptoren.

- **Intrinsieke route:** reageert op intracellulaire schade zoals ernstige DNA-beschadiging, oxidatieve stress of verlies van overlevingsfactoren via het mitochondrion.
- **Extrinsieke route:** start via binding van extracellulaire liganden (FasL, TNF-alfa) op specifieke membraanreceptoren van de TNF-receptorfamilie.
- **Convergente uitvoeringsfase:** beide signaalroutes monden uit in de activatie van initiatorcaspases die vervolgens de gemeenschappelijke effectorcaspases 3 en 7 activeren.

EDUCATIEVE DISCLAIMER
Dit leermateriaal is uitsluitend bestemd voor educatieve doeleinden en studieondersteuning. Het vormt geen medisch advies, klinische diagnose of behandelrichtlijn.

DE INTRINSIEKE ROUTE: MITOCHONDRIALE PERMEABILISATIE EN HET APOPTOSOOM

De intrinsieke route wordt aangestuurd vanuit het binnenmilieu van de cel en staat onder controle van de Bcl-2-eiwitfamilie. Wanneer cellulaire stress de overhand krijgt, domineren pro-apoptotische eiwitten (Bax en Bak) over anti-apoptotische beschermers (zoals Bcl-2 en Bcl-xL). Hierdoor ontstaat mitochondriale buitenmembraan-permeabilisatie (MOMP), met massale uitstroom van cytochroom c naar het cytosol als direct gevolg.

KRITISCH SCHAKELPUNT
Dit vrijkomen van cytochroom c uit de mitochondriale intermembraanruimte markeert het onomkeerbare omslagpunt ('point of no return') van de intrinsieke route.

1. **Detectie van cellulaire schade**
DNA-breuken of metabole stress activeren BH3-only eiwitten die de remming op Bax en Bak opheffen.

2. **MOMP en cytochroom c efflux**
Bax/Bak vormen oligomere poriën in de buitenste mitochondriale membraan; cytochroom c lekt naar het cytoplasma.

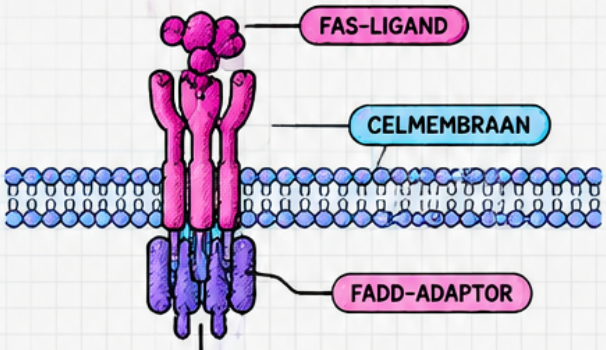
3. **Apoptosoom-assemblage**
Cytochroom c induceert dATP-afhankelijke conformatieverandering in Apaf-1, leidend tot een heptamere steracktige structuur.

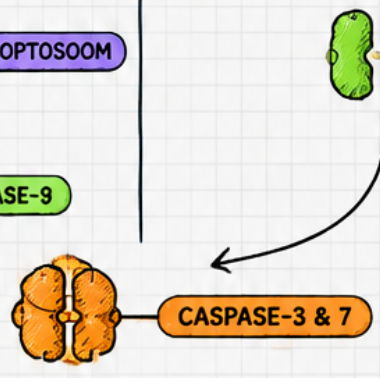
4. **Activatie van caspase-9**
Pro-caspase-9 wordt in het apoptosoom gekliefd en omgezet in actief initiatorcaspase-9.



DE EXTRINSIEKE ROUTE: FAS-LIGAND EN DODERECEPTOR

De extrinsieke route start via binding van extracellulaire liganden (FasL, TNF-alfa) op specifieke membraanreceptoren van de TNF-receptorfamilie. Dit leidt tot de recrutering van adaptereiwitten en vorming van het DISC-complex, waarna pro-caspase-8 wordt gekliefd tot actief caspase-8.

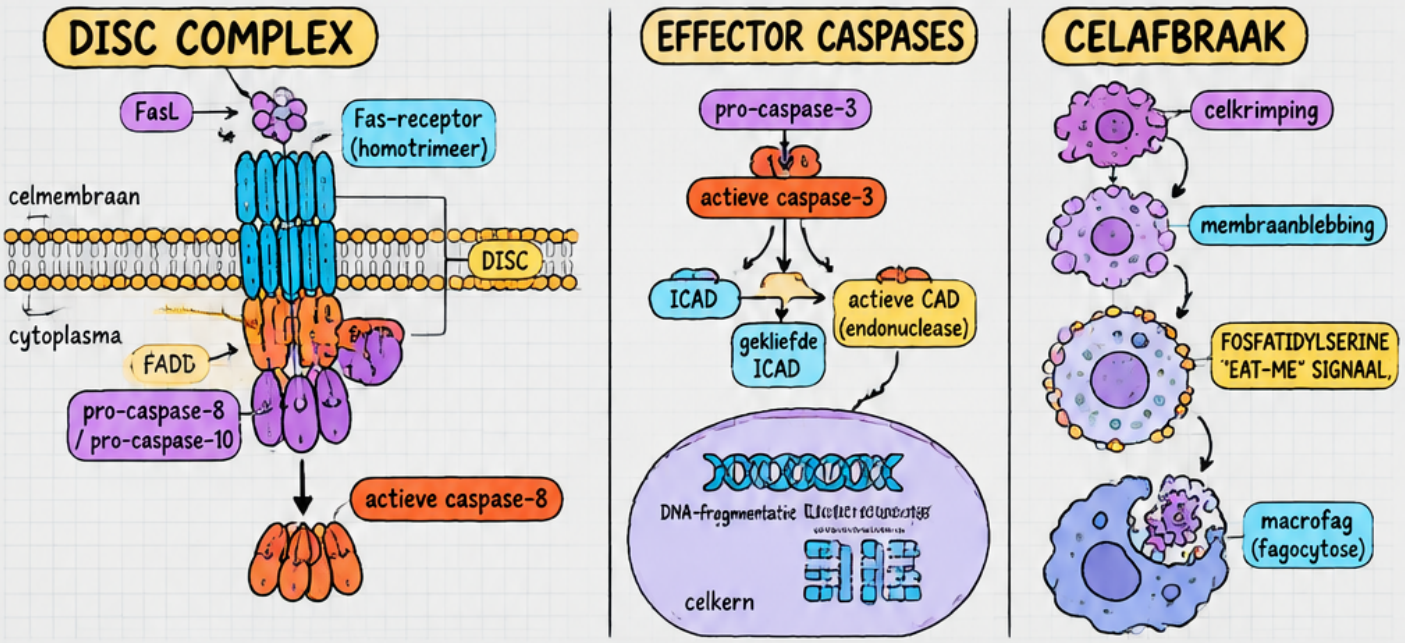






EDUCATIEVE DISCLAIMER
Dit leermateriaal is uitsluitend bestemd voor educatieve doeleinden en studieondersteuning. Het vormt geen medisch advies, klinische diagnose of behandelrichtlijn.

Extrinsieke Route, Executiefase en Vergelijkend Werkblad



De Extrinsieke Route: Dodereceptoren en DISC-Complex

De extrinisieke route vangt signalen op van buitecellulaire oorsprong, met name afkomsitg van cytotoxische immuuncellen. Signaalmoleculen zoals Fas-ligand (FasL) of TNF-alfa binden aan homotrimere dodereceptoren op het plasmamembraan. Deze binding triggert de clustering van cytoplasmatische Death Domains (DD) en rekruteert adaptor-eiwitten zoals FADD.

- Binding induceert conformatieveranderingen die het Death-Inducing Signaling Complex (DISC) aan de membraan assembleren.
- FADD bindt via Death Effector Domains (DED) aan pro-caspase-8 en pro-caspase-10.
- Hoge lokale concentraties leiden tot autokatalytische klieving en vrijgave van actief caspase-8 in het cytosol.
- Crosstalk: Caspase-8 kan Bid klieven tot tBid, wat de intrinsieke mitochondriale route versterkt.

1. **Ligand-receptorbinding**
   FasL bindt aan Fas-receptor, homotrimerensamenvoeging activeert de intracellulaire Death Domains.
2. **DISC-vorming**
   Adaptoreiwit FADD rekruteert pro-caspase-8 via DED-interacties. tot een actief multimere complex.
3. **Klieving tot Caspase-8**
   Autokatalyse genereert de actieve heterotetramere vorm van initiatorcaspase-8.
4. **Effectoractivatie en Bid-splitsing**
   Caspase-8 splitst direct pro-caspase-3 en initieert parallel mitochondriale amplificatie via tBid.

Klinische Differentiatie: Route-Analyse bij Celdood

Gebruik onderstaand beslisschema om te bepalen welke signaalroute primair actief is bij waargenomen experimentele of pathologische veranderigen in cel- en weefselmodellen.

Welk type prikkel of moleculaire trigger initieert het apoptotische proces in luit wesslel?

- **Cytotoxische T-celbinding, FasL-aanwezigheid of verhoogde extracellulaire TNF-concentratie**
  - Evalueer extrinisieke routeactiviteit: meet expressie van Fas-receptor, DISC-assemblage en splitsing van pro-caspase-8.
- **Geootoxische schade, hypoxie, cytokine-deprivatie of intracellulaire calciumoverbelasting**
  - Evalueer intrinsieke routeactiviteit: meet mitochondriale membraanpotentiaal (ΔΨm), cytochroom c-afgijte en caspase-9 activitsit.
- **Gelijktidige detectie van tBid-fragmenten en Caspase-8 splitsing na ligatiestimulatie**
  - **Documenteer activve crosstalk**: Type II-celrespons waarbij extrinsieke stimulatie via tBid adamelkelk is van mitochodriale amplificatie.

De Executiefase: Caspase-3/7 en Morfologische Afbraak

Zowel caspase-9 (intrinisiek) als caspase-8 (extrinisiek) splitsen de inactieve pro-vormen van caspase-3 en caspase-7. Deze effectorcaspases breken structurele en enzymatische doeleiwitten in de cel systematisch af, wat leidt tot de klasiseke morfologische kenmenkren van apoptose zonder lekken van ontstekingsbevorderende intracellulaire molecuelen.

- ICAD-klieving: effectorcaspases klieven de remmer van CAD (Caspase-Activated DNase), waardoor CAD internucleosomale DNA-fragmentatie uitveert.
- Cytoskeletale degradatie: klieving van actine, lamine en fodrine resulteert in krimp van de cel en membraanblebbing.
- Externalistiee van fosfatidylserine: flip-fop naar het buitenblad van de celmembraan dient als direct 'eat-me-' signaal voor macrofagen.

Onderscheid met Necrose

Apoptose behoudt membraanintegriiteit tot opname door fagocyten; necrose resulteert juist in vroege membraanlysis en sterke inflammatie.

Zelfstudie & Vergelijkingswerkblad Signaalcascades

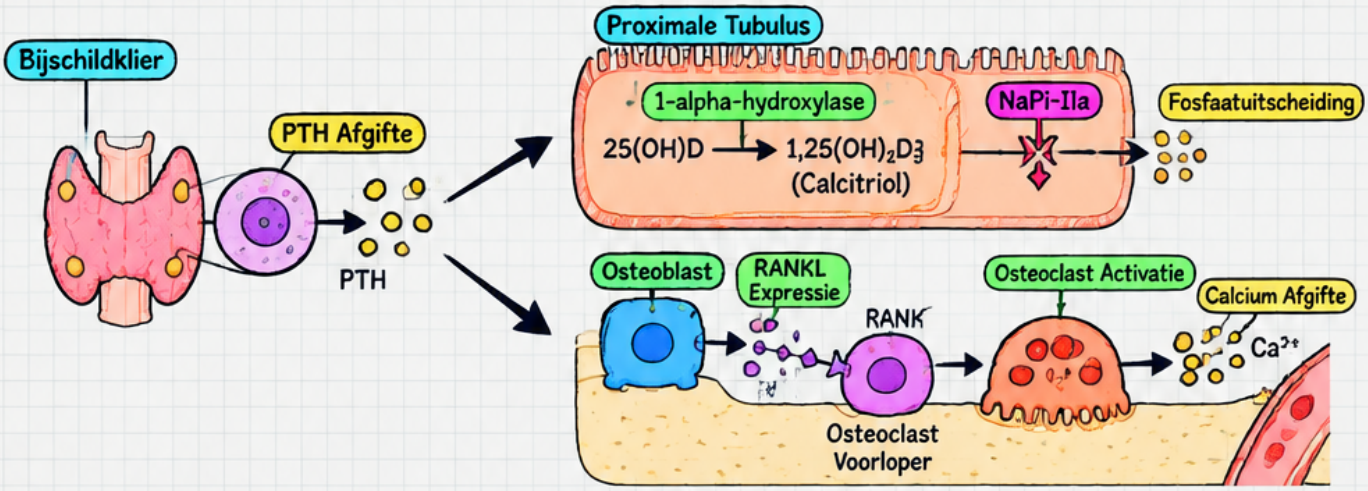
Gebruik dit werkblad tijidens de bestudering van microscopische preparaten of signaaltransductieschema's om de status en markers van beide signaalcascades systematisch vast te leggen.

- Vul de geobserveerde waarden en eiwitexpressies in voor zowel de intrinsieke als dan extrinsieke markers.
- Controleer of de waargenomen morfologie overeenkomt met celdood via apoptotische lichamen of necrotische zwelling.

Geidentificeerde stimulus / stressor (bv. UV-straling, chemo, FasL-antilichaam):	Mitochondriale status (Cytochroom c lokalisatie: mitochondriaal vs. cytosolisch):	Gedetecteerde initiatorcaspase (Caspase-8/10 extrinsiek of Caspase-9 intrinsiek):	Effectoractiviteit (Klievingsstatus van Caspase-3/7 en substraat PARP):	Fagocytose-merkers (Fosfatidylserine-detectie via Annexine-V labeling):

Dit materiaal is uitsluitend bedoeld voor educatieve doeleinden.

PTH EN VITAMINE D REGULATIE



Bijschildklierhormoon en Vitamine D-interacties

Educatieve Context en Disclaimer

Deze leereenheid behandelt de endocriene communicatie tussen de bijschildklieren, de nieren en het skeletweefsel. Het model verheldert hoe calcium- en fosfaathomeostase op celniveau gereguleerd worden. Dit material is samengesteld voor biologisch en medisch onderwijs aan studenten en docenten. Het is een visuele studietool en nadrukkelijk geen medisch diagnose-instrument of therapeutische richtlijn. Voor klinische toepassingen dient altijd de geldende medische vakliteratuur geraadpleegd te worden.

- **Focus:** Interactie tussen bijschildklieren, proximale tubuli en botmatrix.
- **Primaire doelstelling:** Begrip van de 1-alpha-hydroxylase-stimulatie en de RANK/RANKL-signaleringsroute.
- **Status:** Uitsluitend bedoeld voor educatieve analysedoeleinden.

Educatieve Disclaimer

Deze illustratie en toelichting zijn puur educatief van aard. Ze vormen geen medisch behandeladvise, diagnose of klinisch protocol. Raadpleeg bij klinische casuistiek altijd gecertificeerde medische bronnen.

Het Tripartiete Endocriene Mechanisme

De calciumspiegel in het extracellulaire compartiment wordt scherp bewaakt door calcium-sensing recepteren (CaSR) op de hoofdcellen van de bijschildklieren. Wanneer de ionogene calciumconcentratie ([Ca^{2+}]) daalt, reageert het systeem via een gecoördineerde driewegrespons utssen klierweefsel, tubulair nierepitheel en de botombouw.

- **Detectie:** Recepteron registteren een verlaagde ionogene calciumspiegel in het plasma.
- **Nierrespons:** PTH stimuleert 1-alpha-hydroxylase in de proximale tubulus. en remt tegeligkeritid de NaPi-IIa cotransporters.
- **Skeletrespons:** PTH activeert osteoblasten tot verhoogde expressie van RANKL, wat via binding aan RANK op pre-osteoclasten leidt tot botresorptie.
- **Intestinaal effect:** Het gevormde 1,25-dihydroxyvitamine D3 (calcitriol) stimuleert de enterocyten tot opname van calcium en fosfaat.

Fysiologisch Kernprincipe

PTH verhoogt selectief vrij plasma-calcium sender calciumfosfaatneerslag te verorszaden doordat het fosfaatverlies via de nieren gelijktidig toeneemt (fosfaturie).

1 Stap 1: Secretie van Parathormoon (PTH)

Bij een daling van de extracellulaire calciumconcentratie vermindert de activatie van de calcium-sensing receptor (CaSR) in de bijschildklieren, waardoor de exocytose van PTH snel tonneemt.

2 Stap 2: Renale Omzetting en Fosfaatuitscheiding

PTH bindt aan de PTH1R-receptor in de proximale tubulus. Dit stimuleert het enzym 25-hydroxyvitamine D3-1-alpha-hydroxylase (CYP27B1) en zorgt voor de internalisatie van NaPi-IIa cotranspotters, waardoor fosfaatresorptie stopt.

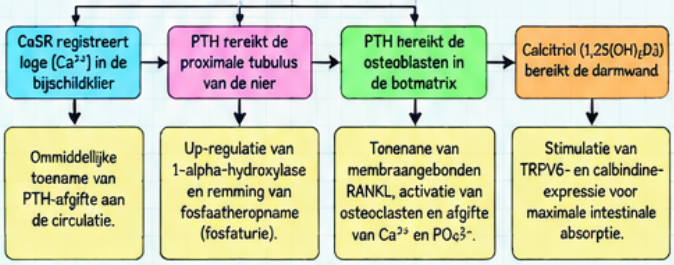
3 Stap 3: Skeletactivatie via de RANK/RANKL-as

In het botweefsel bindt PTH aan osteoblasten, die vervolgens RANKL tot expressie brengen en osteoprotegerine (OPG) velaagen. RANKL bindt aan de RANK-receptor op osteoclastvoorgangers, wat resulteert in botresorptie en calciumafgifte aan het bloed.

4 Stap 4: Enterale Absorptie en Negatiove Terugkoppeling

Het gevormde calcitriol (1,25(OH)$_2$D3) bevordert de calbindine-gemedieerde opname van calcium in de dunne darm. Sowel gestegen calciumspiegels als calcitriol remmen uiteindelijk de verdere secretie van PTH.

Welke endocriene respons volgt op een daling van het geïoniseerd serumcalcium?



Zelfevaluatie en Casusverwerking

Gedetailleerde oefenstramate verwerken como de signaalcascades te analyseren en de klinisch-fysiologische mechanismen te valideren. Noteer de feedbackloops en enzymatische stappen.

- Verifieer de rol van de bijschildklieren bij acute calciumdaling.
- Beschrif de moleculaire remming van fosfaat in de tubull.
- Verklaar de balans tussen RANKL en OPG tijdens osteoclastogenese.

Beschrijf de directe invloed van PTH op de renale 1-alpha-hydroxylase:

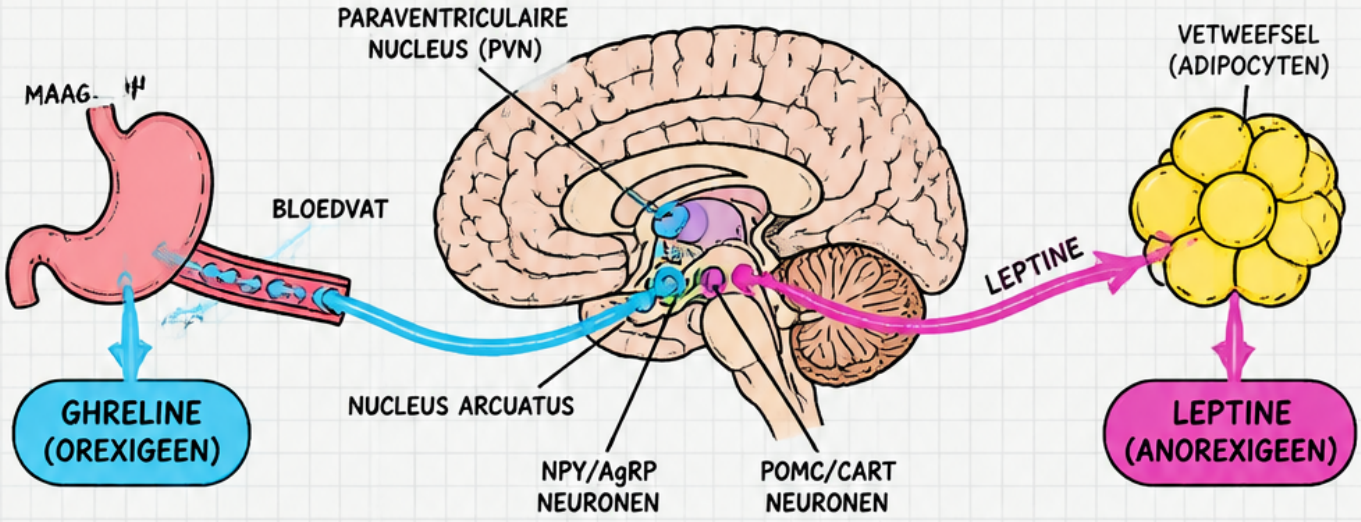
Wat is het netto-effect van verlaagde NaPi-IIa cotransporteractiviteit op de serumfosfaatspiegel?

Hoe zorgt de verhouding tussen RANKL en OPG voor gereguleerde botafbraak?

Noteer het negatieve terugkoppelingspad van 1,25-dihydroxyvitamine D3 naar de bijschildklier:

ADIPOKINE-SECRETIE & EETLUSTREGULATIE

Adipokine-secretie en Eetlustregulatie: Leptine versus Ghreline



Fysiologie van de Metabole Energiebalans

De **homeostase** van **lichaamsgewicht** en **energieopslag** wordt centraal gecoördineerd in de hypothalamus, specifiek binnen de **nucleus arcuatus** (ARC). Twee perifere hormonen fungeren als primaire metabole boodschappers: ghreline, hoofdzakelijk afgescheiden door endocriene cellen in de maagfundus bij een lege maag, en leptine, geprdouceerd door wit vetweefsel (adipocyten) in verhouding tot de totale vetmassa. Beide signalen kruisen de bloed-hersenbarrière ter hoogte van de eminentia mediana en eefheen tegengestelde effecten uit op twee afzonderlijke neuronale populaties.

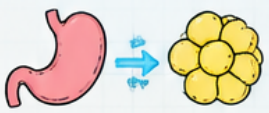
- **Ghreline (orexigeen)**: stimuleert de eetlust vóór de maaltijd via NPY- en AgRP-neuronen.
- **Leptine (anorexigeen)**: remt de voedselinname op lange termijn via POMC- en CART-neuronen.
- **Nucleus arcuatus** (ARC): fungeert als integratiecentrum voor acute hongerprikkels en chronische energiereeserves.

Educatieve Disclaimer
Dit leermateriaal is uitsluitend bestemd voor educatieve en fysiologische studiedoeleinden. Het is geen medisch diagnose-instrument of behandeladvies voor metabole aandoeningen.

Neurochemisch Werkingsmechanisme in de Hypothalamus

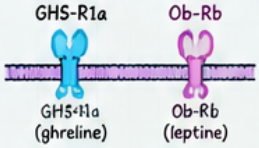
De wisselwerking tussen perifere peptiden en centrale receptoren verloopt via gecoördineerde signaalcascades:

1 Stap 1: Secretie en Tranport



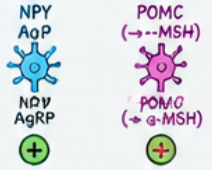
Bij een lege maag scheiden P/D1-cellen ghreline af in de circulatie. Omgekeerd scheiden rijpe adipocyten continu leptine af evenredig met de triglyecriden-voorraad in dez vetweefsel.

2 Stap 2: Receptorbinding in de Nucleus Arcuatus



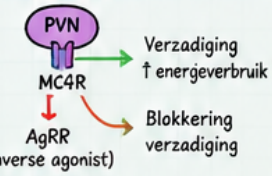
Ghreline bindt aan de groeihormoonsecretagoge-receptor (GHS-R1a) op NPY/AgRP-neuronen. Leptine bindt aan de transmembraan leptinereceptor (Ob-Rb) op sowel POMC/CART- als NPY/AgRP-neuronen.

3 Stap 3: Modulatie van Neuropeptiden



Ghreline activeert NPY en AgRP, die de eetlust stimuleren en het basaal metabolisme vertragen. Leptine activeert pro-opiomelancortine (POMC), dat gekliefd wordt tot alfa-MSH, en remt tegelijkertijd de NPY/AgRP-activiteit.

4 Stap 4: Tweedegeneratie Signaaloverdnacht



Alfa-MSH stimuleert melanocortine-4-receptoren (MC4R) in de paraventriculaire nucleus (PVN), wat liedt tot verzadiging en verhoogd energieverbruik. AgRP fungeert als endogene inverse agonist op MC4R om verzadiging juist te blokkeren.

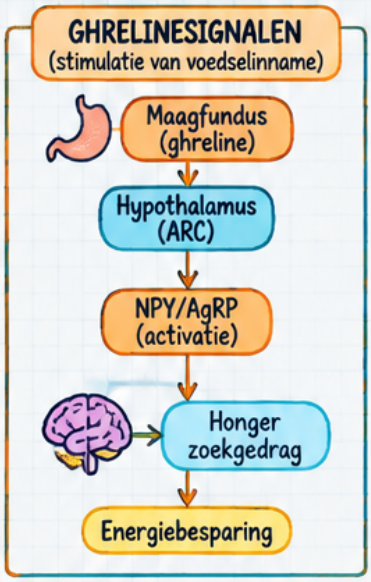
Dit leermateriaal is uitsluitend bestemd voor educatieve en fysiologische studiedoeleinden. Het is geen medisch diagnose-instrument of behandeladvies voor metabole aandoeningen.

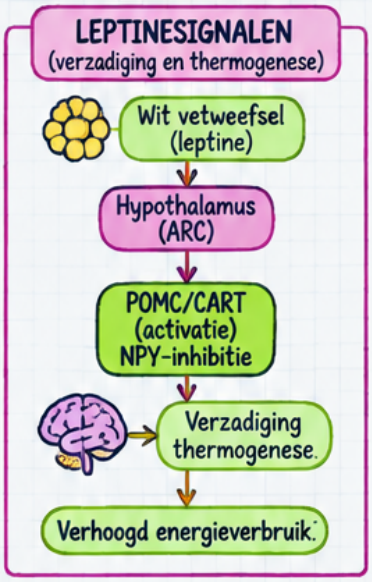
SIGNALCASCADES EN VERGELIJKENDE ANALYSE

Differentiatie en Vergelijkingstabel

Overzicht van de functionele eigenschappen van beide regulatorsystemen:

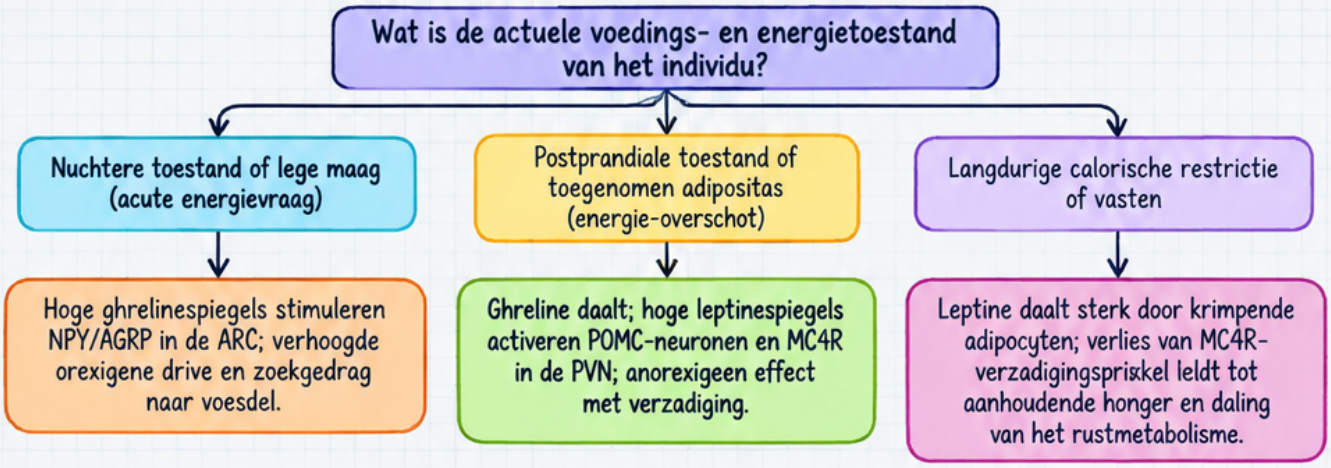
- **Oorsprong:** Maagfundus (ghreline) versus Wit vetweefsel (leptine).
- **Signaalduur:** Acuut en pulsatiel rond maaltijden (ghreline) versus Tonisch en evenredig aan vetmassa (leptine).
- **Primaire doelsectie:** NPY/AgRP-activatie (ghreline) versus POMC/CART-activatie en NPY-inhibitie (leptine).
- **Eindrespons:** Hongergevoel en energiebesparing versus Verzadiging en thermogenese.





Klinische Differentiatie en Evaluatieboom

Gebruik dit beslissingsschema om bepalen welke metabole feedbeakroute dominant actief is tijdens verschilende metabole toestanden:



Zelfevaluatie en Functie-Analyse

Vul de onderstaande werkvelden in om de signalpaden en fysiologische interacties te testen en vast te leggen in je studienotities:

Verificatievereiste

Controleer bij fysiologische casusvragen altijd of het mechanisme een acuut hormonaal antwoord betreft (maagdarmsteles) of een langdurig adipostatsick feedback-mechanisme (vetweefsel).

- [ ] Beschrijf het effect van AgRP-afgifte op de MC4-receptor in de paraventriculaire nucleus:
- [ ] Wat gebeurt er met de leptinespiegels en POMC-activiteit tijdens een acute calorische restrictie van 48 uur?
- [ ] Noteer het belangijkste neurochemische verscihi tussen orexigene en anorexigene neuronen in de nucleus arcuatus:

Dit materiaal is uitsluitend bedoeld voor educatieve doeleinden.

MESTCELDEGRANULATIE

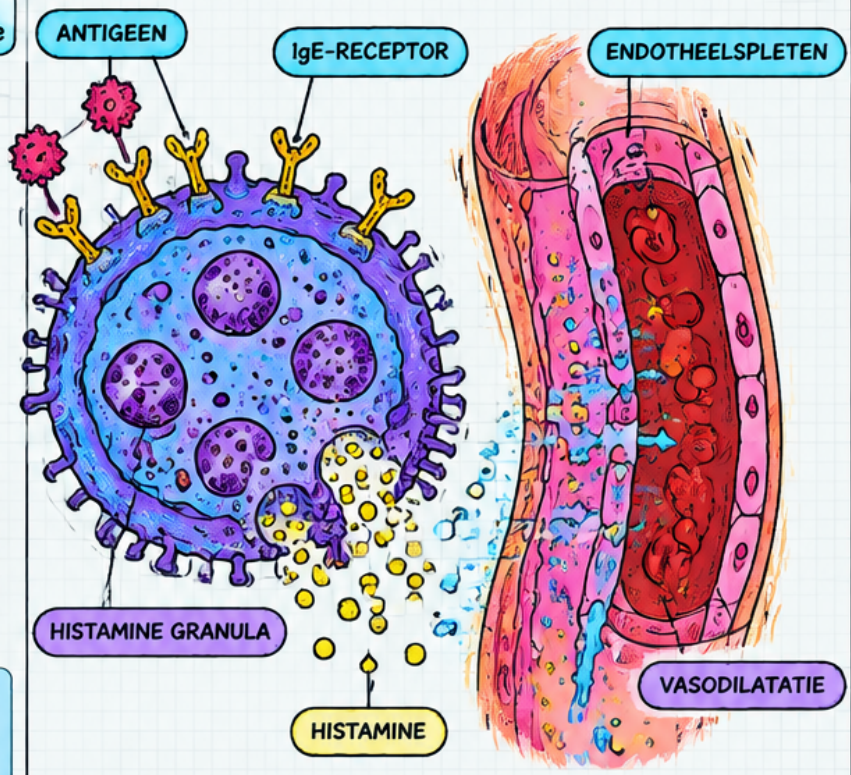
Histamine-gemedieerde Vaatverwijding en Mestceldegranulatie

Cellulair Mechanisme van Histaminerge Vasodllatatie

Tijdens een type I allergische reactie of acute ontstekingsrespons spelen mestcellen in het bindweefsel een centrale rol. Na eerdere sensibilisatie dragen mestcellen allergeenspecifieke IgE-antilichamen op hun celmembraan. Bij herhaald contact bindt het antigeen kruislings aan deze antilichamen, wat leidt tot zoun snelle intracellulaire cascade, exocytose van granula en het vrijkomen van vasoactieve amines zoals histamine in de interstitiële ruimte.

- Binding van allergeen aan membraangebonden IgE activeert tyrosinekinasen.
- Stijging van intracellaalir calcium induceert granula-fusie met de plasmamembraan.
- Vrijgekomen histamine bindt op H1-receptoren van arteriolaire gladde spiercellen en capillaire endotheelcellen.

Educatieve Disclaimer
Dit leermiddel dient uitsluitend voor biologische en fysiologische scholing en vormt geen klinische diagnose of behandeladvies.



Stap-voor-stap Fysiologische Cascade

Volg de opeenvolgende fasen van mestceldegranulatie tot lokale vasculaire respons:

1 Kruisbinding & Signaaltransductie
Twee of meer Fc-epsllon-RI-gebonden IgE-moleculen binden gelijktijdig testzellde allergeen, wat leidt tot receptor-clustering en fosforylering van membraanei-witten.

→

2 Calcium-influx & Exocytose
Opening van calciumkanalen zorgt voor een snelle toename van vrij calcium in tes cytosol, waardoor de transportblaasjes met histamine versmelten met de buitenmembraan.

→

3 Endotheelcontractie & Permeabiliteit
Histamine activeert H1-receptoren op endotheelcellen, die samentrekken waardoor tussenliggende spleten (fenestraties) verruimen en plasma-eiwitten lekken naar het weefsel.

→

4 Vasodilatatie & Erytheem
Activatie van endotheliale stikstofoxidesynthase (eNOS) produceert NO, wat relaxatie van arteriolaire gladde spiercellen veroorzaakt en leidt tot toegenomen lokale doorbloeding.

Analyse van Respons en Vasculaire Veranderingen

Gebruih onderstaande beslisstructuur om de directe functionele gevologen van de mestcelmediatoren: op de microcirculatie te analyseren.

Klinisch Correlatiepunt
Toegenomen vaatwanddoorlaatbaerhieid leidt tot lokaal oedeem en weefselzwelling (wheal-and-flare reactie).

Geobserveerd allergeen of ontstekingsprikkel

Geschtatte weefselrespons (erytheem / oedeemvorming)

Betrokken receptortypen en vaatreacties in studiemodel

is er sprake van lokale H1-stimulatie of systemische mediatordistributie?

Lokale mediatordistributie (bijv. dermale reactie)
Beperk analyse tot arteriolaire dilatatie en lokale toename van capillaire permeabiliteit met circumscripte zwelling.

Systemische uitscheiding van mediatoren
Evalueer gegeneralizeerde vasodilatatie, forse perifere weerstandsdaling en daling van de systemische bloeddruk.

Dit leermiddel dient uitsluitend voor biologische en fysiologische scholing en vormt geen klinische diagnose of behandeladvies.

HEMOSTASE & INFLAMMATIE

Hemostase en de Vroege Wondrespons

Wondgenezing: Overzicht van het Dynamische Herstelproces

Cutane wondgenezing is een strikt gecoördineerde fysiologische respons op weefselbeschadiging. Het proces herstelt de integriteit van de huidbarrière via vier opeenvolgende en deels overlappende fasen: hemostase, inflammatie (ontsteking), proliferatie en remodellering. Waar statische anatomie de weefsellagen toont, brengt de fysiologie de cellulaire cascades, signaalmoleculen en extracellulaire matrixdynamiek in kaart.

Educatieve Medische Disclaimer
Dit leermateriaal is uitsluitend bestemd voor educatieve doeleinden en studieondersteuning voor studenten en docenten. Het vormt geen medisch advies, klinische richtlijn of behandelvoorschrift voor acute of chronische wonden.

- **Hemostase:** directe vaatvernauwing, trombocytenaggregatie en vorming van een stabiel fibrinenetwerk.
- **Inflammatie:** rekrutering van neutrofielen voor fagocytose, geovjed door macrofagen die weefselresten ruimen en cytokinen afgeven.
- **Proliferatie:** angiogenese gestuurd door VEGF, activatie van fibroblasten en aanmaak van voorlopig collageen type III.
- **Remodellering:** reorganisatie en vernetting van de matrix, met vervanging van collageen type III door trekvast collageen type I.

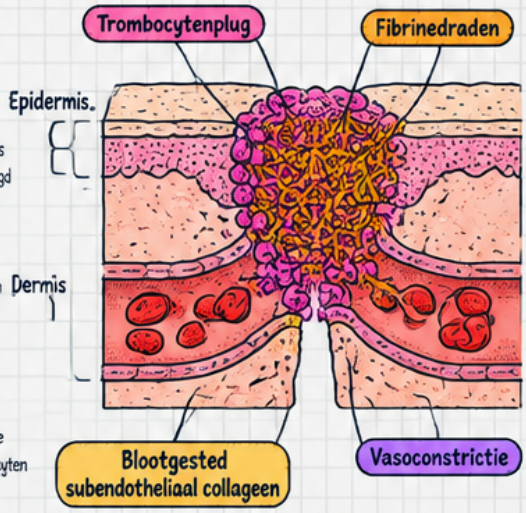
Fase 1: Hemostase en Fibrineplugvorming

Binnen enkele seconden na een cutaan vasculair defect treedt lokale vasconstrictie op door glad spierweefselreflexen en lokale endotheline-afgifte. Blootliggend subendotheliaal collageen bindt circulerende trombocyten via de Von Willebrand-factor. Trombocyten degranuleren en scheiden ADP, tromboxaan A2 en groeifactoren (zoals PDGF) af, wat leidt tot chemotaxis en de activatie van de stollingscascade. Protrombine wordt omgezet in trombine, dat oplosbaar fibrinogeen splitst in onoplosbare fibrinedraden. Deze draden verankeren de bloedplaatjes in een stabiele hemostatische prop.

- **Primaire hemostase:** adhesie, activatie en aggregatie van trombocyten tot een primaire trombocytenplug.
- **Secundaire hemostase:** stollingscascade resulterend in een cross-linked fibrinenetwerk.
- **Functie fibrinenetwerk:** bloedverlies stelpen en een voorlopige matrix bieden voor migrerende immuuncellen.

Stappenplan:

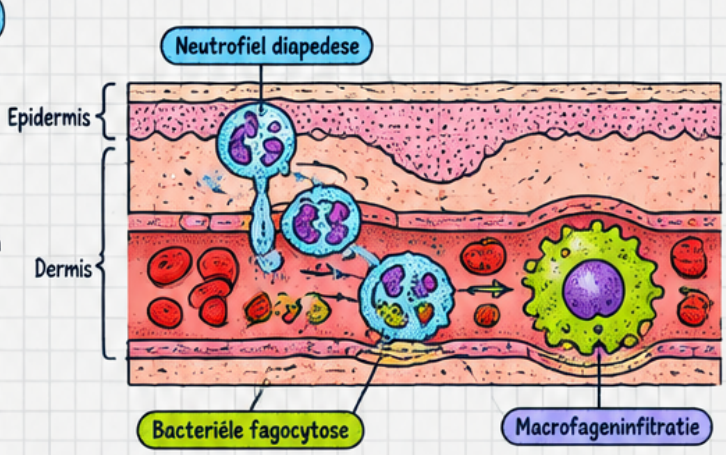
1. **Vasoconstrictie en Adhesie**
   Neurogene stimulatie en lokale mediatoren vernauwen het arteriolaire lumen om bloedverlies te reduceren; bloedplaatjes hechten aan beschadigd endotheel.
2. **Activatie en Degranulatie**
   Gehechte trombocyten veranderen van vorm en stoten dense granules en alfagranules uit met aggregatiebevorderende mediatoren.
3. **Fibrinogenese en Matrixnet**
   Trombine katalyseert de vorming van een rigide fibrinegaswerk waarin erytrocyten en trombocyten worden gevangen.



Fase 2: Inflammatie en Cellulaire Klaring

De ontstekingsfase vangt gelijktijdig aan en duurt gewoonlijk 24 uur tot enkele dagen. Lokale mestcellen en endotheelcellen geven histamine, leukotriënen en prostaglandinen af, wat leidt tot vasodilatatie en verhoogde vasculaire permeabiltieit. Neutrofiele granulocyten migreren via diapedese door de vaatwand aangetrokken door interleukine-8 en bacteriële peptiden. Zij elimineren micro-organismen via reactieve zuurstofcomponenten (ROS) en fagocytose. Na 48 tot 72 uur verschijnen monocyten, die differentiëren tot weefselmacrofagen. De macrofaag orchestreert de overgang van weefselafbraak naar reconstructie door apoptotische neutrofielen op te ruimen en pro-angiogenetische factoren afe scheiden.

- **Vroege respons:** neutrofielendomantie gericht op antimicrobiële defensie en afbraak van dood materiaal.
- **Late respons:** monocyten worden pro-inflammatoire M1-macrofagen en evolueren naar herstellende M2-macrofagen.
- **Signaalschakel:** secretie van TGF-bèta, FGF en VEGF door geactiveerde macrofagen ter stimulatie van fase 3.



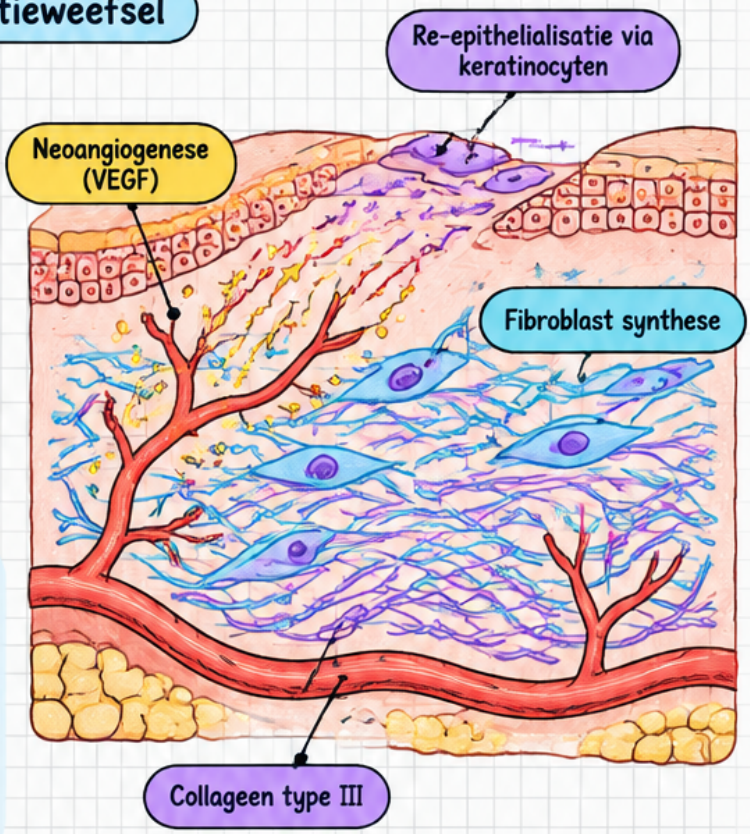
Fysiologisch Schakelpunt
Wanneer macrofagen onvoldoende M2-polarisatie vertonen, stagneert het herstel in een persisterende ontteekingsfase, wat leidt tot chronische wonden.

Educatieve Medische Disclaimer
Dit leermateriaal is uitsluitend bestemd voor educatieve deeleinden en studieondersteuning voor studenten en docenten.
Het vormt geen medisch advies, klinische richtlijn of behandelvoorschrift voor acute of chronische wonden.

PROLIFERATIE, ANGIOGENESE EN REMODELLERING

Fase 3: Proliferatie en Granulatieweefsel

De proliferatiefase herstelt weefselcontinuiteit dour de synthese van granulatieweefsel, re-epithelialisatie en neoangiogenese. Endheelcellen vormen nieuwe capillaire lussen gestuurd door vascular endothelial growth factor (VEGF). Fibroblasten migreren massaal het wondgebied binnen, geactiveerd door platelet-derived growth factor (PDGF) en transforming growth factor-beta (TGF-bèta). Zij synthetiseren proteoglycanen, fibronectine en collageen type III. Tegelijkertijd migreren epidermale keratinocyten vanaf de wondranden over de voorlopige matrix tot celcontact verdere migratie stopt via contactinhibitie.



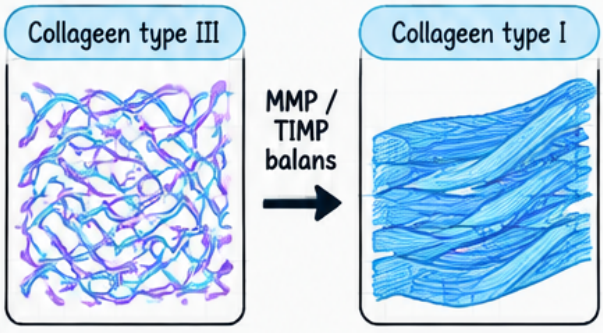
- **Neoangiogenese:** sprouting van functionele capillairen onder hypoxische stimulatie en VEGF-gradiënten.
- **Fibroplasie:** productie van de amorfe grondsubstantie en treksterktearme collageen type III-ketens.
- **Contractie-initiatie:** differentiatie van fibroblasten naar contractiele myofibroblasten via alfa-smooth muscle actine (alfa-SMA).

Fase 4: Remodellering en Matrixrijping

De finale fase kan maanden tot meer dan een jaar aanhouden. Het doel is optimalisatie van de treksterkte van het littekenweefsel. Matrixmetalloproteinasen (MMP's), strikt gereguleerd door weefselremmers van metalloproteinasen (TIMP's), breken het initiële collageen type III selectief af. Fibroblasten vervangen dit door sterker, gerganisseerd collageen type I. De collageenbundels lijnen zich parallel uit langs de dominante mechanische spanningsljjnen en vormen covalente cross-links via het enzym lysyloxidase. Hoewi de treksterkte toeneemt, bereikt het littekenweefsel maximaal ongeveer 80% van de sterkte van intacte, ourspronikelijke dermis.

- **Collageenshift:** geleidelijke vervanging van slap collageen type III door dicht gerangschikt collageen type I.
- **Vaatregressie:** overbodige nieuwgevormde capillairen ondergaan apoptose, waardoar het erytheem afneemt.
- **Mechanische adaptatie:** vezels rangschikken zich volgens de functionele trekkrachten van het weefsel.

Collageenombouw



Aandachtspunt Weefselsterkte

Littekenweefsel herwint nooit de volledige 100% elasticiteit en treksterkte van ourspronkelijk weefsel door het ontbreken van elastinevezels en functionele huidadnexen.

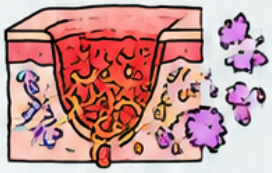
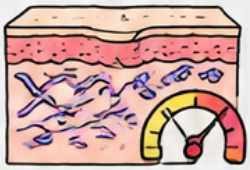
Deze informatie is uitsluitend bedeeld voor educatieve deeleinden.

FYSIOLOGISCH ANALYSEPROTOCOL

Klinisch-Fysiologisch Analyseprotocol

Gebruik dit beslissingskader om te bepalen in welke fysiologische fase een cutaan herstelproces zich bevindt en welke cellulaire activiteit dominant aanwezig is.

Welk dominant weefselkenmerk toont het cutane defect?

Actieve bloeding, blootliggend collageen en fibrineafzetting direct na trauma	Klassieke ontstekingsverschijnselen (rubor, calor, tumor, dolor) met neutrofiele infiltratie	Rood, korrelig granulatieweefsel met actieve vaatsprouting en wondrandcontractie	Sluiting van de opperhuid met verblekend weefsel en toename van stijfheid over meerdere weken
Hemostasefase actief.	**Inflamatiefase actief.**	**Proliferatiefase actief.**	**Remodelleringsfase actief.**
Analyseer bloedplaatjesaggregatie, fibrinenetwerkvorming en lokale vasoconstrictieparameters.	Controleer fagocytoseactiviteit, bacteriële belasting en overgang van neutrofielen naar monocyten/macrofagen.	Bestudeer angiogenese (VEGF), fibroblastactiviteit met afzetting van collageen type III en myofibroblastcontractie.	Evalueer de balans tussen collageen type I/III via MMP/TIMP-regulatie en mechanische spanningsverlijning.
			

Fysiologische Analysematrix Wondfaserijping

Vul onderstaande werkvelden in om de cellulaire componenten, biochemische signaalmoleculen en extracellulaire matrixverschuivingen van een casus systematisch te verifiëren.

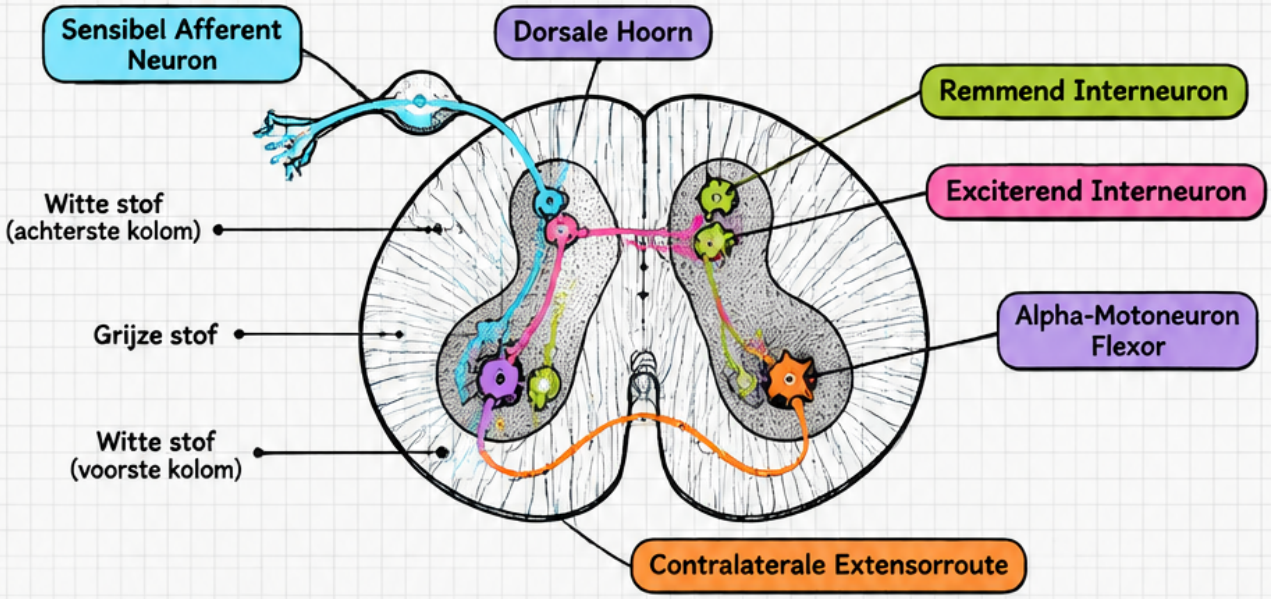
- Verifieer de dominante mediatoren per fase.
- Documenteer de waargenomen matrixcomponenten en collageentransitie.
- Noteer mogelijke risicofactoren voor vertraagde fysiologische voortgang.

 **Geobserveerde Fase & Primaire Celtypen** (bijv. Trombocyten, Neutrofielen, M1/M2 Macrofagen, Fibroblasten):	
 **Groeifactoren en Cytokinespectrum** (bijv. PDGF, TGF-bèta, VEGF, IL-8, MMP/TIMP-balans):	
 **Status Extracellulaire Matrix** (Fibrineprop / Type III collageen / Type I collageen):	
 **Evaluatie Vasculaire Perfusie en Angiogenese:**	

Alleen voor educatieve doeleinden. Niet geschikt voor medisch advies.

SPINAAL MECHANISME

van Reciproke Inhibitie en Terugtrekreflex



SPINAAL REFLEXMECHANISME

Wanneer een weefselbeschadigende prikkel optreedt, activeert het ruggenmerg een gecoördineerde autonomve motorische reactie sonder voorafgaande tussenkomst van de hersenschors. Dit leidt tot een onmiddellijke terugtrekking van het aangedane ledemaat en gelijktijdige stabilisatie van het contralaterale ledemaat.

Educatieve Disclaimer
Dit materiaal is uitsluistend bestemd voor educatieve en fysiologische studieddeleinden. Het vervangt geen formele medische scholing, klinische diagnose of professioonel medisch behandeladvies.

- Nociceptieve A-delta- en C-vezels sturen actiepotentialen via de dorsale wortel het ruggenmerg binnen.
- Divergente synaptische schakeling vindt plaats in de grijze stof van de dorsale hoorn.
- Ipsilaterale flexoren worden gestimuleerd via exciterende interneuronen.
- Ipsilaterale extensoren worden geremd via viat remmende interneuronen (reciproke inhibitie).
- Contralaterale motoneuronen worden gectiveeerd om de steunextensoren aan te spansen (gekruiste extensiereflex).

NEURALE SCHAKELING & EXCITATIE-INHIBITIE ROUTE

Volg onderstanade stappen om de signaaloverdracht van nociceptieve stimulus tot motorische ontlading systematisch te traceeen in de spinale grijze scof.

1 Prikkeldetectie & Afferente Geleiding
Pjjnreceptoner in de huid detecteren de schadelijke stimulus. Actiepotentialen propageren langs het primaire sensibele neuron doon de dorsale wortelganglion naar de dorsale hoorn.

→

2 Divergentie via Interneuronen
Het centrale axon van het afferente neuron vertakt en synapteert met meddeere spinale interneuronen binhen substantia gelatinosa an de diepere laminae.

→

3 Ipsilaterale Reciproke Schakeling
Exciterende interneuronen depolariseren de alpha-motoneuronen van de flexor. Tegelijkertid depolariseren remoende (glycinerge/GABA-erge) interneuronen, wat hyperpolarisatie veroorzaakt bij alpha-motoneuronen van de antagonistische extensor.

→

4 Kruising van de Commissura Alba Anterior
Collateralen steken via de voorste witte commissuur over naar de contralaterale ventrale hoorn. Daar activeren zij interneuronen die de contralaterale extensor-motoneuronen stimuleren voor gevichtsondersteuning.

ACTIEVE SCHEMA-ANALYSE & LOGBOEK

Gebruih de onderstaande werkvelden om de componenten van de reflexboog toe te aapsen op een klinisch of fysiologisch leerscenario.

Gerecenseerd orgaansysteem / segmentaal niveeu (bijv. L2-L4 of LS-S1):	**Geïnhibeerde antagonistische extensor (reciproke remming):**
Ipsilaterale flexor en geoboserveerde actie bij nociceptie:	**Contralaterale spiergroep ingeschakeld voor houdingsbalans:**

Educatieve Disclaimer
Dit materiaal is uitslüstend bestemd voor educatieve en fysiologische studieddeleinden. Het vervangt geen formele medische scholing, klinische diagnose of professioonel medisch behandeladvies.

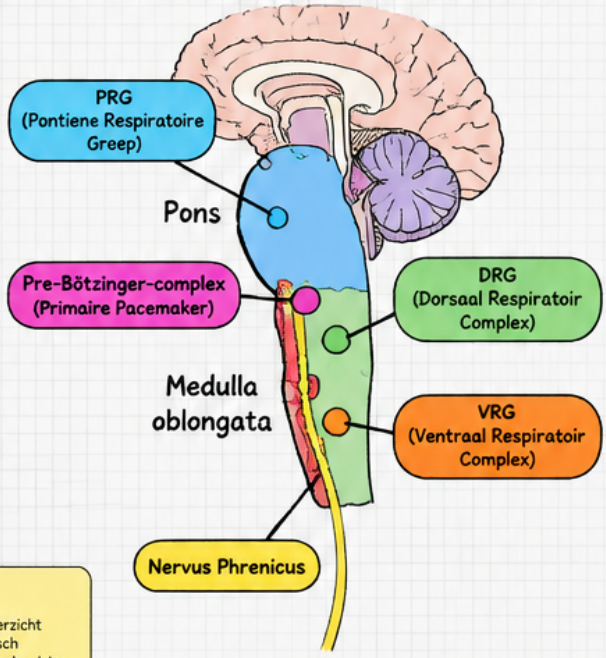
ADEMHALINGSREGULATIE

Centrale Chemoreceptie en Hersenstam-ademhalingspacemakers

Neuraal Netwerk van de Ademhalingsritmiek

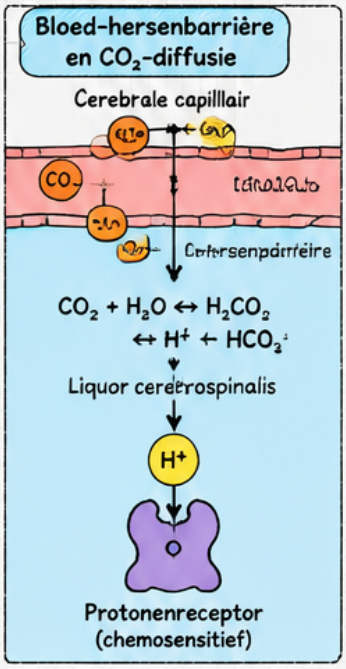
De automatische ademhalingscyclus wordt gegenereerd en gereguleerd in de hersenstam door gepsecialiseerde kernen in de medulla oblongata en de pons. Het pre-Bötzinger-complex fungeert hierbij als de autonome primaire pacemaker die het basale inspiratoire ritme dicteert via intrinsieke burst-eigenschapgen.

- Pre-Bötzinger-complex: pacemakercellen met ritmische ontladingen voor inspiratie-initiatie.
- Dorsaal respiratoir complex (DRG): verwerkt afferente sensorische input via de nervus vagus en glossopharyngeus en stuurt motorneuronen aan van het diafragma.
- Ventraal respiratoir complex (VRG): reguleert actieve expiratie en verhnogde inspiratiekracht bij fysieke inspanning.
- Pontiene respiratoire groep (PRG): verfijnt de transitie tussen in- en uitademing voor een soepele ademhalingscyclus.



Educatiwe Disclaimer
Dit leermateiaal dient uitsluitend voor anatomische en fysiologische scholing. Het biedt een conceptueel overzicht van biologische regelkringen en is niet bedledd als klinisch diagnoseprotocol of vervanging van professioncel medisch advies.

Bloed-hersenbarrière en CO_2-diffusie



Mechanisme van Centrale Chemoreceptie

Centrale chemoreceptoren aan het ventrolaterale oppervlak van de medulla oblongata reageren primair op veranderingen in de waterstofionenconcentratie ($[H^+]$) van de liquor cereborospinalis, gedreven door arteriële koolstofdioxidedruk ($PaCO_2$).

- CO_2 diffundeert snel over de bloed-hersenbarrière: gleaden waterstofionen (H^+) passeren deze barrière niet direct.
- In de liquor katalyseert koolzuuranhydrase de hydratatie: $CO_2 + H_2O \leftrightarrow H_2CO_2 \leftrightarrow H^+ + HCO_3^-$
- Vrijgekemen protonen binden aan pH-gevoelige chemosensoren op het medullaire weefsel.
- Verhoogde lokale H^+-accumulatie triggert directe prikkeling van het pre-Bötzinger- en DRG-netwerk, leidend tot toegenomen teugvolume en ademfrequentie.

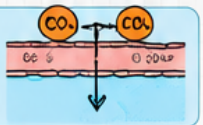
Fysiologische Kernregel
Dit leermchemrecepteoren meten liquor-pH als indirecte maat voor systemische $PaCO_2$. Deze chemische terugkoppeling vormt de sterkste acute prikkel voor de rustventilatie bij gezonde individuen.

De 4 Stappen van Centrale Chemoreceptie

1 Stijging van arteriële $PaCO_2$
Hypoventilatie of toegenomen cellulair metabolisme leidt tot een stijging van koolstofdioxide in bar arteriële bloedplasma.



2 Diffusie over de bloed-hersenbarrière
Door de lipofiele eigenschapgen van ogesloot CO_2 diffundeert het molecuul vlot anusit de cerebrale cepilliairen naar de extracelluliaire liquor.

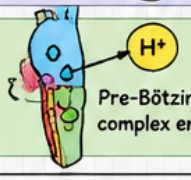


3 Hydratatie en protonenvorming
Binnen de liquor reageert CO_2 met water tot koolzuur, dat snel dissocieert in bicarbonaat en vrije protonen (H^+), waardoor de lokale liquor-pH daalt.

$CO_2 + H_2O \leftrightarrow H_2CO_3 \leftrightarrow H^+ + HCO_3^-$

H^+

4 Activatie van medullaire pacemakerkernen
De verhoogde protonenconcentratie stimuleert de chemosensitieve neuronen, die exciterende signalen sturen naar het pre-Bötzinger-complex en het DRG om de ventilatoire uitstoot te vergroten.



Ventilatoire Terugkoppelingsbeslissiog bij Metabole Wijzigingen

Gebrciik dit beslissingsmodel om de fysiologische ketenreactie van het ademhalingsstelsel te analyseen bij acute arteriële bloedgasveranderingen.

Wat is de gemeten verandering in de arteriële koolstofdioxidespanning ($PaCO_2$)?

Acute stijging van $PaCO_2$ boven 40 mmHg (hypercapnie)	Acute daling van $PaCO_2$ onder 35 mmHg (hypocapnie)
CO_2 diffundeert naar de liquor, $[H^+]$ stijgt (pH daalt). Chemoreceptoren vuren sneller naar het pre-Bötzinger-complex, wat resulteert in hyperventilatie om CO_2 uit za wassen.	CO_2 migreert uit de liquor naar het bloed, protonenconcentratie daalt (pH stijgt). Remming van medullaire stimulatie leidt tot afname van ademfrequentie en teugvolume tot normalisatie.

Zelfevaluatie en Fysiologische Analyse

Vul de onderstsande werkwelden in om de functionele stappen van centrale ademhalingsregulatie toe te passen op een praktijkscenario.

- Verifieer de richting van pH-verschuiving in zowel liquor als capilllair bloed.
- Identificeer de betrokken hersenstamkernen en perifere zenuwen (n. phrenicus naar diafragma).

1. Beschrijf het effect van een acute arteriële $PaCO_2$-verhoging op de vloeistof-pH van de liquor:

2. Welke rol vervult het pre-Bötzinger-complex in de aansturing van het diafragma via de nervus phrenicus?

3. Wat is het fysiologische compensatiedoel van de resulterende hyperventilatie?

Dit leermateriaal dient uitsluitend voor anatomische en fysiologische scholing. Het biedt een conceptueel overzicht van biologische regelkringen en is niet bedeeld als klinisch diagnoseprotocol of vervanging van professieonel medisch advies.

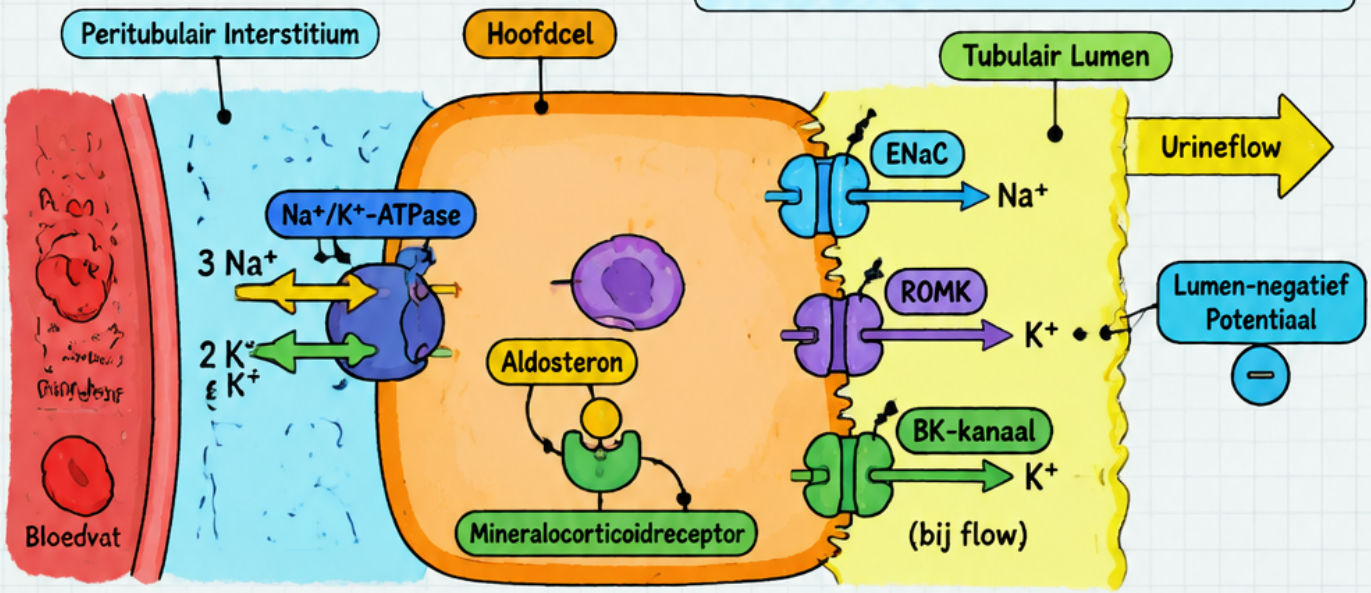
RENALE KALIUMREGULATIE: CELMECHANISME EN UITSCHEIDING

RENALE KALIUMHOMEOSTASE IN DE DISTALE TUBULUS EN VERZAMELBUIS

De fijnafstelling van de kaliumuitscheiding vindt plaats in het late distale convoluut en de corticale verzamelbuis. Hoofdcellen spelen hierin de sleutelrol door kalium actief op te nemen via het basolaterale membraan en passief af te geven aan de tubulusvloeistof. Dit evenwicht beschermt het membraanpotentiaal van spier- en zenuwcellen door de extracellulaire kaliumspiegel strikt tussen 3,5 en 5,0 mmol/L te handhaven.

DISCLAIMER MEDISCH ONDERWIJS
Dit materiaal is uitsluitend bestemd voor educatieve doeleinden en vormt geen medisch advies, klinische richtlijn of diagnostisch protocol.

- Basolaterale Na^+/K^+-ATPase handhaaft een hoge intracellulaire K^+-concentratie en een negatieve rustmembraanpotentiaal.
- Apicale kaliumsecretie verloopt via constitutief actieve ROMK-kanalen en flow-gactiveerde BK-kanalen.
- Natriumopname via het apicale ENaC-kanaal generert een lumen-negatief potentiaal dat K^+-uitscheiding stimuleert.
- Systemische regulatie door aldosteron en lokale plasma-K^+-concentraties stemmen secretie direct af op de vocht- en elektrolytenbalans.



STAPSGEWIJS TRANSPORTMECHANISME IN DE HOOFDCEL

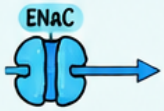
Volg de route van kaliumionen vanaf de peritubulaire capillairen naar het tubulaire lumen via ondertstaande biochemische stappen.

1 BASOLATERALE OPNAME VIA Na^+/K^+-ATPase



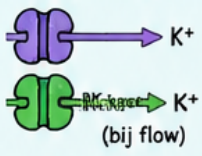
De Na^+/K^+-pomp pompt actief drie Na^+-ionen de cel uit naar het interstitium en twee K^+-ionen de hoofdcel in. Dit creëert een concentratiegradiënt waarbij de intracellulaire K^+-concentratie oploopt tot circa 120-140 mmol/L.

2 GENERATIE VAN LUMEN-NEGATIEVE LADING VIA ENaC



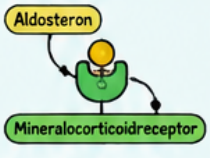
Aan de apicale zijde stromen Na^+-ionen door het epitheliale natriumkanaal (ENaC) de cel in. De transcellulaire verplastisng van positieve lading sonder direct gekeppeld anion maakt het tubuluslumen elektronegatief ten opzichte van het celinterieur.

3 APICALE SECRETIE VIA ROMK EN BK



Gedreven door sowel de concentratiegradiënt als het lumen-negatieve potentiaal verlaten K^+-ionen de cel via ROMK-kanalen (basale secretie) en Maxi-K/BK-kanalen (geactiveerd bij verhoogde tubulaire flownelheid).

4 ALDOSTERON-GEMEDIEERDE VERSTERKING



Aldosteron bindt aan de mineralocorticoidreceptor, verhoogt de transcriptie van SGK1, stimuleert de membraanexpressie van ENaC en ROMK, en vermeerdert het aantal basolaterale Na^+/K^+-pompen.

DISCLAIMER MEDISCH ONDERWIJS
Dit materiaal is uitsluitend bestemd voor educatieve doeleinden en vormt geen medisch advies, klinische richtlijn of diagnostisch protocol.

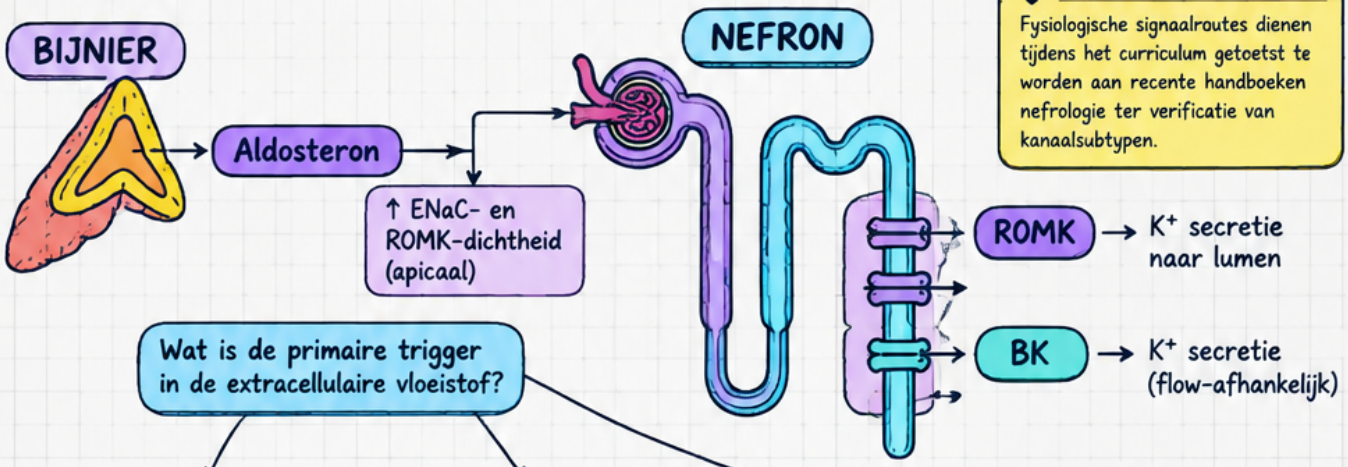
FYSIOLOGISCHE DETERMINATIE EN WERKBLAD

KLINISCHE BESLISBOOM: REGULATIE VAN KALIUMEXCRETIE

Gebruik onderstaande determinatiestappen om fysiologische compensatiemechanismen bij afwijkende kalium- en volumestatus te voorspellen.

FYSIOLOGISCHE VALIDATIE

Fysiologische signaalroutes dienen tijdens het curriculum getoetst te worden aan recente handboeken nefrologie ter verificatie van kanaalsubtypen.



Wat is de primaire trigger in de extracellulaire vloeistof?

Verhoogde plasma-K^+ concentratie (hyperkaliëmie) of verhoogd aldosteron

→ Directe stimulatie van aldosteronsecretie in de bijnierschors, toename van apicale ENaC- en ROMK-dichtheid, en toegenomen K^+-secretie naar het tubuluslumen.

Verlaagde plasma-K^+ concentratie (hypokaliëmie)

→ Remming van aldosteronafgifte, endocytose en sluiting van ROMK-kanalen, activatie van intercalated cell H^+/K^+-ATPase voor actieve K^+-terugresorptie.

Hoog tubulair debiet (verhoogde vloeistofsnelheid) door lisdiuretica of volumebelasting)

→ Afbuiging van apicale microtrilharen. opent mechanosensitieve Maxi-K (BK) kanalen, waardoor kaliumuitscheiding flow-afhankelijk sterk toeneemt.

Beslismodel Excretie

Verzamelbuis Flow

Terugresorptie vs Secretie

WERKBLAD: ELEKTROLYTENBALANS & MECHANISMEANALYSE

Documenteer de fysiologische parameters en verifieer de transportprocessen aan de hand van een casus of labwaardenset.

1 Casus-ID / Gemeten serum kaliumwaarde (mmol/L)	
2 Geschatte tubulaire flow (Normaal / Verhoogd / Verlaagd) en diuretica-status	
3 Verwachte respons van basolaterale Na^+/K^+-ATPase en apicale ENaC/ROMK expressie	
4 Geobserveerde urine-K^+ excretie en conclusie mechanistische verschuiving	

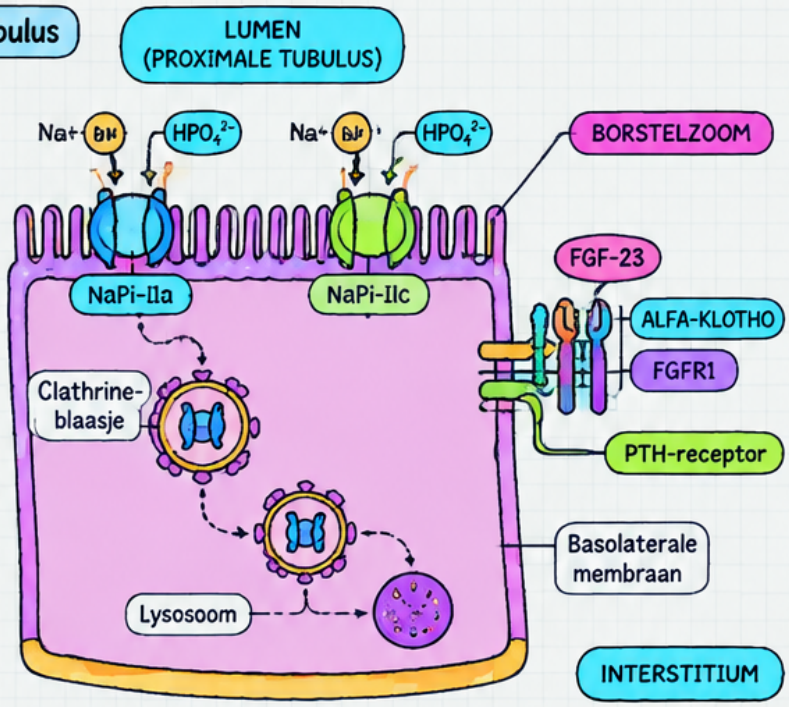
Deze materialan zijn uitsluitend bedoeld voor educatieve doeleinden.

RENALE FOSFAATHOMEOSTASE EN FGF-23 REGULATIE

Fosfaatheropname in de Proximale Tubulus

Onder fysiologische omstandighadees filtert de glomerulus vrij circulerend anorganisch fosfaat (Pi). Ongeever 80 tot 85 procent van dit gefiltreerde fosfaat wordt actief gereabsorbeerd in the proximale tubulus van het nefron via apicale natrium-afhankelijke cotransporters.

- **NaPi-IIa (SLC34A1):** Verantwoordelijk voor het leeuwendeel van de renale fosfaatheropname langs de borstelzoom.
- **NaPi-IIc (SLC34A3):** Speelt een complementaire rol bij het fijnmazig handhaven van de tubulaire fosfaatdrempel.
- **Drijvende kracht:** De elektrochemische natriumgradiënt, in stand gehouder door het basolaterale Na^+/K^+-ATPase.



Klinische en Educatieve Disclaimer
Dit materiaal is uitsluitend ontwikkeld voor educatievee en fysiologische studiedoeleinden. Het is geen medisch behandelprotocol of klinisch diagnostisch instrument.

Signaalcascade en Remming door FGF-23 en PTH

Wanneer de fosfaatspiegel in het plasma toeneemt, reageron botweefsel en bijschildklieren door hormonen uit te scheiden die de renale uitscheiding verschellen (fosfaturie) en intestinale opname temperen.

- **FGF-23 (Fibroblast Growth Factor 23):** Wordt geproducered door osteocyten en bindt in de tubulus aan het FGFR1-Klotho-complex.
- **Endocytose van Cotransporters:** Zowel FGF-23 als PTH induceren de internalisatie en lysosomale afbraak van NaPi-IIa en NaPi-IIc.
- **Onderdrukking van Calcitriol:** FGF-23 remt 1-alfa-hydroxylase (CYP27B1), en stimuleert 24-hydroxylase (CYP24A1), waardoar actief vitamine D daalt.

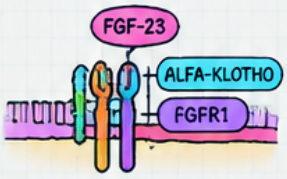
Aandachtspunt Klotho-Cofactor
Zonder het transmembraaneiwit alfa-Klotho heeft FGF-23 onvoldoende bindingsaffiniteit voor FGFR1 in het nierweefsel. Mutaties of deficiënties lelden tot ernstige hyperfosfatemie en ectopische verkalking,

1 Fosfaatbelasting detectie in osteocyt



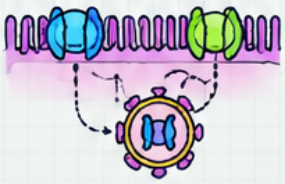
Verhoogde seruminhoud van anorganisch fosfaat stimuleert osteocyten tot synthese en secretie van intact biologisch actief FGF-23 in de circulatie.

2 Receptorbinding met alfa-Klotho



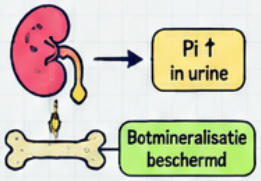
FGF-23 circuleert naar de renale proximale tubulus en bindt specifiek aan het FGF-receptor-1/ alfa-Klotho-complex aan het basolaterale celmembraan.

3 Downregulatie van borstelzoomtransporters



Intracellulaire signaalroutes triggeren de snelle endocytose van NaPi-IIa en NaPi-IIc cotransporters uit de apicale borstelzoom, waardoor tubulaire reabsorptie stokt.

4 Verhoogde fosfaturie en botbescherming



Niet-heropgenemen fosfaat wordt via de urine uitgescheiden, de serumconcentratie daalt naar referentiewaarden en fysiologische botmineralisatie blijft beschermd.

Hoe reageert het renale transportsysteem op een acute stijging van het serumfosfaat?

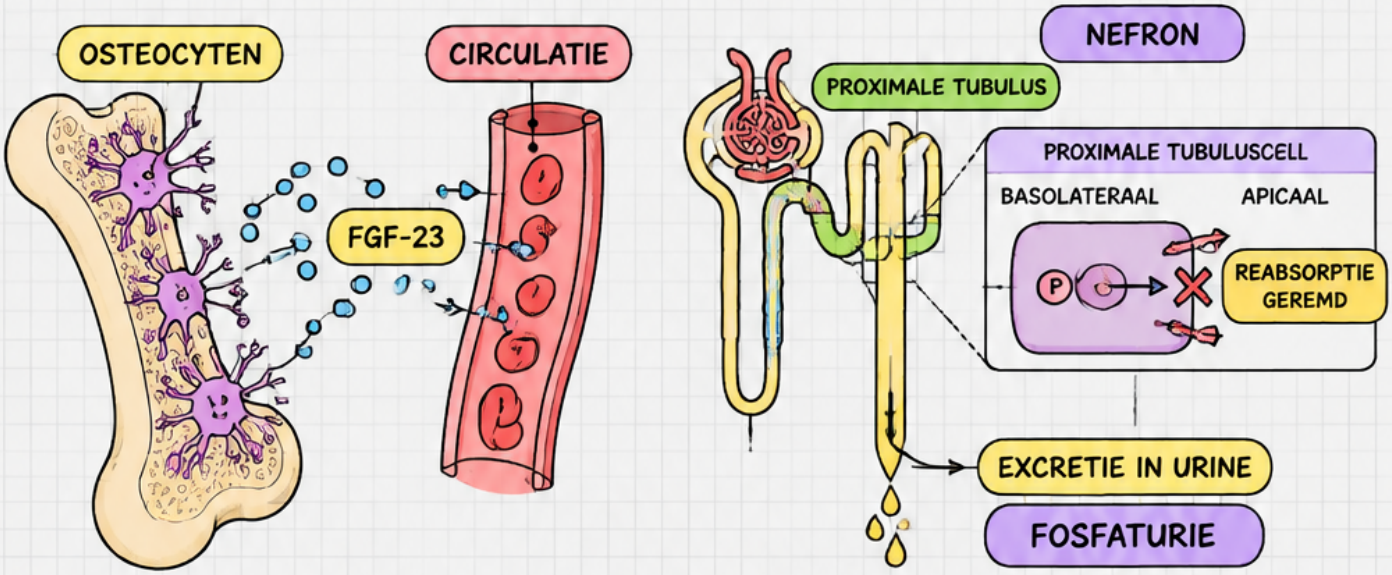
FGF-23 en PTH concentraties stijgen gelijktijdig in het bloed
→ Klotho-FGFR1 en PTH1R activeren endocytose van NaPi-IIa /NaPi-IIc. Fosfaatuitscheiding in de urine neemt direct toe.

Klotho-expressie is afwezig of geblokkeerd
→ FGF-23 kan het signaal niet doorgeven via FGFR1. Tubulaire heropname blijft onverminderd hoog, leidend tot hyperfosfatemie.

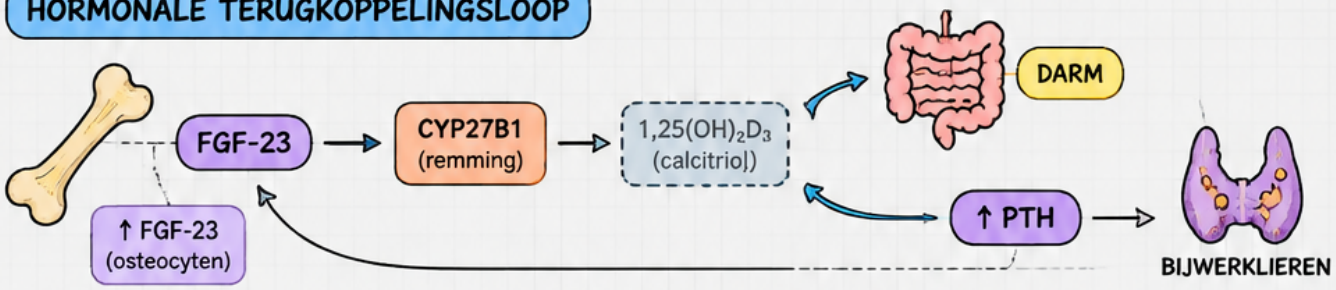
Dit materiaal is uitsluitend ontwikkeld voor educatieve en fysiologische studiedoeleinden. Het is geen medisch behandelprotocol of klinisch diagnostisch instrument.

FOSFAATREGULATIE:

Analyse & Systeemmechanismen



HORMONALE TERUGKOPPELINGSLOOP



Zelfstudie en Fysiologische Analyse

Gberuik onderstaand werkkader om de wisselwerking tussen proximale tubulusfuncties, botmetabolisme en endocriene regulatoren vast to leggen tijdens de voorbereiding op tentamens.

- ☐ **Verifieer de richting van ionentransport** bij basolaterale en apicale membraanovergangen.
- ☐ **Analyseer de feedbacklussen** tussen FGF-23, PTH en $1,25(OH)_2D_3$ (calcitriol).

1 **Beschrijf de signaalroute tussen osteocyt en proximale tubuluscel:**

2 Wat is het effect van CYP27B1-remming door FGF-23 op de darmmucosa?

3 **Diagnostische notities / Fysiologische differentiële waarnemingen:**

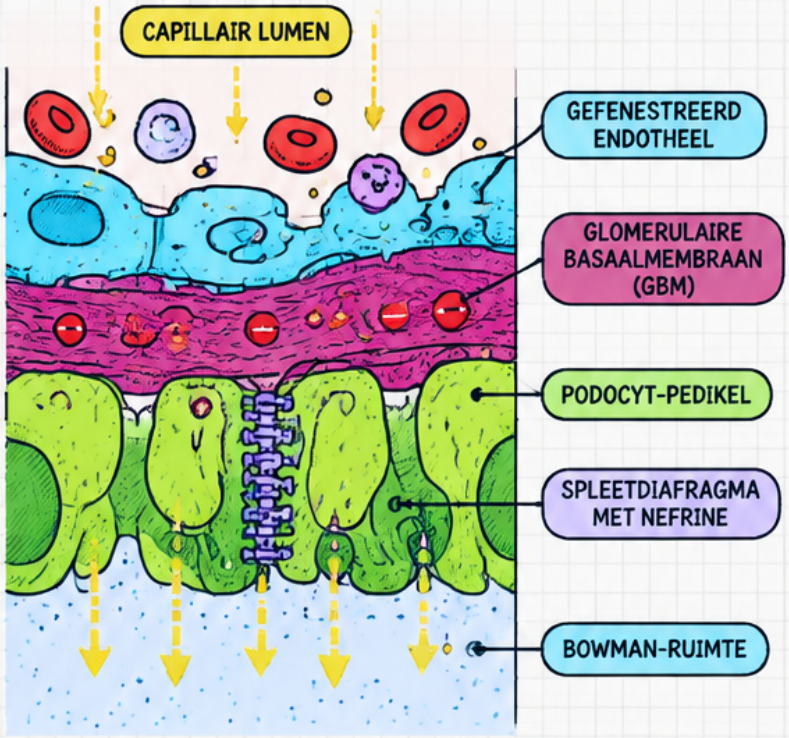
— Dit materiaal is uitsluitend bedoeld voor educatieve doeleinden. —

Glomerulaire Filtratiebarrière en Selectiviteit

Architectuur van het Glomerulaire Filtratieschild

De glomerulaire filtratiebarrière in het nierlichaampje vormt een hoggespecialiseerd moleculair filter dat bloedplasma scheidt van het filtraat in de Bowman-ruimte. Het filter laat water, elektrolyten en kleine opgeloste stoffen vrij passeren, terwijl plasmaproteinen en bloedcellen selectief in de circulatie worden vastgghouden.

- **Endotheelvensters (fenestraties)**: openingen van circa 70 tot 90 nanometer houden cellulaire elementen tegen, maar laten vrijwell alle macromoleculen door.
- **Glomerulaire basaalmembraan (GBM)**: extracellulaire matrix bestaande uit collageen type IV, heparansulfaat-proteoglycanen en laminine.
- **Podocytvoetjes (pedikels)**: interdigiterende uitlopers bedekt met een negatief geladen glycocalix.
- **Spleetdiafragma**: gepecialiseerde intercellulaire junctie opgebouwd uit nefrine, podocine en gassocieerde adhesie-eiwitten met een poriegrootte van ongveeer 4 tot 14 nanometer.

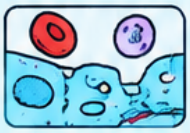


Belangrijke Educatieve Mededeling

Deze illustratie en toelichting dienen uitsliutend voor biomedisch-educatieve studie van de nierfysiologie. Dit studiemateriaal is geen vervanging voor medische diagnostiek of klinische behandeladviezen.

Mechanisme van Dubbele Selectiviteit

Het filtratieschild werkt volgens twee gelijktijdjge fysisch-chemische principes mechanische grootte-uitsluting en elektrostatische afstoting.



1 Stap 1: Fenestrale Passage

Bloedcellen, trombocyten en grote chylomicronen worden fysiek tegeneghouden door de gecalibreerde openingen in het capillair endotheel.



2 Stap 2: Elektrostatische Remming door de Basaalmembraan

Rijkelijk aanwezige heparansulfaatketens creëren een sterke negatieve lading. Negatief geladen plasma-eiwitten zoals serumalbumine worden hierdoor elektrostatisch afgestoten, ondenks dat hun molecuulstraal kleiner is dan de fysieke endotheelporiën.



3 Stap 3: Moleculaire Zeving door het Spleetdiafragma

De extracellulaire domeinen van nefrine vormen een fijnmazig netwerk. Stoffen met een moleculaire straal groter dan 4 nanometer worden mechanisch tegeneghouden en blijven behouden voor het plasma.

Welk selectiviteitsmechanisme faalt bij annwesziigeii van eiwitten in de voorurine?

Verlies van negatieve lading op de GBM (ladingsselectiviteit defect)

Selectieve proteinurie treedt op, voornamlallk gekenmerkt door passage van het negatief geladen serumalbumine, xermijl nog grotere eiwitten worden tegeneghouden.

Structurele beschadiging van nefrine of podocytenvoetjes (grœtteseleciviteit defecc)

Niet-selectieve proteinurie treedt op met lekkage van zowel albumine als grotere macromoleculen zoals immunoglobulinen (IgG).

Zelfevaluatie: Structurele Analyse van de Filtratiebarrière

Gebruik dit werkpaneel om de microscopische componeten van de barrière te benoemen en de functionele correlatie te noteren.

- Verifieer de drichting van de ultrafiltratieistroom vanaf het capillair lumen naar de Bowman-ruimte.
- Vergelijk de filtratiefractie van neutrale dextranen versus polyanionische dextranen van gelijke molecuulgrootte.

Klinische Fysiologje Context

Schade aan podocine of nefrine door genetische mutaties of auto-immuunprocessen leidt tot het opheffen van het spleetdiafragma (podocyteneffacement) en resulteret in massale proteinurie.

Deze illustratie en toelichting dienen uitsliuitend voor biomedisch-educatieve studie van de nierfysiologie. Dit studiemeteriaal is geen vervanging voor medische diagnostiek of klinische behandeladviezen.

Beschrijf de specifieke functie van de nefrine-complexen in het spleetdiafragma:

Waarom passeert neutraal dextraan sneller dan anionisch albumine met dezellde straal?

Gevolg van structureel verlies van heparansulfaat in de glomerulaire basaalmembraan:

VASODILATATIE VIA STIKSTOFMONOXIDE: MECHANISME EN CASCADE

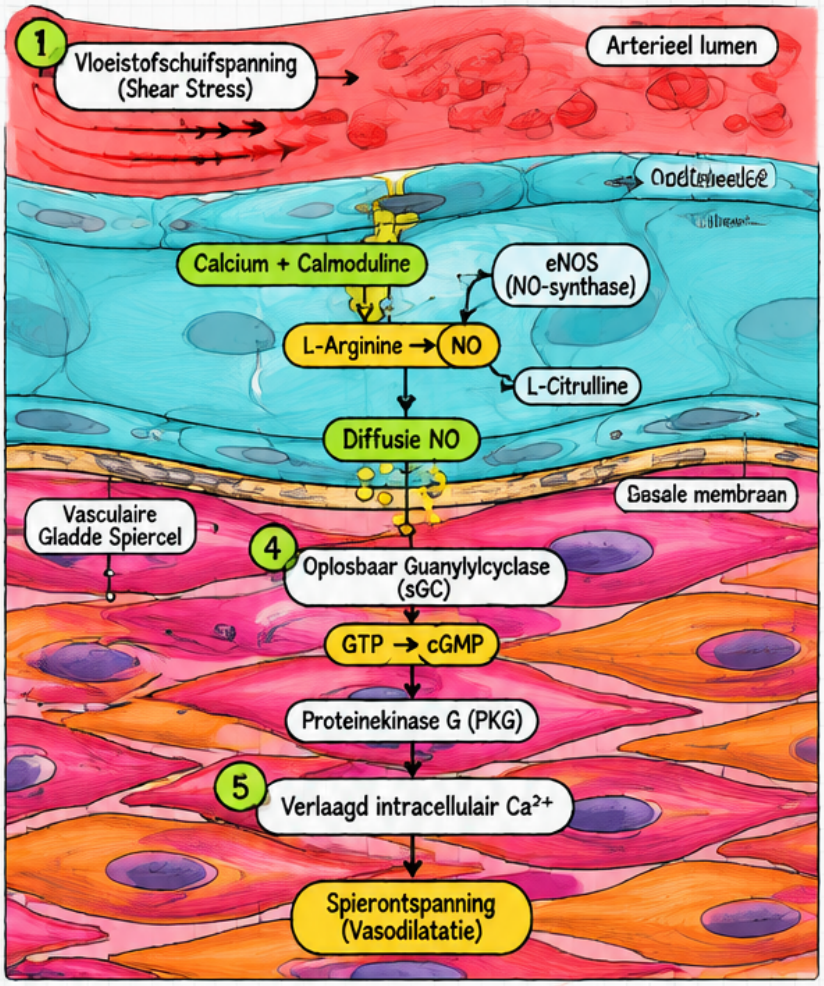
Mechanisme van Endotheliale Vaatverwijding

Wanneer bloed door een slagader stroomt, oefent de wrijving van de vloeistofstroom een mechanische kracht uit op de binnenste bekleding van het vat: de vloeistofschuifspanning (shear stress). De endotheelcellen registreren deze mechanische prikkel via mechanosensoren op hun celmembraan. Dit zet een biochemische cascade in gang waarbij calciumionen de cel binnenstromen en binden aan calmoduline. Dit complex activeert het enzym endotheliaal stikstofmonoxidesynthase (eNOS), dat het aminozuur L-arginine omzet in stikstofmonoxide (NO) en L-citrulline. NO diffundeert vervolgens razendsnel als een paracrien gas naar de onderliggende vasculaire gladde spiercellen in de tunica media. In he spiercel bindt NO aan oplosbaar guanylylcyclase (sGC), wat leidt tot een toename van cyclisch guanosinemonofoshaat (cGMP). Dit cGMP activeert proteinekinase G (PKG), waardoor de intracellulaire calciumconcentratie in de spiercel daalt en myosine-lichte-kalciumfosfatase wordt geëtimuleerd. Het ddenete gevolg is relaxatie van de vaatwand en toename van het vaatlumen (vasodilatatie).

Educatieve Disclaimer & Reikwijde

Dit schema dient uitsluitend voor anatomisch en fysiologisch onderwijs. Het is geen medisch advies, klinisch behandelprotocol of farmacologische richtlijn. Fysiologische verificatie door een vakexpert blijft te allen tijde reveist voor formele klinische curricula.

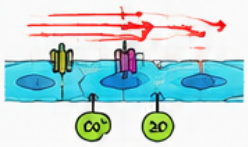
- **Shear stress:** mechanische wriying van de bloedstroom stimuleert het vaatendotheel.
- **eNOS-activatie:** omzetting van L-arginine in NO en L-citrulline met zuurstof en NADPH.
- **Paracriene diffusie:** NO passeert ongehinderd de celmembranen naar de tunica media.
- **sGC en cGMP-synthese:** NO activeert oplosbaar guanylylcyclase om GTP om tee zetten in cGMP.
- **Relaxatie:** cGMP activeert proteinekinase G (PKG), wat leidt tot daling van vrij Ca^{2+} en defosforylering van myosine.



Uitleg

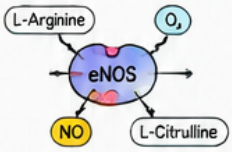
1 Mechanotransductie door Vloeistofschuifspanning

Verhoogde bloedstroom induceert mechanische shear stress op de endotheelwand, waardoor calciumkanalen openen en intracelluair Ca^{2+} stijgt.



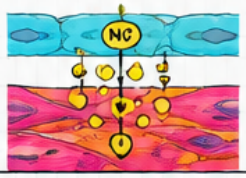
2 Synthese van Stikstofmonoxide (NO) via eNOS

Het Ca^{2+}-calmodulinecomplex activeert eNOS. Dit enzym synthetiseert NO uit L-arginine en moleculaire zuurstof in het endotheelcytoplasma.



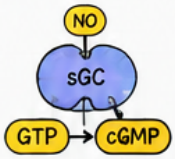
3 Paaccriene Diffusie naar Glad Spierweefsel

Het geproduceerde lipofiele NO-gas diffundeert lokaal door de basale membraan direct naar de aangrenzende vasculaire gladde spiercellen.



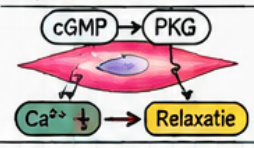
4 Activatie van Oplosbaar Guanylyloyclase (sGC)

NO bindt aan de heemgroep van sGC in de spiercel, waardoor het enzym GTP versneld omzet in het signaalmolecuul cyclisch GMP (cGMP).



5 PKG-gemedieerde Calciunverlaging en Spierrelaxatie

cGMP activeeert proteinekinase G (PKG). PKG remt Ca^{2+}-instroom, stimuleert Ca^{2+}-opname in het sarcoplasmatisch reticulum en activeert myosine-lichte-ketenfosfatase. De spiercel ontspant en het bloedvat verwijdt.



Welke endotheliale signaalroute domineert bij acute vaatverwijding door stroming?

✓ Fysiologische toename van stroming en vloeistofschuifspanning (shear stress)	→ Activering van de eNOS-cGMP-as leidt tot snelle paracriene vasodilatatie ter verlaging van de lokale vaatweerstand.
✗ Aanwezigheid van endotheeldisfunctie of remming van stikstofmonoxydesynthese	→ Verminderde NO-biabeschikbaarheid resulteert in overheersende vasoconstrictie door ongereguleerde myogene tonus en endotheline.

Werkblad Signaalcascade & Zelfevaluatie

Gebruik dit activve werkgedeelte om de biochemische stappen en signaalmolecolen van de eNOS-cGMP-as direct te analyseren en te controleren.

- Controleer of alle signaalmoleculen in de juiste opeenvolging staan.
- Verifieer de rol van second messengers zoals cGMP en intracellulair calcium.

Primaire mechanische trigger op het vaatendotheel: _____

Substraat en cofactor voor het enzym endotheliaal NO-synthase (eNOS): _____

_____

Intracellulair doeleiwit van NO in de gladde spiercel: _____

Moleculair effect van proteinekinase G (PKG) op intracelluair Ca^{2+}: _____

_____

Biologische consequentie voor de vaatdiameter en perifere vaatweerstand: _____

_____

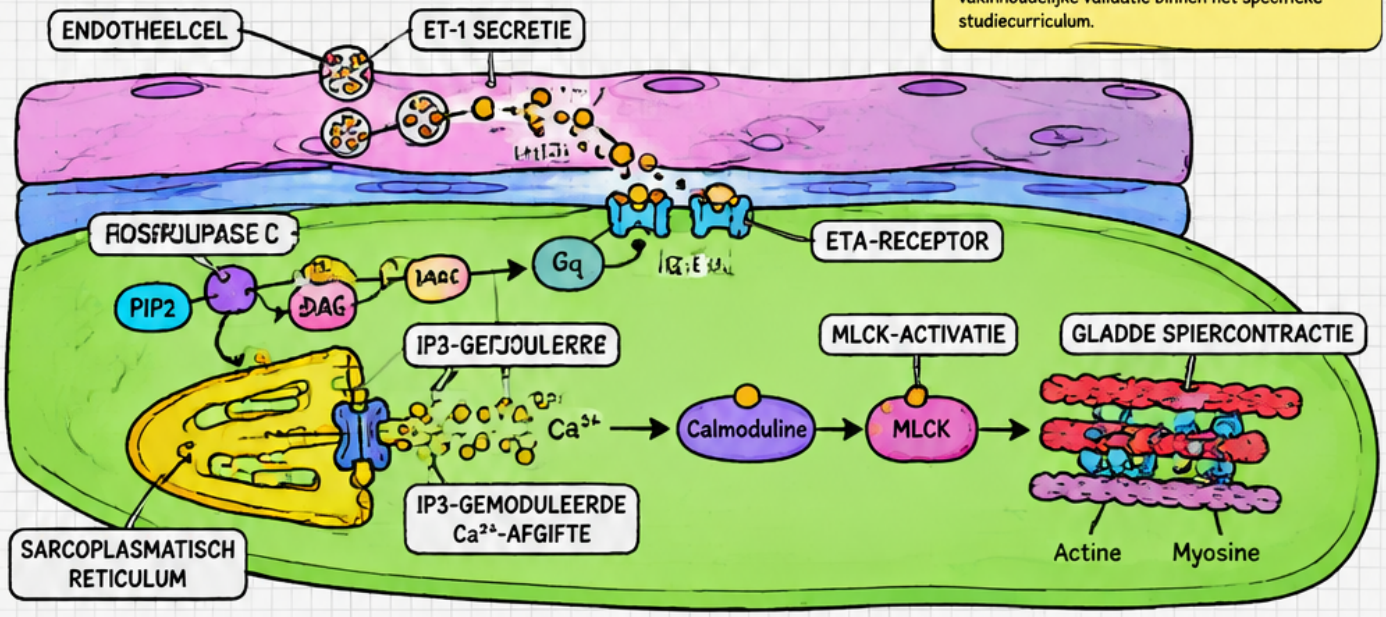
_____

Dit schema dient uitsluitend voor anatomisch en fysiologisch onderwijs. Het is geen medisch advies, klinisch behandelportocol of farmacologische richtlijn. Fysiologische verificatie door een vakexpert blijft te allen tijde vereist voor formele klinische curricula.

ENDOTHELINE-1 & VASOCONSTRICTIE

Educatieve Medische Disclaimer

Deze fysiologische illustratie en bijbehorende cassade zijn uitsluitend bestemd voor educatieve doeleinden en studieondersteuning. Het materiaal vormt geen medische richtlijn, diagnose of behandeladviss. Fysiologische parameters vereisen vakinhoudelijke validatie binnen het specifieke studiecurriculum.



FYSIOLOGISCH MECHANISME: ENDOTHELINE-1 (ET-1)

Endotheline-1 is een van de krachtigste endogene vaatvernauwende peptiden in het menselijk vaatstelsel. Het peptide wordt hoofsdakelijk gesecreteerd door vasculaire endotheelcellen en eefent zijn werking lokaal paracrien uit op de onderliggende vasculaire gladde spiercellen. De binding aan specifieke receptoren initieert een signaalcascade die resulteert in contractie en een toename van de perifere vaatweerstand.

- Synthese als prepro-endotheline in endotheelcellen en omzetting naar actief 21-aminozuren tellend ET-1 via endotheline-converterend enzym (ECE).
- Paracriene afgifte gericht op de tunica media van arteriolen en kleine arteriën.
- Primaire fysiologische functie: fijnafstemming en handhaving van de basale lokale vasculaire tonus.

SIGNALTRANSDUCTIE EN GLADDE SPIERCONTRACTIE

De lokale vasoconstrictie verloopt via een opeenvolgende moleculaire keten vanaf de membraanreceptor tot aan de interactie tussen actine en myosine.

1 Receptorbinding (ETA en ETB)

ET-1 bindt primair aan ETA-receptoren op de membraan van gladde spiercellen. ETB-receptoren op gladde spieren dragen eveneens bij aan vacoconstrictie, tewrijl endotheliale ETB-receptoren juist stikstofmonoxide (NO) stimulenn.

2 Fosfolipase C (PLC) Activatie

De gekoppelde Gq-eiwitten activeren fosfolipase C-béta, wat zorgt voor de hydrolyse van fosfatidylinositol-4,5-bisfosfaat (PIP2) in inositol-1,4,5-trisfosfaat (IP3) en diacylglycerol (DAG).

3 Mobilisatie van Intracellulair Calcium

IP3 diffundeert naar het sarcoplasmatischh reticulum en bindt aan ligand-gestuurde calciumkanalee, resulterend in een senlle uitstroom van Ca^{2+} naar het cytosol, aangevuld door influx via spanningsafbhakellijke membraakanalen.

4 Vorming van Ca^{2+}-Calmodulinecomplez

Het verhoogde cytosolische calcium bindt aan calmoduline. Dit complex activeert het myosine-lichte-keten-kinase (MLCK).

5 Fosforylering en Kruisbrugcyclus

MLCK fosforyleert de lichte keten van myosine. Dit maakt binding aan actinefilamenten mogelijk. resulterend in cross-bridge cycling en karcktige tonische contractie van de vaatwand.

KLINISCH-FYSIOLOGISCHE DIFFERENTIATIE: ETA VERSUS ETB

Voor gerichte interpretatie van vaattonus en farmacologische interventies dient het onderschaled tussen receptortypen helder te worden aanalyiseerd.

Welk receptortype en vasculair effect domineert in het onderzochte vaatbed?

- Dominante stimulatie van ETA- en ETB-receptorer op vasculaire gladde spiercellen → Gq-eiwit koppeling leidt tot karchtige, langdurige vasoconstrictie en toename van de lokale vaatweerstand.
- Selectieve stimulatie van ETB-receptoren op het vaatendotheel → Gi/eNOS-activatie resulteert in afgifte van prostacycline en stikstofmonoxáke (NO), wat leidt tot voorbijgaande vasodilatatie.

Deze fysiologische illustratie en bijbothorende cascade zijn uitsluitend bestemd voor educatieve doeleinden en studieondersteuning. Het materiaal vormt geen medische richtlijn, diagnose of behandeladvise. Fysiologische parameters vereisen vakinhoudelijke validatie binnen het specifieke studiecurriculum.

FYSIOLOGISCHE ANALYSE

Fysiologische Analyse en Toepassing: Vasoconstrictie

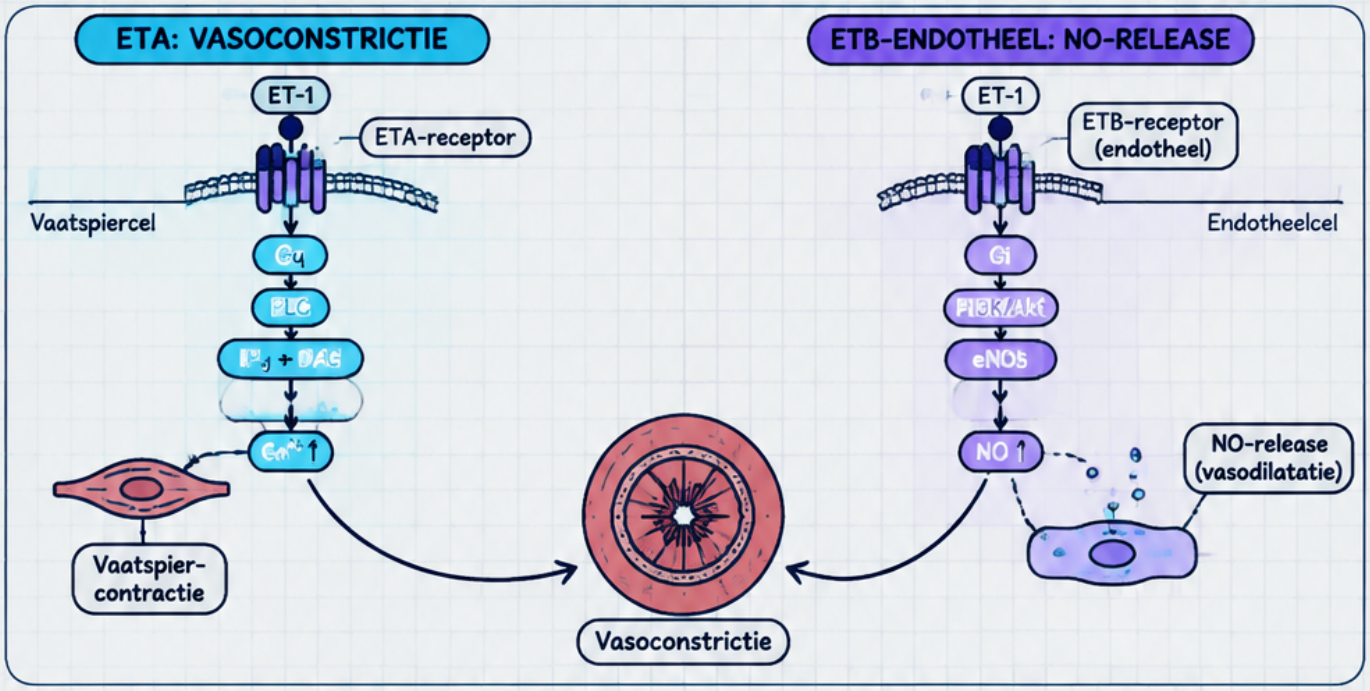
Werkblad: Fysiologische Analyse van Lokale Vasoconstrictie

Gberuik onderstaande invoervelden om de getoonde signaalcascade en fysiologische gevolgen voor lokale orgaandoorbloeding systematisch vaste leggen.

- [ ] Controleer de volgorde van zlc second messengers binnen de cascade.
- [ ] Noteer de invloed op bloeddruk en orgaanperfusie.

CHECKLIST

Aandachtspunt voor Toetsing
Let op het verschil in halfwaardetijd: ET-1 heeft een korte plasma-halfwaardetijd maar induceert extreem langdurige receptorbinding en tonusverhoging.



1 Primaire prikkel voor endotheliale ET-1 afgifte in het gekozen vaatsegment:

2 Geboserveerde intracellulaire calciumbronnen (sarcoplasmatisch reticulum vs. extracellulaire influx):

3 Effect van verhoogde ET-1 activiteit op de lokale vaatweerstand en orgaanperfusie:

4 Vergelijking: respons bij selectieve ETA-receptorantagonisten versus niet-selectieve blokkers:

Deze materialan zijn uitsluitend bedeled voor educatieve doeleinden.

ANP en BNP in Volumeregulatie

Cardiovasculaire en Renale Fysiologie: ANP en BNP

Atriaal Natriuretisch Peptide (ANP) en Hersennatriuretisch Peptide (BNP, ook wel B-type natriuretisch peptide geneemd) zijn peptidehormonen die door het hart worden uitgescheiden in reactie op hypervolemie en verhoogde wandspanning. Deze natriuretische peptiden vormen een directe tegenhanger van het renine-angiotensine-aldosteronsysteem (RAAS) en de sympathische innervatie van de nieren. Wanneer het circulerend bloedvolume toeneemt, rekken de atriale en ventriculaire hartspiercellen uit. Deze mechanische rek stimuleert de synthese en afgifte van respectieveelijk ANP (voornamelijk door atria) en BNP (voornamelijk door ventrikels) in de bloedsomloop.

Klinische en Educatieve Noot

Dit leermateriaal is uitsluitend bestemd voor educatieve en fysiologische analysedoeleinden. Het is geen medisch advies, diagnostisch protocol of behandelvoorschrift. Serum-BNP en NT-proBNP worden in de kliniek veelvuldig gebruikt als biomarkers voor hartfalen.

- **Prikkel:** Toename van het centraal veneus volume en verhoogde intracardiale vullingsdruk veroorzaken mechanische myocardiale rek.
- **Secretiebron:** ANP wordt primair vrijgemaakt door atriale myocyten; BNP voornamelijk door ventriculaire myocyten.
- **Primaire receptoren:** Binding aan natriuretisch peptide receptor-A (NPR-A) activeert membaangebonden guanylylcyclase en verhoogt intracellualir cyclisch guanosinemonofostaat (cGMP).
- **Geintegreerde uitstomst:** Verhoging van water- en zoutuitscheiding (natriurese en diurese), perifere vasodilatatie en daling van de systemische bloeddruk.

Mechanistische Stappen: Van Myocardiale Rek tot Fysiologische Respons

De fysiologische cascade van natriuretische peptiden verloopt via vier opeenvolgende fasen die gecoordineerd instaan voor het hesteel van een normovolemische teostand.

1 Mechanotransductie en Peptidesecretie

Hypervolemie en verhoogde veneuze terugstroom verhogen de diastolische vulling. De mechanische rek van atriale en ventriculaire wanden activeert de afgifte van ANP en BNP in het coronaire veneuze stelsel en de systemische circulatie.

2 Renale Vasculaire Effecten en GFR-Stijging

In de nieren induceren ANP en BNP dilatatie van de afferente arteriolen en selectieve constrictie van de efferente arteriolen. Dit verhoogt de intraglomerulaire capillaire druk en leidt tot een stijging van de glomerulaire filtratiesnelheid (GFR).

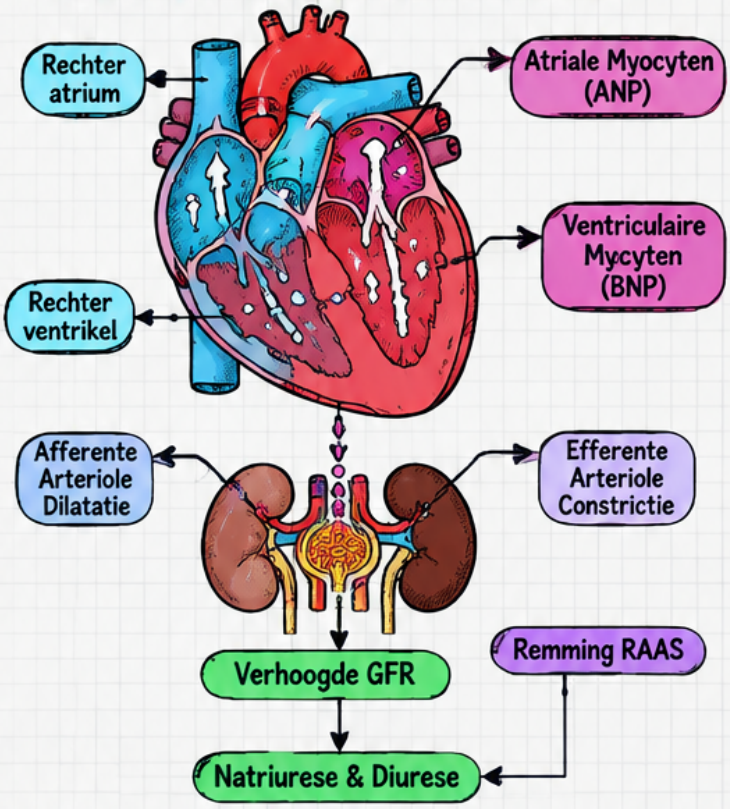
3 Remming van Tubulaire Natrium- en Waterresorptie

ANP remt direct de Na^+/K^+-ATPase-activitiet en de epitheliale natriumkanalen (ENaC) in de verzamelbuizen. Dit belemmert de reabsorptie van natriumionen, waardour natriurese en osmotische diurese direct toenemen.

4 Neurohormonale Onderdrukking en Systemische Vasodilatatie

De peptiden onderdrukken de renine-secretie door juxtaglomerulaire cellen en blokkeren direct de aldosteronafgifte in de bijnierschors. Geljiktijdige relaxatie van vasculair glad spierweefsel verlaagt de totale perifere weerstand.

ATRIALE EN VENTRICULAIRE REK



Fysiologisch Beslismodel: Volumetoestand en Hormonale Tegenkoppeling

Gebruik dit beslismodel om de autonome en horromale compensatiemechanismen te correleren aan wisselende intravasculaire vullingscoodities.

Welke fysiologische reactie domineert bij de waargenomen myocardiale wandspanning?

Wandspanning verhoogd door hypervolemie of verhoogde preload

Stimulatie van ANP- en BNP-afgifte treedt op. Resultaat: toeneme van GFR, sterke toename van natrium- en wateruitscheiding, remming van renine en aldosteron, en daling van de systemische vaatweerstand.

Wandspanning laag door hypovolemie, dehydratie of bloedverlise.

Minimale secretie van ANP en BNP. Tegenkoppeling ontbreekt: activatie van het RAAS-systeem en het sympathische zenuwstelsel overheerst, met behoud van natrium en water en toename van vasoconstrictie.

Actieve Fysiologische Analyse en Zelftest

Toets uw inzicht in de nier-hart-as door adoetssande synthesevelden in te vullen op basis van het mechanistische diagram.

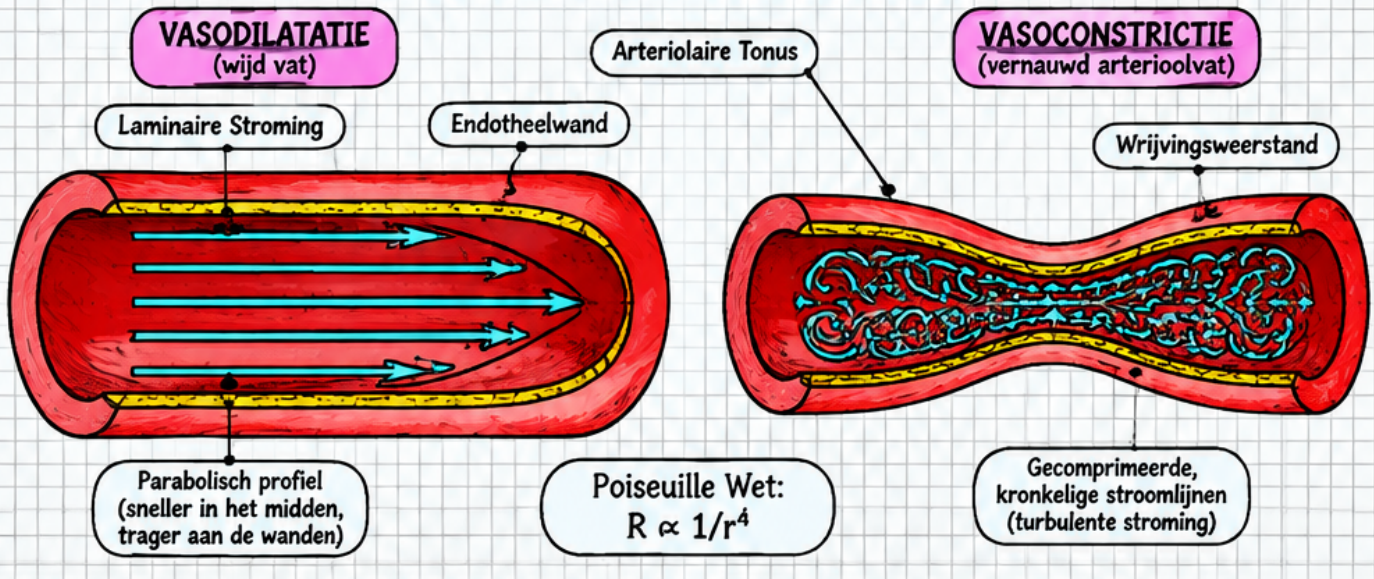
Aandachtspunt voor Zelfstudie
Controleer bij het invullen nauwkeurig het onderscheid tussen de vasculaire effecten op de afferente en efferente arteriolen en het netto-effect op de filtratiefractie.

1. Beschrijf het effect van ANP/BNP op de tonus van afferente versus efferente renale arteriolen:

2. Verklaar waaron onderdrukking van aldosteren leidt tot verminderde natriumresorptie in de distale tubulus:

3. Noteer de rol van cyclisch GMP (cGMP) als secundaire boodschapper in vaatwandglad spierweefsel:

PERIFERE VASCULAIRE WEERSTAND



Fysiologie Kaart 107: Perifere Vasculaire Weerstand en Poiseuille

Biofysische Grondslagen van Vaatweerstand

De perifere vasculaire weerstand (PVR of SVR) vormt de totale weerstand die het vaatsteslel biedt tegen het rondpompen van bloed vanuit hte hart. Volgens de wet van Hagen-Poiseuille werdt de weerstand (R) hoofsaakelijk bepaald door de straal (radius r) van de arteriolen: R is omgekeerd evenerdig met sle vierde macht van de straal ($R \propto 1/r^4$). Een halvering van de vaatdiameter verhoogt de lokale weerstand met enn factor zestien, waardoor arteriolaire gladde spiercellen fungeren als de voornaamste regelknoppen voor orgaandoorbloeding en systemische arteriële bloeddruk.

- **Vaatradius (r)**: de krachtigste fysiologische variabele danklij de vierde-machtsverhouding ($1/r^4$),
- **Vaatlengte (L)**: fysiologisch nagenoeg constant op volwassen leeftijd, recht eventerdig met weerstand.
- **Bloedviscositeit (η)**: bepaald door hematocriet en plasma-eiwitten; verhoogde viscositiet vergroot wrijying en weerstand.
- **Arteriolen als weerstandsvaten**: reguleren de distributie van hartminuutvolume via sympathische vasccontractie en lokale vasodilatatie.

Belangrijke Fysiologische Disclaimer
Dit leermateriaal is uitslutend bestemd voor biomedisch onderwigs en zelfstudie. Het vormt geen medische richtlijn, diagnostisch protocol of klinisch behandeladvise.

Stap-voor-stap Analyse van Hemodynamische Parameters

Pas dit fysiologische stappenplan toe om de invloed van vasculaire diameter en bloedstroomprofielen in een vaatsegment systematisch te berekenen en interpeteeren.

1. **Stap 1: Bepaal de relatieve verandering in arteriolaire radius (r)**
   Noteer de uitgangsstraal (r_1) en de nieuwe straal na vasomotie (r_2). Bepeal de verhouding (r_2/r_1).
2. **Stap 2: Bereken de exponentiële weerstandsfactor ($1/r^4$)**
   Verhef de radiusverandering tot de vierde macht om te bepalen met welke factor de perifere stromingsweerstand toe- of afneemt.
3. **Stap 3: Beoodeed het stromingsprofiel (laminair versus turbulent)**
   Kerctioler of de laminaire parabolische grenslaag intact is ot dat vaatvernauwingen/vertakkingen wervellegen en een verhoogd Reynolds-getal (>2000) verroazaten.
4. **Stap 4: Evalueer de orgaanspecifieke flow (Q = AP / R)**
   Verhind de berekende weerstand met de lokale perfusiedruk (AP) om de netto doorbloeding van de stroomafwaartse capiillairbed vast te stellen.

Klinische Flow-Beslisboom: Vasomotie en Hemodynamiek

Gebruik dese differentiatiestructuur om te bepalen welk regulatiemechannisme actief is bij acute schomelingen in arteriële blooddruk en vaattonus.

Wat is de primiare rrigger voor de acute vaattonusverandering?

Lokale metabole accumulatie (adenosine, CO_2, H^+, lactaat) in weefsel)	Systemische sympathicus-activatie (noradrenaline op alfa-1-adrenoreceptoren)	Endotheliale afschuifspanning (shear stress door verhoogde laminaire flow)
Lokale vasodilatatie van precapillaire sfincters en arteriolen: radius neemt toe, weerstand daalt lokaal ($1/r^4$), perfusie stijgt conform weefselbehoefte (functionele hyperemie).	Gegeneralieserde vasconnstrictie van perifere arteriolen: radius verklent, totale perifere weerstand (SVR) stijgt sterp, arteriële bloeddruk wordt verhoogd.	Afgifte van stiktotfmonoxide (NO) door endotheelcellen leidt tot relaxatie van vasculaire gladde spieren en flow-gemedieerde vaatverwijding:

Werkblad en Zelfevaluaite: Poiseuille Rekenoefening

Vul onderstaande fysiologische parameters in voor een casus met 20% arteriolaire vasconstrictie ($r_2 = 0{,}8 \cdot r_1$) om het leereffect te verifiëem.

Berekeningstip
Bij een radiusafname tot 0,8 van het origineel is r^4 geljik aan $0{,}8^4 = 0{,}4096$. De weestand stijgt derhalve naan $1 / 0{,}4096 \approx 2{,}44$ maal de initiële waarde (+144%).

Uitgangswaarde radius (r_1) en waargenomen arteriolaire contractie (%)	
Rede [illegible]	
Berekende relatieve weerstandstoname ($R_2 = R_1 / (r_2/r_1)^4$)	
Verwacht effect op lokale orgaanperfusie bij constante gemiddelde arteriële druk (MAP)	
Notities betteffende afschuifspanning en overgang naar turbulente stroming	

Dit leermateriaal is uitslutend bestemd voor biomedisch onderwijs en zelfstudie. Het vormt geen medische richtlijn, diagnostisch protocol of klinisch behandeladvies.

CARDIALE INOTROPIE EN LUSITROPIE: BETA-ADRENERGE SIGNAALTRANSDUCTIE

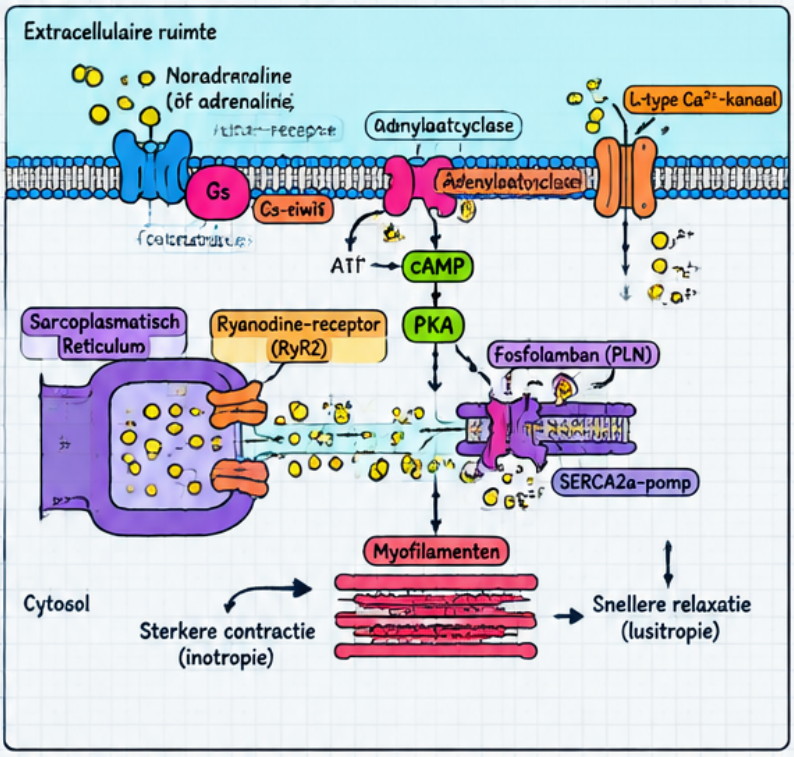
BETA-ADRENERGE SIGNAALCASCADE IN DE VENTRICULAIRE CARDIOMYOCYT

Tijdens sympathische activatie binden adrenaline en noradrenaline aan cardiale bèta-1-adrenerge receptoren. Deze G-eiwitgekoppelde cascade verhoogt intracellulair cyclisch AMP (cAMP) via adenylaatcyclase, wat proteïnekinase A (PKA) activeert. PKA fosforyleert cruciale doeleiwitten voor zowel spiercontractie als spierrelaxatie.

- Binding van agonist aan de bèta-1-adrenerge receptor activeert het stimulerende G-eiwit (Gs).
- Gs-alfa activeert adenylaatcyclase, wat ATP omzet in cyclisch AMP (cAMP).
- Verhoogd cAMP activeert proteïnekinase A (PKA).
- PKA fosforyleert L-type calciumkanalen (DHPR) en ryanodine-receptoren (RyR2), waardoor de instroom van Ca^{2+} stijgt (positief inotroop effect).
- PKA fosforyleert fosfolamban (PLN), wat de remming op de SERCA2a-pomp opheft en Ca^{2+}-terugname in het sarcoplasmatisch reticulum versnelt (positief lusitroop effect).

Educateive Disclaimer & Fysiologische Verificatie

Dit lesmateriaal is uitsluitend bedoeld voor anatomisch en fysiologisch onderwijs en dient niet als medisch advies, klinische diagnose of behandelrichtlijn. De weergegeven signaalcascade weerspiegelt de gemeen geaccepteerde cellulaire hartspierfysiologie.

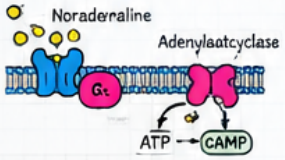


STAPSGEWIJZE SIGNAALTRANSDUCTIE EN MECHANISCHE RESPONS

Volg onderstaande stappen om de moleculaire overgang van prikkeling naar zowel **krachtigere contractie (inotropie)** als snellere ontspanning (lusitropie) functioneel zo analyseren.

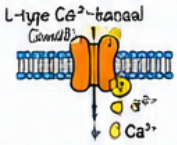
- **Inotropie:** piekspanning van de contractie neemt toe door grotere calciumtransiënt.
- **Lusitropie:** relaxatiefase verkort, waardoor ventriculaire vullingstijd bij hoge hartslag gewaarborgd blijft.

1 Receptoractivatie en cAMP-synthese



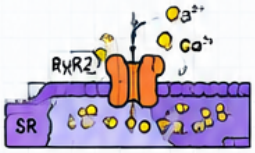
Noradrenaline bindt aan de bèta-1-adrenerge receptor. Het Gs-eiwit dissocieert en activeert membraangebonden adenylaatcyclase, dat cytosolisch ATP omzet in de secundaire boodschapper cAMP.

2 PKA-activatie en Fosforylering van Instroomkanalen



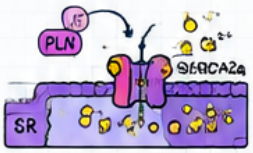
cAMP activeert PKA. PKA fosforyleert het L-type Ca^{2+}-kanaal (Cav1.2) in het sarcolemma, wat leidt tot een grotere Ca^{2+}-instroom tijdens de plateaufase van de actiepotentiaal.

3 Calcium-geïnduceerde Calciumafgifte (CICR)



De verhoogde instroom van "trigger-calcium" activeert RyR2 op het sarcoplasmatisch reticulum, wat resulteert in een krachtigere myofilament-interactie en toegenomen slagkracht (inotropie).

4 PLN-fosforylering en SERCA2a-disinhibitie



PKA fosforyleert tevens fosfolamban (PLN). Gefosforyleerd PLN laat SERCA2a los, waardoor deze pomp Ca^{2+} aanzienlijk sneller terugpompt in het sarcoplasmatisch reticulum. (lusitropie).

WELK FUNCTIONEEL EINDEFFECT STAAT OP DE VOORRROND BIJ ACTIVERING VAN DEZE CASCADE?

Fosforylering van Cav1.2 en RyR2 domineert de respons → Verhoogde cytosolische calciumconcentratie. leidt direct tot een positief inotroop effect (toegenomen contractiekracht).

Fosforylering van fosfolamban (PLN) domineert de respons → Versnelde calciumheropname door SERCA2a leidt direct tot een positief lusitroop effect (versnelde ventriculaire relaxatie).

ZELFEVALUATIE EN CASUSANALYSE: CARDIALE SIGNAALTRANSDUCTIE

Aandachtspunt voor Studenten

Let op het onderscheid tussen inotropie (knijpkracht), lusitropie (relaxatiesnelheid), chronotropie (hartfrequentie) en dromotropie geleidingssnelheid).

Dit lesmateriaal is uitsluitend bedeeld voor anatomisch en fysiologisch onderwijs en dient niet als medisch advies, klinische diagnose of behandelrichtlijn.

Beschrijf de rol van proteïnekinase A (PKA) bij het verhogen van de contractiekracht (inotropie):

Verklaar waarom fosforylering van fosfolamban essentieel is voor ventriculaire vulling bij tachycardie (lusitropie):

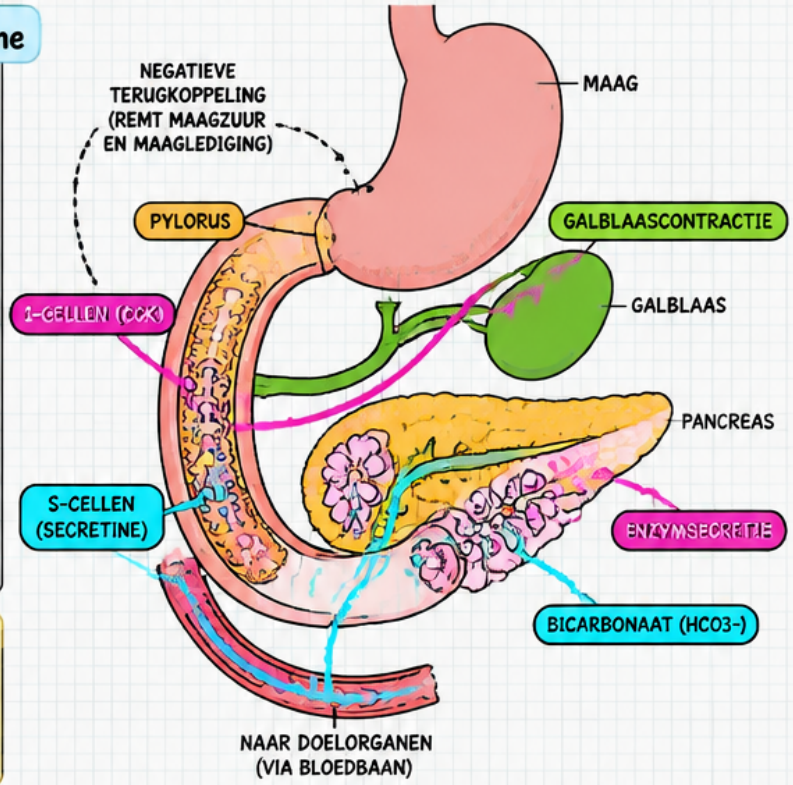
Notities beteeffende bèta-blokkers en hun remmende effect op deze signaalroute:

FYSIOLOGIE KAART:
DUODENALE HORMONEN CCK & SECRETINE

Duodenale Regulatie: CCK en Secretine

Wanneer zure chymus met afgebroken vetten en peptiden vanuit de maag via de pylorus het duodenum binnenstroomt, treden endocriene cellen in het duodenumslijmvlies onmiddellijk in werking. Twee sleutelhormonen reguleren deze spijsverteringsfase: cholecystokinine (CCK) en secretine. Samen synchroniseren zij de toevoer van galzouten, de secretie van enzymen en neutraliserend bicarbonaat, en de maaglediging.

- I-cellen detecteren lipiden en gedeeltelijk verteerde eiwitten in het lumen van het duodenum.
- S-cellen reageren primair op een lage luminale pH (maagzuur onder pH 4,5).
- Beide hormonen bereiken hun doelorgaan via de bloedbaan (endocriene route), niet via het darmkanaal zelf.
- Het gecoordineerde effect verlaagt de zuurgraad en start de intraluminale vertering van macronutriënten.



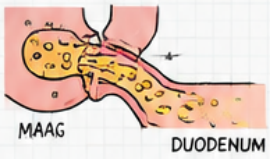
Educatieve Disclaimer

Dit schema dient uitsluitend voor onderwijs- en studiedoeleinden. Het is geen klinisch diagnostisch instrument en vervangt geen professioneel medisch advies. Fysiologische feedbacklussen zijn vereenvoudigd weergegeven voor didactische verduidelijking.

Hormonale Feedbackcyclus in Vier Fasen

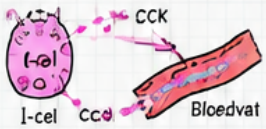
Volg de opeenvolgende stappen van chymus-detectie tot neutralisatie en enzymatische afbraak in het duodenum.

1 Intrede van zure en vetrijke chymus



De pylorus ontspant en laat een portie maaginhoud door naar de twaalfvingerige darm. De luminale pH daalt scherp door zoutzuur, terwijl vetzuren en peptiden in direct contact komen met de mucosale microvilli.

2 Afgifte van CCK door I-cellen



Gestimuleerd door vetzuren en aminozuren scheiden duodenale I-cellen CCK uit in de lokale capillairen. CCK bindt aan receptoren op de galblaaswand (inductie van contractie), op acinaire cellen van het pancreas (secretie van enzymrijk sap en op de sfincter van Oddi (verslapping).

3 Afgifte van Secretine door S-cellen



Detectie van protonen (lage pH) zet S-cellen aan tot afgifte van secretine aan het bloed. Secretine stimuleert intercalaire ductuscellen in de pancreas tot massale productie van waterig, bicarbonaatrijk (HCO3-) vocht.

4 Neutralisatie en negatieve terugkoppeling



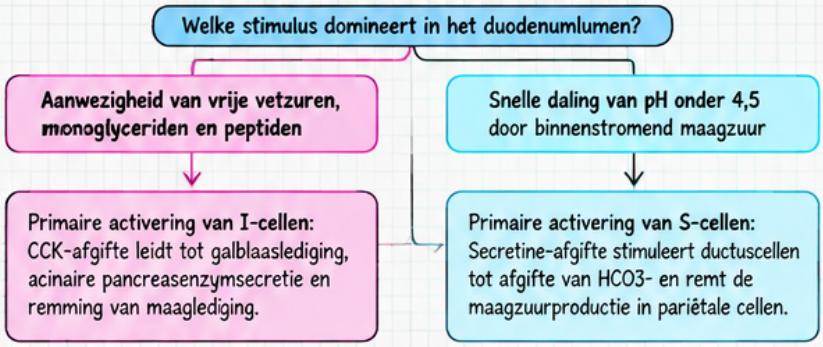
Bicarbonaat neutraliseert het maagzuur in the duodenum naar een neutrale werk-pH (pH 6-7). CCK en secretine remmen tevens de pariëtale maagcellen en de maagledigingen, waardoor verdere toevloei van zuur wordt vertraagd totdat de neutralisatie compleet is.

Differentiële Analyse: CCK versus Secretine

Gebruik deze beslisregel om direct te bepalen welk hormonaal pad dominant geactiveerd wordt bij specifieke luminale prikkels.

Aandachtspunt Acinair vs. Ductes

Onthoud het functionele onderscheid: CCK stuurt vooral acinaire cellen aan (verteringsenzymen: lipase, amylase, proteasen), wewijl secretine specifiek ductuscellen activeert (bicarbonaat en vocht.



Educatieve Disclaimer

Dit schema dient uitsluitend voor onderwijs- en studiedoeleinden. Het is geen klinisch diagnostisch instrument en vervangt geen professioneel medisch advies. Fysiologische feedbacklussen zijn vereenvoudigd weergegeven voor didactische verduidelijking.

KENNISCHECK & FEEDBACK

Werkblad: Fysiologische Analyse en Toepassing

Zelfevaluatie en Functie-Inventarisatie

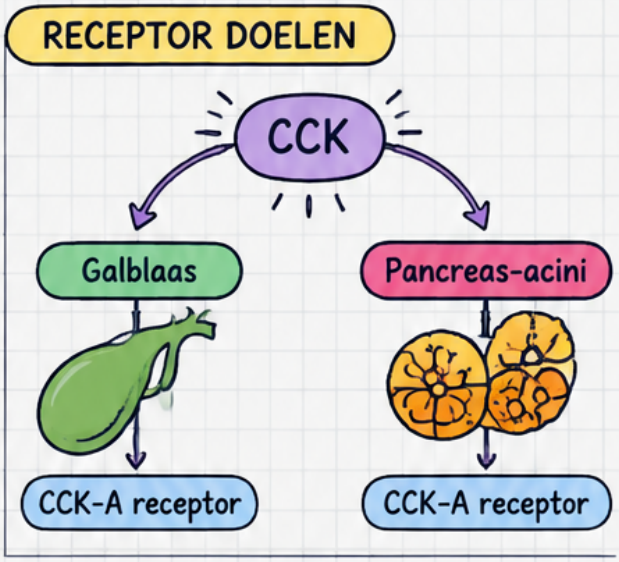
Vul de ontbrekende fysiologische kernwaarden in op basis van het diagram en je collegedictaat ter voorbereiding op het tentamen fysiologie.

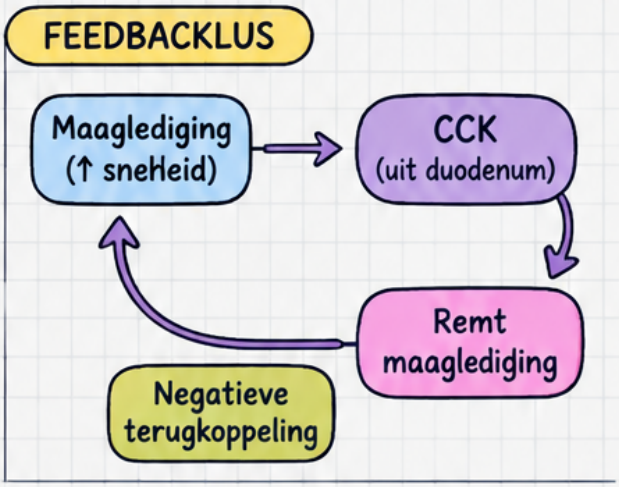
1. ☐ Celtype en stimulus voor cholecystokinine (CCK):

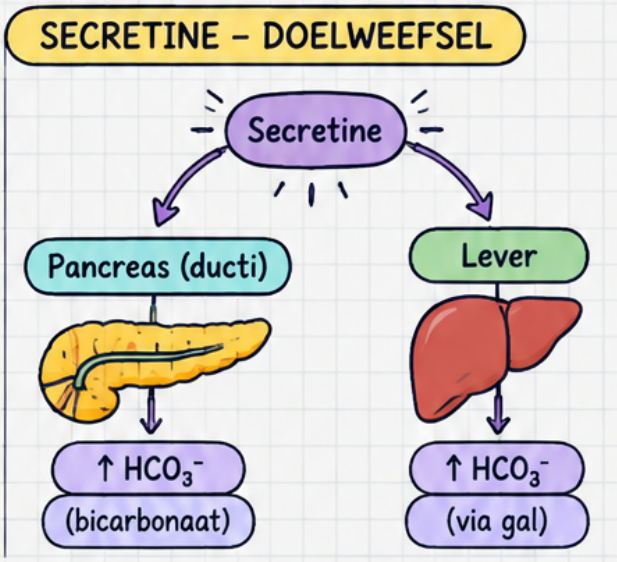
2. ☐ Twee hoofdeffecten van CCK op galblaas en pancreas-acini:

3. ☐ Doelweefsel en elektrolytenrespons van secretine:

4. ☐ Mechanisme van negatieve terugkoppeling op de maagledigingsnelheid:







Dit werkblad is uitsluitend bedeeld voor educatieve doeleinden.

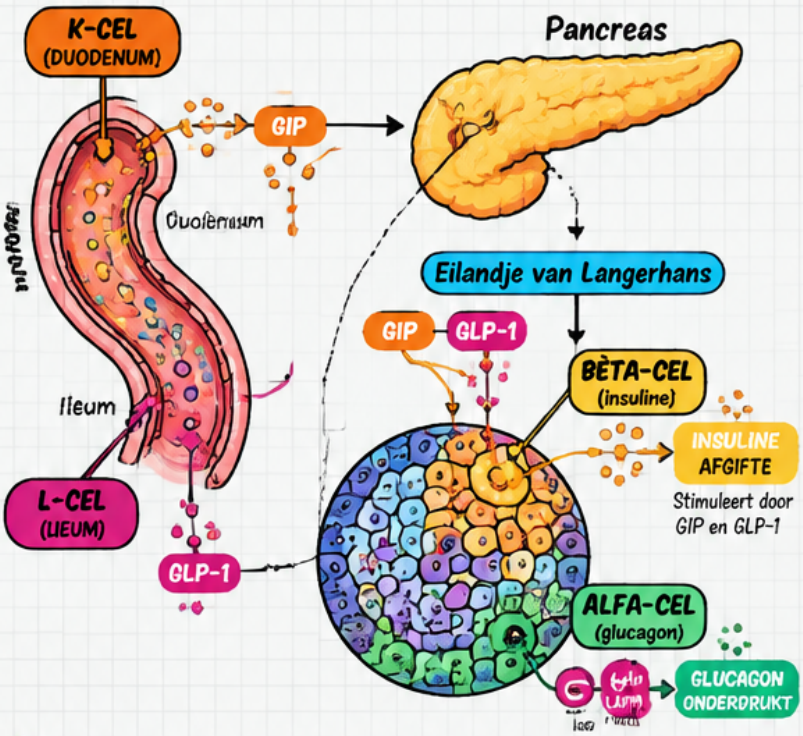
HET INCRETINE-EFFECT

Fysiologiekaart: Het Incretine-Effect en Eilandjesregulatie

Fysiologisch Mechanisme van het Incretine-Effect

Het incretine-effect beschrijft het fysiologische fenomeen waarbij orale inname van koolhydraten en voedingsstoffen leidt tot een aanzienlijk hogere insulinesecretie dan een equivalente dosis glucose die intraveneus wordt toegediend. Deze versterkte respons wordt gemedieerd door darmhormonen (incretines), voornamelijk GLP-1 (Glucagon-Like Peptide-1) en GIP (Glucose-dependent Insulinotropic Polypeptide). Zodra nutriënten de dunne darm passeren, detecteren entero-endocriene cellen de aanwezigheid van glucose, vetzuren en peptiden, waarna zij deze hormonen direct in de capillaire bloedsomloop afgeven.

- Orale glucose stimuleert tot 70% van de totale postprandiale insulineafgifte via het incretine-pad.
- K-cellen (voornamelijk gelokaliseerd in het proximale duodenum en jejunum) secerneren GIP direct na het detecteren van koolhydraten en vetten.
- L-cellen (gesitueerd in het distale ileum en colon) scheiden GLP-1 uit bij contact met chymus.
- Zowel GLP-1 als GIP binden aan specifieke G-eiwitgekoppelde receptoren (GPCR's) op pancreatische bèta-cellen.



Educatieve Disclaimer

Dit overzicht dient uitsluitend voor medisch-biologische studiedoeleinden en is geen klinisch behandeladvies of diagnostische richtlijn.

Signaalcascade in het Pancreas en Target-Effecten

De werking van GLP-1 en GIP op de eilandjes van Langerhans is strikt glucoseafhankelijk. Wanneer de circulerende glucoseconcentratie stijgt, versterken de geactiveerde incretinereceptoren de intracellulaire signaaltransductie.

- **Bèta-cel activering:** Binding stimuleert adenylaatcyclase, wat leidt tot verhoogd cyclisch AMP (cAMP) en activatie van proteïnekinase A (PKA) en Epac2.
- **Calcium-influx:** Dit verhoogt de gevoeligheid van calciumkanalen en stimuleert exocytose van insulinebevattende granula.
- **Alfa-cel modulatie:** GLP-1 onderdrukt gelijktijdig de secretie van glucagon bij hyperglykemie, waardoor leverglucoseproductie afneemt.
- **Maagontlediging en verzadiging:** GLP-1 vertraagt de maaglediging en activeert centrale verzadigingscentra in de hypothalamus via de nervus vagus.

Klinische Relevantie: DPP-4 Inactivatie

Intact GLP-1 en GIP hebben een halfwaardetijd van slechts enkele minuten door snelle klieving door het enzym dipeptidylpeptidase-4 (DPP-4).

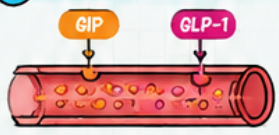
Stappenplan: Van Darm tot Homeostase

1 Voedselpassage en Detectie



Nutriënten bereiken het duodenum en stimuleren mechanisch en chemisch de K-cellen en L-cellen in de darmmucosa.

2 Incretine-afgifte in de Circulatie



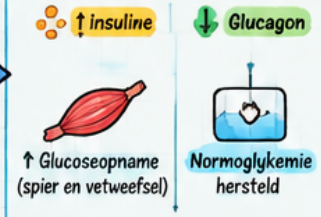
K-cellen produceren GIP en L-cellen produceren GLP-1, die via de poortader en systemische circulatie het pancreas bereiken.

3 Glucoseafhankelijke Binding



GLP-1R en GIPR op bèta-cellen worden bezet. Bij aanwezigheid van verhoogd bloedglucose leidt dit tot versnelde fusie van insulineblaasjes.

4 Eilandjesrespons en Homeostase



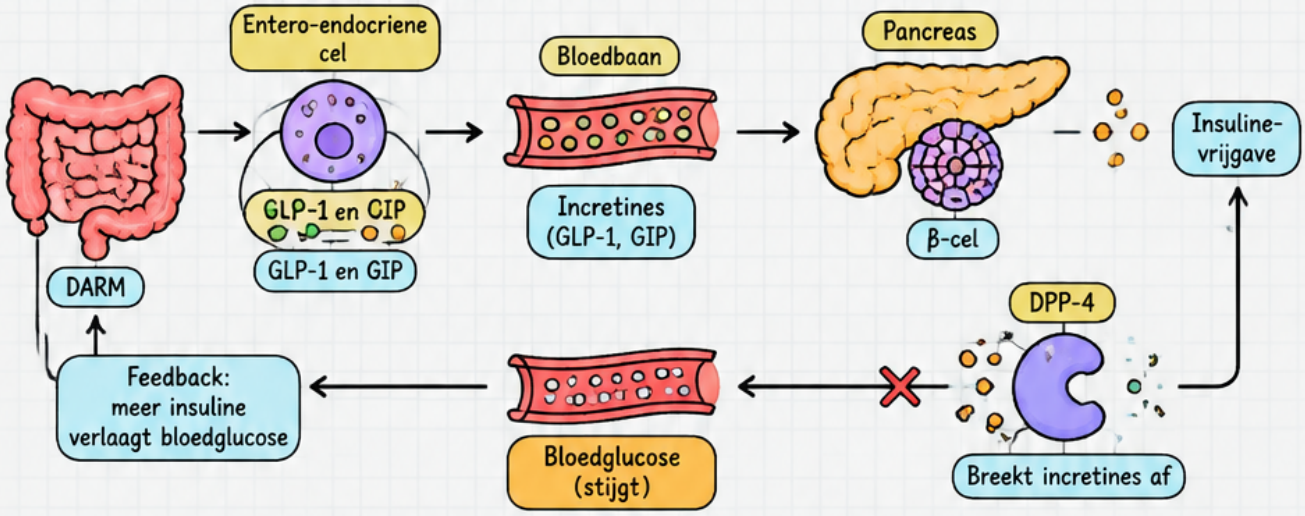
Welk fysiologisch responsmechanisme treedt op bij de huidige bloedglucoseconcentratie?

Bloedglucose is verhoogd (> 5,5 mmol/L na maaltijd)
GLP-1 en GIP stimuleren krachtig de insulinesecretie en GLP-1 remt glucagonproductie om postprandiale pieken te dempen.

Bloedglucose is basaal of laag (< 4,0 mmol/L tijdens vasten)
Incretine-geïnduceerde insulinesecretie stopt spontaan (glucoseafhankelijkheidsbevelliging); glucagonremming vervalt om hypoglykemie te voorhomen.

FYSIOLOGISCHE INTEGRATIE

DARM-PANCREAS SIGNAALROUTES



Zelfevaluatie: Fysiologische Analyse van het Incretine-Pad

Gebruik onderstaande checklist en analysekaders om uw inzicht in de endocriene regulatie en signaaltransductie van darm-naar-pancreas te toetsen.

- ☐ Verifieer de lokalisatie van de entero-endocriene celtypen langs de tractus digestivus.
- ☐ Bepaal het verschil in werking tussen GLP-1 en GIP op de pancreatische alfacel.
- ☐ Beschrijf de rol van cAMP en PKA bij de granule-exocytose.

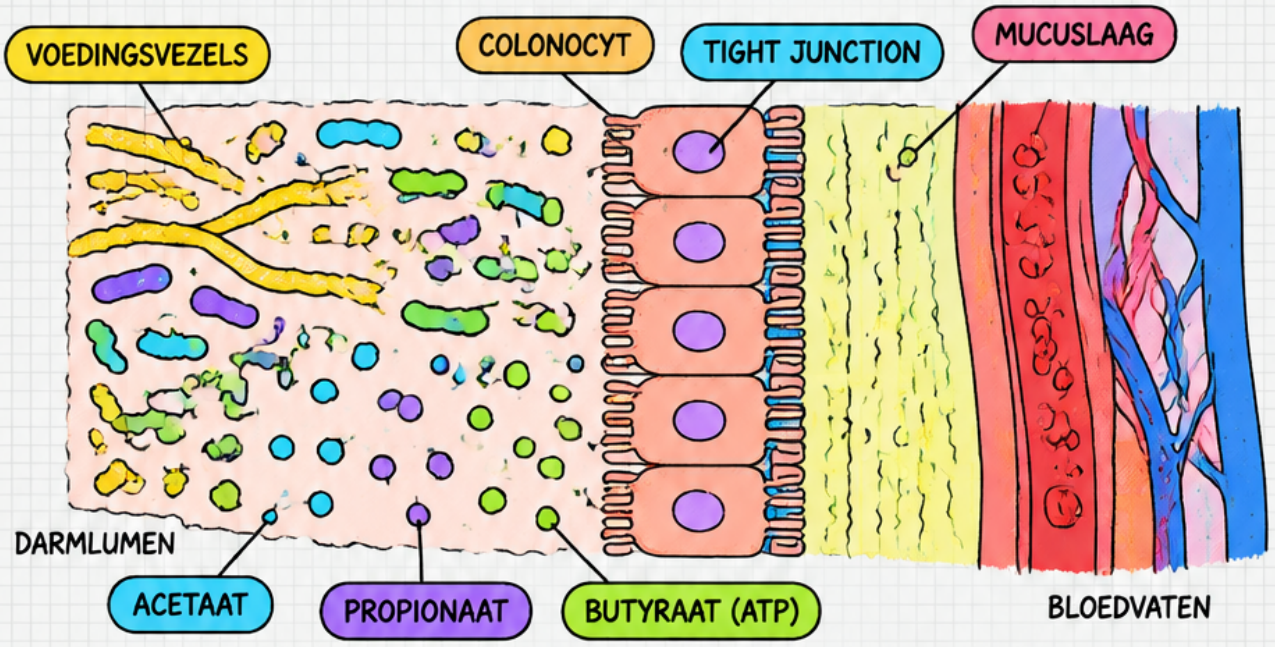
1 Verklaar waarom intraveneuze glucose minder insuline vrijmaakt dan dezelfde dosis oraal:

2 Beschrijf de signaaltransductiecascade vanaf receptorbinding tot insuline-exocytose:

3 Wat is het fysiologische gevolg van enzymatische inhibitie van DPP-4?

Deze materialen zijn uitsluitend bedeeld voor educatieve doeleinden en vormen geen vervanging voor professioneel medisch advies.

MICROBIOOM-METABOLISME: SCFA



Microbiële Fermentatie en Lokale Barrièrefunctie

In het colon fermenteren anaerobe bacteriën niet-verteerbare voedingsvezels tot korte-ketenvetzuren (SCFA's): voornameiljk acetaat, propionaat en butyraat. Butyraat dient als primaire energiebron voor colonocyten en ondersteunt via regulatie van tight junction-eiwitten de integriteit van de darmbarrière.

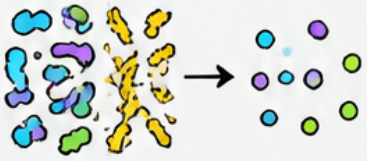
Educatieve Disclaimer

Deze visuele gids is uitsluitend bestemd voor educatieve en fysiologiscke studiedoeleinden. Het bevat geen diagnostische richtlijnen of behandeladviezen voor maag-darmstelselaandoeningen.

- Voedingsvezels (o.a. inuline, resistent zetmeel) worden door het microbioom omgezet in SCFA's.
- Butyraat voorziet colonocyten van adenosine trifosfaat (ATP) via mitochondriale bèta-oxidatie.
- Versterking van de tight junctions (claudines, occludines) beperkt paracellulaire doorlaatbaarheid.
- Stimulatie van mucineproductie (MUC2) vormt een beschermende fysieke slijmlaag over het epitheel.

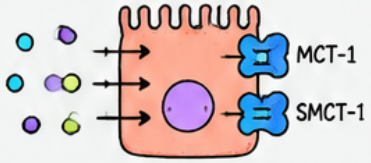
---

1 Anaerobe Fermentatie



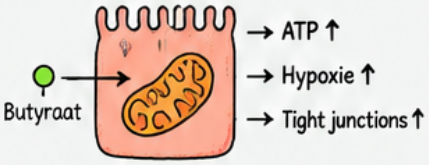
Darmbacteriën hydrolyseren complexe polysachariden in het darmlumen tot tussenproducten en zetten deze anaeroob om naar acetaat, propionaat en butyraat.

2 Apicale Opname in de Colonocyt



Korte-ketenvetzuren worden door colonocyten opgenomen via passieve diffusie en specifiehe actieve transporteiwitten zoals monocarboxylaat-transporters (MCT-1 en SMCT-1).

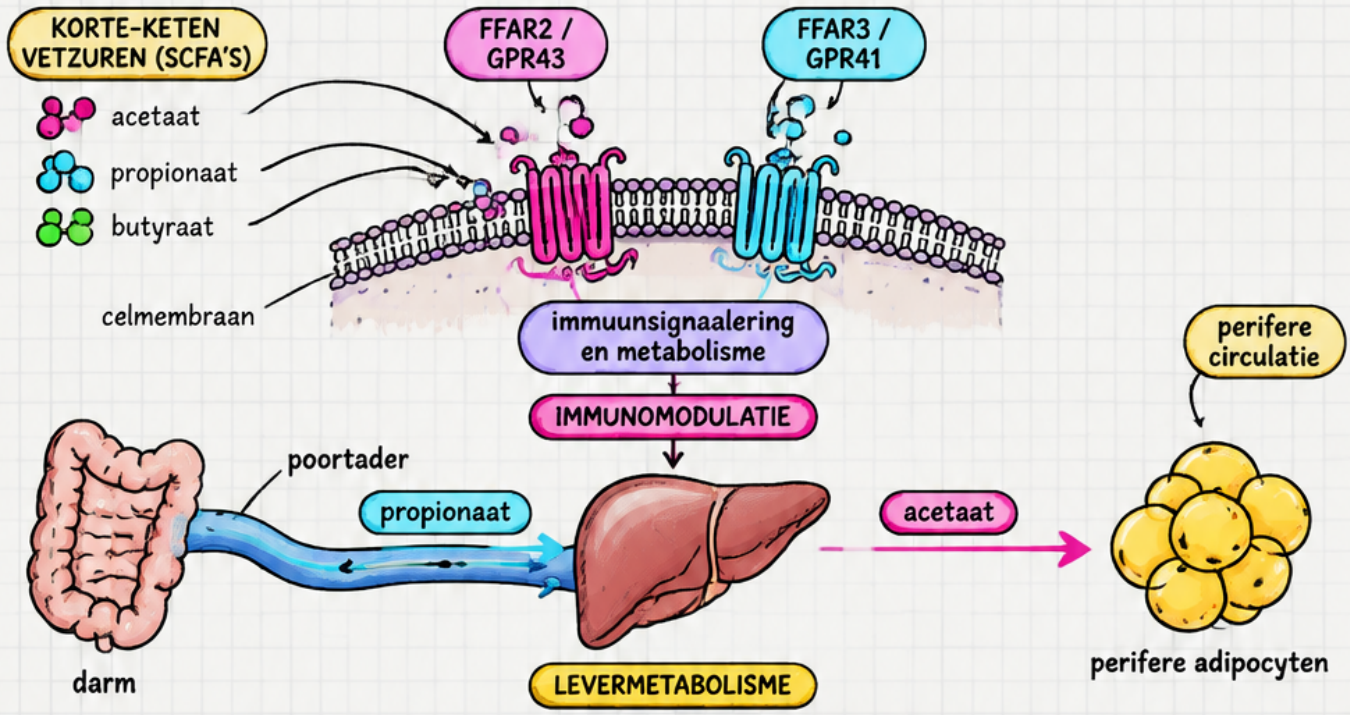
3 Mitochondriale Oxidatie & Versterking



Butyraat ondergaat bèta-oxidatie in de mitochondriën van het darmslijmvlies, wat zuurstof verbruikt, hypoxie handhaaft en genexpressie van tight junctions induceert.

Deze visuele gids is uitsluitend bestemd voor educatieve en fysiologische studiedoeleinden. Het bevat geen diagnostische richtlijnen of behandeladviezen voor maag-darmstelselaandoeningen.

SYSTEMISCHE SIGNAALROUTES EN RECEPTORMODULATIE



RECEPTORMODULATIE EN SYSTEMISCHE SIGNAALROUTES

Niet-gemetaboliseerde fracties van SCFA's passeren het epitheel naar het **lamina propria** en het vaatstesel. Hier binden zij aan G-eiwitgekoppelde receptoren (GPCR's), specifiek FFAR2 (GPR43) en FFAR3 (GPR41), wat leidt tot lokale en systemische immuun- en metabolische signalering.

- **FFAR2 (GPR43):** Geëxprimeerd op leukocyten en entero-endocriene L-cellen; reguleert ontstekingsremming en afgifte van GLP-1 en PYY.
- **FFAR3 (GPR41):** Aanwezig op perifere zenuwuiteinden en vaatsteslel; moduleert sympathische activatie en energiebalans.
- **Propionaat** bereikt via de poortader de lever voor glucose- en vetsynthese-modulatie.
- **Acetaat** diffundeert naar de perifere circulatie en fungeert als substraat voor vetweefsel en spieren.

RECEPTOR-SPECIFICITEIT

Affiniteitsverschillen tussen acetaat, propionaat en butyraat op FFAR2 en FFAR3 bepalen de verhouding tussen ontstekingsremmende immunomodulatie en neuronale feedback.

WELK SCFA-MOLECUUL EN PRIMAIR DOELMECHANISME WIL JE ANALYSEREN?

① Focus op lokale epitheelenergie en tight junction-barrière

Analyseer de omzetting en mitochondriale oxidatie van **butyraat** in de colonocyt en volg de expressie van occludine en claudine-1.

② Focus op immunomodulatie en endocriene verzadigingssignalen

Traceer de ligatie van **acetaat** en propionaat op FFAR2/FFAR3 van regulatoire T-cellen en L-cellen voor cytokine- en peptidereductie.

Deze informatie is uitsluitend bedeeld voor educatieve doeleinden.

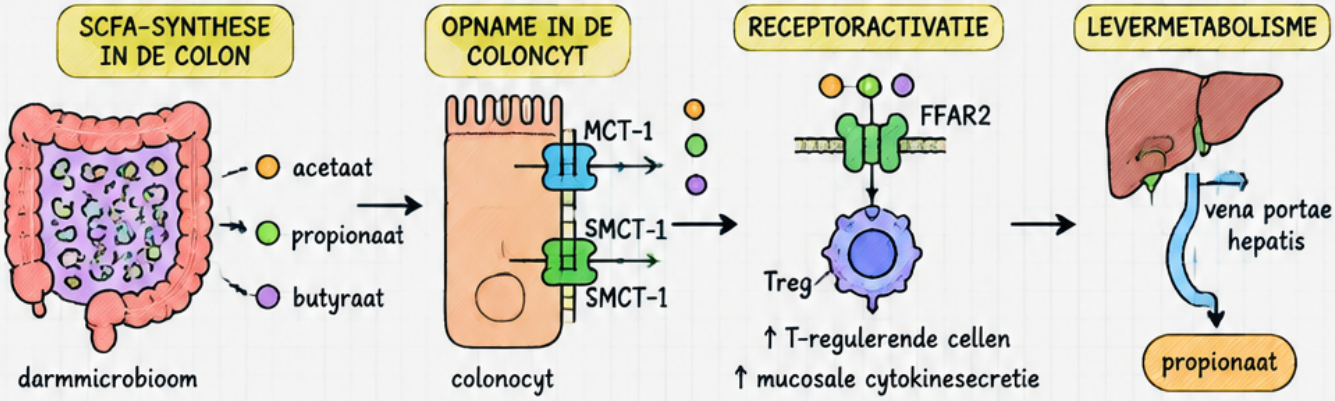
WERKBLAD FYSIOLOGIE: SCFA

Fysiologisch Werkblad: SCFA-Synthese en Receptormechanismen

DIAGNOSE ONDERZOEK | METABOLE ROUTE | RECEPTORANALYSE

Analyse- en Werkblad Fysiologische Mechanismen

Vul de onderstaande werkvelden in om de functionele stappen van SCFA-synthese, lokaal verbruik en systemische signaalcascades zelfestandig uit te werken.



Verhouding geproduceerde SCFA's in colonlumen (Acetaat : Propionaat : Butyraat):

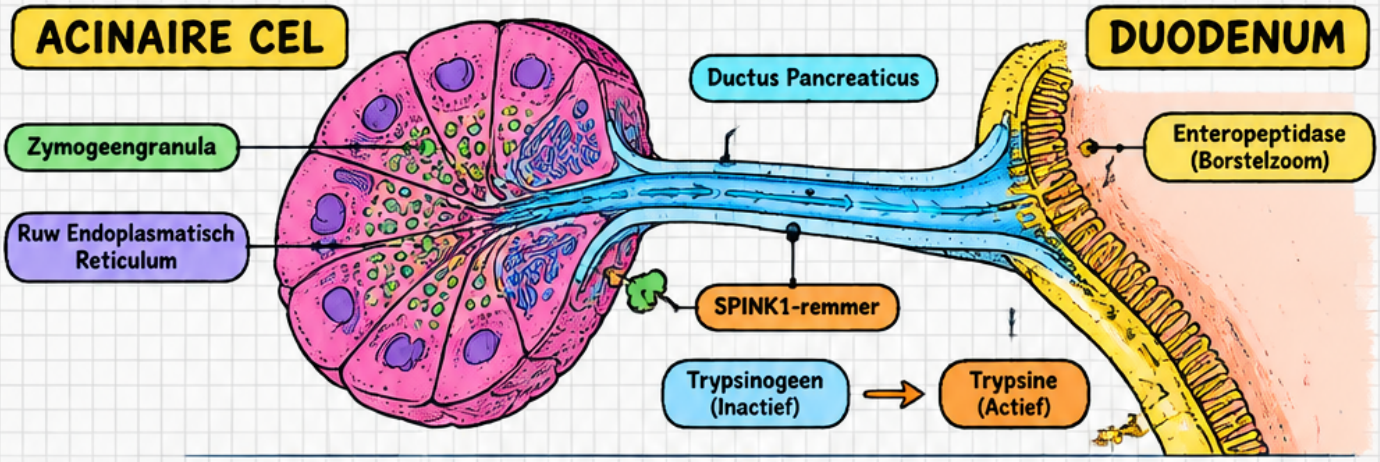
Belangrijkste apicale transportkanalen van de colonocyt (MCT-1 / SMCT-1):

Effecten van FFAR2-activatie op T-regulerende cellen (Treg) en mucosale cytokinesecretie:

Levermetabolisme van propionaat via de vena portae hepatis:

Dit werkblad is uitsluitend bedeeld voor educatieve doeleinden en vervangt geen professioneel advies.

Fysiologie van Zymogeenactivatie en Autodigestiepreventie



Synthese en Bescherming in de Acinaire Cel

De exocriene pancreas produceert karcktige verteringsenzymen voor de afbraak van eiwitten, vetten en koolhydraten in de dunne darm. Omdat acteive proteolytische enzymen het eigen pancreasweefsel direct zouden verteren (autodigestie), synthetiseren en perpakken de acinaire cellen deze enzymen als inactieve pro-enzymen (zymogenen). De intracellulaire scheiding in membraan-omgeven zymogeengranula vormt samen met specifieke enzymremmers de eerste verdedigingslinie van het orgaan.

- Synthese van zymogenen (o.a. trypsinogeen, chymotrypsinogeen, procarboxypeptidase) op het ruw endoplasmatisch reticulum.
- Opslag in zymogeengranula met een licht sure pH (ongeveer pH 5,5) en gecondenseerde aggregatan ter preventie van vroegtiidige interacties.
- Co-synthese van SPINK1 (Serine Protease Inhibitor Kazal-type 1) in dezelfde granula om eventeuel vroegtidig aactiveerd trypsine direct te blokkeren.

Belangrijke Educatieve Disclaimer
Dit leermatriaal dient uitsluitend voor anatomische en fysiologische scholing en vervangt nimmer professieonel medisch advies, klinische diagnoses of behandelplannen.

Ketenactivatie: Van Trypsinogeen naar Actief Trypsine

Pas na gocontroleerde exocytose en transport door de ductus pancreaticus naar het lumen van het duodenum treedt de biochemische activatieketen in werking. De geoliede cascade vorotomt dat pancreasweefsel voortijdig in contact komt met proteolytische activitiet.

1. **Stap 1: Secretie en Transport**
Bij stimulatie door cholecystokinine (CCK) en acetylcholine fuseren de zymogeengranula met de apicale membraan en geven zymogenen af aan het ductale stelsel kichting de papil van Vater.

2. **Stap 2: Primaire Activatie door Enteropeptidase**
In het duodenum knipt het borstelzoomenzym enteropeptidase specifiek een N-terminalal pro-peptide van trypsinogeen af, waardoor het actieve enzym trypsine ontstaat.

3. **Stap 3: Secundaire Cascade en Vertering**
Actief trypsine fungeert als centrale katalyastor en activeert chymotrpsinogeen naar chymotripsine, procarboxypeptidase naar carboxypeptidase en procolipase naar colipase.

4. **Stap 4: Autolytische Zelfregulatie**
Trypsine kan overtollig trypsine op specificke bindingsplastsen klieven en inactiveren om ongeremde cascades en weefselschade te beteugelen.

Fysiologische Beslisboom: Falen van Preventie van Autodigestie?

Wanneer de boschermende mechanismen tekortschieten of ductale obstructie optreedt, kunnen zymogenen voortijdig binnen het orgaan geactiveerd raken. De oddesstannde functionele analyse toont de kettingreactie bij ontregeling.

Let op
Ductale stuwing en lysosomale fusie (colokalisatie van cathepsine B met trypsinogeen) vormen de fysiopathologische basis van acute pancreatitis.

Wat gebeurt er bij voortijdige trypsinogeenactivatie in de acinaire cel?

Fysiologische situatie
(Lage trypsineconcentratie & intacte SPINK1)

SPINK1 bindt aan de actieve holte van trypsine en neutralissert tot circa 20% van de potentiéle enzymactivitiet; overgig trypsine hydrolyseert oioxzelf tot inactieve fragmenten soinder weefsslcchade.

Pathofysiologische overbelasting
(Ductale obstructie, alcohol of genetische mutaties)

De capacitiet van SPINK1 raakt verzadigd, lysosomale enzymen klieven massaal trypsinogeen. Trypsine activeert elastase en fosfolipase A2, leiéend tot membraanafbraak, oéeem en autodigestie.

Werkblad: Fysiologische Analyse & Memorisatie

Gebruik dit werkgedeelte tijdens college of zelfstudie om de kerncomponenten van de zymogeenregulatie te annoteren en te controleren.

- Vul per onderdeel de exacte rol en locatie in.
- Verifieer de stappen aan de hand van de anatomische inktillustratie op de pagina.

1. Beschrijf de rol van SPINK1 bij lage trypsineooncentraties:

2. Verklaar waarom enteropeptidase strikt gebonden is aan de duodenale borstelzoom:

3. Welke enzymen worden secundair door trypsine geactiveerd?

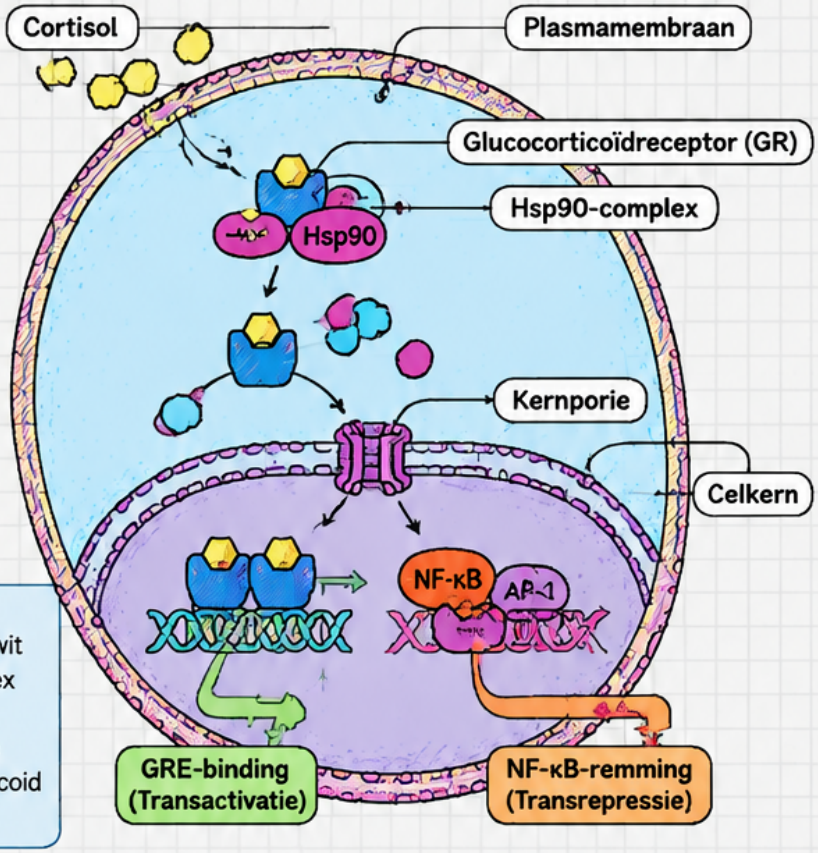
Belangrijke Educatieve Disclaimer
Dit leermatreaal dient uitsluitend voor anatomische en fysiologische scholing en vervangt nimmer professieoneel medisch advies, klinische diagnoses of behandelplannen.

GLUCOCORTICOÏDROUTE

Glucocorticoïdreceptor-activering en Transcriptiemodulatie door Cortisol

Cellulair Mechanisme van Cortisolwerking

Cortisol is een lipofiel steroïdhormoon dat via eenvoudige diffusie het celmembraan passeert. In het cytoplasma bindt het aan de inactieve glucocorticoïdreceptor (GR), die gebonden is aan een multiproteïne-chaperonecomplex met onder meer heat shock protein 90 (Hsp90). Binding leidt tot een conformationele verandering, dissociatie van de hitteschokeiwitten en blootlegging van een nucleair lokalisatiesignaal. Het geactiveerde complex transloceert via nucleoporines naar de celkern.



- Diffusie over de fosfolipidedubbellaag zonder specifiek transmembraantransporteiwit
- Dissociatie van het Hsp90/chaperonecomplex na ligandbinding
- Kernimport via importines door de kernporie
- Homodimerisatie voor binding aan Glucocorticoid Response Elements (GRE)

Welk transcriptioneel werkingsmechanisme overheerst in het doelsubstraat?

Directe DNA-binding aan positieve GRE-sequenties (Transactivatie)

→ Inductie van transcriptie van metabole en anti-inflammatoire enzymen zoals tyrosine-aminotransferase en lipocortine-1 (annexine A1).

Eiwit-eiwitinteractie met pro-inflammatoire transcriptiefactoren (Transrepressie)

⊗ Blokkade van NF-κB en AP-1-gemedieerde transcriptie, leidend tot remming van cytokines zoals TNF-alfa, IL-1beta en cyclo-oxygenase-2 (COX-2).

Zelfstudie & Verificatie van Transcriptiemodulatie

Gebruik onderstaande controlepunten en werkvelden om de moleculaire route te analyseren en de functionele verschillen tussen genomische transactivatie en transrepressie vast te leggen.

- ☐ Controleer de aanwezigheid van cytosolisch Hsp90 als bewaker van receptorstabiliteit in rust.
- ☐ Onderscheid homodimeer-binding aan DNA van monomeer-complexering met transcriptiefactoren.
- ☐ Noteer de specifieke weefseldoelen (bv. hepatocyten versus leukocyten).

Aandachtspunt voor Domeinstudie

Hoewel de basisroute van transcriptiemodulatie vaststaat, verschillen weefselspecifieke responsen door variaties in receptorisoformen (GR-alfa vs GR-beta) en lokale co-activatoren.

Geïdentificeerde stappen in cytosolische activatie en rol van chaperones:	Verschil in moleculaire interactie: GRE-binding vs interactie met NF-κB:	Fysiologische effecten op glucosestofwisseling en cytokineproductie:

Deze illustratie en toelichting dienen uitsluitend voor educatieve en fysiologische studiedoeleinden. Het materiaal vormt geen klinische diagnose, therapeutisch advies of medische richtlijn. Raadpleeg bij klinische vraagstukken altijd een bevoegd arts.

SCHILDKLIERFOLLIKEL FYSIOLOGIE

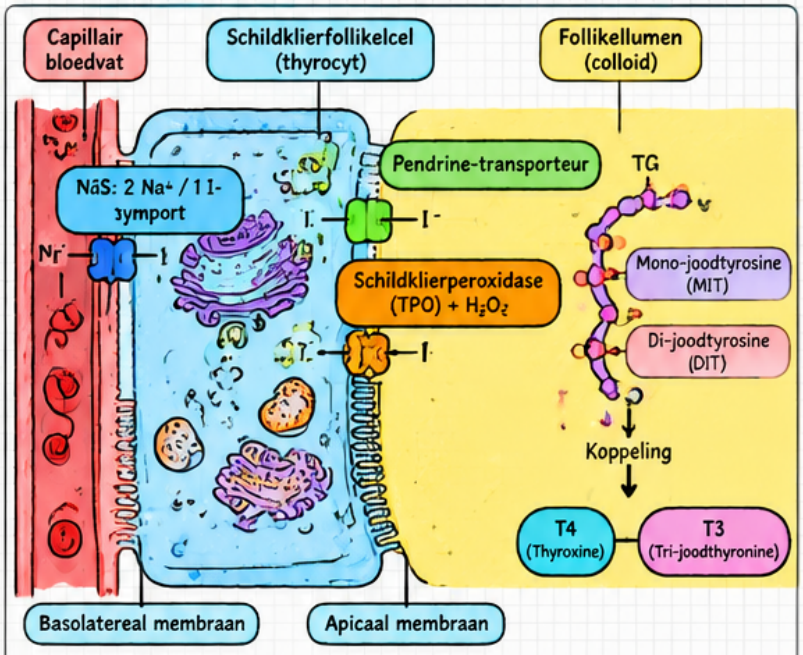
Schildklierhormoonsynthese: Cel- en Colloidfysiologie

Overzicht Schildklierfollikel en Hormoonproductie

De schildklier bestaat uit microscopische follikels omgeven door een enkele laag folliculaire cellen (thyrocyten) die een centrale met colloid gevulde ruimte omringen. De synthese van de actieve schildklierhormonen thyroxine (T4) en tri-joodthyronine (T3) is een gespecialiseerd multistapsproces dat plaatsvindt op het raakvlak van het bloedvat, de folliculaire cel en het folliculaire lumen. De stappen omvatten actieve opname van jodide (I-), luminaal transport, oxidatie, jodering van tyrosineresten op thyroglobuline en enzymatische koppeling.

- **Functionele eenheid:** schildklierfollikel omsloten door folliculaire epitheelcellen.
- **Colloid:** eiwitrijke matrix die hoofdzakelijk bestaat uit thyroglobuline (TG).
- **Schildklierperoxidase (TPO):** sleutelenzym gelokaliseerd aan het apicale membraan.

Educatieve Medische Disclaimer
Deze educatieve anatomie- en fysiologie-illustratie dient uitsluitend voor onderwijs- en studiedoeleinden en vormt geen medische diagnose of behandeladvise. Raadpleeg bij klinische vraagstukken altijd een beveogd arts.



Stapsgewijze Fysiologie van T3- en T4-Synthese

Volg de cascade vanaf de basolaterale membraanzijde (bloedbaan) tot in het follikellumen en de uiteindelijke afgifte van actieve hormonen.

1. **Basolaterale Jodide-opname via NIS**
   Jodide (I-) wordt vanuit het capillaire bloed actief de thyrocyt binnengevoerd via de Natrium/Jodide-symporter (NIS) tegen de elektrochemische gradiënt in, aangedreven door de Na^+/K^+-ATPase gradiënt.
2. **Apicaal Transport via Pendrine**
   Jodide diffundeert door het cytosol naar het apicale membraan en wordt het lumen van het follikel ingetransporteerd via het transporteiwit pendrine (en alternatieve apicale anionkanalen).
3. **Thyroglobulinesynthese en Exocytose**
   De thyrocyt synthetiseert het glycoproteïne thyroglobuline (TG) in het endoplasmatisch reticulum en Golgi-apparaat, waarna secretievesikels TG via exocytose in het colloid afgeven.
4. **Oxidatie en Organificatie door TPO**
   Aan de luminale zijde oxideert schildklierperoxidase (TPO), met behulp van H_2O_4, jodide tot reactief jodium. Dit jodium bindt direct aan tyrosineresten op thyroglobuline: synthese van mono-joodtyrosine (MIT) en di-joodtyrosine (DIT).
5. **Koppeling tot T3 en T4**
   TPO katalyseert de koppeling van gejodeerde tyrosines binnen het TG-molecuul: DIT + DIT vormt thyroxine (T4), verwijl MIT + DIT tri-joodthyroxine (T3) vormt. Het hormoonrijke TG blijft opgeslagen in het colloid tot stimulatie door TSH.

Klinisch-Fysiologisch Beslismodel: Analyse van Synthesestoringen

Gebruik dit analytische beslismodel om te evalueren op welk membraan- of enzymniveau een fysiologische blokkade of stimulatie ingrijpt.

Praktijktip voor Toetsvoorbereiding
Let bij vraagstukken goed op de membraanpolariteit: NIS bevindt zich basolateraal (bloedzijde), terwijl TPO en pendrine apicaal (colloidzijde) actief zijn.

Welke fysiologische factor of remmer beïnvloedt de schildklierhormoonproductie?

Competitieve remming van de Natrium-Jodide-symporter (bijv. perchloraat of thiocyanaat) →	De opname van jodide vanuit het bloed stagneert basolateraal. Gevolg: tekort aan intrathyroidaal jodide, waardoor noch MIT/DIT noch T3/T4 in het colloid gesynthetiseerd kunnen worden.
Remming van het schildklierperoxidase-enzym (bijv. propylthiouracil of thiamazol) →	Jodide accumuleert wel in de cel en het lumen, maar oxidatie, organificatie aan thyroglobuline en de koppelingsreactie vallen stil. De synthese van MIT, DIT, T3 en T4 daalt sterk.
Verhoogde stimulatie van de TSH-receptor (hypofysaire stimulatie of TSH-receptor-antistoffen) →	Stimuleert de expressie en activiteit van sowel NIS als TPO, verhoogt pinocytose van colloid en versnelt de proteolytische afgifte van vrij T4 en T3 aan de bloedsomolop.

Zelfstudie Werkblad & Begrippenverificatie

Vul onderstaande controlepunten in op basis van het fysiologische diagram om de ruimtelijke ordening en mechanismen te internalisseren.

Locatie en drijvende kracht van de Natrium/Jodide-symporter (NIS):

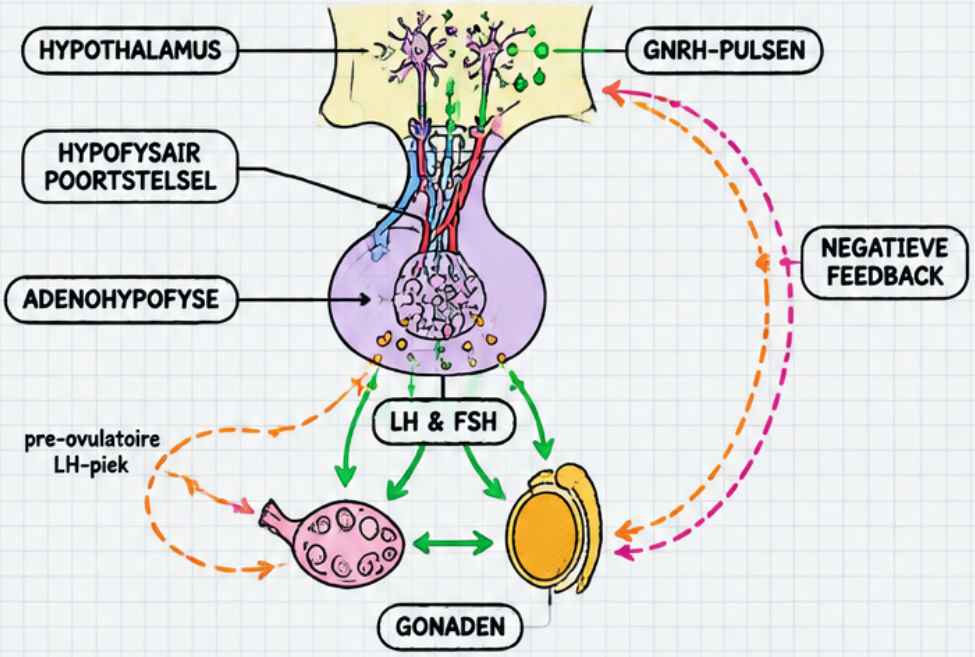
Rol van schildklierperoxidase (TPO) bij organificatie versus koppeling:

Verschil tussen MIT en DIT en de resulterende formule voor T3 versus T4:

Effect van TSH-activatie op het folliculaire transport en colloidinname:

Educatieve Medische Disclaimer
Deze educatieve anatomie- en fysiologie-illustratie dient uitsluitend voor onderwijs- en studiedoeleinden en vormt geen medische diagnose of behandeladvies. Raadpleeg bij klinische vraagstukken altijd een beveegd arts.

HPG-AS & GNRH-PULSEN



Hypothalamus-Hypofyse-Gonadenas: Pulsatiele Secretie & Regelkringen

Overzicht van de HPG-as en Pulsatiele Secretie

De **hypothalamus-hypofyse-gonadenas** reguleert de voortplantingsfuncties via een **nauwkeurig** hormonaal regelsysteem. Neurosecretoire neuronen in de **nucleus arcuatus** van de hypothalamus geven gonadotropine-releasing hormoon (GnRH) af in een pulserend ritme aan het hypofysaire poortadersysteem. Deze pulsatiele stimulatie is essentiel: continue GRRH-toediening leidt tot desensitisatie en stopzetting van de gonadotropinesecretie. In de adenohypofyse bindt GnRH aan recepterer op **gonadotrope cellen**, die vervolgens luteiniserend hormoon (LH) en follikelstimulerend hormoon (FSH) in de systemische circulatie afgeven.

- **Hypothalamus:** Pulserende afgifte van GnRH in de hypofysaire poortader.
- **Adenohypofyse:** Secretie van gonadotropines (LH en FSH) afhankelijk van GnRH-pulsfrequentie.
- **Gonaden** (testes/ovaria): Productie van geslachtssteroïden en peptiden (zoals inhibine) die terugkoppelen naar hogere centra.

Fysiologisch Mechanisme: Pulsfrequentie

Een hoge frequentie van GnRH-pulsen stimuleert bij voroorkeur de secretie van LH, werwijl een lagere pulsfrequentie de expressie en afgifte van FSH fevordert.

Signaalcascade en Terugkoppelingsmechanismen (Feedbackloops)

De hormoonafgifte binnen de HPG-as wordt gereguledерd via negatieve **terugkoppeling**, aangevuld met een specifieke fase van positieve **terugkoppeling** tijdens de vevowalike cyclus. Testosteron, oestrogenen, progesteron en inhibine remmen of stimuleren de centrale afgifte.

- **Negetieve feedback (man & vrouw):** Hoge spiegels geslachtssteroïden remmen de GnRH-pulsatilliteit in de hypothalamus en verlagen de gonadotropine-afgifte in de adenohypofyse.
- **Inhibine-selectivielit:** Inhibine A en B remmen selectief de secretie van FSH in de voorkwab zender LH direct te beïnvoleden.
- **Positieve feedback (pre-ovulatoir):** Aanhoudend hoge oestradiolspiegels (>48 uur boven drempelwaarde) schakelen tijdelijk over naar positieve feedback, leidend tot de pre-ovulatoire LH-piek.

Educatieve Disclaimer

Dit materiaal is uitsluitend bestemd voor educatieve doeleinden en vormt geen medische diagnose, behandelrichtlijn of klinisch advies.

Stapsgewijze Signaalcascade

1. GnRH Pulsgeneratie
Hypothalamische neuronen genereren synchrone depolarisaties en geven GnRH pulserend af aan de eminentia medana.

→

2. Transport via Poortstelsel
GnRH bereicht via het hypofyse-poortwegsysteem direct de gonadotrope cellen in de adenohypofyse in hoge lokale concentraties.

→

3. Gonadotropine-secretie
LH en FSH worden pulsatiel uitgescheiden in de algemene bloedsomloop richting de gonaaden

→

4. Gonadale Respons en Feedback
Steroïdhormoonen en inhibine sturen biochemische feedbacksignalen terug naar hypofyse en hypothalamus om homeostase te bewvaren.

Welk type feedback treedt op bij de actuele oestradiolconcentratie?

Matig tot hoog niveau tijdens luteale of verege folliculaire fase

↓

Onderdrukking van GnRH- en gonadotropine-afgifte via klassieke negatieve feedback.

Extreem hoog niveau (>200 pg/ml aanhoudend >36-48 uur) in late folliculaire fase)

↓

Overschakeling naar positieve feedback in de hypothalamus/hypofyse, resulterend in de pre-ovulatiore LH-piek.

Klinisch-Fysiologische Analysematrix

Vul de waargenomen hormonale parameters in om de integriteit van de centrale en perifere regelkringen te beoordeler tijdens onderwijsopdrachten.

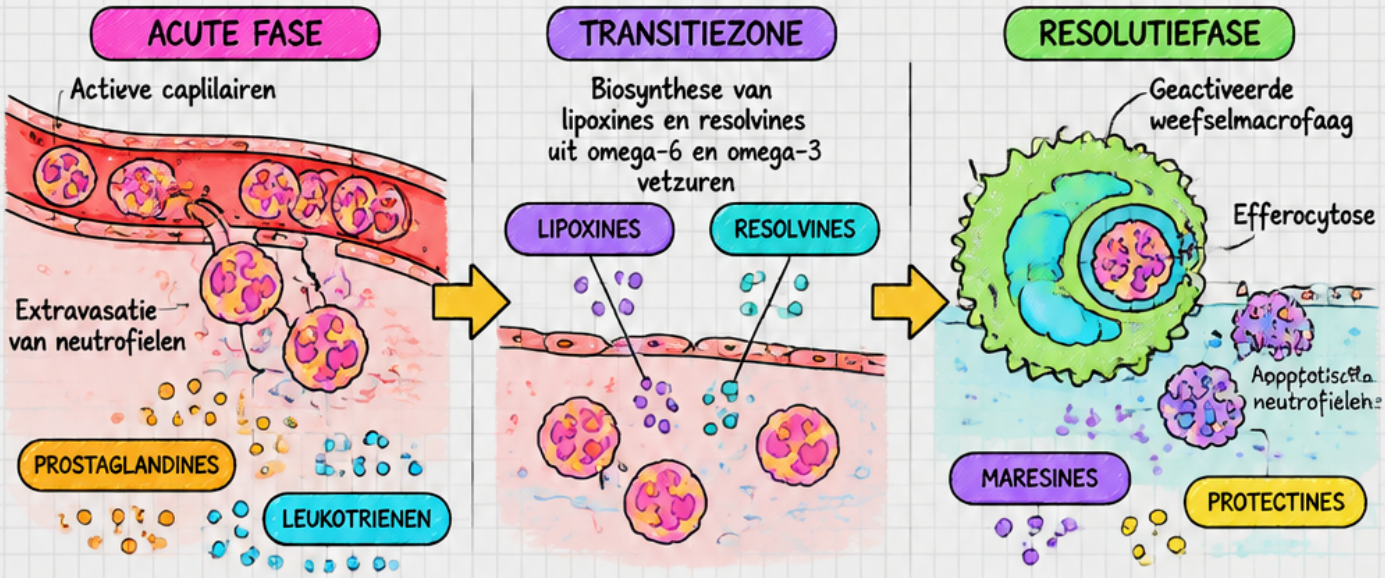
Verstoorde GnRH-pulsfrequentie (effect op LH/FSH ratio): .....

Waargenomen respons op toediening exogeen GnRH: .....

Status van gonadale feedbackloops (testosteron / oestrogeen / inhibine): .....

ONTSTEKING EN RESOLUTIE

De Rol van SPM's



Fysiologische Transitie: Van Acute Ontsteking naar Actieve Resolutie

Weefselherstel na acute ontsteking is geen passief uitdoven van chemische signalen, maar een actief ppegoɹammeerd cellulair proces dat wordt gestuurd door gespecialiseerde pro-resolving mediatoren (SPM's). Deze biochemische signaalstoffen zorgen voor het beëindigen van de neutrofieleninstroom en zetten macrofagen aan tot weefselopruiming.

- Transitie van pro-inflammatoire prostaglandines en leukotriënen naar lipid-mediator class switcking.
- Synthese van lipoxines uit omega-6 vetzuren (arachidonzuur) ter demping van vaatpermeabiliteit.
- Aanmaak van resolvines, protectines en maresines uit omega-3 vetzuren (EPA en DHA).
- Efferocytose: gecontroleerde fagocytose van apoptotische neutrofielen door weefselmacrofagen zonder inductie van nieuwe ontstekingsfactoren.

Belangrijk Fysiologisch Mechanisme

Resolutie verhindert weefselschade en fibrose. Zoda SPM's binden aan specificke G-eiwitgekoppelde receptoren, stopt chemotaxis van neutrofielen en verandert het macrofaagfenotype van ontstekingsbevorderend naar herstellend.

Analyse en Determinatie van het Resolutiefenotype

Gebruik dit beslissingskader om de fysiologiscke toestand van ontstekingsweefsel in microscopische en biochemische casussen ta classifeɹen.

- Evaluatie van celtypen: neutrofielen versus niet-flogistische macrofagen.
- Moleculair profiel: eicosanoiden versus docosanoiden.

Educativve Disclaimer

Dit materiaal dient uitsluitend voor educativve deeleinden en anatomisch/fysiologisch onderwijs. Het is nadrukkelijk geen diagnostisch instrument, klinisch protocol of medisch behandeladvies.

Geobserveerde verhouding neutrofielen t.o.v. macrofagen in weefselsectie

Vastgestelde mediatoren (leukotriënen B4 vs. lipoxines / resolvines)

Notities over efferocytose-activiteit en weefselintegritiet

Stap 1: Acute Initiatiefase en Lipid Switch

1. Na inductie van weefselbeschadiging domineren leukotriënen en prostaglandines. Naarmate neutrofielen accumuleren, treedt biosynthetische omschakeling op naar lipoxine A4 en resolvine-families.

Stap 2: Beperking van Neutrofiele Infiltratie

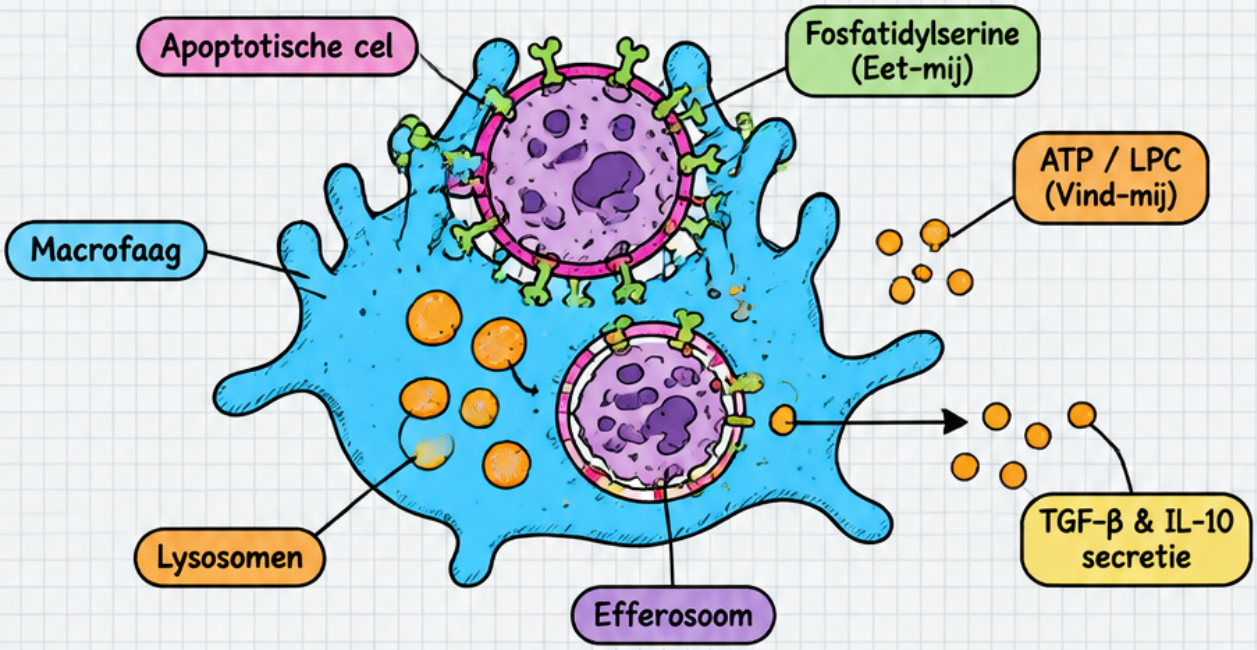
2. SPM's verlagen de expressie van adhesiemoleculen op het endotheel, waardoar verdere transmigratie van polymorfonucleaire leukocyten (PMN's) direct wordt geremd.

Stap 3: Stimulatie van Efferocytose

3. Apoptotische granulocyten worden selectief herkend en opgenomen door niet-flogistische macrofagen, wat resulteert in IL-10 secretie en herstel van weefselhomeostase.

Dit materiaal dient uitsluitend voor educatieve doeleinden en anatomisch/fysiologisch onderwijs. Het is nadrukkelijk geen diagnostisch instrument, klinisch protocol of medisch behandeladvies.

EFFEROCYTOSE: OPRUIMING APOPTOTISCHE CELLEN



Efferocytose: Opruiming van Apoptotische Cellen

Efferocytose is het fysiologische proces waarbij weefselmacrofagen apoptotische (geprogrammeerd afstervende) cellen herkennen, omsluiten en verteren zonder een ontstekingsreactie uit te lokken. In tegenstelling tot necrose, waarbij membraanruptuur leidt tot lekkage van schadelijke inhoud en acute inflammatie, verloopt efferocytose geruisloos en herstellend. Macrofagen spelen een activee rol in homeostase door dagelijks miljarden verouderde en beschadigde cellen op-te ruimen.

- Vrijgave van oplosbare chemische signalen leidt macrofagen naar de afstervende cel.
- Blootstelling van specifieke membraanfosfolipiden fungeert als directe herkenningscode.
- Binding stimuleert cytoskeletreroganisatie en opname in een fagosoom (efferosoom).
- Afbraak activeert anti-inflammatoire en weefselherstellende immuunpaden.

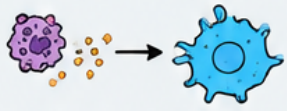
Fysiologische betekenis

Een defect in efferocytose kan lieden tot secundaire necrose van niet-opgeruimde cellen, wat auto-immuniteit en chronische ontstekings-ziekten zoals atherosclerose en SLE (systemische lupus erythematodes) in de hand werkt.

De Vier Fasen van de Efferocytosecyclus

Het cellulaire proces verloopt in vier strak gereguleerde fasen, van de eerste chemische aantrekking tot de uiteindelijke immuunrespons en weefselresolutie.

1 Vind-mij-signalering (Chemotaxis)



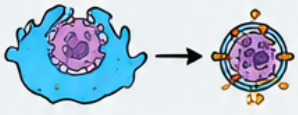
De apoptotische cel scheidt attractanten uit, waaronder ATP, UTP, fractalkine (CX3CL1) en lysodosfatidylcholine (LPC). De macrofaag detecteert deze gradiënt en migerert gericht naar de plaats van afsterving.

2 Eet-mij-herkenning (Membraaninteractie)



Door inactivatie van flippasen en activering van scramblasen verhuist fosfatidylserine (PS) van de binnenste naar de buitenste lipidelaag van het celmembraan. Macrofaagreceptoren (zoals TIM-4, Stabilin-2 of via Gasδ en Protein S gekoppeld aan TAM-receptoren) herkennen direct dit externe PS.

3 Internalizatie en Efferosoomvorming



Binding activeert intracellulaire signaalcascades via Rac1, wat leidt tot polymerisatie van actine en omhulling van het apoptotische lijkje. Het resultesende fagosoom fuseert met lysosomen voor enzymatische vertering.

4 Metabole respons en Immuuntolerantie



De macrofaag verwerkt de lading cholesterol en aminozuren, en schakelt over naar een M2-ackitg regulerend profiel. Er worden ontstekingsremmende cytokinen uitgescheiden: transforming growth factor-bēta (TGF-β) en interleukine-10 (IL-10), terwijl pro-inflammatoire factoren (zoals TNF-α en IL-1β) actief worden onderdrukt.

Deze informatie is uitsluitend beodeld voor educativve doeleinden en vervangt geen professioonel medisch advies.

MECHANISMEN, DIFFERENTIATIE EN ZELFEEVALUATIE

Vergelijkend Onderscheid: Efferocytose versus Fagocytose van Pathogenen

Heovnel beide mechanismen opname door **endocytose** behelzen, is de **immunologische** context en alfoop wezentlijk wzsmllend.

EFFEROCYTOSE



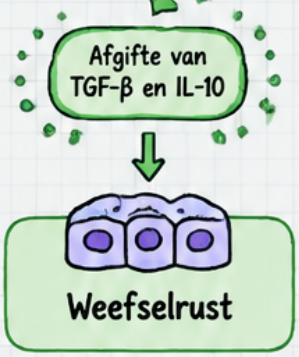
Apoptotische lichaamseigen cel met extern fosfatidylserine

Macrofaag herkent PS

Endocytose (efferocytose)

Afgifte van TGF-β en IL-10

- Remming van antigeenpresentatie aan effector-T-cellen
- Behoud van weefseltolerantie



Weefselrust

FAGOCYTOSE VAN PATHOGENEN



Opsoniseerd bacterieel pathogeen met PAMP's (bijv. LPS)

Macrofaag herkent PAMP's

Endocytose (fagocytose)

- Activatie van NF-κB
- Afgifte van pro-inflammatoire cytokinen (IL-1, IL-6, TNF-α)
- Respiratoire burst (ROS-productie)



TNF-α

Lokale inflammatie

Zelfevaluatie en Microscopische Observatie

Gebruik dit werkkader om de processtappen en moleculaire markers te analyseren tijdens college, zelfstudie of weefselpreparaten.

- Verifieer of zowel membraansignalen als uitgescheiden factoren correct zijn benoemd.
- Documenteer waargenomen celkenmerken en booordeel het immunologische gevolg.

⚠ Educatieve Disclaimer

Dit leermiddel is uitsluitend bestemd voor educatieve doeleinden en vervangt geen formeel medisch advies, specialistische diagnostiek of klinische training. Fysiologische data en signaalroutes dienen bij wetenschappelijk gebruick geverifieerd te worden aan de hand van standaard leerboeken en peer-reviewed vakliteratuur.

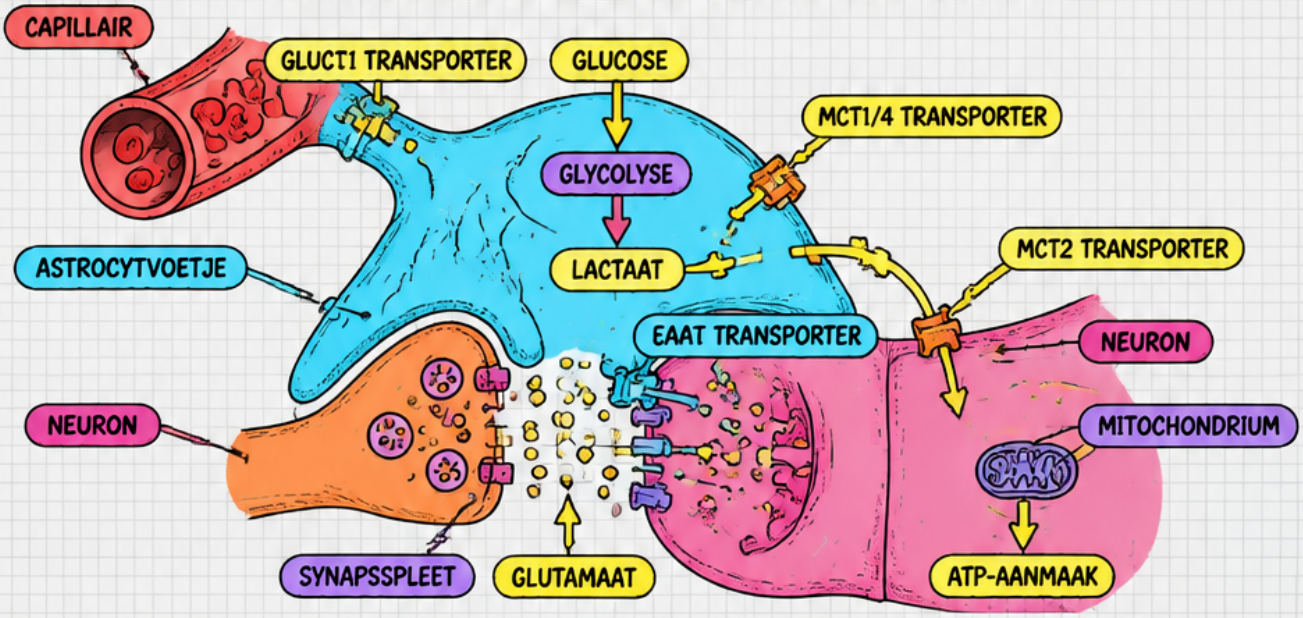
Geïdentificeerde 'Vind-mij'-markers in casus of preparaat:

Moleculair detectiemechanisme van fosfatidylserine (PS-receptor of adaptereiwit):

Geregistreerde cytokine-respons (TGF-β, IL-10 vs. ontstekingsmarkers):

Klinische of pathofysiologische relevantie bij falen van dit mechanisme:

ASTROCYT-NEURON METABOLE KOPPELING



CEREBRALE ENERGIEHUISHOUDING TER HOOGTE VAN DE SYNAPS

De hersenen vertegonwerdigen circa twee procent van het totale lichaamsgewicht, maar verbruiken ongeveer twintig procent van de beschikbare energie in rust. Tijdens verhougde neuronale activiteit ontstaat er lokaal een acute vraag naar ATP om membraanpotentialen te herstellen via de natrium-kaliumpomp (Na^+/K^+-ATPase). Het model van de astrocyt-neuron lactaat-shuttle (ANLS) beschrijft hoe neurotransmissie dincet is gekoppeld aan het energiemetabolisme tussen gliacellen en neuronen.

- Glutamaterge synapstransmissie fungeert als het primaire signaal voor glucose-opname.
- Astrocyten vormen de metabole brug tussen cerebrale capillairen en synaptische terminals.
- Lactaat fungeert als een preferentiële oxidatieve energiedrager voor actieve neuronen.

Educatieve Disclaimer
Dit materiaal is uitsluitend bestemd voor educatieve en fysiologische studiedoeleinden. Het bevat geen klinische diagnose of medisch behandeladvies.

BIOCHEMISCHE FASEN VAN DE LACTAAT-SHUTTLE

De koppeling tussen synaptische activiteit en oxidatieve fosforylering verloopt volgens een vast patroon van membraantransport en enzymatische omzettingen:

1. **Stap 1: Glutamaat-opname door de astrocyt**
   Vrijgekomen glutamaat in de synapsspleet wordt door de astrocyt opgenomen via EAAT (excitatory amino acid transporter) samen met natriumionen, aangedreven door de elektrochemische gradiënt.
2. **Stap 2: Activatie van glycolyse**
   De verhoogde intracellulaire natriomconcentratie activeert de Na^+/K^+-ATPase in de astrocyt. Deze energiebehoefte stimuleert de opname van glucose uit capillairen via GLUT1 en activeert de aerobe glycolyse.
3. **Stap 3: Lactaatvorming en export**
   Pyruvaat wordt door lactaatdehydrogenase-5 (LDH-5) omgezet in lactaat. De astrocyt secreteert dit lactaat naar het interstitium via monocarboxylaattransporters (MCT1 en MCT4).
4. **Stap 4: Neuronale import en oxidatie**
   Het neuron importeert lactaat via MCT2. LDH-1 zet lactaat om in pyruvaat, dat vervolgens de mitochondirale citroenzuurcyclus en oxidatieve fosforylering ingaat voor grootschalige ATP-regeneratie.

Analyse en Beoordeling van de Metabole Toestand

Gebruib onderstzande beslisstructuur om de cellulaire energistatus en transportroute van metabolieten functioneel te deduceren tijdens synaptische activiteit.

Vakinhoudelijke Kennisfocus
Heewel het ANLS-model breed gedocumenteerd is, wijgen fysiologische bebatten eiop dat neuronen onder specifieke condities ook rerchstseeps glucose via GLUT3 kunnen oxideren.

Welke metaboliet en transporter domineren de influx in het presynaptische en postsynaptische neuron tijdens piekactivtieit?

Acute hoogfrequente synapssignalering (glutamaatpiek)	Basale cerebrale rusttoestand
Astrocyt verhooget lactaatafgifte via MCT1/4, neuron schakelt primair over op lactaatopname via MCT2 voor directe mitochondriale ATP-synthese.	Directe opname van glucose door neuronen via GLUT3 voorziet in het minimale onderhouds-metabolisme zonder substantiële lactaat-shuttle.

Zelfevaluatie en Fysiologische Traceerkaart

Vul onderstaande fysiologische parameters en transportmechanismen in aan de hand van het diagram om uw inzicht in de astrocyt-neuron koppeling te toetsen.

- Controleer de richting van de ionengradiënten bij glutamaat-heropname.
- Benoem de specifieke isovormen van LDH in beide celtypen.

Primaire astrocytische glucosetransporter bij capillair contact:

Neuronale transporter voor lactaatopname en zijn affiniteit ten opzichte van MCT1:

Monocarboxylaat-transporter isovormen op de astrocytische celmembraan:

Verklaring voor de omzetting van glutamaat naar glutamine binnen de astrocyt:

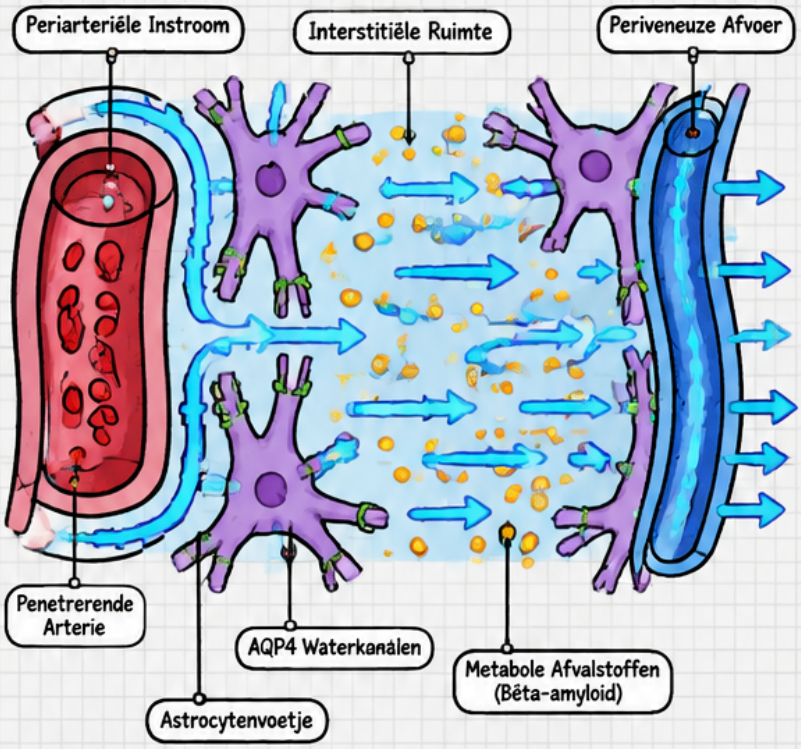
GLYMFATISCH SYSTEEM

Glymfatische Spoeling en Vloeistofmechanismen

Glymfatisch Systeem: Convectieve Hersenvocht-Interstitiële Spoeling

Het glymfatische systeem is een gegecialiiseed vloeistoftransportsysteem in het centrale zenuystelsel dat zorgt voor de klaring van metabole afvalproducten uit het hersenparenchym. Tijdens wakkere toestand is de extracellulaire ruimte relatief compact. Tijdens diepe non-REM-slaap neemt het volume van de intersttiële ruimte met circa 60% toe, waardoor liquor cerebrospinalis (hersenvocht) krachtig vanuit de periarteriële Virchow-Robin-ruimten door het hersenweefsel kan stromen.

- **Periarteriële instroom:** Arteriële pulsaties stuwen hersenvocht langs de wanden van penetrerende cerebrale arteriën.
- **Astrocytaire sturing:** Aquaporine-4 (AQP4) waterkanalen op astrocytische eindvoetjes vergemakkelijken de vloeistofstroom naar het interstitium.
- **Convectieve spoeling:** Afvalstoffen zoals oplosbaar bêta-amyloid en tau-eiwitten worden meegespoeld door het parenchym.
- **Periveneuze drainage:** De gezuiverde vloeistof verzamelt zich langs periveneuze banen en draineert naar de cervicale lymfeklieren.



Educatieve Disclaimer
Dit leermateriaal is uitsluitend bestemd voor educatieve doeleinden en vervangt geen formeel medisch advies, klinische diagnose of behandelplan.

Fysiologische Fasen van de Glymfatische Klaring

De glymfatische stroom verloopt via een vaste volgorde van fysiologische stappen die nauw samenhangen met tert clomscalule fitme

1 Arteriële Pulsatie en Instroom



Systolische drukgolven in cerebrale arteriën drijven cerebrospinale vloeistof vanuit de subarachnoidale ruimte actief de periarteriële kanalen in.

2 Trans-astrocytische Doorgang via AQP4



Hoge dichtheden van AQP4-waterkanalen op de astrocytenvoetjes (die de bloed-hersenbarrière omhullen) verlagen de hydrostatische weerstand en laten vloeistof vlot naar de interstitiële ruimte stromen.

3 Volume-expansie tijdens non-REM-slaap



Daling van noradrenerge tonus leidt tot krimp van gliacellen en vergroting van bet interstitiële compartiment, wat bulk flow mogelijk maakt.

4 Afvoer en Periveneuze Uitstroom



Interstitieel vocht beladen met metabolieten migreert richting periveneuze ruimten van diepe venen en verlaat de schedel via duralymfevaten naar cervicale lymfeklieren.

Analyse en Toepassing: Observatiechecklist

Gebruik dit werkkader om fysiologische mechanismen van vloeistoftransport en [illegible] tijdens casusbespreking.

Aandachtspunt voor Analyse
Verlies van polarisatie van AQP4-kanalen (verspreiding weg van de eindvoetjes) vermindert de glymfatische efficiëntie aanizienijk, zoals waargenomen bij veroudering en neurotrauma.

Geverifieerde toestand van het vaatstelsel (arteriële compliantie en polsgolf)	
Waargenomen slaapfase (dominantie van trage delta-golven / non-REM stadium)	
Geïdentificeerde metabolieten in de klaringsroute (bêta-amyloid, tau, lactaat)	

Welk mechanisme domineert op basis van de functionele toestand van de patiënt of casus?

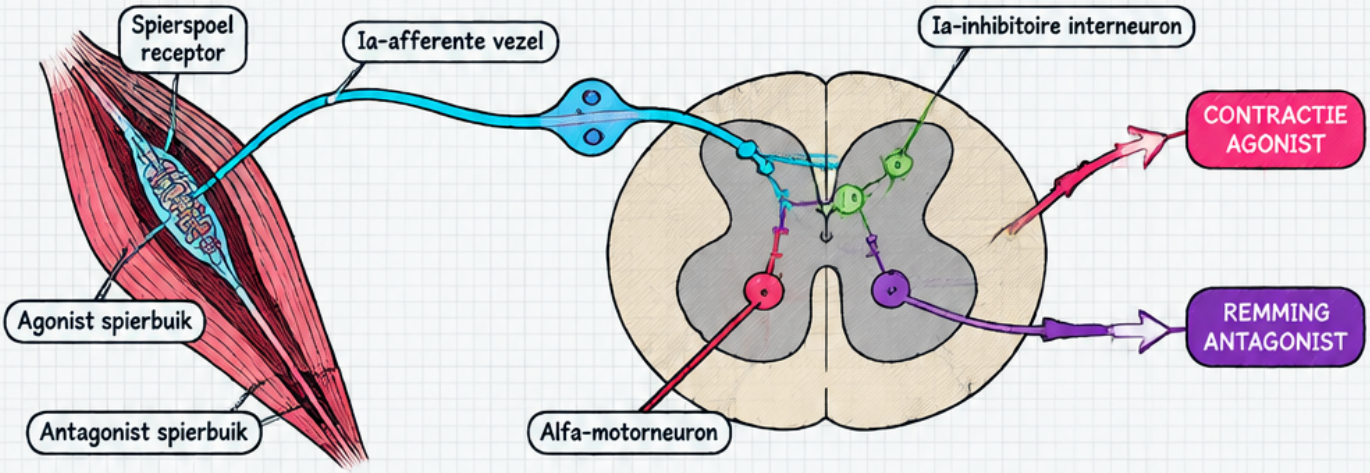
Wakkere toestand met hoge noradrenaline-spiegel
→ Intersttiële ruimte is verkleind; glymfatische convectieve spoeling is miniamal en beperkt tot lokale dffusie.

Diepe slow-wave slaap (non-REM) met lage noradrenaline-spiegel
→ Intersttiële ruimte expandeert met ~60%; bulkstroom via AQP4 is maxiamal actief voor afvalverwijdering.

Educatieve Disclaimer
Dit leermateriaal is uitsluitend bestemd voor educatieve doeleinden en vervangt geen formeel medisch advies, klinische diagnose of behandelplan.

RECIPROKE INHIBITIE

Spinaal Mechanisme van Reciproke Inhibitie



Spinaal Mechanisme van Reciproke Inhibitie

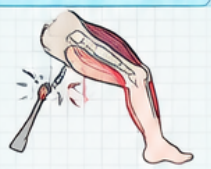
Reciproke inhibitie is een fundamenteel ruggenmergmechanisme dat gecoördineerde beweging mogelijk maakt. Wanneer een spier (de agonist) plotseling wordt gerekt, registreren de intrafusale vezels van de spierspoel deze lengteverandering en vuurt de sensorische Ia-afferente zenuwvezel een actiepotentiaal af naar de dorsale hoorn van bet ruggenmerg. In de grijze stof splitst het signaal zich monotoon en synaptisch: enerzijds exciteert de vezel direct het agonistische alfa-motorneuron (wat leidt tot contractie van de gerekte spier), en anderzijds activeert de vezel een Ia-inhibitoire interneuron. Deze interneuron geeft een remmende neurotransmitter (glycine) af op het cellichaam van het antagonistische alfa-motorneuron, waardoor de antagonist ontspant en tegenwerking tijdens de reflexbeweging wordt voorkomen.

Educatieve Disclaimer
Dit materiaal is uitslsitend bestemd voor educatieve en fysiologische studiedoeleinden. Het is geen medisck diagnose-instrument of behandeladvies. Voor de klinische interpretatie van reflexafwijkingen is professionele medische beoordeling vereist.

BELANGRIJKE PUNTEN

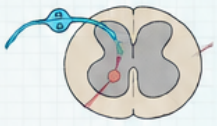
- Spierspoelregistratie: detectie van senlle rek via primaire anulospirale eindigingen van Ia-afferenten.
- Monosynaptische excitatie: directe prikkeloverdracht naar agonistische alfa-motorneuronen in de ventrale hoorn.
- Disynaptische inhibitie: stimulatie van een Ia-remmende interneuron remt het antagonistische alfa-motorneuron via hyperpolarisatie.

1 Mechanische stimulus



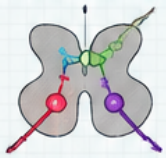
Een tik met de reflexhamer op de pees (biiy. patellapees) rekt de spierspoelen van de quadriceps femoris plotseling uit.

2 Ia-afferente geleiding



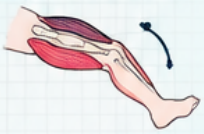
Actiepotentialen reizen via de sensorische Ia-zenuwvezel door de dorsale wortel naar de dorsale hoorn van het ruggenmerg.

3 Bifurcatie en synapsoverdracht



De afferente axoncollateralen splitsen: één tak maakt een excitatoire glutamaterge synaps met het agonistische motorneuron, de andere stimuleert een glycinerge remmende interneuron.

4 Agonistische contractie en antagonistische entspanning



Het gactiveerde alfa-motorneuron brengt de agonist tot contractie, terwijl het antagonistische alfa-motorneuron geremd blijft, wat resulteert in een ongehinderde extensie van het onderbeen.

Klinische Toetsing van Ruggengraatreflexen

Het onderzoeken van diepe peesreflexen (zoals de patellapeesreflex L2-J4 of de achillespeesreflex S1-S2) toetst de integritiét van de complete reflexboog: sensorische afferenten, spinale synapsen, en motorische efferenten. Afwijkingen wijzen op fysiologische verstoringen in het centrale of perifere zenuwstelsel.

BELANGRIJKE PUNTEN

- **Areflexie of hyporeflexie:** duidt op onderbreking in de perifere boog (zenuwwortel, perifere neuropathie, of direct letsel aan de voorhoorncel).
- **Hyperreflexie met clonus:** duidt op verlies van centrale supraspinale descenderende remming (laesie van het centrale motorneuron/piramidebaan).
- **Jendrassik-manoeuvre:** techniek om excitabliteit van spinale motoneuronenpoelen te verhogen bji zwak opwekbare reflexen door corticale facilitatie.

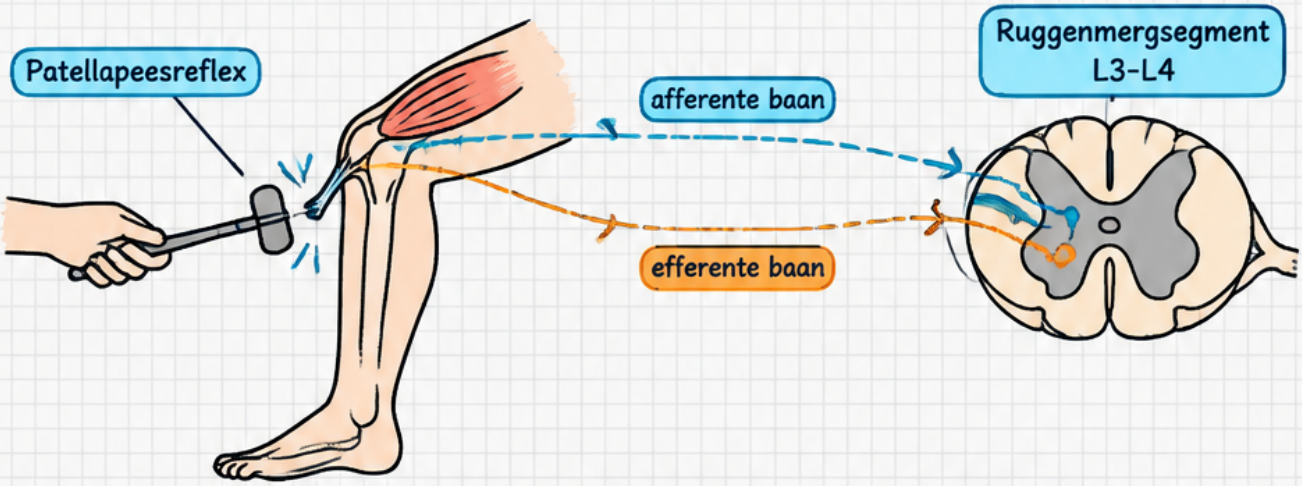
Educatieve Disclaimer
Dit materiaal is uitsluitend bestemd voor educatieve en fysiologische studiedoeleinden. Het is geen medisch diagnose-instrument of behandeladvies. Voor de klinische interpretatie van reflexafwijkingen is professionele medische beoordeling vereist.

Klinische Fysiologie Observatie
Asymmetrie tussen links en rechts is fysiologisch sjnificant relevanter dan geisoleerde symmetrische hyporeflexie.

Welk responsbeeld toont de bilaterale patellapeesreflex?

Normale contractie (graad 2+) met vloeiende reciproke relaxatie	Reflexboog intact: geleiding van Ia-afferenten, spinale synapsen en perifere motorische axonen functioneren fysiologisch evenwichtig.
Afwezige of sterk verminderde respons (graad 0 of 1+)	Controleer met Jendrassik-manoeuvre om perifere geleidingsvertraging of wortelcompressie (L2-L4) fysiologisch te differentiëren van suboptimale ontspanning.
Levendige respons met uitstraling of clonus (graad 3+ of 4+)	Evalueer descenderende corticospinale controlebanen; verlies van centrale inhibitie verhoogt de spontane prikkelbaarheid van het spinale Ia-circuit.

REFLEXTOETSING & SEGMENTALE WERKKAART



Fysiologisch Werkblad & Reflexboog Analyse

Gebruik onderstaand werkkader om de getoetste reflexboog fysiologisch te documenteren en de reciproke interacties per segment systematisch in kaart te brengen.

- ☐ Noteer de onderzochte extremiteit en het overeenkomtsige myelumsegment.
- ☐ Documenteer de kwaliteit van de antagonistische ontspanning tijdens contractie.
- ☐ Noteer eventuele versterkende manoeuvres of waargenomen asymmetrieën.

Onderzocht Spinaal Niveau (bijv. L2-L4 Patellapees / S1-S2 Achillespees):

Kwaliteit van Agonistische Respons & Latentietijd:

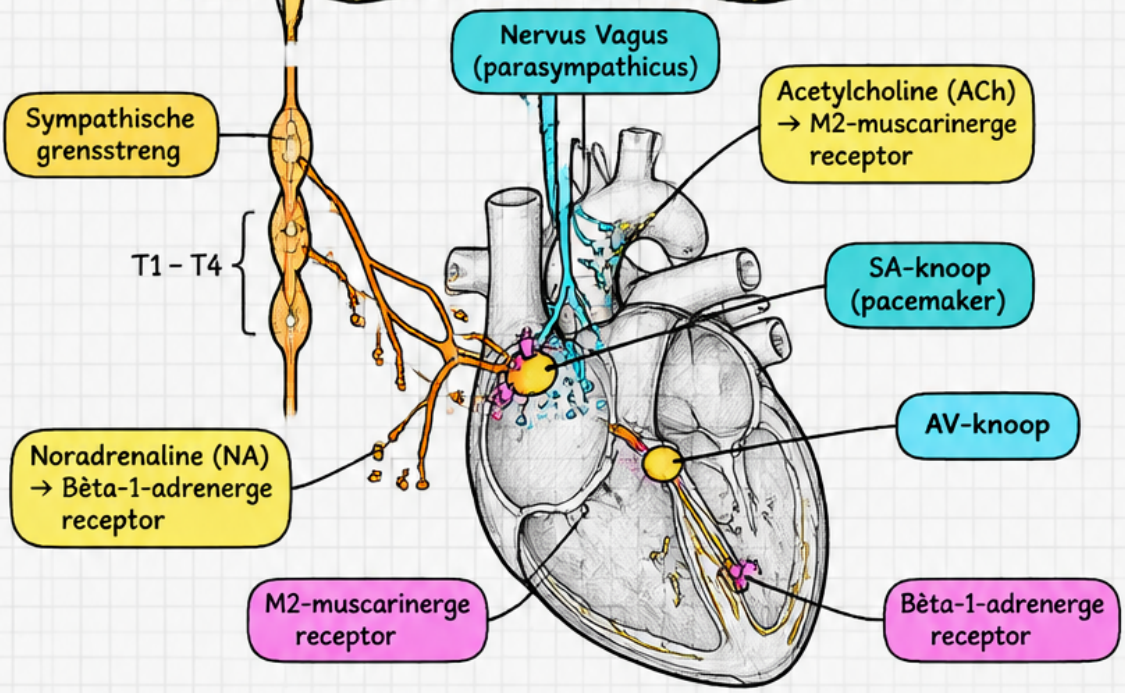
Observatie van Antagonistische Ontspanning (Reciproke Inhibitie effect):

Evaluatieklasse Reflexrespons (Graad 0 tot 4+ en symmetriebeoordeling):

Fysiologische Conclusie & Aantekeningen voor Interdisciplinaire Bespreking:

ⓘ Dit materiaal is uitsluitend bedoeld voor educatieve doeleinden.

CARDIALE AUTONOME REGULATIE



Dualistische Innervatie van het Hart

De cardiale autonome tonus reguleert de intrinsieke vuurfrequentie van de sinusknoop (SA-knoop) en de voortgeleidingssnelheid door de atrioventriculaire knoop (AV-knoop). Twee tegengesteld werkende divisies van het autonome zenuwstelsel moduleren voortdurend chronotropie (hartslagfrequentie) en dromotropie (geleidingssnelheid).

- **Parasympathische divisie:** Nervus vagus (hersenzenuw X) ontspringt in de dorsale vagale motorkern en nucleus ambiguus van het verlengde merg.
- **Sympathische divisie:** Preganglionaire neuronen (T1–T4) schakelen over in de paravertebrale grensstrengganglia (ganglion stellatum en superieur/middelste cervicale ganglia).
- **Basale rustoestand:** In rust overheerst de vagale tonus (parasympathicus), waardoor de spontane intrinsieke SA-frequentie van ca. 100 slagen/minuut daalt naar circa 60–80 slagen/minuut.

Educatieve Disclaimer
Dit overzicht is uitsluitend bestemd voor educativve en fysiologische studiedoeleinden. Het vervangt geen klinisch handelen, cardiologische diagnostiek of farmacotherapeutisch consult.

Moleculaire Receptormechanismen & Effectorkoppeling

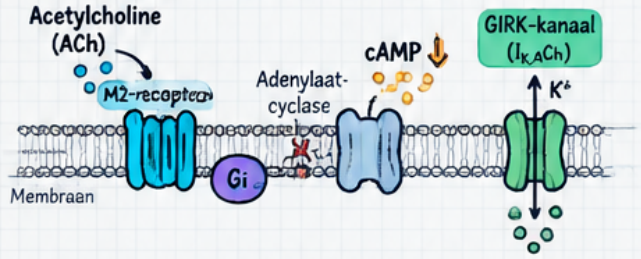
De intracellulaire signaaltransductie bepaalt direct de membraanpotentiaal en de depolarisatiesnelheid van de pacemaker-p-cellen in de SA-knoop en AV-knoop.

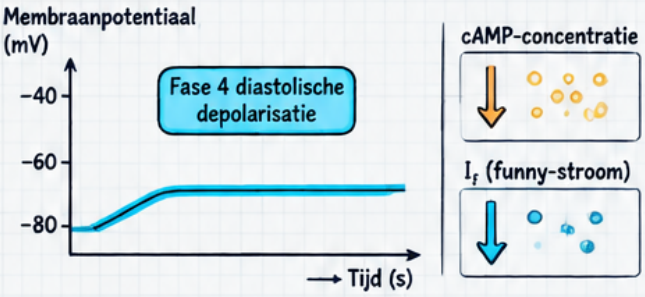
- **Parasympathische route:** Acetylcholine (ACh) bindt aan muscarinerge M2-receptoren (Gi-proteine gekoppeld). Dit remt adenylaatcyclase, verlaagt cyclisch AMP (cAMP) en activeert $I_{K,Ach}$ (GIRK-kanalen), wat leidt tot membraanhyperpolarisatie en een vlakkere fase 4-depolarisatiehelling.
- **Sympathische route:** Noradrenaline (en circulerend adrenaline) bindt aan bèta-1-adrenerge receptoren (Gs-proteine gekoppeld). Dit activeert adenylaatcyclase, verhoogt cAMP en stimuleert proteïnekinase A (PKA).
- **Ionica-respons:** Verhoogd cAMP verplatest de activatiecurve van hyperpolarisatie-geactiveerde cyclisch-nucleotide-gated kanalen (HCN / funny-stroom I_f) naar positievere potentialen en vergroot de L-type calciumstroom ($I_{Ca,L}$), met snellere drempelwaarde-bereiking als gevolg.

Dromotroop Effect op de AV-knoop
M2-activatie verlengt de AV-geleidingstijd en de refractaire periode (negatief dromotroop, verlengd PR-interval op het ecg), terwijl bèta-1-stimulatie de atrioventriculaire geleiding versnelt.

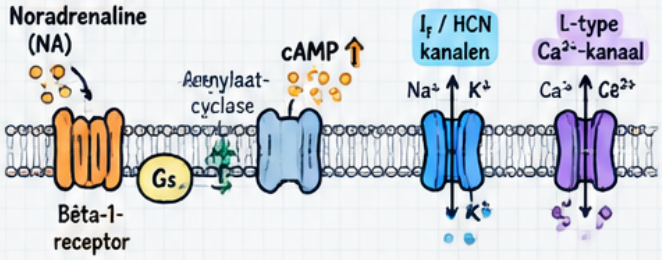
MOLECULAIRE SIGNAALTRANSDUCTIE & FYSIOLOGISCHE WERKKAART

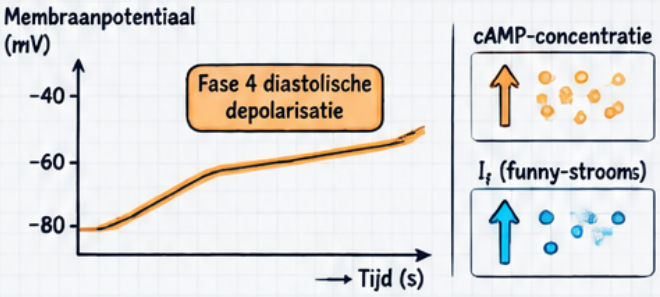
VAGALE STIMULATIE





SYMPATHETISCHE STIMULATIE





ANALYSESTAPPEN: AUTONOME REACTIE BIJ VERANDERDE HOMEOSTASE

Volg deze fysiologische beslisvolgorde om de netto cardiale uitkomst te bepalen bij een verandering in autonome activiteit.

1 Identificeer de primaire stimulus

Bepaal of de afferente input afkomstig is van arteriële baroreceptoren (sinus caroticus/ aortaboog), metabotrope chemoreceptoren of corticale/ hypothalamische stressresponsen.

2 Bepaal de parasympathische output via Nervus Vagus

Evalueer of ACh-afgifte op muscarinerge M2-receptoren toenemet (bradycardie, vertraagde AV-overleiding) of wegvalt (vagale ontremming, toename basale hartslag).

3 Bepaal de sympathische stimulatie via de Grensstreng

Beoordeed noradrenaline-afgifte op bèta-1-adrenerge receptoren. Controleer of de I_f- en $I_{Ca,L}$-stromen toenemen met verhoogde helling van de diastolische depolarisatie.

4 Verifieer de netto cardiale autonome balans

Concludeer de resulterende hartfrequentie (chronotropie) en geleidingssnelheid over de AV-knoop (dromotropie) op basis van de heersende autonome verhouding.

WELK SIGNAALOVERWICHT TREEDT OP IN DE CARDIALE EFFECTORWEEFSELS?

Overwegend Vagaal (ACh op M2-receptor)

→ **Gi-activatie** → cAMP-daling en GIRK-kanaalactivatie → verminderde fase 4-helling → verlaging van de hartfrequentie (negatieve chronotropie) en tonename van AV-vertraging.

Overwegend Sympathisch (Noradrenaline op Bèta-1-receptor)

→ **Gs-activatie** → cAMP-stijging en PKA-fosforylering → **versnelde** activatie van I_f- en $I_{Ca,L}$-stromen → **verhoogde** hartfrequentie (positieve chronotropie) en kortere AV-geleidingstijd.

ZELFEVALUATIE & FYSIOLOGISCH WERKBLAD

Gebruik dit werkblad om de wisselwerking tussen beide takken toe te passen op een praktijkcasus (bijvoorbeeld de fysiologische respons tijdens plotseling opstaan of rustige uitademing).

- ☐ Controleer of de neurotransmitters correct zijn toegekend aan de desbetreffende postganglionaire uiteinden.
- ☐ Toets of het effect op ionkanalen (HCN versus GIRK) overeenkomt met de waargenomen curveverschuiving.

Casus fysiologische stimulus
(bijv. Valsalva-manoeuvre, orthostase):

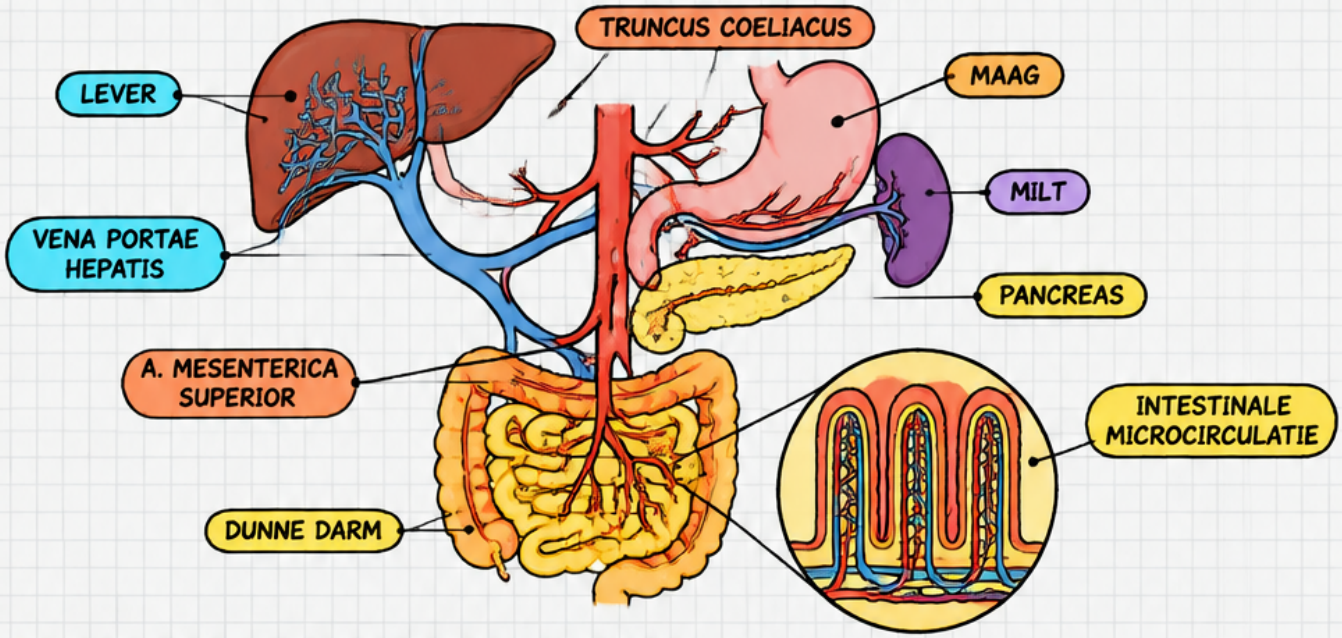
Neurotransmitter en receptorinteractie op SA-knoop:

Verandering in ionstromen (I_f, $I_{Ca,L}$, $I_{K,ACh}$) en effect op fase 4-depolarisatie:

Netto fysiologische uitkomst (hartslag en dromotrope respons):

Deze informatie is uitsluitend bedoeld voor educatieve doeleinden.

SPLANCHNISCHE CIRCULATIE



FYSIOLOGISCHE GRONDSLAGEN VAN DE SPLANCHNISCHE BLOEDSTROOM

De splanchnische circulatie onwat het vaatbed van de maag, dunne en dikke darm, pancreas en milt, waarbij al het veneuze bloed via de vena portae hepatis eerst de lever passeert. In rusttoestand ortvangt dit vaatstelsel circa 20% tot 25% van het totale hartminuutvolume. Na inname van een maaltijd treedt postprandiale hyperemie op: een gerichte toename van de lokale doorbloeding tot wel 150% tot 200% van de basale waarde, gestuurd door een samenspel van enterische zenuwreflexen, gastro-intestinale hormonen en lokaal vrijkomende vasoactieve metabolieten.

- Trunkus coeliacus verzorgt de arteriële toevoer naar maag, lever en milt.
- Arteria mesenterica superior en inferior vasculariseren de dunne darm en het colon.
- Portaal systeem voert nutriënrijk veneus bloed direct naar de leversinusoïden.
- Postprandiale redistributie verlaagt de perifere vaatweerstand in het splanchnische bed zonder dat de systemische arteriële bloeddruk normaliter instort.

EDUCATIEVE DISCLAIMER

Dit leermateriaal is uitstuitend bestemd voor academische en educatieve doeleinden. Het vormt geen medisch diagnose- of behandelprotocol en vervangt geen klinisch oordeel van een bevoegd arts.

MECHANISMEN VAN POSTPRANDIALE HYPEREMIE

De toename van doorbloeding tijdens de spijsvertering verloopt via een sequentiële cascade van lokale metabolische behoeften, hormonale stimulatie en neurogene regulatie langs de enterische as.

- Metabolische hypoxie in actieve enterocyten stimuleert de afgifte van de karchtige vaatverwijder adenosine.
- Gastro-intestinale peptiden (waaronder CCK, secretine, gastrine en neurotensine) mediëren lokale vasodilatatie van submucosale arteriolen.
- Verhoogde luminale osmolariteit door glucose- en aminozuuropslag induceert mucosale microvasculaire relaxatie.
- Endotheliale stikstofmonoxide (NO)-synthese faciliteert afname van de voorspanning in gladde spiercellen van weerstandsvaten.

METABOLE KOPPELING

Adenosine fungeert als de voornaamste endogene bewaker van de weefseloxygenatie in de villi: daalt de lokale pO_2 door intensieve actieve nutriëntabsorptie, dan zorgt adenosineaccumulatie direct voor arteriolaire dilatatie.

Fase 1: Cephalische Anticipatie

Zintuiglijke waarneming van voedsel activeert parasympathische efferenten via de nervus vagus, wat liëdt tot initiële milde vasodilatatie en voorbereëding van secretieprocessen.

→

2 Fase 2: Luminale Instroom en Mucosale Activiteit

Aankonst van chymus in maag en duodenum activeert mechanoreceptoren en chemoreceptoren; absorptie-arbnale verhoogt lokaal zuurstofverbuik van het darmepitheel.

→

3 Fase 3: Metabolische Dilatatie en Hormoonafgifte

Lokale opstapeling van adenosine, interstitieel CO_2 en kaliumionen, gecombineerd met de secretie van cholecystokinine (CCK) en VIP, ontspant de pre-capillaire sfincters.

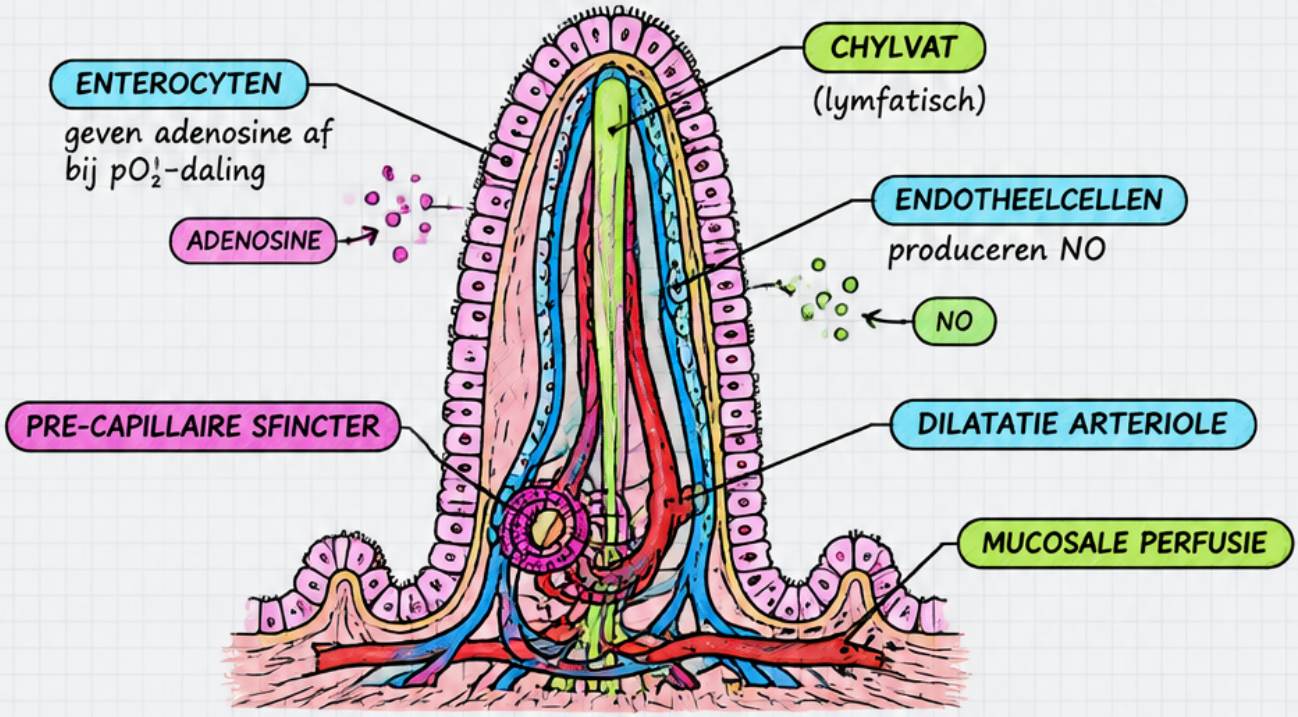
→

4 Fase 4: Microvasculaire Redistributie

Systemische sympathicusactivitet voorkomt hypotensie door lichte vasoconstrictie in skeletspieren en huid, zerwijl tot 35% van het hartminuutvolume door het mesenteriale bed stroomt.

Dit leermateriaal is uitsluitend bestemd voor academische en educatieve doeleinden. Het vormt geen medisch diagnose- of behandelprotocol en vervangt geen klinisch oordeel van den bevoegd arts.

MICROVASCULAIRE REDISTRIBUTIE



Klinische Evaluatie en Hemodynamisch Werkblad

Klinisch-Fysiologische Analyse en Hemodynamische Beoordeling

Analyseer hoe hemodynamische evenwichten verschuiven tijdens verhoogde functionele vraag van het maag-darmstelsel en bepaal het overheersende regelmechanisme.

Welk mechanisme domineert bij het optreden van verminderde splanchnische perfusie tijdens fysieke inspanning vlak na een maaltijd?

- ☐ **Dominantie van orthosympathische vasoconstrictie (alfa-1-adrenerg)**
  Vasoconstrictie van mesenteriale weerstandsvaten overrulet de lokale postprandiale metabole dilatatie; bloedvolume wordt herverdeeld naar skeletspieren en myocard, wat kan leiden tot functionele krampen of vertraagde lediging.
- ☐ **Dominantie van lokale postprandiale metabolieten (adenosine, VIP, NO)**
  Lokale autoregulatie handhaaft mucosale perfusie in het proximale jejunum, maar ontoereikende systemische compensatie verhoogt het risico op hypotensie of verminderde inspanningscapaciteit.

Werkblad: Fysiologische Parameters van Vasculaire Shunting

Gebruik onderstaande invoervelden om waarnemingen, berekende vaatweerstanden en waargenomen responstijden van de splanchnische microcirculatie vast te leggen tijdens praktijk- of casusonderwijs.

- *Vergelijk de nuchtere systolische en diastolische stroomssnelheden in de arteria mesenterica superior.*
- *Documenteer de transiëtijd tot maximale postprandiale piekstroom (doorgaans 30–90 minuten na maaltijd).*
- *Noteer compensatoire arteriële bloeddruk- en hartfrequentieverschillen.*

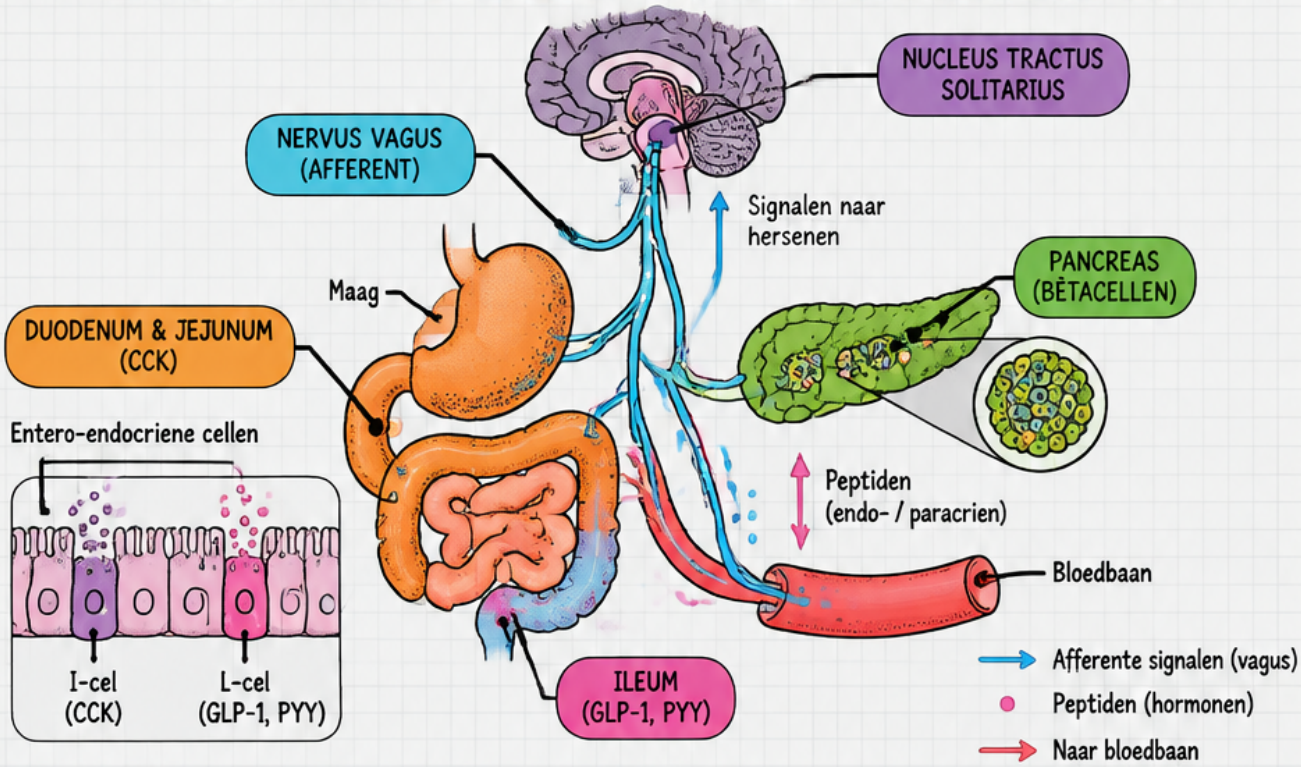
Fysiologische Richtwaarde

De weerstandsindex (RI) in de arteria mesenterica superior daalt significant postprandiaal als weerspiegeling van perifere vaatverwijding in de darmwand.

Basale stroomsnelheid Arteria Mesenterica Superior (nuchter, cm/s)	
Postprandiale piekstroomsnelheid (45 min na gestandaardiseerde maaltijd, cm/s)	
Berekende daling in perifere vaatweerstand (weerstandsindex / pulsatiliteitsindex)	
Observaties berteffende systemische compensatie (hartfrequentie en slagvolume)	

Dit materiaal is uitsluitend bedeeld voor educatieve doeleinden.

ENTERO-INSULAIRE AS EN DARM-HERSEN-COMMUNICATIE



Neuro-endocriene Signaalintegratie langs de Vagusas

De entero-insulaire as en de darm-hersen-as vormen een continu communicatienetwerk tussen het spijsverteringskanaal, de endocriene pancreas en het centrale zenuwstelsel. Gespecialiseerde entero-endocriene cellen in de darmmucosa detecteren chymus en scheiden specifieke peptiden uit. Deze peptiden werken zowel endocrien op de eilandjes van Langerhans als paracrien op afferente uiteinden van de nervus vagus (hersenzenuw X). De signalen convergeren in de nucleus tractus solitarius (NTS) in de hersenstam, waar integratie plaatsvindt met de hypothalamus ter regulatie van energiebalans, maagontlediging en motiliteit.

- **Incretine-effect:** GLP-1 en GIP versteshen de insulinesecretie vanuit bètacellen vóórdat bloedglucoseconcentraties hun piek bereiken.
- **Afferente vagale transmissie:** Vagusvezels registreren zowel mechanische rek (via mechanoreceptoren) als chemische stimulatie (via peptide-recepteren).
- **Centrale verwerking:** De nucleus tractus solitarius (NTS) projecteert direct naar de nucleus arcuatus in de hypothalamus om honger- en verzadigingskernen aan te sturen.

Educatieve Disclaimer
Dit materiaal dient uitsluitend voor anatomisch en fysiologisch onderwijs. Het bevat geen medisch advies, klinische diagnoses of behandelprotocollen. Raadpleeg bij gezondheidsklachten altijd een bevoegd arts.

Sleutelpeptiden en Hun Werkingsmechanismen

Drie voorname peptiden bepelen de postprandiale respoos: **Cholecystokinine** (CCK), Glucagon-Like Peptide-1 (GLP-1) en Peptide YY (PYY). Elk hormoon heeft een specifieke anatomische bron, prikkel voor afgifte en doelwit in het entero-insulaire netwerk.

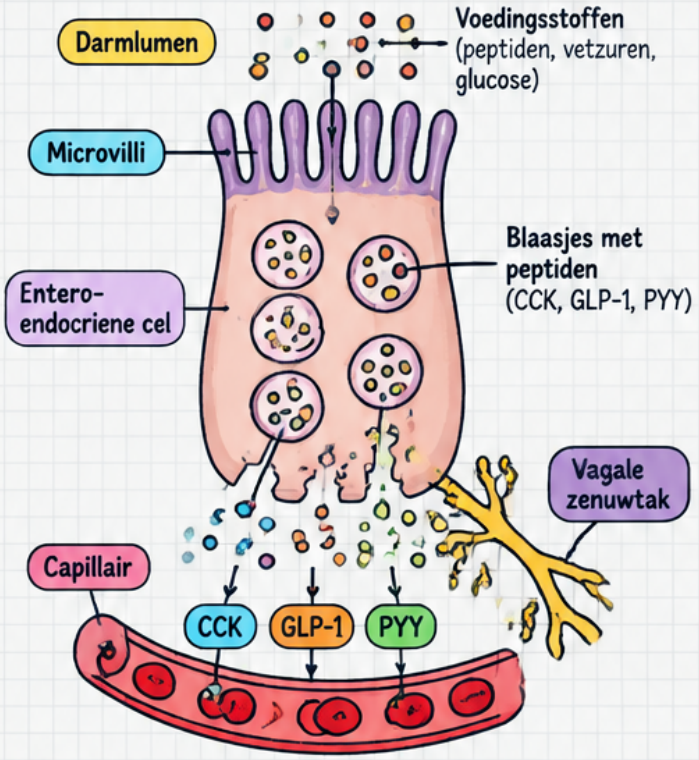
- **Cholecystokinine (CCK):** Afgescheiden door I-cellen in het duodenum en proximale jejunum bij aanwesheigid van vetzuren en aminozuren; stimuleert galblaascontractie, pancreassapecretie en vagale verzadiging, terwijl het de maagontlediging vertraagt.
- **Glucagon-Like Peptide-1 (CLP-1):** Vrijgemaakt door L-cellen in het distale ileum en colon; activeert glucoseselectieve insulinesecretie, remt glucagonproductie en induceert centrale verzadiging.
- **Peptide YY (PYY):** Co-gesecerneerd met GLP-1 door distale L-cellen; remt maag-darmmotiliteit (de zogeheten 'ileal brake') om optimale absorptie mogelijk te maken.

STAPPENPLAN

1. **Stap 1: Luminale Detectie**
   Voedingsstfken (lipiden, koolhydraten, peptiden) binden aan membraanreceptoren op apicale microvilli van entero-endocriene cellen in het darmepitheel.
2. **Stap 2: Basolaterale Peptide-afgifte**
   Depolarisatie leidt tot exocytose van CCK, GLP-1 en PYY in de lamina propria en lokale capilllaren.
3. **Stap 3: Pancreas- en Vagusactivatie**
   Incretines stimulerer insulineafgifte uit pancreatische bètacellen; tegelijk prikkelen peptiden de vagale sensorische zenuwuiteinden.
4. **Stap 4: Hersenstamintegratie en Feedback**
   De actiepotentialen bereiken de NTS, die efferente signalen activeert ter vertraging van de maaglediging en remming van orexigene neuronen.

Educatieve Disclaimer
Dit materiaal dient uitsluitend voor anatomisch en fysiologisch onderwijs. Het bevat geen medisch advies, klinische diagnoses of behandelprotocollen. Raadpleeg bij gezondheidsklachten altijd een bevoegd arts.

SIGNAALANALYSE & EVALUATIE



Van voedselinname naar verzadiging

1. Luminale detectie
- Vetzuren, peptiden, glucose
- Rek van de darmwand
- Activatie entero-endocriene cellen

2. Incretine-effect
- CCK, GLP-1, PYY
- Insulineafgifte
- Remming maaglediging

3. Autonome zenuwstelsel
- Vage afferenten (snel)
- NTS en hersenstam
- Modulatie van eetgedrag

4. Motiliteitsremming
- Vertraging proximale motiliteit
- 'Ileal brake'
- Verlengde verzadiging

VERZADIGING

Beslismodel: Analyse van Incretine- en Motiliteitssignalen

Gebruik deze determinatiematrix om de actuele fysiologische toestand van de entero-insulaire as af te leiden op basis van luminale belasting en hormonale respons.

Welk signaalmechanisme domineert in het spijsverteringskanaal?

Aanwezigheid van vetzuren en peptiden in het proximale duodenum	→ CCK-activatie leidt tot contractie van de galblaas, relaxatie van de sfincter van Oddi en remming van maaglediging via vagale afferenten.
Passage van glucose en lipiden door het distale ileum	→ L-cellen scheiden GLP-1 en PYY uit; activatie van de 'ileal brake', vertraging van proximale motiliteit en inductie van insulineafgifte.
Leeg lumen sonder rek of voedingsstoffen in nuchtere fase	→ Verlaagde entero-endocriene secretie; afname van afferente NTS-remming, toename van orexigene prikkels (hongergevoel) en activatie van het migrerend motorcomplex.

Zelfstudie en Fysiologische Werkruimte

Documenteer de relaties tussen entero-endocriene signaalstoffen, het autonome zenuwstelsel en centrale homeostatische kernen tijdens de verschillende spijsverteringsfasen.

Docententip
Let bij de analyse op het tijdsverschil tussen de snelle vagale signaaltransmissie (seconden) en de tragere systemische endocriene respons (minuten).

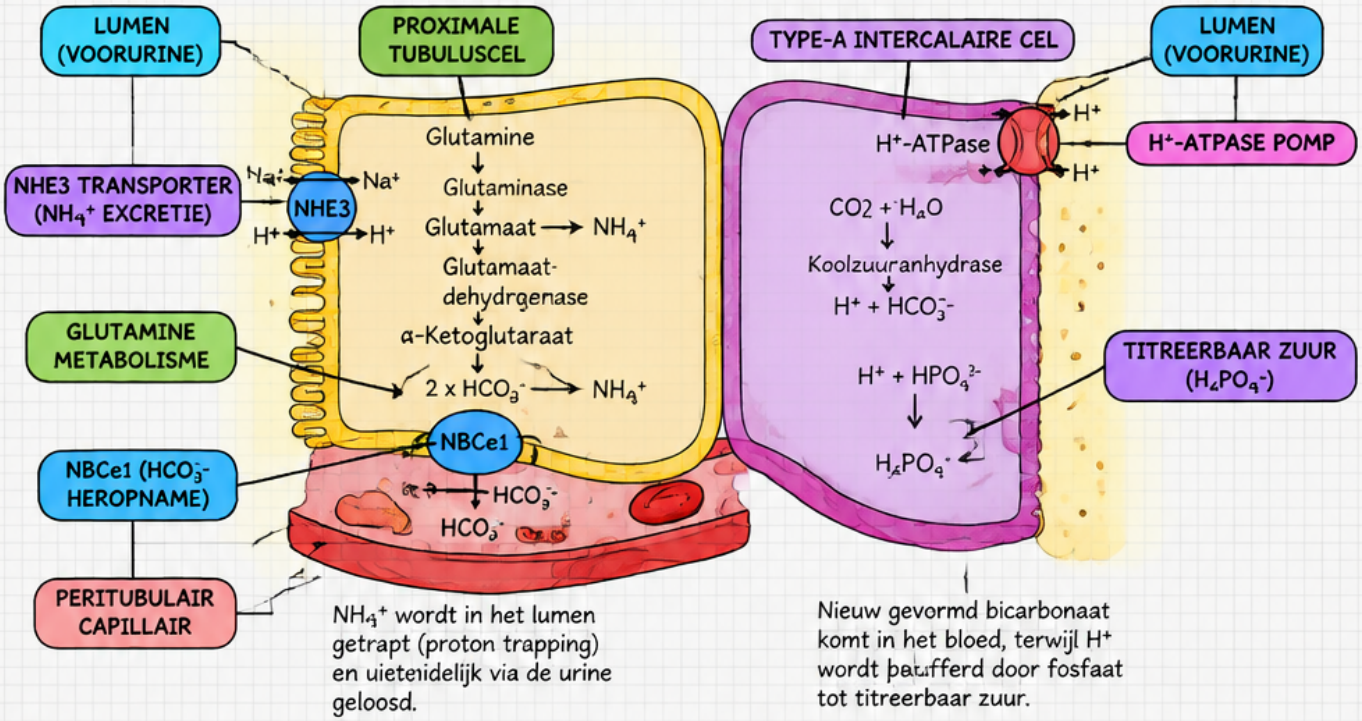
Geef de rol van GLP-1 op zowel endocrien als neuraal niveau:

Beschrijf de feedbacklus van PYY bij activering van de 'ileal brake':

Analyseer het effect van afferente vagale stimulatie op de nucleus tractus solitarius:

Deze informatie is uitsluitend bedeeld voor educatieve doeleinden en vervangt geen professioneel advies.

RENALE ZUUR-BASE REGULATIE



FYSIOLOGISCH MECHANISME: RENALE ZUUR-BASE BALANS

De nieren handhaven de systemische pH van het bloedplasma (referentiebereik 7,35 - 7,45) door overtollige niet-vluchtige zuren uit te scheiden en bicarbonaat (HCO_3^-) in hta bloed terug te winnen of nieuw te genereren. Dit gebeurt via twee complementaire mechanismen: proximale ammoniagenese en distale uitscheiding van titreerbaar zuur.

Educatieve Disclaimer
Deze illustratie en werkkaart dienen uitsluitend voor anatomisch en fysiologisch onderwijs. Het materiaal is geen medisch advies, klinisch protocol of diagnose-instrument.

- Glutaminemetabolisme in proximale tubuluscellen genereert sowel ammonium (NH_4^+) als nieuw bicarbonaat (de novo synthese).
- Ammonium (NH_4^+) verlaat de cel via luminale uitwisseling (NHE3) naar het tubulaire lumen en wordt uitenidelijk via de urine geloosd.
- Nieuw gevormd bicarbonaat diffundeert over het basolaterale membraan via de Na^+/HCO_3^- cotransporter (NBCe1) naar het peritubulaire bloed.
- In de intercalaire cellen type A van het verzamelsysteem buffert titratienetwerk (primair HPO_4^{2-}) vrije protonen tot $H_2PO_4^-$ (titreerbaar zuur).

BIOCHEMISCHE ROUTE: GLUTAMINOLYSE EN TITRATIE

Volg de biochemische routes **binnen de tubuluscellen** om het **zuur-base evenwicht** stap voor stap te herleiden.

1 Stap 1: Glutamine-opname en deaminering
Glutamine wordt oppenomen in de proximale tubuluscel en gemetaboliseerd door glutaminase tot glutamaat en NH_4^+. Glutamaat-dehydrogenase zet glutamaat vervolgens om in alfa-ketoglutaraat en een tweede NH_4^+.

2 Stap 2: Bicarbonaat-resorptie en NH_4^+-secretie
Het koolstofskelet (alfa-ketoglutaraat) wordt omgezet in twee HCO_3^- moleculen die via NBCe1 naar het capillair stromen. NH_4^+ substitueert H^+ op de luminale Na^+/H^+ antiporter (NHE3) en komt in het filtraat.

3 Stap 3: H^+-ATPase uitscheiding in intercalaire cellen
In type A intercalaire cellen van de verzamelbuis pompt een apicaal H^+-ATPase protonen actief het lumen in, aangedreven door intracellulaire omzetting van CO_2 en H_2O door koolzuuranhydrase.

4 Stap 4: Vorming van titreerbaar zuur
Uitgescheiden H^+ bindt aan gefilterd waterstoffosfaat (HPO_4^{2-}) om diwaterstoffosfaat ($H_2PO_4^-$) te vormen. Omdat dit complex niet opnieuw kan worden geresorbeerd, wordt protonenuitscheiding veilig voltooid conder de luminale pH te extreem te verlagen.

KLINISCHE REDENERBOOM: ACIDOSE RESPONS

Bepaal het renale compensatietraject aan de hand van de zuur-base status.

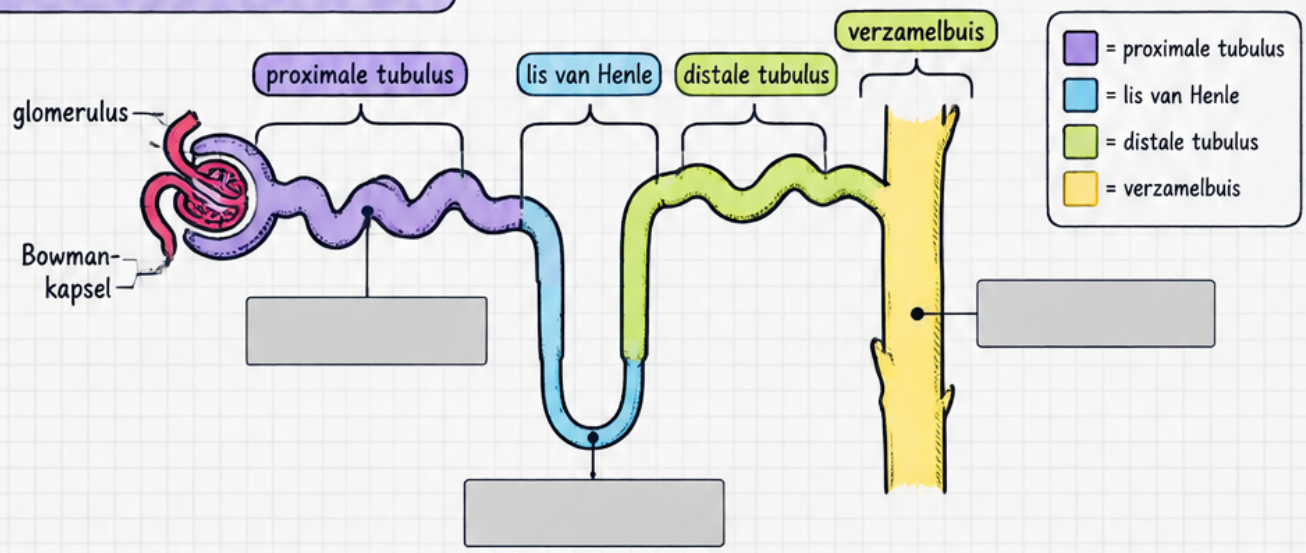
Welk mechanisme compenseert hoofdzakelijk bij aanhoudende metabole acidose?

- **Chronische metabole belasting (hoge H^+-last > 48 uur)** → Opwaartse regulatie van renale ammoniagenese via enzymatische inductie van glutaminase in de proximale tubulus; dit vormt de kwantiatief grootste flexileble reserve voor zuursecretie.
- **Acute zure belasting met constante fosfaatconcentratie** → Maximale verzadiging van de beschikbare luminale buffeers (HPO_4^{2-} naar $H_2PO_4^-$), bepertt door de dagelijkse glomerulaire filtratiesnelheid van dieetfosfaat.

Educatieve Disclaimer
Deze illustratie en werkkaart dienen uitsluitend voor anatomisch en fysiologisch onderwijs. Het materiaal is geen medisch advies, klinisch protocol of diagnose-instrument.

FYSIOLOGISCHE EVALUATIE

Schematisch overzicht nefron



Werkblad: Fysiologische Zelfevaluatie

Noteer hieronder de transportmechanismen en reactievergelijkingen ter controle van uw mechanistische begrip.

- ☐ Verifieer de stoichiometrie: 1 molecuul glutamine levert 2 NH_4^+ en 2 HCO_3^- op.
- ☐ Controleer de minimale luminale urine-pH waarbij het H^+-ATPase nog protonen tegen de gradiënt kan pompen (ongeveer pH 4,5).

Aandachtspunt Expertcontrole

Fysiologische parameters dienen geverifieerd te worden tegen actuele biochemische en nefrofysiologische literatuur voor klinisch gebruik.

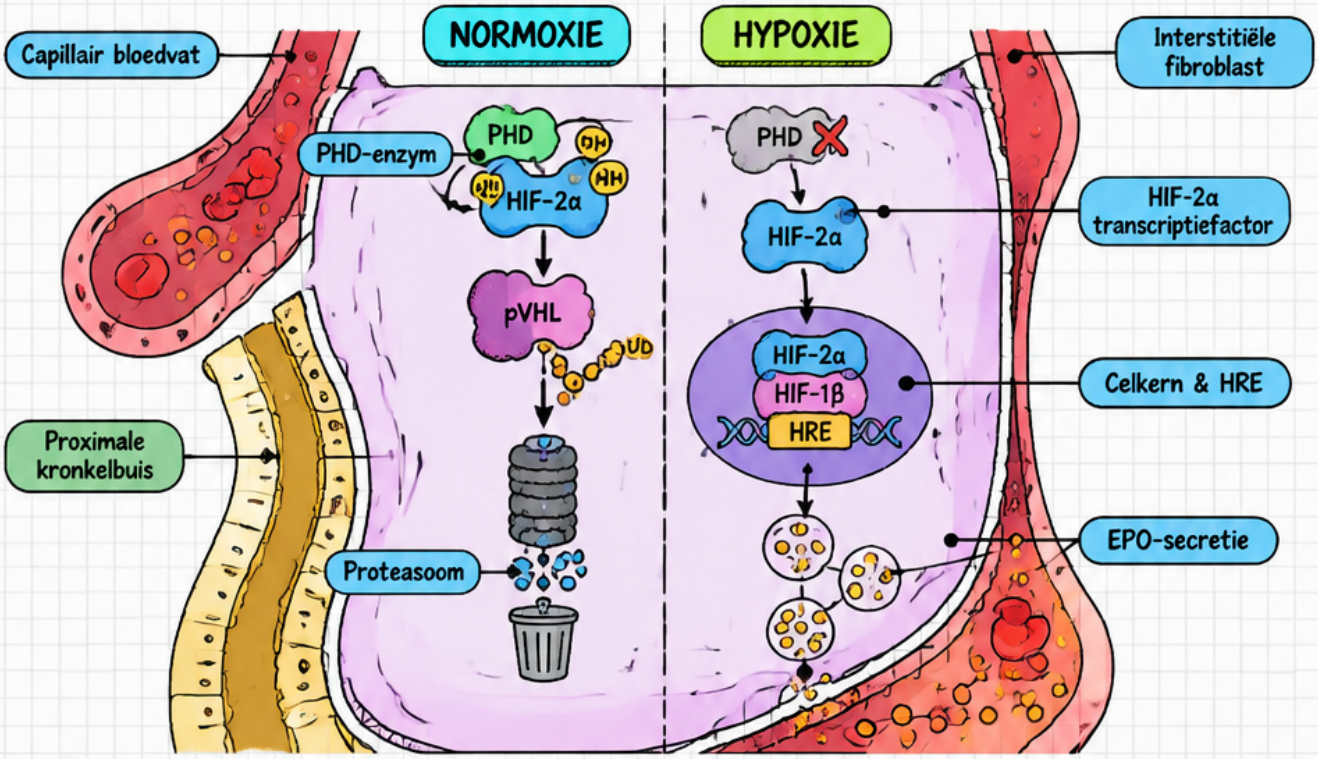
Formuleer de reactievergelijking van titreerbaar zuur in het verzamelsysteem:

Welke basolaterale transporters faciliteren de de novo bicarbonaatafgifte aan het bloed?

Verklaar waarom de capaciteit van ammoniagenese groter is dan die van fosfaatbuffering:

Dit materiaal is uitsluitend bedeeld voor educatieve doeleinden.

MECHANISME VAN RENALE ZUURSTOFSDETECTIE & EPO-SECRETIE



Renale Zuurstofdetectie & EPO-Synthese

De nieren spelen een centrale rol in de homeostase van het zuurstoftransport door de productie van erytropoëtine (EPO). In het tubulo-interstitium van de renale cortex en buitenste medulla fungeren gespecialiseerde fibroblasten als uiterst gevoelige zuurstofsensoren. Bij voldoende weefseloxygenatie (normoxie) wordt de transcriptiefactor HIF-2α continu afgebroken. Zodra de partiële zuurstofdruk daalt (weefselhypoxie), stopt deze afbraak en induceert HIF-2α de transcriptie van het EPO-gen.

Educativve Disclaimer

Dit materiaal is uitsluitend bestemd voor educativve en fysiologische studieddeeleinden. Het vervangt geen formele medische diagnostiek, klinische beoordeling of behandeladviezen.

- **Locatie:** Peritubulaire interstitiële fibroblasten in de renale cortex
- **Sensor-enzym:** Prolylhydroxylase-domein-eiwitten (PHD)
- **Cruciale transcriptiefactor:** HIF-2α (Hypoxie-induceerbare factor 2 alpha)
- **Doelorgaan:** Rood beenmerg (stimulatie van CFU-E en pro-erytroblasten)

De vier stappen

1 Stap 1: Normoxie en gerichte proteasomale afbraak

Onder normale zuurstofspanning hydroxyleren zuurstof-afhankelijke prolylhydroxylasen (PHD) twee specifiede prolineresiduen op HIF-2α. Dit trekt het Von Hippel-Lindau-eiwit (pVHL) aan, waarna ubiquitinering en snelle afbraak in het proteasoom volgt.

2 Stap 2: Hypoxie en stabilisatie van HIF-2α

Bij dalende weefsel-pO2 veziezen PHD-enzymen hun co-substraat zuurstof. Hydroxylering stopt, pVHL kan niet binden en HIF-2α accumuleert in let cytoplasma alvorens naar de celkern te transloceren.

3 Stap 3: Kerncomplexvorming en EPO-transcriptie

In de celkern dimeriseert HIF-2α met HIF-1β (ARNT) en bindt aan het Hypoxia Response Element (HRE) van de renale EPO-enhancer, wat leidt tot grootschalige transcriptie en secretie van EPO in de bloedbaan.

4 Stap 4: Stimulatie van erytropoëse in het beenmerg

EPO bindt aan erytropoëtine-receptonen (EPOR) op erytroide voorlopercellen in het rode beenmerg. Dit remt apoptose en stimuleert de uitrijping tot functionele erytrocyten, waardoor de zuurstoftransport-capaciteit toeeemt.

Hoe reageert de renale interstitiële fibroblast op de gemeten weefseloxygenatie?

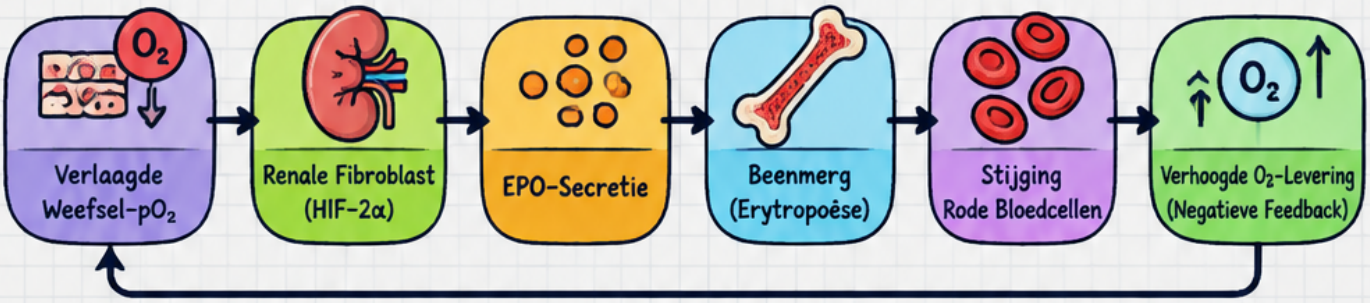
Weefsel pO2 is normaal of verhoogd (normoxie)

PHD-enzymen blijven actief; HIF-2α wordt gehydroxyleerd, gemarkeerd door pVHL en afgebroken. Geen toename in EPO-productie.

Weefsel pO2 is verlaagd (hypoxie door bijv. anemie of hoogte)

PHD-enzymen inactief; HIF-2α accumuleert, bindt aan kern-DNA en stimuleert secretie van erytropoëtine.

FYSIOLOGISCHE TOEPASSING & FEEDBACK-ANALYSE



ZELFSTUDIE & TERUGKOPPELINGSMATRIX

Gebruik dit actieve werkblad om het regelmechanisme van de zuurstofsensor te analyseren. Breng de negatieve feedbacklus in kaart vanaf de stimulus (hypoxie) tot het herstel van da homeostase.

- ☑ Verifieer de rol van cofactoren (zoals ijzer Fe^{2+} en 2-oxoglutaraat) bij PHD-activiteit.
- ☑ Analyseer de klinische consequentie van chronische nierinsufficiëntie op hematocrietwaarden.

MECHANISTISCH AANDACHTSPUNT

Let op het onderscheid tussen HIF-1α (overwegend ubiquitair metabolisme) en HIF-2α (de primaire fysiologische regulator van renale EPO-expressie).

Wat is de fysiologische prikkel voor de deactivatie van het PHD-enzym?

Beschrijf de stap-voor-stap keten van HIF-2α stabilisatie tot secretoire exocytose van EPO:

Hoe sluit de toename in circulerende erytrocyten de negatieve feedbackcyclus af?

Deze informatie is uitsluitend bedoeld voor educatieve doeleinden.

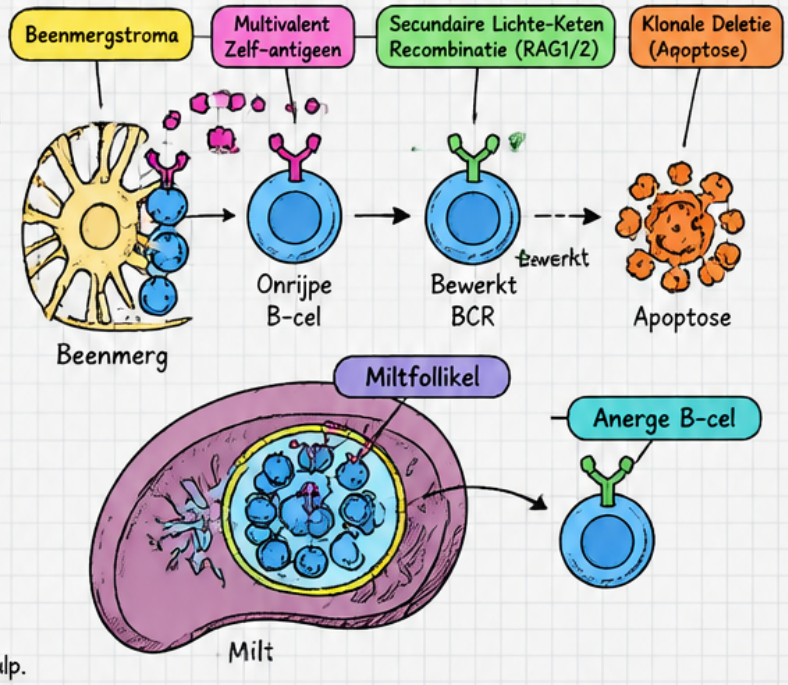
B-CEL TOLERANTIE

Perifere en Centrale B-cel Tolerantie Mechanismen

Centrale en Perifere B-cel Tolerantie

B-lymfocyten genereren door willekeurige V(D)J-recombinatie een enorm divers repertoire aan B-celreceptoren (BCR's). Dit stochaistiscke proces brengt onvermijdelijk receptoren voort die lichaamseigen structuren binden. Om auto-immuunreacties to vvorkomen, ondergaan ontwikkelende B-cellen strenge selectiemechanismen in het beenmerg (centrale tolerantie) en secundaire lymfoide organen (perifere tolerantie).

- Centrale selectie vindt plaats in het beenmerg bij onrijpe B-cellen met membrangebonden IgM.
- Sterke binding aan multivalent self-antigeen activeert primair receptor editing.
- Waneen receptor editing faelt of uitgeput raakt, volgt klonale deletie via apoptose.
- Zwakke kerkenning van oplosbare self-antigenen induceert anergi: functionele uitschakeling.
- Perifere checkpoints in milt en lymfeklieren vangen ontsnapte autoreactieve cellen op bij gebrek aan T-celhulp.

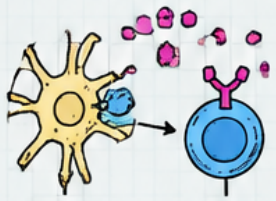


Educatieve Disclaimer
Dit leermateriaal dient uitsluitend voor biologische en fysiologische educatie en vormt geen medisch advies, klinische diagnose of behandelrichtlijn.

Stapsgewijze Tolerantieroute van Onrijpe B-cellen

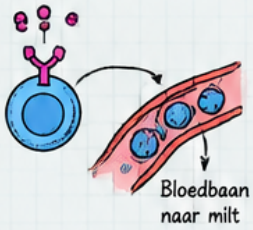
Tijdens de overgang van pre-B naar onrijpe B-cel in het beenmergstroma wordt de specificiteit van het pas gevormde B-celreceptorcomplex (oppervlakte-IgM gekoppeld aan Ig-alfa en Ig-bèta) op de proef gesteld tegen aanwezige auto-antigenen.

1 Antigeenpresentatie in het beenmerg



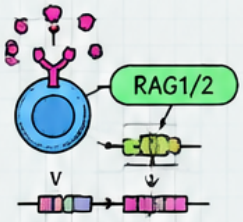
De onrijpe B-cel ontmoet stromacellen en dendritische cellen die lichaamseigen oppervlakte- en macromolecelaire antigenen presenteren.

2 Signaalsterkte-evaluatie



Als de BCR geen of minimale affiniteit voor auto-antigenen toont, migerert de cel als overgangs-B-cel (transitional B-cell) via de bloedbaan naar de milt.

3 Hernieuwde RAG-inductie (Receptor Editing)



Kruisbinding door multivalente zelf-antigenen genereerrt een krachtig remmend signaal dat de uitschakeling van RAG1- en RAG2-endonucleasen tijdelijk opheft. De cel hervat lichte-ketenherschikking op de kappa- of lambda-loci.

4 Validatie van de bewerkte lichte keten



Een successvele lichte-keterwissel vervangt de autoreactieve BCR door een nieuve conformatie. Blijft de receptor autoreactief na benutting van beschikbare allelen, dan wordt de apoptoseroute onherroepelijk eigeschakeld.

Educatieve Disclaimer
Dit leermateriaal dient uitsluitend voor biologische en fysiologische educatie en vormt geen medisch advies, klinische diagnose of behandelrichtlijn.

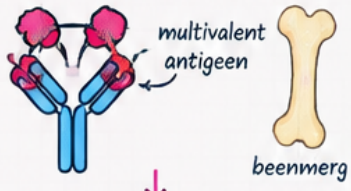
Selectietraject en Werkprotocol Tolerantie

Beslisboom: Lot van de Autoreactieve B-lymfocyt

De interactiesterkte, antigeenvalentie en de beschikbaalweid van genloci bepalen welk tolerantietnject de cel volgt om weefselbeschadiging de voorkomen.

Wat is het bindingsprofiel van de B-celreceptor voor self-antigenen?

Hoge affiniteit en sterke cross-linking met multivalent oppervlakte-antigen in het beenmerg



Arresteer onvvikkeling en activeer receptor editing via secundaire lichte-keten V-J-herschikking. Indien de specificiteit autoreactief blijft, induceer klonale deletie via pro-apoptotische eiwitten (Bim/Bcl-2 pathway).

Receptor Editing en apoptose

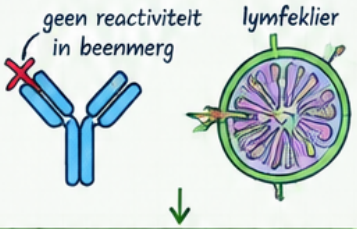
Lage affiniteit of interactie met monovalent/oplosbaaf antigeen



Signaalcascade induceert anergi: downregulatie van membraan-IgM en verlies van signaaltransductie-capaciteit, waarna de cel in de periferie een sterk verkorte halfwaardetijd heeft.

Anergi

Geen reactiviteit met beenmerg-antigenen, maar autoreactief in secundaire lymfoïde organen



Perifeer checkpoint: gebrek aan CD40L-stimulatie door T-folliculaire helpercellen leidt tot klonale deletie, anergi of uitsluiting uit primaire follikels.

Migratie naar lymfeklieren

Zelfevaluatie en Morfologische Analyse

Toets uw inzicht in de fysiologische selectiemechanismen en noteer de moleculaire bevindingen bij de observatie van selectiemarkers.

- [ ] Verifieer de expressiestatus van RAG1/2 tijdens hernieuwde recombinatie.
- [ ] Evalueer de rol van pro-aooptotisch Bim bij falende receptor editing.
- [ ] Vergelijk de expressieniveaus van IgM en IgD tussen anergische en mature B-cellen.

Aandachtspunt voor Domeinstudie

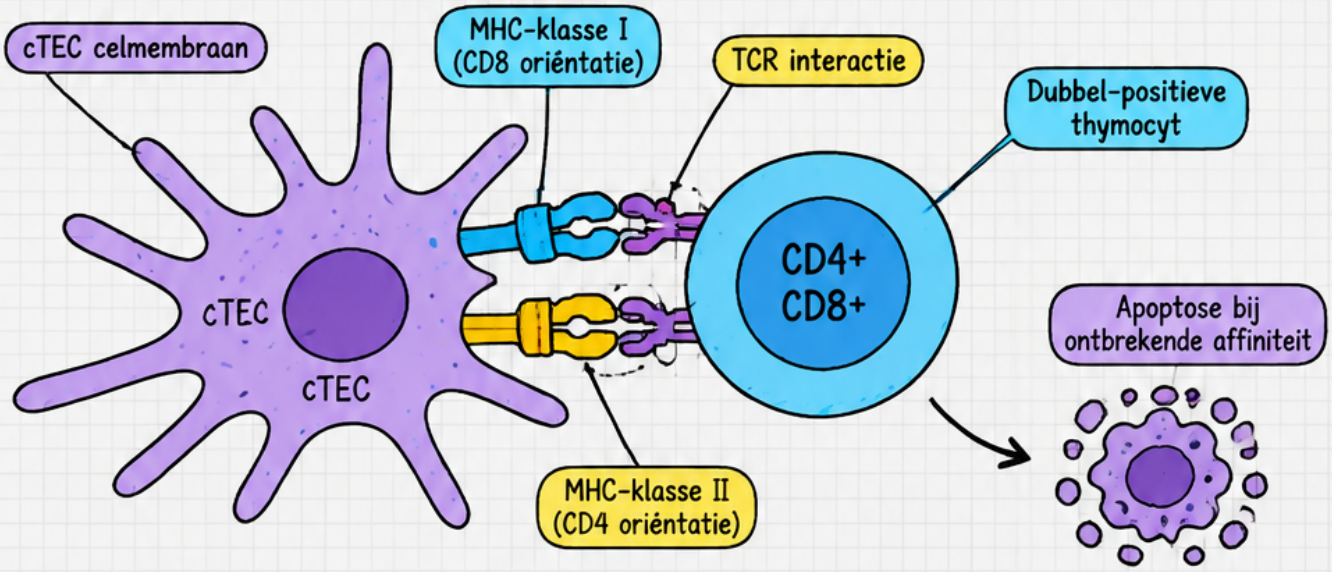
Let op het onderscheid tussen centrale tolerantie (beenmerg) en perifere checkpoints (milt en lymfeklieren); beide zijn fysiologisch complementair.

Geobserveerd selectiestadium (beenmerg vs. miltfollikel)	
BCR-isotype expressie (ratio oppervlakete-IgM t.o.v. IgD)	
Tolerantie-uitkomst (Receptor Editing, Klonale Deletie of Anergi) en verklaring	

Deze informatie is uitsluitend bedeeld voor educatieve doeleinden en vervangt geen professionnel advies.

THYMUS: POSITIEVE SELECTIE

Thymusselectie I: Corticale Positieve Selectie



CORTICALE SELECTIE: POSITIEVE SELECTIE EN MHC-RESTRICTIE

In de cortex van de thymus ondergaan onrijpe dubbel-positieve thymocyten (CD4+ CD8+) positieve selectie. Corticale thymusepitheelcellen (cTEC) presenteren lichaamseigen peptiden gebonden aan MHC-klasse I en klasse II moleculen.
De overleving van een thymocyt is strikt afhandelijk van een minimale bindingsaffiniteit.

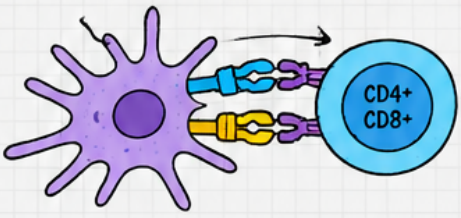
- Binding met matige affiniteit aan MHC-I leidt tot overleving en differentiatie tot CD8+ cytotoxische T-cel.
- Binding met matige affiniteit aan MHC-II leidt tot overleving en differentiatie tot CD4+ T-helpercel.
- Geen herkenning of te zwakke interactie met MHC leidt binnen 3 tot 4 dagen tot apoptose door verwaarlozing ('death by neglect').
- Resultaat: MHC-restrictie is gewaarborgd; alleen T-cellen die lichaamseigen MHC kunnen herkennen migreren naar het merg.

Educatieve Disclaimer

Dit schema dient uitsluitend voor biomedisch en fysiologisch onderwijs. Het is geen klinisch diagnostisch instrument of behandelrichtlijn voor immunodeficiënties of auto-immuunziekten.

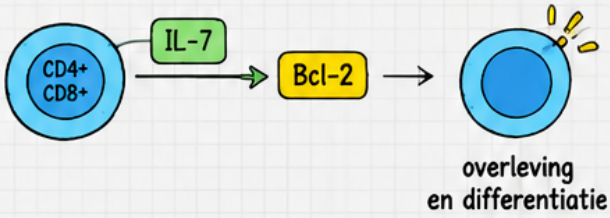
1 Stap 1: Migratie en cTEC-interactie

Dubbel-positieve thymocyten tasten met hun nieuw gevormde T-celreceptor (TCR) de MHC-I en MHC-II complexen op corticale epitheelcellen af.



2 Stap 2: Affiniteitstoets en overlevingssignaal

Bij functionele binding ontvangt de cel overlevingssignalen via interleukine-7 en Bcl-2 transcriptie; niet-functionele recombinaties gaan te gronde.



Dit schema dient uitsluitend voor biomedisch en fysiologisch onderwijs. Het is geen klinisch diagnostisch instrument of behandelrichtlijn voor immunodeficienties of auto-immuunziekten.

THYMUSSELECTIE II: MEDULLAIRE NEGATIEVE SELECTIE EN KLONALE DELETIE

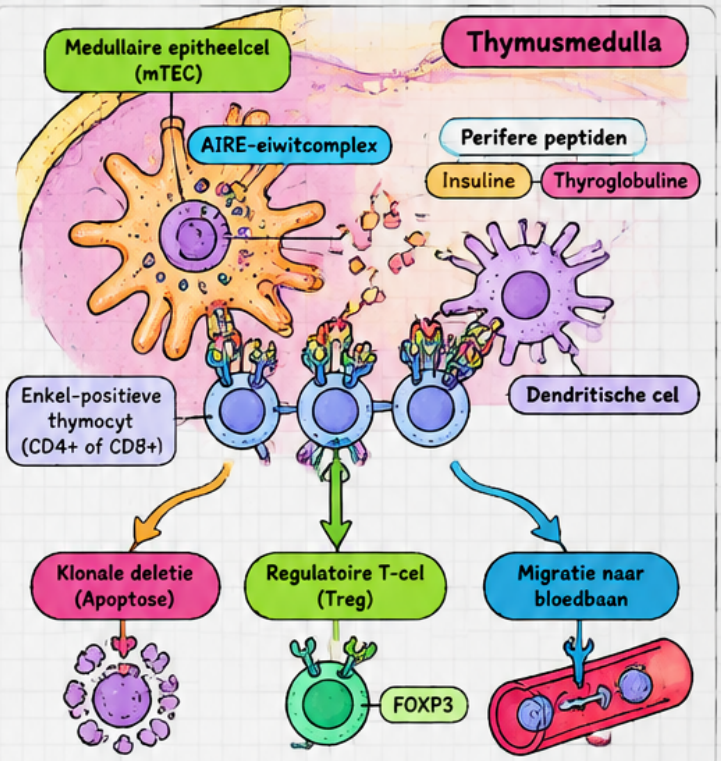
MEDULLAIRE SELECTIE: NEGATIEVE SELECTIE EN CENTRALE TOLERANTIE

Na overleving in de cortex migreren de enkel-positieve thymocyten (CD4+ of CD8+) naar de medulla. Hier presenteren medullaire thymusepitheelcellen (mTEC) en dendritische cellen weefselspecifieke antigenen die buiten de thymus voorkomen, gestuurd door de transcriptiefactor AIRE (**Autoimmune Regulator**).

- Hoge bindingsaffiniteit voor eigen antigenen induceert actieve apoptose ter preventie van auto-immuniteit.
- AIRE-expressie zorgt voor ectopische presentatie van perifere eiwitten zoals insuline, thyroglobuline en myeline.
- Een subpopulatie CD4+ thymocyten met gemiddeld hoge affiniteit differentieert tot natuurlijke regulatoire T-cellen (tTreg) onder invloed van FOXP3.
- Laag-affiene cellen passeren de kwaliteitscontrole en worden als rijpe, tolerante naïeve T-lymfocyten vrijgegeven in de systemische circulatie.

Klinische Relevantie: APECED / APS-1

Mutaties in het AIRE-gen verhinderen de expressie van perifere weefselantigenen in de thymusmedulla, waardoor autoreactieve T-cellen ontsnappen en multipele endocriene auto-immuunziekten veroorzaken.



Hoe reageert de ontwikkelende thymocyt op het gepresenteerde eigen peptide-MHC complex?

Geen herkenning van MHC (cortex)	Matige affiniteit voor MHC-I of MHC-II (cortex)	Hoge affiniteit voor eigen peptide-MHC (medulla / AIRE)	Lage/fysiologische affiniteit voor eigen peptide-MHC (medulla)
Apoptose door verwaarlozing ('death by neglect') wegens ontbreken van overlevingssignalen.	Positieve selectio: overleving, lineage commitment naar respecteveilijk CD8+ of CD4+, en migratie naar medulla.	Negatieve selectie: klonale deletie via apoptose ter waarborging van centrale tolerantie (of zeldzaam: inductie van FoxP3+ tTreg).	Succesvolle afronding van selectie: uitstroom naar perifere lymfoïde organen als naïeve immunocompetente T-cel.

FYSIOLOGISCHE VERWERKING & ZELFTEST

Controleer het begrip van centrale tolerantie en het lot van thymocyten aan de hand van ondertszanade werkvragen.

1. Beschrijf het moleculaire mechanisme waardoor AIRE-deficiëntie leidt tot autoreactiviteit in perifere weefsels:

2. Verklaar waaron naar schatting 95% tot 98% van alle geproduceerde thymocyten de thymus niet levend verlaat:

3. Noteer het lot van een thymocyt die met matige affiniteit bindt aan MHC-klasse I in de cortex:

Deze informatie is uitsluitend bedeeld voor educativee doeleinden.

NEFRONAAL MAGNESIUMTRANSPORT: TAL EN PARACELLULAIRE ROUTES

EDUCATIEVE DISCLAIMER EN DOELSTELLING

Deze leereenheid behandelt de fysiologische en moleculaire mechanismen van magnesiumtransport in het nefron. Dit materiaal is uitsluitend bestemd voor educatieve doeleinden en vormt geen medisch advies, klinische richtlijn of diagnostisch instrument.

- Focus op paracellulair transport in de dikke opstijgende lis van Henle (TAL).
- Focus op transcellulair transport in de distale kronkelbuis (DCT).
- Overzicht van endocriene modulatie via PTH, EGF en de calciumsensitieve receptor (CaSR).

EDUCATIEVE MEDEDELING

Fysiologische mechanismen worden weergegeven op basis van gevestigde biomedische basiskennis. Raadpleeg bij klinische casuistiek steeds erkende medische handboeken en protocollen.

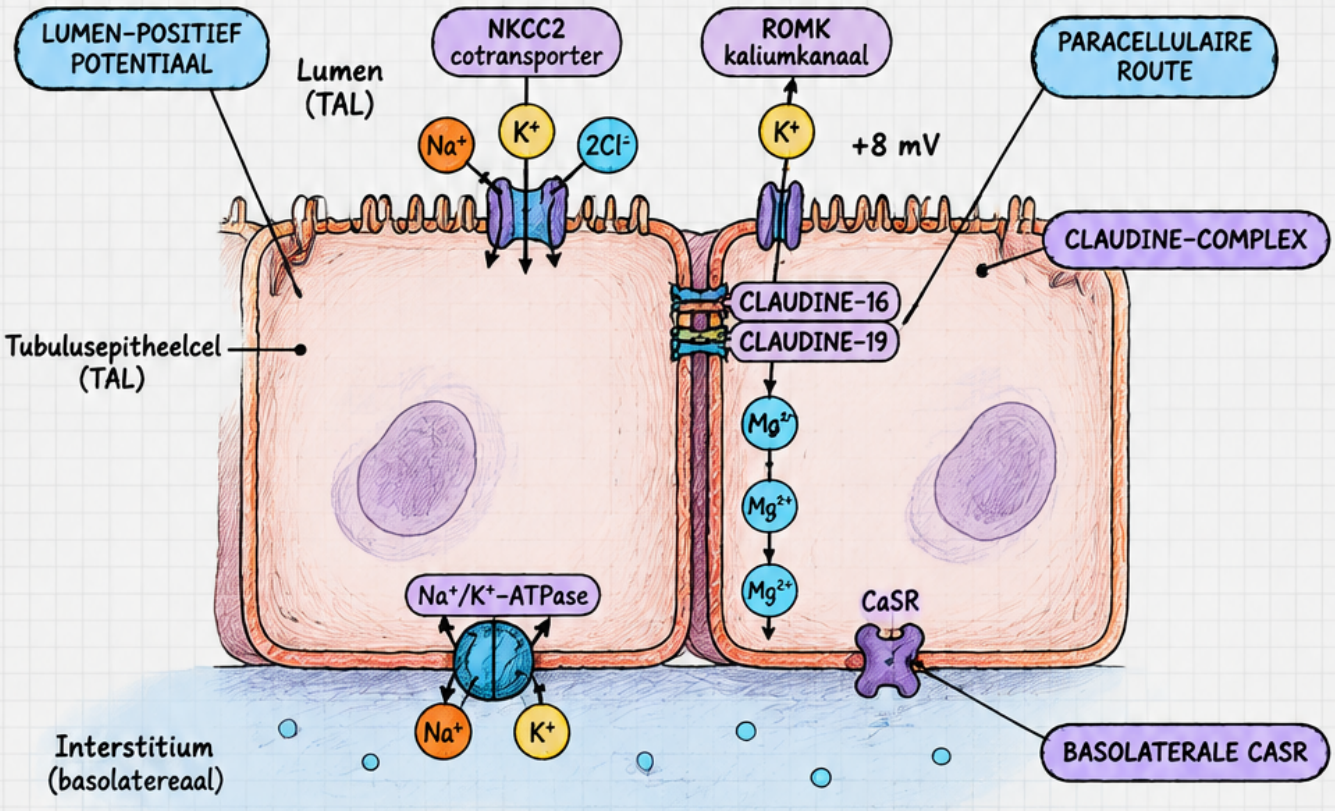
PARACELLULAIR TRANSPORT IN DE DIKKE OPSTIJGENDE LIS (TAL)

Ongeveer 50 tot 70 procent van het gefilterde magnesium wordt passief geresorbeerd in de dikke opstijgende lis van Henle via een paracellulaire route. Dit proces is afhankelijk van een lumen-positieve transepitheliale potentiaal en selectieve tight junction-eiwitten.

- Claudine-16 (paracelline-1) en claudine-19 vormen kation-selectieve poriën tussen aangrenzende tubuluscellen.
- De NKCC2-cotransporter en het ROMK-kaliumkanaal genereren samen met basolaterale Na^+/K^+-ATPase het lumen-positieve potentiaalverschil (+8 tot +10 mV).
- Activering van de basolaterale CaSR remt NKCC2 en ROMK, waardoor de drijfkracht voor Mg^{2+}-resorptie afneemt.

KLINISCH INZICHT: FHHNC

Mutaties in de genen voor claudine-16 of claudine-19 leiden tot familiaire hypomagnesiëmie met hypercalciurie en nefrocalcinose (FHHNC), gekenmerkt door ernsitg renaal magnesium- en calciumverlies.



DISTALE FIJNREGULATIE EN ENDOCRINE SIGNAALROUTES

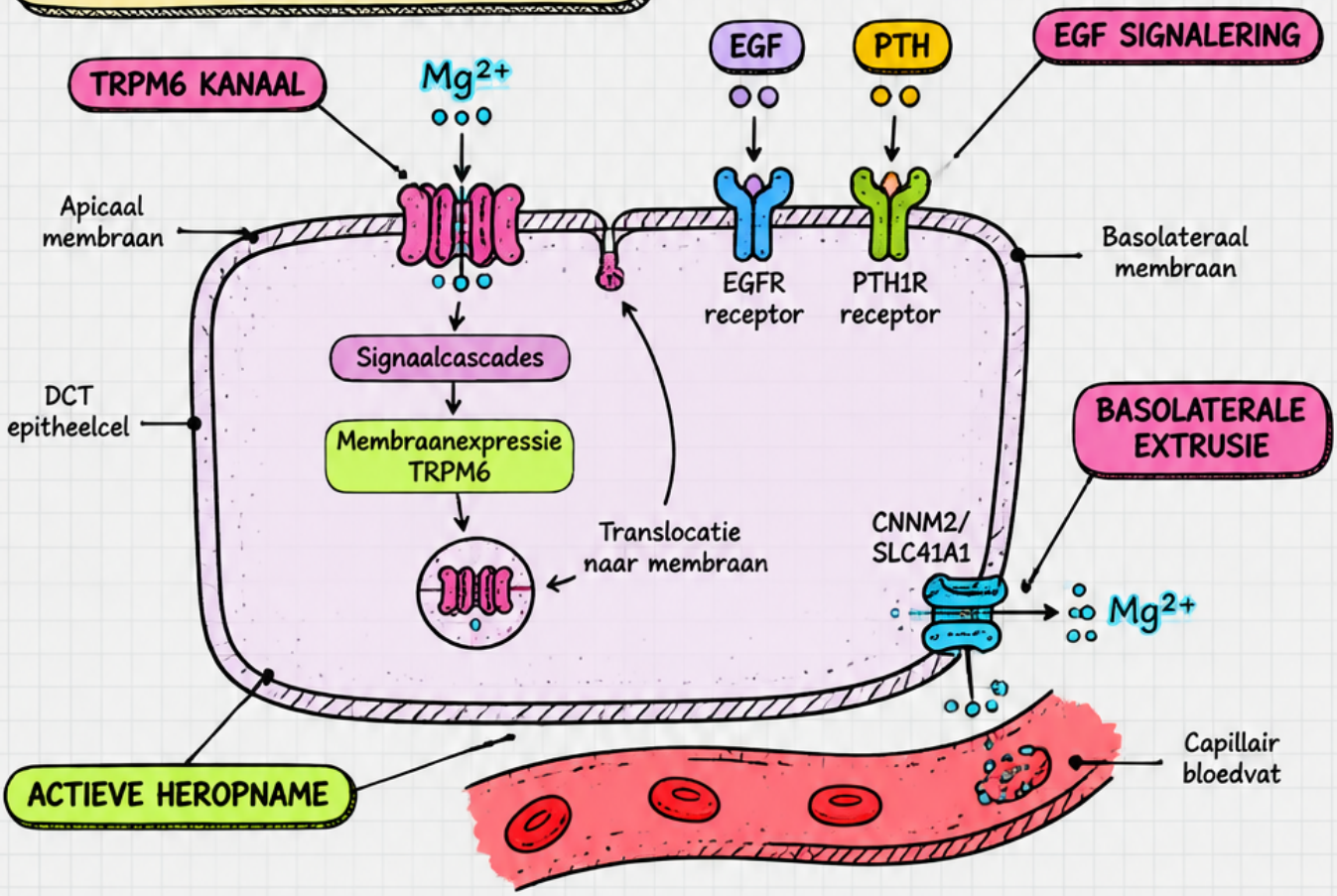
Transcellulair Transport en Modulatie in de Distale Kronkelbuis (DCT)

De distale kronkelbuis verzorgt de actieve, fijnregulerende heropname van 5 tot 10 procent van het gefilterde magnesium. Omdat het transepitheliale potentiaal hier niet positief is, verloopt de opname strikt transcellulair.

- Apicale influx vindt plaats via het permeabele kationkanaal TRPM6 (Transient Receptor Potential Melastatin 6).
- Basolaterale extrusie vereist actieve energietoevoer via vermoedelijke Na^+/Mg^{2+}-uitwisseling (waaronder CNNM2 en SLC41A1).
- EGF (epidermale groeifactor) bindt aan de basolaterale EGFR en stimuleert via intracellulaire signaalcascades de membraanexpressie van TRPM6.
- Bijschildklierhormoon (PTH) stimuleert magnesiumretentie via cAMP- en proteïnekinase A-gemedieerde routes.

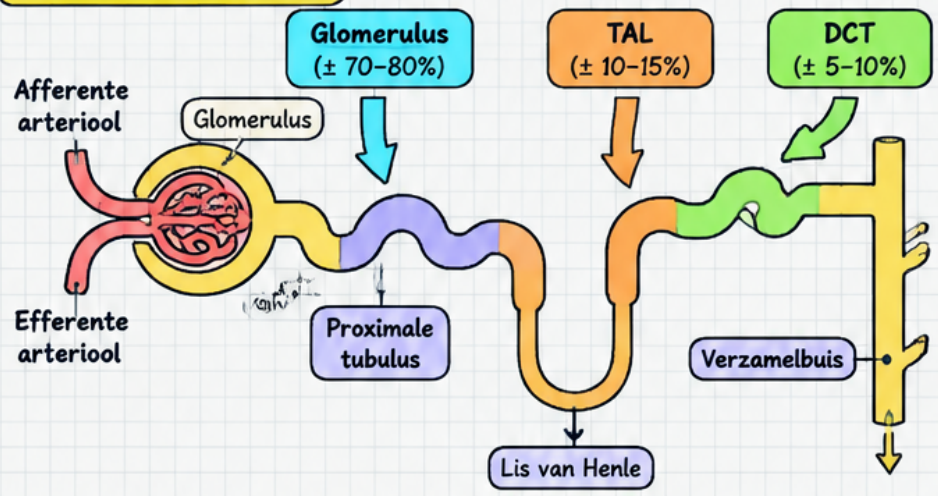
Praktijktip voor Toetsing

EGF-remmers (zoals cetuximab in oncologische behandelingen) remmen de insertie van TRPM6, wat frequent leidt tot behandelingsgerelateerde renale hypomagnesiëmie.



FYSIOLOGISCHE REGELKRING

OVERZICHT NEFRON



RELATIEVE BIJDRAGE AAN Mg^{2+}-REABSORPTIE

- **Glomerulus** ± 70–80%
- **TAL** ± 10–15%
- **DCT** ± 5–10%

Percentages zijn benaderingen en kunnen variëren tussen personen en omstandigheden.

BESLISBOOM: MAGNESIUMVERLIES

Welk nefronsegment is primair aangetast bij geïsoleerde renale hypomangesiëmie zonder hypercalciurie?

Defect gelokaliseerd in de TAL (lis van Henle)

Controleer op geoombineerde calcium- en magnesiumverliezen (zoals bij FHHNC of lisdiuretica-gebruik door remming van het lumen-positieve potentiaal).

Defect gelokaliseerd in de DCT (distale kronkelbuis)

Evalueer TRPM6-, CNNM2- of EGFR-defecten. Calciumexcretie blijft doorggans normaal of verlaagd, kenmerkend voor geïsoleerde distale dysfunctie.

Zelfevaluatie en Studiematrix Renale Fysiologie

Vul de ondertsaande werkvelden in tijdens zelfstudie of werkgroepen om het mechanistische begrip van ionentransport en hormonale sturing te verifiëren.

Beschrijf hoe de lumen-positieve potentiaal in de TAL tot stand komt:	
Wat is het effect van hypercalciëmie op de CaSR en renale magnesiumretentie?	
Verklaar het moleculaire werkings-mechanisme van EGF op TRPM6-kanalen in de DCT:	
Differentiaaldiagnose: Onderscheid tussen claudinedeficiëntie en TRPM6-mutatie:	

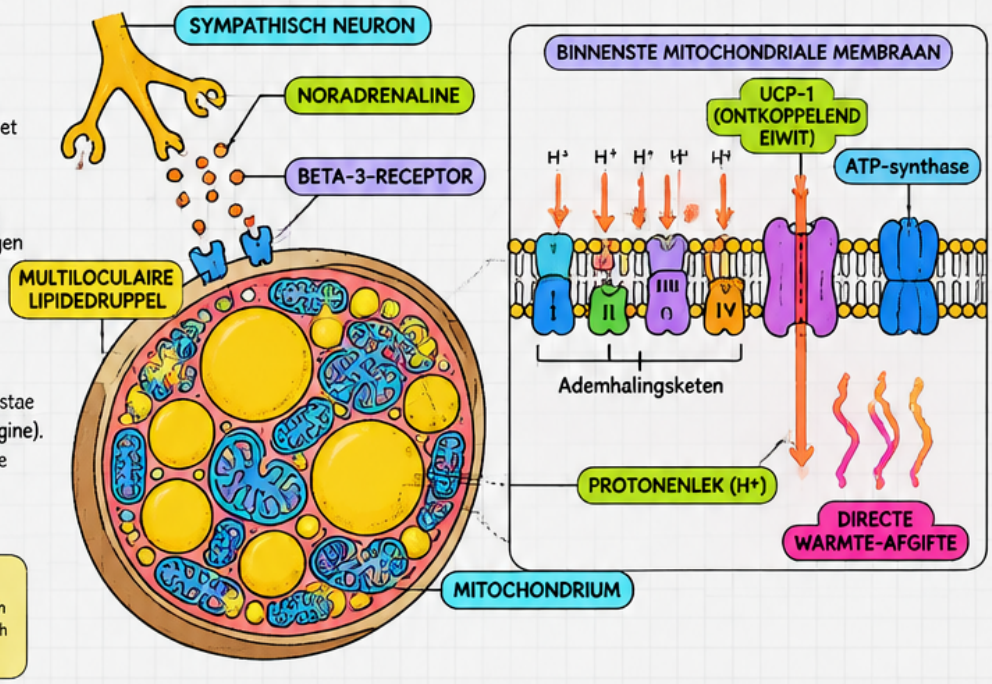
Deze werkkaart is uitsluitend bedoeld voor educatieve doeleinden en vervangt geen professionel advies.

FYSIOLOGIE VAN BRUIN EN BEIGEKLEURIG VETWEEFSEL

BRUIN VETWEEFSEL EN THERMOREGULATIE

Bruin vetweefsel (BAT) verschilt structureel en functioneel van wit vetweefsel doordat het gespecialiseerd is in warmteproductie via niet-rillende thermogenese. De dichte vascularisatie en overvloedige mitochondriën met het specifieke transporteiwit UCP-1 zorgen voor directe warmteafgifte aan het bloed.

- Bruine adipocyten bevatten multiloculaire lipidedruppels voor snelle enzymatische mobilisatie.
- Mitochondriën bezitten sterk geplooide cristae met een hoge concentratie UCP-1 (thermogine).
- Rijke capillaire netwerken transporteren de lokaal gegenereerde warmte direct naar de centrale circulatie.



Medische en Educatieve Disclaimer
Dit lesmateriaal dient uitsluitend voor anatomisch en fysiologisch onderwijs. Het bevat geen medisch advies, klinische diagnose of behandelrichtlijnen.

MOLECULAIR MECHANISME: BÈTA-3-ADRENERGE ACTIVATIE EN UCP-1

De activering van thermogenese verloopt via sympathische stimulatie en leidt tot ontkoppeling van de oxidatieve fosforylering in het binnenste mitochondriale membraan.

1 Koudeperceptie en noradrenaline-afgifte
Koude activeert het sympathische zenuwstelsel, wat leidt tot afgifte van noradrenaline bij de uiteinden van de sympathische axonen rond de bruine adipocyten.

2 Bèta-3-adrenerge receptorbinding
Noradrenaline bindt aan de bèta-3-adrenerge receptor op het celmembraan van de bruine adipocyt.

3 Signaalcascade en cAMP-synthese
ATP → cAMP
Receptoractivatie stimuleert adenylylcyclase via stimulerende G-eiwitten, waardoor intracellulair cAMP toeneemt.

4 Proteïnekinase A (PKA) activatie
PKA → HSL (P)
Verhoogd cAMP activeert PKA, dat hormoongevoelig lipase (HSL) fosforyleert en activeert.

5 Lipolyse en vetzuurvrijmaking
FFA
Glycerol
HSL splitst triglyceriden in vrije vetzuren (FFA) en glycerol binnen de multiloculaire druppels.

6 Ontkoppeling door UCP-1 en warmtegeneratie
Vrije vetzuren binden en activeren ontkoppelend eiwit 1. (UCP-1) in het binnenste mitochondriale membraan. Protonen (H^+) stromen terug naar de mitochondriale matrix zonder ATP-synthese te drijven; de elektrochemische gradiënt-energie dissipeert direct als warmte.

VERGELIJKENDE ANALYSE EN KLINISCH REDENEREN

Gebruik onderstaande werkstappen en beslisstructuur om fysiologische adaptatie bij chronische koudeblootstelling te analyseren.

- Beigekleurige adipocyten ontstaan binnen wit vetweefsel door 'browning' onder invloed van koude en adrenerge prikkels.
- UCP-1-expressie in beigekleurig vetweefsel is inducieerbaar en endeerstent de langetermijn-thermoregulatie.

Aandachtspunt voor de Fysiologietoets
Let op het onderscheid tussen substraatverbranding (bèta-oxidatie en citroenzuurcyclus) en energieconservatie: UCP-1 verbruikt zelf geen ATP, maar voorbent dat ATP-synthase de protonengradiënt benut.

Geobserveerde thermogene respons (subcutaan vs. supraclaviculair)

Verschil in mitochondriale dichtheid tussen wit, beige en bruin vetweefsel

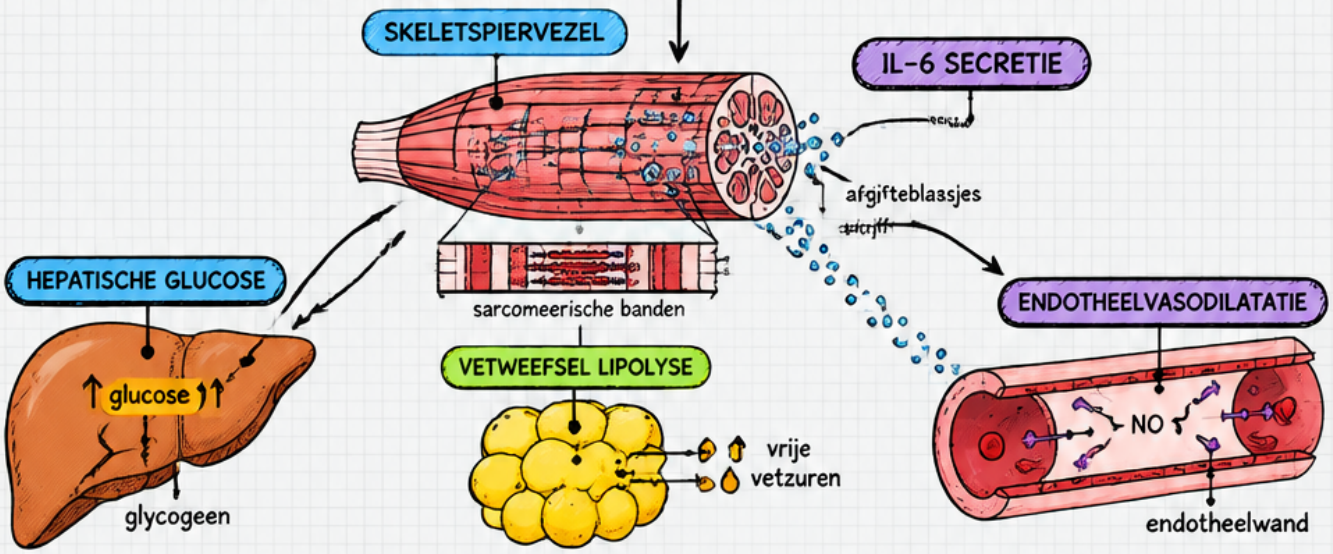
Is de thermogene stimulus acuut of chronisch?

Acute koudeblootstelling (minuten tot uren)
Sympathische noradrenaline-afgifte stimuleert direct bestaand UCP-1 in bruin vetweefsel en activeert rillen via skeletspieren indien onvoldoende.

Chronische koude-adaptatie (dagen tot weken)
Verhoogde transcriptie van UCP-1 en mitochondriale biogenese via PGC-1-alfa, vergezeld van recrutering en browning van beigekleurige adipocyten in subcutane depots.

Dit lesmateriaal dient uitsluitend voor anatomisch en fysiologisch onderwijs. Het bevat geen medisch advies, klinische diagnose of behandelrichtlijnen.

MYOKINE-SECRETIE



Skeletspier als Endocrien Organ: Het Myokine-mechanisme

Tijdens contractie functioneren skeletspiervezels niet uitsluitend als mechanische actuatoren, maar ook als endocriene klieren. Bij aanhoudende spiercontractie en verlaagde intramusculaire glycogeenvoorraden stimuleren calciumfluxen en AMPK-activatie de transcriptie en exocytose van signaalpeptiden, gezamenlijk myokines genoemd. Deze bioactieve moleculen komen via het capillaire bed direct in de systemische circulatie terecht en sturen op afstand de energiehomeostase, vetoxidatie en weefseldoorbleeding aan.

- Contractie-geïnduceerde calcium-influx activeert intracellulaire signaalkascades (zoals p38 MAPK en AMPK).
- Signaalpeptiden passeren het sarcolemma via gecontrolleerde vesiculaire exocytose.
- Endocriene communicatie bereicht gelijktijdig de lever, het vetweefsel en het vaatbed zonder tussenkomst van motorische zenuwbanen.

Disclaimer Educatief Materieal

Deze illustratie en toelichting dienen uitsluitend voor biologisch en fysiologisch onderwijs. Het materiaal vormt geen medisch advies, klinische diagnose of behandelrichtlijn.

Signaalroutes van IL-6, Irisine en Myostatine

Drie specifieke spierpeptiden spelen een bepalende rol in het regelen van metabolisme en spierhypertrofie. Hun synthese en fysiologische uitwerking hangen direct samen met de intensiteit en duur van spierarbeid.

- **Interleukine-6 (IL-6):** Komt vrij bij dalende glycogeen-concentraties; stimuleert hepatische glucoseafgifte en lipolyse zonder systemische ontstekingsreactie.
- **Irisine:** Gekliefd van het transmembraaneiwit FNDC5 onder invloed van PGC-1alfa, bevordert browning van wit vetweefsel en thermogenese via UCP1-opregulatie.
- **Myostatine (GDF-8):** Negatieve regulator van spiermassa; contractie remt de expressie hiervan, waardoor spiereiwits-synthese en angiogenese kunnen plattvinden.

Fysiologische Waarneming

In tegenstelling tot door macrofagen geproduceerd IL-6, gaat contractie-afhankelijk spier-IL-6 niet gepaard met een stijging van TNF-alfa, waardoor het metabool stimulerend werkt.

Stappenplan: Myokine-Mechanisme

1. **Stap 1: Myotubulaire Contractie**
   Herhaalde depolarisatie van de sarcolemma leidt tot Ca^{2+}-vrijgave uit het sarcoplasmatisch reticulum en activeert metabole sensoren zoals AMPK.
2. **Stap 2: Transcriptie en Secretie**
   Activatie van transcriptiefactoren induceert de productie van IL-6 en FNDC5/irisine, gevolgd door directe secretie in het omliggende vaatbed.
3. **Stap 3: Binding aan Doelorgaan-receptoren**
   Myokines binden aan specifieke transmembraanreceptoren op hepatocyten, adipocyten en endotheelcellen.
4. **Stap 4: Metabole Terugkoppeling**
   De lever geeft glucose af en vetweefsel verhoogt vrije vetzuren, waardoor de actieve spier van substraat wordt voorzien.

Metabole Respons op Doelorganen

De endocriene invloed van contraherende spieren vertaalt zich in meetbare orgaanspecifieke reacties die gezamenlijk substraatbeschikbaarheid waarborgen.

- **Lever:** Versnelde glycogenolyse en gluconeogenese ter handhaving van de euglykemie tijdens fysieke inspanning.
- **Vetweefsel:** Verhoogde activiteit van hormoongevoelig lipase (HSL), resulterend in lipolyse en substraattoevoer van vetzuren.
- **Endotheel:** Toename van endotheliale stikstofoxidesynthese (eNOS), wat leidt tot stikstofmonoxide (NO)-afgifte en perifere vasodilatatie.

Welk substraattype reveist op dat moment prioritiarie metabole aansturing door de myokine-as?

Langdurige aerobe inspanning met dalend intramusculair glycogeen

↓

Selectieve piek van spier-IL-6 stimuleert hepatische glucoseproductie en mobiliseert vetzuren uit perifeer vetweefsel.

Weerstandstraining met spieroverbelasting en herstelfase

↓

Lokale suppressie van myostatine stimuleert mTORC1-signalering voor hypertrofie en eiwitsynthese in de myofibrillen.

Praktische Studie- en Verificatietool: Myokine-respons Analyse

Gebruik dit werkkader om een fysiologische casus of meetopstelling systematisch te analyseren. Documenteer het substraatniveau, de gesleceteerde signaalmoleculen en de verwachte metabole overspraak.

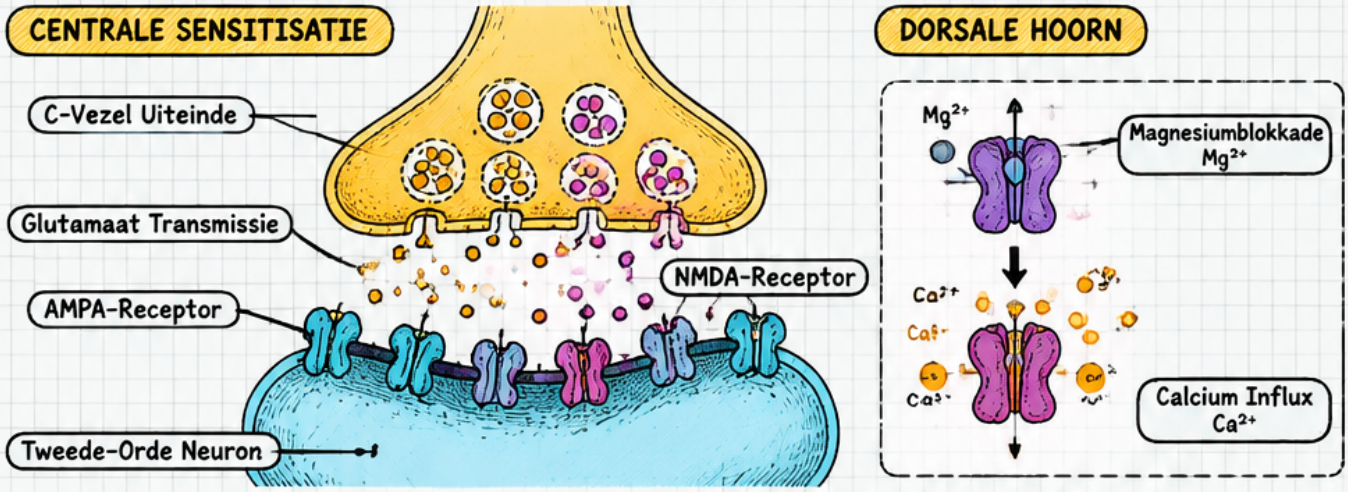
Aandachtspunt voor Docent en Student

Let op het onderscheid tussen acute paracriene signaalwerking in het interstitium versus systemische endocriene effecten via de bloedsomloop.

Geanalyseerde spiergroep en contractie-intensiteit (aerobic vs. anaeroob):	Dominante myokine (IL-6 / Irisine / Myostatine) en gemeten stimulans:	Geobserveerd doelorgaan-effect (Leverglucose, Lipolyse of Vasodilatatie):	Conclusie over fysiologische substraatbalans: en metabole adaptatie:

Deze illustratie en toelichting dienen uitsluitend voor biologisch en fysiologisch onderwijs. Het materiaal vormt geen medisch advies, klinische diagnose of behandelrichtlijn.

FYSIOLOGIE VAN PIJNFACILITATIE: DORSALE HOORN EN WIND-UP



Mechanismen van Centrale Sensitisatie

Wenneer perifere weefsels herhaaldelijk of langdurig worden blootgesteld aan schadelijke prikkels, ontstaat er in de dorsale hoorn van het ruggenmerg een cascade van synaptische ceranderingen. Dit fenomeen, centrale sensitisatie genoemd, leidt ertoe dat normale sensorische inputs worden versterkt en pijnervaringen verhevigen. Deze overzichtssectie verduidelijkt hoe aanhoudende nociceptieve vuurfrequenties de signaaloverdracht in het centrale zenuwstelsel moduleren.

- Aanhoudende stimulatie van C-vezels en A-delta-vezels leidt tot overmatige afgifte van glutamaat en neuropeptiden zoals Substantie P.
- De postsynaptische membraan depolariseert continu via AMPA-receptoren.
- Centrale sensitisatie vormt de fysiologische grondslag voor allodynie (pijn bij niet-pijnlijke prikkels) en hyperalgesie (versterkte reactie op lichte pijnprikkels).

Educatieve Disclaimer
Dit leermatariaal is uitsluitend bedeeld voor academische en educatieve doeleinden. Het vormt geen medisch advies, klinische diagnose of behandelrichtlijn.

De Moleculaire Cascade: Van Depolarisatie tot Wind-Up

Het fysiologische mechanisme achter centrale sensitisatie berust op specifieike interacties tussen ionotrope receptoren en intracellulaire boodschasppersystemen in de dorsale hoorn.

1. **Primaire Presynaptische Vrijgave**
   Tijdens aanhoudende nociceptieve vuuractiviteit scheiden de presynaptische C-vezelterminals glutamaat, substantie P en CGRP af in de synaptische spleet van lamina I en II.
2. **Initiële Membraandepolarisatte**
   Glutamaat activeert postsynaptische AMPA- en kainaatreceptoren, wat leidt tot een senlle inffux van natriumionen en geedelteijkie membraandepolarisatie van de tewede-orde zenuwcel.
3. **Verwjidering van het Magnesiumblok**
   Bij een rustpotentiaal wordt het NMDA-receptorkanaal fysise bblokkeeerd door eem extracellulair Mg^{2+}-ion. De aanhoudende depolarisatie stoot de positief geladen magnemiumionen elektrostatisch af.
4. **Calcium-influx en Kinase-activatie**
   Geopende NMDA-kanalen laten een massale instroom van Ca^{2+}-ionen toe in det neuron, wat signaaltransductiecascades triggert via proteinekinase C (PKC) en CaMKII.
5. **Insertie van Extra Receptoren en Wind-Up**
   Kinases fosforyleren bestiande receptoren en stimuleren de inbouw van extra AMPA-receptoren in de postsynaptische membraan ('wind-up'), waardoor de dremmelwaarde permanent verlaagd blijft.

Fysiologisclee Onderschieidingsmatrix: Perifeer vs. Centraal

Gebruik dit beslissingsschema om te bepalen of een klinisch of fysiologisch verschijnsel primair berust op perifere transductiemodulatie of op centrale dorsale-hoornsensitisatie.

Aandachtspunt voor Domeinverificatie
Klinische interpretatie van receptorantagonisten (zoals ketamine als NMDA-blokker) veeeist farmacologische conkest, readpleeg specialistische literatuur voor doseringen en klinische teapsspaingen.

Welk receptor- en lokalisatiemechanisme domineert het gebserveerde pijnsignaal?

Lokale weefselontsteking met verlaagde drempelwaarde van nociceptoren via prostaglandines en bradykinine	NMDA-receptoractivatie, verwijdering van Mg^{2+}-blok en verhoagde responsiviteit van dorsale hoornneuronen
Classificeer als perifere sensitisatie; primair aangestuurd door activatie van lokale ionkanalen (TRPV1, ASIC) en nociceptoreindigingen.	Classificeer als centrale sensitisatie ('wind-up'), vergt evaluaitie van spinale synaptische transmissie en dalende pijnmodulatiesystemen.

Analyse- en Oefenprotocol: Synaptische Plasticiteit

Vul de ondestaande werkvelden in om de observatie of analyse van een fysiologische respons op aanhoudende pijnstimulatie vast te leggen. Dit werkblad helpt studenten en docenten de mechanismen systematisch te ontleden.

Geboserveerde Prikkelintensiteit en Duur
(bijv. repetitieve C-vezelactivatie)

Veronderstelde Synaptische Veranderingen
(depolarisatieniveau, Mg^{2+}-expulsie)

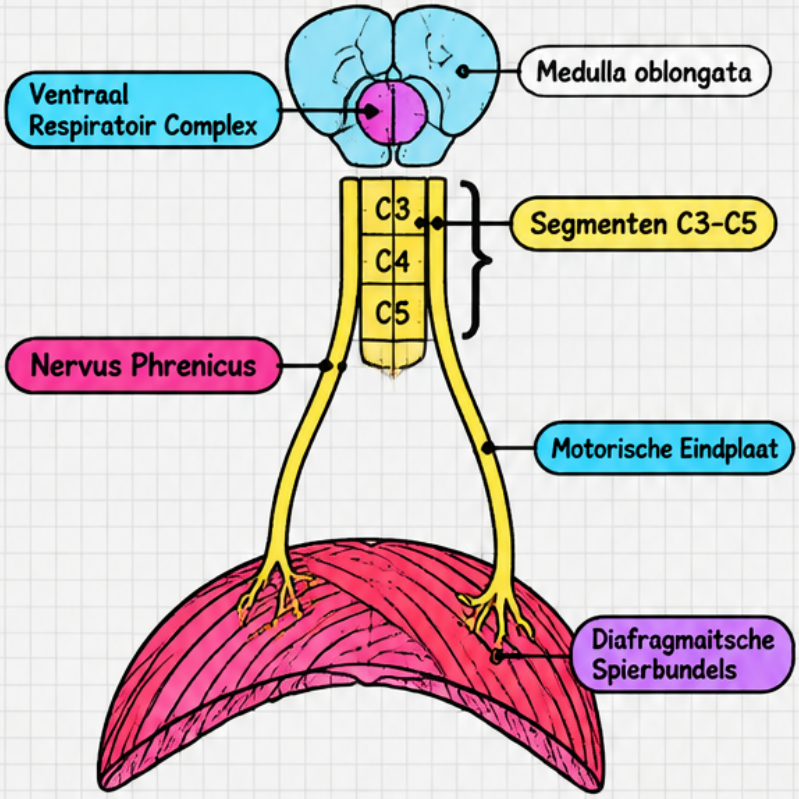
Aanwezige Neurotransmitters en Modulatoren
(Glutamaat, Substantie P, BDNF)

Vastgestelde Responstoename
(Wind-Up evaluatie en verlaagde prikkeldrempel)

Dit leermateriaal is uitsluitend bedoeld voor academische en educatieve doeleinden. Het vormt geen medisch advies, klinische diagnose of behandelrichtlijn.

NEURALE ADEMHALINGSREGULATIE

Neurale Regulatie van het Middenrif - Mechanisme & Elektromechanische Koppeling



NEURALE AANSTURING EN DIAFRAGMACONTRACTIE

De ademhaling wordt autonoom gegenereerd in de hersenstam. Het ventrale respiratoire complex zendt ritmische prikkels uit die via het ruggenmerg naar zlo motorneuronen van de nervus phrenicus (halswervelsegmenten C3-C5) worden geleid. Deze zenuw activeert de spiervezels van het diafragma, waardoor de spierplaat omlaag beweegt, het volume van de borstholte toeneemt en er lucht de longen binnenstroomt.

Educatieve Disclaimer
Dit leermateriaal dient uitisluitend voor onderwijs- en studieddoeleinden. Het is geen medisch advies, klinisch protocol of diagnostisch hulpmiddel.

- **Centrale pacemaker:** Ventraal respiratoir complex in het verlengde merg
- **Neuraal traject:** Ruggenmergsegmenten C3, C4 en C5 vormen gezameneljk de nervus phrenicus
- **Mechanisch gevolg:** Afvlakking van de diafragmakoepel verlaagt de intrathoracale druk

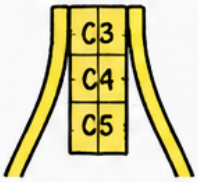
STAP VOOR STAP: VAN PRIKKEL TOT ADEMHALING

1 Prikkelgeneratie in de hersenstam



Inspiratoire neuronen in de medulla oblongata vuren synchrone actiepotentialen af op basis van metabole parameters zoals arteriële pCO2 en pH.

2 Geleiding via nervus phrenicus



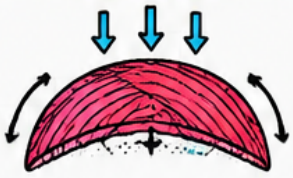
De impuls reist afwaarts via het ruggenmerg en convergeert in de motorische wortels C3-C5 naar de bilaterale nervus phrenicus.

3 Neuromusculaire transmissie



Bij de motorische eindplaatjes komt acetylcholine vrij, wat liedt tot depolarisatie van het sarcolemma van de middenrif-spiervezels.

4 Contractie en intrathoracale volumevergroting



Actine- en myosinefilamenten schuiven ineen, het koepelvormige middenrif vlakt af naar caudaal, waardoor passieve instroom van lucht optreedt.

Hoe reageert de neurale aansturing op een verhoogde arteriële pCO2 (hypercapnie)?

pCO2 stijgt boven fysiologische referentiewaarden

→ Centrale chemoreceptoren stimuleren het ademhalingscentrum tot verhoogde vuurfrequentie. en rekrutering van hulpademhalingsspieren.

pCO2 blijft binnen normale fysiologische grenzen

→ Het autonome ritme handhaaft de rustige, basale vuurfrequentie uitislutend via het diafragma en externe tussenribspieren.

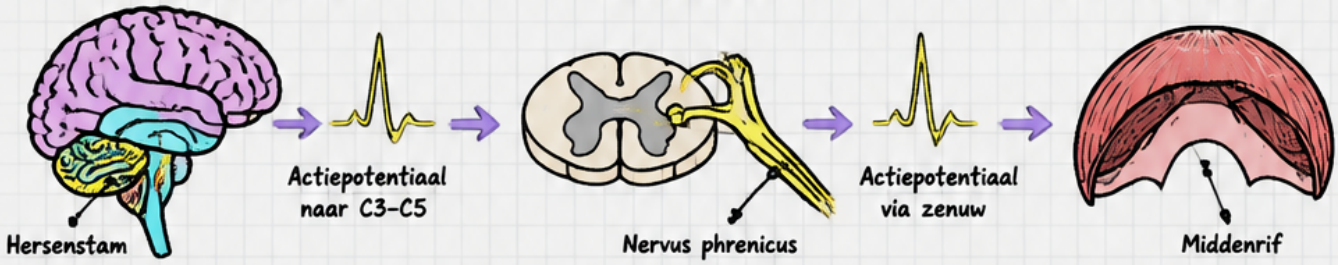
Educatieve Disclaimer
Dit leermateriaal dient uitsluitend voor onderwijs- en studieddoeleinden. Het is geen medisch advies, klinisch protocol of diagnostisch hulpmiddel.

NEURALE REGULATIE VAN HET MIDDENRIF - FUNCTIE-ANALYSE WERKBLAD

Stap 1: Centrale Impuls

Stap 2: Nervus Phrenicus Transmissie

Stap 3: Middenrifdepolarisatie



Zelfevaluatie & Functie-Analyse

Gebruik dit werkschema om het fysiologische pad van rustademhaling versus geforceerde ademhaling systematisch te noteren.

- [ ] Controleer de volgorde van de elektromechanische koppeling
- [ ] Noteer de effecten van zenuwbeschadiging op niveau C3-C5

Kennistoets

Definieer nauwkeurig het onderscheid tussen centrale pacemakeractiviteit en perifere neuromusculaire overdracht.

1. Beschrijf de neuromusculaire overdracht bij de diafragmatische eindplaat:

2. Wat is het klinische gevolg van een volledige laesie boven niveau C3 voor de ademhalingsfunctie?

3. Koppeling intrathoracale drukverandering aan luchtvolumeverplaatsing:

Deze werkbladen zijn uitsluitend bedeeld voor educatieve doeleinden.

PULMONALE LYMFEDRAINAGE

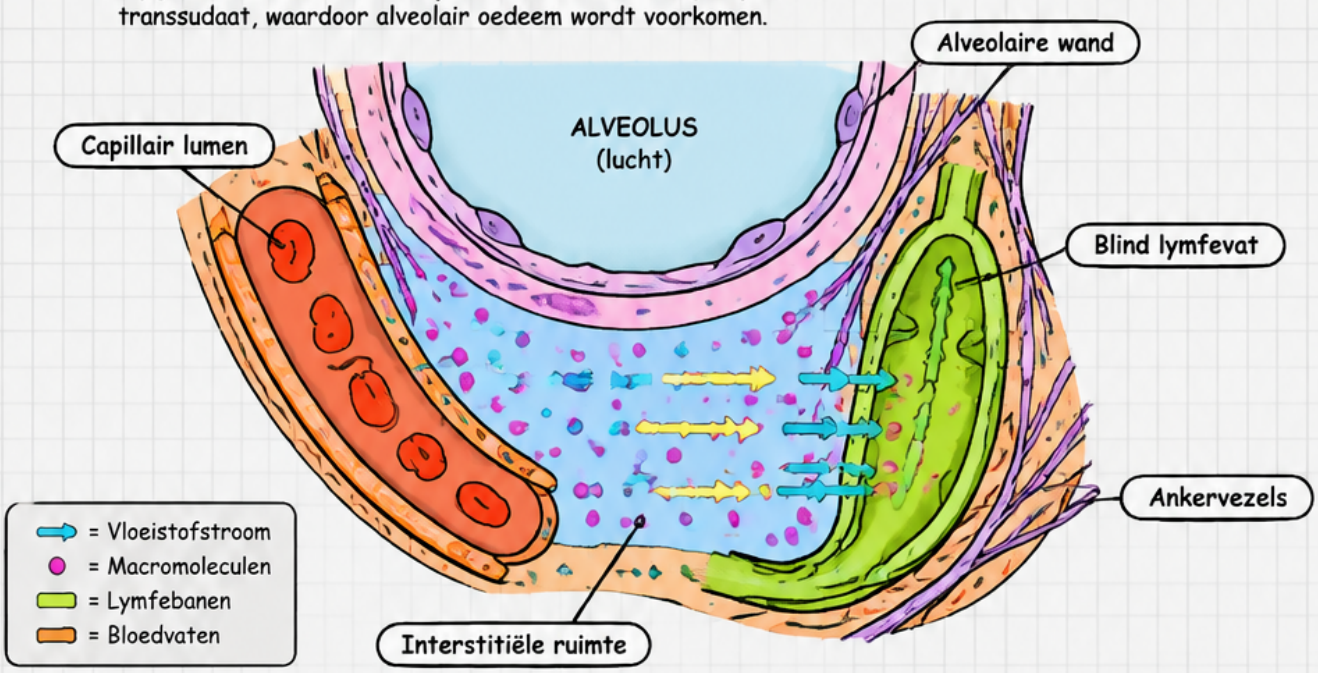
Mechanisme van Pulmonale Lymfedrainage

De longblaasjes (alveoli) moeten droog blijven om een minimale diffusieafstand voor zuurstof en koolstofdioxide te handhaven. Dit fysiologische overzicht toont hoe het pulmonale interstitium vocht en macromoleculen reguleert via interlobulaire lymfevaten en Starling-krachten.

- Capillaire filtratie levert een continue basale uitstroom van water en eiwitten naar het interstitium op.
- Initiële lymfecapillairen in de interlobulaire septa zuigen overtollige vloeistof op dankzij weefselbeweging en drukgradiënten.
- Bij gezonde vloeistofdruk blijft de alveolaire deklaag vrij van transsudaat, waardoor alveolair oedeem wordt voorkomen.

Educatieve Disclaimer

Dit materiaal is uitsluistend bestemd voor educatieve doeleinden en vervangt geen klinisch oordeel, diagnose of medische behandeling.

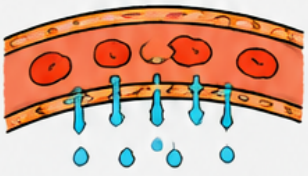


Fysiologische Fasen van Vloeistofafvoer

Het transport van macromoleculen en vocht verloopt via vier opeenvolgende fysische stappen langs de gaswisselingszone:

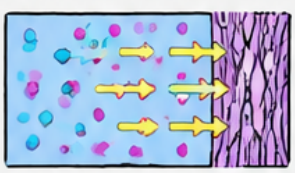
1 Microvasculaire Filtratie

Hydrostatisiche druk in de pulmonale capillairen stuwt een geringe hooevelheid plasmawater door het semi-permeabele endotheel naar de interstitiële ruimte.



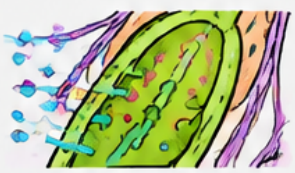
2 Interstitiële Accumulatie & Gradiëntvorming

Eiwitten en vloeistof verzeemelen zich in de extravasale matrix. Hier ontstaat een lokaal drukverval richting de dikkere bindweefselsepta rondom bronchiolen en vaten.



3 Opname in Initiële Lymfevaten

Overlapknoppen van endotheel-cellen in de blinde lymfecapillairen openen sich onder invloed van ankervezels wanneen weefseldruk toeneemt, waardoor eiwitten en vloeistof binnenstromen.



4 Voortstuwing naar Bronchopulmonale Klieren

Inwendige kleppen verhinderen terugstroom, terwijl ritmische ademhalingsbewegingen en intrinsieke gladde spiercontracties de lymfe naar de hiliare lymfeklieren pompen.



Educatieve Disclaimer

Dit materiaal is uitsluistend bestemd voor educatieve doeleinden en vervangt geen klinisch oordeel, diagnose of medische behandeling.

VLOEISTOFBALANS EVALUATIE

Is de microvasculaire filtratiesnelheid groter dan de maximale lymfatische pompcapaciteit?

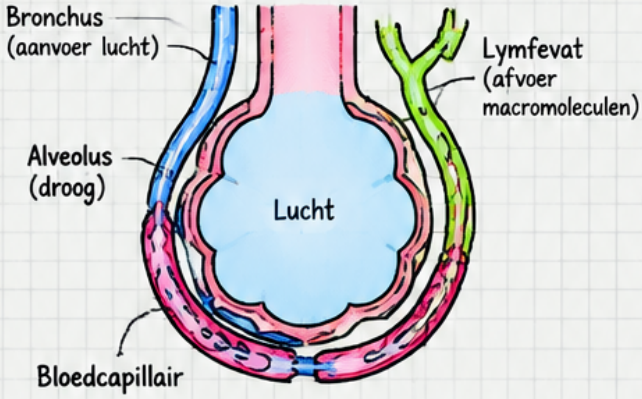
Nee
(Filtratie < Lymfestroomcapaciteit)

Compensatie intact: lymfevaten voeren macromoleculen snel af, interstitiële druk blijft laag en de alveolaire gaswisselingsbarrière behoudt haar minimale dikte.

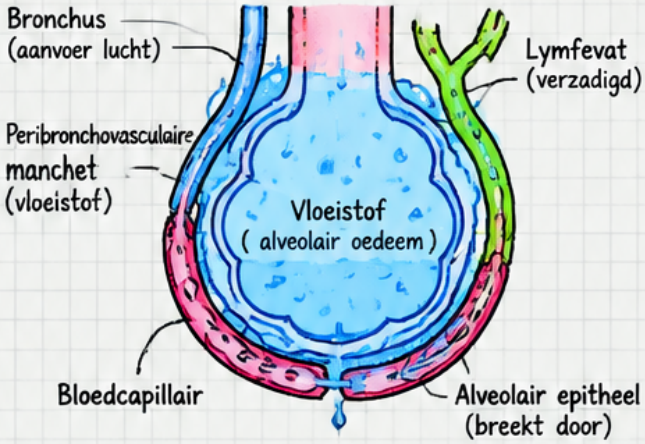
Ja
(Filtratie overtreft Lymfestroomcapaciteit)

Compensatiefalen: vloeistof verzamelt zich eerst in de peribronchovasculaire manchetten (fase 1/2) en breekt vervolgens door het alveolaire epitheel heen naar de luchtruimten (alveolair oedeem).

Droge alveolus



Met vloeistof gevulde alveolus



Werkblad Fysiologische Analyse

Noteer hieronder de specifieke Starling-waarden en waarnemingen voor het geanalyseerde casusmodel.

Geschtatte capillaire hydrostatische druk (Pc in mmHg):

Interstitiële colloid-osmotische druk (π_i) en eiwitretentie:

Status van interlobulaire lymfeafvoer en diffusieafstand:

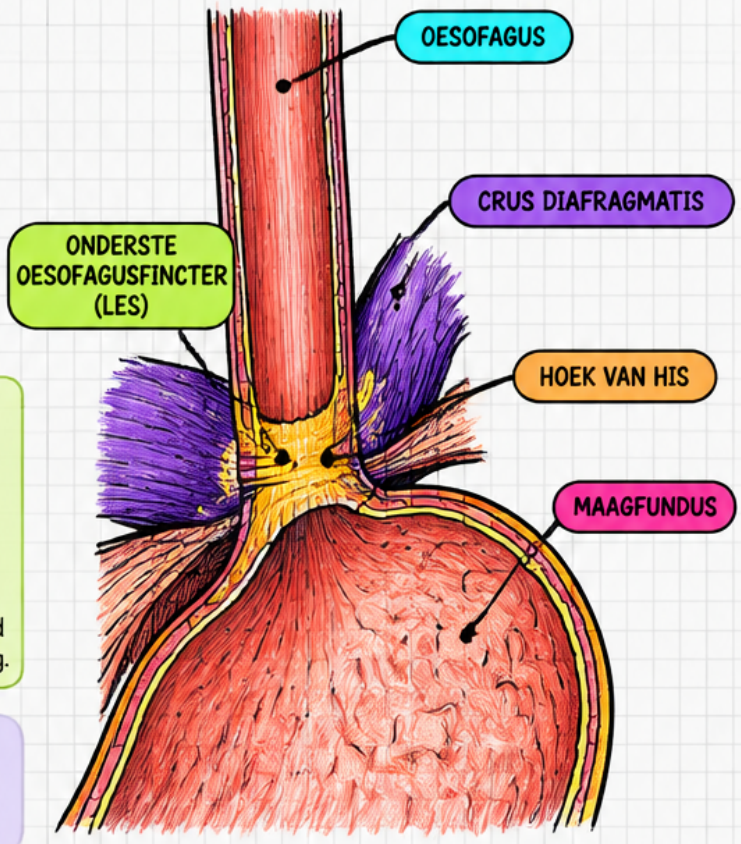
Deze informatie is uitsluitend bedeeld voor educatieve doeleinden en vervangt geen professioneel advies.

GASTRO-OESOFAGEALE REFLUXPREVENTIE: OVERZICHT & FYSIOLOGISCHE BARRIÈRE

ANATOMISCHE EN FYSIOLOGISCHE SLUITINGSMECHANISMEN

De preventie van gastro-oesofageale reflux berust op een gecoördineerde antirefluxbarrière bij de gastro-oesofageale overgang. Deze barrière bestaat uit twee samenwerkende componenten: de intrinsieke onderste slokdarmsfincter (LES) en de extrinsieke compressie door het crus diafragmatis. In rustoestand handhaaft de LES een basale rusttonus (ongeveer 10 tot 30 mmHg boven de intragastrische druk) om retrograde verplaatsing van maagzuur en pepsine te belemmeren.

- **Intrinsieke onderste oesofagusfincter (LES):** gepecialiseerde circulaire gladde spierbundels die myogene rustonus leveren onder invloed van cholinerge prikkeling.
- **Extrinsiek crus diafragmatis:** skeletspierlus die als externe knijper fungeert en synchroon aanspant tijdens inspiratie of verhoogde intra-abdominale druk.
- **Flap-valve van His:** de sherpe hoek tutssen de oesofaguswand en maagfundus die passief dichtklapt bij oplopende maagvulling.

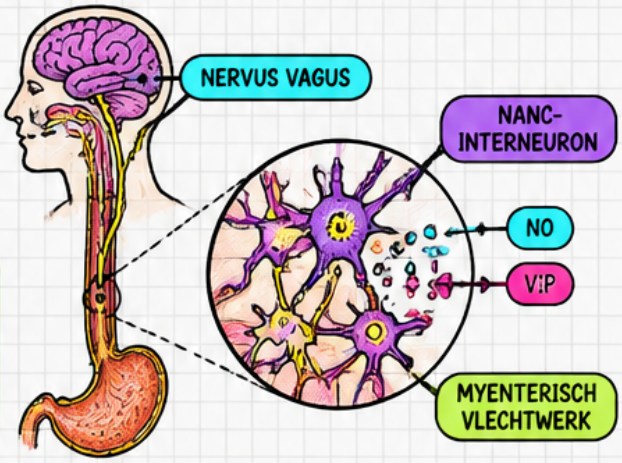


EDUCATIEVE DISCLAIMER
Dit leermatreiaal dient uitsluitend voor anatomisch en fysiologisch onderwijs. Het bevat geen medisch advies, klinische diagnose of behandelrichtlijnen voor gastro-oesofageale refluxziekte.

NEUROGENE REGULATIE VAN SLIKINHIBITIE EN RECEPTIEVE RELAXATIE

Tijdens een slikactie ontspant de LES reflexmatig om de voedselbrok ongehinderd de maag te laten passeren. Deze inhibitie verloopt via vagale zenuwbanen die niet-adrenerge, niet-cholinerge (NANC) myenterische neuronen activeren in de oesofaguswand.

- **Vagale afferentie registreert** de pharyngeale slikstimulus en activeert de dorsale motorkern van de nervus vagus in de hersenstam.
- **Postganglionaire inhibitoire zenuwvezels** geven stikstofmonoxide (NO) en vasoactief intestinaal peptide (VIP) af direct bij de sfincterspiercellen.
- **NO stimuleert** oplosbaar guanylylcyclase, leidend tot cGMP-stijging, intracellulaire calciemdaling en directe relaxatie van de gladde spiervezels.



1 DEGLUTITIE-INITIATIE



Vrijwillig en reflexmatig slikken wekt een peristaltische golf op in het proximale slokdarmtraject.

2 VAGAAL INHIBITORSIGNAAL



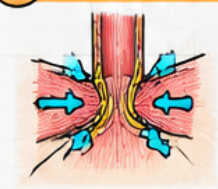
Inhibitoire preganglionaire vagusvezels projecteren naar het myenterische vlechtwerk ter hoogte van de distale oesofagus.

3 AFGIFTE VAN NO EN VIP



Lokale NANC-interneuronen secreteren stikstofmonoxide en VIP, vaardoor de membraanhyperpolarisatie optreedt.

4 SFINCTEROPENING



De intraluminale druk van de LES daalt binnen 1,5 tot 2,5 seconden tot nulniveau voorafgaand aan de naderende peristaltiekbolus.

5 RECEPTEEVE MAAGONTSPANNING



Gelijktijdig ontspant de maagfundus vagovagaal om de bolus zonder acute drukstijging op te vangen.

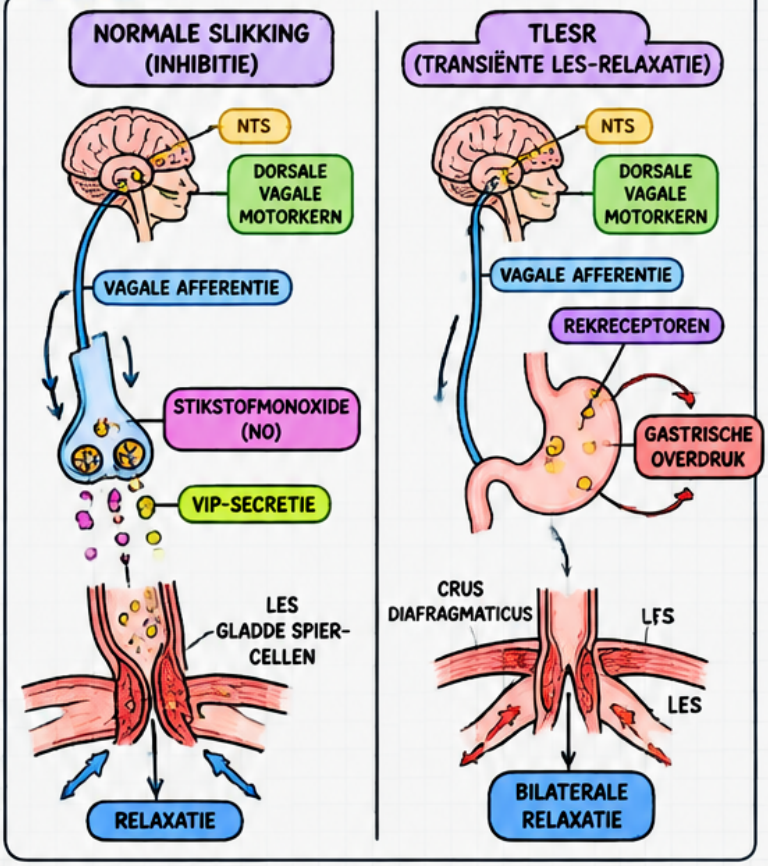
EDUCATIEVE DISCLAIMER Dit leermatreiaal dient uitsluitend voor anatomisch en fysiologisch onderwijs. Het bevat geen medisch advies, klinische diagnose of behandelrichtlijnen voor gastro-oesofageale refluxziekte.

GASTRO-OESOFAGEALE REFLUXPREVENTIE: TLESR EN FYSIOLOGISCHE ANALYSE

PATHOFYSIOLOGIE: TRANSIËNTE LES-RELAXATIES (TLESR)

Een primaire oorzaak van fysiologische en pathologische reflux is het optreden van **transiënte onderste oesofagussfincterrelaxaties (TLESR's)**. In tegenstelling tot slikgerelateerde relaxatie treedt een TLESR op zonder voorafgaand slikken en duurt deze aanzienlijk langer **(10 tot 45 seconden)**.

- Geactiveerd door gastrische rekreceptoren in de cardia en fundus bij maagdistensie door gas of voeding.
- Reflexboog via de nervus vagus naar de nucleus tractus solitarii (NTS) en dorsale vagale motorkern.
- Leidt tot gelijktijdige remming van zowel de gladde spier van de LES als het dwarsgestreepte crus diafragmatis.
- Biedt fysiologisch een ventiel voor ontluchting (eructatie), maar veroorzaakt reflux wanneer zure maaginhoud de gastro-oesofageale junctie bereikt.



KLINISCH FYSIOLOGISCHE AANTEKENING

Bij patiënten met ernritge refluxziekte (GERD) is het aantal TLESR's vaak niet verhoogd, maar liedt een groter percentage van de TLESR-episodes tot daadwerkelijke zure reflux doon veranderde maaglediging of anatomische configuratie zoals een hiatus hernia.

ZELFEVALUATIE & FYSIOLOGISCHE REDENEOEFENING

Beoordeel fysiologische mechanismen rondom tonusregulatie en sfincterfunctie aan de hand van ondertstaande werkvragen en beslisstructuur.

- Controleer de rol van **neurotransmitters** bij tonusbehoud versus relaxatie.
- Analyseer het effect van **intra-abdominale drukstijgingen** op het crus diafragmatatis.

WERKVRAGEN

Wat is het effect van atropine op de rustonus van de onderste oesofagussfincter?

Beschrijf hoe de sfincterrespons verschilt tussen een fysiologische slikactie en een TLESR.

Verklaar waarom een hiatus hernia de antirefluxbarrière mechanisch verzwakt.

BESLISSTRUCTUUR

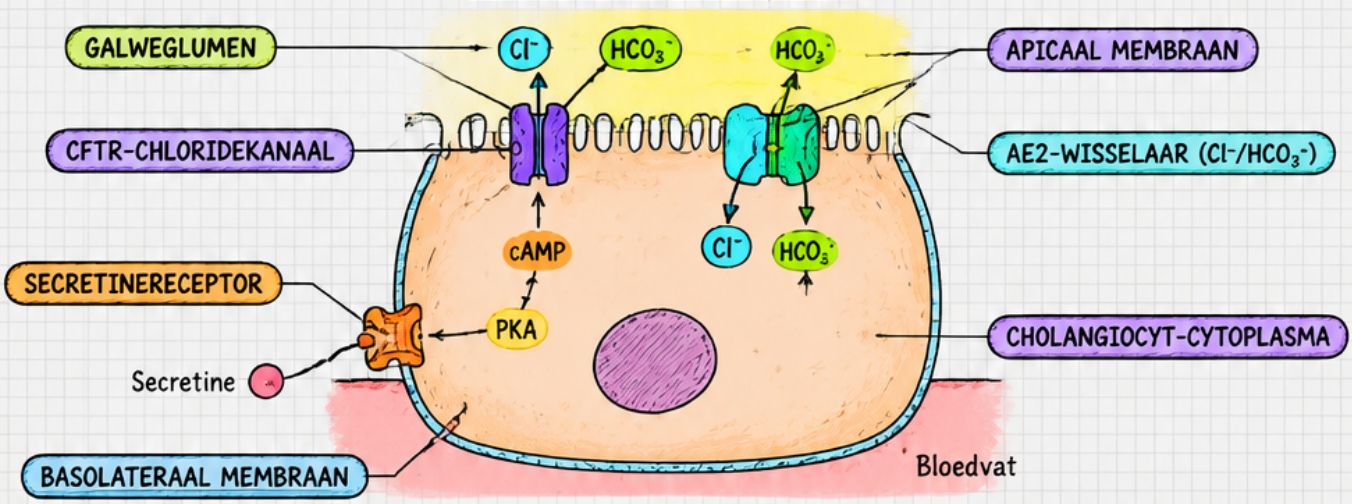
Is er sprake van een slikgeïnduceerde relaxatie of een TLESR?

- **Voorafgegaan door pharyngeale slikreflex met gecoördineerde peristaltiek** → **Classificeer als fysiologische slikrelaxatie gemedieerd door vagale NO/VIP-vrijgave ter geleiding van de voedselbrok.**
- **Geïnduceerd door maagdistensie zonder pharyngeale slikactie, duur > 10 secondon** → **Classificeer als TLESR via vago-vagale hersenstambaan met co-inhibitie van het crus diafragmatatis.**

Deze informatie is uitsluitend bedeeld voor educatieve doeleinden en vervangt geen professionnel medisch advies.

BILIAIRE BICARBONAATSECRETIE

door Cholangiocyten



Mechanisme van Biliaire Bicarbonaatsecretie

Cholangiocyten bekleden de galwegen en modificeren de primaire gal via secretie van water en elektrolyten. Onder invloed van secretine stimuleren deze cellen de uitscheiding van bicarbonaat (HCO_3^-), wat de gal alkaliseert, verdunt en de epitheelwand behoedt voor beschadiging door geconcentereerde galzuren.

- Secretine bindt aan basolaterale receptoren en verhoogt intracellulair cAMP.
- PKA activeert het apicale CFTR-chloridekanaal voor chloride-uitstroom naar het lumen.
- De apicale anionenwisselaar AE2 pompt chloride terug de cel in in ruil voor bicarbonaat naar het galweglumen.
- Natrium en water volgen paracellulair en via aquaporines, wat zorgt voor spoeling en verdunning van de gal.

Educatieve Disclaimer
Dit leermateriaal dient uitsluitend voor anatomische en fysiologische scholing en vormt geen medisch adviee of diagnostische richttijn.

Stap-voor-stap Transportcascade in de Cholangiocyt

Volg de opeenvolgende stappen van signaaltransductie tot luminale alkalisering tijdens de spijsverteringsfase.

1. **Hormonale stimulatie via secretine**
   Secretine afgegeven door S-cellen in het duodenum bindt aan de basolaterale secretinereceptor van de cholangiocyt, wat leidt tot activatie van adenylaatcyclase en stijging van cyclisch AMP (cAMP).
2. **Apicale chloride-uitscheiding via CFTR**
   Verhoogd cAMP activeert proteinekinase A (PKA), die het CFTR-kanaal in het apicale membraan fosforyleert. Chloride (Cl^-) stroomt passief langs de elektrochemische gradiënt het galweglumen in.
3. **AnionenuitwisselIng via AE2**
   Het luminale chloride drijdt de chloride-bicarbonaat-antiporter (AE2) aan: chloride wordt heropgenomen in de cel terwijl bicarbonaat (HCO_3^-) in het galweglumen wordt gepompt.
4. **Paracellulaire hydratatie en boscherming**
   De ophoping van negatievee bicarbonaaitenen trekt natrium (Na^+) en water osmotisch aan via tight junctions, waardoor een alkalische bicarbonaatparaplu untstaat die membraanlipiden afschermt tegen cytotoxische galzuren.

Klinisch Fysiologische Beoordeling

Bepaal hoe fysiologische verstoringen van dit transportsysteem invloed hebben op de galwegepitheelintegriait.

Aandachtspunt CFTR-disfunctie
Bij verminderde werking van CFTR stagneert de chloride-recylling, waardoor de bicarbonaatsecretie daalt en gal indikt.

Is er sprake van een defect in CFTR of verminderde secretinestimulatie?

Normale CFTR-expressie en adequate secretinerespons
Handhaaf de standaard alkalische bicarbonaatparaplu; galzuren bliiven opgelost in micellen sonder epitheelbeschadiging.

Verminderde CFTR-geleiding of AE2-remming
Verlies van luminaal bicarbonaat leidt tot hyperomcentratie, verminderde vloeibaarheid en blootsslling van cholangiocyten aan toxische ongeconjugeerde galzuren.

Zelfstudie & Werkblad: Transporteiwitten Noteren

Vul de ontbrekende cellulaire transportcomponenten en ionenrichtingen in op basis van het bestudeerde mechanisme.

- Verifieer de richting van de ionenstromen (apicaal veruss basolatereal).
- Verbind elke receptor en kanaal met de bijbehorende ionen- of signaalstof.

Basolaterale receptor geactiveerd door duodenaal hormoon:

Secundaire boodschapper die PKA stimuleert:

Apicaal kanaal verantwoordelijk voor chloride-efflux:

Belangrijkste fysiologische functie van de bicarbonaatparaplu:

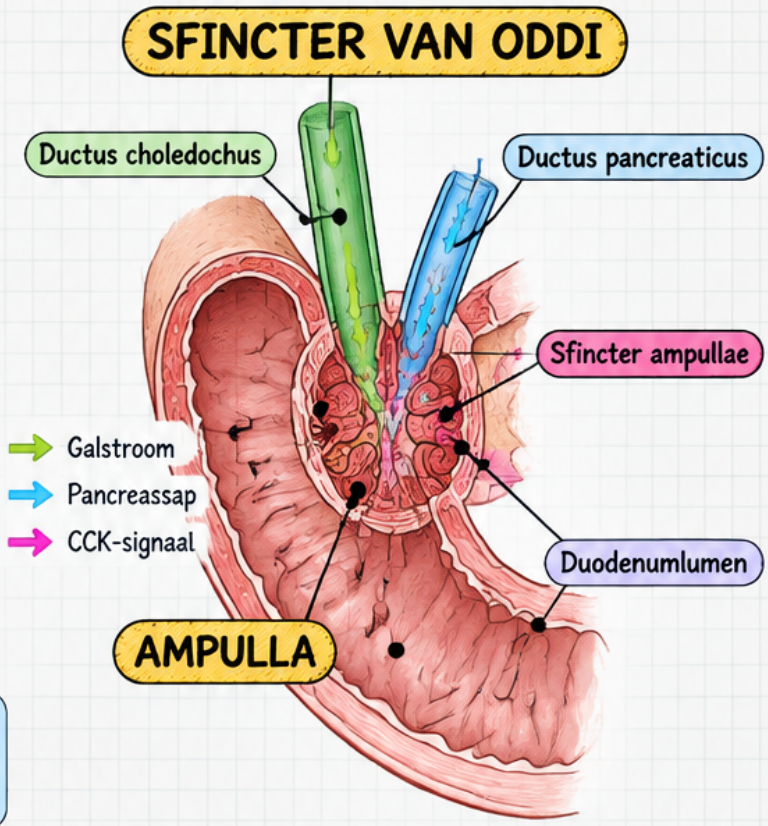
Dit leermateriaal dient uitsluitend voor anatomische en fysiologische scholing en vormt geen medisch advies of diagnostische richtlijn.

Fysiologie: Sfincter van Oddi en Ampulla van Vater

FUNCTIONELE ANATOMIE VAN DE DUODENALE UITMONDING

De vertering van vetten en eiwitten in het duodenum vereist een nauwkeurig gecoördierende toevoer van gal uit de lever en enzymrijk sap uit het pancreas. Deze vloeistoffen komen samen in de ampulla hepatopancreatica (ampulla van Vater) en stromen via de papilla duodeni major het darmlumen in. De sfincter van Oddi reguleert deze doorgang als een functionele klep met drie afzonderlijke musculaire zones: de sfincter van de ductus choledochus, de sfincter van de ductus pancreaticus en de gemenschappueljke sfincter ampullae.

- Ductus choledochus voert galvloeistof aan vanuit lever en galblaas voor emulsificatie van vetten.
- Ductus pancreaticus major (Wirsung) transporteert inactieve zymogenen en alkalisch bicarbonaatrijk vocht.
- Sfincter van Oddi voorkomt reflux van darminhoud en reguleert rustdruk om ongewenst galverlies te vermijden.



Medische en Educatieve Disclaimer

Dit leermiddel dient uitsluitend voor biologisch en anatomisch onderwijs en is geen medisch advies, diagnostisck instrument of klinische behandelrichtiijn.

NEURO-HORMONALE REGELKRING: NUCHTERE VERSUS POSTPRANDIALE TOESTAND

De evergang van de interdigestieve fase (nuchter) naar de digestieve fase wordt gestuurd door zowel endocriene signaalstoffen als het autonome en enterische zenuwstelsel.

- Cholecystokinine (CCK) bindt aan CCK-1-receptoren op vagale afferenten en gladde spiercellen: stimuleert galblaascontractie en induceert relaxatie van de sfincter van Oddi via enterische NO- en VIP-neuronen.
- Secretine stimuleert primair de ductale bicarbonaatsecretie in het pancreas bij een lage pH in het duodenum.
- Sympathische prikkeling verhoogt de sfinctertonus tijdens nuchtere rustperiodes om gal op te slaan in de galblaas.

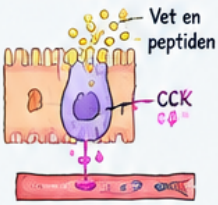
Kritisch Fysiologisch Mechanisme

Tijdens de interdigestieve fase vertoont de sfincter van Oddi fasische contractiegolven die synchroon lopen met fase III van het Migrerend Motorisch Complex (MMC).

STAPPEN

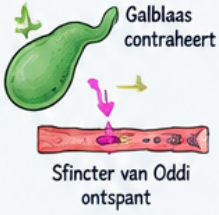
1 Detectie van Vet en Peptiden

Entero-endocriene I-cellen in het slijmvlies van duodenum en jejunum registreren vrije vetzuren en peptiden in de maagchyme en scheiden cholecystokinine (CCK) uit in de bloedbaan.



2 Coördinatie van Spiercontractie en Relaxatie

CCK veroorazlest gelijktjidige contractie van het gladde spierweefsel van de galblaaswand. en remming van de rusttonus van de sfincter van Oddi via remmende niet-adrenerge niet-cholinerge (NANC) zenuwvezels.



3 Synchrone Instroom in het Duodenum

De sfincter ampullae opent terwijl een duodenale relaxatiegolf passeert, waardoor gal en bicarbonaatrijk pancreassap pulserend in het darmlumen terechtkomen.



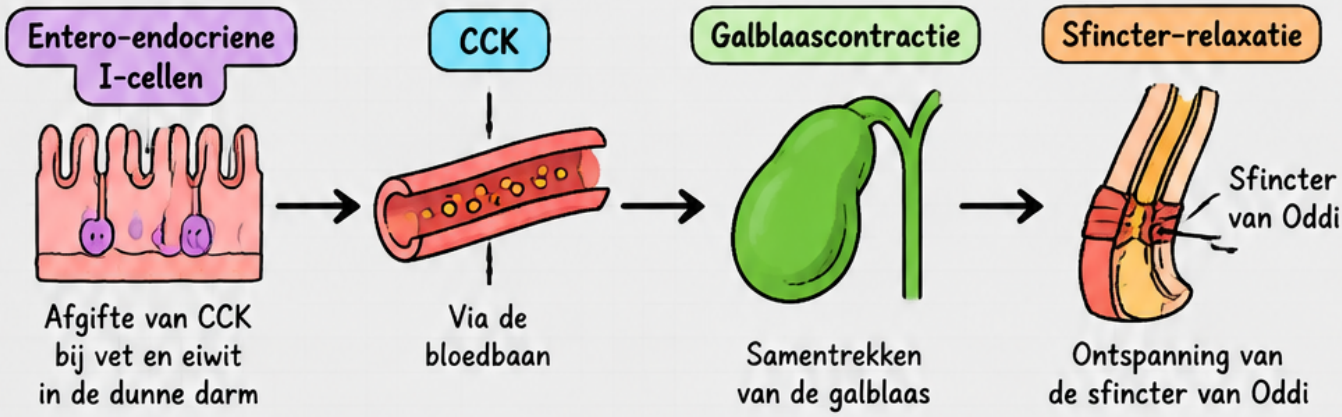
Welke stimulus domineert op het niveau van het duodenum?

Aanwezigheid van vetrijke chyme en lage duodenale pH	CCK en secretine pieken: galblaas contraheert, sfincter van Oddi ontspant, bicarbonaat neutraliseert het zuur.
Interdigestieve nuchtere toestand	Hoge basale sfinctertonus sluit de ampulla af; gal stroomt retrograad via de ductus cysticus naar de galblaas voor indikking.

Dit leermiddel dient uitsluitend voor biologisch en anatomisch onderwijs en is geen medisch advies, diagnostisch instrument of klinische behandelrichtiijn.

WERKBLAD EN FUNCTIEANALYSE

STROOMDIAGRAM: SFINCTERDYNAMIEK



Zelfstudie Werkblad: Analyse van Sfincterdynamiek

Gebruik dit werkblad om de wisselwerking tussen autonome reflexen, hormonen en drukgradiënten bij een fysiologisch casusscenario in kaart te brengen.

- [ ] Verifieer de richting van de drukgradiënt tussen ductus choledochus (normaal 10–15 mmHg) en duodenumen (0–5 mmHg).
- [ ] Controleer het effect van parasympathische stimulatie via de nervus vagus op de galstroom.

Beschrijf de verandering in sfincterdruk na afgifte van CCK:

Wat gebeurt er met de galblaasdruk tijdens dezelfde fase?

Gevolg voor de pancreasafgifte bij verhoogde duodenale zuurgraad:

Dit werkblad is uitsluitend bedeeld voor educatieve doeleinden.

CEREBROVASCULAIRE REACTIVITEIT

1 Cerebrovasculaire CO2-Reactiviteit & Lokale pH-Sturing

De cerebrale doorbloeding (CBF) vereist een uitrest fijnmazige lokale controle om de intracraniële perfusiedruk en zuurstof-voorziening stabiel to houden. Veranderingen in de arteriële koolstofdioxidespanning (pCO_2) vormen de krachtigste fysiologische prikkel voor cerebrale arteriolaire diamaterregulatie. Koolstofdioxide diffundeert rrij over de bloed-hersenbarriére, waar het in de perivasculaire extracellulaire vloeistof hydrateert tot koolzuur en dissociert in protonen (H^+) en bicarbonaat (HCO_3^-). De resulterende daling van de perivasculaire pH bëinveledt direct kalium- en calciumkanalen in de vasculaire gladde spiercellen, wat leidt tot vaatverwijding of vaatvernauwing.

- **Vrije diffusie:** Ongeladen CO_2 passeert snel het endotheel en de bloed-hersenbarriére, terwijl geladen ionen (H^+ en HCO_3^-) veel trager diffunderen.
- **Lokale acidose en vasodilatatie:** Toename van pCO_2 leidt via protonenvorming tot membraanhyperpolarisatie van gladde spiercellen en cerebrale vasodilatatie.
- **Lokale alkalose en vasoconstrictie:** Afname van pCO_2 (hypocapnie) verlaagt de protonenconcentratie, verhoogt de vasculaire tonus en vernauwt het lumen.
- **Buffercompensatie:** Chronische verschivringen in pCO_2 worden na uren tot dagen extracellulair gecompenseerd door activee bicarbonaatuitwisseling.

Educatieve Medische Disclaimer

Deze illustratie en toelichting zijn uisliustend bestemd voor educatieve en fysiologjashe studiedoeleinden. Het materiaal vormt geen klinische diagnostiek, behandeladvies of richtlijn voor patiëntezorg. Raadpleeg bij klinische vraagstukken altijd een bevoegd arts of spesialist.

2 Fysiologische Signalketen van Vaatwandrespons

De vertaling van een veranderde systemische ventilatiestatus naar een functionele verandering van de cerebrale vaatdiameter volgt een strak mechanisitsch stappenplan op arteriolair niveua.

Stap 1: Verandering van Arteriële pCO_2

Hypercapnie (stijging van arteriële pCO_2) of hypocapnie (daling van arteriële pCO_2 door hyperventilatie) creëert een concentratiegradiënt tussen het intravasculaire lumen en het perivasculaire hersenparenchym.

Stap 2: Transendothelialle Diffusie

CO_2-moleculen diffunderen passief over het vasculaire endotheel naar de Virchow-Robin-ruimte en de interstitiële vloeistof vondóm de arteriolaire gladde spiercellen.

Stap 3: Hydratatiereactie en Protonenvrijgave

Onder invloed van koolzuuranhydrase hydrateert CO_2 tot H_2CO_2, dat snel dissocieert in H^+ en HCO_3^-, waardoar de lokale perivasculaire pH direct verandert.

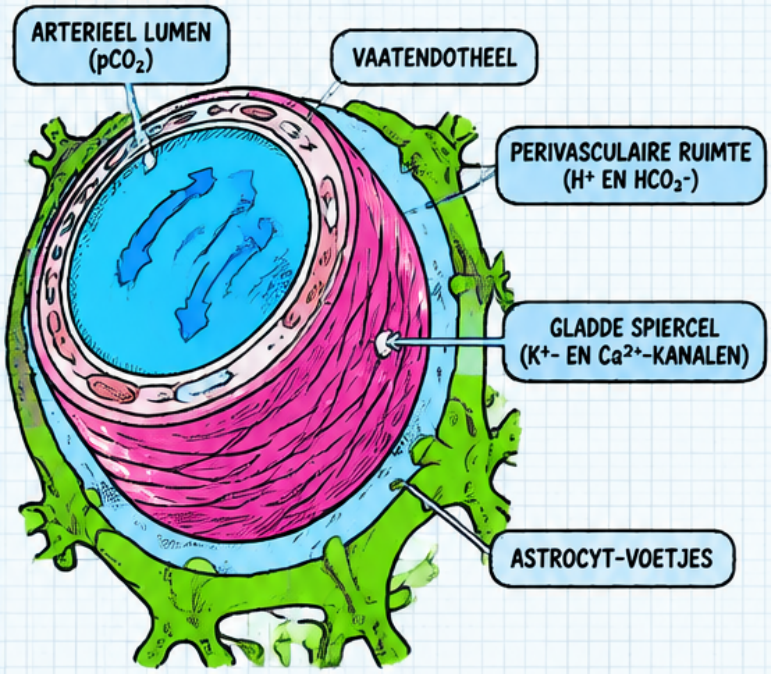
Stap 4: Modulatie van Spiercelkanalen

Een verlaagde pH activeert ATP-gevoelige en calcium-geactiveerde kaliumkanalen (K_{ATP} en K_{Ca}). De resulterende kaliumuitstroom hyperpolariseert het plasmamembraan van de gladde spiercel.

Stap 5: Diameterverandering en Perfusieaanpassing

Membraanhyperpolarisatie sluit spanningsafhankelijde L-type calcium-kanalen, waardoar de intracellulaire vrije calciumconcentratie daalt, myosine-lichte-keten-kinase deactiveert en arteriële dilatatie optreedt.

$$CO_2 + H_2O \rightleftarrows H_2CO_2 \rightleftarrows H^+ + HCO_2^-$$



3 Fysiologische Beslisboom: Cerebrovasculaire Reactiviteit bij Ventilatieverandering

Gebruik dit beslissingskader om de acute cerebrovasculaire reactie te voorspellen bij wisselende arteriële pCO_2-waarden onder constante cerebrale perfusiedruk.

Welke acute verandering treedt op in de arteriële pCO_2 (normaalwaarde ca. 35–45 mmHg)?

Arteriële pCO_2 stijgt > 45 mmHg (Acute Hypercapnie / (Hypoventilatie)	Arteriële pCO_2 daalt < 35 mmHg (Acute Hypocapnie / Hyperventilatie)	Arteriële pCO_2 bevindt zich hinnen de fysiologische bandbreedte (35 - 45 mmHg)
Lokale perivasculaire pH daalt. Kaliumkanalen openen en calciuminstroon daalt, leidend tot cereëbrale vasodllatatie, verlaagde cerebrovasculaire weerstand (CVR) en verhoogde cerebrale bloedstroom (CBF).	Lokale perivasculaire pH stijgt. Depolarisatie van gladde spiercellen stimuleert calciuminstroom, resulterend in cerebrale vasoconstrictie, verhoogde CVR, gedaalde CBF en verlaagd intracranieel bloedvolume.	Basale cerebrovasculaire tonus blijft gehandhaafd met stabiele perfusie van het hersenweefsel gevorm de metabole autoregulatie.

4 Zelfstudie & Analysekader: Cerebrovasculaire Dynamiek

Documenteer de waargenomen of theoretische fysiologische respons voor een gesimuleerde casus of studievraagstuk.

Studietip: pH versus CO_2

Veranderingen in systemische pCO_2 bëinvoleeen de cerebrale diameter sneller dan een systemische metabole acidose, ondat H^+ niet driect door de bloed-hersenbarriére dringt, maar gasvormig CO_2 wel.

Casusbeschriiying en uitgangswaarden (arteriële pCO_2 en ademhalingspatroon):

Verwachte verandering in perivasculaire pH en ionenkanaalactivitéit:

Gevolgen voor arteriolaire diameter, cerebrale vaatweerstand en hersendoorbloeding:

Deze illustratie en teolichting zijn uitslústend bestemd voor educatieve en fysiologische studiedoeleinden. Het materiaal vormt geen klinische diagnostiek, behandeladviee of richtlijn voor patiëntenzorg. Raadpleeg bij kiinische vraagstukken altijd een bevoegd arts of specialist.

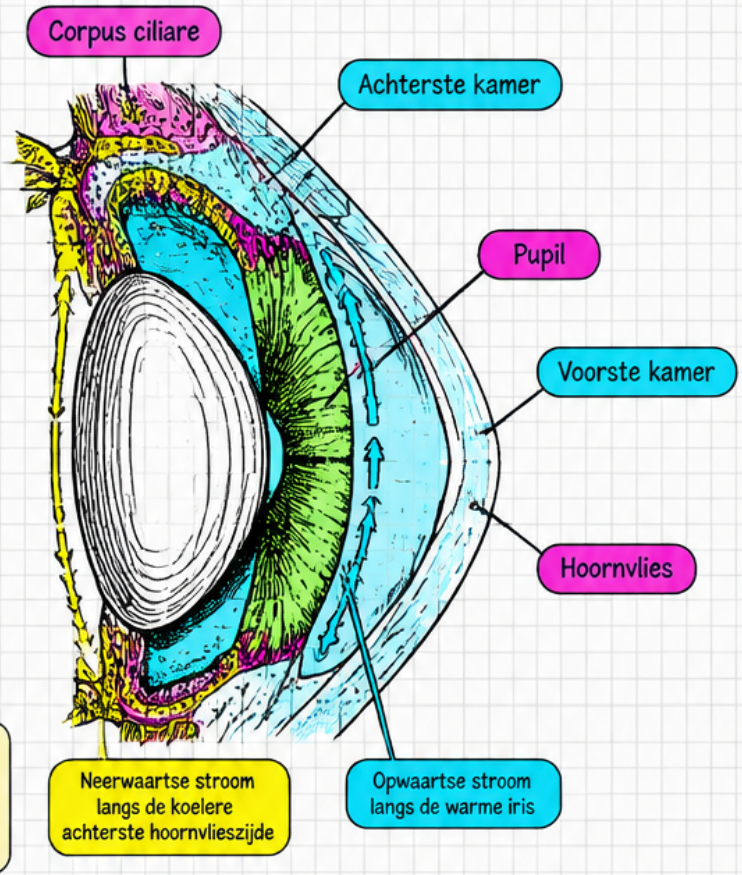
OCULAIRE FLUIDODYNAMIEK

Oculaire Fluïdodynamiek: Productie en Stroming

Fysiologie van het Kamervocht en Intraoculaire Druk

Kamervocht (humor aquosus) is een heldere vloeistof die continu circuleert in het voorste oogsegment. Het levert essentiële voedingsstoffen en zuurstof aan avasculaire structuren zoals de cornea en lens, verwijdert metabole afvalproducten en handhaaft de benodigde intraoculaire druk (IOP) voor de optische stabiliteit van de oogbol.

- **Productie**: Ongeveer 2 tot 2,5 microliter per minuut door het corpus ciliare.
- **Primaire afvoerroute**: Conventionele uitstroom via het trabekelsysteem naar het kanaal van Schlemm (ca. 70–90%).
- **Secundaire afvoerroute**: Uveosclerale uitstroom via de interstitiële ruimten van het corpus ciliare naar de supracoroidale ruimte (ca. 10–30%).
- **Drukregulatie**: Een dynamisch evenwicht tussen secretie en uitstroomweerstand handhaaft een fysiologische oogdruk van circa 10 tot 21 mmHg.



Educatieve Disclaimer
Dit materiaal is uitsluitend bedoeld voor educatieve doeleinden en studieondersteuning. Het vormt geen vervanging voor medisch advies, klinische diagnostiek of behandeling. Raadpleeg bij oogheelkundige klachten een oogarts.

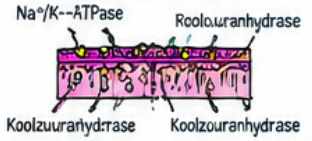
Actieve Secretie en Vochtcirculatie

De vorming van kamervocht vindt primair plaats via actieve secretie door het tweelagige epitheel van de processus ciliares. Door actief transport van ionen (voornamelijk natrium en bicarbonaat via Na^+/K^+-ATPase en koolzuuranhydrase) ontstaat een osmotische gradiënt die water aantrekt vanuit het stroma naar de achterste oogkamer.

- Actieve secretie vertegenwoordigt 80–90% van de totale vloeistofproductie en is anafhankelijk van de heersende intraoculaire druk.
- Ultrafiltratie en diffusie dragen passief bij op basis van hydrostatische en colloïd-osmotische drukverschillen in de fenestrated capillaren.
- Vanaf de processus ciliares stroomt het vocht via de spleet tussen lens en iris door de pupilopening naar de voorste oogkamer.

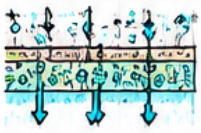
Enzymatische Sleutelrol
Het enzym koolzuuranhydrase katalyseert de vorming van bicarbonaatonen. Remming van dit enzym verlaagt de osmotische drijfkracht en reduceert zodoende de vloeistofproductie.

1 Stap 1: Actief transport in corpus ciliare



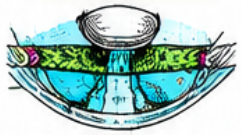
Na^+/K^+-ATPase pompen en koolzuuranhydrase genereren een ionengradiënt in het ongepigmenteerde ciliaire epitheel.

2 Stap 2: Osmotische waterverplaatsing



Water volgt de osmotische gradiënt transcellulair en paracellulair naar de achterste oogkamer.

3 Stap 3: Passage via pupillaire apertuur



Het gevormde kamervocht stroomt anterieur tussen het voorste lenskapsel en het irisblad door de pupil.

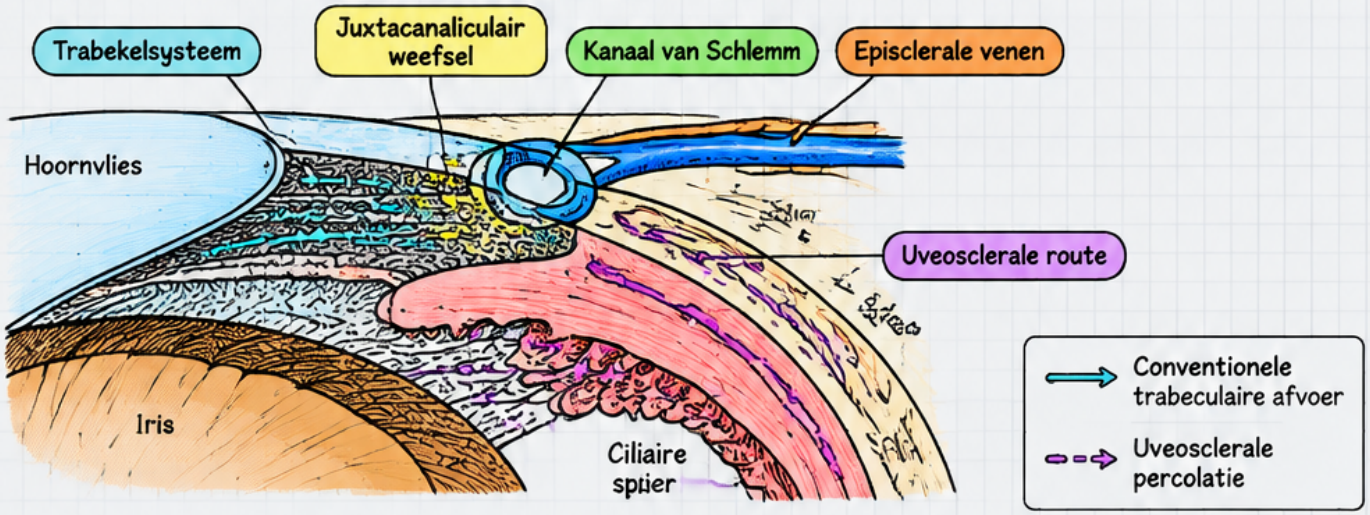
4 Stap 4: Convectie in de voorste oogkamer



Thermische gradiënten veroorzaken een opwaartse stroom langs de warme iris en neerwaartse stroom langs het koelere hoornvlies richting de iridocorneale hoek.

Educatieve Disclaimer
Dit materiaal is uitsluitend bedoeld voor educatieve doeleinden en studieondersteuning. Het vormt geen vervanging voor medisch advies, klinische diagnostiek of behandeling. Raadpleeg bij oogheelkundige klachten een oogarts.

KAMERHOEK & UITSTROOMWEGEN



KAMERVOCHTAFVOER EN DRUKREGULATIE

Afvoerroutes en Dynamische Weerstand

Het handhaven van een stabiele intraoculaire druk berust op een continue afvoer via de iridocorneale kamerhoek. De weerstand in de afvoerroutes bepaalt de hydrostatische druk in het oog.

- **Conventionele route:** Vocht passeert achtereenvolgens het uveale netwerk, corneosclerale netwerk en het juxtacanaliculaire weefsel (cribriform netwerk) alvorens het endotheel van het kanaal van Schlemm te doorkruisen.
- **Juxtacanaliculaire weerstand:** Het juxtacanaliculaire bindweefsel vormt de belangijkste weerstandszone voor vloeistofpassage.
- **Afvoer naar veneus stelsel:** Vanuit het kanaal van Schlemm draineren 25-30 collector-kanalen in de episclerale venen.
- **Uveosclerale route:** Onafhankelijk van trabeculaire weerstand sijpelt vocht door het stroma van het corpus ciliare naar de supracoroidale ruimte en verlaat het oog via de sclera.

Klinische Differentiatie
Toename van de uitstroomweerstand in het trabekelsysteem verhoogt de oogdruk en vormt een centraal pathofysiologisch kenmerk van open-kamerhoekglaucoom.

Welk afvoermechanisme domineert bij wisselende fysiologische oogdruk?

Fysiologische verhoging van de intraoculaire druk (IOP > 10 mmHg)

↓

Conventionele trabeculaire uitstroom neemt druk-afhankelijk lineair toe om het volumeoverschot via het kanaal van Schlemm af te voeren.

Uveosclerale niet-conventionele uitstroom

↓

Blijft nagenoeg druk-onafhankelijk bij fysiologische drukschommelingen en wordt primair gereguleerd door tonus van de musculus ciliaris.

Zelfevaluatie & Fysiologische Kenniskaart

Geleruik dit activve werkblad om de hydrodynamische principes van kamervochtproductie en -afvoer te verifiëren.

- Beschrijf de ionentransportmechanismen van het ongepigmenteerde ciliaire epitheel.
- Benoem de opeenvolgende weefsellagen van het trabekelsysteem.
- Leg het effect uit van episclerale veneuze druk op de totale intraoculaire druk.

Primaire actieve ionentransporters in processus ciliares:

Verschil tussen conventionele en uveosclerale drainage:

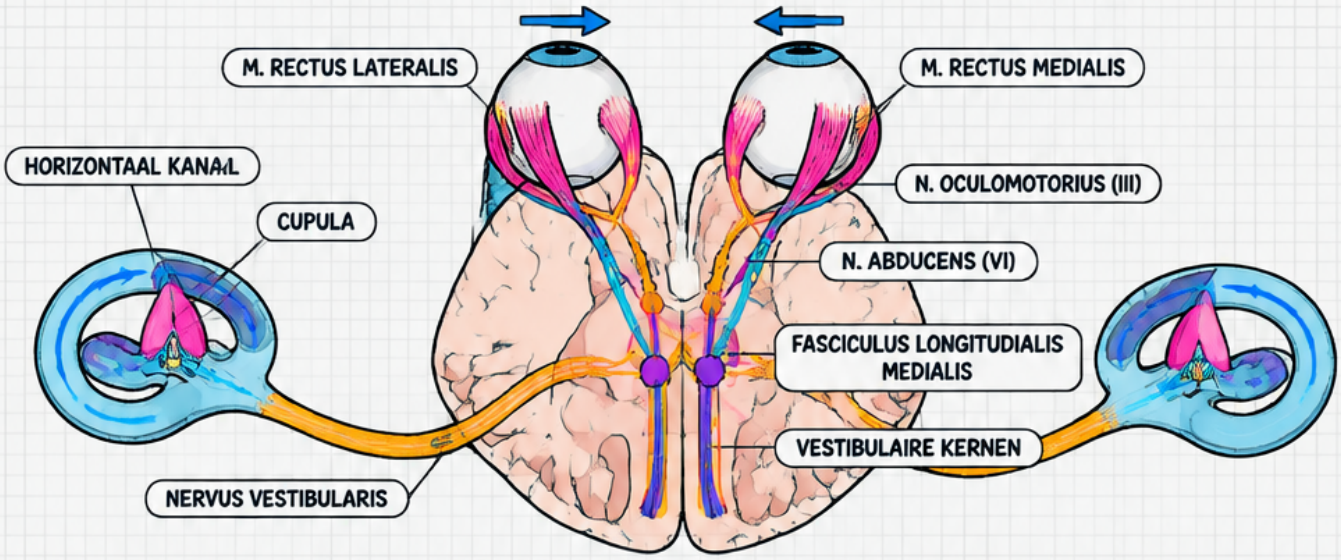
Anatomische locatie van de hoogste uitstroomweerstand:

Formule van Goldmann voor oogdrukregulatie (IOP = F/C + Pe):

Dit materiaal is uitsluitend bedoeld voor educatieve doeleinden en vervangt geen professioneel medisch advies.

VESTIBULO-OCULAIRE REFLEX

Vestibulo-oculaire Reflex: Neuraal Circuit & Fysiologje



Fysiologisch Mechanisme: Vestibulo-oculaire Reflex

De vestibulo-oculaire reflex (VOR) is een reflexmatige oogbeweging die beelden op de fovea centralis stabiliseert tijdens rotaties van het hoofd. Zodra het hoofd in een bepaalde richting draait, wekt het binnenoor een signaal op dat resulteert in een even snelle oogbeweging in exact de tegenovergestelde richting.

- **Sensatie:** Endolymfestroom in de halfcirkelvormige kanalen buigt de stereocilia van haarcellen in de cupula af.
- **Signaaloverdracht:** Nervus vestibulocochlearis (zenuw VIII) geleidt actiepotentialen direct naar de vestibulaire kernen in de medulla en pons.
- **Motorische uitstroom:** Excitatoire projecties via de fasciculus longitudinalis medialis (FLM) naar de contralaterale nervus abducens (VI) en ipsilaterale nervus oculomotorius (III).
- **Mechanisch effect:** Gelijktijdige contractie van de contralaterale musculus rectus lateralis en de ipsilaterale musculus rectus medialis met gelijktijdige inhibitie van de antagonisten.

Belangrijke Educatieve Disclaimer

Dit overzicht dient uitsluitend voor biomedisch onderwijs en fysiologische zelfstudie. Het vormt geen klinische diagnose, behandelrichtlijn of medisch advise. Fysiologische representaties zijn ontworpen volgens academische basismechanismen.

STAPPENPLAN

1 Hoekversnelling en Endolymfe-inertie

Bij een rotatie van het hoofd naar links beweegt het benige labyrint mee, wrijft de vloeistof (endolymfe) door traagheid achterblijdt. Dit buigt de cupula in het linker horizontale kanaal naar de utriculus toe (utriculopetale deflectie), wat depolarisatie van de haarcellen vorrorazasit.



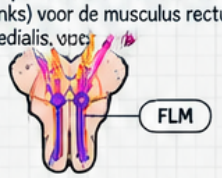
2 Primaire Afferente Geleiding

De verhoogde vuurfrequentie activeert de bipolaire neuronen van het ganglion vestibulare (Scarpa), welke via de vestibulaire tak van hersenzenuw VIII de mediale en superieure vestibulaire kernen in de hersenstam exciteren.



3 Hersenstam-kruising en Oogspieractivatie

Secundaire interneuronen kruisen via de fasciculus longitudinalis medialis (FLM) naar de contralaterale abducenskern (rechts) om de musculus rectus lateralis aan te spannen, en schakelen door naar de ipsilaterale oculomotoriuskern (links) voor de musculus rectus medialis, voor



4 Geconjugeerde Oogcompensatie

Beide ogen roteren synchroon naar rechts met een snelheid die gelijk is aan de rotatiesnelheid van het hoofd (gain = 1,0), waardoor het blikveld ononderbroken scherp op het netvlies geprojecteerd blijft.



Hoe reageert het VOR-circuit op een specifieke rotitierichting?

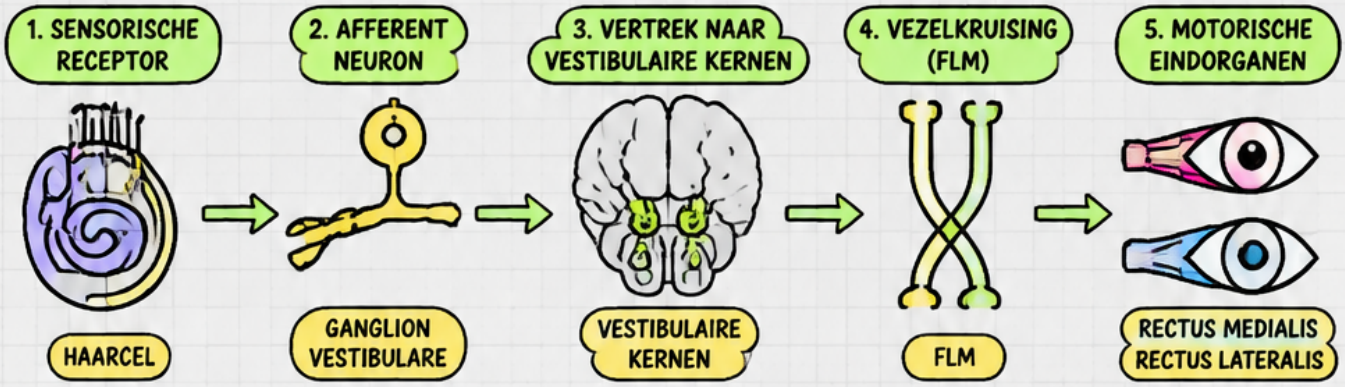
Hoofddraaiing naar links

- Depolarisatie linker horizontaal kanaal;
- excitatie rechter m. rectus lateralis en linker m. rectus medialis;
- beide ogen draaien met gelijke snelheid naar rechts.

Hoofddraaiing naar rechts

- Depolarisatie rechter horizontaal kanaal;
- excitatie linker m. rectus lateralis en rechter m. rectus medialis;
- beide ogen draaien met gelijke seelheid naar links.

CIRCUIT-ANALYSE EN FYSIOLOGISCHE WERKBLADEN



ANALYSE VOR-CIRCUIT

Zelfevaluatie en Circuit-Analyse

Gebruik deze controlelijst en het analyseveld om de componenten van de 3-neuronale reflexboog te memoriseren en de signaaloverdracht te valideren.

- [ ] Identificeer het afferente neuron (ganglion vestibulare naar vestibulaire kernen).
- [ ] Lokaliseer de vezelkruising door de fasciculus longitudinalis medialis (FLM).
- [ ] Benoem de motorische eindorganen (rectus medialis en rectus lateralis).

Aandachtspunt voor Studenten

Let op het verschil tussen willekeurige saccades (gestuurd door de frontale oogvelden) en de zuiver reflexmatige VOR-respons (aangestuurd vanuit het vestibulaire systeem).



WILLEKEURIGE SACCADES



VOR-RESPONS

Beschrijf het effect van een laesie in de linker fasciculus longitudinalis medialis (FLM) op de VOR bij rotatie naar rechts:

Berekening van de VOR-gain (verhouding oogsnelheid t.o.v. hoofdsnelheid bij normale fixatie):

Dit werkblad is uitsluitend bedoeld voor educatieve doeleinden.

SPIRAALARTERIE TRANSFORMATIE

Placentaire Vaattransformatie: Mechanisme en Fysiologie

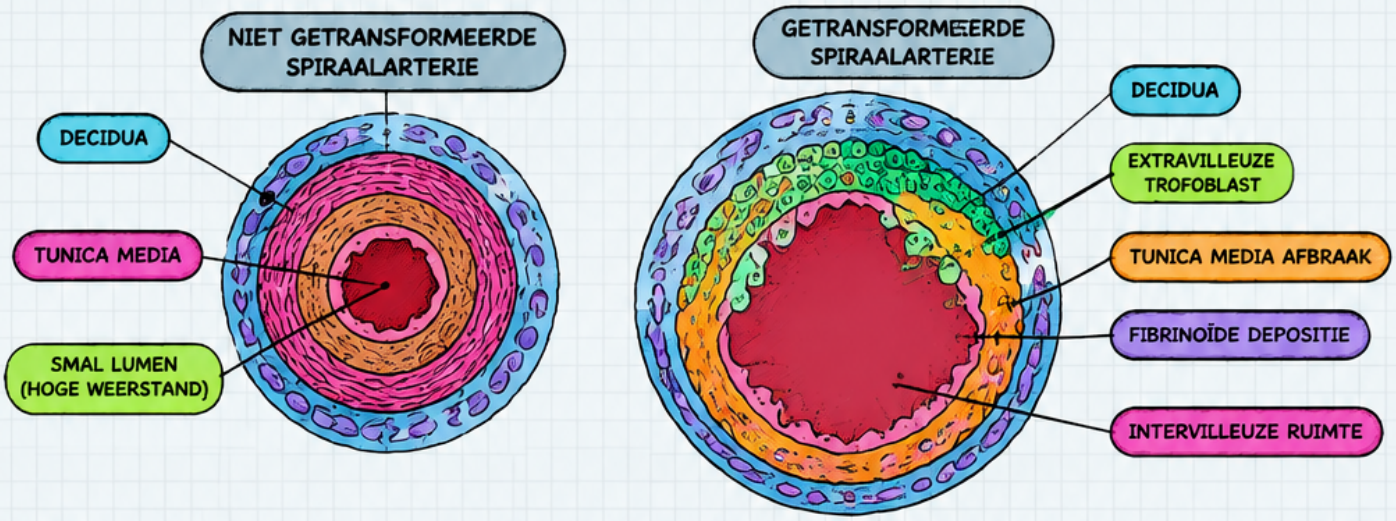
Uteroplacentaire Vasculaire Remodellering

Tijdens de vorege placentatie ondergaan de maternale spiraalarteriën in het deciduaal en myometriaal weefsel een diepgaande structurele transformatie. Dit fysiologische proces is essentieel om de foetoplacentaire eenheid te voorzien van een continue, adequate bloedstroom onder lage druk.

- Invasie van extravilleuze trofoblastcellen (EVT) vanuit de cytotrofoblastankervilli.
- Selectieve afbraak van de tunica media en interne elastische lamina.
- Conversie van vaten met hoge weerstand en laag debiet naar wijde kanalen met lage weerstand en hoog debiet.

Educatieve Disclaimer

Deze uitgave is uitsluitend bestemd voor educatieve en informatieve doeleinden en vormt geen medisch advies, klinische richtlijn of vervanging voor professionele diagnostiek.

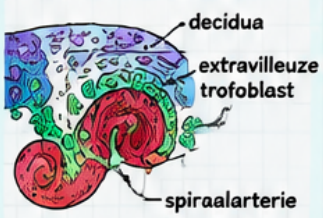


Fasen van de Spiraalarterietransformatie

De structurele ombouw verloopt via nauw gecoördineerde cellulaire stappen die zorgen voor de noodzakelijke vaatverwijding zonder actieve maternale vaattonusregulatie.

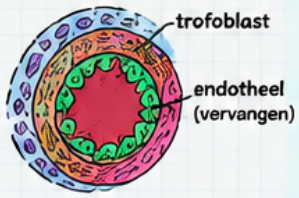
- Migratie van endovasculaire trofoblastcellen tegen de arteriële stroomrichting in.
- Vervanging van de maternale endotheellaag door trofoblastbekleding.
- Depositie van fibrinoïd materiaal in de vaatwand ter vervanging van glad spierweefsel.

1 Trofoblastuitgroei en Deciduale Invasie



Extravilleuze cytotrofoblasten maken zich los van de chorionvlokken en migreren interstitieel de decidua binnen om contact te leggen met distale spiraalarteriën.

2 Endovasculaire Migratie en Endotheelvervanging



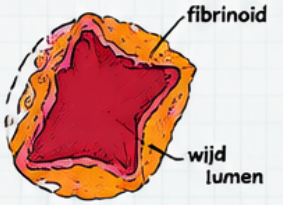
Endovasculaire trofoblasten dringen de lumina van de spiraalarteriën binnen, hechten zich aan de endotheelwand en induceren apoptose bij endotheelcellen.

3 Degradatie van de Tunica Media



Extracellulaire matrix metalloproteïnasen breken de gladde spiercellen en elastinevezels van de tunica media af, waardoor de vasculaire reactiviteit verdwijnt.

4 Fibrinoïde Depositie en Luminale Verwijding



De vaatwand wordt vervangen door amorf fibrinoïd materiaal. Het vat transformeert tot een wijd, star trechtervormig kanaal dat een ononderbroken bloedtoevoer garandeert.

Deze uitgave is uitsluitend bestemd voor educatieve en informatieve doeleinden en vormt geen medisch advies, klinische richtlijn of vervanging voor professionele diagnostiek.

HEMODYNAMISCHE STATUS EVALUATIE

Klinische Differentiatie en Evaluatie

Beooreed de fysiologische adaptatie en de functionele gevolgen bij incomplete vaatwandombouw.

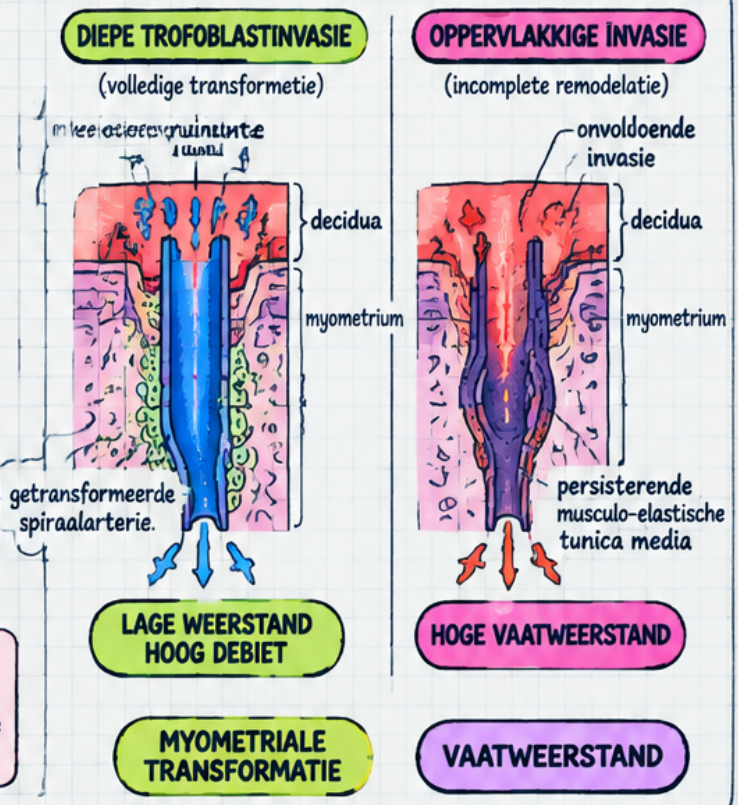
Fysiologisch Risicomechanisme

Onvolledige invasie tot enkel de decidua resulteert in het behoud van myometriale vaattonus, wat kan leiden tot pulsatiele schadestromen in de intervilleuze ruimte.

Is de trofoblastinvasie doorgetrokken tot in het binnenste derde deel van het myometrium?

Ja: Volledige fysiologische transformatie bereikt
Vaten vertonen lage weerstand, hoog debiet en afwezige contractiliteit; optimale perfusie van de intervilleuze ruimte gegarandeerd.

Nee: Incomplete of oppervlakkige remodelatie
Persisterende musculo-elastische tunica media vororassakt hoge vaatweerstand en verhoogt het risico op ischemie-reprfusieschade en placentaire insufficiëntie.



Zelfevaluatie & Structuurherkenning

Geberuik dit actieve werkblad om de belangrijkste cellulaire componenten en hemodynamische parameters van de fysiologische transitie vast te leggen.

1. Beschrijf het effect van elastineloss op de bloedstroomsnelheid in de intervilleuze ruimte:

2. Noteer de twee enzymatische mechanismen waamree trofoblasten de basale membraan doordringen:

3. Verschil in vaatdiameter (ongereorganiseerde spiraalarterie vs. getransformeerde arterie):

Deze informatie is uitsluitend bedoeld voor educatieve doeleinden en vervangt geen professioneel medisch advies.

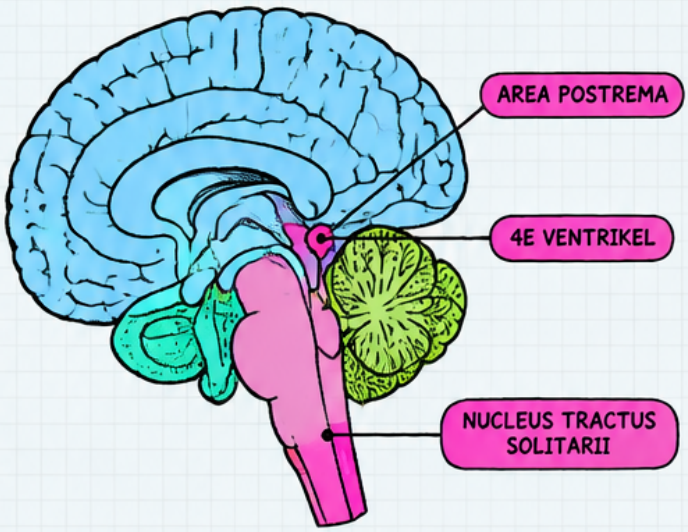
NEURALE REGULATIE VAN BRAKEN EN DE AREA POSTREMA

NEURALE REGULATIE VAN BRAKEN: OVERZICHT & DISCLAIMER

De emetische reflex (braken) is een beschermend fysiologisch mechanisme ontworpen om toxische stoffen krachtig via de mond uit de maag en het bovenste darmstelsel te verwijderen. Dit process wordt centraal gecoördineard in de medulla oblongata via samenwerking tussen de chemoreceptortriggerzone (CTZ) en het braakcentrum.

- **Area Postrema:** gelegen op de bodem van de vierde ventrikel, gekenmerkt door een permeabele bloed-hersenbarrière waardoor circulerende toxines direct gedetecteerd worden.
- **Nucleus Tractus Solitarii (NTS) en Braakcentrum:** integreren afferente signalen uit het maag-darmkanaal (via de nervus vagus) en het vestibulaire systeem.
- **Somatiche en viscerale effectoren:** gecoördineerde retroperistaltiek, relaxatie van die onderste oesofageale sfincter en karchtige gelijktijdige contractie van het diafragma en de abdominale wand.

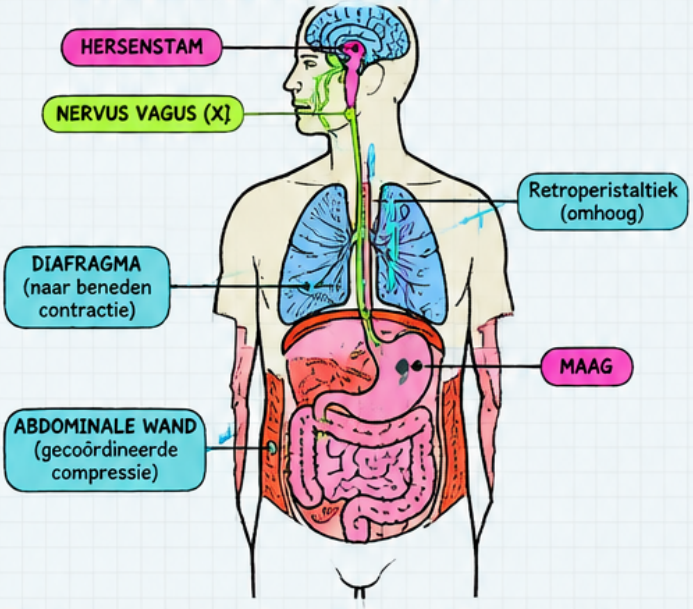
Medische & Educatieve Disclaimer
Dit overzicht dient uitsluitend voor anatomisch en fysiologisch onderwijs. Het is geen medisch advies, klinische diagnose of behandelrichtlijn.



Sagittale doorsnede van de hersenstam (met medulla oblongata)

DE FYSIOLOGISCHE EMETISCHE REFLEXBOOG IN 4 FASEN

Het deadwerkelijke uitdrijven van maaginhoud vereist een naawckerig gesequentieerde reeks autonome en motorische acties.



1 PRIKKELDETECTIE EN AFFERENTE INPUT
Toxines in het bloed prikkelen chemoreceptoren in de area postrema; mechanische rek of irritatie van het darmslijmvlies activeert 5-HT3-receptoren op vagale zenuwuiteinden.

2 CENTRALE INTEGRATIE IN MEDULLA OBLONGATA
De signalen komen samen in het braakcentrum en de nucleus tractus solitarii, waar autonome voorbereidingen (speekselvlood, bleekheid, tachycardie) in gang worden gezet.

3 VOORBEREIDENDE FASEN (KOKHALSREFLEX & RETROPERISTALTIEK)
Omgekeerde peristaltiek transporttert darminhoud vanuit het jejunum terug naar de maag: de maagfundus en de onderste slokdarmsfincter relaxeren volledig.

4 EXPULSIE VIA GECOÖRDINEERDE SPIERCONTRACTIE
De glottis sluit ter aspiratiepreventie, een plotse, krachtige contractie van het diafragma en de buikspieren verhoogt de intra-abdominale druk en perst de inhoud door de slokdarm naar buiten.

DIFFERENTIATIE VAN EMETOGENE TRIGGERS

Gebruik onderstaande beslisstructur om te analyseren via welke neurale baan een specifieke braakprikkel het centrale zenuwstelsel bereikt.

Wat is de primare orrsprong van de emetische prikkel?

Systemische toxines, cytotoxische stoffen of circulerende farmaca in het bloed	Wagenziekte, beweging of vestibulaire asymmetrie	Overmatige maagdistensie, irritatie of entero-toxische infectie in be darmwand	Emotionele stress, angst, visuele walging of intracraniële drukverhoging
Route via de Chemoreceptortriggerzone (CTZ) in de Area Postrema (venster sonder intacte bloed-hersenbarrierie).	Route via het binnenoor en evenwichtsorgaan langs de nervus vestibuocochlearis (VIII) naar het cerebellum. en het braakcentrum.	Route via viscerale afferente vezels van de Nerves Vagus (X) rechttrestes naar de Nucleus Tractus Solitarii.	Route aunuit hogere corticale en limbische centra direct projecterend op het medulaire braakcentrum.

ZELFSTUDIE & WERKBLAD: FYSIOLOGISCHE ANALSE

Vul de ontbrekende neurale schakels en fysiologische parameters in ter verankering van de mechanisme.

Primaire neurotransmitters werkzeam in de CTZ (bijv. dopomine D2, serotonine 5-HT3, neurokinine NK1):

Beschrijf de rol en toostant van de glottis en het zachte verhemelte tijdens daadwerkelijke expulsie:

Waarom is de afwezigheid van een dichte bloed-hersenbarrière in de area postrema functioneel noodzakelijk?

Dit overzicht dient uitsluitend voor anatomisch en fysiologisch onderwijs. Het is geen medisch advies, klinische diagnose of behandelrichtlijn.

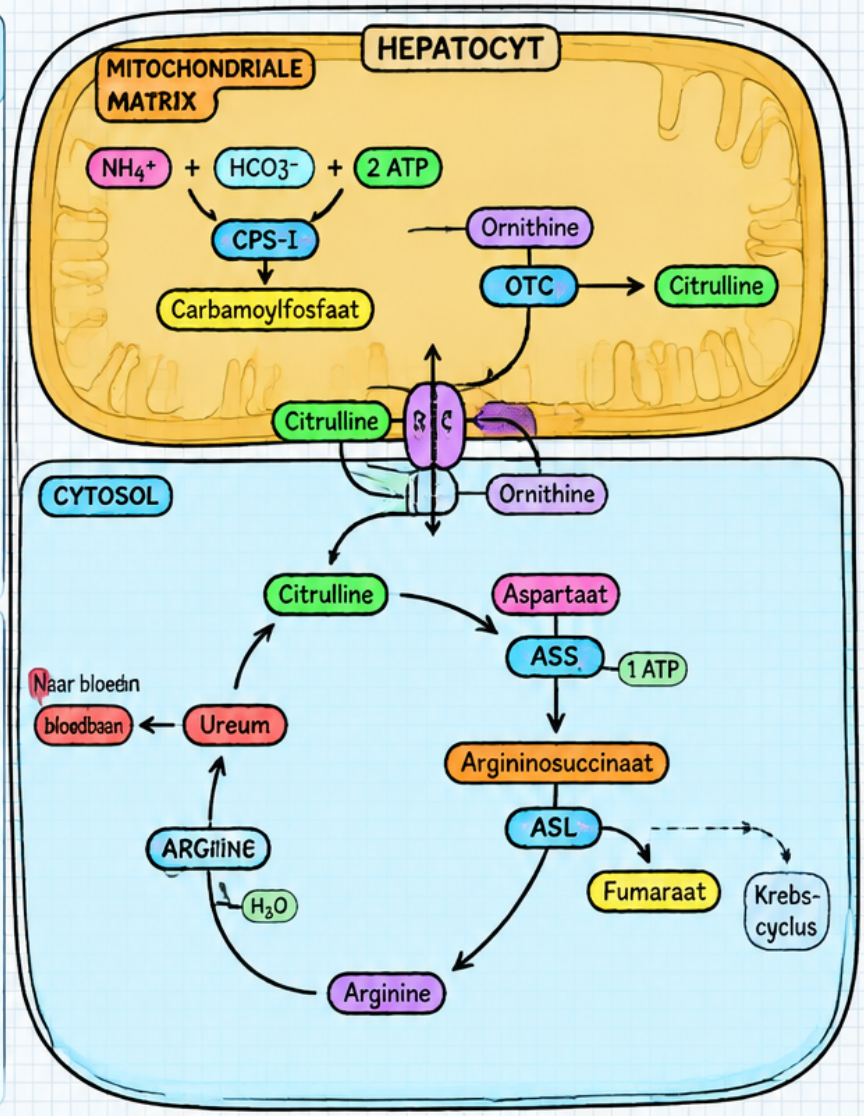
UREUMCYCLUS IN DE HEPATOCYT

Ureumcyclus & Hepatische Ammoniakontgifting: Mechanisme

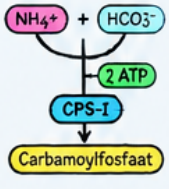
Hepatische Ureumcyclus en Ammoniakontgfiting

Tijdens de afbraak van aminozuren en door bacteriële processen in het darmkanaal ontstaat continu ammoniak ($NH3/NH_4^+$). Ammoniak is sterk neurotoxisch en verstoort de neuronale prikkeloverdracht en cellulaire energiehuishouding al bij minieme concentraties in de circulatie.
In de levercellen (periportale hepatocyten) wordt deze giftige verbinding via de **ureumcyclus** (ornithinecyclus) omgezet in ureum. Dit neutrale, wateroplosbare molecuul kan veilig via de bloedbaan naar de nieren worden getransporteerd voor renale uitscheiding.

- **Compartimentering:** Reactie 1 en 2 vinden plaats in de mitochondriale matrix; reactie 3, 4 en 5 in het cytosol van de hepatocyt.
- **Stikstofbronnen:** Het uiteindelijke ureummolecuul bevat twee aminogroepen; de eerste is afkomsitg van vrij ammoniak (NH_4^+), de tweede van aspartaat.
- **Energetische investering:** Er worden netto 3 moleculen ATP verbruikt (vier energerrijke fosfaatverbindingen) om één ureummolecuul te synthetiseren.
- **Koppeling met de citroenzuurcyclus:** Het vrijkomende **fumaraat** vormt de metabole "aspartaat-argininosuccinaat-shunt" naar de krebscyclus.

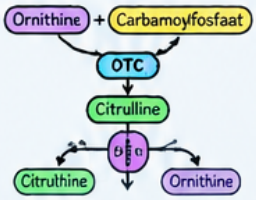


1 Stap 1: Vorming van carbamoylfosfaat (Mitochondrium)



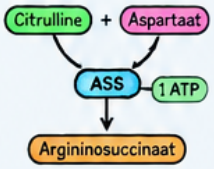
Katalysator: Carbamoylfosfaatsynthetase I (CPS-I). NH_4^+ reageert met bicarbonaat (HCO_3^-) en 2 ATP tot carbamoylfosfaat. Dit is de snelleidsbepelende reactie, obligaat gectiveeerd door N-acetylglutamaat (NAG).

2 Stap 2: Citrullinesynthese en export (Mitochondrium naar Cytosol)



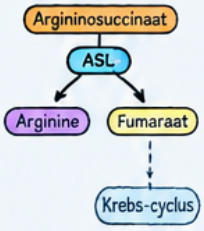
Katalysator: Ornithinetrans-carbamylase (OTC). De carbamoyl-groep wordt overeedragen pp ornithine, waardoor citrulline ontstaat. Citrulline verlaat het mitochondrium via een specifiek transporteiwit (ORNT1).

3 Stap 3: Condensatie tot argininosuccinaat (Cytosol)



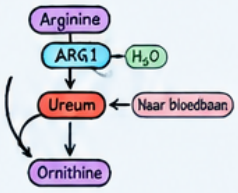
Katalysator: Argininosuccinaatsynthetase (ASS). Citrulline condenseert met aspartaat onder verbruik van 1 ATP (gesplitst in AMP en PPi). Hiermee wordt het tweede stikstofatoom in de cyclus ingebracht.

4 Stap 4: Splitsing yan argininosuccinaat (Cytosol)



Katalysstor: Argininosuccinaatlyase (ASL). Argininosuccinaat wordt gesplitst in arginine en fumaraat. Het fumaraat diffundeert door voor omzetting in malaat en instroom in de citroenzuurcyclus.

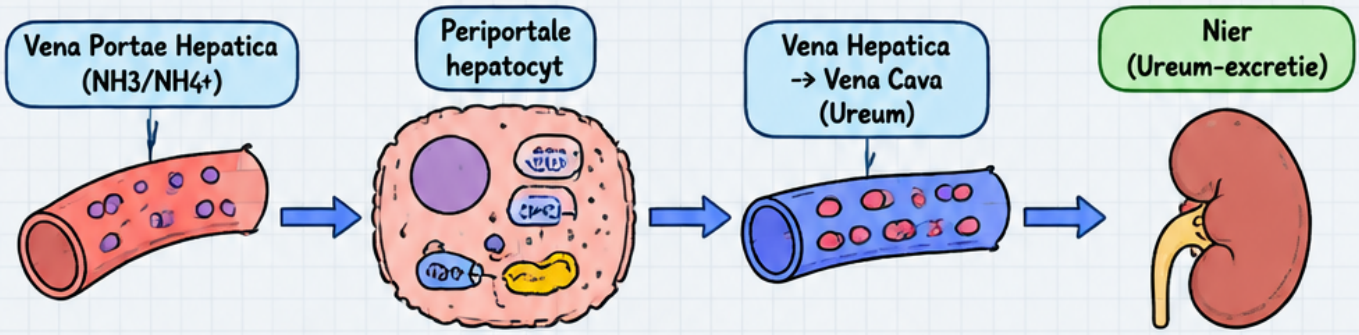
5 Stap 5: Hydrolyse tot ureum en regeneratie (Cytosol)



Katalysator: Arginase-1 (ARG1). Arginine wordt met water gehydrolyseerd tot ureum en ornithine. Het geregenereerde ornithine wordt door ORNT1 teruggevoerd naar het mitochondrium om een nieuwe cyclus te starten.

Educatieve Medische Disclaimer
Dit leermateriaal dient uitsluitend voor anatomisch en fysiologisch onderwijs en zelfstudie. Het vormt geen vervanging voor klinische diagnostiek, arts-patiëntrelaties of medisch advies. Fysiologische stappen dienen geëvalueerd te worden binnen het formele biochemiecurriculum.

Ureumcyclus: Zelfevaluatie en Klinische Fysiologie



ZELFEVALUATIE & FYSIOLOGISCHE METABOLE FLOW

Toets uw inzicht in de hepatische enzymcascade, stikstoftransporten en klinische fysiologische correlaties aan de hand van onderstaande beslisboom en actieve werkvelden.

Aandachtspunt: Hyperammoniëmie

Een genetisch defect in een van de cyclusenzymen (zoals OTC-deficiëntie) leidt tot acute ophoping van NH4+ in plasma. Dit veoorzaaakt hersenoedeem, lethargie en neurotoxische insulten door verstoring van astrocyten.

Noteer de rol en allosterische activator van Carbamoylfosfaatsynthetase I (CPS-I): ☐

Omschrijf de metabole route van vrijkomend fumaraat (de Krebs-aspartaatbrug): ☐

Wat is het klinische verschil tussen periportale en periveneuze ammoniakverwerking in het leverlobje? ☐

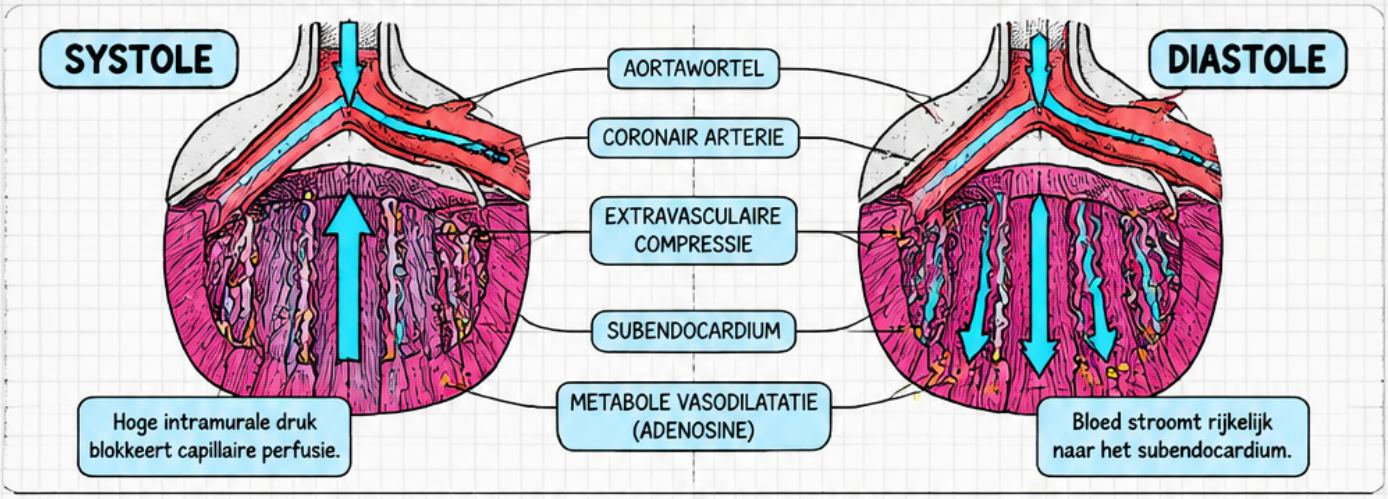
DIFFERENTIATIE BIJ HYPERAMMONIEMIE

Welk compartiment en enzymmechanisme is aangedaan bij een geconstateerde metabole stikstofophoping?

Verhoogde ammoniakspiegel met sterk verlaagde citrulline en afwezige orootzuuruitscheiding	Verhoogde ammoniakspiegel met sterk verlaagde citrulline en hoge orootzuuruitscheiding in urine	Verhoogde citrullinespiegel in bloedplasma met verlaagd arginine
Duidt op een primair mitochondriale blokkade bij CPS-I of tekot aan N-acetylglutamaatsynthese (NAGS).	Duidt op ornithinetrans-carbamylase (OTC)-deficiëntie; overtollig carbamoylfosfaat lekt naar het cytoplasma en voedt de pyrimidine-biosynthese tot orootzuur.	Cytosolaire blokkade bij argininosuccinaatsyn-thetase (Citrullinemie Type I). Monitor ammoniakspiegels en ondersteun met stikstofvangers en arginine-suppletie.
Bevestig enzymactiviteit in leverbiopt of moleculaire diagnostiek.	Controleer urinezuur (orootzuur) en bevestig met enzymactivitiet of moleculaire diagnostiek.	Start stikstofvangers en arginine-suppletie en monitor klinisch en biochemisch.

Deze informatie is bedoeld voor educatieve doeleinden en vervangt geen professioonel medisch advies.

CORONAIRDOORBLOEDING



CORONAIRDOORBLOEDING EN FASISCHE WEERSTANDSVERANDERINGEN

Fasische Coronaire Perfusie: Systole versus Diastole

De doorbloeding van het linker ventrikelmyocardium verschilt fundamenteel van de systemische orgaanperfusie. Waar de meeste weefsels maximale toevoer ervaren tijdens de systolische piekdruk, genereert de contractie van de linkerkamer een dermate hoge intramurale spanning dat de intramicrovasculaire vaten vrijwel volledig worden dichtgedrukt.

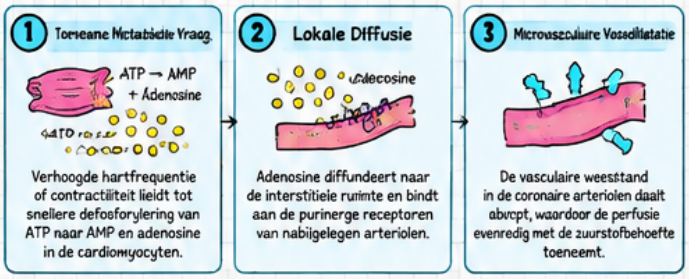
- **Extravasculaire compressie:** Tijdens de ventriculaire systole stijgt de intramurale weefseldruk tot boven de intracavitaire systolische aortadruk in de subendocardiale lagen.
- **Diastolische perfusie:** Zodra de aortaklep sluit en het ventrikel ontspant (isovolumetrische relaxatie), daalt de intramurale weerstand en stroomt ongeveer 80% van het coronairvolume door het linker myocard.
- **Rechter ventrikel:** Door de lagere systolische wandspanning (circa 25 mmHg) blijft de perfusie van het rechter myocard gedurende de gehele hartcyclus relatief continu.

Educatieve Disclaimer
Dit overzicht dient uitsluitend voor biomedisch en fysiologisch onderwijs. Het is geen klinische handleiding voor individuele diagnose of behandeling.

Mechanismen van Coronaire Autoregulatie

Het myocardium bezit een uitzonderlijk hoge rust-zuurstofextractie (65-75%). Een toegenomen metabole vraag dan daardoor uitsluitend worden opdayangen deor een evenerdige toename van de coronaire bloedstroom, geregluleerd via metabole en functionele mechanismen.

- **Metabole terugkoppeling:** Bij verhoogde hartarbeid of weefselhypoxie leidt de afbreak van ATP tot verhoogde extracellulaire concentraties adenosine.
- **Vaatverwijding:** Adenosine bindt aan A2A-receptoren op vasculaire gladde spiercellen, wat via cAMP-gemedieerde hyperpolarisatie leidt tot uitgesproken vasodilatatie.
- **Additionele mediatorer:** Lokale accumulatie van kaliumionen, lactaat, waterstofionen (pH-daling) en endotheliale stikstofmonoxide (NO) versterken de vaatverwijding.



Klinisch-Fysiologische Analysekader: Tachycardie en Perfusietijd

Onderzoek de invloed van veranderende hemodynamische parameters op de subendocardiale perfusiemarge met onderstaande beslisstructuur.

- **Hartfrequentie** bepaalt primair de duur van de diastole; bij hoge frequenties wordt de diastolische vultijd onevenredig verkort.
- De perfusiedrukgradiënt is gelijk aan de diastolische aortadruk minus de linker ventrikel einddiastolische druk (LVEDP).

Domeinreview en Fysiologische Validatie
De fasische drukcurves en autoregulatiore cascades representeren gevestigde cardiovasculaire fysiologie. Raadpleeg actuele specialistische literatuur voor kwantitatieve microcirculatiemodellen.

Welk fysiologisch effect domineert bij een acute stijging van de hartfrequentie?

Hartfrequentie stijgt van 70 naar 160 slagen/minuut → De diastolische vultijd neemt relatief sterker af dan de systolische ejectietijd; metabole vasodilatatie moet maximaal compenseren om ischemie te voorkomen.

↓

Verhoogde linker ventrikel einddiastolische druk (LVEDP) → De effectieve diastolische perfusiegradiënt daalt, waardoor vooral de subendocardiale microcirculatie vatbaar wordt voor hypoperfusie.

Werkblad: Kwantitatieve Fysiologie-Oefening

Noteer hieronder de geobserveerde hemodynamische variabelen en formuleer de verwachte respons van het microvasculaire bed.

- Verifieer de relatie tussen aortaklepmechanica en coronairflow.
- Benoem de rol van stikstofmonoxide versus adenosine tijdens inspanning.

Gemeten diastolische aortadruk (mmHg):

Geschatte linker ventrikel eindiastolische druk / LVEDP (mmHg):

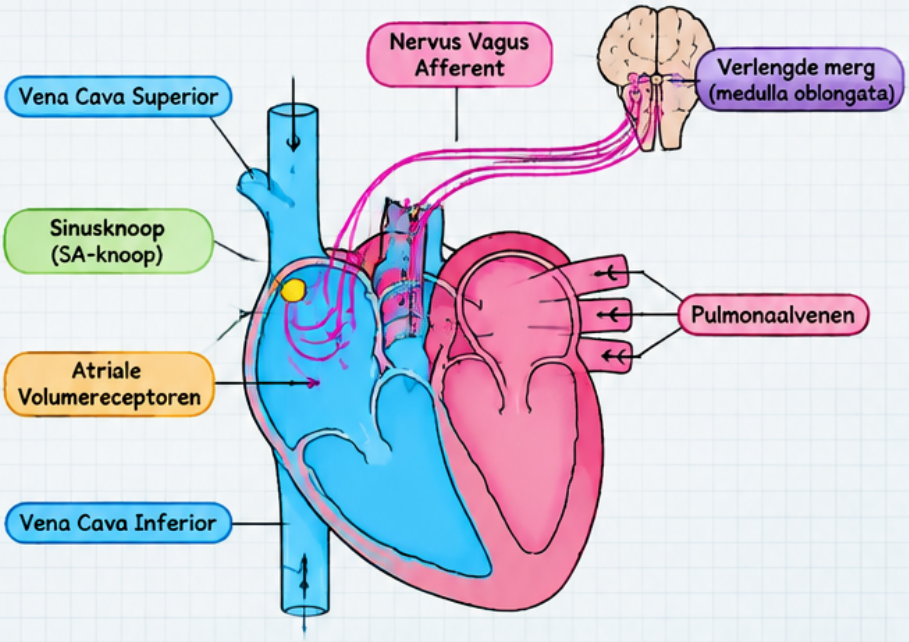
Berekende coronaire perfusiedruk (Aorta diastole - LVEDP):

Fysiologische analyse van de extravasculaire compressie bij de huidige hartfrequentie:

Dit overzicht dient uitsluitend voor biomedisch en fysiologisch onderwijs. Het is geen klinische handleiding voor individuele diagnose of behandeling.

BAINBRIDGE-REFLEX

Cardiopulmonale Receptoren en de Bainbridge-reflex



Fysiologisch Mechanisme: Volumeoverbelasting en Hartfrequentie

De cardiopulmonale volumereceptoren bevinden zich voornamelliy in de overgangszones tussen de grote holle aders (venae cavae), de longvenen en de beide boezems (atria). Deze laag-druk mechanoreceptoren reageren specifiek op veranderingen in het centrale bloedvolume en veneuze vulling.

- **Locatie:** subendocardiaal weefsel ter hoogte van de atriale wand en veno-atriale overgangen.
- **Afferente baan:** ongemyeliniseerde en dun gemyeliniseerde vezels binnen de nervus vagus (nervus X) richting de nucleus tractus solitarii (NTS) in het verlengde merg.
- **Primaire respons** bij acute veneuze stuwing: selectieve remming van de cardiale parasympathicus (vagale tonus) en stimulatie van sympathische efferenten naar de sinusknoop.
- **Fysiologisch doel:** versneld wegpompen van overtollig veneus bloed om congestie in het pulmonale vaatbed te voorkomen.

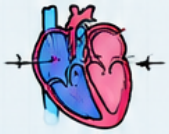
Fysiologische Afbakening: Bainbridge versus Arteriële Baroreflex

De Bainbridge-reflex verhoogt de hartslag bij een toename van het atriaal volume. Dit mechanisme staat fysiologisch in wisselwerking met de arteriële baroreflex (sinus caroticus/aortaboog), die bij een stijging van de arteriële bloeddruk juist leidt tot refletachycardie-remming (bradycardie. De uiteeinéillgke hartfrequentie weerspeigelt de balans tussen beide afferente signalen.

Reflexboog in 4 Opeenvolegende Fasen

Volg de stapsgewijze neurale en hemodynamische keten die optreedt wanneer het centrale veneuze bloedvolume plotseling stijgt.

1 Veneuze Instroom en Atriale Rekking



Een toename van het circulerend volume of een verhoogde veneuze terugvloed verhoogt de centrale veneuze druk (CVD) en rekt de atriale spierwand en veno-atriale juncties fysiek op.

2 Vagale Afferente Activatie



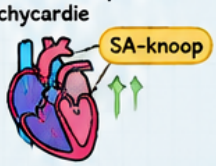
Mechanogevoelige type-B atriale rekingsreceptoren vuren actie-potentialen af met een verhoogde frequentie via afferente axonen van de nervus vagus naar de medulaire cardiovasculaire centra.

3 Centrale Integratie in het Verlengde Merg



In de nucleus tractus solitarii (NTS) leidt de afferente prikkeling tot een specifieke modulatie: lolvale inhibitie van het cardio-inhibitoire centrum en selectieve actvatie van sympathische efferenten naar het hart.

4 Efferente Respons en Tachycardie



Efferente sympathische stimulatie en wegval van parasympathische remming op de sinusknoop (SA-knoop) veoorzaken een verhoging van de hartfrequentie (positieve chronotropie), waardoor het slagvolume vaker per minuut wordt verplaatst.

Klinische Redeneeroefening & Zelfstudie-Evaluatie

Gebruik het onderssanade stroomschema en de actieve hehnneringsVeleins om het samenspel tussen veneuze vullingsdruk, atriale rek en compensatiemechanismen te teetsen.

Noteer de rol van afferente vezels van de Nervus Vagus bij de Bainbridge-reflex:

Wat is het hemodynamische risico wanneer de reflexmatige hartfrequentie-verhoging faalt bij acute volumeteename?

Educatieve Disclaimer
Dit leermatariaal is uilslistend bedeeld voor academische en educatieve deleliriden. Het vormt geen medisch handboek, diagnostisch hulpmiddel of klinisch behandleladvies.

Wat is de dominante respons bij een acute toename van het centraal veneus volume?

Rusthartslag is laag tot normaal en veneus volume stijgt plotseling:	→ Bainbridge-reflex domineert: sinusknoopactivitéit neemt toe om veneuze pooling en pulmonale overbelasting tegen te gaan.
Rusthartslag is reeds verhoogd en arteriële bloeddruk stijgt excessief:	→ Arteriële baroreceptoren in carotis en aorta domineren: negatieve chroootrope invloed tempert verdere stijging van de hartslag.

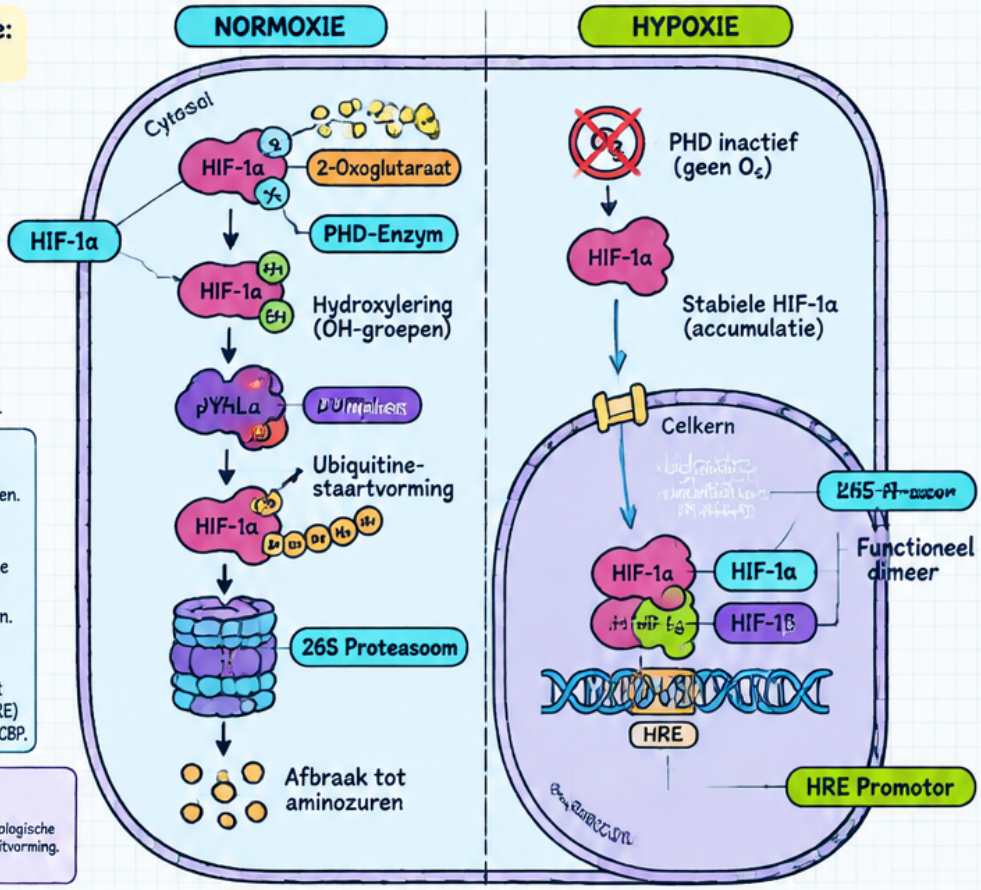
HIF-1 SIGNAALROUTE

HIF-1 Signaalroute & Moleculaire Zuurstofsensoriek

Cellulaire Zuurstofdetectie: De HIF-1 Signaalroute

Cellen bezitten een verfijnd moleculair mechanisme om te reageren op schommelingen in de zuurstofspanning (pO2). Centraal hierin staat Hypoxie-geïnduceerde Factor 1 (HIF-1), een heterodimere transcriptiefactor bestaande uit een zuurstofgevoelige HIF-1α subeenheid en een constitutief tot expressie gebrachte HIF-1β subeenheid. Onder fysiologische normoxie wordt HIF-1α continu gesynthetiseerd en direct afgebroken. Zodra de weefseloxygenatie daalt (hypoxie), stopt deze afbraakroute en initieert HIF-1 een gecoördineerde transcriptierespons gericht op cellulair overleven en weefselperfusie.

- **Normoxie:** Prolylhydroxylasen (PHD) gebruiken moleculair zuurstof en 2-oxoglutaraat om specifieke prolineresiduen op HIF-1α te hydroxyleren.
- **Ubiquitinering:** Gehydroxyleerd HIF-1α wordt herkend door het von Hippel-Lindau (VHL) E3-ubiquitine-ligasecomplex en gemarkeerd voor snelle proteasomale degradatie via het 26S-proteasoom.
- **Hypoxie:** Zuurstofgebrek inactiveert PHD-enzymen. HIF-1α accumuleert stabiel in het cytosol en transloceert naar de celkern.
- **Transcriptie:** In de celkern dimeriseert HIF-1α met HIF-1β en bindt aan Hypoxia Response Elements (HRE) in het genomisch DNA samen met co-activatoren p300/CBP.



Educatieve Medische Disclaimer
Dit leermateriaal is uitsluitend bestemd voor academisch en educatief gebruik. Het illustreert biochemische en fysiologische concepten en dient niet als leidraad voor klinische besluitvorming, farmacologische doseringen of diagnostiek.

Fysiologische Cascade: Van Zuurstofsensor tot Genexpressie

De route verloopt via een opeenvolgende keten van enzymatische modificaties en moleculaire interacties die bepalen of HIF-1α wordt vernietigd of juist functioneert als activve transcriptiefactor.

1. **Stap 1: Zuurstofafhankelijke Hydroxylering**
   Onder voldoende zuurstoftoevoer koppelen prolylhydroxylase-domeinenzymen (PHD1-3) hydroxylgroepen aan specifieke prolineresten (Pro402 en Pro564) van het humane HIF-1α-eiwit.
2. **Stap 2: VHL-binding en Poly-ubiquitinering**
   Het pVHL-tumorsuppressorcomplex herkent selectief het gehydroxyleerde domein van HIF-1α. Vervolgens koppelt een E3-ligaseketen ubiquitine-moleculen aan het doeleiwit.
3. **Stap 3: Proteasomale Afbraak (26S Proteasoom)**
   Het poly-geubiquitineerde HIF-1α wordt binnen enkele minuten herkend en enzymatisch afgebroken in aminozuren door het 26S-proteasoom, waardoor cytosolische spiegels minimaal blijven.
4. **Stap 4: Stabilisatie bij Hypoxie & Kerntranslocatie**
   Bij zuurstofgebrek remmen de PHD-enzymen hun activiteit. HIF-1α accumuleert en verplaatst zich naar de kern. Daar vormt het een dimeer met HIF-1β en bindt aan Hypoxia Response Elements (HRE) in de promotorregio's van doelgenen.

Educatieve Medische Disclaimer
Dit leermateriaal is uitsluitend bestemd voor academisch en educatief gebruik. Het illustreert biochemische en fysiologische concepten en dient niet als leidraad voor klinische besluitvorming, farmacologische doseringen of diagnostiek.

Beslismodel: Cellulaire O2-Status en Doelgenactivatie

Onderzoek hoe variaties in weefselperfusie en zuurstofconcentratie bepalen welk fysiologisch adaptatienetwerk door de cel wordt geactiveerd.

Wat is de actuele intracellulaire zuurstofbeschikbaarheid in het doelweefsel?

Normoxie (weefsel pO2 fysiologisch normaal)	Hypoxie (weefsel pO2 laag / ischemie)
PHD actief -> continue hydroxylering en VHL-gemedieerde proteasomale afbraak van HIF-1α. Geen transcriptie-activatie van hypoxeidoelgenen.	PHD inactief -> HIF-1α stabilisatie -> dimeervorming met HIF-1β -> transcriptie van EPO (erytropoëse), VEGF (angiogenese) en GLUT1/LDHA (glycolyse).

Zelfstudie Werkblad: Fysiologische Toepassingen & Mechanismen

Gebruik dit werkpaneel om de moleculaire stappen en klinisch-fysiologische consequenties van hypoxie-adaptatie in specifieke orgaanstelsels zelfstandig uit te werken.

- **Nieren:** Productie van erytropoëtine (EPO) ter verhoging van de erytrocyten-capaciteit bij systemische hypoxie.
- **Vaststelsel:** Endotheliale expressie van VEGF ter stimulatie van vaatingoei en collaterale vascularisatie.
- **Intermediaire stofwiseseling:** Omschakeling naar anaerobe glycolyse door opregulatie van glucosetransporters en pyruvaatdehydrogenasekinase (PDK1).

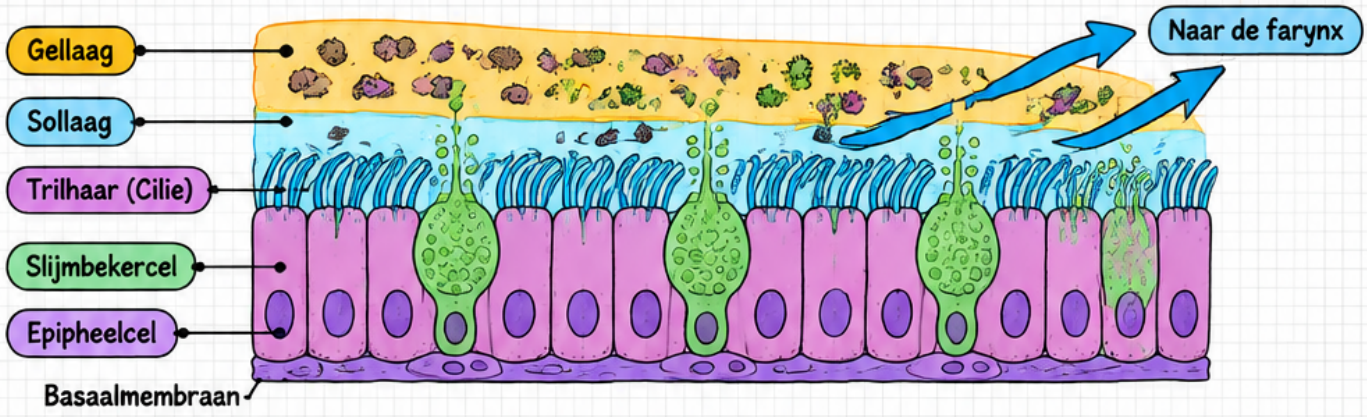
Tip voor Zelfstudie
Teken pijlen tussen het cytosolische compartiment en het nucleaire DNA-domein om de verplaasing van HIF-1α tijdens zuurstofsaturatie-daling visueel in te prenten.

Beschrijf het exacte mechanisme waarmee PHD zuurstof als co-substraat gebruikt:

Welke twee organen reguleren respectieelijk EPO- en VEGF-productie primair bij systemische hypoxie?

Leg uit waaron de HIF-1 route leidt tot toename van lactaatproductie in hypoxisch weefsel:

MUCOCILIAIRE KLARING



Het Ademhalingsstelsel: Dynamiek van het Tracheobronchiale Slijmvlies

Het tracheobronchiale boomstelsel vormt de primare verdedigingslinie van de diepere luchtwegen. Naast luchtgeleiding zorgt het respiratoire epitheel voor activve zuivering door middel van de mucociliaire roltrap (mucociliary clearance). Ingeademde aerogene partikels, bacteriën en virussen worden gevangen en continu richting de orofarynx gertansporteerd om te worden doorgeslikt of opgehoest.

- Bekleed met pseudomeerlagig trilhaardragend cilindrisch respiratoir epitheel.
- Behoudt alveolaire steriliteit onder normale fysiologische omstandigdeden.
- Afhankelijk van strikte inentransportbalans (CFTR- en ENaC-kanalen) voor vloeistofhoogte.

Educatieve Disclaimer
Dit materiaal dient uitsluitend voor educativve en fysiologische studiedeleinden en vormt geen medisch advies, klinische diagnose of behandelrichtlijn.

Tweedelige Slijmarchitectuur: Sollaag en Gellaag

Het vloeistoffilm op het apicale membraan bestaat uit twee strikt gescheiden fysische fasen die sasenwekrerr om efficiënte wrijingloze slagkarcht te combineren met mechanische vangcapacaiteit.

- Periciliaire vloeistoflaag (sollaag): Waterige, laag-viskeuze vloeistoflaag van circa 7 micrometer hoog waarin de ciliën ongehinderd hun voorwaarste en herstelslag uuivtooen.
- Slijmlaag (gellaag): Hoog-viskeuze, elastische bovenlaag rijk aan mucines (MUC5AC en MUC5B) afkomstig van slijmbekercellen en submucosale klieren die pathogenen bindt.

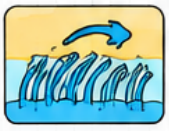


Sollaag
(ca. 7 µm)

Gellaag
(hoog-viskeus)

Mechanisme van de Metachrone Trilhaarslag

Trilharen (cillën) slaan niet willekeurig maar in een gecoördineerde golfbeweging (metachronie), waardoor het slijm als een continue transportband proximaal beweegt.



1 Effectieve Slag (Power Stroke)
De cilie strekt zich volledig uit tot in de bovenliggende viskeuze gellaag en beweegt krachtig proximaalwaarts met 10 tot 15 Hz, waarbij het slijm fysiek omhoog wordt gestuwd.



2 Herstelslag (Recovery Stroke)
De cilie buigt dicht langs het apicale celoppervkak binnen de dunvloeibare periciliaire sollaag terug om weerstand tegen het slijmtapijt te minimaliseren.



3 Metachrone Coördinatie
Aangrenzende ciliën slaan met eren minimaal faseverschil, waardoor vloeistofgolven ontstaan die continue stroom zonder stase waarborgen.

Klinisch-Fysiologische Beoordeling van Klaringsefficiëntie

Geberuik dit **beslissingsschema** om te analyeren hoe verstoringen in de vloeistoffilm of trilhaarstructuur de mucociliaire transportdynamiek beïnvleeden.

Welk fysiologisch compartiment vertoont de primare disfunctie?

Dehydratatie van de periciliaire sollaag (bijv. verminderde chloride-secretie via CFTR)	**Structureel defect in de dyneine-armen van het axoneem** (primaire ciliaire dyskinesie)
De sollaaghoogte zakt onder 7 micrometer: trilharen raken verstrikt in de taaie gellaag, waardoor de ciliaire slagfrequentie daalt en slijmretentie optreedt.	De trilharen zijn immotiel of slaan asynchroon; klaring stagneert volledig ondodks een normale slijmsamenstelling, met chronische infecties tot gevolg.

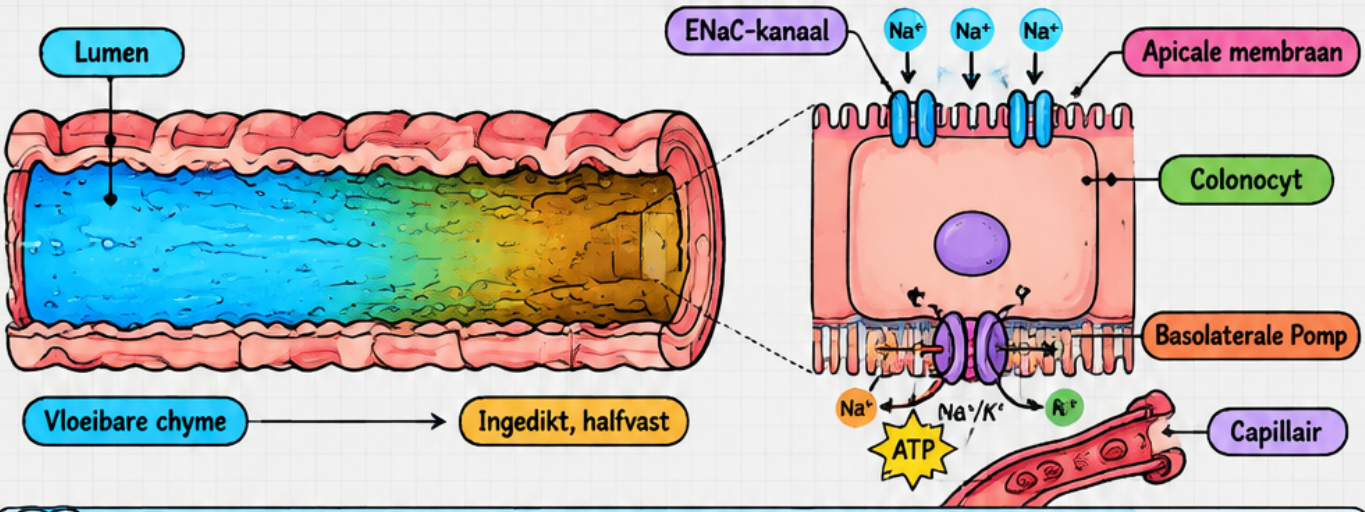
Actieve Fysiologische Analyse & Evaluatie

Documenteer de waargenemen microscopische en biofysische parameters van het luchtwegepitheel voor casusstudie en zelfevaluatie.

Gemeten ciliaire slagfrequentie (Hz) en coördinatiepatroon	Beoordeling sollaagdikte en hydratatiegraad van het apicale oppervlak	Mucine-samenstelling (verhouding MUC5AC / MUC5B) en visco-elasticiteit

Educatieve Disclaimer Dit materiaal dient uitsluitend voor educatieve en fysiologische studieddoeleinden en vormt geen medisch advies, klinische diagnose of behandelrichtlijn.

COLONTRANSPORT



COLONAAL WATERTRANSPORT EN FECESCONSOLIDATIE: OVERZICHT

In het colon ondergaat vloeibare chyme uit het ileum een stapsgewijze dehydratie tot een vaste ontlasting. Per etmaal bereikt circa 1,5 tot 2 liter waterige darminhoud de blindedarm (caecum). Het colonresorbeert ruim 90% van dit volume, zodat er uitetindeljk slechts 100 tot 200 ml water via de feces het lichaam verlaat. Dit actieve resorptieproces berust op een osmotische gradiënt die primair wordt gegenereerd door epitheliaal natriumtransport.

- **Dagelijkse chyme-instroom:** circa 1500–2000 ml waterig mengsel via de ileocecale klep.
- **Waterresorptiecapaciteit:** efficiënte dehydratie tot een residueel verlies van 100–200 ml.
- **Aandrijfkracht:** actieve elektrolytenopname via epitheliale kanalen trekt water passief mee.
- **Consistentieverandering:** transitie van vloeibare chyme naar halfvaste en compacte feces.

Belangrijke Educatieve Disclaimer
Dit overzicht dient uitsluitend voor educatieve doeleinden en studieondersteuning. Het vormt geen medisch behandeladvies of diagnostische richtlijn.

CELLULAIR MECHANISME: TRANSPORTERS EN HORMONALE STURING

De resorptie van water in het distale colonepitheel wordt moleculair aangestuurd door gepecialiseerde membraankanalen en basolaterale pompen onder invloed van aldosteron.

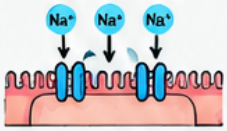
- ENaC (Epitheliaal Natriumkanaal): Apicale opname van natriumionen uit het darmlumen.
- Na⁺/K⁺-ATPase: Basolaterale pomp die drie Na⁺-ionen uitwisselt voor twee K⁺-ionen om de intracellulaire gradiënt laag te houden.
- **Osmotische stroom:** Water volgt paracellulair en via aquaporines de osmotische gradiënt naar het interstitium.
- **Aldosteronactivatie:** Stimuleert de synthese en translocatie van ENaC naar het apicale membraanoppervlak.

Klinische Relevantie

Verstoring van het ENaC-transport of overmatige secretoire activitiët (bijvoorbeeld door bacteriële toxines) leidt tot osmotische of secretoire diarree.

STAPPEN VAN HET COLONAAL WATERTRANSPORT

1 Apicale instroom via ENaC



Natriumionen diffunderen passief langs hun elektrochemische gradiënt via apicale ENaC-kanalen de colonocyt binnen.

2 **Basolaterale ejectie via Na⁺/K⁺-ATPase**



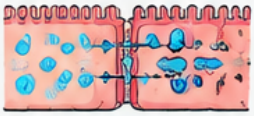
Onder verbruik van ATP pompt het Na⁺/K⁺-ATPase natriumionen naar de basolaterale interstitiële ruimte.

3 Paracellulair chlortransport



Chloride volgt het positieve ladingsverschil elektroneutraal door tight junctions naar het interstitium.

4 Osmotische waterresorptie



De verhoogde interstitiële osmolariteit trekt watermoleculen passief mee uit het lumen, waardoor de chyme indikt.

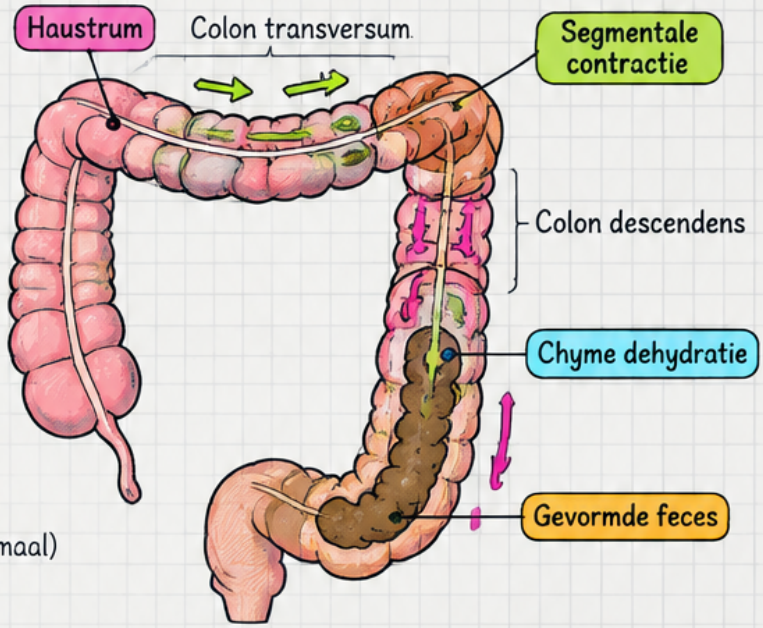
Dit overzicht dient uitsluitend voor educatieve doeleinden en studieondersteuning. Het vormt geen medisch behandeladvies of diagnostische richtlijn.

MOTILITEIT, FECESCONSOLIDATIE EN ZELFEVALUATIE

Mechanische Voortstuwing en Fecesvorming

Naast cellulair transport vereist fecesconsolidatie specifieke motiliteitspatronen van de dikke darm, waaronder segmentale menging en haustrale voortstuwing.

- **Segmentale contracties:** Lokale knedende bewegingen die darminhoud in contact houden met mucosa.
- **Haustrale contracties:** Langzame peristaltische verplaatsing van haustrum naar haustrum.
- **Massa-bewegingen (Mass movements):** Krachtige contractiegolven (1 tot 3 keer per etmaal) die feces naar het rectum drijven.



Welk fysiologisch transportpatroon overheerst bij veranderde transittijd?

Versnelde colonmotiliteit (korte verblijftijd) →	Onvoldoende contacttijd voor ENaC-resorptie leidt tot verminderde wateronttrekking en vloeibare ontlasting.
Vertraagde colonmotiliteit (lange verblijftijd) →	Excessieve wateronttrekking door langdurige mucosale blootstelling resulteert in harde, gedehydrateerde feces (obstipatie).

Zelfevaluatie en Werkblad: Colonfysiologie

Gebruik onderstaand werkblad om de fysiologische stappen en transportmechanismen systematisch te analyseren.

- Controleer de rol van aldosteron op het ionentransport.
- Leg de relatie tussen haustrale contractie en consolidatie vast.

Studietip

Teken de relatieve ononcentraties tussen darmlumen, colonocyt en capillair vat om de elektrochemische gradiënt te verduidelijken.

Beschrijf de invloed van aldosteron op de dichtheid van apicale ENaC-kanalen:

Wat is het effect van remming van de basolaterale Na^+/K^+-ATPase op de waterresorptie?

Benoem het verschil in functie tussen segmentatie en massabewegingen:

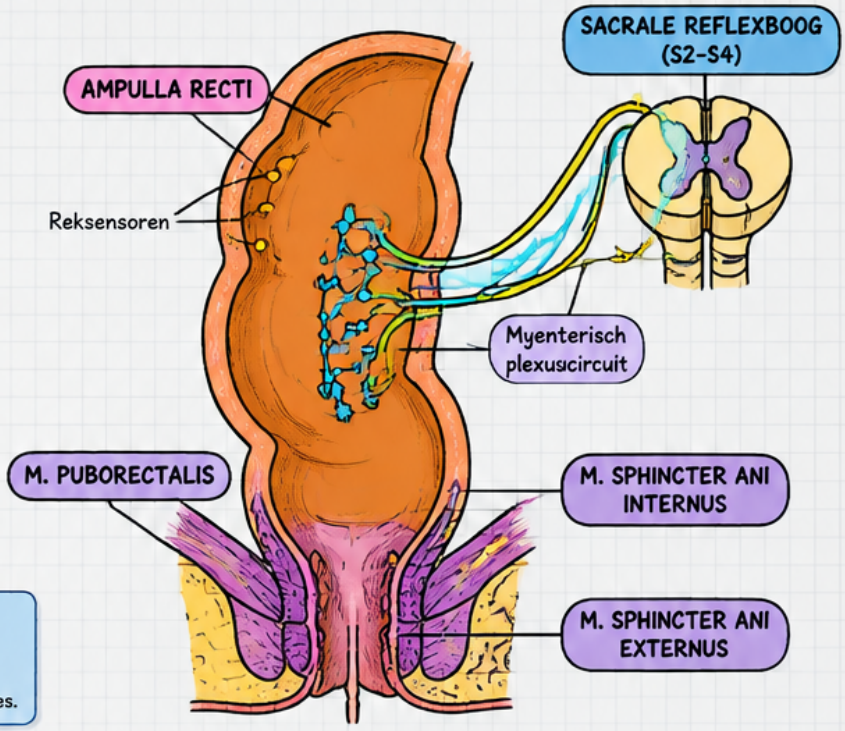
Deze materialen zijn uitsluitend bedoeld voor educatieve doeleinden.

FYSIOLOGIE VAN DE DEFECATIEREFLEX EN CONTINENTIE

Defecatiereflex en Anorectale Beheersing

De lediging van het distale spijsverteringskanaal berust op een gecoördineerde wisselwerking tussen het enterische zenuwstelsel, parasympathische spinale reflexbanen en willekeurige controle vanuit de hersenschors. Rek van de ampulla recti initieert sowel lokale peristaltiek als reflexmatige sfincterespons.

- **Ampulla recti:** rekgevoelige mechanoreceptoren registreren vulling met feces.
- **M. sphincter ani internus:** onwillekeurige gladde spier die entspant via het myenterische vlechtwerk en parasympathische input (inhibitoir).
- **M. sphincter ani externus en M. puborectalis:** dwarsgestreepte spieren onder willekeurige controle via de n. pudendus.



Belangrijke Educatieve Mededeling

Deze illustratie en toelichting zijn uitsluitend bestemd voor educatieve doeleinden en vormen geen medische diagnose, behandelplan of klinisch advies.

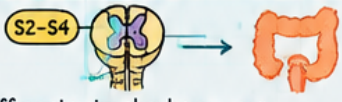
Stappen van de Defecatiereflex

1 Rectale Distensie



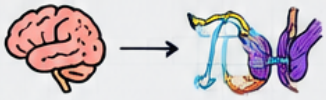
Feces worden vanuit het colon descendens en sigmoideum naar het rectum gestuwd door massabewegingen. De rek van de ampulla recti stimuleert mechanoreceptoren in de darmwand.

2 Intrinsieke en Parasympathische Reflex



Afferente signalen lopen naar sacrale ruggenmergsegmenten (S2-S4). Parasympathische efferente vezels via de nervi splanchnici pelvici versterken de peristaltiek in colon en rectum en induceren relaxatie van de interne anale sfincter.

3 Willekeurige Integratie



De hersenschors contvangt afferente signalen die aandrang bewust maken. Afhankelijk van de sociale context stimuleert of remt de cortex motorneuronen van de n. pudendus near de externe sfincter en de m. puborectalis.

Is de omstandigheid geschikt voor ontlasting?

Defecatie gewenst en passend

→ Bewuste relaxatie van de m. sphincter ani externus en m. puborectalis; anorectale hoek wordt gestrekt, feces passeren het anale kanaal, optioneel ondersteurd door de Valsalva-manoeuvre.

→

Defecatie ongewenst of uitgesteld

→ Tonische contractie van de m. sphincter ani externus en m. puborectalis; de rectale wand past zich via receptieve relaxatie aan de toegenomen vulling aan, waardoor de acute aandrang tijdelijk afneemt.

Zelfstudie & Begripscontrole

Controleer uw kennis van de neuro-anatomische banen en spiergroepen die betrokken zijn bij de fecale continentie en uitscheiding.

- Identificeer het verschil in innervatie tussen de interne en externe anale sfincter.
- Beschrijf de mechanische functie van de anorectale hoek gevormrd door de m. puborectalis.

Verloop van de parasympathische spinale reflexboog (sacrale niveaus S2-S4)

Rol van de n. pudendus bij activve willekeurige continentiebehoud

Deze illustratie en toelichting zijn uitsluitend bestemd voor educativve doeleinden en vormen geen medische diagnose, behandelplan of klinisch advies.

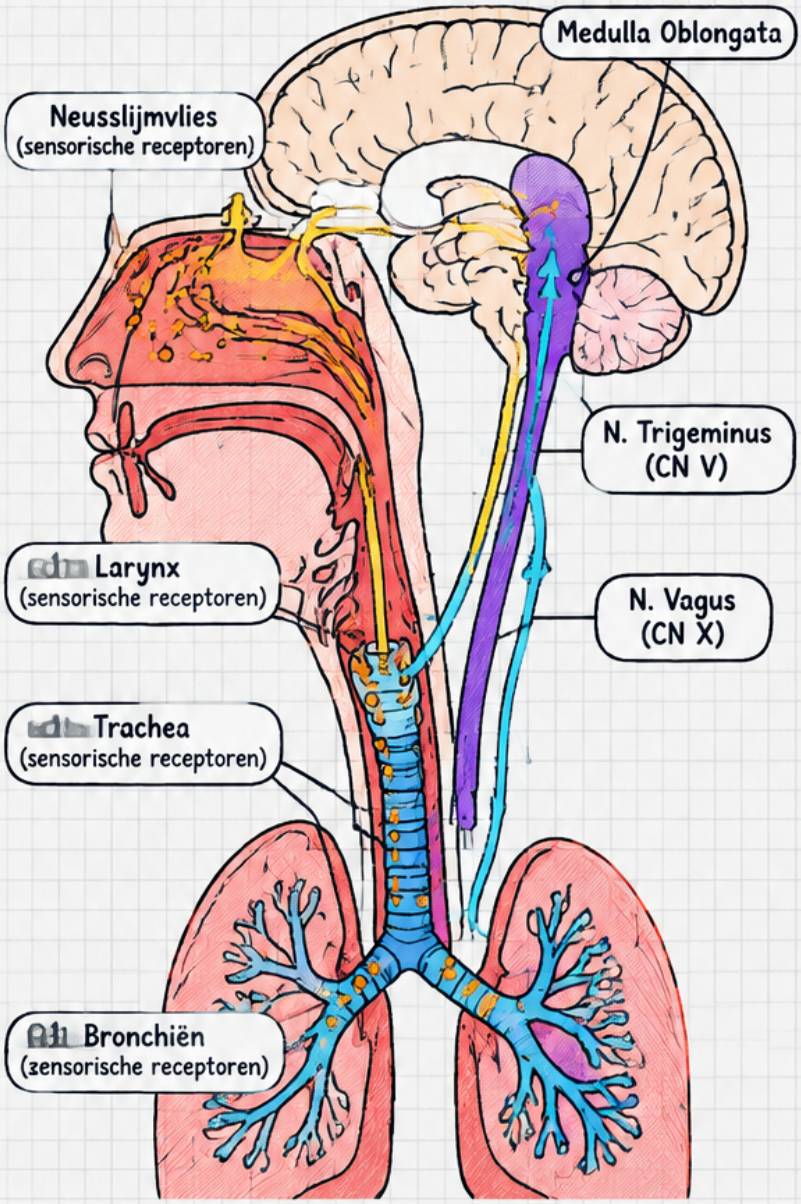
REFLEXBOOG

Sensorische Integratie en Reflexboog

Verdedigingsreflexen van de Luchtwegen: Prikkel en Verwerking

De hoest- en niesreflexen zijn essentiële autonome mechanismen die de luchtwegen beschremen tegen mechanische obstructie, vreemde deeltjes en chemische prikkels. Beide reflexen starten bij sensorische zenuwuiteinden en worden gëntegreerd in de hersenstam.

- **Hoestprikkeling:** Mechanoreceptoren en chemoreceptoren in larynx, trachea en bronchiën sturen signalen via afferente vezels van de nervus vagus (CN X).
- **Niesprikkeling:** Prikkeling van het neusslijmvlies activeert afferente sensorische vezels van de nervus trigeminus (CN V, met name rami nasales).
- **Integratiecentrum:** Signalen convergeren in het ademhalings-centrum van de medulla oblongata (hersenstam) voor gecoördineerde motorexecutie.



Educatieve Disclaimer

Dit schema dient uitsluitend voor biologisch en fysiologisch onderwijs. Het is geen medisch diagnostisch instrument en vervangt geen professioneel klinisch advies.

Welk afferent zenuwtraject en effectorgebied wordt primair geactiveerd?

Prikkeling in neusslijmvlies (bovenste luchtwegen)

Signaalroute via **Nervus Trigeminus** (CN V) naar de medulla; leidt tot **niessequentie** met gecombineerde **uitstoot** via neus en mond.

Prikkeling in larynx, trachea of bronchiën (lagere luchtwegen)

Signaalroute via **Nervus Vagus** (CN X) naar de medulla; leidt tot hoestsequentie met gerichte orale decompressie.

Dit schema dient uitsluitend voor biologisch en fysiologisch onderwijs. Het is geen medisch diagnostisch instrument en vervangt geen professioneel klinisch advies.

Biomechanica van Drukgroei en Expulsie

De Drie Fysiologische Fasen van de Reflexboog

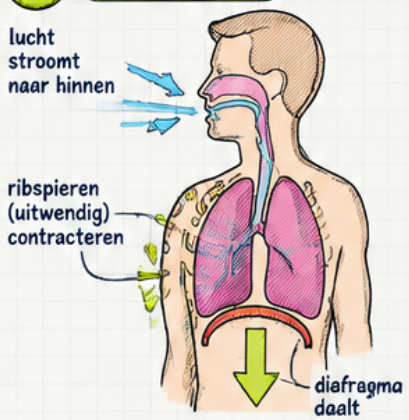
Zowel hoesten als niezen doorloopt een strak getimede biomechanische cyclus bestaande uit inspiratie, compressie en explosieve uitstoot.

- **Fase 1 (Diepe Inspiratie):** Snelle aanzuiging van lucht (tot 2,5 liter) door contractie van het **diafragma** en externe tussenribspieren om piekvolume te genereren.
- **Fase 2 (Compressie & Druksopbouw):** Krachtige sluiting van de **stemplooien (glottis)** gecombineerd met contractie van buikspieren en interne tussenribspieren, waardoor de intrathoracale druk oploopt tot boven 100 mmHg.
- **Fase 3 (Explosieve Expulsie):** Plotseling openen van de glottis met een krachtige luchtstroom die snelheden tot hondeeden kilometers per uur bereikt en mucus of partikels verdrijft.

Kritiek Verschil in Expulsiepad

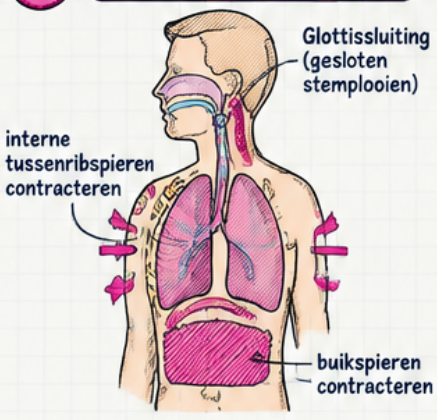
Tijdens het niezen daalt de huig (uvula) en spannen de gehemeltebogen samen, waardoor een significant deel van de luchtstroom door de neusholte wordt geperst. Bij hoesten sluit het zachte verhemelte de nasofarynx juist grotendeels af voor maximale orale uitstoot.

1 Inspiratie



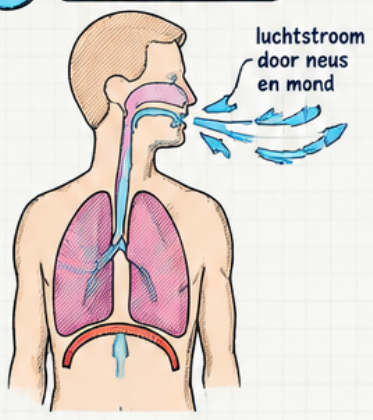
Snelle aanzuiging van lucht (tot 2,5 liter)

2 Compressie & Druksopbouw



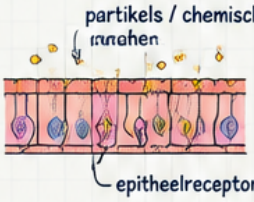
Intrathoracale druk stijgt tot boven 100 mmHg

3 Explosieve Expulsie



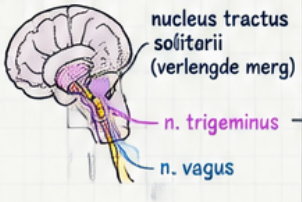
Snelheden tot honderden kilometer per uur

1 Receptoractivatie



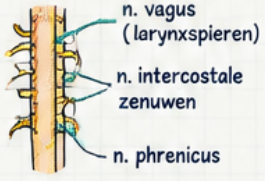
Partikels of chemische stoffen prikkelen epitheliale receptoren in de luchtwegen, wat actie-potentialen opwekt in sensorische neuronen.

2 Afferente Transmissie



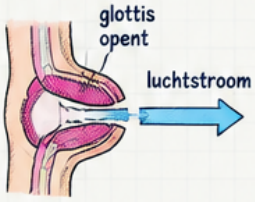
Actiepotentialen reizen via de nervus vagus of nervus trigeminus naar de nucleus tractus solitarii in het verlengde merg.

3 Motore Coördinatie



Motorische zenuwen (n. phrenicus, intercostale zenuwen, n. vagus naar larynxspieren) sturen synchroon de ademhalings- en larynxspieren aan.

4 Drukopbouw en Uitstoot



Na glottissluiting en isometrische drukgeneratie volgt plotselinge decompressie, waamree het agens efficiënt uit het ademhalingstraject wordt vervijderd.

Geobsserveerd reflexpatroon (Niesreflex vs. Hoestreflex):

Betrokken afferente baan en anatomische prikkelzone:

Deze informatie is bedeeld voor educatieve doeleinden en vervangt geen professioneel medisch advies.

SYSTEMISCHE INTEGRATIE: HOMEOSTATISCHE NEGATIEVE FEEDBACK IN RUST EN INSPANNING

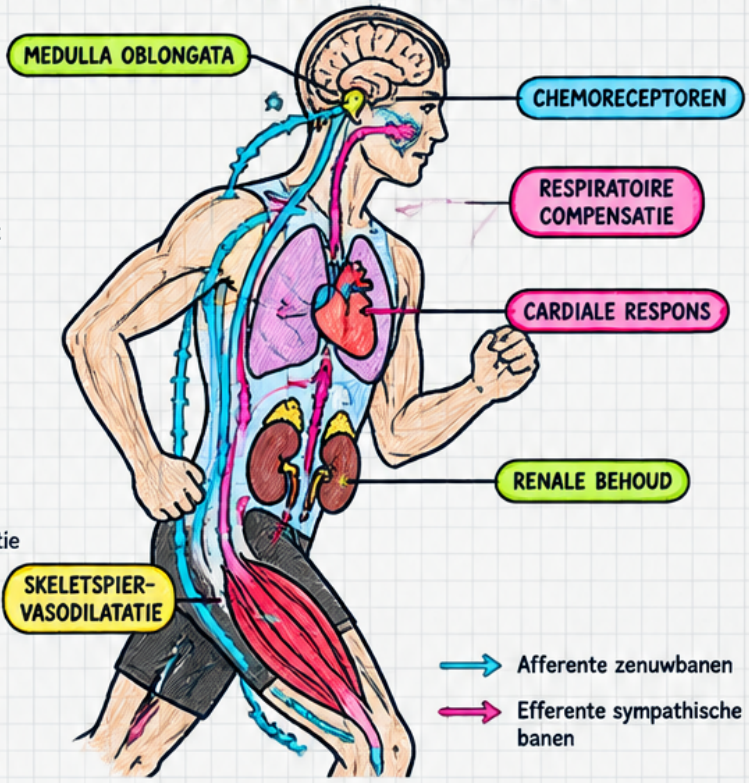
GECOÖRDINEERDE HOMEOSTASE TIJDENS FYSIEKE INSPANNING

Tijdens fysieke inspanning verstoort verhoogde spieractiviteit het interne fysiologische evenwicht door een toename van zuurstofverbruik, CO2-productie, warmteafgifte en lactaatconcentraties. Via negatieve terugkoppelingsmechanismen werken het cardiovasculaire, respiratoire, renale en metabole stelsel gecoördineerd samen om de arteriële bloeddruk, bloedgassen en lichaamstemperatuur binnen strikte fysiologische grenzen te handhaven.

- Cardiovasculaire respons: verhoogde sympathicusactiviteit verhoogt de hartfrequentie en het slagvolume, terwijl lokale metabolieten zorgen voor gerichte vaatverwijding in actieve skeletspieren.
- Respiratoire respons: stimulatie van perifere en centrale chemoreceptoren intensiveert het ademminuutvolume ter compensatie van metabole verzuring en gasuitwisseling.
- Renale en vochthuishoudkundige respons: vasoconstrictie van de renale vaten vermindert de filtratie, terwijl renine-angiotensine-aldosteronactivatie vocht vasthoudt.
- Thermische en metabole regulatie: sympathische vasodilatatie in de huid en zweetsecretie zorgen voor warmteverlies, terwijl de lever lactaat via de Cori-cyclus klaart.

BELANGRIJKE EDUCATIEVE DISCLAIMER
Dit overzicht is uitsluitend bestemd voor educatieve en informatieve doeleinden en vormt geen medisch advies, klinische diagnose of behandelrichtlijn.

HOMEOSTATISCHE INTEGRATIE



STAPSGEWIJZE NEGATIEVE FEEDBACKLUS BIJ INSPANNING

De acute reactie van het lichaam op inspanning volgt de klassieke componenten van een fysiologische regelkring. De onderstaande stappen tonen het verloop van sensorregistratie tot orgaanrespous.

1 VERANDERING VAN DE GEREGULEERDE VARIABELEN
Verhoogde cellulaire respiratie in actieve skeletspieren leidt tot daling van de lokale PO2, stijging van PCO2, accumulatie van waterstofionen (H+) en een toename van kerntemperatuur.

2 SENSORREGISTRATIE VIA CHEMO- EN MECHANORECEPTOREN
Glomus caroticum, aortaboogreceptoren en metaboreceptoren in de skeletspieren registreren metabole verschuivingen en zenden afferente signalen naar de medulla oblongata.

3 INTEGRATIE IN AUTONOME CONTROLECENTRA
Het cardiovasculaire en respiratoire centrum in de hersenstam verwerken de afferente input en initiëren een verhoogde sympathische uitstroom met gelijktijdige parasympathische remming.

4 EFFECTORREACTIE EN MULTI-ORGAANRESPONS
Hartfrequentie en ademfrequentie stijgen; spiervaatbedden dilateren lokaal door adenosines en stikstofmonooxide, zerwijl splanchnicusvaten constringeren om het hartminuutvolume te herverdelen.

ANALYSE EN ZELFSTUDIE: TERUGKOPPELING TOEPASSEN

Evalueer fysiologische afwijkingen en vul de bijbehorende compensatoire mechanismen in.

1. Geregistreerde arteriële pH-daling tijdens piekinspanning: _____
2. Respiratoire compensatierespons (ventilatoire drempel): _____
3. Renale compensatie bij aanhoudende acidose (protonenexcretie / HCO3-reabsorptie): _____

WELK FEEDBACKMECHANISME TREEDT OP BIJ EEN PLOTSLINGE DALING VAN DE ARTERIËLE BLOEDDRUK TIJDENS ZWARE INSPANNING?

- ☐ Baroerflex-ontlading neemt af door verminderde vaatwandrek → ☐ Sympathische stimulatie naar het hart en arteriolen neemt direct toe om slagvolume, contractiliteit en perifere weerstand te herstellen.
- ☐ Lokale metabole vasodilatatie overtreft het sympathische vasoconstrictiesignaal → ☐ Hartminuutvolume moet verder toenemen om systemische perfusiedruk naar de hersenen en vitale organen te waarborgen.

Dit overzicht is uitsluitend bestemd voor educatieve en informatieve doeleinden en vormt geen medisch advies, klinische diagnose of behandelrichttijn.